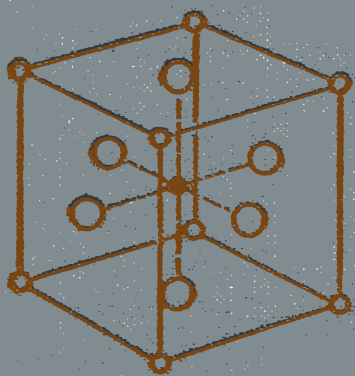


Ч. КИТТЕЛЬ

Элементарная физика твердого тела



Ч. КИТТЕЛЬ

ЭЛЕМЕНТАРНАЯ ФИЗИКА ТВЕРДОГО ТЕЛА

Перевод с английского
А. А. ГУСЕВА



ИЗДАТЕЛЬСТВО «НАУКА»
ГЛАВНАЯ РЕДАКЦИЯ
ФИЗИКО-МАТЕМАТИЧЕСКОЙ ЛИТЕРАТУРЫ
МОСКВА 1965

530.1
K 45
УДК 539.2

ELEMENTARY SOLID STATE PHYSICS:

A SHORT COURSE

CHARLES KITTEL

PROFESSOR OF PHYSICS
UNIVERSITY OF KALIFORNIA
BERKELEY, CALIFORNIA

JOHN WILEY & SONS, INC.,
NEW YORK — LONDON

1962

ОГЛАВЛЕНИЕ

Предисловие переводчика	5
Предисловие автора	7
Глава 1. Структура кристаллов	9
Глава 2. Дифракция волн в кристаллах	36
Глава 3. Тепловые свойства твердых тел	52
Глава 4. Диэлектрические свойства	77
Глава 5. Модель свободных электронов и ее применение к металлам	113
Глава 6. Зонная теория твердых тел. Зоны Бриллюэна	150
Глава 7. Физика полупроводников и полупроводниковые устройства	208
Глава 8. Магнетизм и магнитный резонанс	261
Глава 9. Дислокации и прочность твердых тел	317
Приложение А. Возмущение почти свободных электронов периодическим потенциальным полем	343
Приложение Б. Приближение сильной связи для электронов в металле	346
Приложение В. Переходные множители между важнейшими единицами	348
Приложение Г. Значения некоторых физических постоянных . . .	348
Литература	350
Предметный указатель	363

ПРЕДИСЛОВИЕ ПЕРЕВОДЧИКА

За последние годы у нас вышло довольно много монографической и учебной литературы по различным вопросам физики твердого тела (далее кратко ФТТ) как советских авторов, так и зарубежных (в переводах). Неплохо представлены такие разделы, как физика полупроводников, металлофизика, свойства магнитных материалов. Однако общих курсов ФТТ только два: Г. С. Жданова (Физика твердого тела, изд. МГУ, 1962) и Ч. Киттеля (Введение в физику твердого тела, перевод с английского, Физматгиз, 1957, и издание второе, переработанное, вышло там же в 1962 г.) Обе эти книги рассчитаны на читателя с приличной предварительной подготовкой по физике и математике, что должен был почувствовать каждый, кто ими пользовался.

Объем и глубина основных знаний по ФТТ, требующихся сегодня инженеру и исследователю, имеющему дело с твердыми материалами, разумеется, сильно зависит от узкой специальности и характера выполняемой работы. То же относится и к уровню лекционных курсов, читаемых по программам вузов, готовящих соответствующие кадры молодых специалистов. Это значит, что нужны учебные курсы и учебники разной степени сложности и назначения, позволяющие тому, кто изучает ФТТ, подниматься последовательно со ступеньки на ступеньку до уровня, который дает возможность пользоваться специальными монографиями и оригинальными работами из научных журналов и применять полученные знания в своей конкретной работе.

Еще несколько лет назад полноценных книг, которые можно было бы отнести к первой ступени, не было ни у нас, ни за рубежом, хотя потребность в них все время испытывалась. Упомянутые выше курсы Г. С. Жданова и Ч. Киттеля не могут служить такой первой ступенью: они, пожалуй, относятся ко второй. Но что касается третьей, то дело обстоит гораздо лучше — это специальные монографии по отдельным разделам, и здесь острого дефицита уже нет. В последние годы за рубежом пробел по первой ступени начал заполняться: издано несколько современных по уровню и достаточно простых учебников по общей физике твердого тела¹⁾. К ним можно

¹⁾ Например, из самых последних: Wert Ch., Thomson R., *Physics of Solids*, New York, 1964 (готовится русский перевод в издательстве «Мир»); Weiss R. J., *Solid State Physics for Metallurgist*, Oxford, 1963.

причислить и новую книгу Киттеля «Элементарная физика твердого тела», перевод которой предлагается вниманию читателей.

Автор книги Чарлз Киттель — крупный американский физик, профессор Калифорнийского университета (Беркли, США), авторитетный специалист по физике твердого тела, и особенно в области магнетизма, автор многочисленных оригинальных исследований и нескольких книг, носящих характер учебных пособий (кроме упомянутого «Введения в физику твердого тела» и данной книги издана «Элементарная статистическая физика» (ИЛ, 1960) и готовится к изданию «Квантовая теория твердого тела»). В ряде сборников переводных статей по магнетизму изданы его обзоры и некоторые оригинальные работы.

Благодаря этому автор хорошо известен не только магнитологам, но и более широкому кругу физиков, химиков, инженеров.

Настоящая книга очень близка по содержанию к «Введению» и может рассматриваться (как и подчеркивает автор в своем предисловии) как более просто написанный и при этом значительно меньший по объему вариант «Введения».

Эпитет «элементарная» в названии данной книги не следует понимать как синоним слова «упрощенная» или «облегченная». Усвоение изложенного в книге материала требует от читателя определенного труда, подразумеваются известные и общая физика и элементы атомной, статистической и квантовой физики. Некоторые выкладки и рассуждения нельзя оценить и усвоить, не проделав их самостоятельно, не решая задач, не обращаясь к другим книгам или справочникам. Зато тот, кто проделает все это, будет полностью вознагражден за свои усилия. Такой читатель приобретет много полезных знаний, почувствует методы подхода к физическим проблемам, получит возможность разбираться во многих казавшихся ранее непонятными или сложными вопросах, значительно облегчит себе чтение других книг более высокого уровня.

Эта книга будет полезна многим категориям читателей. Прежде всего она может служить хорошим пособием студентам физических и физико-технических факультетов вузов, много ценного материала для лекций и семинаров найдут в ней преподаватели вузов. Инженеры, имеющие дело с твердыми материалами, их свойствами и процессами в них, могут пользоваться этой книгой для систематизации своих знаний, для ознакомления (если надо) с основами ФТТ и для самостоятельного изучения.

А. Гусев

ПРЕДИСЛОВИЕ АВТОРА

Настоящая книга представляет собой сокращенное и более простое изложение курса физики твердого тела, который был положен в основу вышедшей ранее книги «Введение в физику твердого тела». Данная книга предназначена в качестве пособия для студентов инженерных, химических и физических специальностей на тех факультетах, где по учебному плану курс физики твердого тела читается только в течение одного семестра. Предполагается, что этому курсу предшествует обычный курс атомной физики.

Я попытался здесь в простой форме рассказать об основных физических явлениях в твердых телах, обращая особое внимание на полупроводники и металлы. В этой книге не рассматриваются приборы и устройства; цель ее в том, чтобы показать, исходя из основ физики твердого тела, как возникают те или иные применения научных результатов.

Одно замечание для студентов инженерных факультетов. В некоторых областях физики твердого тела можно получить исключительно точные количественные результаты или технически пригодные приближенные выводы. В других областях можно сделать лишь оценки порядков величин, которые, однако, несмотря на недостаточную их точность, иногда оказываются весьма ценными, так как могут указать правильное направление исследований или разработок.

Поэтому в ходе изложения я все время старался развивать у читателя способность видеть и понимать в предлагаемом материале именно эти его стороны.

Единицы МКС и гауссова система единиц СГС используются в нужных местах параллельно, что также имеет известные удобства при изложении вопросов, связанных с взаимодействием твердых тел с электромагнитными полями.

Многие из тех, кто оказал мне существенную помощь советами, предоставлением фотографий, таблиц и т. д., уже были упомянуты в предисловии к моей предыдущей книге («Введение в физику твердого тела»).

Дополнительно укажу еще д-ра Бернарда Купера, любезно прочитавшего книгу в рукописи. Пользуюсь случаем поблагодарить также миссис Элеонору Торнхилл и мисс Кэй Уэллс за постоянную и разнообразную помощь.

Ч. Киттель

Беркли, Калифорния
Июнь 1962.

ГЛАВА 1

СТРУКТУРА КРИСТАЛЛОВ

Кристаллы формируются из атомов иногда простыми, иногда сложными путями. Некоторые кристаллы можно достаточно точно представлять себе состоящими из нейтральных атомов, слабо деформированных внутрикристаллическими силами связи; к таковым относятся кристаллы благородных газов в твердом состоянии. Многие кристаллы можно представлять себе состоящими из ионов, несущих положительный и отрицательный электрические заряды. Например, каменная соль NaCl состоит из ионов Na^+ и Cl^- . Кристаллы щелочных металлов построены из относительно небольших по размерам ионных остовов, погруженных в отрицательно заряженное «море» электронов проводимости. Некоторые кристаллы построены из нейтральных атомов; электронные облака вокруг них несколько перекрываются между собой, образуя электронные «мосты» или ковалентные связи между соседними атомами. Можно считать, что так «устроены» кристаллы алмаза и кремния. Есть еще кристаллы, состоящие из нейтральных молекул, слабо взаимодействующих между собой. К этому типу относятся многие кристаллы из органических молекул.

Различие между этими типами сил внутрикристаллической связи (рис. 1.1) тесно связано с различием механических, электрических и магнитных свойств кристаллов. Однако при этом во всех типах кристаллов взаимодействия, обуславливающие связи, почти всегда сводятся к обычному кулоновскому электростатическому взаимодействию между зарядами, а именно притяжению между отрицательными зарядами электронов и положительными зарядами ядер. Таким образом, различие типов связей в кристаллах является не различием в природе взаимодействия, а количественными различиями в распределении электронного заряда. Распределение заряда может быть, в принципе, определено теоретически на основе квантовой механики. Хотя точные решения задач для кристаллов получить нельзя, часто можно использовать теорию для того, чтобы правильно ставить экспериментальные исследования и успешно разбираться в их результатах. Один из вопросов, который всегда встает перед нами и на который мы, если возможно, ищем ответа при помощи экспериментов, состоит в следующем: Как расположены ядра и электроны в твердом теле? Это задача определения структуры твердых тел.

Основная цель, которую мы ставим в первых двух главах настоящей книги, — осветить самый важный и прямой метод определения структуры — метод дифракции рентгеновских лучей. В некоторых задачах можно использовать дифракцию электронов и нейтронов. Дифракция волн де Бройля, соответствующих этим частицам, на атомах кристалла носит точно тот же характер, что и дифракция рентгеновских лучей. Эксперименты по дифракции нейтронов дают сведения, в частности, о магнитных кристаллах. Сечение рассеяния нейтронов на магнитном атоме зависит от ориентации магнитного момента

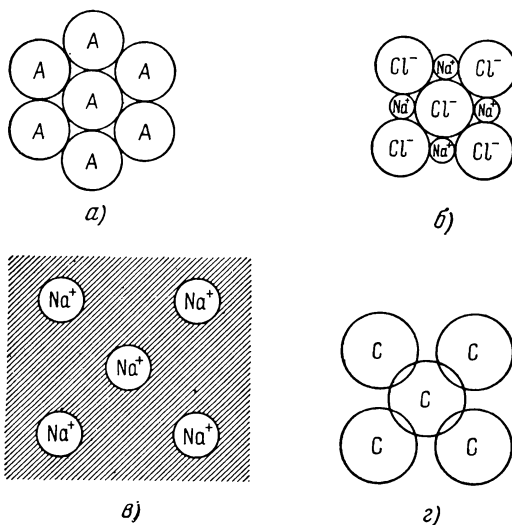


Рис. 1.1. Схемы, иллюстрирующие основные типы связи в кристаллах:

a — кристаллический аргон (силы Ван-дер-Ваальса); *б* — хлористый натрий (ионная связь); *в* — металлический натрий (металлическая связь); заштрихованная область — электронная жидкость; *г* — алмаз (ковалентная связь).

атома, поэтому эксперименты по дифракции нейтронов могут дать информацию о магнитной структуре кристалла.

Характерные размеры деталей атомной структуры кристаллов очень малы по сравнению с теми размерами, которые различимы визуально или при помощи оптического микроскопа. Обычно мы не можем различить детали, меньшие какой-то доли (скажем, четверти) длины волны излучения (в частности, света), используемого для наблюдения этих деталей. Для оптических приборов этот критический размер деталей, которые мы можем надеяться разрешить, составляет 10^{-5} см, если не ставить эксперимент в особых условиях. Критерии разрешимости обсуждаются в большинстве книг по физической оптике.

Легко оценить порядок величины размеров для случая кристалла. Рассмотрим, например, металлическое железо. Его плотность составляет $7,86 \text{ г/см}^3$, масса одного моля — $55,85 \text{ г}$. Тогда 1 см^3 железа содержит $7,86/55,85 = 0,14$ моля. Число Авогадро (число атомов в одном моле элемента) равно $6,03 \cdot 10^{23} \text{ атомов/моль}$. Следовательно, число атомов в 1 см^3 железа составляет

$$0,14 \cdot 6,03 \cdot 10^{23} = 0,85 \cdot 10^{23} \text{ атомов/см}^3.$$

Если каждому атому мы сопоставим куб со стороной a (объем куба равен a^3), то

$$0,85 \cdot 10^{23} a^3 = 1 \text{ см}^3,$$

откуда

$$a^3 = \frac{1}{0,85 \cdot 10^{23}} \cong 12 \cdot 10^{-24} \text{ см}^3$$

или

$$a = 2,3 \cdot 10^{-8} \text{ см}.$$

Отсюда видно, что 10^{-8} см — удобная единица длины для измерения межатомных расстояний в кристалле. Эта единица, равная 10^{-8} см (или 10^{-11} м), носит название *ангстрем* и обозначается через \AA . Полученный нами результат можно записать в виде $a = 2,3 \text{ \AA}$. В системе МКС, если плотность железа принять равной $7,8 \cdot 10^{-3} \text{ кг/м}^3$, для a получим $2,3 \cdot 10^{-10} \text{ м}$.

Предположим, что перед нами стоит задача определения межатомных расстояний (порядка 1 \AA), и мы имеем в распоряжении лишь оптический микроскоп, который может различать детали с размерами порядка не менее 1000 \AA . При таких условиях решить задачу, очевидно, невозможно. Нужны значительно более короткие волны. Сделать источник электромагнитного излучения с длиной волны в 1 \AA не представляет труда. Коротковолновая граница рентгеновских лучей, получаемых при бомбардировке антикатада рентгеновской трубки электронами, ускоренными напряжением V , может быть оценена приравниванием энергии фотона

$$h\nu = \frac{hc}{\lambda} \cong 6,6 \cdot 10^{-27} \text{ эрг} \cdot \text{сек} \cdot \frac{3 \cdot 10^{10}}{\lambda} \text{ см/сек} \cong \frac{2,0 \cdot 10^{-17}}{\lambda} \text{ эрг} \quad (1.1)$$

кинетической энергии электрона

$$eV \cong 4,8 \cdot 10^{10} \frac{V}{300} \cong 1,6 \cdot 10^{-12} V \text{ эрг}; \quad (1.2)$$

здесь h — постоянная Планка, λ — длина волны (в сантиметрах), V — ускоряющее напряжение (в вольтах). Итак, приравнявая (1.1)

и (1.2), имеем

$$\lambda = \frac{2 \cdot 10^{-17}}{1,6 \cdot 10^{-12}} V^{-1} = \frac{1,2 \cdot 10^{-5}}{V} \text{ см}, \quad (1.3)$$

при $V = 10 \text{ кэВ} = 10^4 \text{ в}$

$$\lambda = 0,12 \text{ \AA}. \quad (1.4)$$

Такая длина волны уже достаточно коротка для наших целей.

Описание кристаллов. Для описание структуры кристаллов был создан особый язык. Человек, владеющий символами этого языка, может без труда полностью или частично описать структуру кристалла, если другой человек сообщит ему нужный символ. Здесь мы расскажем об основах этого кристаллографического языка на примерах геометрии некоторых наиболее простых кристаллических структур.

Идеальный кристалл можно представить себе как тело, полученное в результате построения путем бесконечных повторений, из идентичных структурных элементов (кирпичиков). В простейших монокристаллах «кирпичиками» являются одинаковые атомы, но в большинстве кристаллов «кирпичик» состоит из нескольких атомов или молекул, причем слово «несколько» может означать число между 2 и 100 000 (или более).

Мы определим идеальный кристалл как тело, состоящее из атомов, расположенных в пространственной решетке, так что существуют три вектора элементарных смещений (трансляций) \mathbf{a} , \mathbf{b} , \mathbf{c} , обладающих тем свойством, что атомное расположение имеет одинаковый вид как при рассмотрении его из некоторой произвольной точки \mathbf{r} , так и из точки

$$\mathbf{r}' = \mathbf{r} + n_1 \mathbf{a} + n_2 \mathbf{b} + n_3 \mathbf{c}, \quad (1.5)$$

где n_1 , n_2 , n_3 — произвольные целые числа. Векторы элементарных смещений называются основными, если векторы любых двух точек \mathbf{r} и \mathbf{r}' , по отношению к которым атомное расположение имеет один и тот же вид, всегда удовлетворяют соотношению (1.5) при любом выборе чисел n_1 , n_2 , n_3 . Основные векторы смещений \mathbf{a} , \mathbf{b} , \mathbf{c} мы будем часто выбирать в качестве ортов системы координат, связанной с кристаллографическими осями, хотя наряду с ними будут использоваться также и другие (не основные) тройки векторов.

Операция перемещения кристалла параллельно самому себе, описываемая вектором

$$\mathbf{T} = n_1 \mathbf{a} + n_2 \mathbf{b} + n_3 \mathbf{c}, \quad (1.6)$$

называется *трансляцией*. Полный набор таких операций (для всех значений целых чисел n_1 , n_2 , n_3) известен как *группа трансляций* кристалла. Для кристаллической структуры наиболее важной характеристикой являются именно операции симметрии, т. е. операции,

в результате которых кристалл переходит сам в себя. Трансляция T не является единственной возможной операцией симметрии кристалла. Для различных точек структурного элемента («кирпичика») могут существовать такие операции (например, повороты и отражения), которые также преобразуют его сам в себя. Такие операции называются операциями точечной симметрии; существуют и другие операции симметрии.

Мы уже пользовались понятием кристаллической решетки. Это понятие является, вообще говоря, математической абстракцией. Мы определим *решетку* как параллельное, подобное узлам сетки расположение точек, обладающее тем особым свойством, что расположение точек около некоторой выбранной точки и около любой другой точки решетки одно и то же. В простейших кристаллических структурах с каждой точкой решетки связан только один атом и для полного описания структуры достаточно лишь задать кристаллографические оси a , b , c . Но для других, не столь «удачно устроенных» структур с каждой точкой решетки мы должны связывать некую элементарную группу атомов, которую называют *базисом*. Все

такие группы в кристалле должны быть идентичны по составу, относительному расположению и ориентации. Формирование кристаллической структуры состоит в том, что каждой точке решетки придается базис; это иллюстрируется (для двухмерного случая) на рис. 1.2.

Параллелепипед, образованный векторами элементарных смещений a , b и c , называется *примитивной ячейкой*. Примитивная ячейка является частным случаем *элементарной ячейки*. Элементарная ячейка — это любая ячейка, обладающая тем свойством, что применение к ней операций трансляции, являющихся операциями симметрии для кристалла, заполнит все пространство. Примитивная ячейка — это элементарная ячейка наименьшего объема. Ее можно выбрать так, чтобы во всех вершинах соответствующего ей параллелепипеда находились только точки решетки.

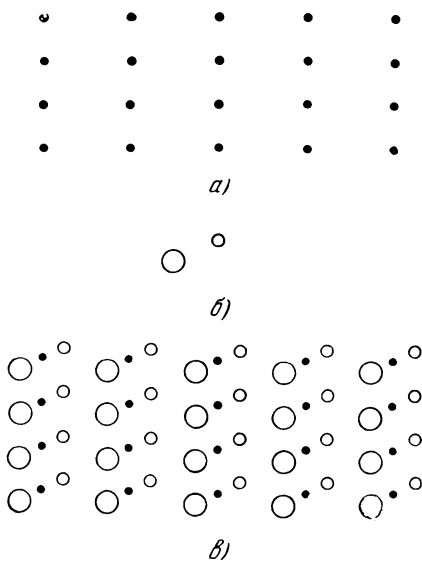


Рис. 1.2. a — пространственная решетка; b — базис, содержащий два различных атома; $в$ — кристаллическая структура, которая может рассматриваться как объединение базиса b с каждой точкой пространственной решетки a .

Из векторной алгебры известно, что объем параллелепипеда, образованного тремя векторами \mathbf{a} , \mathbf{b} , \mathbf{c} , определяется по формуле

$$V_c = \mathbf{a} \times \mathbf{bc}. \quad (1.7)$$

Если \mathbf{a} , \mathbf{b} , \mathbf{c} — векторы, определяющие элементарную ячейку, то V_c будет ее объемом.

Кристаллические решетки и кристаллические структуры могут обладать симметрией не только по отношению к операции трансляции T , но и по отношению к ряду других операций. Одной из таких типичных операций является поворот вокруг оси, проходящей через одну из точек решетки. Существуют решетки, обладающие осями первого, второго, третьего, четвертого и шестого порядков, что отвечает поворотам соответственно на 360°, 180°, 120°, 90° и 60°.

Эти оси обозначаются символами 1, 2, 3, 4 и 6. Оси 2, 3, 4 и 6 часто называют

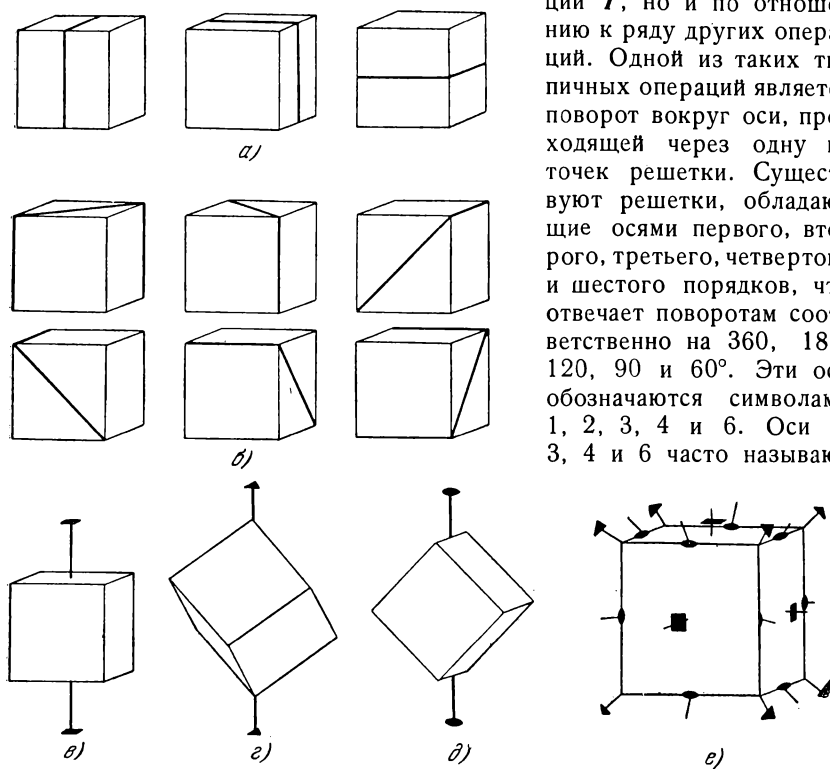


Рис. 1.3. Элементы симметрии куба. a — три плоскости симметрии, параллельные граням куба; b — шесть диагональных плоскостей симметрии куба; c — одна из осей четвертого порядка; d — одна из осей второго порядка; e — тринадцать осей симметрии куба, показанные на кубе соответствующими символами (из книги Филиппа).

соответственно двойной, тройной, четверной и шестерной осями. Других типов осей симметрии, т. е. осей, поворот вокруг которых переводил бы решетку саму в себя, не существует. Например,

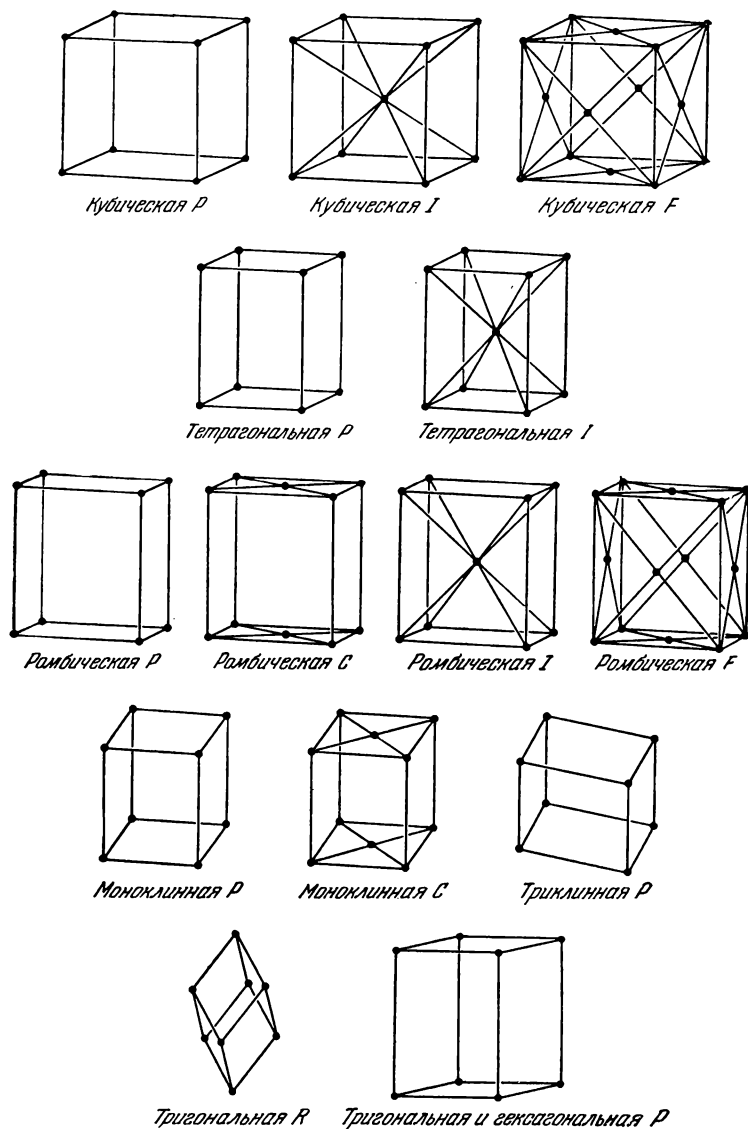


Рис. 1.4. Четырнадцать решеток Браве, называемых также пространственными решетками.

не может быть оси симметрии, соответствующей повороту на $2\pi/173$ или даже на $2\pi/5$ радиан. Действительно, можно строго математически доказать, что перечисленные выше оси (1, 2, 3, 4 и 6) являются единственно возможными. Другие операции симметрии решетки, имеющей кубическую примитивную ячейку, показаны на рис. 1.3.

Различные возможные комбинации операций точечной симметрии (поворотов, отражений, инверсии, поворотов с последующей инверсией) приводят к 14 различным типам пространственных решеток,

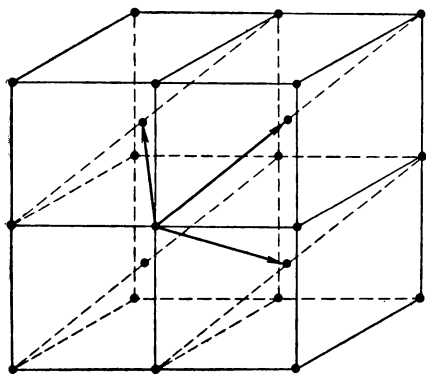


Рис. 1.5. Векторы основных трансляций в объемноцентрированной кубической решетке. Примитивная ячейка получается дополнением до ромбоэдра.

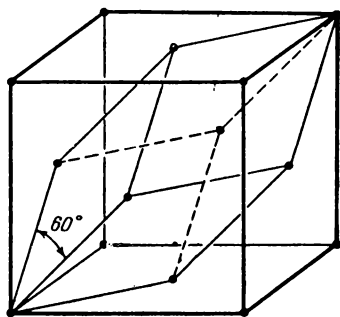


Рис. 1.6. Ромбоэдрическая примитивная ячейка гранецентрированной кубической решетки типа F .

каждому из которых отвечает определенный набор ограничений на величины основных векторов и углов между ними. Эти 14 типов решеток называются *решетками Браве* (рис. 1.4). За более детальным описанием читателю следует обратиться к курсам кристаллографии.

К кубической системе относятся три пространственные решетки: 1) простая кубическая (P) — примитивная, 2) объемноцентрированная (I), 3) гранецентрированная (F). Характеристики этих трех кубических пространственных решеток приведены в табл. 1.1. Векторы основных трансляций объемноцентрированной кубической решетки (сокращенно о. ц. к.) показаны на рис. 1.5, а гранецентрированной кубической решетки (сокращенно г. ц. к.) — на рис. 1.6.

Примитивная ячейка простой кубической решетки содержит только один узел решетки (на ячейку); однако на элементарную ячейку о. ц. к. решетки приходится два узла, а г. ц. к. решетки — четыре (см. табл. 1.1).

Таблица 1.1

Характеристики кубических решеток

Характеристика	Тип решетки		
	простая	объемно-центрированная	гранецентрированная
Объем элементарной ячейки . . .	a^3	a^3	a^3
Число точек решетки на одну ячейку	1	2	4
Число точек решетки на единицу объема	$1/a^3$	$2/a^3$	$4/a^3$
Расстояние между ближайшими соседями	a	$\sqrt{3}a/2$	$a/\sqrt{2}$
Число ближайших соседей	6	8	12
Расстояние до соседей, следующих за ближайшими	$\sqrt{2}a$	a	a
Число соседей, следующих за ближайшими	12	6	6

ИНДЕКСЫ МИЛЛЕРА

Положение и ориентация плоскости кристалла определяются заданием координат трех атомов, лежащих в этой плоскости. Если каждый из трех атомов находится на одной из трех кристаллографических координатных осей, то положение данной плоскости может быть задано соответствующими координатами атомов по осям в единицах постоянных решетки. Если, например, атомы, определяющие плоскость, имеют координаты $(4, 0, 0)$, $(0, 1, 0)$, $(0, 0, 2)$ в какой-то системе кристаллографических координатных осей, то указанная плоскость может быть охарактеризована тремя числами: 4, 1 и 2.

Более обычным методом описания положения плоскости в решетке являются *индексы Миллера*, которые определяются следующим образом.

1. Найдем точки, в которых данная плоскость пересекает основные координатные оси, и запишем их координаты в единицах постоянных решетки.

2. Возьмем обратные значения полученных чисел и приведем их к наименьшему целому, кратному каждому из чисел. Результат заключим в круглые скобки: (hkl) .

Для плоскости, которая пересекает оси в точках с координатами 4, 1 и 2, обратные числа будут $1/4$, 1 и $1/2$, и, следовательно, индексы Миллера для этой плоскости есть (142) .

Если плоскость пересекает данную координатную ось в бесконечности, то соответствующий индекс Миллера равен нулю. Индексы Миллера для наиболее важных плоскостей в кубических кристаллах иллюстрируются рис. 1.7.

Набор индексов (hkl) означает отдельную плоскость или семейство параллельных плоскостей. Если плоскость пересекает ось в области отрицательных значений координат, соответствующий индекс также будет отрицательным, но знак минус в этом случае помещается не перед индексом, а над ним (например, $(h\bar{k}l)$). Плоскости гранецентрированного кубического кристалла имеют индексы (100) , (010) , (001) , $(\bar{1}00)$, $(0\bar{1}0)$ и $(00\bar{1})$. Плоскости, эквивалентные по характеру симметрии, обозначаются индексами, помещаемыми в фигурные скобки, например, все грани куба можно обозначить через $\{100\}$.

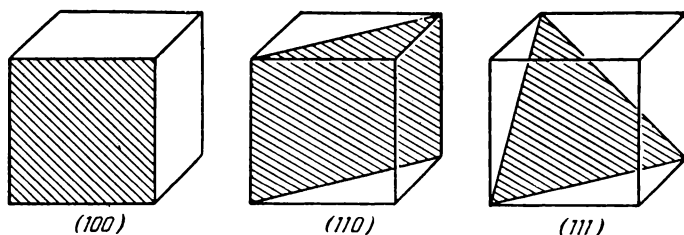


Рис. 1.7. Индексы Миллера для главных плоскостей кубического кристалла.

Для обозначения направлений в кристалле применяются индексы, представляющие собой набор наименьших целых чисел, относящихся между собой как компоненты вектора, параллельного данному направлению в соответствующей системе координат. Эти целые числа в случае направлений пишутся в квадратных скобках: $[uvw]$.

Направление оси x запишется как $[100]$, отрицательное направление оси y — как $[0\bar{1}0]$. Полная система эквивалентных направлений обозначается через $\langle uvw \rangle$. В кубических кристаллах направление $[uvw]$ перпендикулярно к плоскости (uvw) , имеющей те же индексы, однако для кристаллов других систем это, вообще говоря, не имеет места.

Положение узлов элементарной ячейки задается координатами в единицах постоянных решеток, причем значение координаты каждого узла составляет определенную долю элементарной длины a , b или c в зависимости от координатной оси; начало координат берется в вершине угла элементарной ячейки. Таким образом, например, в кубической решетке центр имеет координаты $\frac{1}{2} \frac{1}{2} \frac{1}{2}$, а центры граней: $\frac{1}{2} \frac{1}{2} 0$; $0 \frac{1}{2} \frac{1}{2}$; $\frac{1}{2} 0 \frac{1}{2}$.

ПРОСТЫЕ КРИСТАЛЛИЧЕСКИЕ СТРУКТУРЫ

Ниже мы кратко опишем немногие простые кристаллические структуры, представляющие общий интерес; к ним относятся, в частности, гексагональная структура с плотной упаковкой, структура алмаза, кубические структуры типа ZnS , NaCl , CsCl , CaF_2 (флюорит).

Гексагональная структура с плотной упаковкой. Расположить одинаковые твердые шары в пространстве так, чтобы объем, остающийся между ними, был минимален, можно двумя способами.

Один способ приводит к структуре, обладающей кубической симметрией, а именно к гранецентрированной кубической (кубическая структура с плотной упаковкой), другой — к структуре, обладающей гексагональной симметрией и носящей название *гексагональной структуры с плотной упаковкой* (рис. 1.8). Шары можно уложить плотноупакованным плоским слоем так, чтобы каждый шар соприкасался с шестью другими. Следующий слой можно положить так, чтобы каждый шар данного слоя соприкасался с тремя шарами нижнего слоя. Третий слой может быть положен двумя путями. В случае кубической структуры шары третьего слоя расположатся над теми углублениями первого слоя, которые не заняты шарами второго; в случае гексагональной структуры шары третьего слоя расположатся непосредственно над шарами первого. Эти две возможности схематически иллюстрируются рис. 1.9. Отношение c/a для гексагональной структуры, получающейся при плотной упаковке шаров, равно $(8/3)^{1/2} = 1,633$. Условились относить кристалл к классу имеющих плотноупакованную гексагональную структуру даже в том случае, когда отношение c/a несколько отличается от теоретического значения.

Таким образом, цинк, у которого отношение $c/a = 1,85$ ($a = 2,66 \text{ \AA}$, $c = 4,94 \text{ \AA}$), должен быть отнесен к числу структур с гексагональной плотной упаковкой, хотя углы между атомными связями в его структуре значительно отличаются от тех, которые присущи идеальной гексагональной структуре с плотной упаковкой. Элементарная ячейка гексагональной структуры с плотной упаковкой представляет собой примитивную гексагональную ячейку; в базисе ее — два атома (см. рис. 1.9).

Структура алмаза. Пространственная решетка алмаза является кубической гранецентрированной; базис содержит два атома, координаты которых 000 и $1/4 \ 1/4 \ 1/4$. Каждой точке решетки могут быть отнесены два атома; это показано на рис. 1.10. Тетраэдрическое расположение связей в структуре алмаза иллюстрируется схемой,

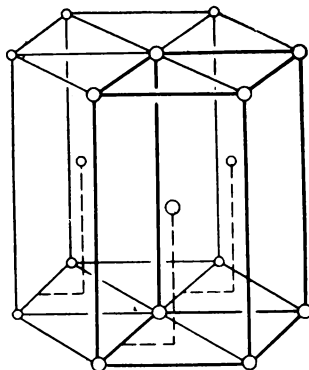


Рис. 1.8. Гексагональная структура с плотной упаковкой (из книги Барретта [1]).

Расположение атомов в этой структуре не образует пространственной решетки; последней в данном случае является простая гексагональная. С каждым узлом простой гексагональной решетки ассоциируется базис из двух атомов, с координатами 000 и $2/3, 1/3, 1/2$.

приведенной на рис. 1.11. Каждый атом имеет четырех ближайших

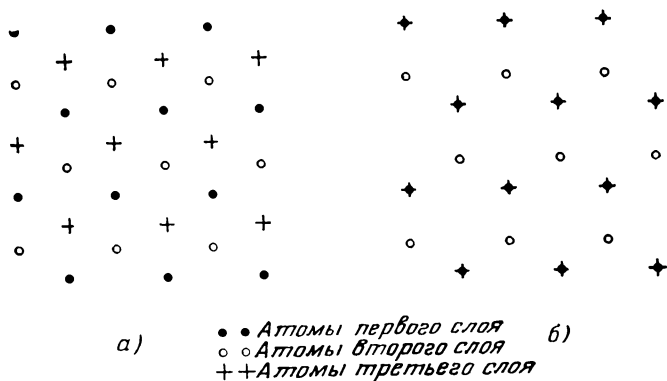


Рис. 1.9. Способы плотной укладки твердых шаров:
а — кубическая структура с плотной упаковкой; б — гексагональная структура с плотной упаковкой.

соседей и двенадцать соседей, следующих за ближайшими. Элементарный куб содержит восемь атомов. Решетка алмаза не относится к числу плотных: относительный объем, который может быть занят твердыми шарами, имитирующими атомы, составляет лишь 0,34, т. е. примерно 46% от фактора заполнения, характерного для плотноупакованной структуры. В структуре алмаза кристаллизуются углерод, кремний, германий и серое олово; постоянные решетки этих кристаллов равны соответственно 3,56; 5,43; 5,65 и 6,46 Å.

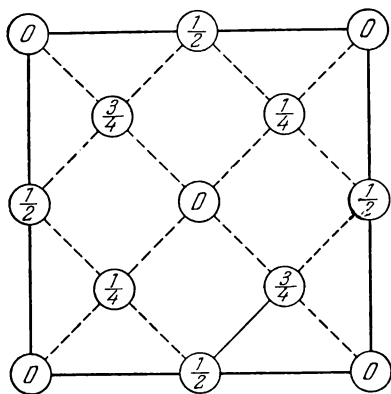


Рис. 1.10. Расположение атомов в элементарной ячейке структуры алмаза (проекция на грань куба). Значения дробей указывают высоту атома над базисной плоскостью (за единицу длины принято ребро куба). Точки типа 0 и $1/2$ составляют гранецентрированную решетку; точки типа $1/4$ и $3/4$ образуют такую же решетку, смещенную вдоль пространственной диагонали куба на четверть его длины.

цинковой обманки можно получить из структуры алмаза, если атомы

Структура цинковой обманки. Из того, что было сказано выше о структуре алмаза, видно, что ее можно представлять состоящей из двух идентичных гранецентрированных решеток, смещенных одна относительно другой в направлении пространственной диагонали куба на расстояние четверти длины этой диагонали. Кубическую структуру

цинка разместить в одной из гранецентрированных решеток, а атомы серы — в другой. Атомы цинка будут иметь координаты: 000 , $0 \frac{1}{2} \frac{1}{2}$, $\frac{1}{2} \frac{1}{2} 0$, $\frac{1}{2} \frac{1}{2} \frac{1}{2}$, а атомы серы: $\frac{1}{4} \frac{1}{4} \frac{1}{4}$, $\frac{1}{4} \frac{3}{4} \frac{3}{4}$, $\frac{3}{4} \frac{1}{4} \frac{3}{4}$, $\frac{3}{4} \frac{3}{4} \frac{1}{4}$. Элементарная ячейка этой решетки содержит четыре молекулы ZnS . Вокруг каждого атома, на равном расстоянии от него, имеются четыре атома другого сорта, размещенных в углах правильного тетраэдра. Структура алмаза обладает центром симметрии, расположенным на середине каждой прямой, соединяющей ближайших соседей, однако структура ZnS центра симметрии не имеет.

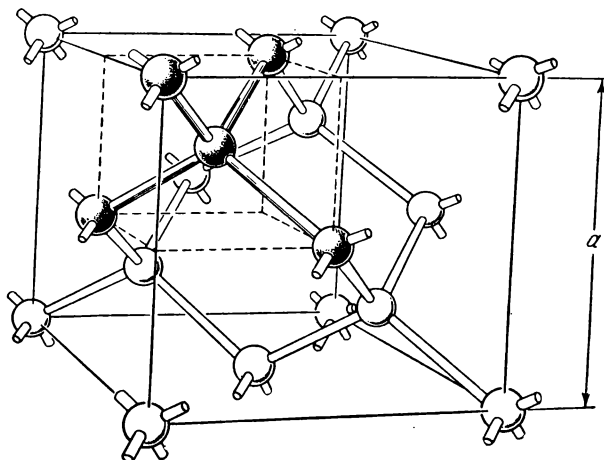


Рис. 1.11. Изображение кристаллической структуры алмаза, показывающее тетраэдрическое расположение ковалентных связей; a — постоянная решетки (из книги Шокли [2]).

Это становится очевидным из рассмотрения расположения атомов вдоль диагонали куба. В алмазе мы имеем последовательность вида $\text{CC} \dots \text{CC} \dots \text{CC}$, где точки означают вакантные узлы. В ZnS по тому же направлению имеет место расположение $\text{ZnS} \dots \text{ZnS} \dots \text{ZnS}$, которое не инвариантно по отношению к операции инверсии. Примеры кристаллов, обладающих кубической структурой типа ZnS , приводятся в следующей таблице:

Кристалл	a , Å	Кристалл	a , Å
CuF	4,26	CdS	5,82
CuCl	5,41	InAs	6,04
AgJ	6,47	InSb	6,46
ZnS	5,41	SiC	4,35
ZnSe	5,65	AlP	5,42

Тетраэдрическое расположение связей в структуре ZnS , по-видимому, указывает на их ковалентность, поскольку ионным связям свойственна тенденция к образованию структур преимущественно с большим числом ближайших соседей (большим *координационным числом*).

Структура хлористого натрия. Структура хлористого натрия показана на рис. 1.12, *а*. Его пространственная решетка — кубическая

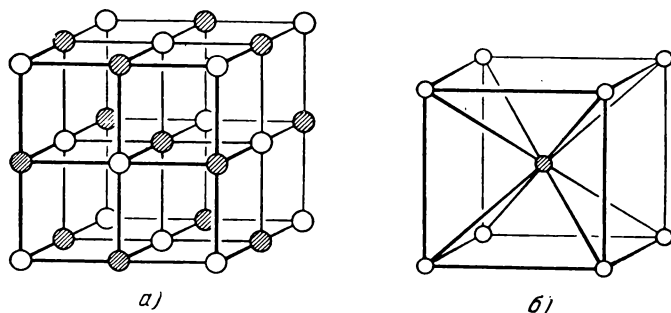


Рис. 1.12. Кристаллические структуры хлористого натрия (*а*) и хлористого цезия (*б*).

гранецентрированная. Базис состоит из двух атомов: одного атома Na и одного атома Cl, находящихся один от другого на расстоянии, равном половине длины пространственной диагонали элементарного куба. Элементарный куб содержит четыре молекулы. Атомы имеют следующие координаты:

Na: 000, $1/2 \ 1/2 \ 0$, $1/2 \ 0 \ 1/2$, $0 \ 1/2 \ 1/2$;

Cl: $1/2 \ 1/2 \ 1/2$, 0 0 $1/2$, 0 $1/2 \ 0$, $1/2 \ 0 \ 0$.

Каждый атом имеет шесть ближайших соседей, являющихся атомами другого сорта, и, следовательно, координационное число этой структуры равно шести.

Представители кристаллов, имеющих структуру типа NaCl, приводятся в следующей таблице:

Кристалл	a , Å	Кристалл	a , Å
LiH	4,08	NH_4I	7,24
NaCl	5,63	AgBr	5,77
KBr	6,59	MgO	4,20
RbI	7,33	MnO	4,43
PbS	5,92	UO	4,93

Структура хлористого цезия. Структура хлористого цезия показана на рис. 1.12, *б*. В структуре хлористого цезия на элементар-

ную ячейку приходится одна молекула; атомы расположены в центрах куба с координатами

$$\text{Cs: } 000 \quad \text{и} \quad \text{Cl: } 1/2 \ 1/2 \ 1/2.$$

Пространственная решетка — простая кубическая. Каждый атом, являющийся центром куба, имеет соседями в углах этого куба атомы другого сорта, так что координационное число равно 8. Представители кристаллов, имеющих структуру типа CsCl, приводятся в следующей таблице:

Кристалл	a , Å	Кристалл	a , Å
CsCl	4,11	CuZn (β латунь)	2,94
TlBr ₂	3,97	AgMg	3,28
TlI	4,20	LiHg	3,29
NH ₄ Cl	3,87	AlNi	2,88
RbCl (190° C)	3,74	BeCu	2,70

Структура фтористого кальция. Фтористый кальций CaF_2 (называемый флюоритом) имеет структуру, показанную на рис. 1.13. Пространственная решетка — гранецентрированная. Базис содержит три атома: один атом Ca в точке 000 и два атома F в точках $1/4 \ 1/4$ и $3/4 \ 3/4 \ 3/4$. Каждый атом Ca расположен в центре куба, углы которого заняты атомами F, а каждый атом F находится в центре тетраэдра, углы которого заняты атомами Ca. Представители кристаллов, имеющих структуру типа CaF_2 , приводятся в следующей таблице:

Кристалл	a , Å	Кристалл	a , Å
CaF_2	5,45	Ir_2P	5,54
BaF_2	6,19	AuAl_2	6,00
UO_2	5,47	PbMg_2	6,84
K_2O	6,44	SiMg_2	6,39
Li_2Te	6,50	PtGa_2	5,91

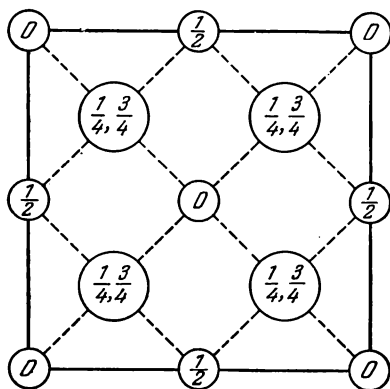


Рис. 1.13. Расположение атомов в элементарной ячейке флюорита (проекция на грань куба). Малыми кружками изображены атомы Ca, большими — атомы F.

Справочники данных по структуре кристаллов. Читатель, желающий найти сведения о кристаллической структуре того или иного вещества, может воспользоваться фундаментальной компиляцией Уайкоффа [3]. Ценными пособиями могут служить также справочники Strukturbericht и Structure Reports. Основными журналами, публикующими работы по структуре кристаллов, являются Acta Crystallographica и Zeitschrift für Kristallographie.

Таблица 1.2

Характеристики кристаллической структуры некоторых элементов

Элемент	Структура	Плотность, $\frac{г}{см^3}$ (при 20° С)	Постоянные решетки при комнатной температуре		Атомный объем, $\frac{см^3}{моль}$	Расстояние между ближайшими соседями
			a	c или угол с осью		
Алюминий . . .	г. ц. к.	2,70	4,04		9,09	2,86
Аргон	г. ц. к.		5,43 (20° К)			3,83
Барий	о. ц. к.	3,5	5,01		39	4,34
Бериллий . . .	гекс.	1,82	2,27	3,59	4,96	2,22
Бор	слож.	2,3			4,7	
Ванадий	о. ц. к.	6,0	3,03		8,5	2,63
Висмут	ромбоэдр	9,80	4,74	$\alpha = 57^\circ 41'$	21,3	3,10
Вольфрам . . .	о. ц. к.	19,3	3,16		9,53	2,73
Гадолиний . . .	гекс.	7,95	3,62	5,75	19,7	3,55
Гелий	гекс.		3,57 (2° К)	5,83		3,57
Германий	алмаза	5,36	5,65		13,5	2,44
Железо (α) . . .	о. ц. к.	7,87	2,86		7,1	2,48
Золото	г. ц. к.	19,32	4,07		10,2	2,88
Кадмий	гекс.	8,65	2,97	5,61	13,0	2,97
Калий	о. ц. к.	0,86	5,33		45	4,62
Кальций	г. ц. к.	1,55	5,56		25,9	3,93
Кобальт	гекс.	8,9	2,51	4,07	6,6	2,50
Кремний	алмаза	2,33	5,43		12,0	2,35
Ксенон	г. ц. к.		6,24 (92° К)			4,41
Лантан	г. ц. к.	6,15	5,29			3,73
Литий	о. ц. к.	0,53	3,50		13	3,03
Магний	гекс.	1,74	3,20	5,20	14,0	3,19
Марганец	слож.	7,43			7,39	2,24
Медь	г. ц. к.	8,96	3,61		7,09	2,55
Молибден	о. ц. к.	10,2	3,14		9,41	2,72
Натрий	о. ц. к.	0,97	4,28		24	3,71
Неон	г. ц. к.		4,52 (20° К)			3,20
Никель	г. ц. к.	8,90	3,52		10,8	2,85
Ниобий	о. ц. к.	8,57	3,29			
Олово (серое)	алмаза	5,75	6,46			
Палладий	г. ц. к.	12,0	3,88		8,89	2,74
Платина	г. ц. к.	21,45	3,92		9,10	2,77
Рубидий	о. ц. к.	1,53	5,62 (92° К)		55,9	4,87
Свинец	г. ц. к.	11,34	4,94		18,27	3,49
Серебро	г. ц. к.	10,49	4,08		10,28	2,88
Стронций	г. ц. к.	2,6	6,05		34	4,30
Таллий	гекс.	11,85	3,45	5,51	17,24	3,40
Тантал	о. ц. к.	16,6	3,30		10,9	2,85
Титан	гекс.	4,54	2,95	4,73	10,6	2,91
Углерод (алмаз)	алмаза	3,51	3,56			1,54
Уран	слож.	18,7			12,7	2,76
Хром	о. ц. к.	7,19	2,88		7,23	2,49
Цезий	о. ц. к.	1,9	6,05 (92° К)		70	5,24
Церий	г. ц. к.	6,9	5,14		20	3,64
Цинк	гекс.	7,13	2,66	4,94	9,17	2,66
Цирконий	о. ц. к.	6,5	3,61 (850° С)		14	3,16

В табл. 1.2 приведены для удобства сведения о кристаллических структурах ряда элементов и в том числе постоянные решетки при комнатной температуре.

В книге Юм-Розери [4] дана серия полезных таблиц по структуре кристаллов элементов, расположенных по группам периодической системы.

ЭМПИРИЧЕСКАЯ КЛАССИФИКАЦИЯ ТИПОВ СВЯЗИ В КРИСТАЛЛАХ

Полезно дать приближенную классификацию кристаллов на основе главных типов химической связи. Имеются твердые тела, для которых такая классификация невозможна или неразумна, однако для многих других можно приближенно количественно оценить доли различных типов связи в величине полной энергии связи. Основные типы связи приведены в табл. 1.3.

Таблица 1.3

Классификация типов кристаллов

Тип кристалла	Пример	Энергия связи *), ккал/моль	Характеристика свойств кристаллов данного типа
Ионный	NaCl LiF	180 240	Сильное инфракрасное поглощение, малая электропроводность при низких температурах; хорошая ионная проводимость при высоких температурах
С ковалентной связью	Алмаз SiC	~ 170 283	Высокая твердость, малая проводимость при низких температурах в случае чистых образцов
Металлический	Na Fe	26 94	Высокая электрическая проводимость
Молекулярный	Ar CH ₄	1,8 2,4	Низкая точка плавления, низкая точка кипения, сильная сжимаемость
С водородными связями	H ₂ O (лед) HF	12 7	Обнаруживают тенденцию к полимеризации (т. е. к образованию групп из многих молекул); энергия связи между молекулами больше, чем у аналогичных молекул без водородных связей

*) Энергия связи — энергия, необходимая для разъединения твердого тела на отдельные атомы, молекулы или же ионы (в зависимости от состава твердого тела). Энергия связи определяется для комнатной температуры, за исключением молекулярных кристаллов, для которых она берется для точки плавления. Заметим, что $1 \text{ эв/молекулу} = 23,05 \text{ ккал/моль}$.

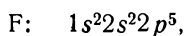
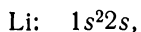
Статические силы, связывающие между собой атомы или молекулы в твердых телах, полностью электростатические по природе; роль магнитных взаимодействий весьма незначительна. Для энергии связи весьма существенны также кинетические эффекты, обусловленные квантовым характером движения атомных электронов. Вообще говоря, существенное различие между типами связи в кристаллах можно приписать качественным различиям в характере распределения электронов в атомах и молекулах.

В структурной композиции твердых тел наблюдается красивое и необыкновенное разнообразие. Примитивная простота структуры алмаза, галогенидов и одновалентных металлов резко усложняется в стеклах, волокне, пластмассах, интерметаллических соединениях, органических кристаллах, сложных силикатах геологических пород и, наконец, превращается в уже совершенно запутанный лабиринт в биологических субстанциях. Рентгеновская кристаллография достигла огромных успехов в расшифровке структур во всех участках этого своеобразного спектра. Однако физика твердого тела в настоящее время имеет дело в основном лишь с веществами, имеющими простые структуры и несложный характер связей. Сложность наблюдаемых явлений даже в простых структурах заставляет думать, что и их изучение и понимание будут весьма полезными.

Ионные кристаллы. В ионных кристаллах электроны переходят от атомов одного типа к атомам другого типа, так что кристалл состоит из положительных и отрицательных ионов. Ионы в кристалле располагаются так, что кулоновское притяжение между ионами противоположного знака сильнее, чем кулоновское отталкивание между ионами одного знака. Таким образом, *ионная связь* — это связь, обусловленная в основном электростатическим взаимодействием противоположно заряженных ионов. Структуры двух наиболее характерных ионных кристаллов — хлористого натрия и хлористого цезия — показаны на рис. 1.12.

Степень ионизации атомов, составляющих ионный кристалл, часто такова, что электронные оболочки всех ионов соответствуют электронным оболочкам, характерным для атомов инертных газов.

Согласно табл. 1.4 нейтральные атомы лития и фтора имеют следующую структуру электронной оболочки:



в то время как в кристалле фтористого лития однократно заряженные ионы имеют электронные конфигурации

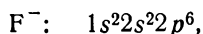
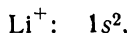


Таблица 1.4

Периодическая система элементов

приведены электронные конфигурации нейтральных атомов в основном состоянии; данные для редких земель и актинов являются не вполне достоверными)

1 H 1s	3 Li 2s	11 Na 2p ⁶ 3s	19 K 3p ⁴ 4s	37 Rb 4p ⁶ 5s	55 Cs 5p ⁶ 6s	87 Fr 6p ⁴ 7s
2 He 1s	4 Be 2s	12 Mg 2p ⁶ 3s	20 Ca 3p ⁴ 4s	38 Sr 4p ⁶ 5s	56 Ba 5p ⁶ 6s	88 Ra 6p ⁴ 7s
	5 B 2s ² 2p	13 Al 3s ² 3p	21 Sc 3d ⁴ 4s	39 Y 4d ⁵ 5s	57 La 5p ⁶ 5d ⁶ 6s	89 Ac 6d ⁷ 7s
	6 C 2s ² 2p ²	14 Si 3s ² 3p ²	22 Ti 3d ² 4s	40 Zr 4d ² 5s	58 Ce 4f ⁰ 6s	90 Th 6d ² 7s
	7 N 2s ² 2p ³	15 P 3s ² 3p ³	23 V 3d ³ 4s	41 Nb 4d ⁴ 5s	59 Pr 4f ³ 6s	91 Pa 5f ² 6d ⁷ 7s
	8 O 2s ² 2p ⁴	16 S 3s ² 3p ⁴	24 Cr 3d ⁴ 4s	42 Mo 4d ⁵ 5s	60 Nd 4f ⁴ 6s	92 U 5f ³ 6d ⁷ 7s
	9 F 2s ² 2p ⁵	17 Cl 3s ² 3p ⁵	25 Mn 3d ⁵ 4s	43 Tc 4d ⁵ 5s	61 Pm 4f ⁶ 6s	93 Np 5f ⁴ 7s
	10 Ne 2s ² 2p ⁶	18 Ar 3s ² 3p ⁶	26 Fe 3d ⁶ 4s	44 Ru 4d ⁷ 5s	62 Sm 4f ⁶ 6s	94 Pu 5f ⁴ 7s
			27 Co 3d ⁷ 4s	46 Rh 4d ⁸ 5s	63 Eu 4f ⁷ 6s	95 Am 5f ⁷ 7s
			28 Ni 3d ⁸ 4s	47 Ag 4d ¹⁰ 5s	64 Gd 4f ⁷ 5d ⁶ 6s	96 Cm 5f ⁶ 6d ⁷ 7s
			29 Cu 3d ¹⁰ 4s	48 Cd 4d ¹⁰ 5s	65 Tb 4f ⁹ 5d ⁶ 6s	97 Bk 5f ⁶ 6d ⁷ 7s
			30 Zn 3d ¹⁰ 4s	49 In 5s ² 5p	66 Dy 4f ¹⁰ 6s	98 Cf 5f ⁶ 6d ⁷ 7s
			31 Ga 4s ² 4p	50 Sn 5s ² 5p ²	67 Ho 4f ¹¹ 6s	
			32 Ge 4s ² 4p ²	51 Sb 5s ² 5p ³	68 Er 4f ¹² 6s	
			33 As 4s ² 4p ³	52 Te 5s ² 5p ⁴	69 Tm 4f ¹³ 6s	
			34 Se 4s ² 4p ⁴	53 I 5s ² 5p ⁵	70 Yb 4f ¹⁴ 6s	
			35 Br 4s ² 4p ⁵	54 Xe 5s ² 5p ⁶	71 Lu 4f ¹⁴ 5d ⁶ 6s	
			36 Kr 4s ² 4p ⁶		72 Hf 5d ² 6s	
					73 Ta 5d ³ 6s	
					74 W 5d ⁴ 6s	
					75 Re 5d ⁵ 6s	
					76 Os 5d ⁶ 6s	
					77 Ir 5d ⁷	
					78 Pt 5d ⁸ 6s	
					79 Au 5d ¹⁰ 6s	
					80 Hg 5d ¹⁰ 6s	
					81 Tl 6s ² 6p	
					82 Pb 6s ² 6p ²	
					83 Bi 6s ² 6p ³	
					84 Po 6s ² 6p ⁴	
					85 At 6s ² 6p ⁵	
					86 Rn 6s ² 6p ⁶	

характерные соответственно для атомов гелия и неона¹⁾. Атомы инертных газов имеют замкнутые электронные оболочки, и распределение заряда в них имеет сферическую симметрию. Поэтому можно ожидать, что распределение заряда каждого иона в ионном кристалле будет приближенно обладать сферической симметрией, которая несколько нарушается в области соприкосновения соседних атомов.

Когда мы говорим о ионных кристаллах, мы имеем в виду вещества типа фтористого лития или хлористого натрия. Эти вещества являются, пожалуй, одними из наиболее простых химических соединений, встречающихся в природе, и поэтому они были предметом многочисленных теоретических исследований, а их физические свойства изучены

¹⁾ Смысл обозначений, используемых для описания электронных конфигураций в атомах и ионах, объясняется во всех учебниках, посвященных основам атомной физики. Буквы *s*, *p*, *d* относятся к электронам с орбитальным моментом соответственно 0, 1, 2 ... (в единицах \hbar); цифра слева от этих букв означает главное квантовое число данной орбиты, верхний индекс справа от буквы — число электронов на данной орбите.

экспериментально в широком интервале температур. Схематически модель ионного кристалла можно представить следующим образом. Кристалл состоит из положительных и отрицательных ионов, электрические заряды которых кратны заряду электрона. Распределение заряда каждого иона обладает сферической симметрией, такой же, как у атомов благородных газов. Предполагается, что взаимодействие между ионами в первом приближении можно рассматривать как электростатическое взаимодействие между сферически распределенными зарядами.

Грубые оценки показывают, что мы, по-видимому, не ошибаемся, считая, что основная часть энергии сцепления в ионных кристаллах обусловлена кулоновским, т. е. электростатическим, взаимодействием. Расстояние между положительным и ближайшим отрицательным ионом в хлористом натрия равно $2,81 \cdot 10^{-8}$ см, поэтому потенциальная энергия, связанная с взаимным притяжением пары ионов,

$$\frac{e^2}{r_0} = \frac{(4,8 \cdot 10^{-10})^2}{2,8 \cdot 10^{-8}} = 8 \cdot 10^{-12} \text{ эрг},$$

т. е. составляет примерно 5 эв. Эту величину можно сопоставить с теплотой образования кристалла, рассматривая процесс образования состояния, в котором ионы разделены бесконечно далеко; это — известная величина: она равна 183 кал/моль, или 8 эв/молекулу. Значения 5 и 8 эв/молекулу — одного порядка величины. Этот результат является весьма обнадеживающим и подтверждается при более точных расчетах.

Кристаллы с ковалентной связью. Когда имеется ковалентная связь, мы представляем себе, что электрон каждого атома «курсирует» в области между двумя атомами, соединенными этой связью.

В случае ионной связи с хорошим приближением можно считать, что валентные электроны «привязаны» к определенным атомам. Принцип Паули в применении к ионам с заполненными электронными оболочками гарантирует нам низкую электронную плотность в той области между двумя ионами, где электронные оболочки соприкасаются. Ионы с заполненными оболочками вообще не образуют ковалентных связей. В случае ковалентной или гомополярной связи плотность заряда между двумя атомами может быть довольно большой, а валентные электроны в значительной степени являются «общими» для обоих атомов. Ковалентная связь является обычным типом химической связи электронных пар, часто встречающимся в химии органических соединений. Этот тип связи характеризуется высокой электронной плотностью в области между ионами, а также явно выраженным свойством направленности. Углеродная связь является хорошим примером этого свойства ковалентной связи. Атомы углерода часто предпочитают соединяться друг с другом или с другими

атомами так, что четыре их связи располагаются в пространстве вполне определенным симметричным образом, а именно так, что каждый атом углерода помещается в центре тетраэдра, образованного атомами, являющимися его ближайшими соседями. Алмаз и метан CH_4 являются типичными примерами веществ с тетрагональной ковалентной связью. Структура алмаза служит примером «просторной» в геометрическом смысле упаковки атомов в решетке, так как тетрагональный тип связи позволяет каждому атому иметь лишь четырех ближайших соседей, тогда как в структуре с плотной упаковкой таких ближайших соседей было бы двенадцать. Ковалентная связь образуется обычно двумя электронами, по одному от каждого из соединяющихся атомов. Спинны этих двух электронов антипараллельны. Атом углерода ($2s^2 2p^2$) обнаруживает тенденцию целиком заполнять электронную оболочку $2p^6$ за счет электронов четырех ближайших соседей.

Если кристаллы с ковалентным и ионным типами связи рассматривать как предельные случаи, то между ними имеется, по-видимому, непрерывный ряд кристаллов, обладающих промежуточными типами связи. Часто бывает важно оценить, в какой степени данная связь является ионной или ковалентной, однако иногда это оказывается трудно сделать сколько-нибудь уверенно. Например, NaF мы считаем ионным кристаллом, а InSb , видимо, в основном ковалентный, однако в настоящее время трудно сказать что-либо достоверное о природе связи, например в ZnS или PbS . Полинг на полуэмпирической основе построил шкалу электроотрицательности некоторых элементов (рис. 1.14). Электроотрицательность — это термин, применяемый в химии для описания способности какого-либо атома в молекуле «притягивать» к себе электроны.

Металлические кристаллы. Металлы характеризуются высокой электропроводностью, и поэтому следует думать, что часть электронов в металле должна быть свободной, чтобы иметь возможность перемещаться. Электроны, способные принимать участие в явлении проводимости, называются электронами проводимости. В некоторых металлах, таких, как щелочные, взаимодействие ионных остовов с электронами проводимости в основном и обуславливает энергию связи. Кристаллы щелочных металлов мы можем представить себе в виде правильно расположенных положительных ионов, погруженных в более или менее однородную отрицательную электронную «жидкость». В некоторых металлах, таких, например, как металлы переходной группы, можно предполагать наличие эффектов связи ковалентного типа, обусловленных незаполненностью внутренних оболочек. Элементы переходной группы имеют незаполненную d -оболочку и характеризуются большими энергиями связи.

Молекулярные кристаллы. Связь между атомами инертных газов и между насыщенными молекулами в твердой фазе осуществляется слабыми электростатическими силами, известными как *силы*

Ван-дер-Ваальса. Природа возникновения этих сил следующая. Даже в тех атомах или молекулах, электрический дипольный момент которых в среднем равен нулю, будет существовать некоторый флуктуирующий дипольный момент, связанный с мгновенными положениями электрона в атоме. Мгновенное электрическое поле, связанное с этим моментом, будет приводить к возникновению индуцированного дипольного момента в соседних атомах. В среднем взаимодействие

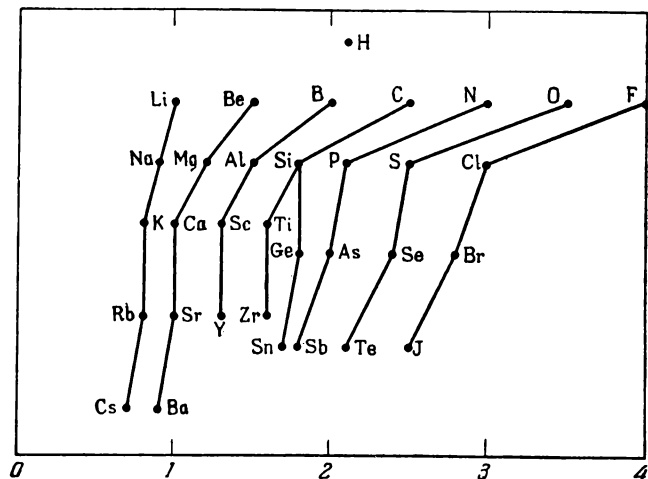


Рис. 1.14. Шкала электроотрицательности различных элементов, иллюстрирующая распределение этого свойства в периодической системе элементов. Значения электроотрицательности отложены по горизонтальной шкале. Каждая из поднимающихся ломаных относится к одному из столбцов периодической системы (из книги Полинга [5]).

дипольного момента исходного атома с индуцированными дипольными моментами соседних атомов приведет к появлению сил притяжения между атомами. Силы такого происхождения называют также *дисперсионными силами*. В большинстве органических кристаллов молекулы связаны между собой силами Ван-дер-Ваальса.

Молекулярные кристаллы характеризуются слабой связью — соответствующие вещества имеют низкую точку плавления и низкую точку кипения. Для структуры кристаллов таких веществ часто характерна плотная упаковка. Инертные газы, будучи превращены в твердое состояние, образуют кристаллы плотноупакованной кубической структуры.

Кристаллы с водородными связями. Поскольку нейтральный водород имеет только один электрон, он должен обладать одной

ковалентной связью, позволяющей ему вступать в соединения лишь с каким-либо одним атомом другого типа. Однако известно, что при некоторых условиях атом водорода может быть связан значительными силами притяжения одновременно с двумя атомами, образуя тем самым так называемую *водородную связь* между ними; энергия такой связи равна примерно 5 ккал/моль.

Считают, что водородная связь имеет в основном ионный характер, поскольку она возникает лишь между наиболее электроотрицательными атомами. Атом водорода отдает свой электрон одному из двух атомов молекулы, а получившийся протон образует водородную связь.

Малые размеры протона не позволяют ему иметь ближайшими соседями более чем два атома; атомы столь сильно сближены, что на таком коротком участке не могут поместиться более чем два атома. Таким образом, водородная связь осуществляется только между двумя атомами.

Водородная связь является важнейшей формой взаимодействия между молекулами H_2O и обуславливает вместе с электростатическим притяжением электрических дипольных моментов удивительные физические свойства воды и льда. Водородная связь ограничивает размеры белковых молекул и обуславливает их обычную наблюдаемую геометрическую структуру. Она играет также важную роль в таких явлениях, как, например, полимеризация фтористо-водородных соединений и муравьиной кислоты. Она существенна для объяснения свойств некоторых сегнетоэлектрических кристаллов, например, дигидрофосфата калия (KDP).

РАДИУСЫ ИОНОВ

Было установлено, что межатомные расстояния в галогенидах щелочных металлов приближенно можно считать аддитивными, иначе говоря, ионы можно рассматривать до известных пределов как твердые сферы. Расстояние, на котором ионы приходят в соприкосновение, является равновесным расстоянием между ионами. То обстоятельство, что представление о ионных радиусах является приближенно справедливым, является следствием очень сильной зависимости сил отталкивания от межионных расстояний.

Обрезание радиальных волновых функций в квантовомеханических расчетах показывает, что точным радиусам ионов, приводимым в таблицах, не следует придавать никакого абсолютного значения, но для многих целей величины типа тех, что приведены в табл. 1.5 и 1.7, могут оказаться полезными. При построении таблицы один из радиусов несколько произвольно должен быть принят за основной, поскольку в двухатомных структурах некоторое постоянное расстояние можно всегда добавить к радиусу катиона и одновременно вычесть

Таблица 1.5

Радиусы ионов в ионных кристаллах

Расстояние между ионами D для ионных кристаллов равно $D_N = R_C + R_A + \Delta_N$, где N — координационное число катиона, R_C и R_A — обычные радиусы катиона и аниона, Δ_N — поправка, зависящая от координационного числа. Приведенные данные относятся к комнатной температуре. Значения всех расстояний даны в ангстремах (неопубликованные данные Захариасена)

а. Зависимость Δ_N от координационного числа N					
N	$\Delta_N, \text{Å}$	N	$\Delta_N, \text{Å}$	N	$\Delta_N, \text{Å}$
1	—0,50	5	—0,05	9	+0,11
2	—0,31	6	0	10	+0,14
3	—0,19	7	+0,04	11	+0,17
4	—0,11	8	+0,08	12	+0,19

б. Обычные радиусы ионов, имеющих электронную оболочку типа электронной оболочки атомов инертных газов							
—2		O 1,46	S 1,90	Se 2,02	Te 2,22	Po 2,30	
—1		F 1,33	Cl 1,81	Br 1,96	I 2,19	At 2,27	
+1	Li 0,68	Na 0,98	K 1,33	Rb 1,48	Cs 1,67	Fr 1,75	
+2	Be 0,30	Mg 0,65	Ca 0,94	Sr 1,10	Ba 1,29	Ra 1,37	
+3	B 0,16	Al 0,45	Sc 0,68	Y 0,88	La 1,04	Ac 1,11	
+4		Si 0,38	Ti 0,60	Zr 0,77	Ce 0,92	Th 0,99	
+5				Nb 0,67		Pa 0,90	
+6						U 0,83	

в. Ионы актинидов							
	Ac	Th	Pa	U	Np	Pu	Am
+3	1,11	1,08	1,05	1,03	1,01	1,00	0,99
+4		0,99	0,96	0,93	0,92	0,90	0,89
+5			0,90	0,89	0,88	0,87	0,86
+6				0,83	0,82	0,81	0,80

из радиуса аниона, не изменяя наблюдаемого значения постоянной решетки. В эмпирических рассуждениях полезно радиус F^- принимать равным 1,33 Å, когда координационное число (число ближайших соседей) равно 6. Значения радиусов ионов, приведенные в табл. 1. 6, рассчитаны теоретически Полингом с помощью некоторых эмпири-

Таблица 1.6

Радиусы ионов в ионных кристаллах
(из книги Полинга [5])

			H^- 2,08	Li^+ 0,60	Be^{2+} 0,32	B^{3+} 0,20	C^{4+} 0,15	N^{5+} 0,11	O^{6+} 0,09	F^{7+} 0,07
C^{4-} 2,60	N^{3-} 1,71	O^{2-} 1,40	F^- 1,36	Na^+ 0,95	Mg^{2+} 0,65	Al^{3+} 0,50	Si^{4+} 0,41	P^{5+} 0,34	S^{6+} 0,29	Cl^{7+} 0,26
Si^{4-} 2,71	P^{3-} 2,12	S^{2-} 1,84	Cl^- 1,81	K^+ 1,33	Ca^{2+} 0,99	Se^{3+} 0,81	Ti^{4+} 0,68	V^{5+} 0,59	Cr^{6+} 0,52	Mn^{7+} 0,46
				Cu^+ 0,96	Zn^{2+} 0,74	Ga^{3+} 0,62	Ge^{4+} 0,53	As^{5+} 0,47	Se^{6+} 0,42	Br^{7+} 0,39
Ge^{4-} 2,72	As^{3-} 2,22	Se^{2-} 1,98	Br^- 1,95	Rb^+ 1,48	Sr^{2+} 1,13	Y^{3+} 0,93	Zr^{4+} 0,80	Nb^{5+} 0,70	Mo^{6+} 0,62	
				Ag^+ 1,26	Ca^{2+} 0,97	In^{3+} 0,81	Sn^{4+} 0,71	Sb^{5+} 0,62	Te^{6+} 0,56	I^{7+} 0,50
Sn^{4-} 2,94	Sb^{3-} 2,45	Te^{2-} 2,21	I^- 2,16	Cs^+ 1,69	Ba^{2+} 1,35	La^{3+} 1,15	Ce^{4+} 1,01			
				Au^+ 1,37	Hg^{2+} 1,10	Tl^{3+} 0,95	Pb^{4+} 0,84	Bi^{5+} 0,74		

ческих данных. Эмпирические значения радиусов для других ионов, основанные на значении радиуса O^- , равном 1,40 Å, приведены в табл. 1.7.

Таблица 1.7

Эмпирические значения радиусов некоторых ионов
(по Полингу)

NH_4^+ 1,48 Å	Mn^{2+} 0,80 Å	Ti^{3+} 0,69 Å
Tl^+ 1,44 Å	Fe^{2+} 0,75 Å	V^{3+} 0,66 Å
	Co^{2+} 0,72 Å	Cr^{3+} 0,64 Å
	Ni^{2+} 0,70 Å	Mn^{3+} 0,62 Å
		Fe^{3+} 0,60 Å

Трехвалентные ионы редкоземельных металлов имеют радиусы $0,90 \pm 0,05 \text{ Å}$.

В качестве примера использования таблиц рассмотрим хлористый натрий, связь в котором можно, по-видимому, считать в основном

ионной; в этом случае имеем: $D_6 = 0,98 + 1,81 = 2,79$, и, следовательно, $a = 5,58 \text{ \AA}$. Значение a , наблюдаемое при комнатной температуре, равно $5,63 \text{ \AA}$.

ЗАДАЧИ

1.1. Показать, что относительная доля объема, остающегося незанятым при заполнении пространства твердыми шарами в порядке, определяемом перечисленными ниже структурами, имеет следующие значения:

Структура	Остающийся объем
Простая кубическая	$\pi/6$ (= 0,52)
Объемноцентрированная кубическая	$\pi \sqrt{3}/8$ (= 0,68)
Гранецентрированная кубическая	$\pi \sqrt{2}/6$ (= 0,74)
Гексагональная плотная упаковка	$\pi \sqrt{2}/6$ (= 0,74)
Алмаза	$\pi \sqrt{3}/16$ (= 0,34)

Заметим, что Райсом [6] было экспериментально установлено следующее: объем, остающийся незаполненным при случайной упаковке шаров в некотором сосуде, на 15—20% больше, чем при расположении, соответствующем кубической или гексагональной плотным упаковкам.

За более детальным рассмотрением шаровых упаковок можно обратиться к работе Бурдейка [7], где, кроме того, имеется библиография работ по этому вопросу.

1.2. Показать, что отношение c/a для идеальной гексагональной структуры с плотной упаковкой равно $(8/3)^{1/2} = 1,633$. Сравнить этот результат с экспериментальными значениями отношения c/a для двенадцати металлов, обладающих указанной структурой.

1.3. Пусть твердые шары радиуса b , соприкасающиеся друг с другом, расположены в простой кубической, гранецентрированной и объемноцентрированной структурах. Найти радиус s наибольшей сферы, которая помещалась бы в наибольшем объеме пространства между шарами, для каждой из этих структур.

1.4. Описать и обсудить характеристики симметрии кристаллических структур ZnO , NiAs , TiO_2 и α -кварца.

1.5. Показать, что объемноцентрированная кубическая решетка может быть разделена на две простые кубические решетки A и B

так, что ни одна пара ближайших соседей исходной решетки не окажется в решетке A (и соответственно в решетке B). Показать также, что для соблюдения этого условия простая кубическая решетка должна разделиться на две гранецентрированные решетки, а гранецентрированная в свою очередь на четыре простые кубические решетки. Рассмотрение этого вопроса представляет интерес для теории антиферромагнетизма.

1.6. Показать, что в гранецентрированной кубической решетке среди соседних узлов всегда имеется группа из трех узлов, являющихся вершинами равностороннего треугольника.

1.7. Доказать, что в кубическом кристалле любое направление $[uvw]$ перпендикулярно к плоскости (uvw) с теми же значениями индексов Миллера.

ДИФРАКЦИЯ ВОЛН В КРИСТАЛЛАХ

Многие весьма интересные разделы физики твердого тела связаны с процессами распространения волн в кристаллической решетке. Волны могут быть электромагнитные (фотоны), упругие (фононы), спиновые (магноны), поляризационные (экситоны); сюда следует также включить волны, связанные с нейтронами и электронами. Наиболее существенными явлениями во всех вопросах, связанных с распространением волн в периодических решетках, представляются явления брэгговского отражения и явления, связанные с существованием запрещенных энергетических полос.

В настоящей главе будут изложены основы физики дифракции в решетках на примере дифракции рентгеновских лучей. Будет установлено, что при некоторых углах падения и некоторых длинах волн кристалл будет сильно отражать рентгеновские лучи. Это — эффект дифракции волн; его простейшее объяснение было дано Брэггом.

Закон Брэгга. Брэгг установил, что направления дифрагированных пучков, образующихся при облучении кристалла рентгеновскими лучами, можно определить на основе рассмотрения простой модели, согласно которой падающие рентгеновские лучи зеркально отражаются от различных атомных плоскостей кристалла. Дифрагированные пучки образуются лишь в тех случаях, когда лучи, отраженные от параллельных атомных плоскостей, заметно интерферируют. Схема, на основе которой Брэгг вывел свой закон, приведена на рис. 2. 1.

Рассмотрим в кристалле семейство параллельных, расположенных на равных расстояниях d , атомных плоскостей, частично отражающих излучение с длиной волны λ . Пусть падающий пучок лежит в плоскости чертежа. Разность хода для лучей, отраженных от соседних плоскостей, равна $2d \sin \theta$. Усиление излучения, отраженного от последующих плоскостей, будет происходить, когда разность хода будет кратна целому числу n длин волн. Условие наилучшего отражения будет иметь вид

$$2d \sin \theta = n\lambda, \quad (2.1)$$

Это и есть закон Брэгга. Ниже мы выведем его более строго, учитывая детально атомную природу кристалла. Следует подчеркнуть, что формула Брэгга является следствием основного свойства кристалла — периодичности его структуры — и не связана ни с химическим составом кристалла, ни с расположением атомов в отражающих плоскостях. Эти последние факторы, как мы увидим позднее, оказывают влияние на величину интенсивности дифрагированного излучения и важны для определения относительной интенсивности дифракционных максимумов различных порядков (n).

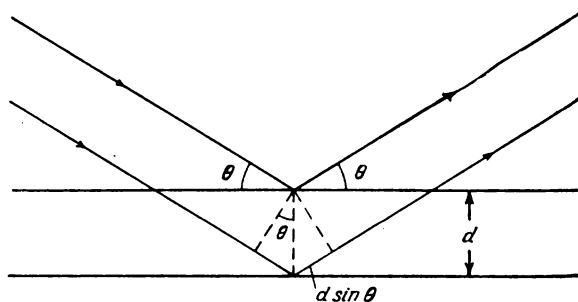


Рис. 2.1. К выводу формулы Брэгга: $2d \sin \theta = n\lambda$, где d — расстояние между атомными плоскостями; $2\pi n$ — разность фаз между отражениями от последующих плоскостей.

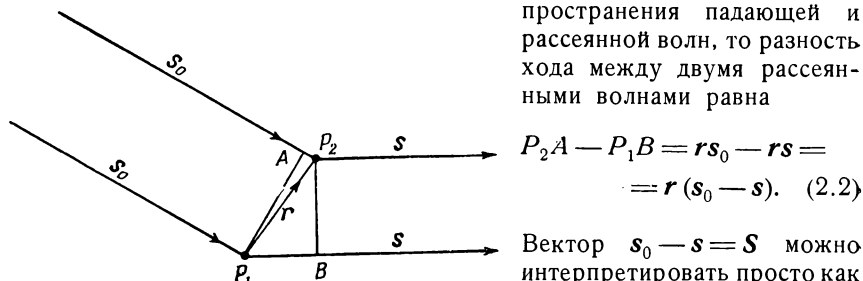
Одним из важных следствий формулы (2.1) является условие $\lambda \leq 2d$; лишь при выполнении этого условия имеет место брэгговское отражение.

Чтобы составить представление о величинах углов дифракции, рассмотрим излучение $\text{Cu K}\alpha_1$, падающее на кубический кристалл с постоянной решетки $4,00 \text{ \AA}$. Длина волны, соответствующая линии $\text{Cu K}\alpha_1$, равна $1,54 \text{ \AA}$. В первом порядке ($n=1$) отражение от плоскости (100) будет иметь место при $\theta = \arcsin(1,54/8,00) = 11,1^\circ$. При уменьшении длины волны угол уменьшается, так что, например для гамма-лучей, необходимо пользоваться скользящими пучками.

Дифракционные уравнения Лауэ. Уравнения Лауэ мы выведем при помощи простой статической атомной модели кристаллической структуры. Эти уравнения хорошо описывают условия образования дифрагированного пучка. Мы покажем также, что формула Брэгга (2.1) является прямым следствием уравнений Лауэ.

Мы будем считать, что рентген-дифракционная картина образуется идентичными центрами рассеяния, расположенными в узлах пространственной решетки. Сначала рассмотрим рассеяние на двух точках решетки P_1 и P_2 , находящихся на расстоянии r (рис. 2. 2).

Обозначим единичный вектор нормали к фронту падающей волны через s_0 ; соответствующий вектор рассеянной волны — через s . Найдем разность фаз лучей, рассеянных узлами P_1 и P_2 , в некоторой удаленной точке. Если P_2A и P_2B — проекции r на направления распространения падающей и рассеянной волн, то разность хода между двумя рассеянными волнами равна



$$P_2A - P_2B = rs_0 - rs = \\ = r(s_0 - s). \quad (2.2)$$

Рис. 2.2. К вычислению разности фаз волн, рассеянных двумя точками решетки.

Вектор $s_0 - s = S$ можно интерпретировать просто как направление нормали к плоскости, которая зеркально отражает падающую волну,

причем вектор отраженной волны совпадает с вектором рассеянной волны (рис. 2.3). Введение такой плоскости представляет известные математические удобства; ее можно назвать плоскостью отражения. Если угол между s и s_0 составляет 2θ , то угол θ можно считать

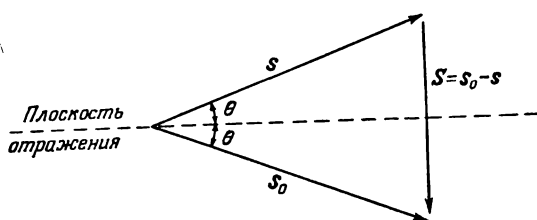


Рис. 2.3. Построение нормали к плоскости отражения.

углом падения и из рис. 2.3 можно сразу видеть, что $|S| = 2 \sin \theta$, поскольку s и s_0 — единичные векторы. Разность фаз φ равна произведению $2\pi/\lambda$ на разность хода между волнами, рассеянными двумя точками решетки. Следовательно, когда разность хода кратна длине волны λ , разность фаз равна 2π . Итак, имеем

$$\varphi = \frac{2\pi}{\lambda} (rS). \quad (2.3)$$

Амплитуда рассеянной волны максимальна в том направлении, для которого вклад от каждого узла решетки отличается по фазе на величину, кратную 2π . При этом условии амплитуды отдельных рассеянных волн складываются, и интенсивность дифракционного пучка будет максимальной.

Пусть \mathbf{a} , \mathbf{b} и \mathbf{c} — векторы основных трансляций; для дифракционного максимума должны иметь место условия

$$\left. \begin{aligned} \varphi_a &= \frac{2\pi}{\lambda} (\mathbf{aS}) = 2\pi h, \\ \varphi_b &= \frac{2\pi}{\lambda} (\mathbf{bS}) = 2\pi k, \\ \varphi_c &= \frac{2\pi}{\lambda} (\mathbf{cS}) = 2\pi l, \end{aligned} \right\} \quad (2.4)$$

где h , k , l — целые числа. Если через α , β и γ обозначить направляющие косинусы вектора \mathbf{S} по отношению к осям \mathbf{a} , \mathbf{b} и \mathbf{c} , то

$$\left. \begin{aligned} \mathbf{aS} &= 2a\alpha \sin \theta = h\lambda, \\ \mathbf{bS} &= 2b\beta \sin \theta = k\lambda, \\ \mathbf{cS} &= 2c\gamma \sin \theta = l\lambda. \end{aligned} \right\} \quad (2.5)$$

Это и есть уравнения Лауэ. Они имеют решения только для некоторых значений угла θ и длин волн λ .

Уравнения Лауэ (2.5) имеют простую геометрическую интерпретацию, которую читатель может найти без особого труда. Напомним, что α , β и γ — направляющие косинусы вектора \mathbf{S} относительно базисных векторов \mathbf{a} , \mathbf{b} , \mathbf{c} , а сам вектор \mathbf{S} служит нормалью к плоскости отражения. Из уравнений Лауэ следует, что в направлении дифракционного максимума направляющие косинусы пропорциональны соответственно h/a , k/b , l/c . Последующие плоскости решетки (hkl) отсекают на осях отрезки на расстояниях, равных a/h , b/k , c/l , согласно определению индексов Миллера, введенных в гл. 1. Поэтому, в соответствии с элементарной геометрией, направляющие косинусы нормали к плоскости (hkl) пропорциональны h/a , k/b , l/c . Следовательно, плоскости (hkl) в решетке должны быть параллельны плоскости отражения, и дифракционные максимумы имеют место, когда направление рассеяния может быть получено как направление отражения падающей волны от плоскости решетки как плоскости отражения.

Если $d(hkl)$ — расстояние между двумя соседними плоскостями семейства (hkl), то можно написать

$$d(hkl) = \frac{a\alpha}{h} = \frac{b\beta}{k} = \frac{c\gamma}{l}. \quad (2.6)$$

Тогда из (2.5) следует, что

$$2 d(hkl) \sin \theta = \lambda. \quad (2.7)$$

Целые числа h , k , l , фигурирующие в уравнениях Лауэ, не следует идентифицировать с индексами Миллера для реальной плоскости кристалла, так как h , k , l могут содержать целый общий

множитель n , тогда как в индексах Миллера этот общий множитель сокращается. Итак, можно написать

$$2d \sin \theta = n\lambda. \quad (2.8)$$

Здесь d — расстояние между соседними плоскостями, для которых индексы Миллера равны h/n , k/n , l/n . Полученное соотношение (2.8) — не что иное, как *формула Брэгга* (2.1), которая получена нами из уравнений Лауэ. Целое число n называется порядком отражения.

Соотношение (2.7) можно интерпретировать, придавая более общий смысл расстоянию $d(hkl)$, а именно, считая, что h , k , l содержат общий множитель n ; дифрагировавшую волну, действительно образовавшуюся при отражении n -го порядка от истинной плоскости решетки, можно мысленно рассматривать как образовавшуюся при отражении первого порядка от системы плоскостей, параллельных истинной плоскости, но с межплоскостными расстояниями $d(hkl)$, равными $1/n$ истинного межплоскостного расстояния.

Условия интерференции удобно рассматривать, пользуясь математическим преобразованием, известным под названием обратной решетки. Этот метод изложен ниже.

Условия интерференции и обратная решетка. Условия дифракции пучка рентгеновских лучей в кристалле можно в весьма изящной форме записать, воспользовавшись представлением об обратной решетке. Представление об обратной решетке очень широко используется в рентгеновской кристаллографии и в квантовой теории металлов. Пусть \mathbf{a} , \mathbf{b} , \mathbf{c} — векторы основных трансляций кристаллической решетки. Основные трансляции в обратной решетке мы определим соотношениями

$$\begin{aligned} \mathbf{a}^* \mathbf{a} &= \mathbf{b}^* \mathbf{b} = \mathbf{c}^* \mathbf{c} = 1, \\ \mathbf{a}^* \mathbf{b} &= \mathbf{a}^* \mathbf{c} = \mathbf{b}^* \mathbf{c} = \mathbf{b}^* \mathbf{a} = \mathbf{c}^* \mathbf{a} = \mathbf{c}^* \mathbf{b} = 0. \end{aligned} \quad (2.9)$$

Соотношения (2.9) определяют величины и направления векторов \mathbf{a}^* , \mathbf{b}^* , \mathbf{c}^* . Направления этих векторов таковы, что, например, вектор \mathbf{a}^* перпендикулярен к плоскости векторов \mathbf{b} и \mathbf{c} , и выражение для него можно записать в виде

$$\mathbf{a}^* = \frac{\mathbf{b} \times \mathbf{c}}{\mathbf{a} [\mathbf{b} \times \mathbf{c}]}. \quad (2.10)$$

Аналогичные соотношения имеют место и для других векторов (\mathbf{b}^* и \mathbf{c}^*). Обратная решетка по отношению к исходной кристаллической решетке ориентирована вполне определенным образом.

Свойства обратной решетки, которые определяют ее значение для описания проблем дифракции, следующие:

1. Вектор $\mathbf{r}^*(hkl)$ из начала координат в точку (h, k, l) обратной решетки перпендикулярен к плоскости (hkl) решетки кристалла.

2. Длина вектора $\mathbf{r}^*(hkl)$ равна обратной величине расстояния между плоскостями (hkl) решетки кристалла.

Для доказательства первого утверждения прежде всего заметим, что $(\mathbf{a}/h) - (\mathbf{b}/k)$ есть вектор в плоскости (hkl) . Тогда

$$\mathbf{r}^*(hkl) \left(\frac{\mathbf{a}}{h} - \frac{\mathbf{b}}{k} \right) = (h\mathbf{a}^* + k\mathbf{b}^* + l\mathbf{c}^*) \left(\frac{\mathbf{a}}{h} - \frac{\mathbf{b}}{k} \right) = 0.$$

Аналогичные рассуждения можно применить и ко второму вектору той же плоскости, скажем, $(\mathbf{a}/h) - (\mathbf{c}/l)$. Таким образом, первое утверждение доказано. Далее, если \mathbf{n} — единичный вектор нормали к плоскости (hkl) , то $a\mathbf{n}/h$ — межплоскостное расстояние, и поскольку $\mathbf{n} = \mathbf{r}^*/|\mathbf{r}^*|$, то, имея в виду (2.9), получим

$$d(hkl) = \frac{na}{h} = \frac{\mathbf{r}^* \mathbf{a}}{h |\mathbf{r}^*|} = \frac{1}{|\mathbf{r}^*|}. \quad (2.11)$$

Этот результат служит доказательством второго утверждения.

Формулу Брэгга удобно записать в виде

$$2 d(hkl) \sin \theta = \lambda.$$

Если h, k, l содержат общий множитель n , то дифрагированный пучок можно рассматривать либо как отражение n -го порядка от плоскостей решетки с ее истинными межплоскостными расстояниями, либо как отражение первого порядка от системы плоскостей решетки, параллельных истинным, но с межплоскостными расстояниями $d(hkl)$, в n раз меньшими истинных. Вектор обратной решетки $\mathbf{r}^*(hkl)$ будет иметь то же направление, но его длина будет в n раз больше, чем соответствующего вектора истинных плоскостей кристалла. Иначе говоря, n -й узел обратной решетки (в ряду узлов, считая от начала) отвечает отражению n -го порядка от соответствующих плоскостей кристалла. Каждый узел обратной решетки отвечает возможному отражению от соответствующих плоскостей решетки кристалла.

Исходя из представления об обратной решетке, формуле Брэгга можно дать простое геометрическое толкование. На схеме, приведенной на рис. 2.4, показан вектор AO , совпадающий по направлению с падающей волной, длина которого равна $1/\lambda$; конец этого вектора совпадает с началом координат обратной решетки.

Следуя Эвальду, изобразим сферу с центром в точке A , радиус которой равен $1/\lambda$. Тогда возможные направления дифракции падающей волны будут определяться пересечениями сферы с узлами обратной решетки. Таким образом, направление AB соответствует дифракционному максимуму (здесь B — точка обратной решетки).

Для доказательства заметим, что OB есть нормаль к одной из плоскостей решетки (hkl) , причем длина OB равна $1/d(hkl)$, а также и $(2/\lambda) \sin \theta$, где θ — угол между плоскостью из семейства (hkl)

и направлением падающей (и отраженной) волн. Следовательно,

$$2d(hkl)\sin\theta = \lambda,$$

а это как раз и есть формула Брэгга.

Этот результат можно записать в векторной форме. Если \mathbf{G} есть умноженный на 2π вектор обратной решетки, а \mathbf{k} — волновой

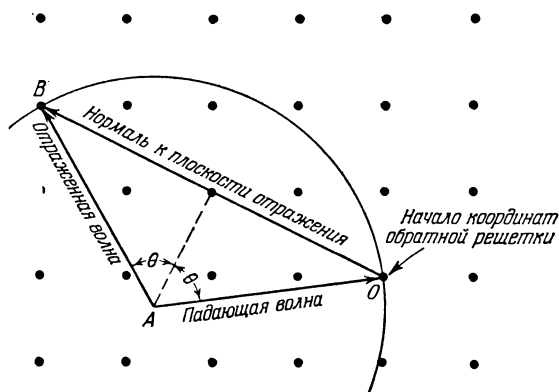


Рис. 2.4. Построение Эвальда в обратной решетке.

вектор падающего пучка рентгеновского излучения ($|\mathbf{k}| = 2\pi/\lambda$), то условие брэгговского отражения согласно схеме Эвальда (рис. 2.4) будет иметь вид

$$(\mathbf{k} + \mathbf{G})^2 = k^2$$

или

$$2\mathbf{k}\mathbf{G} + G^2 = 0. \quad (2.12)$$

Условие (2.12) нам еще встретится в последующих главах в связи с вопросом о зонах Бриллюэна.

Атомный фактор рассеяния. Интенсивность данной дифрагированной волны зависит от целого ряда факторов. Одним из них является атомный фактор рассеяния, который описывает интерференционные эффекты внутри рассеивающего атома, обусловленные тем, что по сравнению с длиной волны рассеиваемого излучения атом имеет конечные размеры. Ниже мы дадим приближенный классический расчет величины когерентного атомного фактора рассеяния.

Выберем координатную систему, как показано на рис. 2.5. Нормали к фронту падающей и отраженной волн образуют равные углы с вертикальной осью, соответствующей брэгговскому отражению от горизонтальной плоскости под углом θ . Разность фаз между излучением, рассеянным некоторым зарядом в точке (r, φ) и тем же

зарядом, который мы представим себе расположенным в центре атома согласно формуле (2.3), равна

$$\varphi = \frac{2\pi}{\lambda} (rS).$$

Тогда отношение амплитуды волны, рассеянной отдельным электроном в реальном атоме, к амплитуде волны, рассеянной электроном, который мы представим себе расположенным в центре атома, по принципу суперпозиции равно

$$f = \int \rho(r) e^{i(2\pi/\lambda)(rS)} d\tau, \quad (2.13)$$

где $\rho(r) d\tau$ — вероятность того, что электрон в точке r находится в элементе объема $d\tau$.

Если вектор r расположен под углом φ к вектору S' , то

$$\begin{aligned} \frac{2\pi}{\lambda} (Sr) &= \frac{4\pi}{\lambda} \sin \theta r \cos \varphi = \\ &= \mu r \cos \varphi, \end{aligned}$$

где $\mu = (n\pi/\lambda) \sin \theta$. Если распределение плотности заряда обладает сферической симметрией, то

$$f = \int \rho(r) e^{i\mu r \cos \varphi} 2\pi r^2 \sin \varphi dr d\varphi = \int_0^\infty 4\pi r^2 \rho(r) \frac{\sin \mu r}{\mu r} dr.$$

Рассматривая $U(r) dr = 4\pi r^2 \rho(r) dr$ как вероятность того, что электрон находится в слое между r и $r + dr$, получим

$$f = \int_0^\infty U(r) \frac{\sin \mu r}{\mu r} dr. \quad (2.14)$$

Величина f как раз и есть *атомный фактор рассеяния*. Это — отношение амплитуды волны, рассеянной зарядом, распределенным в атоме, к амплитуде волны, которая получилась бы при рассеянии на точечном электроне. При $\theta = 0$ атомный фактор f всегда равен числу атомных электронов Z .

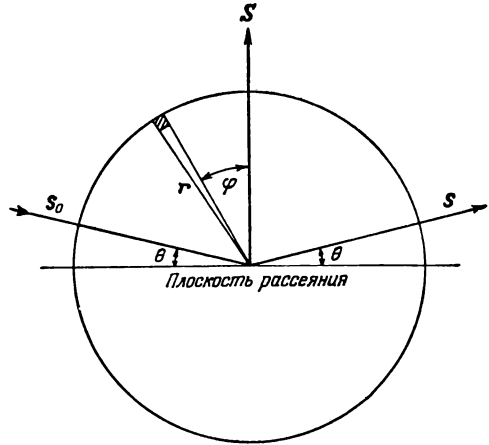


Рис. 2.5. К расчету атомного фактора рассеяния f . Вектор S является нормалью к плоскости рассеяния.

Структурный фактор. Уравнения Лауэ и формула Брэгга определяют отражения (hkl) , возможные для данной кристаллической решетки, но не позволяют сделать какие-либо заключения о величине относительных интенсивностей различных отражений, которые зависят от характеристик элементарной ячейки, т. е. от типа ячейки, от числа и расположения атомов в ней. Теперь мы должны определить амплитуду волны, рассеянной в данном направлении всеми атомами элементарной ячейки. *Структурную амплитуду* $|F(hkl)|$ для данного отражения hkl мы определим как отношение амплитуды отраженной волны к амплитуде волны, рассеянной точечным электроном, при той же длине волны. Выражение для $F(hkl)$ имеет вид

$$F(hkl) = \sum_i f_i e^{i\varphi_i} = \sum_i f_i e^{i(2\pi/\lambda)(\mathbf{r}_i \cdot \mathbf{S})}, \quad (2.15)$$

где суммы берутся по всем атомам элементарной ячейки, φ_i — фаза волны, рассеянной атомом с номером i , \mathbf{r}_i — вектор, проведенный из начала координат в точку, где находится атом с номером i ; f_i — атомный фактор рассеяния атома i . Вектор \mathbf{r}_i имеет координаты u_i, v_i, w_i :

$$\mathbf{r}_i = u_i \mathbf{a} + v_i \mathbf{b} + w_i \mathbf{c}. \quad (2.16)$$

Согласно уравнениям Лауэ

$$(\mathbf{r}_i \cdot \mathbf{S}) = \lambda(hu_i + kv_i + lw_i), \quad (2.17)$$

следовательно,

$$F(hkl) = \sum_i f_i e^{i2\pi(hv_i + kv_i + lw_i)} \quad (2.18)$$

и

$$|F|^2 = [\sum f_i \cos 2\pi(hu_i + kv_i + lw_i)]^2 + [\sum f_i \sin 2\pi(hu_i + kv_i + lw_i)]^2. \quad (2.19)$$

Если все атомы данной ячейки одинаковы, то из (2.18) следует, что

$$F(hkl) = f\mathcal{S}.$$

Величина \mathcal{S} называется структурным фактором и определяется соотношением

$$\mathcal{S} = \sum e^{i2\pi(hu_i + kv_i + lw_i)}. \quad (2.20)$$

В случае объемноцентрированной кубической решетки, состоящей из одинаковых атомов, элементарная ячейка содержит два атома в точках 000 и $1/2 \ 1/2 \ 1/2$. В этом случае структурный фактор

$$\mathcal{S} = 1 + e^{i\pi(h+k+l)}. \quad (2.21)$$

Если сумма $h + k + l$ дает нечетное число, то $S = 0$, и интенсивности спектров всех порядков для отражений (hkl) , удовлетворяющих этому условию, равны нулю. Рассмотрим, например, металлический натрий, который имеет объемноцентрированную кубическую решетку. Его дифракционный спектр не содержит линий, соответствующих отражениям (100) , (300) , (111) или (221) , однако имеются линии, соответствующие, например, отражениям (200) , (110) (222) (указанные плоскости относятся к кубической элементарной ячейке). Для каждой из возможных пространственных групп имеются свои характерные плоскости, отражения от которых отсутствуют, и это обстоятельство позволяет определять пространственную группу того или иного кристалла.

Эти результаты имеют простую физическую интерпретацию. В частности, плоскость отражения (100) в случае объемноцентрированной кубической решетки отсутствует. Плоскость (100) как плоскость отражения обычно появляется, когда отражения от первой и третьей плоскостей (рис. 2.6) различаются по фазе на 2π . Однако

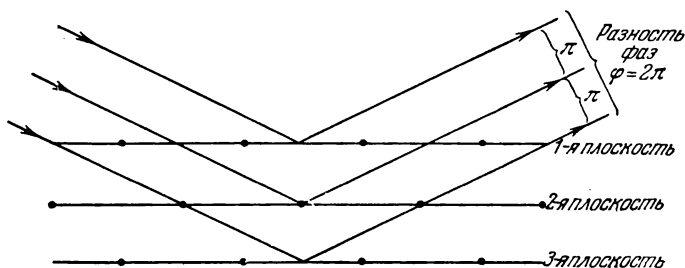


Рис. 2.6. Схема, поясняющая отсутствие отражения от плоскости (100) в объемноцентрированной кубической решетке.

в объемноцентрированной решетке имеется добавочная атомная плоскость, указанная на рис. 2.6 как вторая; эта плоскость по рассеивающей способности такова же, как и другие плоскости, расположена между ними и дает отраженную волну, отличающуюся по фазе на π . Вследствие этого она гасит вклад соседней плоскости. Гашение отражений от плоскости (100) имеет место только в тех случаях, когда различные плоскости имеют одинаковый атомный состав; так, например, в структуре CsCl (рис. 1.12, б) гашения не будет, так как плоскости из атомов Cs и Cl различной природы.

В приведенном выше рассмотрении предполагалось, что размеры кристалла достаточно велики и что решетка является идеальной. Следует иметь в виду, что в реальных кристаллах на величину структурных факторов может сильно влиять тепловое движение и мозаичность или блочность структуры.

ЭКСПЕРИМЕНТАЛЬНЫЕ МЕТОДЫ ИССЛЕДОВАНИЯ СТРУКТУРЫ, ОСНОВАННЫЕ НА ДИФРАКЦИИ РЕНТГЕНОВСКИХ ЛУЧЕЙ

Закон Брэгга

$$2d \sin \theta = n\lambda,$$

описывающий дифракцию рентгеновских лучей, требует, чтобы значения θ и λ соответствовали друг другу, т. е. рентгеновские лучи с длиной волны λ , падающие на кристалл под произвольным углом, отражаться, вообще говоря, не будут. Чтобы установить область применимости закона Брэгга, необходимо его экспериментально проверить для широкого интервала значений θ и λ . Это было сделано. Были разработаны и доведены до высокой степени совершенства стандартные методы структурного анализа кристаллов, основанные на использовании явления дифракции.

Метод Лауэ. Монокристалл неподвижно укрепляется в держателе и на него направляется пучок рентгеновских лучей с длинами волн, распределенными непрерывно в каком-то интервале значений (непрерывный спектр). Дифракция имеет место только для некоторых дискретных значений λ , для которых расстояние d между плоскостями кристалла и угол падения θ удовлетворяют закону Брэгга.

Метод вращения кристалла. Монокристалл вращается вокруг какой-то фиксированной оси в монохроматическом пучке рентгеновских лучей. При вращении изменение угла θ приводит к тому, что атомные плоскости кристалла последовательно занимают положения, при которых может иметь место отражение.

Порошковый метод (метод Дебая — Шерера — Хэлла). Порошковый образец кристаллического материала помещается в некотором фиксированном положении в монохроматическом пучке рентгеновских лучей. Среди кристалликов порошкового образца найдутся такие, ориентация которых по отношению к направлению пучка такова, что угол падения удовлетворяет закону Брэгга.

Применяются все три метода, иногда с модификациями, обусловленными конкретными особенностями исследуемого вопроса. Метод Лауэ удобен для быстрого определения ориентации кристаллографических направлений и симметрии, а также для изучения размеров искажений и дефектов, возникающих в кристалле при механической или термической обработке. Метод вращения является основным методом определения структуры, когда образец монокристаллический. Порошковый метод удобен в прикладных задачах, например, в металлургии, поскольку отпадает необходимость иметь монокристаллы. Описание основных особенностей каждого метода дается ниже.

Метод Лауэ. Схема камеры Лауэ показана на рис. 2.7. Используется источник, испускающий пучок рентгеновских лучей с непрерывным спектром в широком интервале длин волн (от 0,2 до 2 Å).

Диафрагменное устройство позволяет получить хорошо коллимированный пучок. Размеры монокристаллического образца могут не превышать 1 мм. Плоская фотопленка, регистрирующая дифракционную картину, располагается так, что на нее попадают либо проходящие, либо отраженные дифрагированные пучки. Дифракционная картина состоит из серии пятен. Пример дифракционной картины, полученной от кристалла кремния, показан на рис. 2.8.

Каждая отражающая плоскость кристалла отбирает из падающего пучка те длины волн, которые удовлетворяют формуле Брэгга

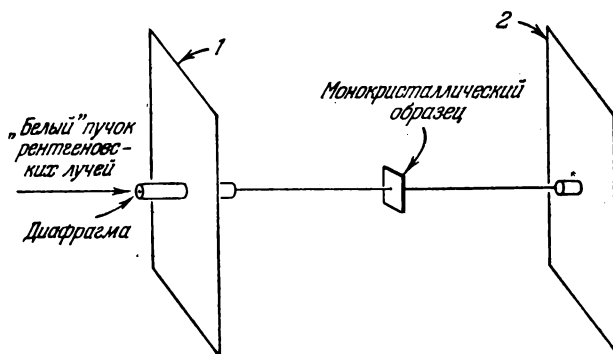


Рис. 2.7. Камера, используемая в методе Лауэ.

1 — Пленка для регистрации обратного дифракционного изображения; 2 — пленка для регистрации прямого дифракционного изображения.

$2d \sin \theta = n\lambda$. Распределение дифракционных пятен должно характеризовать симметрию кристалла в той ориентации, которая использовалась при получении лауэграммы. Например, если мы имели кубический кристалл, ориентированный так, что его пространственная диагональ, т. е. направление $[111]$, параллельна пучку, то симметрия в расположении пятен лауэграммы будет обнаруживать ось третьего порядка, характерную для оси $[111]$. Это делает метод Лауэ особенно удобным для определения ориентации кристаллографических осей в кристалле в различных опытах, ставящихся при изучении свойств твердых тел.

Однако использование метода Лауэ в качестве способа определения кристаллической структуры имеет ряд недостатков. Дело в том, что из-за широкого интервала длин волн от одной и той же атомной плоскости могут давать отражение несколько длин волн, но в различных порядках, и отдельные пятна на лауэграмме окажутся, возможно, результатом суперпозиции отражений различных порядков. Это обстоятельство искажает характер распределения интенсивностей пятен и затрудняет расшифровку лауэграмм.

Метод вращения кристалла. Схема простой камеры, используемой в методе вращения кристалла, показана на рис. 2.9. Фотопленка располагается на внутренней поверхности неподвижной цилиндрической камеры; на концентрически расположенном вращающемся стержне укрепляется монокристаллический образец. Размеры образца обычно

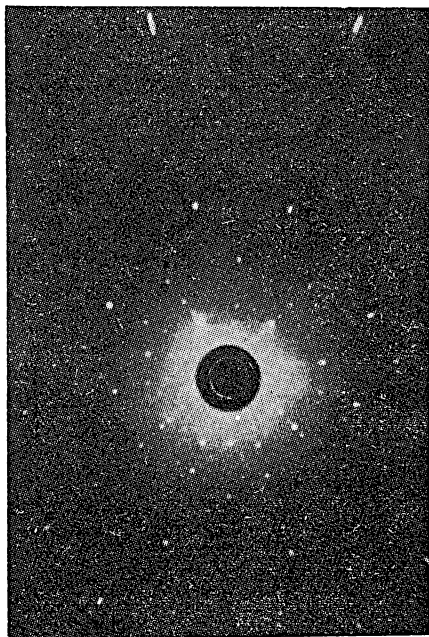


Рис. 2.8. Лауэграмма кристалла кремния.

Кристалл был ориентирован так, что ось $[100]$ в нем приблизительно совпадала с направлением падающего пучка.

меньше 1 мм. Падающий пучок монохроматических рентгеновских лучей испытывает дифракцию на данной системе атомных плоскостей кристалла с межплоскостным расстоянием d всякий раз, когда в ходе вращения кристалла появляются значения θ , удовлетворяющие уравнению Брэгга. В частности, все атомные плоскости, параллельные оси вращения, будут давать отражения в горизонтальной плоскости. Плоскости с другими ориентациями будут давать отражения, расположенные выше или ниже горизонтальной плоскости.

В практике рентгеноструктурного анализа используется несколько модификаций метода вращения кристалла. Например, в *методе колебаний* кристалл, вместо того чтобы вращать на 360° , «покачивают» или поворачивают в обе стороны в ограниченном интервале углов. В этом случае

фотографии дифракционных картин называют рентгенограммами колебаний. Преимущество этого метода состоит в том, что в силу ограниченности угла колебаний понижается число возможных перекрывающихся отражений. В рентгенонометрических методах, в частности в *схеме Вейсенберга*, пленка перемещается синхронно с вращением кристалла. Этим путем обеспечивается исключение перекрытия отражений, а также облегчается аналитическая обработка результатов. Читателю, интересующемуся деталями методов, в которых используется движущаяся пленка, следует обратиться к книге Бургера [2]. Упомянем также о *спектрометре Брэгга*, где вместо пленки для регистрации дифрагированных пучков исполь-

зуется ионизационная камера. Этот метод весьма удобен для абсолютных измерений интенсивности.

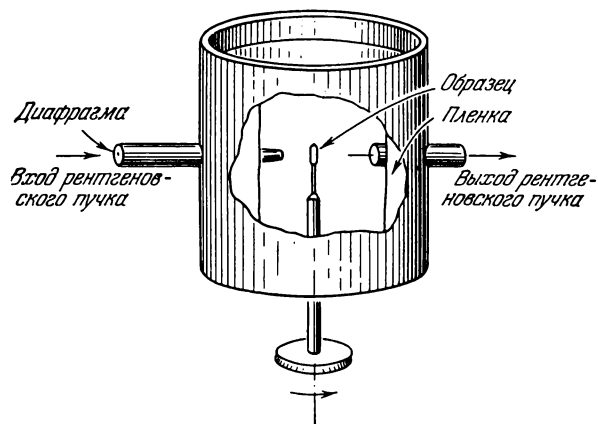


Рис. 2.9. Камера, используемая в методе вращения кристалла [1].

Порошковый метод. Схема порошкового метода показана на рис. 2.10. Пучок монохроматических рентгеновских лучей падает на заключенный в тонкостенную трубку образец из спрессованного

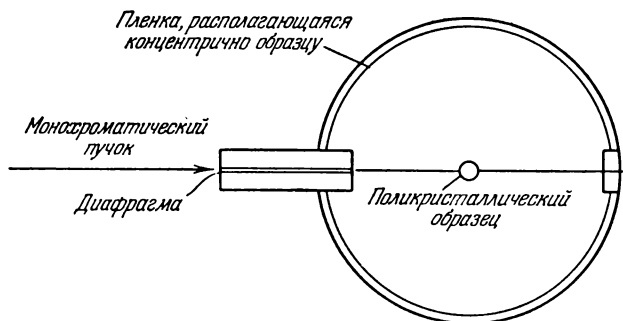


Рис. 2.10. Схема устройства камеры, используемой в порошковом методе.

мелкого порошка или из мелкозернистого поликристаллического материала. Падающий луч отражается от тех кристалликов, которые по отношению к направлению падающего пучка ориентированы так, что соответствующий угол θ удовлетворяет условию Брэгга. Пример порошковой рентгенограммы приведен на рис. 2.11. Отраженные

лучи покидают образец вдоль образующих конуса, ось которого совпадает с направлением первичного пучка, а угол между образующей конуса и осью равен 2θ , где θ — угол Брэгга. Эти конусы пересекают пленку, давая серию концентрических колец.



Рис. 2.11. Порошковая рентгенограмма (дебаеграмма), полученная на кристаллах ZnO .

Одним из важнейших применений порошкового метода является изучение с его помощью фазовых диаграмм сплавов. Имеются специальные камеры, позволяющие получать рентгенограммы при высоких температурах — до 1000°C и более.

ЗАДАЧИ

2.1. Показать, что кратчайшее расстояние d между соседними плоскостями семейства (hkl) в простой кубической решетке с постоянной решетки, равной a , выражается формулой

$$d(hkl) = \frac{a}{(h^2 + k^2 + l^2)^{1/2}}.$$

Указание. Если одна из плоскостей семейства проходит через начало координат, то уравнение ближайшей к ней плоскости имеет вид

$$xh + yk + zl = a.$$

2.2. Нарисуйте схему эксперимента для определения структуры монокристаллического образца NaCl методом вращения кристалла. Оцените напряжение на трубке, выберите материал антикатада, определите расстояния между различными частями устройства, между пятнами на рентгенограмме и другие экспериментальные факторы, связанные с поставленной задачей.

2.3. Показать, что решетка, обратная кубической объемноцентрированной, будет кубической гранецентрированной.

2.4. Показать, что структурный фактор для гранецентрированной кубической решетки по отношению к кубической элементарной ячейке равен

$$S = 1 + e^{i\pi(h+k)} + e^{i\pi(h+l)} + e^{i\pi(l+k)}.$$

Показать, что отражение не может иметь места, если в показателях один индекс четный, а другой нечетный.

2.5. Обсудить основные методы выращивания в лабораторных условиях неорганических и металлических монокристаллов (см. книгу Бакли [3]).

2.6. Электронная плотность $\rho(\mathbf{r})$ в кристалле может быть представлена в виде ряда Фурье

$$\rho(\mathbf{r}) = \sum_{\mathbf{k}} \rho_{\mathbf{k}} e^{i\mathbf{k}\mathbf{r}}.$$

Показать, что если волновой вектор \mathbf{k} при помощи векторов основных трансляций в обратной решетке можно представить соотношением

$$\mathbf{k} = k_1 \mathbf{a}^* + k_2 \mathbf{b}^* + k_3 \mathbf{c}^*,$$

то требование инвариантности $\rho(\mathbf{r})$ по отношению ко всем трансляциям решетки на вектор

$$\mathbf{T} = n_1 \mathbf{a} + n_2 \mathbf{b} + n_3 \mathbf{c}$$

удовлетворяется, когда k_1, k_2, k_3 равны произведениям 2π на целые числа. И далее, если

$$\mathbf{r} = u\mathbf{a} + v\mathbf{b} + w\mathbf{c},$$

а волновой вектор

$$\mathbf{k} = 2\pi (h\mathbf{a}^* + k\mathbf{b}^* + l\mathbf{c}^*),$$

где h, k, l — целые числа, то

$$\rho = \sum_{hkl} \rho(hkl) e^{2\pi i (hu + kv + lw)}.$$

Заметим, что величины \mathbf{k} , фигурирующие в фурье-разложении электронной плотности, равны умноженным на 2π векторам, проведенным из начала координат в точки обратной решетки.

ГЛАВА 3

ТЕПЛОВЫЕ СВОЙСТВА ТВЕРДЫХ ТЕЛ

В этой главе мы рассмотрим теплоемкость твердых тел и дадим теорию теплоемкости для нескольких упрощенных моделей твердого тела. Предварительно необходимо напомнить, поскольку нам это понадобится, главный результат статистической механики — знаменитую теорему Больцмана¹⁾. Теорема Больцмана, или закон распределения Больцмана, позволяет вычислять средние значения физических характеристик системы частиц, находящейся в тепловом равновесии. Согласно этой теореме отношение вероятности нахождения системы в состоянии $1 (P_1)$ к вероятности нахождения системы в состоянии $2 (P_2)$ определяется формулой

$$\frac{P_1}{P_2} = \frac{e^{-\frac{E_1}{kT}}}{e^{-\frac{E_2}{kT}}}, \quad (3.1)$$

где E_1 и E_2 — энергии системы в состояниях 1 и 2 , k — постоянная Больцмана, T — абсолютная температура. Постоянная $k = 1,38 \times 10^{-16}$ эрг/°К, или $1,38 \cdot 10^{-23}$ дж/°К. Точное определение понятия *состояние* системы дается в книгах по статистической механике.

Пример. Вычислим среднюю энергию и теплоемкость свободной частицы массы M при тепловом равновесии при температуре T .

Вероятностный множитель Больцмана в этом случае

$$e^{-\frac{E}{kT}} = e^{-\frac{Mv^2}{2kT}},$$

где v — скорость частицы. Среднее значение величины при тепловом равновесии будем обозначать угловыми скобками $\langle \dots \rangle$. Итак, средняя кинетическая энергия при тепловом равновесии

$$\langle E \rangle = \left\langle \frac{1}{2} Mv^2 \right\rangle = \frac{\iiint \left(\frac{1}{2} Mv^2 \right) e^{-\frac{Mv^2}{2kT}} dv_x dv_y dv_z}{\iiint e^{-\frac{Mv^2}{2kT}} dv_x dv_y dv_z}; \quad (3.2)$$

¹⁾ Для первоначального ознакомления рекомендуем соответствующие разделы из книги Слэтера [1], а также Борна [2] и Киттеля [3].

знаменатель выражения в правой части (3.2) дает правильную нормировку полной вероятности. Интегралы берутся в пределах от $-\infty$ до $+\infty$. В сферических координатах элемент объема равен $4\pi v^2 dv$, и поэтому имеем

$$\langle E \rangle = \frac{\frac{1}{2} M \int_{-\infty}^{+\infty} v^4 e^{-\frac{Mv^2}{2kT}} dv}{\int_{-\infty}^{+\infty} v^2 e^{-\frac{Mv^2}{2kT}} dv}. \quad (3.3)$$

Полагая $(M/2kT)^{1/2} v = x$, получим

$$\langle E \rangle = \frac{kT \int_0^{\infty} x^4 e^{-x^2} dx}{\int_0^{\infty} x^2 e^{-x^2} dx}. \quad (3.4)$$

Значения стоящих здесь интегралов можно, конечно, взять из любых математических таблиц, но их отношение легко вычислить и непосредственно. Полагая $y^2 = \alpha x^2$, знаменатель (3.4) можно написать в виде

$$\int_0^{\infty} x^2 e^{-\alpha x^2} dx = \alpha^{-3/2} \int_0^{\infty} y^2 e^{-y^2} dy = C \alpha^{-3/2}, \quad (3.5)$$

где C — некоторое число. Если от (3.5) взять производную по α , то получим

$$-\frac{d}{d\alpha} \int_0^{\infty} x^2 e^{-\alpha x^2} dx = \int_0^{\infty} x^4 e^{-\alpha x^2} dx = \frac{3}{2} C \alpha^{-5/2}, \quad (3.6)$$

следовательно, для отношения определенных интегралов в (3.4), полагая $\alpha = 1$, получим точно $3/2$.

Итак,

$$\langle E \rangle = \frac{3}{2} kT, \quad (3.7)$$

а теплоемкость

$$C_v = \frac{\partial \langle E \rangle}{\partial T} = \frac{3}{2} k, \quad (3.8)$$

т. е. мы получили хорошо знакомый результат.

Интересно напомнить исторический ход развития наших представлений о теплоемкости диэлектрических кристаллов (изоляторов).

Вклад электронов проводимости будет рассмотрен ниже, в гл. 5, посвященной теории свободных электронов в металлах. Давно был известен тот важный экспериментальный факт относительно типичных монокристаллических твердых тел, что их теплоемкость при комнатной температуре (и выше) примерно постоянна и равна $6 \text{ кал/моль}^\circ\text{К}$ (закон Дюлонга и Пти). Однако затем было установлено, что при низких температурах теплоемкость резко уменьшается и вблизи абсолютного нуля спадает по закону T^3 для диэлектриков или линейно по T для металлов. Типичная экспериментальная кривая для серебра приведена на рис. 3.1.

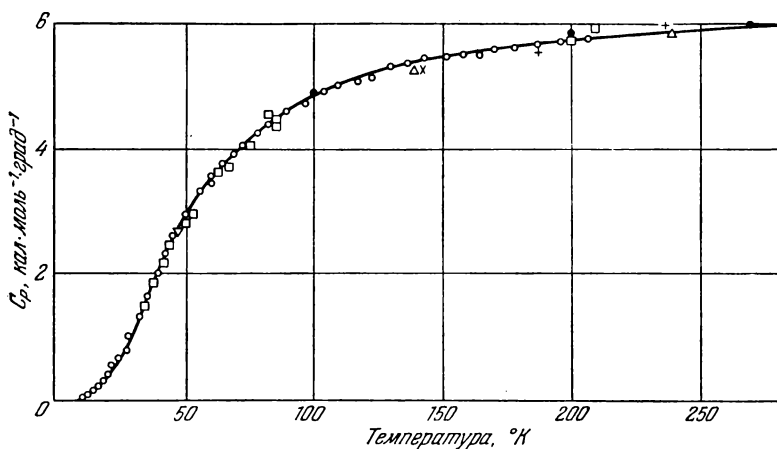


Рис. 3.1. Температурная зависимость теплоемкости серебра.

Измеряемой величиной является теплоемкость при постоянном давлении, однако уместно отметить, что для твердых тел ниже комнатной температуры разность между C_p и C_v мала, и обычно ею можно пренебречь.

В первом приближении можно принять, что тепловое движение в монокристалле представляет собой колебания атомов относительно фиксированных положений равновесия, причем атомы в этих положениях удерживаются некими линейными силами. Согласно этой картине все атомы колеблются гармонически с одной и той же частотой ν , общей для всех атомов кристалла. Такая модель при классической трактовке приводит к теплоемкости, не зависящей от температуры, а величина теплоемкости оказывается в блестящем согласии с экспериментом при комнатных и более высоких температурах. Однако на этой модели невозможно объяснить резкое уменьшение теплоемкости при низких температурах. Та же модель, трактуемая на основе квантовой теории (по Эйнштейну), хотя и объясняет уменьшение тепло-

емкости при низких температурах, но предсказывает значительно более резкое падение, чем наблюдаемое на опыте.

Дебай установил, что если даже самым простым путем ввести в рассмотрение упругие колебания кристалла в целом, то мы получим эмпирически найденный закон T^3 для хода теплоемкости при приближении к абсолютному нулю. Борн и Карман дали более точный метод расчета спектра упругих колебаний.

Модель гармонического осциллятора (по классической механике). Рассмотрим сначала теплоемкость простого гармонического осциллятора в одномерном случае на основе классической механики. Энергия осциллятора

$$E = \frac{1}{2} M v^2 + \frac{1}{2} M \omega^2 x^2, \quad (3.9)$$

где $\omega = 2\pi\nu$ — угловая частота, а x — смещение атома из положения статического равновесия. Средняя энергия осциллятора при тепловом равновесии может быть вычислена методом, который был изложен выше при рассмотрении примера средней энергии свободной частицы.

Итак,

$$\begin{aligned} \langle E \rangle &= \frac{\frac{1}{2} M \int \int (v^2 + \omega^2 x^2) e^{-\frac{M(v^2 + \omega^2 x^2)}{2kT}} dx dv}{\int \int e^{-\frac{M(v^2 + \omega^2 x^2)}{2kT}} dx dv} = \\ &= \frac{\frac{1}{2} M \int v^2 e^{-\frac{Mv^2}{2kT}} dv}{\int e^{-\frac{Mv^2}{2kT}} dv} + \frac{\frac{1}{2} M \omega^2 \int x^2 e^{-\frac{M\omega^2 x^2}{2kT}} dx}{\int e^{-\frac{M\omega^2 x^2}{2kT}} dx}. \quad (3.10) \end{aligned}$$

В первом интеграле положим $(Mv^2/2kT) = y^2$, а во втором $(M\omega^2 x^2/2kT) = y^2$. Далее, действуя способом, указанным выше, для энергии простого одномерного гармонического осциллятора найдем

$$\langle E \rangle = 2kT \frac{\int_{-\infty}^{\infty} y^2 e^{-y^2} dy}{\int_{-\infty}^{\infty} e^{-y^2} dy} = kT; \quad (3.11)$$

отсюда энергия системы из N трехмерных гармонических осцилляторов

$$U = 3NkT, \quad (3.12)$$

или на один моль вещества

$$U_M = 3RT. \quad (3.13)$$

Газовая постоянная $R = Lk$, где L — число Авогадро ($L = 6,025 \cdot 10^{23}$). Теория предсказывает, что вклад решетки в молярную теплоемкость (при постоянном объеме)

$$C_v = \left(\frac{\partial U_M}{\partial T} \right)_v, \quad (3.14)$$

что для моноатомного твердого тела (на моль) дает

$$C_v = 3R \cong 6 \text{ кал/моль} \cdot \text{град}. \quad (3.15)$$

Этот результат, известный как закон Дюлонга и Пти, находится в хорошем согласии с наблюдаемыми значениями полной теплоемкости многих твердых тел, включая и металлы, при относительно высоких температурах и часто вплоть до комнатной. Но при низких температурах этот закон нарушается. Как можно видеть из экспериментального графика этой зависимости для серебра (см. рис. 3.1), теплоемкость резко уменьшается при понижении температуры.

Эйнштейнская теория теплоемкости решетки. Эйнштейн [4, 5] предложил простую модель, которая позволяла объяснить, почему теплоемкость решетки падает при низких температурах ниже значения $3R$ на моль, наблюдающегося при относительно высоких температурах. Согласно этой модели тепловые свойства решетки, состоящей из N колеблющихся атомов, можно трактовать как свойства $3N$ независимых одномерных гармонических осцилляторов, имеющих одну и ту же собственную частоту ν . Затем Эйнштейн проквантовал энергии осцилляторов способом, предложенным ранее Планком в связи с теорией излучения черного тела.

Напомним, что Планк¹⁾, изучая электромагнитное излучение, находящееся в тепловом равновесии с веществом, обнаружил, что классическая теория неспособна объяснить это явление. Энергия излучения при больших частотах, предсказываемая классической теорией, оказалась слишком велика. Расхождение между наблюдаемым распределением энергии по спектру равновесного излучения и предсказаниями классической теории по мере понижения температуры имело место при все более и более низких частотах, так что в некотором отношении несостоятельность классической теории теплоемкости напоминает трудности, возникшие ранее с законом излучения черного тела.

¹⁾ Подробное изложение закона излучения Планка читатель может найти в любом учебнике по современной атомной физике или по теплоте и термодинамике. Мы укажем для примера лишь два из них: Рихтмайер и Кеннард [6] и Борн [2].

Проблему равновесного излучения рассматривают обычно, считая световые волны эквивалентными системе гармонических осцилляторов. К правильному закону распределения энергии между осцилляторами Планка привело предположение о том, что энергия осциллятора с частотой ν отдается дискретными порциями (квантами) величиной $h\nu$. Это был первый революционный шаг по пути к созданию квантовой механики — системе законов и принципов, управляющих поведением атомов, молекул и твердых тел. Согласно классической теории осциллятор может иметь произвольную амплитуду колебаний и, следовательно, любое значение энергии. Согласно Планку энергия E может принимать только значения

$$E = nh\nu, \quad n = 0, 1, 2, \dots, \quad (3.16)$$

где n — положительное целое число, ν — частота, h — экспериментальная константа, известная как постоянная Планка. Численное значение постоянной Планка было определено и оказалось равным $6,624 \cdot 10^{-27} \text{ эрг} \cdot \text{сек}$. В современных работах соотношение (3.16) часто записывают в иной форме, а именно:

$$E = n \frac{h}{2\pi} 2\pi\nu = n\hbar\omega, \quad (3.17)$$

где ω — круговая частота, $h/2\pi = \hbar$ имеет величину $1,054 \cdot 10^{-27} \text{ эрг} \cdot \text{сек}$. Энергетические уровни различаются значениями целого числа n , называемого квантовым числом.

Квантование энергии можно выполнить примерно так же, как и квантование величины амплитуды x_0 осциллятора. Если

$$\frac{1}{2} M\omega^2 x_0^2 = E,$$

то

$$x_0 = \left(\frac{2n\hbar}{M\omega} \right)^{1/2}. \quad (3.18)$$

Согласно принципу неопределенности невозможно определить x_0 точно.

Выражения для средней энергии осциллятора по квантовой теории отличаются от средней энергии, равной kT по классической теории. Согласно закону распределения Больцмана, при тепловом равновесии средняя энергия осциллятора представляется выражением

$$\langle E \rangle = \sum_{n=0}^{\infty} nh\omega e^{-\frac{n\hbar\omega}{kT}} / \sum_{n=0}^{\infty} e^{-\frac{n\hbar\omega}{kT}} = \frac{\hbar\omega \left(e^{-\frac{\hbar\omega}{kT}} + 2e^{-\frac{2\hbar\omega}{kT}} + \dots \right)}{\left(1 + e^{-\frac{\hbar\omega}{kT}} + e^{-\frac{2\hbar\omega}{kT}} + \dots \right)}, \quad (3.19)$$

где, как легко заметить, знаменатель обеспечивает правильную нормировку.

Введем новую переменную,

$$x = -\frac{\hbar\omega}{kT},$$

и после простого преобразования получим

$$\langle E \rangle = \hbar\omega \frac{d}{dx} \ln(1 + e^x + e^{2x} + \dots) = \hbar\omega \frac{d}{dx} \ln \frac{1}{1 - e^x} = \frac{\hbar\omega}{e^{-x} - 1},$$

или окончательно

$$\langle E \rangle = \frac{\hbar\omega}{e^{\frac{\hbar\omega}{kT}} - 1}. \quad (3.20)$$

График этой функции приведен на рис. 3.2.

Заметим, что при высоких температурах ($kT \gg \hbar\omega$) знаменатель можно разложить в ряд

$$e^{\frac{\hbar\omega}{kT}} - 1 = 1 + \frac{\hbar\omega}{kT} + \dots - 1 \cong \frac{\hbar\omega}{kT}$$

и, следовательно,

$$\langle E \rangle \cong kT.$$

Таким образом, при высоких температурах из закона распределения Планка—Эйнштейна (3.20) следует, что средняя энергия гармонического осциллятора близка к классической средней энергии, равной kT . Новым результатом является применение к случаю низких температур, т. е. когда

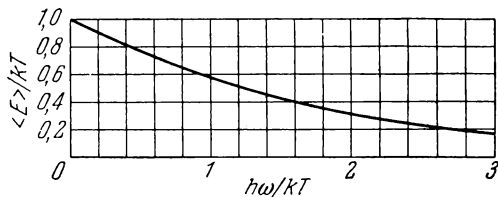


Рис. 3.2. Зависимость средней энергии эйнштейновского осциллятора от частоты [средняя энергия и частота (умноженная на \hbar) отнесены к kT].

к классической средней энергии, равной kT . Новым результатом является применение к случаю низких температур, т. е. когда $kT \ll \hbar\omega$, тогда $e^{\frac{\hbar\omega}{kT}} \gg 1$, и для средней энергии получим

$$\langle E \rangle \cong \hbar\omega e^{-\frac{\hbar\omega}{kT}}, \quad (3.21)$$

и, следовательно, при $T \rightarrow 0$ теплоемкость системы из N осцилляторов (атомов) стремится к нулю по закону

$$C_v \cong Nk \left(\frac{\hbar\omega}{kT} \right)^2 e^{-\frac{\hbar\omega}{kT}}. \quad (3.22)$$

Экспоненциальный множитель в пределе оказывается доминирующим и поэтому при низких температурах теплоемкость по модели Эйнштейна стремится к нулю по закону $\exp(-\hbar\omega/kT)$. Эксперимент для теплоемкости решетки при низких температурах дает для диэлектри-

ков не экспоненциальную зависимость, а закон T^3 . Закон T^3 удовлетворительно объясняется в более совершенной модели Дебая, которая будет кратко рассмотрена ниже.

Модель Эйнштейна действительно хорошо описывает факт резкого уменьшения теплоемкости при низких температурах при надлежащем подборе частоты осциллятора ω .

Результаты применения модели Эйнштейна удобно обсуждать, пользуясь представлением о некоторой характеристической температуре Θ_E , называемой температурой Эйнштейна, которая определяется соотношением

$$\hbar\omega = k\Theta_E. \quad (3.23)$$

Для большинства твердых тел значения Θ_E лежат в интервале 100—300° К, хотя в отдельных случаях встречаются и значения выше и ниже указанных границ. Для какого-то конкретного значения Θ_E можно записать выражение для теплоемкости

$$C = \frac{\partial U}{\partial T} = \frac{\partial (N \langle E \rangle)}{\partial T} = Nk \left(\frac{\hbar\omega}{kT} \right)^2 \frac{e^{\frac{\hbar\omega}{kT}}}{\left(e^{\frac{\hbar\omega}{kT}} - 1 \right)^2} = Nk \left(\frac{\Theta_E}{T} \right)^2 \frac{e^{\Theta_E/T}}{e^{\Theta_E/T} - 1}, \quad (3.24)$$

которое довольно хорошо (при данном Θ_E) согласуется с экспериментальными данными в широкой области температур, где теплоемкость заметно меняется с температурой.

Если Θ_E выражать в градусах абсолютной шкалы, ω в радианах в секунду, то

$$\omega \cong 10^{11} \Theta_E.$$

Например, для $\Theta_E = 300^\circ \text{К}$ характеристическая частота $\nu = \omega/2\pi$ равна примерно $5 \cdot 10^{12}$ гц. Это разумная величина для характеристической частоты атомных осцилляторов; она имеет тот же порядок величины, что и частоты упругих волн акустической ветви при длинах волн порядка межатомных расстояний.

Дебаевская теория теплоемкости решеток. Модель Эйнштейна недостаточно полно описывает тепловое движение решетки при очень низких температурах. Согласно модели Эйнштейна каждый атом рассматривается как независимый осциллятор, испытывающий гармонические колебания около фиксированной точки в пространстве, независимо от наличия соседних атомов и их движения. Каждый атом, колеблясь, разумеется, смещается относительно своих соседей в решетке. При длинах волн, больших по сравнению с постоянной решетки, движение соседних атомов происходит в значительной степени независимо друг от друга, но большие участки кристалла в целом колеблются когерентно. Предположение о том, что все $3N$

осцилляторов имеют одну и ту же частоту, является, очевидно, чрезмерным упрощением; действительно, например, движения, соответствующие большим длинам волн, могут иметь весьма низкие частоты, как это имеет место в случае обычных упругих волн при звуковых частотах.

Длинноволновые колебания существенны, в частности, при низких температурах, поскольку в бесконечном кристалле они будут собственными колебаниями, для которых $\hbar\omega \ll kT$. Таким образом, даже при низких температурах некоторые степени свободы кристалла будут обнаруживать классическое поведение, и каждое такое собственное колебание будет давать вклад в энергию порядка kT и, следовательно, полная энергия будет не обязательно экспоненциально стремиться к нулю, как должно было бы быть по модели Эйнштейна.

Дебай предположил, что акустический спектр твердого тела, состоящего из одинаковых атомов, можно трактовать как спектр однородной упругой среды, но считать при этом, что число независимых упругих волн равно $3N$, чем сохранить соответствие с числом $3N$ степеней свободы N атомов. Дебай предположил также, что обычную скорость звука, наблюдаемую в кристаллах, при акустических частотах можно приближенно считать равной предельной частоте. Обычно считают также, что твердое тело является упруго-изотропным, и скорости v_l и v_t продольных и соответственно поперечных волн не зависят от направления распространения волны в кристалле (т. е. от расположения кристаллографических осей). Заметим, кстати, что наличие упругой изотропии не означает, что скорость поперечных волн равна скорости продольных.

Чтобы не запутаться, мы сначала вычислим для дебаевской модели вклад в теплоемкость твердого тела, обусловленный только *продольными* упругими волнами. Если кристалл содержит N атомов, то мы имеем N продольных собственных упругих колебаний, которым мы будем приписывать волновой вектор \mathbf{k} . Если соответствующие волны описывать как бегущие волны, то для них можно взять обычную функцию вида

$$e^{i(\omega_{\mathbf{k}}t - \mathbf{k}\mathbf{r})}.$$

Внутреннюю энергию системы можно определить как сумму энергий эйнштейновских осцилляторов; каждый член этой суммы соответствует собственному колебанию с частотой $\omega_{\mathbf{k}}$:

$$U_l = \sum_{\mathbf{k}} \frac{\hbar\omega_{\mathbf{k}}}{e^{\hbar\omega_{\mathbf{k}}/kT} - 1}. \quad (3.25)$$

Для дебаевской модели дисперсионный закон, т. е. зависимость частоты от волнового числа, имеет простой вид

$$\omega = v_l k, \quad (3.26)$$

где v_l — скорость продольных звуковых волн. Тогда энергию (3.25) можно записать в виде

$$U_l = \sum_{\mathbf{k}} \frac{\hbar v_l k}{e^{\hbar v_l k / \tau} - 1}, \quad (3.27)$$

где

$$\tau = k_B T. \quad (3.28)$$

Величина τ введена для того, чтобы избежать путаницы, которая может возникнуть из-за употребления одной и той же буквы k для волнового вектора и для постоянной Больцмана (поэтому в (3.28) ей дан индекс B).

Теперь задача состоит в том, чтобы явно вычислить сумму (3.27) по всем собственным продольным колебаниям. Для этой цели мы сумму по \mathbf{k} (3.27) заменим интегралом по всему трехмерному пространству векторов \mathbf{k} :

$$U_l = \int \int \int \frac{\hbar v_l k}{e^{\hbar v_l k / \tau} - 1} \rho(\mathbf{k}) d k_x d k_y d k_z. \quad (3.29)$$

Но для вычисления этого интеграла надо знать вид функции $\rho(\mathbf{k})$ (эта функция представляет собой число собственных колебаний в единице объема \mathbf{k} -пространства). Функция $\rho(\mathbf{k})$ определяется из граничных условий для распространения упругих волн в кристалле. Следует подчеркнуть, что хотя функция $\rho(\mathbf{k})$ определяется из граничных условий, но ее явный вид мало чувствителен к характеру самих условий и будет, например, одинаков как для свободных, так и для закреплённых концов.

Граничные условия, при которых вычислить $\rho(\mathbf{k})$ проще всего, — это периодические (циклические) граничные условия. Согласно этим условиям колебательное движение в точке x, y, z должно быть точно таким же, что и в точке $x + L, y + L, z + L$, где L — некоторая макроскопическая длина. Если кристалл имеет форму куба, то в качестве длины L можно взять ребро куба. Таким образом, периодические граничные условия требуют, чтобы имело место тождество

$$e^{i\mathbf{k}\mathbf{r}} = e^{i(\mathbf{k}\mathbf{r} + k_x L + k_y L + k_z L)}.$$

Отсюда следует, что

$$e^{i(k_x L + k_y L + k_z L)} = 1. \quad (3.30)$$

Общее решение этого уравнения для k_x, k_y, k_z имеет вид

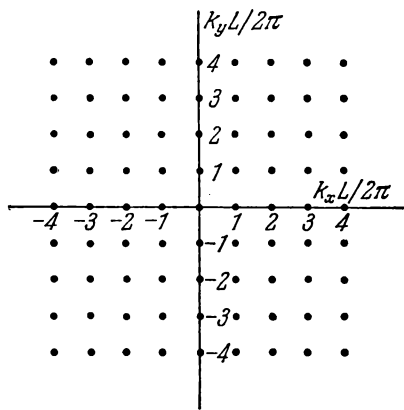
$$k_x = \frac{2\pi l}{L}, \quad k_y = \frac{2\pi m}{L}, \quad k_z = \frac{2\pi n}{L}, \quad (3.31)$$

где l, m, n — положительные или отрицательные целые числа. Иначе говоря, периодические граничные условия сводятся к требованию, чтобы отношения

$$\frac{k_i L}{2\pi}$$

выражались целыми числами.

Итак, компоненты вектора \mathbf{k} для каждого элемента объема в \mathbf{k} -пространстве величиной $(2\pi/L)^3$ могут принимать лишь некоторые дискретные значения, кратные $2\pi/L$, а число точек в этом элементе объема, удовлетворяющих указанному требованию [в данном случае это и есть плотность состояний $\rho(\mathbf{k})$], будет величиной, обратной объему, т. е.



$$\rho(\mathbf{k}) = \frac{L^3}{(2\pi)^3} = \frac{V}{(2\pi)^3}, \quad (3.32)$$

где $V = L^3$ — объем образца. Приведенное рассуждение для двухмерного случая иллюстрируется схемой на рис. 3.3.

Рис. 3.3. Значения k_x и k_y , удовлетворяющие периодическим граничным условиям в случае квадрата со стороной L . В этой двухмерной задаче плотность состояний в \mathbf{k} -пространстве [функция $\rho(\mathbf{k})$] постоянна:

$$\rho(\mathbf{k}) = \frac{L^3}{(2\pi)^2}.$$

Используя полученное выражение для плотности состояний в (3.29) для внутренней энергии, будем иметь

$$U_l = \frac{V}{2\pi^3} \int \int \int \frac{\hbar v_l k}{e^{\hbar v_l k / \tau} - 1} \times dk_x dk_y dk_z. \quad (3.33)$$

Переходя к сферическим полярным координатам в \mathbf{k} -пространстве, получим

$$U_l = \frac{V}{2\pi^2} \int_0^{k_m} \frac{\hbar v_l k^3 dk}{e^{\hbar v_l k / \tau} - 1}, \quad (3.34)$$

где верхний предел интеграла k_m определяется из условия, что полное число продольных собственных колебаний равно числу атомов N . То есть в дебаевском приближении мы учитываем лишь те значения \mathbf{k} , для которых отношения $k_i L / 2\pi$ — целые числа внутри сферы в \mathbf{k} -пространстве, имеющей радиус, определяемый условием

$$\frac{4\pi}{3} k_m^3 \rho(\mathbf{k}) = N,$$

или, принимая во внимание (3.32), получим

$$k_m^3 = (2\pi)^3 \frac{N}{V} \frac{3}{4\pi} = \frac{6\pi^2 N}{V}. \quad (3.35)$$

Теперь займемся расчетом U_l ; положим

$$x = \frac{\hbar v_l k}{\tau}, \quad (3.36)$$

тогда

$$U_l = \frac{V}{2\pi^2} \frac{\tau^4}{\hbar^3 v_l^3} \int_0^{x_{ml}} \frac{x^3}{e^x - 1} dx, \quad (3.37)$$

где

$$x_{ml} = \frac{\hbar v_l k_m}{\tau}$$

— новый верхний предел интеграла, прямо зависящий от предельного значения волнового вектора k_m . Внутренняя энергия поперечных собственных колебаний выражается аналогичной формулой:

$$U_t = 2 \left(\frac{V}{2\pi^2} \right) \frac{\tau^4}{\hbar^3 v_t^3} \int_0^{x_{mt}} \frac{x^3}{e^x - 1} dx, \quad (3.38)$$

где, однако, стоит множитель 2, так как на каждое продольное колебание приходится два поперечных.

Если ввести подходящую среднюю скорость упругих волн v ¹⁾, то для полной внутренней энергии решетки имеем

$$U = 3 \left(\frac{V}{2\pi^2} \right) \frac{k_B^4 T^4}{\hbar^3 v^3} \int_0^{x_m} \frac{x^3}{e^x - 1} dx, \quad (3.39)$$

где k_B — постоянная Больцмана. Характеристическую температуру Дебая Θ вводят обычно соотношением

$$x_m = \frac{\Theta}{T}, \quad (3.40)$$

и, следовательно,

$$\Theta = \frac{\hbar v}{k_B} \left(\frac{6\pi^2 N}{V} \right)^{1/3}. \quad (3.41)$$

¹⁾ Обычно v определяют соотношением $\frac{3}{v^3} = \frac{1}{v_l^3} + \frac{2}{v_t^3}$. (Прим. перев.)

Теплоемкость, по определению, равна $\partial U/\partial T$. График температурной зависимости полученной таким путем теплоемкости и экспериментальные точки для алюминия и меди приведены на рис. 3.4.

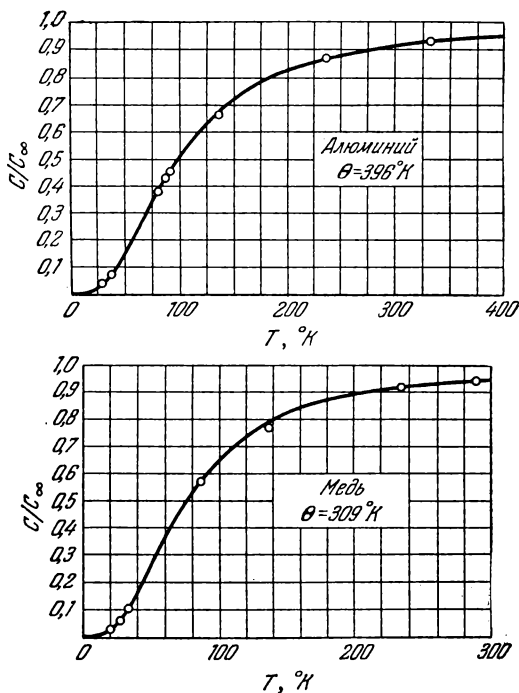


Рис. 3.4. Теплоемкость алюминия и меди как функция температуры. Кривые построены на основе теории Дебая, причем для алюминия взято $\Theta = 396^{\circ}K$, для меди $\Theta = 309^{\circ}K$. Кружками показаны экспериментальные данные (из работы Дебая [7]).

При высоких температурах ($x \ll 1$) экспоненту в подынтегральной функции (3.39) можно разложить в ряд и мы приближенно получим

$$\frac{x^3}{e^x - 1} \cong \frac{x^3}{1 + x + \dots - 1} \cong x^2.$$

Тогда интеграл в (3.39) будет равен $x_m^3/3$, и в этом предельном случае

$$U \cong 3Nk_B T, \quad (3.42)$$

что соответствует классическому результату (3.12).

При низких температурах можно принять приближенно верхний предел равным бесконечности. В этом предельном случае¹⁾

$$\int_0^{\infty} \frac{x^3 dx}{e^x - 1} = 6\zeta(4) = 6 \sum_{n=1}^{\infty} \frac{1}{n^4} = \frac{\pi^4}{15}, \quad (3.43)$$

где $\zeta(4)$ — дзета-функция Римана от аргумента, равного 4. Следовательно, при $T \ll \Theta$

$$U = \frac{3\pi^4 N k_B T^4}{5\Theta}, \quad (3.44)$$

и для теплоемкости $C_v = dU/dT$ получим

$$C_v = \frac{12\pi^4 N k_B}{5} \left(\frac{T}{\Theta}\right)^3 = 234 N k_B \left(\frac{T}{\Theta}\right)^3. \quad (3.45)$$

Эта приближенная зависимость известна как закон T^3 Дебая. При достаточно низких температурах, когда возбуждаются только длинные акустические волны, закон T^3 Дебая соблюдается вполне хорошо; можно предполагать, что в непрерывной упругой среде, характеризующейся макроскопическими упругими константами, распространяются именно такие волны.

Области применимости закона T^3 можно дать простую качественную интерпретацию. Разумно предположить, что при низких температурах в решетке будут возбуждаться в заметном количестве лишь те собственные колебания, для которых $\hbar\omega \ll k_B T$, и далее, что возбуждение этих колебаний можно считать приближенно классическим, т. е. каждое колебание, рассматриваемое как «возбуждение», будет иметь энергию, близкую к $k_B T$. Теперь можно видеть, что доля всего объема k -пространства, которая занята возбужденными состояниями, порядка $(k/k_m)^3$ или $(T/\Theta)^3$ и, следовательно, всего имеется примерно $N(T/\Theta)^3$ возбужденных колебательных состояний, каждому из которых соответствует энергия порядка $k_B T$. Поэтому вклад этих колебаний во внутреннюю энергию порядка $N k_B T (T/\Theta)^3$, а в теплоемкость — порядка $N k_B (T/\Theta)^3$. Однако обращает на себя внимание большая величина численного множителя 234 в формуле (3.45). Это обстоятельство существенно связано с тем, что (в соответствии с принятыми допущениями) в определение дебаевского параметра Θ (3.41) включен множитель $(6\pi^2)^{1/3}$.

Типичные значения Θ для ряда веществ приведены в табл. 3.1. Эти данные весьма полезны при рассмотрении многих проблем физики твердого тела, так как Θ входит во многие теоретически вычисляемые физические характеристики различных явлений, в том числе

¹⁾ См., например, курс Уиттекера и Ватсона [8].

в сопротивление, теплопроводность и интенсивности рентгеновских дифракционных пучков.

Таблица 3.1

Типичные значения дебаевского параметра Θ
(по данным Кеезома и Пирлмана)

Вещество	Θ , °K	Вещество	Θ , °K	Вещество	Θ , °K
Be	1160	W	(379)	Hg	(60—90)
Mg	406	Fe	467	Al	418
Ca	(219)	Co	445	In	109
La	132	Ni	456	Tl	89
Ti	278	Pd	275	C (алмаз)	(2000)
Zr	270	Pt	229	Si	658
V	273	Cu	339	Ge	366
Nb	252	Ag	225	Sn (серое)	212
Ta	231	Au	165	Sn (белое)	189
Cr	402	Zn	308	Pb	94,5
Mo	425	Cd	300	Bi	117

Значения Θ , полученные из тепловых данных при низких температурах, очень хорошо согласуются со значениями Θ , вычисленными Алерсом и Нейбуром из данных об упругих свойствах, если выполнить надлежащие усреднения по всем направлениям распространения упругих волн. Эти данные приведены в следующей таблице:

Вещество	$\Theta_{\text{тепл}}$, °K	$\Theta_{\text{упр}}$, °K
NaCl	320	322
KBr	174	173
Ag	226,5	226,4
Zn	305	327
Cu	345	344

Следует подчеркнуть, что теория Дебая не является точной, так как существенно базируется на дисперсионном законе $\omega_i = v_i k$, который справедлив лишь в предельном случае длинных волн ($ka \ll 1$, где a — межатомное расстояние). Теория Дебая обычно прекрасно согласуется с опытом, так как теплоемкость является свойством, мало чувствительным к деталям частотного распределения нормальных колебаний.

Теплоемкость электронов проводимости в металлах. Когда совокупность атомов образует металл, валентные электроны атомов становятся электронами проводимости металла. В некотором смысле

электроны проводимости свободны, т. е. могут перемещаться в решетке металла; их можно ускорять внешним электрическим полем, создавая поток, называемый электрическим током. Если бы электроны вели себя как свободные классические частицы, то их вклад в теплоемкость составлял бы $\frac{3}{2} Nk$ (N — число свободных электронов на единицу объема). Если в случае диэлектриков при $T \gg \Theta$ полная теплоемкость равна $3R$ на моль, то для металлов надо ожидать величины

$$\left(3 + \frac{3}{2}\right) R = \frac{9R}{2} \text{ на моль.}$$

Однако в действительности теплоемкость металлов при высоких температурах мало отличается от теплоемкости диэлектриков. Поэтому нет никаких оснований считать, что вклад электронов в теплоемкость можно оценивать каким-либо способом, опирающимся на классическую статистику.

Истинное поведение газа электронов проводимости в металле при изменении температуры определяется прежде всего принципом Паули, согласно которому два электрона не могут находиться в одном и том же квантовом состоянии. Связанные с этим вопросы будут тщательно разобраны позднее, в гл. 5, специально посвященной теории свободных электронов в металле. Однако то, что касается теплоемкости, следует изложить уже здесь, чтобы иметь возможность применить эти результаты к явлению теплопроводности, которое будет рассмотрено сразу после теплоемкости.

Из квантовой теории системы свободных электронов с массой m следует, что теплоемкость электронного газа при низких температурах

$$C_v^{(эл)} = \gamma T; \quad \gamma = \frac{\pi^2 N^{1/3}}{(3\pi^2)^{2/3} \hbar^2} k m. \quad (3.46)$$

Для обычных металлов понятие «низкие температуры» в рассматриваемом случае означает температуры много ниже, примерно $30\,000^\circ \text{K}$. Следует особо подчеркнуть, что электронная теплоемкость $C_v^{(эл)}$ зависит от температуры линейно; численное значение коэффициента γ часто порядка $10^{-4} \text{ кал/моль} \cdot \text{град}^2$, и, следовательно, при комнатной температуре вклад электронов в полную теплоемкость составляет примерно $3 \cdot 10^{-2} \text{ кал/моль} \cdot \text{град}$, т. е. величину, очень малую по сравнению с $6 \text{ кал/моль} \cdot \text{град}$, которая дается законом Дюлонга и Пти для теплоемкости решетки.

При достаточно низких температурах, обычно ниже 4°K , электронная доля теплоемкости становится больше доли решетки, поскольку электронная теплоемкость уменьшается с температурой по линейному закону, а решеточная — по закону T^3 .

В результате, ниже некоторой температуры электронный член будет в металлах всегда преобладать. Вследствие этого появляется возмож-

ность экспериментального определения коэффициента γ в (3.46) путем измерений при низких температурах. Из изложенного следует, что при $T \ll \Theta$ можно написать:

$$C_v = C_v^{(реш)} + C_v^{(эл)} = \alpha T^3 + \gamma T, \quad (3.47)$$

где α — постоянная, величина которой определена выше формулой (3.45). Если мы перепишем (3.47) в форме

$$\frac{C_v}{T} = \gamma + \alpha T^2, \quad (3.48)$$

то график зависимости величины C_v/T от T^2 должен будет представлять собой прямую линию, причем пересечение ее путем экстраполяции с осью ординат даст нам величину γ , а наклон прямой — величину α и, следовательно, характеристический параметр Дебая Θ . График подобного рода для серебра приведен на рис. 3.5.

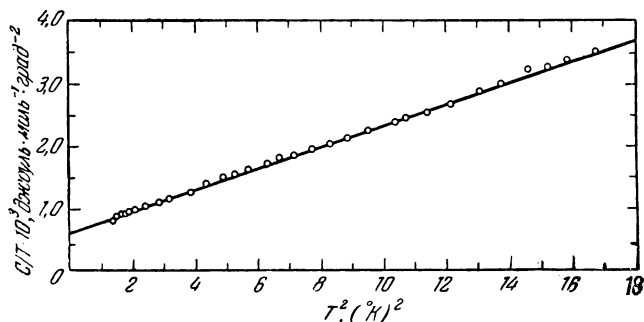


Рис. 3.5. Теплоемкость металлического серебра (по данным Корака, Гарфункеля, Саттеруэйта и Векслера).

Экспериментальные значения коэффициента γ для некоторых металлов приведены в табл. 3.2.

Таблица 3.2

Значения коэффициента γ , характеризующие электронную теплоемкость металлов

Металл	$\gamma \cdot 10^4$, кал/моль·град ²	Металл	$\gamma \cdot 10^4$, кал/моль·град ²
Cu	1,65	Co	12
Ag	1,46	Ni	17
Au	1,78	Cd	1,7
α -Mn	33	Zn	1,3
α -Fe	12		

Экспериментально установлено, что температурная зависимость теплоемкости электронов проводимости действительно линейна по T для большинства металлов. Однако коэффициент γ может иметь величину, значительно отличающуюся от предсказываемой на основе формулы (3.46).

Фононы. В ходе изложения теории Дебая мы пришли к квантованию упругих волн в кристалле. Энергия упругой волны с круговой частотой ω не может иметь произвольных значений; она должна быть равна целому числу порций величины $\hbar\omega$. Эта минимальная порция, или квант, энергии упругих колебаний $\hbar\omega$ называется *фононом*. Нам уже известно, что квант энергии электромагнитной волны также равен $\hbar\omega$ и что он называется фотоном. Эти названия отражают тот специфически квантовый аспект некоторых волновых процессов, проявляющийся в том, что волны ведут себя как частицы; в частности, в процессах обмена энергий обычно имеют место явления рождения и исчезновения целого числа фононов, фотонов и т. п.

Естественно предположить, что импульс фонона связан с длиной волны соотношением де Бройля $\lambda = h/p$, или, в более общей форме, соотношением

$$p = \hbar k, \quad (3.49)$$

которое было впервые использовано для объяснения связи между длиной волны и импульсом электрона. Фонон во многих отношениях ведет себя так, как если бы он действительно был частицей с импульсом, удовлетворяющим соотношению (3.49). В ряде процессов, при которых число фононов или их волновые векторы изменяются, импульс центра массы часто изменяется точно так, как если бы величина в (3.49) была настоящим импульсом. Однако в теле конечных размеров нормальные колебания — это стоячие волны в системе координат, связанной с центром массы, а такие нормальные колебания не могут переносить импульса. Но если такие волны возбуждать извне, перенос импульса относительно центра массы будет иметь место. Это довольно тонкий вопрос. Величину $\hbar k$ часто называют *импульсом кристалла* — термин, указывающий на необходимость отличать эту величину от истинного импульса центра массы кристалла.

При брэгговском отражении падающих на кристалл рентгеновских лучей импульс фотона изменяется на величину, равную произведению 2π на вектор обратной решетки, и эта величина как раз равна импульсу, полученному центром массы кристалла. Никаких фононов при этом не возбуждается (если отражение чисто брэгговское) и, таким образом, сумма $\hbar k$ для фононов остается неизменной.

Теплопроводность твердых тел. Коэффициент теплопроводности K твердого тела легче всего определить следующим образом. Пусть в длинном стержне имеется градиент температуры $\partial T/\partial x$, вызывающий стационарный поток тепла вдоль его длины. Тогда можно

написать уравнение

$$Q = K \frac{\partial T}{\partial x}, \quad (3.50)$$

где Q — поток тепловой энергии (энергия, проходящая через поперечное сечение стержня за единицу времени), K — коэффициент теплопроводности, который часто выражают в единицах $\text{кал/см} \cdot \text{сек} \cdot \text{град}$

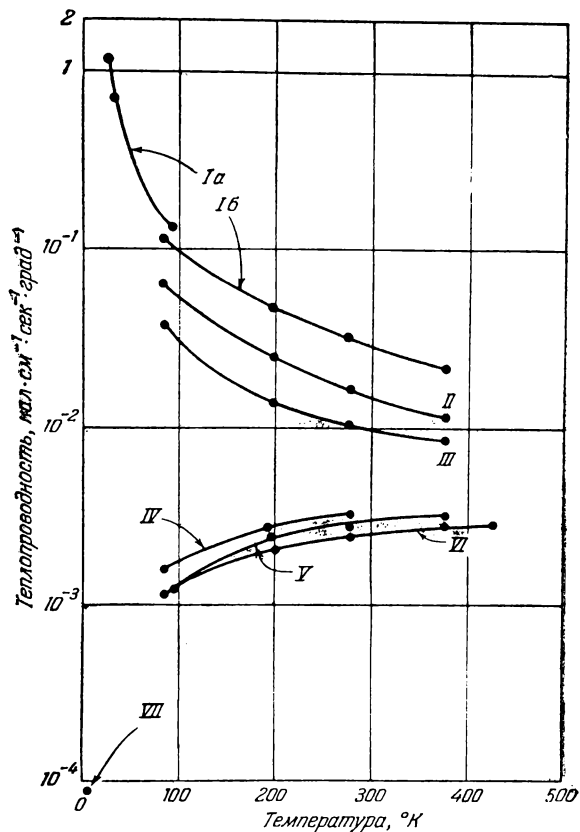


Рис. 3.6. Температурная зависимость теплопроводности ряда кристаллов и стекол.

Ia — кристалл кварца параллельно оси (по данным де Гааза и Бирмаца), Ib — кристалл кварца параллельно оси (по данным Эйкена), II — кристалл хлористого натрия (по данным Эйкена), III — кристалл CaF_2 (по данным Эйкена), IV — плавленый кварц, V — боросиликатный кронглас, VI — пирекс, VII — тюрингское стекло (по данным Кеезома).

или $\text{вт/см} \cdot \text{град}$. Чтобы перейти к единицам $\text{вт/см} \cdot \text{град}$, численное значение K в единицах $\text{кал/см} \cdot \text{сек} \cdot \text{град}$ следует умножить на 4,186.

Экспериментальные кривые температурной зависимости коэффициента теплопроводности ряда кристаллов и стекол приведены на рис. 3.6, меди — на рис. 3.7.

Вид уравнения (3.50), определяющего теплопроводность, содержит в себе утверждение, что процесс распространения тепловой энергии является случайным процессом. Нельзя считать, что тепловая энергия просто поступает с одного конца стержня и, прямо проследовав вдоль него, доходит до другого конца. Энергия «диффундирует» сквозь образец, испытывая многократные «столкновения». Если бы энергия распространялась без отклонений прямо сквозь образец, то выражение для теплового потока зависело бы не от градиента температуры, а лишь от разности ΔT температур на концах образца независимо от его длины. Распространение тепла является по своей природе случайным процессом, что и приводит к появлению градиента в выражении для теплового потока.

Кинетическая теория газов в известном приближении дает следующее выражение для коэффициента теплопроводности:

$$K = \frac{1}{3} C u \Lambda, \quad (3.51)$$

где C — теплоемкость на единицу объема, u — средняя скорость частиц, Λ — средняя длина свободного пробега частицы между соударениями. Дебай использовал этот результат кинетической теории газов для описания теплопроводности диэлектрических твердых тел, считая, что C есть теплоемкость колебаний решетки (т. е. фононов), u — скорость звука, а Λ — средняя длина свободного пробега фононов. Некоторые типичные значения средней длины свободного пробега фононов приведены в табл. 3.3.

Полезно выяснить характер случайного процесса, обуславливающего теплопроводность. Обычное уравнение теплопроводности для потока тепловой энергии в линейном образце имеет вид

$$Q = \frac{1}{L} K (T_1 - T_2), \quad (3.52)$$

где Q — количество тепла, проходящее через единичную площадку

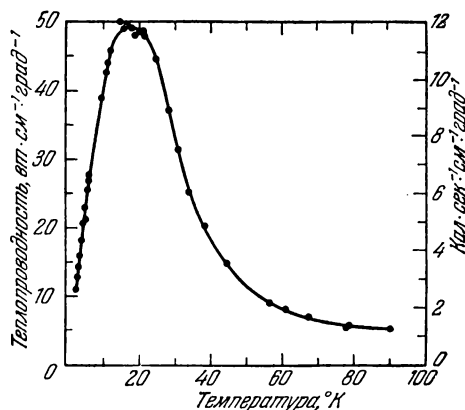


Рис. 3.7. Температурная зависимость теплопроводности меди [9].

Таблица 3.3

Значения средней длины свободного пробега фононов *)

Кристалл	$T, ^\circ\text{C}$	$C, \text{ кал/см}^3 \cdot \text{град}$	$K, \text{ кал/см} \cdot \text{г}; \text{ ад} \cdot \text{сек}$	$\Lambda, 10^{-8} \text{ см}$
Кварц (вдоль оптической оси)	0	0,48	0,03	40
	—190	0,13	0,12	540
NaCl	0	0,45	0,17	23
	—190	0,24	0,064	100

*) Значения Λ вычислены по формуле (3.51), причем для u принято усредненное значение скорости звука $u = 5 \cdot 10^5 \text{ см/сек}$.

в единицу времени, $T_1 - T_2$ — температурный перепад между концами образца, L — его длина.

Воспользовавшись для K в (3.52) выражением (3.51), получим

$$Q = \frac{1}{3} C (T_1 - T_2) \frac{\Lambda u}{L}. \quad (3.53)$$

Уравнению в такой форме можно дать простую интерпретацию: $C(T_1 - T_2)$ представляет собой избыток плотности энергии на одном конце образца по отношению к другому. Этот избыток распространяется вдоль образца с эффективной скоростью переноса, которая равна как раз средней скорости носителей энергии, умноженной на отношение средней длины свободного пробега к длине образца.

Средняя длина свободного пробега фононов Λ определяется в основном двумя процессами: 1) геометрическим рассеянием фононов и 2) рассеянием фононов на фононах.

Если силы, действующие между атомами в решетке, таковы, что обуславливают лишь чисто гармонические колебания, то не может существовать никакого механизма, который приводил бы к столкновениям между различными фононами. В этом случае средняя длина свободного пробега фононов определяется исключительно столкновениями фононов с граничными поверхностями кристалла и с дефектами решетки. Случай, когда указанные процессы являются преобладающими, будет рассмотрен ниже. Наличие в решетке ангармонических взаимодействий связано со взаимодействием между различными фононами, которое ограничивает величину их среднего свободного пробега.

Построение теории, учитывающей влияние ангармонических взаимодействий в решетке на ее теплопроводность, является одной из наиболее сложных проблем физики твердого тела.

Приближенные расчеты были выполнены Дебаем [10] и Пайерлсом [11]¹⁾, которые рассмотрели проблему весьма подробно. Они

¹⁾ См. также работу Херринга [12].

показали, что величина Λ при высоких температурах в соответствии с опытом пропорциональна $1/T$. Такой тип зависимости можно объяснить, пользуясь представлением о числе фононов, могущих взаимодействовать с данным фононом, поскольку при высоких температурах число возбуждаемых фононов пропорционально T .

ТЕПЛОВОЕ РАСШИРЕНИЕ

Причины теплового расширения можно понять, если рассмотреть влияние ангармонических членов в выражении для потенциальной энергии взаимодействия пар атомов при температуре T . Потенциальную энергию взаимодействия атомов при смещении на расстояние x от положения их равновесия в решетке при $T = 0^\circ \text{K}$ мы запишем в виде

$$V(x) = cx^2 - gx^3 - fx^4, \quad (3.54)$$

где член с x^3 описывает асимметрию взаимного отталкивания атомов, а член с x^4 описывает общее «смягчение» колебаний при больших амплитудах.

Среднее смещение мы рассчитаем, пользуясь функцией распределения Больцмана, с помощью которой усреднение возможных значений какой-либо физической величины (в данном случае x) производится в соответствии с их термодинамическими вероятностями:

$$\bar{x} = \frac{\int_{-\infty}^{+\infty} x e^{-V(x)/kT} dx}{\int_{-\infty}^{+\infty} e^{-V(x)/kT} dx}. \quad (3.55)$$

В случае малых смещений (энергия, связанная с ангармоничностью, мала) подынтегральные выражения в (3.55) можно разложить в ряд; тогда получим приближенно:

$$\begin{aligned} \int x e^{-V(x)/kT} dx &\cong \int e^{-cx^2/kT} \left(x + \frac{gx^4}{kT} + \frac{fx^5}{kT} \right) dx = \frac{g}{kT} \left(\frac{kT}{c} \right)^{5/2} \frac{3\pi^{1/2}}{4}, \\ \int e^{-V(x)/kT} dx &\cong \int e^{-cx^2/kT} = \left(\frac{\pi kT}{c} \right)^{1/2}, \end{aligned}$$

и поэтому

$$x = \frac{3kgT}{4c^2}, \quad (3.56)$$

т. е. для температурного коэффициента теплового расширения мы

получаем постоянную величину. Значения коэффициентов линейного расширения для некоторых веществ приведены в табл. 3.4.

Таблица 3.4

Коэффициенты линейного теплового расширения в области комнатной температуры $[\alpha_t = \alpha_0(1 + \beta t)]$

Вещество	$\beta \cdot 10^6 \cdot \text{град}^{-1}$	Вещество	$\beta \cdot 10^6 \cdot \text{град}^{-1}$
Au	14	Иенское стекло (2954—111)	6
Li	56	AgBr ₃	400
Na	71	Zn (\parallel главной оси)	64
K	83	Zn (\perp главной оси)	14
Ni	13	Te (\parallel главной оси)	—1,6
Pt	9	Te (\perp главной оси)	27
CsCl	50		

ЗАДАЧИ

3.1. Показать, что теплоемкость одномерной решетки из одинаковых атомов (линейной цепочки) в приближении Дебая в области низких температур ($T \ll \Theta$) пропорциональна T/Θ , где Θ — эффективная температура Дебая в одномерном случае — определяется соотношением

$$\Theta = \hbar \omega_m / k = \hbar \pi v_0 / ka,$$

где k — постоянная Больцмана.

3.2. Показать, что выражение для средней энергии классической системы может быть записано в виде

$$\langle E \rangle = kT^2 \frac{d \ln Z}{dT},$$

где интеграл состояний Z , по определению, есть

$$Z = \int \int e^{-\frac{E(p, q)}{kT}} dp dq,$$

где q — координата, p — импульс.

3.3. Если ангармонический потенциал имеет вид

$$V(x) = cx^2 - gx^3 - fx^4,$$

то приближенно теплоемкость классического ангармонического осцил-

лятора выражается формулой

$$C \cong k \left[1 + \left(\frac{3f}{2c^2} + \frac{15g^2}{8c^3} \right) kT \right].$$

Получить этот результат.

Указание. Воспользоваться приближенным разложением

$$\ln(1+x) \cong x - \frac{1}{2}x^2 \quad (x \ll 1).$$

Расчет упрощается, если воспользоваться интегралом состояний (см. задачу 3.2).

3.4. Показать при помощи термодинамики, что

$$C_p - C_v = \frac{9\beta^2 T}{K},$$

где C_p — теплоемкость единицы объема при постоянном давлении, C_v — при постоянном объеме, β — температурный коэффициент линейного расширения, K — сжимаемость. Оценить численную величину разности $C_p - C_v$ для меди при 300°K и при 1000°K.

3.5. Приравнявая kT упругую энергию, приходящуюся на элементарную ячейку $[(1/2)ce^2a^3]$, показать, что локальная тепловая деформация в кристалле при комнатной температуре может быть порядка 0,1. Здесь e — деформация, c — среднее значение упругой постоянной, a — постоянная решетки.

3.6. Зависит ли классический результат (3.15) от предположения о том, что все атомные осцилляторы имеют одинаковую частоту? Почему?

3.7. Предположим, что мы имеем систему из N молекул, каждая из которых независимо от остальных может быть ориентирована относительно некоторого фиксированного направления одним из двух способов: параллельно или антипараллельно. Предположим, далее, что энергия молекулы с одной из ориентаций на ΔE больше, чем в противоположной. Тогда мы имеем простую систему энергетических уровней, показанную на рис. 3.8. При тепловом равновесии отношение числа N_1 молекул, находящихся в верхнем энергетическом состоянии, к числу молекул N_2 в нижнем состоянии определяется формулой Больцмана:

$$\frac{N_1}{N_2} = e^{-\frac{\Delta E}{kT}}.$$

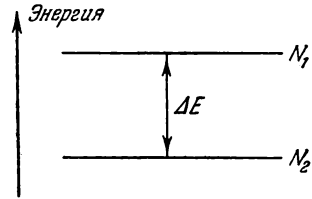


Рис. 3.8. Система, обладающая двумя уровнями энергии с заполнениями N_1 и N_2 .

Показать, что внутренняя энергия системы

$$U = N_1 \Delta E = \frac{N \Delta E}{1 + e^{\Delta E/kT}},$$

где $N = N_1 + N_2$. Показать, далее, что теплоемкость такой системы

$$C = Nk \frac{\left(\frac{\Delta E}{kT}\right)^2 e^{\frac{\Delta E}{kT}}}{\left(1 + e^{\frac{\Delta E}{kT}}\right)^2}.$$

Построить графики зависимости N_1 и C от параметра $x = \frac{kT}{\Delta E}$.

Заметим, что максимумы, получающиеся на кривой для теплоемкости, того же типа, что и так называемые аномалии Шоттки.

ГЛАВА 4

ДИЭЛЕКТРИЧЕСКИЕ СВОЙСТВА

В настоящей главе сначала рассматриваются соотношения между внешним электрическим полем и внутренним электрическим полем, действующими на атом в твердом теле. Характер взаимодействия атома с внутренним полем определяет поляризацию, а само внутреннее поле может в свою очередь зависеть от поляризации. Затем рассматривается электрическая поляризация атомов, молекул и кристаллов в статических полях и в переменных полях высокой частоты. Поляризация определяется как средний дипольный момент, приходящийся на единицу объема; дипольный момент образца в целом определяется как $\mathcal{P} = \sum e_i r_i$; сумма берется по всем зарядам системы. Предполагается, что система в целом электрически нейтральна; при этом условии величина суммы не зависит от выбора начала координат векторов r_i .

ВНУТРЕННЕЕ ЭЛЕКТРИЧЕСКОЕ ПОЛЕ

Расчет действующего на атом или ион внутреннего поля, обусловленного поляризацией образца в целом, является одной из важнейших задач теории диэлектриков и теории магнетизма. Рассмотрим сначала твердый диэлектрик, имеющий простую кубическую структуру. Предположим, что образец имеет форму эллипсоида, одна из осей которого параллельна направлению наложенного электрического поля (рис. 4.1).

Поле E_{loc} , действующее на какой-либо атом внутри кристалла, можно представить в виде суммы полей

$$E_{\text{loc}} = E_0 + E_1 + E_2 + E_3, \quad (4.1)$$

где E_0 — электрическое поле от внешних источников, E_1 — «деполяризующее поле», обусловленное зарядами, появившимися на его внешней поверхности в результате поляризации образца. Для пояснения физического смысла поля E_2 вообразим себе малую сферическую полость, вырезанную внутри образца с центром в исходной точке; поле E_2 , фигурирующее в (4.1), — это поле в центре сферы, обусловленное связанными зарядами на внутренней поверхности полости; E_3 — поле атомов внутри полости.

Часть поля внутри диэлектрика, описываемая суммой $E_1 + E_2 + E_3$, как раз полностью характеризует действие на исходный атом дипольных моментов всех других атомов образца. Поле $E_1 + E_2 + E_3$

в электростатической системе единиц описывается выражением

$$E_1 + E_2 + E_3 = \sum_i \frac{3(p_i r_i) r_i - r_i^2 p_i}{r_i^5},$$

или в системе МКС

$$E_1 + E_2 + E_3 = \frac{1}{4\pi\epsilon_0} \sum_i \frac{3(p_i r_i) r_i - r_i^2 p_i}{r_i^5}, \quad (4.2)$$

где p_i — дипольный момент атома i , а $\epsilon_0 = 8,85 \cdot 10^{-12}$ ф/м — диэлектрическая проницаемость.

Если абстрагироваться от микроскопической дипольной структуры однородно поляризованного образца, то можно, пользуясь мето-

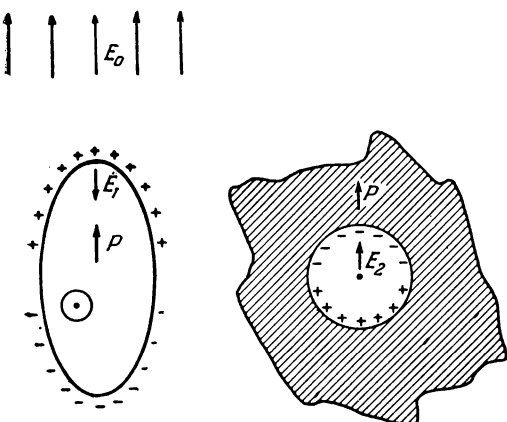


Рис. 4.1. Схематическое изображение полости внутри диэлектрика, поясняющее роль различных факторов, формирующих поле внутри диэлектрика, действующее на ион, расположенный в центре такой полости.

Показано внешнее поле E_0 , деполаризующее поле E_1 и поле Лорентца E_2 . Внутреннее действующее поле представляет собой сумму этих полей и поля диполей на внутренней поверхности полости.

дами элементарной электростатики, рассчитать поле внутри образца как поле зарядов, распределенных с плотностью P_n на поверхности образца; P_n будет представлять собой нормальную компоненту вектора поляризации P на поверхности образца. Идея введения воображаемой полости состоит в том, что поле E_3 диполей внутри полости мы можем трактовать микроскопически с помощью такой величины, как (4.2), а всю остальную часть образца — макроскопически с помощью интегралов по эффективным поверхностным зарядам. Один интеграл берется по внешней поверхности образца и дает поле E_1 , другой — по поверхности сферической полости и дает E_2 . Поле E_1 , как можно видеть из рис. 4.1, должно быть направлено противоположно направлению вектора поляризации, поэтому его и называют деполаризующим полем.

Деполаризующее поле. Расчет деполаризующего поля является задачей, хорошо известной из классической теории электричества. Поэтому здесь мы приведем лишь результаты. Установлено, что однородные образцы при помещении в однородное внешнее поле

будут однородно поляризоваться только в том случае, если они имеют форму эллипсоида или форму, являющуюся предельным случаем эллипсоида. Если одна из главных осей эллипсоида параллельна внешнему полю, то вектор поляризации будет параллелен внешнему полю, так же как и деполяризующее поле E_1 , величину которого, зная поляризацию P , можно определить из соотношения

$$E_1 = -NP \quad (\text{электростатическая система ед.}),$$

$$E_1 = -\frac{NP}{4\pi\epsilon_0} \quad (\text{система МКС}). \quad (4.3)$$

Константа N называется *деполяризующим фактором* (ее аналогом в магнетизме является размагничивающий фактор). Величина N зависит от отношения осей эллипсоида. В теории магнетизма величина N имеет исключительно важное значение.

На рис. 4.2 приведена кривая зависимости N от отношения осей эллипсоидов вращения. Случаи других форм были рассчитаны Осборном [1] и Стонером [2]¹⁾. Данное здесь определение величины N не зависит от выбора системы единиц и имеет одну и ту же величину как в электростатической системе, так и в системе МКС. Значения N для некоторых предельных случаев даны в приводимой ниже таблице:

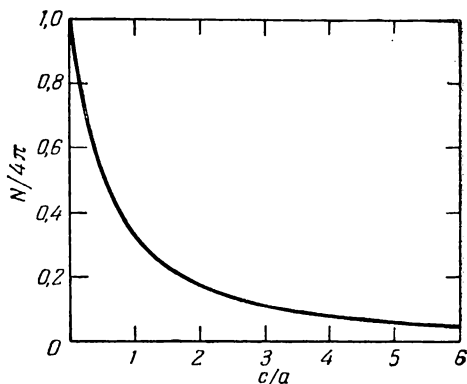


Рис. 4.2. Кривая зависимости деполяризующего фактора в направлении оси симметрии эллипсоида вращения от величины отношения осей c/a .

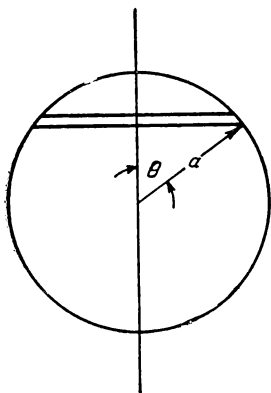
Форма образца	Направление	N
Сфера	Произвольное	$4\pi/3$
Тонкая пластинка	Перпендикулярно к плоскости пластинки	4π
Тонкая пластинка	В плоскости пластинки	0
Длинный круговой цилиндр	Вдоль оси цилиндра	0
Длинный круговой цилиндр	Перпендикулярно к оси цилиндра	2π

Понятие деполяризующего фактора имеет смысл, строго говоря, лишь для однородного эллипсоида в однородном внешнем поле.

¹⁾ Относительно приближенных значений для образцов неэллипсоидальной формы см. работы [3] — [5].

Деполаризующие (и размагничивающие) факторы эллипсоида имеют то важное свойство, что $N_a + N_b + N_c = 4\pi$, где N_a , N_b , N_c — деполаризующие факторы в направлении трех главных осей эллипсоида. Иногда величины N_j ($j = a, b, c$) определяют так, чтобы их сумма по главным осям эллипсоида была равна единице, но мы не будем этого делать.

Лорентцево поле. Поле E_2 , обусловленное связанными зарядами на поверхности воображаемой полости внутри диэлектрика, было впервые вычислено Лорентцем. Если θ — полярный угол в системе, где ось z совпадает с вектором поляризации, то поверхностная плотность заряда на поверхности полости равна $-P \cos \theta$ (рис. 4.3).



В центре сферической полости радиуса a электрическое поле

$$E_2 = \int_0^\pi a^{-2} (2\pi a \sin \theta) (a d\theta) (P \cos \theta) (\cos \theta) = \frac{4\pi P}{3} \quad (4.4)$$

Рис. 4.3. К расчету поля в сферической полости внутри однородно поляризованной среды. Заряд кольца равен $2\pi a \sin \theta a d\theta P \cos \theta$.

(в электростатической системе); в системе МКС получим

$$E_2 = \frac{P}{3\epsilon_0}.$$

Поле в полости оказывается, таким образом, действительно однородным, но для наших целей нам нужно лишь поле в центре полости; естественно, что его величина также равна только что вычисленной.

Поле диполей внутри полости. Поле E_3 , обусловленное диполями, заполняющими полость, относится к тем членам суммы (4.1), которые зависят от структуры кристалла. Сначала мы рассмотрим простую кубическую структуру, для которой, как уже было показано, $E_3 = 0$, если все атомы считать точечными диполями, параллельными друг другу. Пусть моменты всех диполей направлены по оси z . Поле в данной точке, обусловленное действием всех других диполей p_i ,

$$\begin{cases} E_3^z = \sum_i \frac{3p_i z_i^2 - p_i r_i^2}{r_i^5} & (\text{электростатическая система}), \\ E_3^z = \sum_i \frac{3p_i z_i^2 - p_i r_i^2}{4\pi\epsilon_0 r_i^5} & (\text{система МКС}). \end{cases} \quad (4.5)$$

В силу симметрии решетки и полости

$$\sum_i \frac{z_i^2}{r_i^5} = \sum_i \frac{y_i^2}{r_i^5} = \sum_i \frac{x_i^2}{r_i^5},$$

поэтому

$$\sum \frac{r_i^2}{r_i^5} = 3 \sum \frac{z_i^2}{r_i^5}$$

и, следовательно,

$$E_3 = 0.$$

Доказательство исчезновения E_3 , которое мы только что привели, справедливо во всех тех случаях, когда рассматриваемая точка находится внутри кубической решетки, а моменты диполей параллельны между собой. Таким образом, $E_3 = 0$ в случае индуцированной поляризации в простых, гранецентрированных и объемноцентрированных кубических решетках, а также в изотропных средах. Ниже при рассмотрении сегнетоэлектрических свойств титаната бария мы увидим, что в нем $E_3 \neq 0$; хотя решетка титаната бария имеет кубическую симметрию, но расположение ионов, окружающих ионы кислорода, кубической симметрией не обладает.

Поле в плоском конденсаторе, заполненном диэлектриком. Согласно классической теории электричества макроскопическое (среднее) электрическое поле внутри диэлектрика — это среднее поле E внутри данной узкой (иглообразной) полости, расположенной параллельно вектору поляризации, тогда как поле смещения D определяется как среднее поле внутри плоской дискообразной полости, расположенной перпендикулярно к вектору поляризации (рис. 4.4). Разность

$$D - E = 4\pi P \quad (\text{электростатическая система}) \quad (4.6)$$

определяется полем $4\pi P$ связанных зарядов плотности P , находящихся на плоских поверхностях дискообразной полости; влиянием связанных зарядов в иглообразной полости можно пренебречь. Внутри сферической полости поле равно $E + \frac{4\pi}{3} P$. В системе МКС формула (4.6) имеет вид

$$D - \epsilon_0 E = P,$$

а поле внутри сферической полости будет равно

$$E + \frac{P}{3\epsilon_0}.$$

Поляризация P или диэлектрическая проницаемость $\epsilon = D/E$ (в электростатической системе) или $\epsilon = D/\epsilon_0 E$ (в системе МКС)

обычно определяются путем измерения емкости $C = Q/V$ конденсатора, заполненного исследуемым диэлектриком. Предполагается, что в отсутствие диэлектрика напряженность поля между пластинами конденсатора равна E' , так что поверхностная плотность зарядов равна $\pm E'/4\pi$ (в электростатической системе) или $\pm \epsilon_0 E'$ (в системе МКС).

Если пространство между пластинами заполнить диэлектриком, то на его поверхности появятся заряды с плотностью $\pm P$; эти заряды затем нейтрализуются зарядами, текущими в цепи конденсатора.

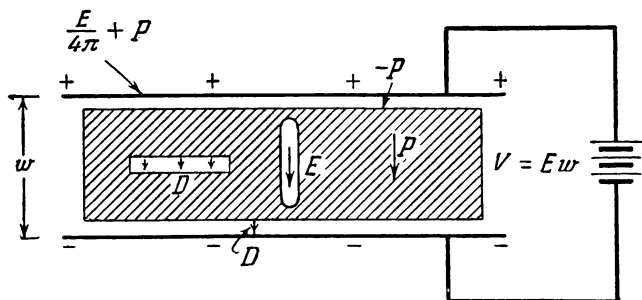


Рис. 4.4. К определению векторов D и E .

Напряжение V , приложенное к пластинам конденсатора, создает электрическое поле E ($V = Ew$, где w — расстояние между пластинами). Воздушными зазорами между пластинами конденсатора и диэлектриком при этом пренебрегаем; $E/4\pi + P$ — плотность заряда на пластине конденсатора; P — плотность заряда на поверхности диэлектрика. (Все формулы в электростатической системе единиц.)

Поле E в полости, расположенной параллельно вектору поляризации (иглообразной), будет равно сумме двух полей: 1) поля $-4\pi P$, обусловленного индуцированными зарядами, и 2) поля $E' + 4\pi P$, обусловленного исходными и нейтрализованными зарядами на пластинах конденсатора (оба выражения в электростатической системе единиц). Следовательно, для нашего конденсатора $E = E'$ и, согласно (4.1), (4.3) и (4.4),

$$E_{\text{loc}} = E_0 + E_1 + E_2 + E_3 = (E + 4\pi P) + (-4\pi P) + (4\pi P/3) + (0),$$

если кристаллографическая структура диэлектрика такова, что $E_3 = 0$. Мы получили формулу Лорентца

$$\begin{cases} E_{\text{loc}} = E + \frac{4\pi}{3} P & (\text{электростатическая система}), \\ E_{\text{loc}} = E + \frac{1}{3\epsilon_0} P & (\text{система МКС}). \end{cases} \quad (4.7)$$

Итак, величина макроскопического среднего поля E точно та же, что и поля между пластинами конденсатора перед введением туда диэлектрика; поле, действующее на атом внутри диэлектрика, равно сумме двух полей: 1) поля E и 2) поля $4\pi P/3$ (в электростатической системе ед.) или $P/3\epsilon_0$ (в системе МКС), обусловленного поляризацией всех других атомов образца. Далее следует отметить, что если пластины конденсатора достаточно тесно соприкасаются с диэлектриком, то может иметь место эффект закорачивания и деполяризация.

Тессман, Кан и Шюкли [6] доказали, что формула (4.7) приближенно выполняется также и для ионных кристаллов.

ДИЭЛЕКТРИЧЕСКАЯ ПРОНИЦАЕМОСТЬ И ПОЛЯРИЗУЕМОСТЬ

Диэлектрическая проницаемость ϵ имеет одинаковую величину как в электростатической системе, так и в системе МКС. Для изотропных сред она определяется соотношением

$$\begin{aligned}\epsilon &= \frac{D}{E} = 1 + 4\pi \frac{P}{E} = 1 + 4\pi\chi \quad (\text{электростатическая система}), \\ \epsilon &= \frac{D}{\epsilon_0 E} = 1 + \frac{P}{\epsilon_0 E} = 1 + 4\pi\chi \quad (\text{система МКС}),\end{aligned}\quad (4.8)$$

где χ — диэлектрическая восприимчивость. В появлении перед χ множителя 4π в (4.8) нет ничего удивительного; благодаря ему численные значения χ становятся независимыми от применяемой системы единиц. Поляризуемость определяется соотношением

$$\alpha_i = \frac{p_i}{E_{\text{loc}}^i} \quad (\text{электростатическая система}), \quad (4.9)$$

где индекс i относится к типу атома, p_i — дипольный момент. Пользуясь величиной α_i , поляризацию можно записать в виде

$$P = \sum_i E_{\text{loc}}^i N_i \alpha_i,$$

где N_i — число атомов типа i в единице объема.

Если внутреннее поле связано с внешним полем формулой Лорентца (4.7), то имеем

$$\frac{P}{E} = \frac{\sum N_i \alpha_i}{1 - \frac{4\pi}{3} \sum N_i \alpha_i} = \frac{\epsilon - 1}{4\pi} \quad (\text{электростатическая система}). \quad (4.10)$$

Разрешая это соотношение относительно $\sum N_i \alpha_i$, получим

$$\frac{\epsilon - 1}{\epsilon + 2} = \frac{4\pi}{3} \sum N_i \alpha_i. \quad (4.11)$$

Это выражение в общей форме описывает связь между диэлектрической проницаемостью вещества и поляризуемостью атомов. Выражение (4.11) можно переписать в виде формулы Клаузиуса — Мосотти (или Лоренц — Лорентца, если заменить ϵ на n^2):

$$\frac{M}{\rho} \frac{\epsilon - 1}{\epsilon + 2} = \frac{4\pi}{3} L\alpha \quad (\text{электростатическая система}), \quad (4.12)$$

где M — молекулярный вес, ρ — плотность, L — число Авогадро, n — показатель преломления, α — полная поляризуемость, отнесенная к одной молекуле.

Величина, стоящая в левой части (4.12), называется *молярной поляризуемостью*.

Измерение диэлектрической проницаемости. Обычный метод измерения диэлектрической проницаемости основан на сравнении

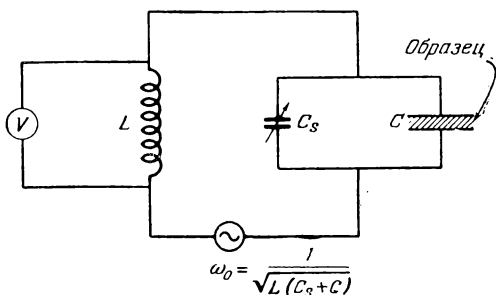


Рис. 4.5. Схема устройства для измерения диэлектрической проницаемости.

емкости C'' конденсатора, заполненного исследуемым веществом, с емкостью C' пустого конденсатора. Отношение C''/C' равно диэлектрической проницаемости ϵ . Определение величины емкости в принципе можно осуществить при помощи резонансного контура, содержащего индуктивность L и емкость C . Такой контур показан на рис. 4.5, где C_s — калиброванный переменный конденсатор, а C —

конденсатор, в который можно помещать исследуемый образец. При введении образца в конденсатор C переменную емкость C_s изменяют так, чтобы сохранить неизменной резонансную частоту $\omega_0 = L(C_s + C)^{-1/2}$; отсюда можно найти C' и C'' , а следовательно, и ϵ . Диэлектрические потери можно определить по остроте настройки вблизи резонанса.

Конкретные схемы, используемые для таких измерений, неоднократно описывались в литературе. В случае сверхвысоких частот техника измерений несколько изменяется; здесь чаще измеряют длину волны λ в образце. Диэлектрическая проницаемость получается из соотношения

$$\frac{\lambda \text{ (в вакууме)}}{\lambda \text{ (в образце)}} = \sqrt{\epsilon\mu},$$

где μ — магнитная проницаемость.

Электронные поляризуемости. Полную поляризуемость атома или иона обычно считают состоящей из трех частей¹⁾: электронной, ионной и ориентационной. Электронная часть поляризуемости обусловлена смещением электронов в атоме относительно ядра, т. е. деформацией электронной оболочки атома. Ионная (или атомная) часть поляризуемости связана со смещениями заряженных ионов по

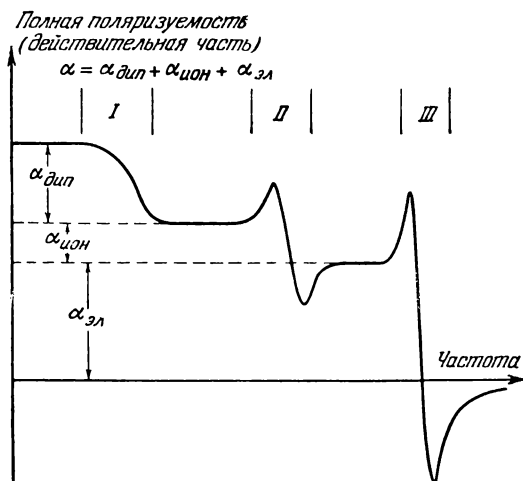


Рис. 4.6. Схематическая кривая, иллюстрирующая частотную зависимость различных составляющих действительной части полной поляризуемости.

I — область радио- и микроволновых частот, II — область инфракрасных частот, III — область ультрафиолетовых частот.

отношению к другим ионам. Ориентационная (или дипольная) поляризуемость возникает в тех случаях, когда молекулы, из которых состоит данное вещество, обладают постоянным электрическим дипольным моментом, ориентация которого может более или менее легко изменяться под действием внешнего электрического поля. Можно экспериментально разделять эти различные части поляризуемости. Один из способов такого разделения иллюстрируется рисунком 4.6.

Обычно редко бывает так, что в одном и том же веществе и ионная и дипольная доли поляризуемости одинаково велики. Например,

¹⁾ В гетерогенных материалах обычно имеет место еще один механизм поляризации, связанный со скоплением зарядов на границах включений (interfacial polarisation). Этот тип поляризации не имеет принципиального значения, но представляет большой практический интерес, так как коммерческие изоляционные материалы обычно гетерогенны. (Подробнее — в книге Хипеля [7]. (Прим. перев.))

в ионных кристаллах дипольная часть поляризуемости вообще отсутствует.

В области оптических частот диэлектрическая проницаемость почти целиком обусловлена электронной поляризуемостью. В этой области формула (4.11) принимает вид

$$\frac{n^2 - 1}{n^2 + 2} = \frac{4\pi}{3} \sum N_i a_i \quad (\text{электронная}) \quad (4.13)$$

(здесь положено $\epsilon = n^2$, где n — показатель преломления, и использована электростатическая система единиц).

Пользуясь наблюдаемыми значениями показателя преломления, с помощью формулы (4.13) можно для большого числа кристаллов со вполне удовлетворительной точностью определить значения электронной поляризуемости. Полученные этим путем значения приведены в табл. 4.1.

Таблица 4.1

Электронная поляризуемость ионов (в единицах 10^{-24} см^3)

Значения, приведенные в таблице, взяты из статьи Полинга [8] и из статьи Тессмана, Кана и Шоки [6], где поляризуемости определялись для D-линии натрия

		He	Li ⁺	Be ²⁺	Br ³⁺	C ⁴⁺	Источник
		0,201 —	0,029 0,03	0,008 —	0,003	0,0013	[8] [6]
O ²⁻	F ⁻	Ne	Na ⁺	Mg ²⁺	Al ³⁺	Si ⁴⁺	
3,88 (2,4)	1,04 0,652	0,390 —	0,179 0,41	0,094 —	0,052 —	0,0165 —	[8] [6]
S ²⁻	Cl ⁻	Ar	K ⁺	Ca ²⁺	Sc ³⁺	Ti ⁴⁺	
10,2 (5,5)	3,66 2,97	1,62 —	0,83 1,33	0,47 1,1	0,286 —	0,185 (0,19)	[8] [6]
Se ²⁻	Br ⁻	Kr	Rb ⁺	Sr ²⁺	Y ³⁺	Zr ⁴⁺	
10,5 (7,0)	4,77 4,17	2,46 —	1,40 1,98	0,86 1,6	0,55 —	0,37 —	[8] [6]
Te ²⁻	I ⁻	Xe	Cs ⁺	Ba ²⁺	La ³⁺	Ce ⁴⁺	
14,0 (9,0)	7,10 6,44	3,99 —	2,42 3,34	1,55 2,5	1,04 —	0,73 —	[8] [6]

Из рассмотрения таблицы можно установить, что приведенные в ней данные не вполне согласуются между собой; дело, по-види-

тому, в том, что значения электронной поляризуемости ионов могут несколько зависеть от окружающих их в кристалле частиц.

Классическая теория электронной поляризуемости. Если силы, удерживающие электрон в атоме, таковы, что его колебания происходят по гармоническому закону, то согласно классической механике частота его колебаний

$$\omega_0 = \sqrt{\frac{\beta}{m}}, \quad (4.14)$$

где β — коэффициент упругой связи. Именно при этой частоте должно иметь место резонансное поглощение. Среднее смещение электрона \bar{x} , вызванное действием электрического поля E_{loc} , можно определить из условия

$$eE_{\text{loc}} = \beta \bar{x} = m\omega_0^2 \bar{x}. \quad (4.15)$$

Таким образом, для статической электронной поляризуемости (в электростатической системе единиц)

$$\alpha^{(\text{эл})} = \frac{p}{E_{\text{loc}}} = \frac{e\bar{x}}{E_{\text{loc}}} = \frac{e^2}{m\omega_0^2}. \quad (4.16)$$

Электронная поляризуемость будет зависеть от частоты, и эта зависимость от частоты, согласно результатам приводимого ниже примера, имеет вид

$$\alpha^{(\text{эл})} = \frac{\frac{e^2}{m}}{\omega_0^2 - \omega^2}. \quad (4.17)$$

Но в видимой области эта дисперсия у большинства диэлектрических материалов обычно не очень значительна.

Пример. Найдем частотную зависимость электронной поляризуемости для электрона, имеющего резонансную частоту ω_0 . В качестве модели такой системы возьмем простой гармонический осциллятор.

Уравнение движения в электрическом поле $E_0 e^{i\omega t}$ имеет вид

$$m\ddot{x} + m\omega_0^2 x = eE e^{i\omega t}. \quad (4.18)$$

Решение будем искать в виде

$$x = x_0 e^{i\omega t}. \quad (4.19)$$

Подставив это решение в уравнение, получим

$$m(-\omega^2 + \omega_0^2)x_0 = eE_0. \quad (4.20)$$

Дипольный момент считаем равным $p_0 e^{i\omega t}$, где

$$p_0 = ex_0 = \frac{e^2 E_0}{m(\omega_0^2 - \omega^2)}. \quad (4.21)$$

Из этого результата сразу следует формула (4.17).

Пользуясь формулой (4.16), оценим по порядку величины электронную поляризуемость водорода

$$\alpha \cong \frac{e^2}{m\omega_0^2} \cong \frac{e^2}{m} \left(\frac{\hbar^3}{me^4} \right)^2 = \frac{\hbar^6}{m^3 e^6} = a_H^3 \cong 10^{-25} \text{ см}^3. \quad (4.22)$$

Ионная поляризуемость. У хлористого натрия показатель преломления $n = 1,5$, следовательно, $n^2 = 2,25$, в то время как значение статической диэлектрической проницаемости равно 5,62. Различие в значениях статической и оптической диэлектрической проницаемостей ($\Delta\epsilon$) в случае ионных кристаллов можно приписать ионной поляризуемости; для хлористого натрия величина разности $\Delta\epsilon = 3,37$. Ионная поляризация обусловлена относительными смещениями ионов противоположного знака во внешнем электрическом поле, а также деформацией электронных оболочек ионов вследствие относительного движения ионов.

Рассмотрим, что будет происходить в кристалле хлористого натрия при наложении однородного внешнего поля E_0 . Каждый ион Na^+ сместится из своего положения равновесия в каком-то направлении, каждый ион Cl^- сместится в противоположном направлении. Дипольный момент равен произведению смещения на заряд электрона e . Для сопоставления в табл. 4.2 для ряда веществ значения статической диэлектрической проницаемости $\epsilon(0)$ приведены вместе со значениями квадрата оптического показателя преломления.

Таблица 4.2

Статическая диэлектрическая проницаемость $\epsilon(0)$ и квадрат показателя преломления (n^2) для галогенидов щелочных металлов со структурой NaCl

Кристалл	$\epsilon(0)$	n^2	Кристалл	$\epsilon(0)$	n^2
LiF	9,27	1,92	KBr	4,78	2,33
NaF	6,0	1,74	KI	4,94	2,69
NaCl	5,62	2,25	RbCl	5	2,19
NaI	6,60	2,91	RbBr	5	2,33
KCl	4,68	2,13	RbI	5	2,63

Ориентационная поляризуемость. Поляризуемость, возникающая в результате ориентировки внешним электрическим полем молекул, обладающих постоянным электрическим дипольным моментом, обычно

рассматривается в теории газов и жидкостей. Однако этот тип поляризуемости имеет важное значение и в некоторых твердых телах; он был впервые рассмотрен Дебаем (1912), который показал, что предположение о наличии у молекул постоянного дипольного момента дает возможность объяснить большие значения диэлектрической проницаемости воды, спирта и других аналогичных жидкостей, а также температурную зависимость диэлектрической проницаемости этих веществ. Проблема диэлектрической проницаемости воды состоит, как известно,

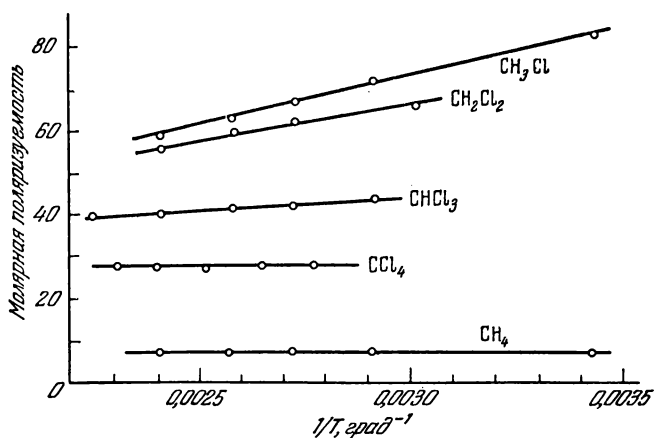


Рис. 4.7. Величина $(M/\rho)(\epsilon - 1)/(\epsilon + 2) = 4\pi L\alpha/3$ (называемая молярной поляризуемостью) как функция обратной температуры для соединений полярного и неполярного замещенного метана в газообразном состоянии [9].

в том, что ее статическая диэлектрическая проницаемость аномально велика, а именно, равна 81 (при комнатной температуре), тогда как при оптических частотах она равна $(1,33)^2 = 1,77$. Теперь установлено, что это различие обусловлено ориентационной поляризацией, которая играет важную роль при низких частотах, но при длинах волн, меньших примерно 1 см, становится несущественной.

Типичная зависимость ориентационной поляризуемости от обратной температуры показана на рис. 4.7. Заметим, что молекула CH_3Cl имеет постоянный электрический дипольный момент, а молекулы CCl_4 и CH_4 такового не имеют.

В отсутствие тепловых возбуждений и взаимодействий между ними молекулы с постоянным дипольным моментом располагаются все в одном направлении при наложении даже сколь угодно слабого внешнего поля; это означает, что диэлектрическая проницаемость должна иметь бесконечно большую величину. В действительности ориентирующее действие электрического поля частично уменьшается тепловыми

колебаниями, а в твердых телах и некоторых жидкостях оно будет затрудняться взаимодействием молекул на малых расстояниях.

Рассмотрим действие теплового движения на свободно движущиеся молекулы. Потенциальная энергия молекулы с постоянным моментом p в поле E имеет вид

$$V = -pE = -pE \cos \theta, \quad (4.23)$$

где θ — угол между дипольным моментом и направлением поля. Тогда поляризация

$$P = N_p \overline{\cos \theta},$$

где N — число молекул в единице объема, $\overline{\cos \theta}$ — значение $\cos \theta$, среднее по всему распределению при тепловом равновесии.

Согласно закону распределения Больцмана относительная вероятность того, что момент молекулы расположен внутри телесного угла $d\Omega$, пропорциональна $e^{-V/kT}$, и поэтому

$$\overline{\cos \theta} = \frac{\int e^{-\frac{V}{kT}} \cos \theta d\Omega}{\int e^{-\frac{V}{kT}} d\Omega}. \quad (4.24)$$

Для того чтобы осуществить интегрирование по полному телесному углу, перейдем к полярным координатам

$$\overline{\cos \theta} = \frac{\int_0^\pi 2\pi \sin \theta \cos \theta e^{pE \cos \theta / kT} d\theta}{\int_0^\pi 2\pi \sin \theta e^{pE \cos \theta / kT} d\theta}$$

(множитель 2π появился в результате интегрирования по φ). Полагая $\cos \theta = x$, $pE/kT = a$, будем иметь

$$\overline{\cos \theta} = \frac{\int_{-1}^{+1} e^{ax} x dx}{\int_{-1}^{+1} e^{ax} dx} = \frac{d}{da} \ln \int_{-1}^{+1} e^{ax} dx = \operatorname{cth} a - \frac{1}{a} = L(a). \quad (4.25)$$

Легко заметить, что полученное выражение совпадает с функцией Ланжевена, которая была впервые введена при построении теории магнитной восприимчивости парамагнитных веществ. График этой функции приведен на рис. 4.8; ясно видно, что при $pE \gg kT$ кривая обнаруживает тенденцию к насыщению.

С точки зрения сравнения с опытом наиболее интересна область $pE \ll kT$. Величина дипольного момента p порядка 10^{-18} эл.-ст. ед, так что при комнатной температуре ($kT = 4 \cdot 10^{-14}$ эрг), если, например, $E = 3000$ в/см $= 10$ эл.-ст. ед/см, то величина $pE \cong 10^{-17}$ эрг.

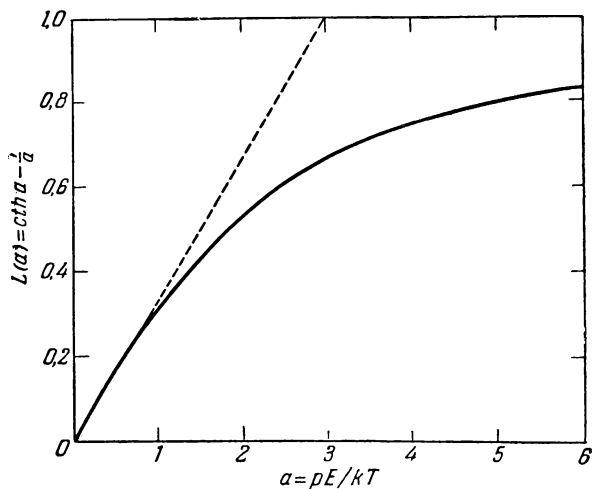


Рис. 4.8. Кривая зависимости функции Ланжевена $L(a)$ от своего аргумента $a = pE/kT$.

Наклон кривой в начале координат показан пунктирной линией.

Таким образом, $pE/kT \cong 1/4000$, и наше условие выполняется. В предельном случае $a \ll 1$ (в электростатической системе единиц)

$$L(a) \cong \frac{a}{3} = \frac{pE}{3kT}, \quad (4.26)$$

и следовательно, поляризация (в той же системе единиц)

$$P = N \overline{p \cos \theta} = \frac{N p^2 E}{3kT}, \quad (4.27)$$

а поляризуемость (на молекулу)

$$\alpha_{(\text{дип})} = \frac{p^2}{3kT}. \quad (4.28)$$

При комнатной температуре — это величина порядка $(10^{-18})^2 \cdot 10^{13} \cong 10^{-23}$ см³, т. е. того же порядка, что и электронная поляризуемость.

Выражение для полной поляризуемости может быть записано теперь в виде

$$\alpha = \alpha_0 + \frac{p^2}{3kT}, \quad (4.29)$$

где через α_0 обозначена деформационная поляризуемость (т. е. сумма электронной и ионной поляризуемостей). Выражение (4.29) известно как формула Ланжевена — Дебая; она имела очень большое значение для интерпретации структуры молекул. Дипольный момент определяется из построения графика зависимости α или молярной поляризуемости (4.12) от $1/T$ (см. рис. 4.7); величина наклона кривой просто связана с p . Этим способом были, например, определены дипольные моменты следующих молекул:

Молекула	HCl	HBr	HI	H ₂ O
$p, 10^{-18}$ эл.-ст. ед	1,03	0,79	0,38	1,87

Дипольные моменты часто выражают в единицах Дебая: 10^{-18} эл.-ст. ед; единица дипольного момента Дебая по порядку величины равна произведению заряда электрона на межатомное расстояние.

Ориентация диполей в твердых телах. Можно ожидать, что в жидкостях и газах молекулы могут поворачиваться совершенно свободно; что касается постоянных дипольных моментов в твердых телах, то следует ожидать, что вся обусловленная ими ориентационная часть поляризуемости может быть вычислена, как описывалось выше. В молекулярных твердых телах способность дипольной молекулы поворачиваться зависит главным образом от ее формы и от величины сил ее взаимодействия с окружающими молекулами. Чем ближе форма молекулы к сферической и чем меньше величина дипольного момента, тем легче может происходить вращение. Таким образом, например, в твердом метане (CH₄), у которого молекулы неполярные и имеют симметричную форму, вращение происходит довольно свободно; в твердом водороде вращение молекул происходит столь свободно, что частоты линий спектра комбинационного рассеяния для твердого водорода оказываются весьма близкими к соответствующим частотам для газообразного H₂. Менее симметричные молекулы, например HCl и H₂O, при высоких температурах обладают, по-видимому, некоторым числом устойчивых ориентаций; время перехода от одной устойчивой ориентации к другой называется временем релаксации.

ДИПОЛЬНАЯ РЕЛАКСАЦИЯ И ДИЭЛЕКТРИЧЕСКИЕ ПОТЕРИ

Основная причина различия между низкочастотной диэлектрической постоянной и высокочастотной (определяемой, как квадрат оптического показателя преломления) связана с затуханием или релаксацией ориентационной части диэлектрической проницаемости. Введем время релаксации, которое определим как промежуток времени, характеризующий процесс перехода возмущенной системы в равновесное состояние, а частоту релаксации как величину, обратную времени релаксации. В неоднородных диэлектриках, где имеет место поляризация, связанная со скоплением заряда на включениях (механизм Максвелла — Вагнера), может существовать другой тип релаксации, который имеет важное значение для технических диэлектрических материалов (см. задачу 4.5 в конце главы). Ориентационные частоты релаксации изменяются в широком интервале значений и могут сильно зависеть от температуры. В случае воды при комнатной температуре релаксация имеет место при частоте примерно $3 \cdot 10^{10}$ гц, т. е. соответствует длинам электромагнитных волн порядка 1 см. В случае льда при -20°C частоты релаксации порядка 1 кгц (рис. 4.9).

Время релаксации по Дебаю. Дебай [11] предложил изящную теорию диэлектрической релаксации в полярных жидкостях и в растворах полярных молекул в неполярных растворителях. Основной его результат — выражение для частотной зависимости ориентационной части поляризуемости — имеет вид

$$\alpha = \frac{\alpha_0}{1 + i\omega\tau}, \quad (4.30)$$

где τ — время релаксации, α_0 — статическая ориентационная поляризуемость. Дебай предсказал также, что в жидкостях время релаксации зависит от вязкости и что эта зависимость приближенно

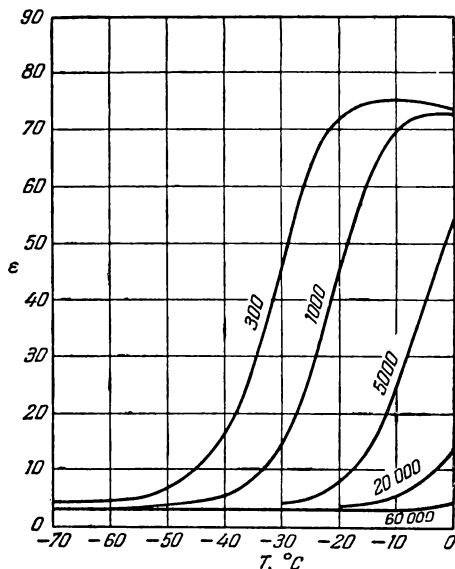


Рис. 4.9. Температурная зависимость диэлектрической проницаемости льда при различных частотах (значения частоты в герцах приведены у кривых). (Из работы Смита и Хичкока [10].)

выражается формулой

$$\tau = \frac{4\pi\eta a^3}{kT}, \quad (4.31)$$

где a — радиус молекулы, которая предполагается сферической. Для воды при комнатной температуре получаем $\tau \cong 10^{-11}$ сек (принимается $a \cong 10^{-8}$ см, $\eta = 0.01$ пуаза); это значение довольно близко к экспериментальным данным для воды.

Почему для времени релаксации имеет место зависимость вида (4.31), можно понять, если сделать естественное предположение, что частота релаксации $\omega_0 = 1/\tau$ получается из приближенного равенства вращательной тепловой энергии kT работе против сил трения при повороте молекулы на 1 рад. Согласно закону Стокса коэффициент трения при вращении сферической частицы в вязкой среде равен $8\pi\eta a^3\omega$, откуда работа, необходимая для преодоления сил трения при повороте на 1 рад, равна

$$\frac{8\pi a^3 \omega}{a} a \cdot 1 = 8\pi\eta a^3 \omega.$$

Полагая эту величину равной kT для $\omega = \omega_0$, получим

$$\tau \equiv \frac{1}{\omega_0} \cong \frac{8\pi a^3}{kT}.$$

В приведенных рассуждениях мы исходим из того, что когда ω превышает ω_0 , тепловой энергии недостаточно для поворачивания молекулы против сил вязкости.

Релаксация в твердых телах. Следуя Дебаю [11], мы можем исходить из следующей грубой модели процесса диэлектрической релаксации в дипольных твердых телах. Предположим, что каждая молекула твердого тела обладает постоянным электрическим моментом p , который может располагаться в одном из двух направлений: 1) вдоль и 2) противоположно полю E . Такая ориентация вызывается не квантованием, а характером пространственного расположения молекул в твердом теле. Одна из целей настоящего расчета состоит в том, чтобы продемонстрировать, что в случае модели двух антипараллельных ориентаций моментов величина α зависит от температуры по закону $1/T$, т. е. точно так же, как и для рассмотренной выше модели непрерывно распределенных ориентаций.

Предположим, далее, что в данный момент имеется n_1 молекул в первом положении и n_2 молекул во втором и что вероятность перехода частицы из первого положения во второе за время δt равна $\omega_{12} \delta t$, тогда как вероятность обратного перехода равна $\omega_{21} \delta t$.

Итак, можно написать

$$\left. \begin{aligned} \frac{dn_1}{dt} &= -w_{12}n_1 + w_{21}n_2, \\ \frac{dn_2}{dt} &= w_{12}n_1 - w_{21}n_2. \end{aligned} \right\} \quad (4.32)$$

При равновесии

$$\frac{dn_1}{dt} = \frac{dn_2}{dt} = 0,$$

и, следовательно, должно иметь место равенство

$$\frac{n_1}{n_2} = \frac{w_{21}}{w_{12}}. \quad (4.33)$$

Кроме того, при равновесии величины n_1 и n_2 должны подчиняться закону распределения Больцмана, т. е.

$$n_1 = Ae^{pE/kT}; \quad n_2 = Ae^{-pE/kT}, \quad (4.34)$$

где A — постоянная величина. Следовательно, согласно (4.33) для вероятностей разумно принять

$$w_{12} = \frac{1}{2\tau} e^{-pE/kT}; \quad w_{21} = \frac{1}{2\tau} e^{pE/kT}. \quad (4.35)$$

В случае $pE \ll kT$ из (4.32) и (4.35) получим

$$\left. \begin{aligned} 2\tau \frac{dn_1}{dt} &= -(n_1 - n_2) + \frac{pE}{kT} (n_1 + n_2), \\ 2\tau \frac{dn_2}{dt} &= (n_1 - n_2) - \frac{pE}{kT} (n_1 + n_2). \end{aligned} \right\} \quad (4.36)$$

Если поле E — переменное и изменяется по закону $e^{i\omega t}$, т. е. с угловой частотой ω , то уравнения (4.36) имеют решения

$$n_1 - n_2 = \frac{(n_1 + n_2)}{1 + i\omega\tau} \frac{pE}{kT}, \quad (4.37)$$

где величина τ , введенная в соотношениях (4.35), играет роль времени релаксации. Если в единице объема имеется N молекул, то для поляризуемости имеем

$$N\alpha = \frac{P}{E} = \frac{p(n_1 - n_2)}{E} = \frac{Np^2}{kT} \frac{1}{1 + i\omega\tau}, \quad (4.38)$$

т. е. выражение, весьма сходное с (4.30).

В твердых телах времена релаксации обычно значительно больше, чем в жидкостях. Это в известной степени аналогично положению со скоростью диффузии в жидкостях и твердых телах. Брекениджу [12]

весьма успешно удалось связать диэлектрические потери, наблюдаемые в кристаллах галогенидов щелочных металлов, с наличием дефектов в кристаллической решетке.

Комплексная диэлектрическая проницаемость и угол потерь.

Если имеют место релаксационные процессы, то диэлектрическую проницаемость удобно представлять в комплексной форме. Поскольку поляризуемость

$$\alpha = \frac{\alpha_0}{1 + i\omega\tau},$$

то диэлектрическая проницаемость (если принять, что внутреннее поле, действующее в диэлектрике, совпадает с внешним полем) может быть представлена в виде

$$\begin{aligned}\epsilon &= \epsilon_1 - i\epsilon_2 = 1 + \frac{4\pi\alpha_0 N}{1 + i\omega\tau} = \\ &= 1 + \frac{4\pi\alpha_0 N}{1 + \omega^2\tau^2} - i \frac{4\pi\alpha_0\omega\tau N}{1 + \omega^2\tau^2}.\end{aligned}$$

Таким образом,

$$\begin{aligned}\epsilon_1 &= \text{Re } \epsilon = 1 + \frac{4\pi\alpha_0 N}{1 + \omega^2\tau^2}, \\ \epsilon_2 &= -\text{Im } \epsilon = \frac{4\pi\alpha_0\omega\tau N}{1 + \omega^2\tau^2},\end{aligned}\quad (4.39)$$

где $\text{Re } \epsilon$ — вещественная, а $\text{Im } \epsilon$ — мнимая части ϵ . Зависимость ϵ_1 и ϵ_2 от частоты иллюстрируется кривыми на рис. 4.10.

Мощность, рассеиваемая в единице объема,

$$\mathcal{P} = j_p E, \quad (4.40)$$

где j_p — компонента плотности тока, находящегося в фазе с E . Как известно, можно записать:

$$\begin{aligned}j &= \sigma E + \frac{1}{4\pi} \frac{\partial D}{\partial t} = \left(\sigma + \frac{i\omega\epsilon}{4\pi} \right) E \quad (\text{электростатическая система}), \\ j &= \sigma E + \frac{\partial D}{\partial t} = (\sigma + i\omega\epsilon\epsilon_0) E \quad (\text{система МКС});\end{aligned}\quad (4.41)$$

при $\sigma = 0$ и $\epsilon = \epsilon_1 - i\epsilon_2$ это равенство принимает вид

$$\begin{aligned}j &= \left(\frac{\epsilon_2\omega}{4\pi} + \frac{i\epsilon_1\omega}{4\pi} \right) E \quad (\text{электростатическая система}), \\ j &= (\epsilon_2\omega + i\epsilon_1\omega) \epsilon_0 E \quad (\text{система МКС}).\end{aligned}$$

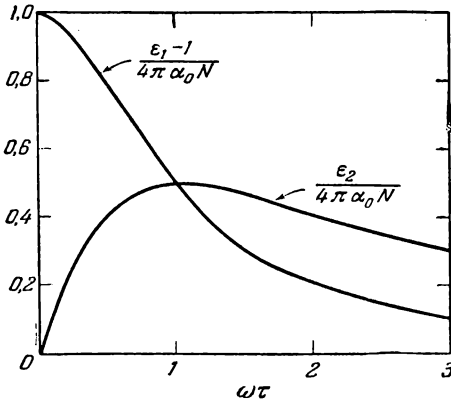


Рис. 4.10. Частотная зависимость действительной и мнимой частей диэлектрической проницаемости $\epsilon = \epsilon_1 - i\epsilon_2$ при некотором механизме релаксации.

Следовательно, для рассеиваемой мощности имеем:

$$\mathcal{P} = \frac{E^2}{4\pi} \omega \epsilon_2 = \frac{\epsilon_1 E^2}{4\pi} \omega \operatorname{tg} \delta \quad (\text{электростатическая система}), \quad (4.42)$$

$$\mathcal{P} = \epsilon_1 \epsilon_0 E^2 \omega \operatorname{tg} \delta \quad (\text{система МКС}),$$

где δ — угол потерь — определяется соотношением

$$\operatorname{tg} \delta = \frac{\epsilon_2}{\epsilon_1}. \quad (4.43)$$

Так называемый *Q-фактор* системы определяется как отношение

$$Q = \frac{\text{максимальная запасенная энергия}}{\text{средняя энергия потерь на радиан}}, \quad (4.44)$$

которое в случае диэлектрика принимает вид

$$Q = \frac{\frac{1}{8\pi} \epsilon_1 E_0^2}{\frac{1}{4\pi} \epsilon_1 \bar{E}^2 \operatorname{tg} \delta} = \frac{1}{\operatorname{tg} \delta}, \quad (4.45)$$

где принято во внимание то обстоятельство, что среднее значение E^2 за цикл равно $E_0^2/2$, если амплитуда равна E_0 . Результат: $Q = 1/\operatorname{tg} \delta$ не зависит от выбора системы единиц.

Значения ϵ_1 и $\operatorname{tg} \delta$ для некоторых изоляционных материалов при частоте 25 000 мГц приведены в табл. 4.3.

Т а б л и ц а 4.3

Диэлектрическая постоянная и тангенс угла потерь
при частоте 25 000 мГц

Материал	ϵ_1	$\operatorname{tg} \delta$	Материал	ϵ_1	$\operatorname{tg} \delta$
Полистирен	2,55	0,0012	Эбонит	2,73	0,0038
Люцит	2,57	0,0032	Тефлон	—	0,0006
Парафин	2,26	0,0001	Полиэтилен	—	0,0006
Свинцовое стекло .	6,8	0,009	Плавленный кварц .	—	0,00025

Хорошая сводка данных по свойствам диэлектриков в интервале частот от 100 гц до $2,5 \cdot 10^{10}$ гц имеется в книге Хиппея [7].

СЕГНЕТОЭЛЕКТРИЧЕСКИЕ КРИСТАЛЛЫ

Сегнетоэлектрическими кристаллами называют кристаллы, обладающие самопроизвольным электрическим дипольным моментом, другими словами, — это кристаллы, у которых даже в отсутствие внешнего электрического поля «центр» положительных зарядов не

совпадает с «центром» отрицательных зарядов. Можно показать, что необходимым, но не достаточным условием существования сегнетоэлектрических свойств является отсутствие у кристалла центра симметрии. Все сегнетоэлектрики обладают пьезоэлектрическими свойствами, но далеко не все пьезоэлектрики (например, кварц) обладают сегнетоэлектрическими свойствами. Вообще говоря, явление сегнетоэлектричества следует трактовать как результат так называемой поляризационной «катастрофы». Отметим, далее, что сегнетоэлектрические кристаллы поляризуются в определенных направлениях. Заряды, возникающие на поверхности кристалла вследствие самопроизвольной поляризации, постепенно нейтрализуются свободными зарядами, осаждающимися из атмосферы на поверхность кристалла, а также за счет проводимости самого кристалла.

В ряде веществ поляризация обладает очень большой коэрцитивной силой, т. е. направление самопроизвольной поляризации нельзя изменить даже самым сильным электрическим полем, которое можно наложить, не вызывая электрического пробоя кристалла. Самопроизвольный электрический момент в этих веществах наблюдается лишь при нагревании — поляризация появляется в результате изменения температуры. Кристаллы, у которых заметный самопроизвольный электрический момент появляется лишь при нагревании (к ним относится турмалин), называют *пироэлектрическими*.

Кристаллы с низкой коэрцитивной силой, у которых направление самопроизвольного момента можно изменить электрическим полем, называются сегнетоэлектрическими. Диэлектрическая проницаемость таких кристаллов часто достигает очень больших значений¹⁾.

Электреты. Имеется другая класс веществ, известных под названием *электреты*, которые могут обладать «постоянными» электрическими моментами. Электреты получают при затвердевании смесей некоторых органических смол в сильном электрическом поле. Некоторые из молекул этих веществ имеют постоянные дипольные моменты; электрическое поле ориентирует их, а при затвердевании эти моменты остаются фиксированными, сохраняя полученную ориентацию²⁾.

Постоянная поляризация, полученная таким путем, может сохраняться в течение нескольких лет, однако надо полагать, что состоя-

¹⁾ Автор неполно и не совсем четко сформулировал основные характеристики и различия между сегнетоэлектрическими, пироэлектрическими и пьезоэлектрическими кристаллами. Кроме того, и термин *электреты* в научной литературе часто применяется в более широком смысле, чем это определено у автора. Тем читателям, у которых есть необходимость углубиться в эти вопросы, следует обратиться к другим курсам (например, Г. С. Жданова [13] или Ная [14]) или к специальным монографиям (например, Сканави [15] и Мэзона [16]). (*Прим. перев.*)

²⁾ Электреты были открыты Эгучи в 1925 г.

ние поляризации в электретах является, вообще говоря, метастабильным и что стабильным состоянием электретов является неполяризованное состояние. Здесь мы не будем рассматривать электреты, обзор их свойств читатель найдет в статье Гутмана [17].

КЛАССИФИКАЦИЯ СЕГНЕТОЭЛЕКТРИЧЕСКИХ КРИСТАЛЛОВ

В табл. 4.4 приведен список некоторых кристаллов, которые обычно рассматриваются как сегнетоэлектрические, и значения температуры перехода T_c (точка Кюри), при которой кристалл изменяет свое низкотемпературное поляризованное состояние на высокотемпературное неполяризованное.

Таблица 4.4

Данные о некоторых сегнетоэлектрических кристаллах *)
(составлено с использованием данных Мерца)

Кристалл	Структура	T_c , °К	P_s , эл.-ст. ед.	P_s , ед. МКС
NaK ($C_4H_4O_6$) · 4H ₂ O (сегнетова соль)	Сложная	297 верхн.	800	$3 \cdot 10^{-3}$
		255 нижняя		
NaK ($C_4H_2D_2O_6$) · 4D ₂ O	Сложная	308 верхн.	1 100	$4 \cdot 10^{-3}$
		251 нижн.		
LiNH ₄ ($C_4H_4O_6$) · H ₂ O	Сложная	106	630	$2 \cdot 10^{-3}$
KH ₂ PO ₄		123	16 000	$5 \cdot 10^{-2}$
KD ₂ PO ₄		213	27 000	$9 \cdot 10^{-2}$
RbH ₂ PO ₄		147		
RbH ₂ AsO ₄		111		
KH ₂ AsO ₄		96,5		
KD ₂ AsO ₄		162		
CsH ₂ PO ₄		160		
CsH ₂ AsO ₄		143		
CsD ₂ AsO ₄		212		
BaTiO ₄		393	78 000	0,26
KTaO ₃		»		
NTaO ₃		»		
KNbO ₃		708	80 000	0,27
PbTiO ₃		763		
LiTaO ₃	Ильменита		70 000 (425° С)	0,23
LiNbO ₃		»		
Cd ₂ Nb ₂ O ₇	Пироклорита	185	5 400 (100° К)	$1,8 \cdot 10^{-2}$

*) Значения P_s приведены для комнатной температуры, за исключением двух случаев, для которых температура измерения P_s указана в скобках.

Сегнетова соль имеет две точки Кюри — верхнюю и нижнюю, между которыми кристалл находится в поляризованном (сегнетоэлектрическом) состоянии. Максимальное значение самопроизвольной поляризации указано в табл. 4.4 в тех случаях, когда оно известно. Полезно напомнить о том, как определять значения поляризации в различных системах единиц: поляризация P в электростатической системе единиц получается умножением численной величины поляризации в мккулон/см^2 на $3 \cdot 10^3$, а в системе единиц МКС (кулон/м^2) — на $3 \cdot 10^5$.

Кристаллы, приведенные в табл. 4.4, можно естественным образом подразделить на несколько групп. К первой относятся собственно сегнетова соль ¹⁾ и связанные с ней изоморфные соли. Сегнетова соль имеет весьма сложную структуру, и объяснение ее свойств на основе микроскопической теории было пока мало успешным, хотя Мюллер [20] и другие авторы построили феноменологическую теорию, хорошо согласующуюся с рядом экспериментальных фактов.

Сегнетоэлектрические свойства этой соли, по-видимому, тесно связаны с наличием молекул кристаллизованной воды. Это предположение подтверждается опытами по замене обычной воды (H_2O) тяжелой (D_2O). При такой замене интервал температур, в котором соль является сегнетоэлектрической, увеличивается с $41,7^\circ$ (для обычной соли) до 57° (для соли, в которой обычная вода заменена тяжелой). Очевидно, что этот эффект весьма значительный.

Следует указать, что наблюдаемое значение самопроизвольной поляризации, составляющее 800 эл.-ст. ед , значительно меньше, чем можно было бы ожидать в предположении, что все молекулы воды ($1,52 \cdot 10^{22}$ на 1 см^3) ориентированы в одном направлении. Если принять, что момент молекулы равен $1,85 \cdot 10^{-18} \text{ эл.-ст. ед}$ (такой же, как в парообразном состоянии), то самопроизвольная поляризация должна составлять $28\,000 \text{ эл.-ст. ед}$, тогда как наблюдаемое значение равно лишь 800 эл.-ст. ед .

Ко второй группе сегнетоэлектрических кристаллов относятся кристаллы с «водородными связями», в которых наличие сегнетоэлектрических свойств особым образом связано с движением протонов. К этой группе относится кристалл KDP (KH_2PO_4) и изоморфные ему соли. Замена обычной воды тяжелой убедительно свидетельствует о том, что атомы водорода в этом случае играют важную роль. Температура Кюри у KH_2PO_4 равна 123°K , а у KD_2PO_4 уже 213°K ; поляризация насыщения соответственно возрастает с $16\,000$ до $27\,000 \text{ эл.-ст. ед}$. Другим примером может служить кристалл KH_2AsO_4 , температура Кюри которого 96°K . Кристалл KD_2AsO_4 , полученный в результате замены водорода дейтерием, имеет

¹⁾ Ее сегнетоэлектрические свойства открыты Валаашеком [18]; обзор ее свойств см. в статье Мюллера [19].

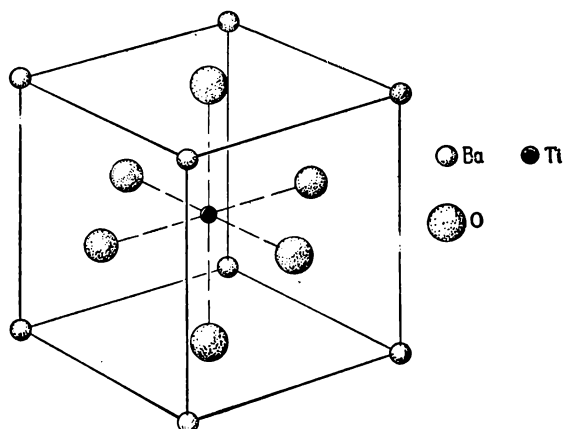


Рис. 4.11. Структура типа перовскита, свойственная титанату бария.

Эта структура кубическая; ионы Ba^{2+} располагаются в углах куба, ионы O^{2-} — в центрах граней, ионы Ti^{4+} — в центре куба. Ниже точки Кюри изображенная на рисунке структура несколько деформируется. Прототипом этого кристалла является кристалл титаната кальция (перовскит).

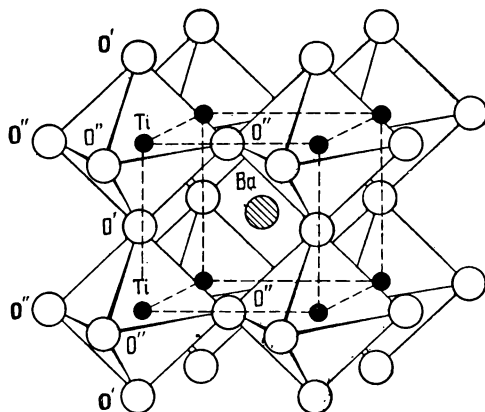


Рис. 4.12. Структура титаната бария BaTiO_3 .

Атомы титана расположены в центрах октаэдров из атомов кислорода. Имея в виду дальнейшее обсуждение, символы атомов кислорода, расположенных вдоль линии, соединяющей атомы титана, снабжены одним штрихом (O').

температуру Кюри, равную 162°K . Таким образом, в обоих случаях замена водорода дейтерием почти удваивает как значение T_c , так и значение P_s , хотя изменение молекулярного веса соединения составляет менее 20% . Этот изотопный эффект исключительно велик.

Третью группу сегнетоэлектриков составляют ионные кристаллы со структурой перовскита и ильменита. Структура перовскита (рис. 4.11 и 4.12) — это простейшая кристаллическая структура, обнаруживающая сегнетоэлектрические свойства.

Остальную часть настоящей главы мы посвятим в основном титанату бария, который обладает этой структурой и является одним из тех кристаллов третьей группы, относительно которого имеется наибольшее число экспериментальных и теоретических данных.

Термин *структура перовскита* происходит от названия минерала перовскита CaTiO_3 . Структура ильменита, получившая свое название от минерала ильменита FeTiO_3 , весьма сложна, и мы не будем ее здесь рассматривать.

ТЕОРИЯ ТИТАНАТА БАРИЯ

Рассмотрим сначала вопрос о величине сегнетоэлектрических эффектов в титанате бария. Измерения показали, что титанат бария при комнатной температуре имеет поляризацию насыщения, равную $78\,000$ эл.-ст. ед (или $0,26$ кул/м²). Поскольку объем элементарного куба в решетке титаната бария равен $(4 \cdot 10^{-8})^3$ см³, то дипольный момент такого куба равен $5 \cdot 10^{-18}$ эл.-ст. ед. Если, например, считать, что вся поляризация обусловлена смещением центрального иона Ti^{4+} , то величина этого смещения должна составлять

$$\frac{5 \cdot 10^{-18}}{4(4,8 \cdot 10^{-10})} \cong 0,26 \cdot 10^{-8} \text{ см.}$$

что является довольно большой величиной.

Предположим, что точка Кюри приблизительно определяется взаимодействием диполей с внутренним электрическим полем, обусловленным поляризацией. Энергия взаимодействия равна $— 1/2(pE)$ (множитель $1/2$ обычен в задачах такого рода), а поскольку E порядка $— P_s$, то энергия взаимодействия порядка

$$\frac{1}{2} \cdot 5 \cdot 10^{-18} \cdot 8 \cdot 10^4 = 2 \cdot 10^{-13} \text{ эрг.}$$

Приближенное значение температуры Кюри получится, если положить энергию взаимодействия равной средней тепловой энергии; отсюда находим, что

$$T_c \cong \frac{2 \cdot 10^{-13}}{1,4 \cdot 10^{-16}} \cong 1400^\circ\text{K}.$$

Таким образом, полученное значение заметно превышает наблюдаемую величину ($\sim 398^\circ\text{K}$).

Наиболее убедительным доказательством сегнетоэлектрических свойств титаната бария является петля гистерезиса, приведенная на рис. 4.13. Такая петля наблюдается при температуре ниже точки Кюри (120°C); при температурах выше этой точки петля вырождается в прямую линию. Кривая зависимости самопроизвольной поляризации от температуры приведена на рис. 4.14, а диэлектрической проницаемости — на рис. 4.15. Диэлектрическая проницаемость, измеренная перпендикулярно к оси c , обычно значительно больше, чем при измерении параллельно оси c .

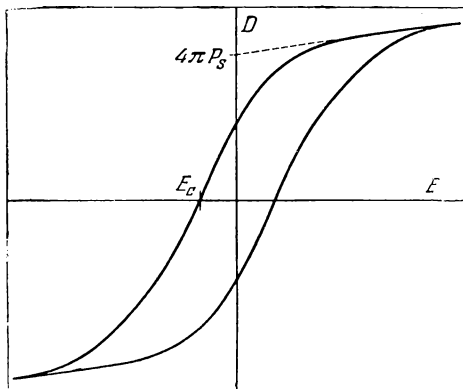


Рис. 4.13. Петля гистерезиса сегнетоэлектрического образца.

Показана величина самопроизвольной поляризации P_s и коэрцитивной силы E_c . В титанате бария величина $4\pi P_s$ может быть порядка $3 \cdot 10^8$ в/см, а E_c — порядка 10^5 в/см.

Особенности поляризации сегнетоэлектриков. Наличие у титаната бария сегнетоэлектрических свойств является, по-видимому, следствием так называемой «поляризационной катастрофы»: локальные электрические поля внутри кристалла, обусловленные наличием поляризации, возрастают быстрее, чем упругие силы, противодействующие

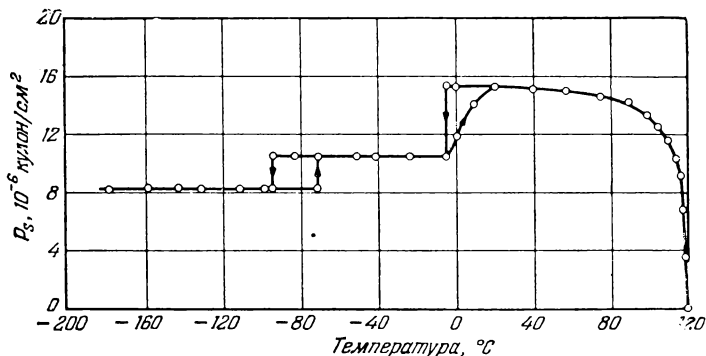


Рис. 4.14. Зависимость самопроизвольной поляризации титаната бария от температуры.

Скачки вблизи 0°C и вблизи -80°C связаны с небольшими изменениями кристаллической структуры.

движению ионов в кристалле; это в конце концов приводит к асимметричному смещению ионов из положений равновесия.

Величина такого смещения ограничена действием ангармонических удерживающих сил. Можно предположить, что сегнетоэлектрические свойства большинства кристаллов со структурой перовскита связаны с тем, что структура решетки этих кристаллов определенным образом искажена по только что указанным причинам. Это предположение подтверждается тем фактом, что гексагональная модификация

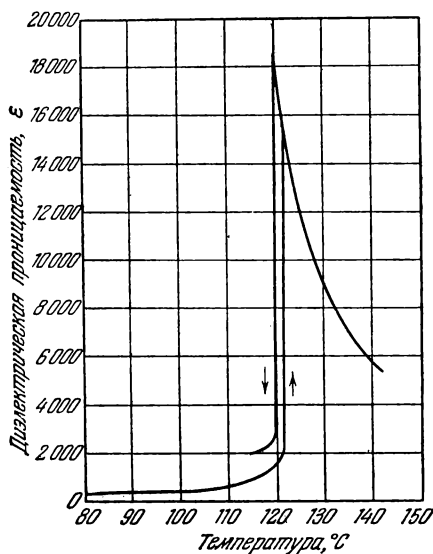


Рис. 4.15. Температурная зависимость диэлектрической проницаемости титаната бария. (Из работы [22].)

титаната бария не обладает сегнетоэлектрическими свойствами, тогда как кубическая (перовскитовая) модификация — сегнетоэлектрическая. Расчеты Слэтера [21] и других авторов ясно указали причины этого особого положения, которое занимает структура перовскита по сравнению с другими типами структуры. Мы изложим теорию в простой форме, полагая, что все коэффициенты Лорентца равны $4\pi/3$. В этой теории молчаливо предполагается, что фазовый переход является фазовым переходом второго рода, однако лежащие в ее основе физические идеи могут быть распространены в известной части и на фазовые переходы первого рода.

При фазовом переходе первого рода в точке перехода выделяется скрытая теплота и наблюдается скачок поляризации; при фазовом

переходе второго рода наблюдается скачок теплоемкости и производной dP_s/dt . В чистом титанате бария точка Кюри является фазовым переходом первого рода.

Соотношение (4.10) мы можем переписать в виде

$$\epsilon = \frac{1 + \frac{8\pi}{3} \sum N_i \alpha_i}{1 - \frac{4\pi}{3} \sum N_i \alpha_i} \quad (\text{электростатическая система}), \quad (4.46)$$

где α_i — поляризуемость ионов типа i , N_i — число ионов типа i в единице объема; заметим, что числовые коэффициенты перед $\sum N_i \alpha_i$ обусловлены тем, что мы приняли для поля Лорентца выражение $E + \frac{4\pi}{3} P$. Из (4.40) видно, что, когда $\sum N_i \alpha_i = (4\pi/3)^{-1}$, диэлек-

трическая проницаемость становится бесконечной; это соответствует наличию конечной поляризации при равном нулю внешнем поле. По этой причине «поляризационную катастрофу» часто называют « $4\pi/3$ -катастрофой».

Заметим, что величина ϵ весьма чувствительна к малым отклонениям $\sum N_i \alpha_i$ от критического значения ($3/4\pi$); если написать

$$\frac{4\pi}{3} \sum N_i \alpha_i = 1 - s, \quad (4.47)$$

где $s \ll 1$, то для ϵ будем иметь

$$\epsilon \cong \frac{3}{s}. \quad (4.48)$$

Если предположить, что выше критической температуры величина s зависит от температуры по линейному закону

$$s \cong \beta (T - T_0), \quad (4.49)$$

где β и T_0 — некоторые постоянные, то выше температуры перехода для диэлектрической проницаемости мы будем иметь закон Кюри — Вейсса

$$\epsilon \cong \frac{3/\beta}{T - T_c}, \quad (4.50)$$

который описывает наблюдаемую температурную зависимость ϵ .

Показатель преломления титаната бария равен 2,4. Электронную часть поляризуемости можно оценить из вытекающего из (4.11) соотношения

$$\frac{n^2 - 1}{n^2 + 2} = \frac{4\pi}{3} \sum N_i \alpha_i. \quad (4.51)$$

Используя значения $\alpha(\text{Ba}) = 1,95 \cdot 10^{-24} \text{ см}^3$, $\alpha(\text{O}) = 2,4 \cdot 10^{-24} \text{ см}^3$, $\alpha(\text{Ti}) = 0,19 \cdot 10^{-24} \text{ см}^3$, приводимые Слэтером, найдем:

$$\frac{4\pi}{3} \sum N_i \alpha_i^{(\text{эл})} = 0,61;$$

следовательно, оставшая часть, равная $1 - 0,61 = 0,39$, должна быть обусловлена ионными поляризуемостями, для того чтобы можно было объяснить возникновение сегнетоэлектрического состояния.

Величина $\alpha(\text{O})$ подбирается так, чтобы она согласовывалась с наблюдаемыми значениями показателя преломления.

Выше мы видели, что если даже вся самопроизвольная поляризуемость обусловлена смещением ионов титана в центре каждого куба, необходимо, чтобы это смещение было равно $0,26 \cdot 10^{-8} \text{ см}$. В принципе нет оснований считать бессмысленным предположение о том, что 39% полной поляризуемости обусловлено ионами, если только не вводить это предположение специально для объяснения явления. Это не дает нам ни каких-либо указаний относительно причин возникновения сегнетоэлектрических свойств именно в структурах

типа перовскита, ни ответа на вопрос, почему такие кристаллы, как рутил TiO_2 (имеющий даже больший показатель преломления $n = 2,8$, электронная часть поляризуемости $(4\pi/3) \sum N_i \alpha_i^{(эл)} = 0,7$), не являются сегнетоэлектриками. Ниже мы узнаем, что действительные внутренние поля в кристаллах со структурой перовскита увеличивают поляризуемость ионов титана примерно в пять раз по сравнению с действием обычно предполагаемого внутреннего поля, равного $E + 4\pi P/3$.

Внутреннее поле в структуре типа перовскита. Внутреннее лорентцево поле $E + 4\pi P/3$ действует в кристаллах, когда расположение соседей каждого атома обладает кубической симметрией. В титанате бария расположение соседей вокруг ионов Ba и Ti имеет кубическую симметрию, однако этого нельзя сказать об ионах O; действительно, в ближайшем окружении каждого иона O имеется, например, лишь два иона Ti, так что расположение ионов вокруг O уже никак нельзя считать обладающим кубической симметрией. В силу этих обстоятельств необходимо найти более общее выражение для формулы Лорентца. Это было сделано рядом авторов, в частности Сканави [23], Ван-Сантенем и Опеховским [24]. Слэтер [21] выполнил расчет для титаната бария.

Путь, которым мы будем получать выражение для внутреннего поля в титанате бария, совершенно очевиден. Мы выпишем выражения для внутреннего поля в каждом узле решетки в виде суммы, состоящей из внешнего поля и поляризации, обусловленной ионами нескольких типов. Внешнее поле будем считать направленным параллельно какой-либо из сторон куба, с которой свяжем направление координатной оси z . Необходимо рассмотреть четыре типа ионов: Ba, Ti, O', O''. Ионы O' располагаются вдоль прямых, параллельных оси z и проходящих через ион Ti; остающиеся кислородные ионы являются ионами O''. Для поляризаций, обусловленных каждой из групп одинаковых ионов, имеем систему четырех уравнений:

$$\left. \begin{aligned} E(\text{Ba}) &= \frac{P(\text{Ba})}{N(\text{Ba}) \alpha(\text{Ba})} = \\ &= E_0 + q_{11}P(\text{Ba}) + q_{12}P(\text{Ti}) + q_{13}P(\text{O}') + q_{14}P(\text{O}''), \\ E(\text{Ti}) &= \frac{P(\text{Ti})}{N(\text{Ti}) \alpha(\text{Ti})} = \\ &= E_0 + q_{21}P(\text{Ba}) + q_{22}P(\text{Ti}) + q_{23}P(\text{O}') + q_{24}P(\text{O}''), \\ E(\text{O}') &= \frac{P(\text{O}')}{N(\text{O}') \alpha(\text{O}')} = \\ &= E_0 + q_{31}P(\text{Ba}) + q_{32}P(\text{Ti}) + q_{33}P(\text{O}') + q_{34}P(\text{O}''), \\ E(\text{O}'') &= \frac{P(\text{O}'')}{N(\text{O}'') \alpha(\text{O}'')} = \\ &= E_0 + q_{41}P(\text{Ba}) + q_{42}P(\text{Ti}) + q_{43}P(\text{O}') + q_{44}P(\text{O}''). \end{aligned} \right\} (4.52)$$

Коэффициенты при различных P являются суммами по решетке для распределений диполей и могут быть вычислены методами, подобными тем, которые были предложены Корнфельдом [25] и другими авторами [26, 27].

Коэффициенты q_{ij} имеют следующие значения:

$$\begin{aligned} q_{11} = q_{22} = q_{21} = q_{12} = q_{33} &= \frac{4\pi}{3}, & q_{23} = q_{32} &= \frac{4\pi}{3} + 30,080, \\ q_{13} = q_{31} &= \frac{4\pi}{3} - 8,668, & q_{24} = q_{42} &= \frac{4\pi}{3} - 15,040, \\ q_{34} = q_{43} = q_{14} = q_{41} &= \frac{4\pi}{3} + 4,334, & q_{44} &= \frac{4\pi}{3} - 4,334. \end{aligned}$$

Следует отметить мимоходом, что взаимодействие между ионами Ti и O' является особенно сильным, поскольку соответствующий коэффициент равен $[(4\pi/3) + 30,080]$ и, следовательно, примерно в 8,2 раза превышает обычное значение $4\pi/3$. Это обстоятельство и является причиной значительного возрастания поля в области центрального иона в структуре типа перовскита.

Сегнетоэлектрическая «катастрофа» в случае титаната бария имеет место, когда детерминант, составленный из коэффициентов при различных P в (4.52), обращается в нуль: в этом случае система уравнений (4.52) при $E = 0$ имеет нетривиальные решения для P . Подставим значения поляризуемостей, которыми пользовался Слэтер:

$$\begin{aligned} \alpha(\text{Ba}) &= 0,95 \cdot 10^{-24} \text{ см}^3, & \alpha(\text{O}') &= \alpha(\text{O}'') = 2,4 \cdot 10^{-24} \text{ см}^3, \\ \alpha(\text{Ti}) &= 0,19 \cdot 10^{-24} + \alpha_i(\text{Ti}). \end{aligned}$$

При использовании этих значений предполагается, что все эти поляризуемости — электронные, за исключением ионной части $\alpha_i(\text{Ti})$ от ионов Ti. Теперь определим значение $\alpha_i(\text{Ti})$, при котором детерминант обращается в нуль; в результате вычисления найдем:

$$\alpha_i(\text{Ti}) = 0,95 \cdot 10^{-24} \text{ см}^3$$

и

$$\frac{4\pi}{3} N(\text{Ti}) \alpha_i(\text{Ti}) = 0,062.$$

Отсюда видно, что результат элементарной теории, дающей значение 0,39, превышает полученное значение примерно в шесть раз. Этот результат связан со свойствами решетки типа перовскита. В частности, расположение на одной прямой ионов кислорода и титана в такой решетке способствует усилению эффекта.

Температурная зависимость P_s и $1/\chi$ в области фазовых переходов первого и второго рода иллюстрируется кривыми на рис. 4.16. Заметим здесь, что, как можно показать обычными термодинамическими методами, переход второго рода происходит без

скрытой теплоты перехода и, по-видимому, сопровождается скачком теплоемкости. Именно такие переходы известны в термодинамике

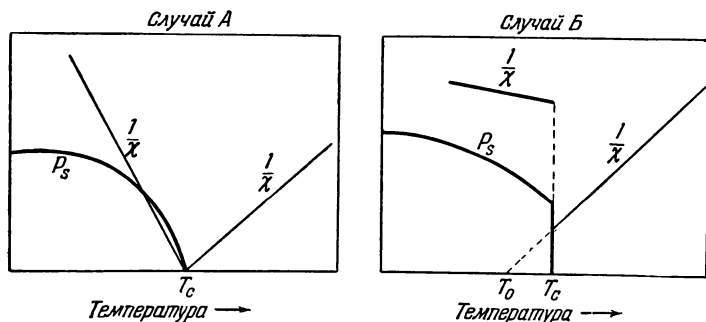


Рис. 4.16. Схематические кривые, иллюстрирующие характер температурной зависимости самопроизвольной поляризации при фазовом переходе первого рода (случай А) и второго рода (случай Б). Фазовый переход в титанате бария является переходом первого рода, но он очень близок к переходу второго рода.

как фазовые переходы второго рода. Переход первого рода сопровождается скрытой теплотой. На рис. 4.17 приведены схематические кривые зависимости свободной (потенциальной) энергии от поляризации (степени деформации решетки по отношению к равновесной структуре) в разных температурных областях.

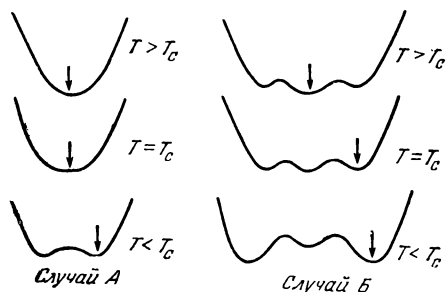


Рис. 4.17. Схематическое изображение кривых потенциальной энергии для двух случаев сегнетоэлектрического перехода.

Показано изменение формы кривых при изменении температуры.

В сегнетоэлектриках со структурой типа перовскита, вероятно, имеет место фазовый переход первого рода, однако в титанате бария фазовый переход по своему характеру, по-видимому, близок к переходу второго рода, так как T_0 весьма близко к T_c . В сегнетовой соли и в KN_2PO_4

фазовый переход, вероятно, второго рода. Хороший обзор термодинамической теории сегнетоэлектриков дал Девоншир [28].

СЕГНЕТОЭЛЕКТРИЧЕСКИЕ ДОМЕНЫ

Как уже отмечалось, кристаллы титаната бария выше точки Кюри имеют кубическую симметрию, а ниже точки Кюри — тетрагональную. Когда при охлаждении температура кристалла опустится

ниже точки Кюри, кристалл в целом не будет иметь единой тетрагональной оси; в одной части кристалла в тетрагональную ось

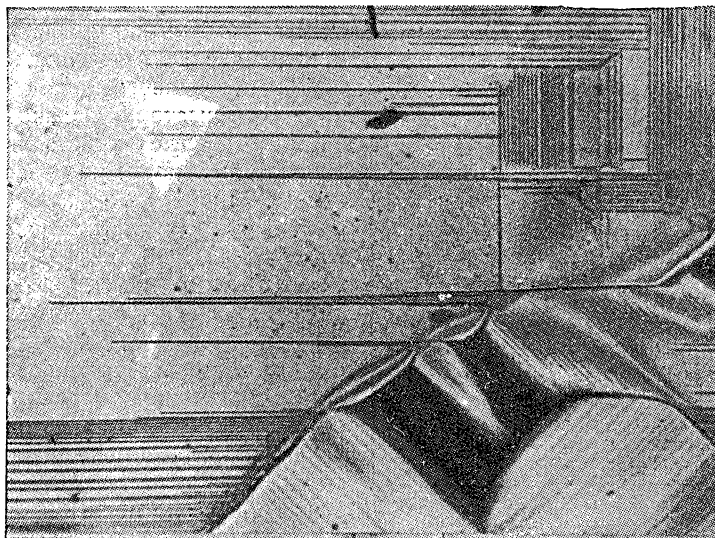


Рис. 4.18. Клинообразные пластинчатые домены в монокристалле титаната бария (из работы Форсберга [29]).

превратится одна из кубических осей, в другой части кристалла тетрагональной станет какая-либо другая кубическая ось. Это значит, что

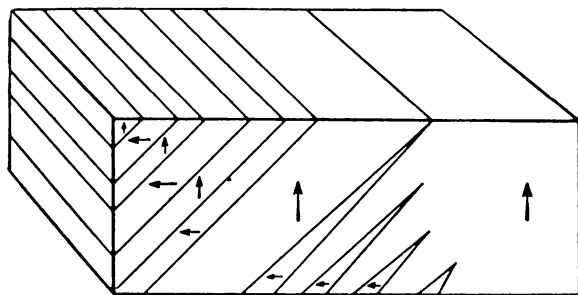


Рис. 4.19. Распределение направлений самопроизвольной поляризации в многодоменном кристалле титаната бария.

после перехода точки Кюри вектор самопроизвольной поляризации будет располагаться в кристалле в различных направлениях в зави-

симости от направления тетрагональной оси в той или иной области кристалла. Область внутри кристалла, в которой самопроизвольная поляризация имеет одно и то же направление, называется *доменом*. Были выращены такие кристаллы, весь объем которых занимал один-единственный домен. Теоретически такая устойчивая конфигурация вполне возможна, например, для кристалла в виде пластинки, помещенной между соединенными с источником постоянного тока обкладками конденсатора.

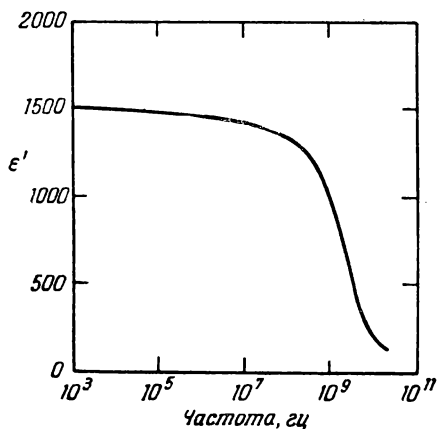


Рис. 4.20. Частотная зависимость вещественной части диэлектрической проницаемости титаната бария.

Кривая построена по сглаженным значениям, взятым из работ [34] и [35].

Однако обычно выращенные кристаллы содержат неоднородно распределенные примеси, приводящие к появлению в решетке механических напряжений, которые часто могут быть причиной возникновения доменной структуры.

Сегнетоэлектрические домены в титанате бария можно наблюдать оптическим методом, поскольку кристаллы прозрачны и имеют различные показатели преломления вдоль тетрагональной оси домена и перпендикулярно к ней. В титанате бария разность этих показателей преломления при комнатной температуре $n_c - n_a = -0,055$. Тщательное оптическое исследование различных типов доменной структуры провел

Форсберг [29]¹). Фотография, приведенная на рис. 4.18, воспроизведена из его работы. Схема расположения доменов в кристалле показана на рис. 4.19.

Мерц [32]²) изучал кинетику процесса образования доменов и движения доменных стенок в образцах титаната бария, выращенных в виде тонких пластинок, причем ось c (полярная ось) была перпендикулярна к плоскости пластинки.

Когда направление электрического поля, наложенного вдоль оси c , изменяли на противоположное, возникали новые домены с противоположным направлением поляризации. Рост этих доменов с точки зрения опыта с ферромагнитными материалами несколько удивителен, поскольку в ферромагнетиках движение границ доменов сильно влияет на изменение намагниченности.

¹) См. также работу Мерца [30] и Литтла [31].

²) Эта работа содержит изложение теории сегнетоэлектрических доменов. Относительно применений в запоминающих устройствах см. работу Андерсона [33].

В титанате бария изменение поляризации вызывается образованием множества новых очень тонких (10^{-4} см) антипараллельных доменов, и растут они только в прямом направлении. Толщина стенок (переходная область), по-видимому, очень мала и по порядку величины близка к нескольким постоянным решетки. Энергия переходного слоя порядка 10 эрг/см². Поскольку во внешнем электрическом поле поперечное движение 180-градусных границ практически отсутствует, никакого наложения или скрещивания действия электродов, приложенных к противоположным сторонам данной кристаллической пластинки, не происходит, даже если они расположены на расстоянии 10^{-2} см один от другого. Это обстоятельство весьма существенно для применений кристаллов титаната бария в запоминающих устройствах.

На рис. 4.20 показана частотная зависимость диэлектрической проницаемости поликристаллического образца титаната бария. Уменьшение диэлектрической проницаемости в области сверхвысоких частот пока не нашло себе объяснения.

ЗАДАЧИ

4.1. Рассмотреть с помощью полуклассической модели атом водорода в основном состоянии, помещенный в электрическое поле, перпендикулярное к плоскости электронной орбиты, и показать, что в такой модели $\alpha = a_H^3$, где a_H — радиус невозмущенной орбиты.

Указание. Если внешнее поле направлено по оси x , то x -компонента поля ядра во всех точках электронной орбиты должна быть равна внешнему полю. Строгий квантовомеханический расчет даст результат, отличающийся множителем $9/2$.

4.2. В задаче о поле внутри диэлектрика полость не обязательно брать в форме сферы; ее можно выбрать и любой другой геометрической формы, обладающей по меньшей мере кубической симметрией. Например, можно выбрать полость в виде куба с гранями, соответственно параллельными и нормальными вектору поляризации. В этом случае плотность индуцированного заряда на верхней и нижней гранях куба однородна и равна $\pm P$, в то время как на других гранях какой-либо заряд отсутствует. Показать, что для такой полости $E_2 = 4\pi P/3$, т. е. то же, что и для сферической полости.

4.3. Показать, что поляризуемость проводящей металлической сферы радиуса a равна $\alpha = a^3$. Этот результат проще всего можно получить, заметив, что $E = 0$ внутри сферы, и используя представление о деполаризующем факторе. Этот путь дает значение α , по порядку величины совпадающее с наблюдаемыми значениями поляризуемости атомов. Решетка, состоящая из N проводящих сфер на единицу объема, имеет диэлектрическую проницаемость $\epsilon = 1 + 4\pi N a^3$

при $Na^3 \ll 1$. Этот результат использовался при изготовлении линз для сантиметровых волн [36].

4.4. Показать, что диэлектрическая проницаемость среды, содержащей N свободных электронов на единицу объема в переменном поле частоты ω , равна (в электростатической системе)

$$\epsilon = 1 - \frac{4\pi Ne^2}{m\omega^2}.$$

Наличие в знаменателе массы означает, что мы можем пренебречь влиянием имеющих положительный заряд ионов. Предположить, следуя Дарвину [37], что внутреннее поле в этом случае равно внешнему полю E_0 .

4.5. Плоский конденсатор состоит из двух параллельных слоев различных веществ. Первый слой толщиной d имеет диэлектрическую проницаемость ϵ и проводимость, равную нулю, а у другого слоя толщиной qd диэлектрическая проницаемость $\epsilon = 0$, а проводимость σ имеет конечное значение. Показать, что этот конденсатор ведет себя так, как если бы пространство между его пластинами было заполнено однородной средой с диэлектрической проницаемостью

$$\epsilon^* = \frac{\epsilon(1+q)}{1 + (i\epsilon\omega q/4\pi\sigma)},$$

где ω — угловая частота [38]. Значения ϵ порядка 10^4 или 10^5 иногда встречаются; столь большие значения ϵ обусловлены особым видом поляризации (механизм Максвелла — Вагнера) и всегда сопровождаются большими потерями. Анализ диэлектрических свойств никель-цинковых ферритов имеется в работе Купса [39].

4.6. Рассмотреть систему из двух диполей, находящихся на расстоянии a ; поляризуемость каждого диполя равна α . Найти, как должны быть связаны между собой a и α для такой системы, чтобы последняя была сегнетоэлектрической.

4.7. Имеется система из двух диполей, расположенных вдоль оси x на расстоянии a друг от друга. Предположим, что диполи закреплены так, что могут поляризоваться только вдоль оси y ; пусть поляризуемость вдоль оси y равна α . Может ли такая система быть сегнетоэлектрической? Найти, как должны быть связаны между собой α и a для такой системы, чтобы последняя была антисегнетоэлектрической.

4.8. Рассмотреть, какое влияние оказывает воздушный зазор между пластинами конденсатора и диэлектриком на изменение больших значений диэлектрической проницаемости. Какое наибольшее кажущееся значение диэлектрической проницаемости возможно, если ширина воздушного зазора составляет 10^{-3} полной ширины?

4.9. Разобраться в работе диэлектрического усилителя (см. статью Мэзона и Вика [40]).

ГЛАВА 5

МОДЕЛЬ СВОБОДНЫХ ЭЛЕКТРОНОВ И ЕЕ ПРИМЕНЕНИЕ К МЕТАЛЛАМ

Основываясь на модели свободных электронов, можно объяснить ряд важных физических свойств металлов и в особенности простых одновалентных металлов. Согласно этой модели валентные электроны атомов металла могут почти свободно перемещаться в пределах объема образца. Именно валентные электроны обуславливают электропроводность металла, и по этой причине их называют электронами проводимости и отличают от электронов, заполняющих оболочки ионных остовов. Взаимодействие электронов проводимости с ионными остовами атомов металла считается малым, и в приближенной теории, базирующейся на модели свободных электронов, им пренебрегают. Во всех расчетах в рамках этой модели электроны проводимости считаются полностью свободными в пространстве, ограниченном поверхностью образца.

Однако даже для тех металлов, применение к которым модели свободных электронов было наиболее успешным (например, натрий, медь, серебро), было бы неправильно считать, что на распределении электронного заряда вовсе не сказывается наличие сильного потенциала электростатического притяжения ионных остовов. Успех модели свободных электронов при объяснении некоторых свойств металлов связан с двумя обстоятельствами. Во-первых, энергия электронов проводимости может иногда зависеть просто от квадрата скорости (так же, как в пустоте) без учета распределения заряда, характерного для свободных электронов. Во-вторых, сечение рассеяния при электрон-электронных столкновениях сравнительно мало, кулоновское взаимодействие, в значительной мере ослабляется из-за электростатического экранирования, а число разрешенных столкновений значительно уменьшено в силу принципа Паули.

Теория свойств металлов, основанная на модели свободных электронов, появилась задолго до разработки квантовой механики. Эта ранняя теория имела ряд выдающихся успехов и одновременно ряд крупных провалов. К успехам следует отнести вывод в аналитической форме закона Ома, связывающего электрический ток с электрическим полем, и, в частности, подтверждение закона Видемана — Франца, устанавливающего связь между электро- и теплопроводностью металлов. К крупным провалам следует отнести существенное

расхождение между наблюдаемым и предсказанным значениями электронной теплоемкости, а также парамагнитной восприимчивости электронов проводимости. Имеются и другие трудности: например, с точки зрения классической модели невозможно объяснить большую среднюю длину свободного пробега электронов, которая при низких температурах может достигать 10^{-3} см и даже больше, т. е. значительно превышать величину, ожидаемую по классической модели твердых сфер, описывающей рассеяние электронов на ионных остовах. В действительности, согласно квантовой теории, ионные остовы вообще не принимают участия в рассеянии электронов проводимости, если ионные остовы образуют идеально правильную решетку, и это поистине замечательный результат квантовой теории. Эти вопросы подробно рассматриваются ниже.

Электропроводность и закон Ома. Рассмотрим сначала действие электрического поля E на классический газ свободных электронов. Пусть в единице объема газа имеется N электронов. Будем считать, что в отсутствие поля движение электронов происходит случайным образом, и распределение скоростей отвечает тепловому равновесию при температуре T . Средняя, или дрейфовая, скорость электрона

$$\mathbf{v}_D = \frac{1}{N} \sum_{i=1}^N \mathbf{v}_i \quad (5.1)$$

равна нулю в этих условиях, так как при равновесии в любом данном направлении движется столько же электронов, сколько и в противоположном.

Введем понятие *времени релаксации*, которое обозначим через τ . Время релаксации тесно связано со средним интервалом времени между двумя соударениями электрона и со средней длиной свободного пробега электронов проводимости, которая представляет собой среднюю длину пути электрона, свободно без возмущений движущегося между двумя соударениями. Все детали процессов столкновения в электронном газе сводятся в рамках поставленной сейчас задачи к заданию времени релаксации. Столкновения обусловлены тепловым движением решетки, или несовершенством ее структуры. Время релаксации вводится как некоторое характеристическое время, определяющее установление равновесия (путем столкновений) в системе, которая в исходном состоянии была возмущенной, что характеризуется неравенством нулю средней, или дрейфовой, скорости ($\mathbf{v}_D \neq 0$). Если написать уравнение движения, используя сразу среднюю скорость

$$m \left(\frac{d\mathbf{v}_D}{dt} + \frac{1}{\tau} \mathbf{v}_D \right) = \mathbf{F}, \quad (5.2)$$

где \mathbf{F} — средняя внешняя сила, действующая на электрон, то мы увидим, что в отсутствие внешних сил свободное движение

описывается уравнением

$$\frac{d\mathbf{v}_D}{dt} + \frac{1}{\tau} \mathbf{v}_D = 0. \quad (5.3)$$

Таким образом, если начальная средняя скорость, соответствующая исходному неравновесному распределению, равна $\mathbf{v}_D(0)$, то переход системы в равновесное состояние описывается решением уравнения (5.3), имеющим вид

$$\mathbf{v}_D(t) = \mathbf{v}_D(0) e^{-t/\tau}. \quad (5.4)$$

Итак, мы получили результат, согласно которому нарушенное равновесие восстанавливается по экспоненциальному закону с характеристическим временем τ . Заметим далее, что член $m\mathbf{v}_D/\tau$, введенный в уравнение (5.2), имеет знакомый вид сил трения, или затухания, причем m/τ играет роль коэффициента трения.

Если бы в системе электронов никакого трения не было, т. е. если бы время релаксации было бесконечно велико, то электроны в постоянном электрическом поле получали бы неограниченное ускорение. В этом случае уравнение движения

$$m\dot{\mathbf{v}}_D = e\mathbf{E} \quad (5.5)$$

имеет решение

$$\mathbf{v}_D(t) = \mathbf{v}_D(0) + \frac{e\mathbf{E}t}{m}, \quad (5.6)$$

которое не дает стационарного состояния типа, описываемого законом Ома.

При конечном времени релаксации уравнение движения в постоянном электрическом поле имеет вид

$$m \left(\frac{d\mathbf{v}_D}{dt} + \frac{1}{\tau} \mathbf{v}_D \right) = e\mathbf{E}. \quad (5.7)$$

В качестве частного решения этого уравнения можно взять

$$\mathbf{v}_D = \frac{e\tau\mathbf{E}}{m}. \quad (5.8)$$

Это решение описывает состояние, при котором средняя скорость не меняется со временем. Его можно получить из уравнения (5.7), если положить $d\mathbf{v}_D/dt = 0$. Этот член описывает инерционные эффекты; его следует учитывать в тех задачах, где поле \mathbf{E} не является постоянным, а зависит от времени. Если $\mathbf{E} = \mathbf{E}_0 e^{i\omega t}$, то

$$\mathbf{v}_D = \frac{e\tau\mathbf{E}/m}{1 + i\omega\tau}. \quad (5.9)$$

Плотность электрического тока \mathbf{j} определяется как количество электричества (электрический заряд), протекающего через единичную

площадь в единицу времени. Общее число электронов, пересекающих единичную площадь в единицу времени, равно Nv_D , где N — число электронов в единице объема. Следовательно, для плотности электрического тока имеем

$$j = Nev_D. \quad (5.10)$$

Воспользовавшись выражением (5.8), для стационарного состояния получим

$$j = \frac{Ne^2\tau}{m} E, \quad (5.11)$$

т. е. плотность электрического тока прямо пропорциональна электрическому полю. Итак, мы вывели закон Ома.

Коэффициент электропроводности σ (или просто электропроводность) определяется соотношением

$$j = \sigma E. \quad (5.12)$$

С учетом (5.11) получим важный результат:

$$\sigma = \frac{Ne^2\tau}{m}. \quad (5.13)$$

Поскольку сопротивление ρ определяется как величина обратная электропроводности, то

$$\rho = \frac{1}{\sigma} = \frac{m}{Ne^2\tau}. \quad (5.14)$$

Нетрудно вскрыть физический смысл формулы (5.13) для проводимости.

В том, что переносимый электрический заряд пропорционален плотности заряда Ne , нет ничего неожиданного; множитель e/m входит в формулу, поскольку ускорение при данном электрическом поле пропорционально величине заряда e и обратно пропорционально массе m . Величина τ представляет собой время, в течение которого поле действует на свободно движущийся заряд — носитель тока. Процесс заканчивается столкновением, и начинается снова — об этом и напоминает нам термин *дрейфовая* скорость, введенный ранее на равных правах с термином средняя скорость.

Квантовая теория не меняет результат (5.13) сколько-нибудь существенным образом; она, однако, указывает путь для теоретического расчета времени релаксации, основанный на самых общих ее принципах.

Пользуясь выражением (5.13), полезно оценить по экспериментальным данным для проводимости порядок величины времени релаксации.

Рассмотрим медь при комнатной температуре. В справочниках находим для сопротивления величину $1,7 \text{ мком/см}$, т. е.

$\sigma = 6 \cdot 10^5 \text{ (ом} \cdot \text{см)}^{-1}$. В системе МКС единицей сопротивления является *ом* · метр; соответственно, численное значение сопротивления в этой системе в 100 раз меньше, чем в практической. Аналогично, величина проводимости, выраженной в $(\text{ом} \cdot \text{м})^{-1}$, в 100 раз больше ее значения, выраженного в $(\text{ом} \cdot \text{см})^{-1}$. Чтобы перейти от единиц $(\text{ом} \cdot \text{см})^{-1}$ к электростатическим единицам, следует умножить это значение на $10^{-1} \cdot 3 \cdot 10^{10} \cdot 300 = 9 \cdot 10^{11}$; множитель 10^{-1} переводит ток в абсолютные амперы, множитель $3 \cdot 10^{10}$ переводит их в электростатические единицы СГС для силы тока [так называемые статамперы (Statampères)]; множитель 300 опять выражает переход от единиц *в/см* к электростатическим единицам СГС для напряженности электрического поля (*стат. вольт/см*). Итак, нам дано соотношение (5.12), в практических единицах, и мы хотим найти величину σ в электростатических единицах, определяя ее из того же соотношения (5.12) записанного в электростатических единицах. Составим отношение

$$\frac{\sigma(\text{эл.-ст. ед})}{\sigma(\text{практ. ед})} = \frac{j(\text{эл.-ст. ед})}{j(\text{практ. ед})} \cdot \frac{E(\text{практ. ед})}{E(\text{эл.-ст. ед})} = \\ = 3 \cdot 10^9 \cdot 300 = 9 \cdot 10^{11}. \quad (5.15)$$

Здесь для скорости света принято значение $3 \cdot 10^{10} \text{ см/сек}$. Тогда поставленная задача имеет следующий ответ:

$$\sigma(\text{эл.-ст. ед}) = 5 \cdot 10^{17} \text{ сек}^{-1},$$

напоминая нам, что в электростатической системе единиц проводимость имеет размерность частоты.

Разумно предположить, что каждый атом меди в твердом металлическом состоянии дает в зону проводимости один валентный электрон¹⁾. Тогда концентрация N электронов проводимости равна числу атомов меди в единице объема. Это число можно найти, разделив число Авогадро на молярный объем. Молярный объем равен молекулярному весу, деленному на плотность:

$$\text{молярный объем} = \frac{63,5}{8,94} = 7,1 \text{ см}^3.$$

Следовательно,

$$N = \frac{6,025 \cdot 10^{23}}{7,1} = 8,5 \cdot 10^{22} \text{ см}^{-3}.$$

¹⁾ Основная электронная конфигурация свободного (изолированного) атома меди имеет вид $1s^2 2s^2 2p^6 3s^2 3p^6 3d^{10} 4s$. Валентным электроном у меди является $4s$ -электрон. Остальные электроны, находящиеся на заполненных орбитах, составляют электронную оболочку иона.

Итак, время релаксации

$$\tau = \frac{\sigma m}{Ne^2} \cong \frac{5 \cdot 10^{17} \cdot 9 \cdot 10^{-28}}{9 \cdot 10^{22} (5 \cdot 10^{-10})^2} \cong 2 \cdot 10^{-14} \text{ сек.}$$

Изложенные выше сведения и теоретическая база еще недостаточны для того, чтобы читатель мог сам критически проанализировать приведенную оценку величины времени релаксации и убедиться в ее правильности. Одним из таких доказательств ее правильности служит косвенный результат, согласно которому соответствующее время релаксации должно быть меньше 10^{-11} сек, что находится в согласии с приведенной выше оценкой. Этот результат получается из опытов по затуханию коротких электромагнитных волн (частота $2,4 \cdot 10^{10}$ гц), распространяющихся в медном волноводе при комнатной температуре. Величина 10^{-11} сек хорошо согласуется с результатами расчета по теории радиочастотного скин-эффекта, если считать стенки волновода достаточно тщательно отполированными. Этот результат получается в рамках представлений о стационарной электропроводности. Если в уравнении движения

$$m \left(i\omega + \frac{1}{\tau} \right) \mathbf{v}_D = e\mathbf{E} \quad (5.16)$$

инерционный член $m d\mathbf{v}_D/dt$ преобладает над релаксационным $m\mathbf{v}_D/\tau$, то трудно ожидать, чтобы результаты, которые мы получим, согласовывались с данными о потерях в волноводах, поскольку фактически эти результаты будут относиться к проводимости для постоянного тока. Релаксационный член будет преобладать, если $1/\tau \gg \omega$, или

$$\tau \ll \frac{1}{\omega} = \frac{1}{2\pi f} \approx 7 \cdot 10^{-12} \text{ сек.} \quad (5.17)$$

Отметим, что наша оценка времени релаксации $2 \cdot 10^{-14}$ сек, основанная на данных о проводимости, действительно удовлетворяет этому неравенству.

Можно ввести еще среднюю длину свободного пробега Λ , которую мы определим соотношением

$$\Lambda = \tau u, \quad (5.18)$$

где u — соответствующая средняя скорость электронов. Ниже мы увидим, что значение u для меди равно примерно $1,6 \cdot 10^8$ см/сек, при $\tau = 2 \cdot 10^{-14}$ сек получим для средней длины свободного пробега $\Lambda = 3 \cdot 10^{-6}$ см, что примерно в 100 раз больше межатомного расстояния в решетке меди. Имеются экспериментальные доказательства разумности этой оценки. Например, Рейнолдс и Стилзуэлл [1]¹⁾ изме-

¹⁾ Экспериментальные и теоретические исследования средней длины свободного пробега электронов в металлах описаны в обзоре Зондхеймера [2].

ряли сопротивление тонких пленок меди и серебра разной толщины. Сопротивление будет состоять из двух частей: одна из них обусловлена рассеянием электронов в массе образца (механизм рассмотренного выше типа), а другая вызвана диффузным рассеянием электронов на поверхностях пленки. В достаточно толстых образцах преобладающую роль играет первый тип рассеяния, в тонких пленках доминирует рассеяние на поверхностях. Теория, в которой учитываются оба механизма рассеяния, была развита Фуксом [3]. Эта теория хорошо согласуется с опытом, если для меди среднюю длину свободного пробега в массивном образце принять равной $4,5 \cdot 10^{-6}$ см, что удовлетворительно согласуется с нашей грубой оценкой. Результаты более строгих расчетов приведены в табл. 5.1.

Таблица 5.1
Данные об электропроводности металлов при 0°C *)

Металл	Число свободных электронов в 1 см^3 $N \cdot 10^{-22}$	Наблюдаемые значения электропроводности (при 0°C) $\tau \cdot 10^{-17}$, эл.-ст. ед	Вычисленная скорость $u_F \cdot 10^{-8}$, см/сек	Средняя длина свободного пробега $\Lambda \cdot 10^8$, см
Li	4,6	1,06	1,31	110
Na	2,5	2,09	1,07	350
K	1,3	1,47	0,85	370
Rb	1,1	0,78	0,80	220
Cs	0,85	0,49	0,75	160
Cu	8,5	5,76	1,58	420
Ag	5,8	6,12	1,40	570
Au	5,9	4,37	1,40	410

*) При вычислении теоретических значений предполагалось, что на каждый атом приходится в среднем один свободный электрон; свободный пробег Λ вычислен по формуле (5.18). Скорость u_F вычислялась по формуле $\frac{1}{2} m u_F^2 = E_F$, где энергия Ферми E_F определялась по формуле (5.44). Следует иметь в виду, что в книге Мотта и Джонса [4] значения Λ верны лишь с точностью до множителя, равного 2.

Ионный радиус Cu^+ равен $0,96 \cdot 10^{-8}$ см. Далее, из соображений размерности и элементарной кинетической теории получаем формулу для средней длины свободного пробега

$$\Lambda \cong \frac{1}{N\pi R^2},$$

из которой следует, что $\Lambda \cong 4 \cdot 10^{-8}$ см. При этом мы предполагаем, что взаимодействие электронов проводимости с ионами меди можно трактовать классически. Однако мы знаем, что истинная длина

свободного пробега при комнатной температуре имеет величину порядка $5 \cdot 10^{-6}$ см, а при низких температурах может быть 10^{-3} см и даже больше. Поэтому надо сделать вывод, что взаимодействие электронов проводимости с ионами металла нельзя трактовать классически.

Подвижность μ определяется как средняя (дрейфовая) скорость, отнесенная к единице напряженности электрического поля, т. е. с учетом (5.8)

$$\mu = \frac{v_D}{E} = \frac{e\tau}{m}. \quad (5.19)$$

Чтобы получить представление о порядке величины подвижности, возьмем медь при комнатной температуре

$$\begin{aligned} \mu &\cong \frac{5 \cdot 10^{-10} \cdot 2 \cdot 10^{-14}}{9 \cdot 10^{-28}} \cong 10^4 \text{ см}^2/\text{статвольт} \cdot \text{сек} \cong 30 \text{ см}^2/\text{в} \cdot \text{сек} \cong \\ &\cong 3 \cdot 10^{-3} \text{ м}^2/\text{в} \cdot \text{сек}. \end{aligned}$$

Подвижность является весьма полезной характеристикой при рассмотрении свойств полупроводников, поскольку при ее определении не используется концентрация носителей заряда.

Мы уже приводили (но не вычисляли) величину собственной скорости электронов проводимости в меди, которая равна $1,6 \cdot 10^8$ см/сек.

Средняя (дрейфовая) скорость, приобретаемая электронами во внешнем электрическом поле, очень мала по сравнению с этой величиной, если напряженность электрического поля не превысит 10^6 в/см. В полях такой или большей величины можно ожидать нелинейных эффектов, не описываемых обычной формой закона Ома. В нормальных металлах нелинейные эффекты, обусловленные большими полями, играют незначительную роль (см., например, работу Гута и Майерхофера [5]), однако они приобретают важное значение в полупроводниках (см. Шокли [6]), где сильные электрические поля могут возникать на $p-n$ -переходах. Теория $p-n$ -переходов рассматривается в гл. 6.

Следует подчеркнуть, что формула

$$\sigma = \frac{Ne^2\tau}{m}$$

рассматривалась здесь на основе чисто классической модели без использования квантовой механики или квантовой статистики. Как будет показано ниже в настоящей главе, эта формула сохраняется и при квантовой трактовке.

Закон Видемана — Франца. В гл. 3 были получены формулы для теплопроводности электронов проводимости. На основе модели свободных электронов и статистики Ферми — Дирака для коэффициента теплопроводности была получена формула

$$K = \frac{\pi^2}{3} \frac{k^2 N \tau}{m} T. \quad (5.20)$$

Для электропроводности [см. (5.13)] имеем $\sigma = \frac{Ne^2\tau}{m}$. Таким образом, для отношения этих величин получим

$$\frac{K}{\sigma} = \frac{\pi^2}{3} \left(\frac{k}{e} \right)^2 T. \quad (5.21)$$

Соотношение этого типа было впервые установлено Видеманом и Францем и носит их имя. Число Лоренца определяется соотношением

$$L = \frac{K}{\sigma T}; \quad (5.22)$$

согласно (5.21) в модели свободных электронов в случае чисто электронной проводимости

$$L = \frac{\pi^2}{3} \left(\frac{k}{e} \right)^2 = 2,72 \cdot 10^{-13} \text{ эл.-ст. ед/град}^2 = \\ = 2,45 \cdot 10^{-8} \text{ вт} \cdot \text{ом/град}^2. \quad (5.23)$$

Это — замечательный результат, поскольку он не содержит величин N , m и τ . Более детальный анализ, основанный на квантовой теории процессов переноса в металлах, показывает, что число Лоренца должно стать не зависящим от температуры только выше характеристической температуры Дебая¹⁾. Это связано с тем, что различие между средними значениями связанных со столкновениями величин, входящих в выражения для удельной электропроводности и теплопроводности, становится существенным, когда при низких температурах начинают преобладать электрон-фоонные соударения при малых углах. При комнатной температуре наблюдаемые значения L превосходно согласуются с теоретическими [формула (5.23)], что видно из данных, приведенных в табл. 5.2.

Таблица 5.2

Экспериментальные значения числа Лоренца

Металл	$L \cdot 10^8, \text{ вт} \cdot \text{ом} \cdot \text{град}^{-2}$		Металл	$L \cdot 10^8, \text{ вт} \cdot \text{ом} \cdot \text{град}^{-2}$	
	0° C	100° C		0° C	100° C
Ag	2,31	2,37	Pb	2,47	2,56
Au	2,35	2,40	Pt	2,51	2,60
Cd	2,42	2,43	Sn	2,52	2,49
Cu	2,23	2,33	W	3,04	3,20
Ir	2,49	2,49	Zn	2,31	2,33
Mo	2,61	2,79			

¹⁾ Экспериментальное исследование температурной зависимости в области низких температур было проведено для натрия и меди Берманом и Макдональдом [7].

Теплоемкость электронов проводимости. Согласно классической теории, изложенной в гл. 3, электроны проводимости в металле должны были бы дать вклад в молярную теплоемкость металла, равный

$$C (\text{электронн.}) = \frac{3}{2} Rz,$$

где R — газовая постоянная, а z — число валентных электронов на один атом. Как уже упоминалось выше, нет никаких экспериментальных доказательств того, что вклад электронов в теплоемкость дает что-либо похожее на эту величину.

Теплоемкость большинства металлов при комнатной температуре и выше обычно очень близка к $6 \text{ кал/моль} \cdot \text{град}$, т. е. такова же, что и у диэлектрических твердых тел; это значение с очень хорошим приближением может быть описано теорией колебаний кристаллической решетки. Это расхождение указывало на неудовлетворительность классической теории, основанной на модели свободного электронного газа. В свете успехов классической теории в объяснении электропроводности и теплопроводности металлов ее неудача с теплоемкостью была просто удивительной. С точки зрения классической теории было трудно понять, каким образом электроны, принимая участие в процессах переноса, как если бы они были свободными, в то же время дают столь незначительный вклад в теплопроводность.

Парамагнитная восприимчивость электронов проводимости. Классическая теория свободных электронов не дает также удовлетворительного объяснения парамагнитной восприимчивости электронов проводимости. Из элементарной атомной физики известно, что электроны обладают магнитным моментом, равным по величине магнетону Бора:

$$\begin{aligned} \mu_B &= \frac{e\hbar}{2mc} = -0,927 \cdot 10^{-20} \text{ эрг/эрсед} = \\ &= 9,27 \cdot 10^{-18} \text{ дж} \cdot \text{вебер/м}^2. \end{aligned} \quad (5.24)$$

В соответствии с результатами гл. 8 следует ожидать, что электроны проводимости должны обладать парамагнитной восприимчивостью [см. (8.13)]:

$$\chi = \frac{N\mu_B^2}{3kT},$$

которая будет являться частью магнитной восприимчивости металла в целом. Этот результат аналогичен формуле (4.28) для электрического дипольного момента. Однако опыт показывает, что восприимчивость обычных неферромагнитных металлов не зависит от температуры, а величина ее при комнатной температуре может составлять лишь 1/100 ожидаемого по указанной теории значения.

Квантовая теория свободных частиц в замкнутом сосуде. Трудности, с которыми столкнулась классическая теория свободных элек-

тронов при попытках объяснить наблюдаемые значения теплоемкости и магнитной восприимчивости простых металлов, легко преодолеваются, если учесть требования, вытекающие из принципа Паули. Общеизвестна центральная, решающая роль принципа Паули в объяснении структуры и внутреннего содержания периодической таблицы элементов Менделеева¹⁾. В наиболее простой формулировке в применении к изолированным атомам принцип Паули утверждает, что два электрона одного и того же атома не могут иметь одинаковые наборы квантовых чисел. Атом можно характеризовать следующими квантовыми числами: n — главное квантовое число, l — орбитальное квантовое число, m_l — азимутальное квантовое число, представляющее собой проекцию l на данное направление, m_s — спиновое квантовое число, которое может принимать одно из двух значений $\pm 1/2$.

Напомним об элементарных применениях принципа Паули. Возьмем, например, квантовые числа основного состояния атома водорода:

$$n = 1, \quad l = 0, \quad m_l = 0, \quad m_s = 1/2.$$

Введение в систему еще одного электрона дает двухэлектронную оболочку атома гелия. Основному состоянию для второго электрона будет соответствовать следующий набор квантовых чисел:

$$n = 1, \quad l = 0, \quad m_l = 0, \quad m_s = -1/2.$$

В гелии все наборы квантовых чисел, начинающиеся с $n = 1$, заняты, так что когда мы переходим к следующему атому — литию, для третьего электрона в основном состоянии набор квантовых чисел должен начинаться с $n = 2$, и мы можем далее заполнять набор, полагая

$$l = 0, \quad m_l = 0, \quad m_s = 1/2.$$

Действуя подобным образом, мы можем построить всю периодическую таблицу элементов.

Очевидно, что если мы хотим попытаться установить, к каким следствиям приведет применение принципа Паули к электронам проводимости в металле, то прежде всего надо определить систему квантовых чисел, характеризующих поставленную задачу. Эта система квантовых чисел должна характеризовать состояния электронов проводимости точно так же, как наборы квантовых чисел n , l , m_l , m_s характеризуют состояния электронов в задаче о свободном атоме.

Для поставленной цели наиболее важным является тот известный факт, что свободному электрону отвечает связанная с ним волна,

¹⁾ С принципом Паули читатель может познакомиться по ряду книг, в частности по книгам Слэтера [8] и Борна [9] (см. также любой курс квантовой механики, например Д. И. Блохинцева [10] или книгу А. С. Компанейца [11]). (*Прим. перев.*)

длина которой определяется соотношением

$$\lambda = \frac{h}{p}, \quad (5.25)$$

где h — постоянная Планка, а p — импульс электрона, равный для движения в свободном пространстве произведению его массы m на скорость v , т. е. mv . Это есть знаменитое соотношение де Бройля.

Волновая природа электрона была доказана во многих экспериментах и в первую очередь в опытах Дэвиссона и Джермера, а также Дж. П. Томсона по дифракции электронов. В этих опытах пучок электронов подвергался дифракции при отражении от поверхности кристалла или при прохождении через поликристаллическую фольгу. Углы отклонения дифрагированных пучков сказались как раз такими, что удовлетворяли условию Брэгга: $2d \sin \theta = n\lambda$, где длина волны λ , фигурирующая в уравнении Брэгга, вычисляется по соотношению де Бройля (5.25). Импульс электрона p связан с ускоряющим напряжением, приложенным к пучку:

$$p = (2mE)^{1/2},$$

где E — энергия электронов. Для определения длины волны электронов удобно пользоваться практической формулой

$$\lambda (\text{\AA}) \approx \left(\frac{150}{V} \right)^{1/2},$$

где V — ускоряющее напряжение в вольтах, а длина волны выражена в ангстремах (10^{-8} см). Мы видим, что при $V = 150$ в длина волны составляет 1\AA ; при $V = 1,5$ в получим, очевидно, 10\AA .

Волновое уравнение Шредингера

$$\left(-\frac{\hbar^2}{2m} \nabla^2 + V(r) \right) \psi = E\psi \quad (5.26)$$

представляет собой, в сущности, обобщение соотношения де Бройля на случай, когда потенциальная энергия $V(r)$ электрона есть функция его положения r . В уравнении (5.26)

$$\nabla^2 = \frac{\partial^2}{\partial x^2} + \frac{\partial^2}{\partial y^2} + \frac{\partial^2}{\partial z^2},$$

$\hbar = h/2\pi$, E — полная энергия, которая считается постоянной; ψ — волновая функция (собственная функция этого уравнения). Смысл функции ψ (нормированной) состоит в том, что величина

$$\psi^* \psi \, dx \, dy \, dz$$

является вероятностью нахождения электрона в объеме $dx \, dy \, dz$. Звездочка у ψ^* означает, что ψ^* — функция, комплексно сопряженная ψ .

Связь между уравнением Шредингера и соотношением де Бройля можно легко установить, рассматривая движение электрона в пустоте, т. е. полагая $V(\mathbf{r}) = 0$. Тогда (5.26) примет вид

$$-\frac{\hbar^2}{2m} \nabla^2 \psi = E\psi. \quad (5.27)$$

Решение этого уравнения при постоянной энергии E можно искать в виде $\psi \sim e^{i\mathbf{k}\mathbf{r}}$. Можно также взять $\psi \sim \sin \mathbf{k}\mathbf{r}$ или $\psi \sim \cos \mathbf{k}\mathbf{r}$ или любую линейную комбинацию этих решений. Очевидно,

$$\nabla^2 \psi = -k^2 \psi,$$

и, следовательно, ψ есть решение, когда k и E связаны соотношением

$$E = \frac{\hbar^2}{2m} k^2. \quad (5.28)$$

Для свободного электрона величина k , называемая волновым вектором, определяется следующим образом:

$$k = |\mathbf{k}| = \frac{2\pi}{\lambda}, \quad (5.29)$$

где λ — длина волны. Подставляя (5.29) в (5.28), находим

$$E = \frac{\hbar^2}{2m} \left(\frac{2\pi}{\lambda} \right)^2 = \frac{1}{2m} \left(\frac{h}{\lambda} \right)^2. \quad (5.30)$$

Если импульс и длина волны связаны между собой соотношением де Бройля $\lambda = h/p$, то, подставляя это выражение для λ в (5.30), получим

$$E = \frac{1}{2m} p^2 = \frac{1}{2} m v^2;$$

это как раз классическое выражение для энергии свободной частицы с массой m . Мы видим, что для свободной частицы волновое уравнение дает ту же зависимость энергии от длины волны, что и соотношение де Бройля.

Считая электроны проводимости полностью свободными, мы можем приближенно искать их волновые функции в виде

$$\psi \cong e^{i\mathbf{k}\mathbf{r}}. \quad (5.31)$$

Однако эти функции, прежде чем они смогут служить решениями поставленной задачи, должны быть преобразованы так, чтобы удовлетворить следующим двум требованиям. Во-первых, они должны быть нормированы, исходя из требования, чтобы интеграл от плотности вероятности $\psi^* \psi$ по всей рассматриваемой области пространства был равен единице:

$$\int \psi^* \psi dV = 1. \quad (5.32)$$

Мы удовлетворим этому требованию, если возьмем ψ в виде

$$\psi = \left(\frac{1}{V}\right)^{1/2} e^{ikr}. \quad (5.33)$$

Здесь V — объем твердого тела, содержащего электроны. Во-вторых, мы хотим, чтобы волновая функция удовлетворяла надлежащим граничным условиям на поверхности твердого тела, например, мы можем потребовать, чтобы волновая функция обращалась в нуль на поверхности.

Граничные условия вводят в задачу квантование того или иного типа. Рассмотрим электрон, движение которого ограничено прямолинейным отрезком длиной L (рис. 5.1). Если мы потребуем, чтобы

$$\psi(0) = 0 \quad \text{и} \quad \psi(L) = 0,$$

то решение волнового уравнения (одномерная задача) будет иметь следующий вид:

$$\psi_n = \left(\frac{2}{L}\right)^{1/2} \sin \frac{n\pi x}{L}. \quad (5.34)$$

Энергию мы получим, подставляя это выражение для ψ_n в уравнение (5.27), а именно

$$E_n = \frac{\hbar^2}{2m} \left(\frac{\pi}{L}\right)^2 n^2 \quad (n = 1, 2, 3, \dots). \quad (5.35)$$

Рис. 5.1. Графики первых трех волновых функций электрона в случае одномерной модели с интервалом периодичности, равным L .

Таким образом, разрешенные уровни энергии квантованы, а все прочие значения энергии исключаются, поскольку соответствующие им волновые функции ψ не удовлетворяют граничным условиям.

Часто более удобно, особенно в случае трех измерений, вводить граничные условия иным способом. Речь идет о так называемых периодических граничных условиях, которые уже вводились нами в гл. 3 в связи с рассмотрением колебаний решетки. Квантование энергии электронов мы будем производить, введя куб периодичности со стороной L и требуя, чтобы волновые функции были периодическими по x , y и z с периодом L . Например, потребуем, чтобы

$$\psi(x + L, y, z) = \psi(x, y, z) \quad (5.36)$$

и аналогично по координатам y и z . Волновые функции для свободной частицы, удовлетворяющие требованиям периодичности, будут иметь следующий вид:

$$\psi_n = \left(\frac{1}{L}\right)^{3/2} e^{i \frac{2\pi}{h} (n_x x + n_y y + n_z z)}, \quad (5.37)$$

где

$$\begin{aligned}n_x &= 0, \pm 1, \pm 2, \dots, \\n_y &= 0, \pm 1, \pm 2, \dots, \\n_z &= 0, \pm 1, \pm 2, \dots\end{aligned}$$

Легко установить, что эта функция действительно удовлетворяет указанному требованию. Возьмем, например, (5.36):

$$\begin{aligned}\psi_{\mathbf{n}}(x+L, y, z) &= \left(\frac{1}{L}\right)^{3/2} \exp i \frac{2\pi}{L} [n_x(x+L) + n_y y + n_z z] = \\&= \left(\frac{1}{L}\right)^{3/2} \exp i \frac{2\pi}{L} (n_x x + n_y y + n_z z) = \psi_{\mathbf{n}}(x, y, z).\end{aligned}$$

Здесь через \mathbf{n} обозначена тройка целых чисел (n_x, n_y, n_z) . Нетрудно также получить энергию, соответствующую решению (5.37):

$$E_{\mathbf{n}} = \frac{\hbar^2}{2m} \left(\frac{2\pi}{L}\right)^2 (n_x^2 + n_y^2 + n_z^2) = \frac{\hbar^2 n^2}{2m V^{2/3}}, \quad (5.38)$$

где $V = L^3$ — объем образца, а $n^2 = n_x^2 + n_y^2 + n_z^2$.

Заметим, что разрешенные значения волнового вектора \mathbf{k} определяются условием

$$\mathbf{k} = \frac{2\pi}{L} \mathbf{n}. \quad (5.39)$$

Таким образом, мы видим, что двум типам граничных условий отвечают два различных типа волновых функций. Решения (5.34), отвечающие условию $\psi = 0$ на границах, соответствуют стоячим волнам и обладают тем свойством, что плотность вероятности

$$\psi^* \psi = \frac{2}{L} \sin^2 \frac{n\pi x}{L} \quad (5.40)$$

является периодической функцией координаты x . В то же время решения (5.37) для периодических граничных условий соответствуют бегущим волнам и имеют однородную плотность вероятности:

$$\psi^* \psi = \frac{1}{V}. \quad (5.41)$$

Это различие между решениями для задачи о свободном электроне не имеет большого значения, но оно проявляется, когда необходимо принимать во внимание взаимодействие электрона с кристаллической решеткой. В этом случае решения в виде бегущих волн имеют более важное значение для непосредственной физической интерпретации, чем решения в виде стоячих волн. Далее мы будем иметь дело с бегущими волнами.

В качестве подходящих квантовых чисел для задачи о свободных электронах, как вскоре выяснится, мы можем взять три компоненты

либо вектора \mathbf{k} , либо вектора \mathbf{n} [что эквивалентно в силу связывающего их соотношения (5.39)] вместе со спиновым квантовым числом $m_s = \pm 1/2$. Знак плюс или минус у m_s берется в зависимости от того, как направлен спин электрона: по оси квантования или антипараллельно ей. Таким образом, состояние электрона характеризуется заданием набора значений n_x, n_y, n_z, m_s или же k_x, k_y, k_z, m_s . Теперь следует рассмотреть вопрос о влиянии принципа Паули на распределение энергий электронов проводимости.

Из формулы (5.38) видно, что энергия электрона зависит от $n_x^2 + n_y^2 + n_z^2$, где n_x, n_y, n_z — положительные или отрицательные целые числа. За основной уровень энергии системы можно взять $n_x = n_y = n_z = 0$. На этом уровне мы можем поместить два электрона с противоположными спиновыми ориентациями: $m_s = \pm 1/2$. Следующий электрон, введенный в систему, должен быть помещен на более высокий энергетический уровень, поскольку, согласно принципу Паули, он не может находиться на уже занятых двух основных уровнях. Энергетический уровень, следующий за основным, будет соответствовать $n^2 = 1$, и может быть занят следующими двенадцатью способами:

n_x	n_y	n_z	m_s	n_x	n_y	n_z	m_s	n_x	n_y	n_z	m_s
1	0	0	1/2	0	1	0	1/2	0	0	1	1/2
1	0	0	-1/2	0	1	0	-1/2	0	0	1	-1/2
-1	0	0	1/2	0	-1	0	1/2	0	0	-1	1/2
-1	0	0	-1/2	0	-1	0	-1/2	0	0	-1	-1/2

Таким образом, первый возбужденный энергетический уровень системы отвечает двенадцати независимым состояниям и в соответствии с принципом Паули может содержать двенадцать электронов.

Основной и первый возбужденный уровни могут содержать самое большее $2 + 12 = 14$ электронов, и, следовательно, при абсолютном нуле эти 14 состояний будут заняты 14 электронами. Если добавить в систему еще один электрон, то этот пятнадцатый электрон должен быть помещен на следующий уровень наинизшей энергии, отвечающий $n^2 = 2$. Читатель сам может убедиться в том, что уровень $n^2 = 2$ может содержать максимум 24 электрона. Поступая подобным образом и далее, мы постепенно будем передвигаться все выше по энергетическим уровням системы до тех пор, пока не будут израсходованы все имеющиеся в распоряжении электроны. При абсолютном нуле все уровни ниже некоторого будут заполнены электронами, а все более высокие вообще не будут содержать электронов. Уровень, который отделяет заполненные уровни от вакантных, называется *уровнем Ферми* при абсолютном нуле и обозначается $E_F(0)$.

Весьма интересно найти зависимость величины уровня Ферми от концентрации электронов N . Число состояний, имеющих квантовое число n , меньшее некоторого n_F , равно просто

$$2 \left(\frac{4\pi}{3} \right) n_F^3,$$

поскольку в единице объема в n -пространстве на каждый «узел», описываемый тройкой целых чисел n_x , n_y , n_z , приходится два независимых состояния (соответствующих двум различным спиновым ориентациям). Чтобы разместить при абсолютном нуле $N L^3$ электронов, все состояния n должны быть заполнены вплоть до

$$\frac{8\pi}{3} n_F^3 = N L^3, \quad (5.42)$$

и, следовательно,

$$\left(\frac{n_F}{L} \right)^2 = \left(\frac{3N}{8\pi} \right)^{2/3}. \quad (5.43)$$

Теперь, воспользовавшись (5.38) и (5.43), легко получить энергию, соответствующую n_F :

$$E_F(0) = \frac{\hbar^2}{2m} \left(\frac{2\pi^2}{L} \right)^2 n_F^2 = \frac{\hbar^2}{2m} (3\pi^2 N)^{2/3}. \quad (5.44)$$

По порядку величины энергия $E_F(0)$ равна примерно 5 эв, т. е. при абсолютном нуле электроны проводимости в металле вовсе не представляют собой «конденсата» с нулевой энергией, как следовало бы по классической механике, а заполняют все допустимые уровни энергии вплоть до уровня, расположенного на 5 эв выше основного состояния. Значения энергии Ферми по модели свободных электронов приведены в табл. 5.3; там же даны значения эффективной

Таблица 5.3

**Характеристики уровня Ферми некоторых металлов,
вычисленные по модели свободных электронов**

Металл	E_F , эв	T_F , °К	u_F , 10 ⁸ см/сек	Металл	E_F , эв	T_F , °К	u_F , 10 ⁸ см/сек
Li	4,72	55 000	1,31	Cs	1,53	18 000	0,75
Na	3,12	37 000	1,07	Cu	7,04	82 000	1,58
K	2,14	24 000	0,85	Ag	5,51	64 000	1,40
Rb	1,82	21 000	0,80	Au	5,51	64 000	1,40

температуры Ферми T_F , определяемой соотношением

$$T_F = \frac{E_F(0)}{k}. \quad (5.45)$$

Скорость электронов, находящихся на уровне Ферми (будем называть ее фермиевской скоростью и обозначать через u_F) определяется соотношением

$$\frac{1}{2} m u_F^2 = E_F(0). \quad (5.46)$$

Интересно определить число состояний на единичный энергетический интервал в единице объема в зависимости от энергии; для этой величины, которую естественно назвать плотностью состояний [обозначим ее через $g(E)$], пользуясь (5.44), имеем

$$\int g(E) dE = NV = \frac{V}{3\pi^2} \left(\frac{2mE}{\hbar^2} \right)^{3/2}, \quad (5.47)$$

откуда

$$g(E) = \frac{V}{2\pi^2} \left(\frac{2m}{\hbar^2} \right)^{1/2} E^{1/2}. \quad (5.48)$$

График этой функции изображен на рис. 5.2.

Рассмотрим теперь вопрос о том, что будет происходить при повышении температуры нашей системы электронов от абсолютного нуля до некоторого значения T . В классической механике эффект повышения температуры сводится к увеличению энергии каждой частицы на величину порядка kT , что при комнатной температуре составляет около 0,02 эв. Однако, как мы уже знаем из рассмотрения задачи о распределении энергии в системе электронов проводимости, даже при абсолютном нуле энергии электронов составляют несколько электрон-вольт. Весьма маловероятно, что электрон, находящийся на уровне, лежащем более чем на 0,1 эв ниже уровня Ферми, подвергнется возбуждению при комнатной температуре.

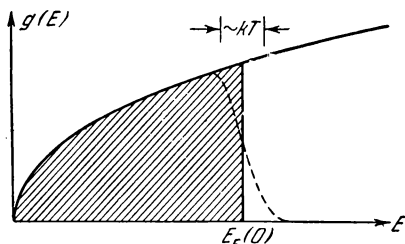


Рис. 5.2. Плотность состояний $g(E)$ как функция энергии. При абсолютном нуле все состояния вплоть до $E_F(0)$ заняты.

Пунктирная кривая описывает ход изменения плотности состояний при некоторой конечной температуре $T \ll E_F/k$.

Действительно, состояния, энергия которых отличается от указанной энергии на kT , полностью заполнены, а вероятность того, что электрон приобретает энергию $5 kT \approx 0,1$ эв, необходимую для перехода в следующее за уровнем Ферми и более высокое незанятое состояние, очень мала.

Можно также сказать, что принцип Паули оказывает значительное влияние на тепловое поведение электронов проводимости. При повышении температуры от абсолютного нуля каждый электрон не

приобретает энергии $\sim kT$, как это следует из классической теории. Лишь те электроны, энергия которых отличается на величину порядка kT от энергии Ферми, могут подвергнуться тепловому возбуждению; именно эти электроны и приобретают энергию порядка kT (см. рис. 5.2).

Это радикальное изменение в подходе к интерпретации тепловых свойств электронов проводимости, резко отличающееся от классического, сразу дает качественное решение проблемы теплоемкости газа электронов проводимости. Если N — общее число электронов, то лишь часть их порядка T/T_F может быть термически возбуждена при температуре T , поскольку именно такая их доля содержится в энергетическом интервале порядка kT в верхнем участке кривой, описывающей энергетическое распределение электронов. Каждый из этих NT/T_F электронов приобретает тепловую энергию порядка kT и, следовательно, полная тепловая энергия электронов U по порядку величины равна

$$\frac{NT}{T_F} kT = \frac{RT^2}{T_F} \text{ на } 1 \text{ моль.}$$

Следовательно, теплоемкость

$$C_v = \frac{\partial U}{\partial T} \cong \frac{RT}{T_F}$$

пропорциональна T в согласии с экспериментальными данными, приведенными в гл. 3. При комнатной температуре теплоемкость C_v меньше классического значения $\frac{3}{2} R$ примерно в 100 раз или даже еще меньше. Напомним, что $T_F \approx 5 \cdot 10^4 \text{ град}$.

Перейдем теперь к количественному рассмотрению роли принципа Паули в установлении равновесного теплового распределения электронов проводимости.

ЗАКОН РАСПРЕДЕЛЕНИЯ ФЕРМИ — ДИРАКА ¹⁾

Из элементарной кинетической теории газов мы знакомы с законом распределения Максвелла — Больцмана. Этот закон есть следствие классической теории и имеет место для молекул в газе при обычных условиях. Электроны значительно легче, чем молекулы: кроме того, концентрация валентных электронов в металле в 10^4 раза больше, чем концентрация молекул в газе при нормальных условиях ($T = 0^\circ \text{C}$, $p = 1 \text{ атм}$). Поэтому для электронов в металле классическая статистика уже не является правильным приближением и должна быть заменена квантовой статистикой.

Классическое распределение будет хорошим приближением, пригодным для описания свойств системы, лишь в том случае, если среднее

¹⁾ Элементарное и ясное изложение квантовой статистики имеется в книге Борна [9]. [См. также, например, книгу М. А. Леонтовича [12] и автора [13]. (Прим. перев.)]

расстояние между частицами велико по сравнению с де-бройлевской длиной волны (5.25), которую можно вычислить, пользуясь величиной тепловой скорости частиц.

В применении к электронам квантовая статистика требует, чтобы мы считали электроны неразличимыми и чтобы в каждом состоянии системы не мог находиться более чем один электрон. «Одночастичное» состояние системы свободных частиц полностью определяется заданием набора значений квантовых чисел n_x , n_y , n_z и спиновым квантовым числом электрона ($m_z = \pm 1/2$). Из того, что в данном состоянии может находиться только один электрон, следует, что если

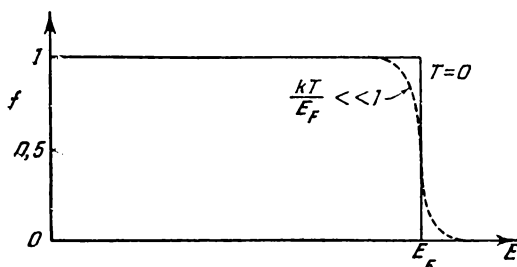


Рис. 5.3. Схематическое изображение графика функции распределения Ферми — Дирака для абсолютного нуля и для какой-то достаточно низкой температуры.

Ширина энергетической области, в которой температура нарушает это распределение, имеет величину порядка kT .

мы имеем дело с большим количеством электронов, то даже в наинизшем энергетическом состоянии системы многие одночастичные состояния с большими квантовыми числами будут заняты. Это обстоятельство существенно отличает квантовую статистику от статистики Максвелла — Больцмана, в которой любое число частиц может иметь одинаковую энергию и импульс. В наинизшем состоянии классической системы все частицы могут иметь нулевые энергии и импульсы.

Таким образом, в соответствии с распределением Ферми — Дирака, при абсолютном нуле вероятность $f(E)$ того, что одночастичное состояние с энергией E будет занято электроном, может быть равна 1 или 0. Вероятность равна 1, если энергия E_i меньше $E_F(0)$ — предельной энергии заполненных уровней при абсолютном нуле. На рис. 5.3 приведен график функции распределения $f(E)$ при абсолютном нуле и при очень низкой температуре, удовлетворяющей условию $kT \ll E_F$. Найдем теперь выражение для f в зависимости от E , T и числа частиц.

Подробное изложение вывода распределения Ферми — Дирака можно найти в учебниках по статистической механике и атомной физике.

Здесь мы получим его, воспользовавшись простым и изящным приемом. Рассмотрим неупругие столкновения электронного газа с атомом примеси, который может находиться на одном из двух энергетических уровней (предполагается, что электронный газ взаимодействует с этим атомом). Энергия уровней равна 0 и ϵ (рис. 5.4), а вероятность нахождения атома на каждом из этих уровней равна соответственно $p(0)$ и $p(\epsilon)$. Атом примеси может участвовать во многих различных процессах столкновений, однако мы сначала ограничимся неупругими столкновениями, причем такими, в результате которых электрон переходит из состояния k с энергией E в состояние k' с энергией $E + \epsilon$.

Вероятность перехода из состояния k в состояние k' пропорциональна величине

$$f(E) p(\epsilon) [1 - f(E + \epsilon)],$$

где $f(E)$ — вероятность того, что начальное состояние k занято; $p(\epsilon)$ — вероятность того, что атом примеси находится в состоянии ϵ

и, следовательно, может отдать свою энергию электрону, а $1 - f(E + \epsilon)$ представляет вероятность того, что состояние k' с энергией $E + \epsilon$ свободно. Рассеяние возможно только в том случае, когда выполняется указанное условие, которое вводится в силу принципа Паули. Далее, вероятность обратного перехода $k'(E + \epsilon) \rightarrow k(E)$ пропорциональна величине

$$f(E + \epsilon) p(0) [1 - f(E)].$$

Действительно, поскольку этот процесс является обратным по сравнению с изображенным на рис. 5.4, мы должны соответствующим образом изменить ход рассуждений. В силу принципа детального равновесия, непосредственно вытекающего из квантовой теории, коэффициент пропорциональности имеет одну и ту же величину для прямого и обратного процессов.

При тепловом равновесии вероятности переходов $k \rightarrow k'$ и $k' \rightarrow k$ должны быть одинаковы, так что мы можем приравнять населенности:

$$\langle f(E) \rangle \langle p(\epsilon) \rangle [1 - \langle f(E + \epsilon) \rangle] = \langle f(E + \epsilon) \rangle \langle p(0) \rangle [1 - \langle f(E) \rangle], \quad (5.49)$$

где величины в угловых скобках представляют собой соответствующие средние значения, вычисленные для системы, находящейся в состоянии теплового равновесия при одной и той же температуре T .

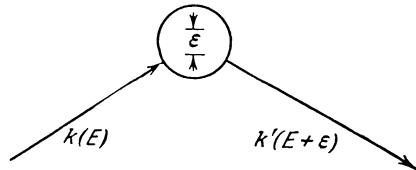


Рис. 5.4. Схематическое изображение неупругого столкновения между электроном, находящимся в состоянии k с энергией E , и атомом примеси, обладающим энергией ϵ .

В рассматриваемом случае электрон в конечном состоянии обладает энергией $E + \epsilon$, а атом в результате столкновения теряет энергию, равную ϵ .

В соответствии с распределением Больцмана

$$\frac{\langle p(\epsilon) \rangle}{\langle p(0) \rangle} = e^{-\epsilon/kT}, \quad (5.50)$$

так что

$$\frac{\langle f(E+\epsilon) \rangle}{\langle 1-f(E+\epsilon) \rangle} \frac{\langle 1-f(E) \rangle}{\langle f(E) \rangle} = e^{-\epsilon/kT}. \quad (5.51)$$

Как нетрудно видеть, это функциональное уравнение имеет решение при всех T , если

$$\frac{\langle 1-f(E) \rangle}{\langle f(E) \rangle} = e^{(E-\mu)/kT}, \quad (5.52)$$

где μ — постоянная, не зависящая от E , так что

$$\langle f(E) \rangle = \frac{1}{e^{(E-\mu)/kT} + 1}. \quad (5.53)$$

Постоянная μ обычно обозначается через E_F и называется энергией Ферми. Опуская угловые скобки, запишем распределение Ферми — Дирака в виде

$$f = \frac{1}{e^{(E-E_F)/kT} + 1}. \quad (5.54)$$

При $T = 0^\circ \text{K}$ функция $f = 1$ для $E < E_F$ и $f = 0$ при $E > E_F$. Таким образом, при абсолютном нуле величина E_F имеет смысл пороговой энергии: все состояния с энергией, меньшей E_F , заполнены, а все состояния с энергией, большей E_F , свободны. По мере увеличения T распределение становится более плавным, как показано на рис. 5.3, а именно, состояния, энергия которых меньше E_F на величину $\sim kT$, частично «опустошаются», а состояния с энергией, превышающей E_F на ту же величину, наоборот, частично заселяются. Величина E_F определяется из условия, что полное число частиц должно быть постоянным. Это число, вообще говоря, зависит от температуры, однако для $kT/E_F \ll 1$ можно показать, что величина $E_F(T)$ почти точно равна ее значению при 0° . При любой температуре при $E = E_F$ функция $f = 1/2$. Распределение называется *вырожденным*, если $kT \ll E_F$, и *невырожденным*, если $kT \gg E_F$ (классический предел).

При тепловом равновесии число свободных электронов dn в единице объема с энергией между E и $E + dE$ определяется соотношением

$$dn = fg(E) dE = \frac{V}{2\pi^2} \left(\frac{2m}{\hbar^2} \right)^{3/2} \frac{E^{1/2} dE}{e^{(E-E_F)/kT} + 1}, \quad (5.55)$$

где использована формула (5.48) и функция распределения Ферми — Дирака (5.54). Часто бывает удобно использовать соотношение

$$C = \frac{V}{2\pi^2} \left(\frac{2m}{\hbar^2} \right)^{3/2}; \quad (5.56)$$

тогда

$$dn = \frac{CE^{1/2} dE}{e^{(E-E_F)/kT} + 1}; \quad (5.57)$$

величину E_F определяем, полагая интеграл от dn равным числу частиц. Рассмотрим теперь несколько предельных случаев.

Абсолютный нуль. При абсолютном нуле $f = 1$, когда $E < E_F(0)$ (значение E_F при 0°K), и $f = 0$ для $E > E_F(0)$. Таким образом, все состояния вплоть до E_F заняты, а значение E_F определяется через число N электронов в единице объема:

$$NV = C \int_0^{E_F(0)} E^{1/2} dE = \frac{2}{3} C [E_F(0)]^{3/2} \quad (5.58)$$

и, следовательно,

$$E_F(0) = \frac{\hbar^2}{2m} (3\pi^2 N)^{2/3}, \quad (5.59)$$

в согласии с ранее полученным результатом (5.44). Вычисленные значения E_F приведены в табл. 5.3.

Пример. Кинетическая энергия газа Ферми при абсолютном нуле равна

$$U_0 = \frac{3}{5} NE_F(0). \quad (5.60)$$

Этот результат следует из того, что $E_k \sim k^2$, а среднее значение k^2 по заполненной сфере Ферми равно

$$\langle k^2 \rangle = \frac{\int_0^{k_F} k^4 dk}{\int_0^{k_F} k^2 dk} = \frac{3}{5} k_F^2;$$

таким образом,

$$\langle E \rangle = \frac{3}{5} E_F(0).$$

Вся эта энергия — кинетическая, поскольку мы не рассматриваем электростатического взаимодействия электронов между собой и с ионными остовами.

КВАНТОВАЯ ТЕОРИЯ ТЕПЛОЕМКОСТИ ЭЛЕКТРОННОГО ГАЗА

Выше в качественной форме мы уже рассматривали теплоемкость электронного газа; изложим теперь количественную теорию. Из качественных рассуждений, приведенных после формулы (5.48), следует, что изменение ΔU внутренней энергии при нагревании системы

от 0° до температуры T пропорционально T^2/E_F . Следовательно, если ограничиться членами порядка T^2 , то можно не учитывать изменения E_F с температурой.

Увеличение внутренней энергии описывается соотношением

$$\Delta U = \int_0^\infty E g(E) [f(E, T) - f(E, 0)] dE, \quad (5.61)$$

где $g(E)$ — плотность состояний. Поскольку член в квадратных скобках имеет максимум при $E = E_F$, можно написать

$$\Delta U \approx g(E_F) \int_0^\infty \frac{2\varepsilon}{e^{\varepsilon/\tau} + 1} d\varepsilon; \quad (5.62)$$

здесь $\varepsilon = E - E_F$, и мы использовали также то обстоятельство, что

$$[f(E, T) - f(E, 0)] = \begin{cases} -(1 + e^{-\varepsilon/\tau})^{-1} & \text{при } \varepsilon < 0, \\ (1 + e^{\varepsilon/\tau})^{-1} & \text{при } \varepsilon > 0, \end{cases}$$

так что вклады в интеграл (5.61) симметричны относительно $\varepsilon = 0$. Таким образом,

$$\Delta U = (2k_B T)^2 g(E_F) \int_0^\infty \frac{x}{e^x + 1} dx.$$

Значение определенного интеграла, стоящего в правой части этого выражения, можно взять из любых математических таблиц (например, таблиц Двайта, № 862.3); оно равно $\pi^2/12$. Тогда

$$\Delta U = \frac{\pi^2}{6} (k_B T)^2 g(E_F). \quad (5.63)$$

Теперь найдем теплоемкость

$$C_v = \frac{d\Delta U}{dT} = \frac{\pi^2}{3} k_B^2 T g(E_F). \quad (5.64)$$

Для свободных электронов, согласно (5.46) и (5.48), для $g(E_F)$ имеем

$$g(E_F) = \frac{3}{2} \frac{NV}{E_F} = \frac{3}{2} \frac{NV}{k_B T_F}, \quad (5.65)$$

так что вклад электронов в теплоемкость составляет

$$C_v = \frac{\pi^2}{2} (NV) k_B \left(\frac{T}{T_F} \right), \quad (5.66)$$

где NV — число электронов проводимости в образце. Таким образом, классическое значение теплоемкости уменьшается пропорционально T/T_F . Часто теплоемкость записывают как $C_v = \gamma T$; значения γ приведены в табл. 5.4.

Таблица 5.4

Значения коэффициента γ в законе для молярной теплоемкости металлов: $C_v = \gamma T^*$)

Металл	$\gamma \cdot 10^4$, кал/моль·град ²	Валентность	m^*/m (эффективное)	Металл	$\gamma \cdot 10^4$, кал/моль·град ²	Валентность	m^*/m (эффективное)
Na	4,3	1	0,6	Bi	0,11		—
Cu	1,73—1,80	1	1,5	Ti	8		—
Ag	1,54—1,6	1	0,95—1,0	V	15—22		—
Au	1,8		—	Cr	3,8		—
Be	0,54	2	0,46	α -Mn	33		—
Mg	3,25	2	1,33	α -Fe	12	2,1	12
Zn	1,25—1,42	2	0,8—0,9	Co	12	1,6	14
Cd	1,7	2	1,75	Ni	17,4	0,6	28
Hg	4,5—5,3	2	1,8—2,2	Zr	3,9—6,9		—
Al	3,48	3	1,6	Nb	21		—
In	4,0—4,33	3	1,3—1,4	Mo	5,1		—
Tl	3,65	3	1,15	Pd	26—31	0,5	27
La	16	3	4,3	Ta	13—19		—
Sn (белое)	4,0	4	1,2	W	3,5		—
Pb	7,5	4	2,1	Pt	16,0—16,5	0,6	13

) Для сверхпроводящих металлов γ относится к нормальному состоянию. Смысл значений m^/m , приведенных в последнем столбце, обсуждается в гл. 6. Чтобы от значений, выраженных в единицах 10^{-4} кал/моль·град², перейти к значениям, выраженным в единицах 10^{-3} дж/моль·град², надо умножить первые на 0,418. Таблица составлена по данным статьи Даунта [14].

Можно ожидать, что у металлов, к которым применима модель свободных электронов, молярная электронная теплоемкость будет иметь величину порядка $10^{-4} T$ кал/моль·град. Экспериментальные величины часто превышают это значение. Это обстоятельство не только говорит о недостаточности модели независимых частиц, но и показывает, что плотность состояний $g(F_F)$ в действительности превышает значение, полученное для свободных электронов. Расхождение особенно заметно выражено у переходных металлов; этот вопрос мы рассмотрим в следующей главе на основе зонной теории.

КВАНТОВАЯ ТЕОРИЯ СПИНОВОГО ПАРАМАГНЕТИЗМА ¹⁾

В большинстве металлов электроны проводимости имеют небольшую, не зависящую от температуры объемную парамагнитную восприимчивость порядка 10^{-6} . Этот факт находится в резком противоречии с формулой Ланжевена, согласно которой при комнатной температуре восприимчивость имеет порядок величины 10^{-4} и должна зависеть от температуры по закону $1/T$. Паули [15] указал, что применение статистики Ферми—Дирака дает возможность надлежащим образом исправить теорию.

Формула Ланжевена (4.26) в применении к системе магнитных диполей утверждает следующее. Вероятность того, что моменты атомов расположатся параллельно полю H , превышает вероятность их антипараллельной ориентации, что и описывается множителем $\sim \mu H/kT$. Если система состоит из N атомов, то это дает суммарный магнитный момент $\sim NH\mu^2/kT$. Этот результат и дает классическая теория.

Однако для большинства электронов в металле вероятность переверачивания спина при наличии внешнего магнитного поля равна нулю, поскольку состояния с параллельными спинами уже заняты, во всяком случае, если их энергия на $2\mu H$ меньше энергии соответствующего антипараллельного состояния. Поскольку лишь те электроны, энергия которых соответствует верхней части кривой распределения Ферми и отличается от E_F на величину порядка kT , имеют шанс перевернуться в поле, то только часть $\sim T/T_F$ общего числа электронов могла бы дать вклад в восприимчивость. Следовательно, восприимчивость

$$\chi \approx \frac{N\mu^2}{kT} \frac{T}{T_F} = \frac{N\mu^2}{kT_F};$$

таким образом, магнитная восприимчивость χ оказывается не зависящей от температуры и имеет правильный порядок величины, так как T_F имеет величину порядка 10^4 — 10^5 К. В этих рассуждениях предполагается, что $\mu H \ll kT$. Это условие выполняется при комнатных температурах, поскольку наиболее сильные достижимые поля (10^6 э) соответствуют температуре $\sim 100^\circ$ К.

Выведем теперь выражение для парамагнитной восприимчивости свободного электронного газа. Следуя обозначениям, принятым в (5.48), и методу расчета, иллюстрируемому рисунком 5.5, получаем для полной намагниченности образца выражение

$$MV = \mu_B \int \left[\frac{1}{2} g(E + \mu_B H) - \frac{1}{2} g(E - \mu_B H) \right] f(E) dE,$$

¹⁾ Парамагнетизм рассматривается в гл. 8.

где E — полная энергия электрона (сумма кинетической энергии электрона и его энергии в магнитном поле). В случае слабых полей, разлагая это выражение в ряд и ограничиваясь первым членом, получим

$$MV \approx \mu_B^2 H \int g'(E) f(E) dE \approx \mu_B^2 H g[E_F(0)], \quad (5.67)$$

$$\chi = \frac{M}{H} = \frac{\mu_B^2 g[E_F(0)]}{V} = \frac{3N\mu_B^2}{2k_B T_F}. \quad (5.68)$$

Мы пришли к результату Паули. Это выражение имеет тот же вид, что и полученное нами выше из качественных соображений.

При выводе выражения для парамагнитной восприимчивости мы предполагали, что магнитное поле не оказывает влияния на перемещение электронов в пространстве. В действительности волновые функции (5.37), соответствующие бегущим волнам, изменяются в случае наличия магнитного поля, и Ландау показал, что это приводит к появлению диамагнитного момента; соответствующая восприимчивость для свободных электронов составляет $1/3$ от парамагнитной восприимчивости. Таким образом, полная восприимчивость свободного электронного газа

$$\chi_T = \frac{N\mu_B^2}{k_B T_F}. \quad (5.69)$$

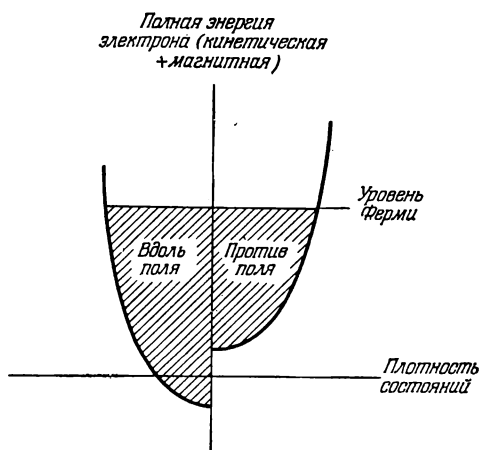


Рис. 5.5. Парамагнетизм Паули при 0°K .

Уровни в заштрихованных областях все заняты. При более высоких температурах слины электронов, находящихся вблизи уровня Ферми, будут переворачиваться.

При сравнении значений, полученных по этой формуле, с экспериментальными значениями для тела в целом следует учитывать необходимость внесения поправки на диамагнетизм ионных остовов.

ВЛИЯНИЕ РАСПРЕДЕЛЕНИЯ ФЕРМИ — ДИРАКА НА ЭЛЕКТРОПРОВОДНОСТЬ

Тот факт, что замена классической статистики Максвелла — Больцмана квантовой статистикой Ферми — Дирака обычно очень мало сказывается на результатах рассмотрения вопроса об электропроводности, вызывает некоторое удивление. Часто в таком рассмотрении дело сводится лишь к изменению способа усреднения, используемого при

определении понятия времени релаксации. Как представляется на первый взгляд, такая замена должна привести к значительно более радикальным изменениям, поскольку естественно думать, что в случае распределения Ферми — Дирака в процессах столкновения будут принимать участие лишь те электроны, которые находятся вблизи поверхности

Ферми. При каждом столкновении энергия таких электронов должна либо сохраняться, либо изменяться на величину не более $k_B T$ (энергия, приходящаяся на одно собственное колебание при тепловом равновесии).

Ранее в настоящей главе, на основе классической статистики, была получена для проводимости формула (5.13):

$$\sigma = \frac{Ne^2\tau}{m},$$

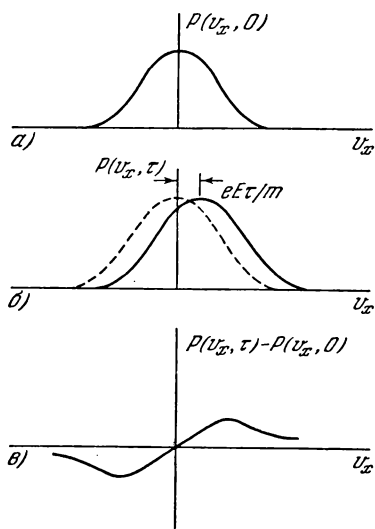


Рис. 5.6. Максвелловское распределение скоростей (одномерный случай).

Величина $P(v_x) dv_x$ есть часть полного числа частиц, имеющих скорости в интервале dv_x вблизи скорости v_x ; а) равновесное распределение скоростей; б) изменение равновесного распределения под действием электрического поля, приложенного в течение интервала времени τ ; в) результирующее распределение, полученное как разность распределений а и б.

где N — концентрация электронов, τ — время релаксации. Полезно дать качественный классический вывод этой формулы с новой точки зрения, пользуясь графиками, приведенными на рис. 5.6, где взят для простоты случай одномерного газа. На рис. 5.6, а показано классическое распределение частиц по скоростям в состоянии теплового равновесия. На рис. 5.6, б кривая распределения сдвинута вправо на расстояние $eE\tau/m$, что вызвано наложением внешнего электрического поля E в течение промежутка времени, равного τ . Если τ — время релаксации, то сдвинутая кривая будет описывать стационарное рас-

пределение при наличии электрического поля. Разность кривых равновесного (а) и стационарного (б) распределений показаны на третьем графике (рис. 5.6, в).

По формуле Тейлора, ограничиваясь членом первого порядка по E , получим, что разность $P(v_x, \tau) - P(v_x, 0)$ равна

$$- \frac{eE\tau}{m} \left(\frac{dP}{dv_x} \right)_{t=0}.$$

Пусть функция распределения P нормирована на единицу:

$$\int P dv_x = 1.$$

Скорость v_x , усредненная по стационарному распределению

$$P(v_x, \tau) \approx P(v_x, 0) - \frac{eE\tau}{m} \left(\frac{dP}{dv_x} \right)_{t=0}, \quad (5.70)$$

дается выражением

$$\bar{v}_x = -\frac{eE\tau}{m} \int v_x \left(\frac{dP}{dv_x} \right)_0 dv_x. \quad (5.71)$$

Член $P(v_x, 0)$ есть симметричная функция v_x и не оказывает влияния на \bar{v}_x . Это означает, что средняя (дрейфовая) скорость при тепловом равновесии равна нулю. Интегрируя по частям, получим

$$\int v_x \left(\frac{dP}{dv_x} \right)_0 dv_x = - \int P_0 dv_x = -1,$$

поскольку

$$[v_x P_0]_{-\infty}^{\infty} = 0.$$

Здесь через P_0 обозначена функция $P(v_x, 0)$. Итак, из (5.71) получаем

$$v_D = \bar{v}_x = \frac{eE\tau}{m}, \quad (5.72)$$

и, следовательно,

$$j = Ne v_D = \frac{Ne^2 E \tau}{m}, \quad (5.73)$$

или

$$\sigma = \frac{Ne^2 \tau}{m}, \quad (5.74)$$

в полном согласии с полученными ранее результатами.

Аналогичным путем рассмотрим случай статистики Ферми — Дирака. Соответствующие графики приведены на рис. 5.7. Принцип Паули не оказывает никакого влияния на изменение кривой распределения при наложении внешнего электрического поля, поскольку каждый электрон, в каком бы состоянии он ни находился, изменяет при этом скорость на величину $eE\tau/m$. Всегда имеется вакантное состояние, в которое может перейти электрон при изменении своего первичного состояния под действием электрического поля. Вакантное состояние создается в результате одновременного изменения состояния другого электрона. Релаксационные эффекты не играют большой роли, поскольку значительное число возможных процессов столкно-

вения запрещены принципом Паули в силу того, что конечные состояния уже заняты. Релаксация проявляется лишь в том, что избыточные электроны, описываемые участком *A* кривой на рис. 5.7, *в*,

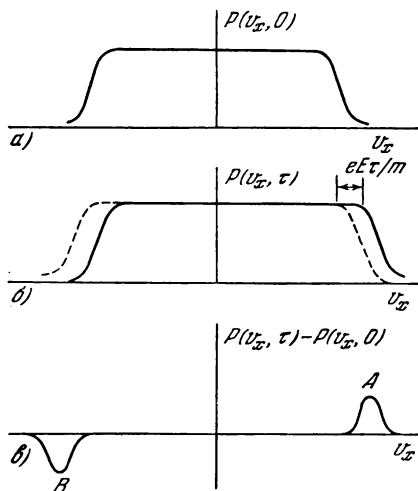


Рис. 5.7. Распределение скоростей в случае статистики Ферми — Дирака (одномерный случай).

а — Равновесное распределение скоростей; *б* — сдвиг распределения под действием внешнего электрического поля, приложенного в течение интервала времени τ ; *в* — результирующее распределение, полученное как разность распределений *а* и *б*.

значения в случае классического распределения Ферми — Дирака.

могли бы путем столкновений изменить свои состояния и скомпенсировать дефицит, описываемый участком *B*, где имеются вакантные состояния. Таким образом могут осуществляться столкновения, обуславливающие процессы релаксации. Иначе говоря, принцип Паули, не допуская многих столкновений, тем не менее позволяет осуществиться тем, которые необходимы для изменения равновесного состояния системы под действием электрического поля. Теперь можно провести расчет, в точности совпадающий с тем, который выше привел нас к формуле (5.74); при этом опять получим, что

$$\sigma = \frac{Ne^2\tau}{m}.$$

Необходимо, однако, отметить, что фигурирующее здесь время релаксации τ имеет различные распределения и в случае распре-

ПЛАЗМЕННАЯ ЧАСТОТА

В новейших работах по теории электронного газа, в частности в работах Боме и Пайнса (см. обзор Пайнса [16]), где приблизительно рассматривается электростатическое взаимодействие электронов, используется понятие плазменной частоты и длины экранирования (или дебаевской длины). Плазменная частота была впервые введена в связи с проблемами, возникающими при описании газового разряда, при рассмотрении плоского слоя газа с одинаковой концентрацией положительных и отрицательных зарядов.

Пусть концентрация зарядов каждого типа равна Ne . Если положительно заряженные частицы смещаются перпендикулярно к слою газа на расстояние x , то возникает поверхностный заряд, плотность которого равна $\pm Nex$; это эквивалентно однородной объемной по-

ляризации $P = Nex$ (в электростатической системе единиц). Деполяризующее поле (в той же системе единиц) равно

$$E = -4\pi P = -4\pi Nex, \quad (5.75)$$

а уравнение движения частицы массы m в отсутствие затухания имеет вид

$$m\ddot{x} = -4\pi Ne^2x, \quad (5.76)$$

или, при $x \sim e^{i\omega_p t}$,

$$\omega_p^2 = \frac{4\pi Ne^2}{m}. \quad (5.77)$$

Это выражение определяет плазменную частоту ω_p . При $N = 10^{23} \text{ см}^{-3}$, что соответствует концентрации электронов проводимости в обычных металлах, принимая $m \approx 10^{-27} \text{ г}$, получим $\omega_p = 4 \cdot 10^{16} \text{ гц}$, т. е. плазменная частота лежит в ультрафиолетовой области спектра¹⁾.

Волны поляризации в плазме, описываемые выражением вида $x \sim e^{i(\omega_p t - kx)}$, называются плазменными волнами, а соответствующие элементарные возбуждения (квазичастицы) с энергией $\hbar\omega_p$ называют *плазмонами*.

Если среднеквадратичная скорость электронов в плазме равна \bar{v} , то можно ввести характеристическую длину

$$\Lambda_D = \frac{\bar{v}}{\omega_p}; \quad (5.78)$$

ее часто называют дебаевской длиной. Для электронов проводимости в металле фермиевские скорости имеют величину порядка 10^8 см/сек , так что $\Lambda_D \approx 1/4 \cdot 10^{-8} \text{ см}$.

Дебаевская длина связана с электростатическим экранированием, обусловленным флуктуациями плотности заряда в плазме. В этом можно убедиться, рассматривая работу образования тепловой флуктуации. Пусть, например, в результате флуктуации все заряды противоположных знаков оказались на расстоянии x друг от друга. Произведенная работа составляет

$$\int 4\pi Ne^2 x dx = 2\pi ne^2 x^2;$$

она должна быть равна $k_B T$ — тепловой энергии плазменных колебаний. Таким образом,

$$2\pi Ne^2 x^2 = k_B T = \frac{1}{2} m \bar{v}^2, \quad (5.79)$$

¹⁾ Относительно наблюдения плазменного резонанса в полупроводниках см. статью Дресселхауза, Кипа и Киттеля [17].

откуда

$$x = \frac{\bar{v}}{\left(\frac{4\pi N e^2}{m}\right)^{1/2}} = \frac{\bar{v}}{\omega_p} = \Lambda_D. \quad (5.80)$$

Этот результат показывает, что флуктуации плотности заряда, превышающие по своим линейным размерам величину Λ_D , имеют тенденцию выравниваться в результате электростатического взаимодействия. Для ферми-газа средняя скорость \bar{v} имеет величину порядка фермиевской скорости v_F .

ПРОЗРАЧНОСТЬ ЩЕЛОЧНЫХ МЕТАЛЛОВ В УЛЬТРАФИОЛЕТОВОЙ ОБЛАСТИ СПЕКТРА

Мы здесь кратко остановимся на одной интересной особенности оптических свойств щелочных металлов, а именно их прозрачности в ультрафиолетовой области спектра. Этот эффект был открыт Вудом [18]¹⁾ и объяснен Зинером [22]. Отражение инфракрасного излучения затронуто в задаче 5.8 (в конце главы).

Для хороших проводников время релаксации τ велико по сравнению с периодом $1/\omega$ колебаний световых волн в видимой области спектра; поэтому с хорошим приближением можно пренебречь в уравнении движения членом, зависящим от скорости, и написать просто

$$m\ddot{x} = eE \quad (5.81)$$

(предполагается, что электрический вектор параллелен поверхности). В случае периодического внешнего поля уравнение (5.81) дает

$$x = -\frac{eE}{m\omega^2}. \quad (5.82)$$

Поскольку электрическая поляризация $P = Nex$, комплексный показатель преломления n определяется соотношением

$$\epsilon = n^2 = 1 + 4\pi \frac{P}{E} = 1 - \frac{4\pi N e^2}{m\omega^2} = 1 - \frac{\omega_p^2}{\omega^2}. \quad (5.83)$$

Если отношение ω_p^2/ω^2 меньше единицы (короткие волны), то показатель преломления — вещественная величина, и металл прозрачен для света при нормальном падении; если же отношение ω_p^2/ω^2 больше единицы, то показатель преломления — мнимая величина, и можно показать, что в этом случае имеет место полное отражение.

¹⁾ См. также работы [19] и [20]. Обзор оптических свойств металлов имеется в работе Гивенса [21].

Критическое значение длины волны получаем, полагая $\epsilon = 0$:

$$\lambda_0 = 2\pi \left(\frac{mc^2}{4\pi Ne^2} \right)^{1/2}. \quad (5.84)$$

Полученные по этой формуле значения вполне хорошо согласуются с экспериментальными данными (см. табл. 5.5), хотя измерения не очень точны в силу размытости граничной области. При вычислении теоретических значений, приведенных в табл. 5.5, использованы эффективные массы m^* . Понятие эффективной массы обсуждается в следующей главе.

Таблица 5.5

Прозрачность щелочных металлов в ультрафиолетовой области
(критические длины волн λ_0 в ангстремах)

Критическая длина волны	Li	Na	K	Rb	Cs
Вычисленное значение для случая свободных электронов массы m	1550	2090	2870	3220	3620
Вычисленное значение для электронов с эффективной массой m^*	1840	2070	2750	3000	3300
Экспериментальное значение	1550	2100	3150	3400	—
Значение отношения m^*/m (m^* — эффективная масса) по Бруксу (см. гл. 6)	1,40	0,98	0,94	0,87	0,83

ТЕРМОЭЛЕКТРОННАЯ ЭМИССИЯ

Теперь, пользуясь моделью свободных электронов, мы выведем формулу Ричардсона — Дэшмана, которая дает выражение для плотности тока эмиссии с поверхности металла. Предположим, что E_0 —

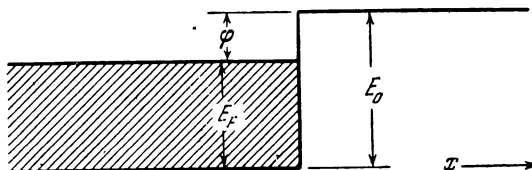


Рис. 5.8. К расчету термоэлектронной эмиссии.

работа, необходимая для того, чтобы один из свободных электронов в металле, находящийся в наинизшем энергетическом состоянии, удалить в бесконечность (рис. 5.8). Если этот электрон находился

на уровне Ферми, то соответствующая работа

$$\varphi = E_0 - E_F. \quad (5.85)$$

Это соотношение и определяет так называемую работу выхода φ .

Электроны с импульсами в интервале от \mathbf{p} до $\mathbf{p} + d\mathbf{p}$, пересекающие единичную площадку на поверхности металла, имеют скорость, определяемую соотношением

$$v_x n(\mathbf{p}) d\mathbf{p} = \frac{\partial E}{\partial p_x} n(\mathbf{p}) d\mathbf{p} = n(\mathbf{p}) dE dp_y dp_z, \quad (5.86)$$

где E — кинетическая энергия, $n(\mathbf{p})$ — число электронов в единице объема фазового пространства:

$$n(\mathbf{p}) = \frac{2}{h^3} f; \quad (5.87)$$

здесь f — функция распределения Ферми — Дирака. Плотность тока эмиссии определяется произведением скорости электронов, пересекающих единичную площадку на поверхности металла, на их заряд, причем ток получается за счет лишь тех электронов, которые имеют скорость, удовлетворяющую условию

$$\frac{p_x^2}{2m} > \varphi + E_F.$$

Квантовыми эффектами, связанными с отражением электронов от поверхности металла, мы пренебрегаем. Итак,

$$\begin{aligned} j &= \frac{2e}{h^3} \int_{-\infty}^{\infty} \int_{-\infty}^{\infty} \int_{\varphi+E_F}^{\infty} \frac{dp_y dp_z dE}{e^{(E-E_F)/kT} + 1} = \\ &= \frac{2kTe}{h^3} \int_{-\infty}^{\infty} \int_{-\infty}^{\infty} \ln(1 + e^{-\theta}) dp_y dp_z, \end{aligned} \quad (5.88)$$

где

$$\theta = \frac{1}{kT} \left[\varphi + \left(\frac{p_y^2 + p_z^2}{2m} \right) \right].$$

При обычных условиях $\theta \gg 1$, и поэтому логарифмы в подынтегральном выражении можно разложить в ряд, сохранив лишь первый член:

$$\begin{aligned} j &= \frac{2kTe}{h^3} e^{-\varphi/kT} \int \int e^{-(p_y^2 + p_z^2)/2mkT} dp_y dp_z = \\ &= 4\pi me (kT)^2 h^{-3} e^{-\varphi/kT}. \end{aligned} \quad (5.89)$$

Это и есть формула Ричардсона — Дэшмана. Запишем результат в форме

$$j = AT^2 e^{-\varphi/kT}, \quad (5.90)$$

где

$$A = 4\pi me k^2 h^{-3} = 120 \text{ а/см}^2 \cdot \text{град}^2. \quad (5.91)$$

График зависимости $\lg j/T^2$ от $1/T$, облегчающий определение величины φ , называется графиком Ричардсона. Экспериментальные значения A и φ приведены в табл. 5.6. Значения A и φ чувствительны к состоянию поверхности, особенно в случае тонких пленок и неоднородных поверхностей¹⁾.

Таблица 5.6

Характерные значения параметров термоэлектронной эмиссии для некоторых металлов

Металл	$A, \text{а} \cdot \text{см}^{-2} \cdot \text{град}^{-2}$	$\varphi, \text{эв}$	Металл	$A, \text{а} \cdot \text{см}^{-2} \cdot \text{град}^{-2}$	$\varphi, \text{эв}$
W	~ 75	4,5	Pt	32	5,3
Ta	55	4,2	Ba на W	1,5	1,56
Ni	30	4,6	Cs на W	3,2	1,36
Ag	—	4,8	Cr	48	4,60
Cs	160	1,8	Cu	—	4,45

Положительные ионы, адсорбированные на поверхности нити, будут притягивать электроны проводимости, в результате чего на поверхности образуется двойной электрический слой (дипольный слой). Электрическое поле внутри этого двойного слоя направлено так, что уменьшает работу выхода металла. Так, для вольфрама работа выхода равна 4,5 эв, тогда как для вольфрама с адсорбированным барием она составляет только 1,36 эв.

Таблица 5.7

Работа выхода для некоторых металлов, определенная по фотоэлектрическим данным

Металл	Na	K	Cr	Zn	W	Pt
Работа выхода, эв	2,3	2,26	4,37	4,24	4,49	6,2

¹⁾ Подробное обсуждение этих вопросов имеется в обзоре Херринга и Никольса [23].

Значения работы выхода, найденные из фотоэлектрических данных, приведены в табл. 5.7. Эти данные получены из определения минимальной энергии фотона, необходимой для образования фотоэлектрона.

ЗАДАЧИ

5.1. а) Используя граничное условие $\psi = 0$ на поверхности куба со стороной L , найти все волновые функции, описывающие первые четыре разных энергетических уровня.

б) Выписать выражения для соответствующих энергий.

в) Определить степень вырождения каждого уровня, т. е. число независимых волновых функций, описывающих состояния с одинаковой энергией.

5.2. Решить полностью задачу 5.1 для периодических граничных условий.

5.3. Волновые функции, зависящие от времени, мы можем получить, умножая решения волнового уравнения для стационарных условий с энергиями E на экспоненциальный множитель

$$e^{-iEt/\hbar}.$$

Множитель E/\hbar в показателе имеет размерность частоты.

а) Показать, что решение

$$\psi(x, t) \sim e^{-i[(E/\hbar)t - kx]}$$

описывает волну, распространяющуюся в положительном направлении оси x с фазовой скоростью $E/\hbar k$.

б) Какова групповая скорость? Пользуясь соотношением де Бройля, определить импульс, связанный с этой волной. Заметим, что $v_g = \partial\omega/\partial k$, где $\omega = E/\hbar$.

5.4. Имея в виду соответствующую валентность, показать, что значение $E_F(0)$ для натрия равно 3,1 эв, для калия 2,1 эв, для алюминия 11,7 эв.

5.5. Пользуясь качественными соображениями, показать, что по модели свободных электронов выражение для электронной парамагнитной восприимчивости в области низких температур при условиях

$$kT \ll \mu H \ll kT_F$$

имеет вид

$$\chi \approx \frac{N\mu^2}{kT_F},$$

т. е. описывается такой же формулой, как и при обычных условиях,

$$\mu H \ll kT \ll kT_F.$$

5.6. Бесконечная плоская поверхность металла, нормаль к которой совпадает с осью z , имеет температуру T ; работа выхода для этой

поверхности равна φ . Электроны внутри металла подчиняются статистике Ферми — Дирака; энергия Ферми равна E_F .

а) Написать (в виде интеграла) выражение для числа электронов в единице объема внутри металла, имеющих x -компоненту скорости в интервале от v_x до $v_x + dv_x$.

б) Написать (в виде интеграла) выражение для потока электронов, вышедших из металла и имеющих x -компоненту скорости в интервале от v_x до $v_x + dv_x$, после того как они покинули металл.

в) Решить аналогичную задачу для вышедших из металла электронов, имеющих z -компоненту скорости в интервале от v_z до $v_z + dv_z$.

г) Пренебрегая единицей в знаменателе выражения для функции распределения по сравнению с экспоненциальной функцией, рассчитать среднюю квадратичную скорость в направлении оси x и в направлении оси z для электронов, после того как они покинули металл.

5.7. Вывести уравнение, связывающее давление и объем электронного газа Ферми при 0°K .

5.8. Показать, что комплексный показатель преломления металла в случае длинных волн выражается формулой (в гауссовой системе)

$$(n + ik)^2 = \frac{1 + 4\pi i \sigma_0}{\omega},$$

где σ_0 — проводимость в статическом поле.

Определим комплексную диэлектрическую проницаемость, записывая соответствующее уравнение Максвелла внутри проводника в виде (в гауссовой системе)

$$\text{rot } \mathbf{H} = \frac{\epsilon}{c} \frac{\partial \mathbf{E}}{\partial t}.$$

Пользуясь выражением

$$R = \frac{(n-1)^2 + k^2}{(n+1)^2 + k^2}$$

для коэффициента отражения при нормальном падении, показать, что

$$R \approx 1 - \left(\frac{2\omega}{\pi\sigma_0} \right)^{1/2}.$$

Это — формула Хагена — Рубенса. Показать, что условием правильности вывода этой формулы является выполнение неравенства $\omega \ll 1/\tau$, где τ — время релаксации электронов. Оценить τ для натрия при комнатной температуре, пользуясь экспериментальными значениями для его проводимости.

ГЛАВА 6

ЗОННАЯ ТЕОРИЯ ТВЕРДЫХ ТЕЛ. ЗОНЫ БРИЛЛЮЭНА

Эту главу по содержанию нельзя отнести к самым простым в книге, но, бесспорно, она самая важная. Здесь вводятся все те важные новые понятия, которые используются в квантовой теории твердых тел, а именно понятия энергетических зон, зон Бриллюэна, эффективной массы и дырок.

Модель свободных электронов в металле, изложенная в предыдущей главе, хорошо объясняет ряд физических свойств металлов, однако наряду с этим имеются и такие свойства, для интерпретации которых модель свободных электронов оказывается совершенно бесполезной. Эта модель не может объяснить, почему одни химические элементы в кристаллическом состоянии являются хорошими проводниками электричества, а другие оказываются изоляторами; к группе не укладывающихся в эту теорию веществ относятся и полупроводники, электрические свойства которых резко изменяются с температурой. Различие между сопротивлением проводников (не говоря уже о сверхпроводниках) и изоляторов исключительно велико: сопротивление чистых металлов при низких температурах может быть порядка 10^{-8} ом·см, а у хороших изоляторов достигать 10^{22} ом·см, если принять меры предосторожности, обеспечивающие достаточно сухую и чистую поверхность измеряемого образца. Как заметил Макмиллан, такой наблюдаемый интервал значений сопротивления (10^{30}) является, по-видимому, самым широким интервалом численных значений физической величины.

На первый взгляд представляется естественным попытаться объяснить различие между проводниками и изоляторами различием в характере химических связей, а именно, металлической связи, с одной стороны, и ковалентной, или ионной связи, с другой. Электропроводность определяется двумя факторами: концентрацией способных к перемещению электронов и их электрической подвижностью $\mu = v_{\text{дрейф}}/E$. Однако многие вещества из тех, которые считаются изоляторами, характеризуются высокими значениями подвижности. У некоторых из них, в том числе у германия и кремния, подвижность гораздо выше, чем у хороших металлических проводников. Ряд изоляторов, в частности, ионные кристаллы и окиси переходных элементов, характери-

зуются низкими подвижностями. Можно считать, что часто это объясняется электростатическим взаимодействием носителей заряда с окружающей средой, которое приводит к сильной ее поляризации; таким образом, носитель заряда как бы сам выкапывает себе дырку в кристалле.

В соединениях с металлической связью электроны проводимости обычно обладают высокой подвижностью, поскольку при высокой их концентрации имеет место электростатическое экранирование (о чем мы уже говорили в гл. 5), которое препятствует поляризации ионных остовов под действием свободных электронов.

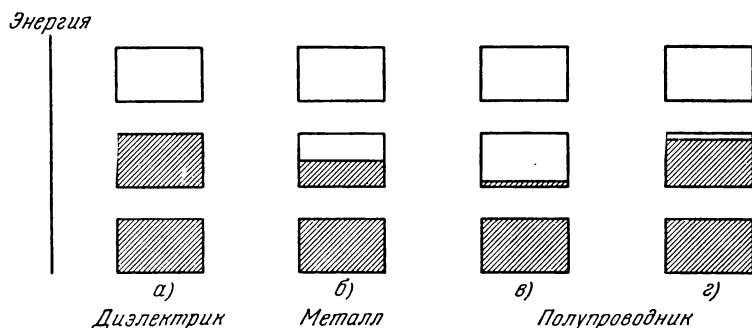


Рис. 6.1. Схематическое изображение заполненности электронами разрешенных энергетических зон для изолятора, металла и двух полупроводников.

Высота прямоугольников характеризует размеры областей разрешенных значений энергии; заштрихованные площади соответствуют областям, заполненным электронами.

Этот эффект является второй причиной большой проводимости веществ с высокой концентрацией электронов проводимости. Электроны имеются в любом теле; вопрос состоит в том, при каких обстоятельствах часть электронов ведет себя так, как будто они более или менее свободны. Ниже мы разберемся в этом вопросе, а вкратце дело состоит в том, что электроны в кристалле располагаются в энергетических зонах (рис. 6.1), причем иногда существуют такие области значений энергии, где нет ни одного электронного энергетического уровня. Эти недоступные для электронов области называются *энергетическими щелями*, или *запрещенными зонами*. Если число электронов в кристалле таково, что все разрешенные энергетические зоны заполнены целиком, то свободных электронов не будет, и кристалл будет представлять собой изолятор. Если одна или более зон заполнены частично (степень заполнения, скажем, от 10 до 90%), то кристалл будет обладать металлическими свойствами. Если целиком заполнены все зоны, кроме одной-двух почти пустых или почти целиком заполненных зон, то мы говорим, что кристалл представляет собой полупроводник, или в общем случае полуметалл.

Если энергетическая ширина занятой части почти пустой зоны полупроводника (средняя зона на рис. 6.1, в) или ширина незанятой

части почти целиком заполненной зоны на рис. 6.1, 2 значительно больше kT , то электронный газ будет обладать свойствами ферми-газа, рассмотренного в гл. 5, в приближении $kT \ll E_F$. Такой ферми-газ называют вырожденным. Если же этот энергетический интервал по порядку величины сравним с kT , то газ будет обладать классическими свойствами, и мы называем его невырожденным. Возникает вопрос: можно ли, посмотрев на вещество, определить, обладает ли оно металлической проводимостью? Это можно сделать не всегда. Правда, все металлы характеризуются высокой отражательной способностью в видимой области спектра, т. е. обладают качеством, которое мы называем металлическим блеском. Однако любой диэлектрик, у которого энергетическая щель между заполненной и пустой зонами меньше 1,5—2 эв, также обладает более или менее металлическим блеском. Это явление легко объяснить: при такой ширине щели и при наличии в кристалле свободных разрешенных электронных энергетических уровней на них в результате поглощения квантов видимого света могут перейти электроны из заполненной зоны.

Так, например, чистый кремний, у которого ширина щели составляет 1,10 эв, обладает хорошим отражением во всей видимой области и на вид представляет собой серебристый металл, тогда как ниже комнатной температуры он — неплохой изолятор.

Мы можем надеяться достигнуть некоторого прогресса в понимании природы различия между проводниками и изоляторами, только если дополним теорию свободных электронов учетом взаимодействия электронов с периодической решеткой твердого тела. При этом окажется, что электрон в кристалле приобретает ряд удивительных свойств: например, во внешнем электрическом или магнитном поле электрон ведет себя так, как если бы его масса изменилась, и эта новая, так называемая эффективная масса m^* может быть как больше, так и меньше массы свободного электрона, и даже принимать отрицательные значения. Оказывается, далее, что в некоторых случаях удобно носителями тока в кристалле считать особые положительные заряды $+|e|$, называемые дырками. Дырки являются прямой противоположностью электронам, которые ведут себя как обычные электрические заряды величиной $-|e|$.

Согласно модели свободных электронов, разрешенные значения энергии распределены квазинепрерывно от нуля до бесконечности. В предыдущей главе было установлено, что

$$E = \frac{\hbar^2}{2m} (k_x^2 + k_y^2 + k_z^2),$$

где в случае куба со стороной L

$$k_x, k_y, k_z = \frac{2\pi}{L} (0, \pm 1, \pm 2, \pm 3, \dots).$$

Волновые функции свободных электронов имеют вид

$$\psi \approx e^{ikr}$$

и описывают бегущие волны, несущие, согласно соотношению де Бройля, импульс $p = \hbar k$.

Выше, при изложении вопроса о распространении рентгеновских лучей в кристалле, мы выяснили, что брэгговское отражение является важной и весьма характерной особенностью распространения волн в периодических структурах, в том числе и в электрических цепях, составленных из идентичных контуров. Брэгговское отражение имеет место и для электронных волн в кристалле. Опыты Дэвиссона и Джермера, подтвердившие волновую природу электронов, сводились, в сущности, к наблюдению брэгговского отражения электронного пучка от поверхности кристалла. Наиболее важный вывод, который мы можем сделать на основе изложенных соображений и результатов изучения брэгговского отражения, состоит в том, что в энергетическом распределении состояний электронов проводимости существуют своего рода щели, или зазоры. Иначе говоря, могут возникать определенные интервалы значений энергии, для которых решений волнового уравнения не существует. Такие энергетические щели, или запрещенные зоны (как их часто называют), имеют решающее значение для выяснения вопроса о том, почему одно твердое тело относится к категории проводников, а другое — изоляторов.

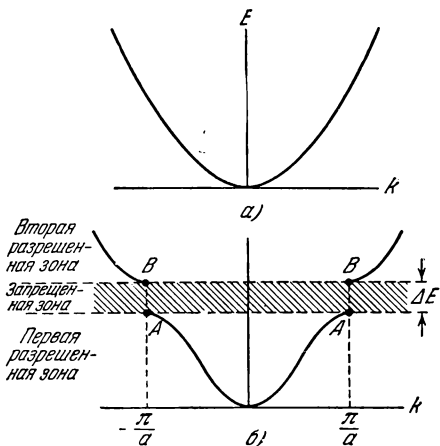


Рис. 6.2. *а* — график зависимости энергии от волнового числа для свободного электрона; *б* — график зависимости энергии от волнового вектора для цепочки из одинаковых атомов (линейная решетка) с расстоянием между атомами (постоянной решетки), равным a . Показана энергетическая щель, обусловленная первым брэгговским отражением при $k = \pm \pi/a$.

валы значений энергии, для которых решений волнового уравнения не существует. Такие энергетические щели, или запрещенные зоны (как их часто называют), имеют решающее значение для выяснения вопроса о том, почему одно твердое тело относится к категории проводников, а другое — изоляторов.

Зоны Бриллюэна в одномерном случае. Попытаемся выяснить физический смысл существования запрещенной зоны; для этого рассмотрим сначала простую задачу об одномерной решетке (линейной цепочке), состоящей из одинаковых атомов. Нижний участок энергетического распределения такой системы графически изображен на рис. 6.2, где показаны кривые зависимости энергии от волнового числа: *а*) для полностью свободных электронов и *б*) для почти сво-

бодных электронов, энергетическое распределение которых характеризуется разрывом при $k = \pm \pi/a$, что и создает область запрещенной энергии. В одномерном случае формула Брэгга $2d \sin \theta = n\lambda$ принимает вид

$$k = \frac{n\pi}{a}. \quad (6.1)$$

Первые отражения имеют место при $k = \pm \pi/a$, и первая энергетическая щель оказывается соответствующей именно этим значениям k . Последующие энергетические щели соответствуют следующим положительным и отрицательным значениям k . Отражение при $k = \pm \pi/a$ возникает вследствие того, что волна, отраженная от атомов с номерами $(p \pm 1)$, усиливается в результате интерференции с первичной волной, отраженной от атома с номером p , причем разность фаз при данном значении k будет составлять как раз $\pm 2\pi$. Область k -пространства между значениями k , равными $-\pi/a$ и $+\pi/a$, в этом примере носит название *первой зоны Бриллюэна*. Внутри зоны Бриллюэна энергия квазинепрерывна; на границах зоны энергия может иметь разрывы. Мы не случайно говорим о квазинепрерывности, а не о непрерывности энергии в зоне, поскольку имеем в виду обязательное наличие в задаче граничных условий.

При $k = \pm \pi/a$ волновые функции стационарного состояния не описывают бегущих волн, как в случае модели свободных электронов; решения волнового уравнения при указанных значениях k будут представлять собой две одинаковые волны, распространяющиеся в противоположные стороны, т. е. давать стоячую волну. Действительно, эти решения при выполнении условия Брэгга, очевидно, не могут описывать бегущих волн, поскольку любая волна, бегущая в данном направлении, после брэгговского отражения становится бегущей в противоположном направлении; следующее брэгговское отражение вновь обращает направления распространения. Единственным стационарным состоянием, согласующимся с описанной картиной, является состояние, представляющее собой стоячие волны. В наименьшем приближении при $k = \pm \pi/a$ мы имеем два независимых решения, описывающих стоячие волны:

$$\begin{aligned} \psi_1 &\approx \sin(\pi x/a) \approx (e^{i\pi x/a} - e^{-i\pi x/a}), \\ \psi_2 &\approx \cos(\pi x/a) \approx (e^{i\pi x/a} + e^{-i\pi x/a}). \end{aligned} \quad (6.2)$$

При $k = +\pi/a$ (и при $k = -\pi/a$) оба эти решения совпадают. Каждое из решений, как легко усмотреть из вида правых частей (6.2), состоит из двух одинаковых волн $e^{i\pi x/a}$ и $e^{-i\pi x/a}$, распространяющихся в противоположных направлениях.

Теперь надо показать, что решения ψ_1 и ψ_2 соответствуют разным значениям энергии даже при одном и том же значении волнового

вектора. Напомним, что в квантовой механике величина $|\psi|^2$ характеризует плотность вероятности нахождения частицы в данной точке.

На рис. 6.3, *а* приведен график, иллюстрирующий общий характер изменений электростатической потенциальной энергии электронов проводимости в поле одинаковых положительных ионов, расположенных

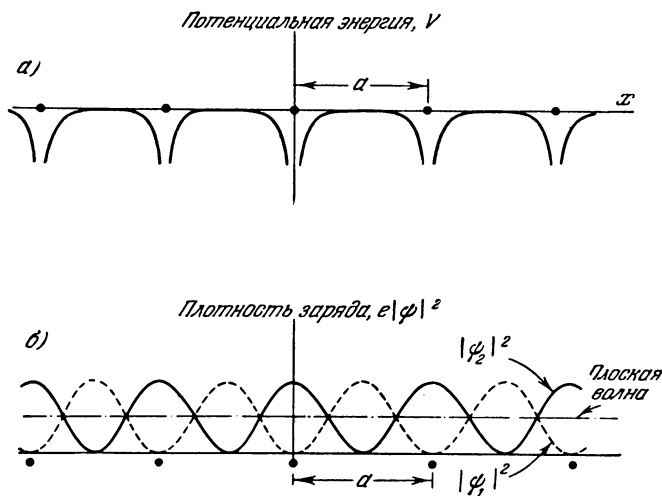


Рис. 6.3. *а* — изменение потенциальной энергии электрона проводимости в поле положительных ионных остовов в цепочке одинаковых атомов (одномерная решетка); *б* — распределение плотности вероятности (плотности заряда) в той же цепочке в случае волновой функции $|\psi_1|^2 \approx \sin^2(\pi x/a)$, в случае волновой функции $|\psi_2|^2 \approx \cos^2(\pi x/a)$ и в случае плоской бегущей волны.

в линейной цепочке. Мы считаем, что ион несет положительный заряд, поскольку каждый из них при образовании металла теряет один или более валентных электрона. На рис. 6.3, *б* схематически изображено распределение плотности заряда, отвечающее волновым функциям ψ_1 и ψ_2 , описывающим стоячие волны, и волновой функции, описывающей плоскую бегущую волну. Заметим, что решение в виде бегущей волны $\sim e^{ikx}$ соответствует однородному вдоль цепочки распределению электронного заряда (что и показано на рис. 6.3, *б* штрихпунктирной линией). Стоячая волна $\psi_1 \sim \sin \pi x/a$ дает распределение заряда с максимумами в середине между ионами, а стоячая волна $\psi_2 \sim \cos \pi x/a$ дает распределение заряда с максимумами на ионах, где потенциальная энергия имеет минимум. Если мы решим вычислить среднее значение потенциальной энергии для

каждого случая распределения заряда, то можно ожидать, что потенциальная энергия для ψ_2 будет меньше, чем для плоской волны, а потенциальная энергия для ψ_1 — больше. Если потенциальные энергии для ψ_2 и ψ_1 отличаются на величину ΔE , то, обращаясь к рис. 6,2, б, мы увидим, что она равна как раз указанной там ширине запрещенной зоны. Точкам A соответствует волновая функция ψ_2 , а точкам B , лежащим над запрещенной зоной — волновая функция ψ_1 .

Подытожим в краткой качественной форме вопрос об образовании запрещенной зоны. При значениях волнового числа k , гораздо больших тех, которые соответствуют границам зоны Бриллюэна ($k = \pm \pi/a$), можно считать, что волновые функции описывают плоские волны e^{ikx} . Однако по мере приближения к границам зоны, где имеет место брэгговское отражение, решения волнового уравнения трансформируются; в «чистой» плоской волне все сильнее проявляется «примесь» и волна принимает форму

$$e^{-i[k - (2\pi/a)]x}.$$

Наконец, на границе зоны, при $k = \pm \pi/a$ решение принимает вид

$$e^{i\pi x/a} \pm e^{-i\pi x/a}.$$

Это видоизменение решения, приводящее к стоячим волнам, описано подробно в приложении A (в конце книги). Сейчас важно лишь подчеркнуть, что комбинации решений для $k = \pm \pi/a$ дают стоячие волны разных энергий и что это различие обусловлено не кинематическими членами, а потенциальной энергией взаимодействия электронов с ионами. Распределение электронного заряда в поле цепочки положительных ионов в состояниях, описываемых волновыми функциями ψ_1 и ψ_2 , оказывается существенно различным. Различие в потенциальной энергии ведет к разрыву энергетического спектра при $k = \pm \pi/a$.

Ход образования разрешенной и запрещенной энергетических зон полезно проследить также и с иной точки зрения. Будем исходить из состояния, в котором имеется совокупность удаленных друг от друга нейтральных атомов, каждый из которых, естественно, обладает собственной системой энергетических уровней, и проследим, что будет происходить с энергетическими уровнями по мере сближения атомов и перекрытия их электронных оболочек в процессе образования из этой совокупности атомов металлического кристалла. Причины расширения уровней свободного атома в зоны при сближении атомов можно выяснить из рассмотрения простого примера системы двух атомов водорода¹⁾, в каждом из которых электрон

¹⁾ Подробное рассмотрение вопроса о силах связи между атомами водорода в молекуле водорода имеется в книге Полинга и Уилсона [1]. (См. также любой из обстоятельных курсов квантовой механики, например, А. С. Давыдова [2].) (*Прим. перев.*)

находится в основном $1s$ -состоянии. На рис. 6,4 приведены схематические графики волновых функций этих атомов ψ_A и ψ_B (рис. 6,4, а) и их совокупности (рис. 6,4, б и в). По мере сближения атомов их волновые функции перекрываются и мы приходим к необходимости рассмотрения двух комбинаций: $\psi_A \pm \psi_B$. В каждой из комбинаций электронное распределение между двумя протонами сохраняется, но любой электрон в состоянии $\psi_A + \psi_B$ будет иметь несколько меньшую энергию, чем в состоянии $\psi_A - \psi_B$. Первое состояние, показанное на рис. 6,4, б, характерно тем, что электрон «проводит» часть времени в области посередине расстояния между двумя протонами, где он находится под влиянием потенциального поля притяжения одновременно обоих протонов, тем самым увеличивая энергию связи. В состоянии $\psi_A - \psi_B$, показанном на рис. 6,4, в, плотность вероятности в точке, отвечающей середине расстояния между ядрами, обращается в нуль, и поэтому никакой добавки в энергию связи не возникает. Таким образом, по мере сближения двух атомов из каждого уровня изолированного атома образуется два различных энергетических уровня системы из двух атомов. Следовательно, если мы имеем систему из N атомов, то каждый уровень изолированного атома дает N уровней системы, и эти N уровней образуют одну или несколько зон.

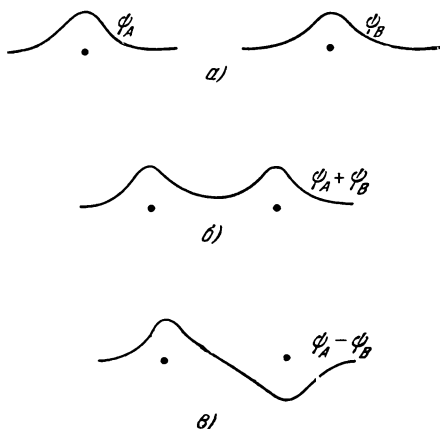


Рис. 6.4. а—волновые функции электронов в двух водородных атомах, расположенных далеко друг от друга; б—линейная комбинация этих волновых функций, описывающая состояние сближенных атомов; в—линейная комбинация, описывающая возбужденное состояние.

Случай шести водородных атомов, расположенных в линейной цепочке, схематически изображен на рис. 6.5. По мере сближения свободных атомов кулоновское взаимодействие между атомными остовами и перекрывающимися частями электронных оболочек приводит к расщеплению энергетических уровней в образующейся сложной системе, расширяя уровни в зоны. Каждый из ns уровней свободного атома при образовании металла расширяется в энергетическую зону. Здесь n — главное квантовое число, а s указывает, что орбитальный момент равен нулю. Ширина зоны пропорциональна интенсивности взаимодействия, или степени перекрывания оболочек соседних атомов, каждый из которых находится в состоянии ns . Зоны будут образо-

вываться также из $p, d \dots$ уровней ($l = 1, 2 \dots$) свободного атома. Каждый из $2l + 1$ уровней, вырожденных в свободном атоме, будет образовывать зону, и все эти зоны будут, вообще говоря, иметь разные энергии в любой области значений волнового вектора. В некоторых случаях, при особых конфигурациях зон Бриллюэна, может иметь место совпадение энергий двух или более полос.

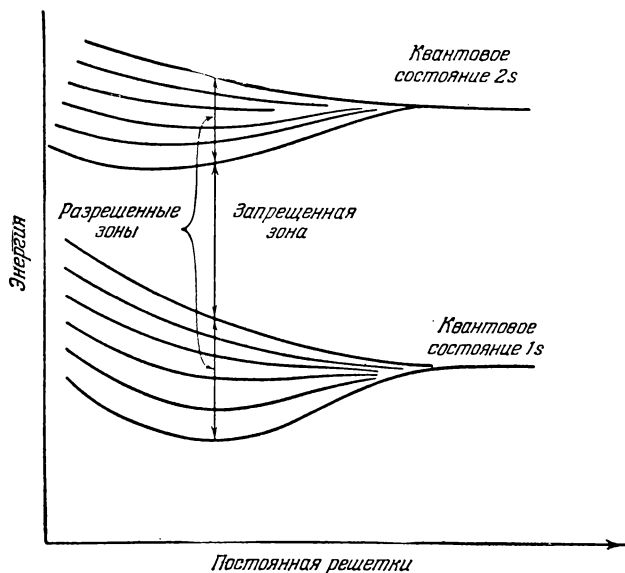


Рис. 6.5. Образование энергетических уровней в системе из шести водородных атомов при их сближении (т. е. при уменьшении постоянной решетки).

Показано, как образуются разрешенные и запрещенные энергетические зоны. По мере сближения атомов связь между ними возрастает, уровни ранее изолированных атомов расщепляются. Эта задача аналогична задаче о цепочке связанных электрических или механических осцилляторов.

Приближенную теорию, в которой исходным пунктом являются волновые функции свободных атомов, называют приближением сильной связи. Простой пример ее применения описан в приложении Б (в конце книги). Приближение сильной связи для внутренних электронов атомов дает, вообще говоря, вполне хорошие результаты, однако для электронов проводимости оно, по-видимому, не всегда позволяет построить правильную интерпретацию явлений.

Для приближенного описания некоторых явлений часто рассматриваются d -зоны переходных металлов. В этом случае приближение сильной связи действительно дает возможность четко установить соот-

ношение между числом атомов и числом состояний в энергетической зоне.

Те особые значения k , при которых имеют место разрывы функции E , описывающей зависимость энергии от волнового вектора, оказывается, не зависят от того, какое именно конкретное приближение используется для вычисления волновых функций или энергий; они определяются лишь общими свойствами пространственной группы кристаллической структуры. Вернувшись на минуту к нашей линейной цепочке из одинаковых атомов, вспомним, что первая разрешенная энергетическая зона соответствует интервалу значений k , ограниченному неравенством

$$-\frac{\pi}{a} \leq k \leq \frac{\pi}{a}.$$

В этом интервале k принимает значения

$$\frac{2\pi}{L} (0, \pm 1; \pm 2; \dots \pm (L/2a)),$$

Отношение L/a равно как раз числу атомов в линейной цепочке, поскольку a — расстояние между атомами, а L — длина интервала, на котором заданы периодические граничные условия. Вспомнив, что состояние, соответствующее $k = +\pi/a$, не осуществляется независимо от состояния $k = -\pi/a$, а идентично ему, мы сразу убедимся в том, что общее число независимых значений k равно L/a . Далее очевидно, что для каждого значения k имеется еще по два значения спинового квантового числа m_s .

Из сказанного вытекает важный результат, согласно которому зона, образуемая L/a примитивными ячейками, содержит $2L/a$ состояний. Если каждая примитивная ячейка рассматриваемого кристалла содержит по одному атому, причем каждый атом отдает в энергетическую зону по одному (валентному) электрону, то зона будет заполнена наполовину, и твердое тело будет обладать свойствами, характерными для металла. Если каждый атом отдает два электрона, то зона будет заполнена целиком, при условии, что данная зона не перекрывается ни с одной из остальных. Если перекрывающихся зон нет, то рассматриваемая зона не даст никакого вклада в проводимость. Все состояния в зоне заняты, так что внешнее электрическое поле не может быть причиной изменения состояния электронов в зоне и, следовательно, они не могут приобрести ускорения. По этой причине зоны, занятые электронами внутренних заполненных оболочек атома, обычно не связаны с явлением проводимости. Эти зоны довольно узки, поскольку волновые функции внутренних электронов изолированных атомов при образовании металла лишь незначительно перекрываются между собой. Узкие низко расположенные зоны не перекрываются ни с внешними вакантными зонами, ни

с частично заполненными. Поскольку замкнутые оболочки всегда содержат четное число электронов, соответствующие энергетические зоны будут всегда целиком заполнены.

Таким образом, твердое тело, состоящее из атомов с одним валентным электроном, будет представлять собой металл в том случае, если на каждую примитивную ячейку приходится по одному атому, т. е. если атомы образуют решетку Браве. В том случае, когда на примитивную ячейку приходится по два атома (каждый из которых имеет по одному валентному электрону), вещество будет изоля-

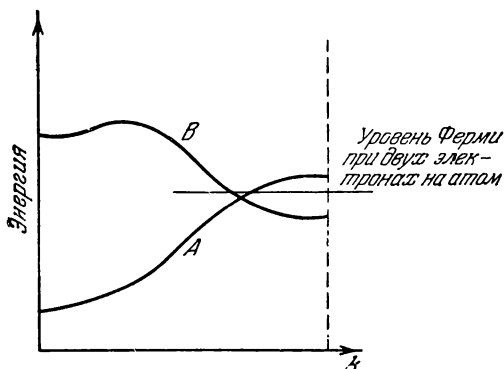


Рис. 6.6. Схематическое изображение перекрытия зон A и B , которое может иметь место в кристаллах двухвалентных элементов и приводить к металлической проводимости.

Зоны заполнены вплоть до уровня Ферми, но так, что зона A оказывается заполненной почти целиком, а зона B — почти пустая. Перекрытие зон происходит не обязательно для одного и того же направления в k -пространстве.

тором, если энергетические зоны не перекрываются.

Чтобы твердое тело было изолятором, на каждый его атом, или на каждую примитивную ячейку кристаллической решетки должно приходиться четное число электронов. Далее, необходимо, чтобы самая высокая содержащая электроны зона была отделена от других расположенных выше зон энергетической щелью, значительно большей kT при интересующих нас температурах.

Щелочноземельные металлы, хотя они и двухвалентны, тем не менее не являются изоляторами именно вследствие перекрытия зон (рис. 6.6).

Таким образом, зона, которая в отсутствие перекрытия могла бы быть целиком заполнена, оказывается занятой не полностью, а зона, которая в отсутствие перекрытия могла бы быть вакантной, оказывается частично занятой. Щелочные и благородные металлы являются хорошими проводниками, во-первых, потому, что они одновалентны и, во-вторых, потому, что зоны проводимости их заполнены лишь наполовину. Твердый водород представляет собой изолятор, так как кристалл состоит из молекул H_2 , обладающих четным числом электронов. Алмаз является изолятором, потому что имеет четыре валентных электрона, а соответствующие зоны у него разделены щелью шириной 5 эв. Кремний и германий имеют ту же валентность, что и углерод, и обладают той же кристаллической структурой, что и алмаз, но они являются полупроводниками: энергетическая щель

у них имеет ширину лишь порядка 1 эв. Кристалл хлористого натрия является изолятором, поскольку группа NaCl, связанная с каждой точкой решетки, содержит 28 электронов, т. е. четное их число. Таким образом, существенные различия между проводниками и изоляторами могут быть связаны с различием валентностей, а иногда также с различием в структуре энергетических зон.

ВОЛНОВЫЕ ФУНКЦИИ ЭЛЕКТРОНА В ПЕРИОДИЧЕСКОЙ РЕШЕТКЕ

Блохом [3] была доказана важная теорема о том, что решение уравнения Шредингера с периодическим потенциалом имеет вид

$$\psi_{\mathbf{k}} = u_{\mathbf{k}}(\mathbf{r}) e^{i\mathbf{k}\mathbf{r}}, \quad (6.3)$$

где $u_{\mathbf{k}}(\mathbf{r})$ — некоторая функция (зависящая, вообще говоря, от волнового вектора \mathbf{k}), периодическая относительно x , y и z , имеющая ту же периодичность, что и потенциал, т. е. имеющая периодичность решетки¹⁾. В сущности, это — плоская волна $e^{i\mathbf{k}\mathbf{r}}$, модулированная с периодом решетки. Решения (6.3) называют функциями Блоха.

Обычное доказательство этой теоремы имеется в книге Мотта и Джонса [4] на стр. 57—59. Доказательство, приведенное в оригинальной работе Блоха [3], основывается на элементарной теории групп и является несколько более строгим. Здесь мы дадим лишь краткое и неполное изложение хода рассуждений. Рассмотрим N узлов решетки, расположенных вдоль кольца длиной Na , и предположим, что потенциал периодичен с периодом a , т. е. что

$$V(x) = V(x + ga), \quad (6.4)$$

где g — целое число. В силу симметрии кольца мы ищем такие собственные функции ψ , которые удовлетворяют условию

$$\psi(x + a) = C\psi(x), \quad (6.5)$$

где C — комплексная константа, абсолютная величина которой равна единице. Тогда

$$\psi(x + ga) = C^g \psi(x), \quad (6.6)$$

и если собственные функции должны определяться однозначно,

$$\psi(x + Na) = \psi(x) = C^N \psi(x). \quad (6.7)$$

Таким образом, C есть один из N корней из единицы, а именно:

$$C = e^{i2\pi g/N} \quad (g = 0, 1, 2, 3, \dots, N - 1). \quad (6.8)$$

Тогда нашим требованиям удовлетворяет решение

$$\psi(x) = e^{i2\pi xg/Na} u_g(x), \quad (6.9)$$

¹⁾ В математике этот результат известен как теорема Флоке.

где функция $u_g(x)$ имеет периодичность a . Полагая

$$k = \frac{2\pi g}{Na}, \quad (6.10)$$

получим

$$\psi_k = e^{ikx} u_k(x), \quad (6.11)$$

т. е. результат Блоха.

Мы можем сказать, что знаем зонную структуру твердого тела, если для каждой энергетической зоны n нам известна энергия E_{nk} , как функция волнового вектора k .

Волновые функции для нулевого волнового вектора. У читателя может сложиться впечатление, что имеется некоторое противоречие между утверждениями предыдущей главы, где мы подчеркивали полезность применения модели свободных электронов к объяснению некоторых свойств одновалентных металлов, и настоящей главой, где подчеркивается роль состояний изолированного атома и взаимодействий между электронами проводимости и ионными остовами. К счастью, оказывается, что в случае одновалентных металлов это противоречие иногда чисто кажущееся. Возможны случаи, когда зависимость энергии в зоне от волнового числа будет примерно такой же, как и для свободного электрона, но в то же время волновая функция вовсе не представляет собой плоскую волну и описывает большее скопление электронного заряда на положительных ионных остовах, чем обычно имеет место в изолированном атоме.

В предыдущей главе на основе модели свободных электронов было получено следующее важное соотношение:

$$E_k = \frac{\hbar^2}{2m} k^2. \quad (6.12)$$

Можно расширить область применимости этого соотношения, исходя из того, что его основной важной чертой является квадратичная зависимость энергии от волнового числа. Все связанные с этим соотношением результаты можно в надлежаще модифицированной форме сохранить и в том случае, когда коэффициент пропорциональности не является константой и соотношение имеет вид

$$E_k = \frac{\hbar^2}{2m^*} k^2, \quad (6.13)$$

где m^* — величина, называемая эффективной массой. Мы можем просто заменить m на m^* в выражениях для энергии Ферми, для теплоемкости, восприимчивости, электропроводности.

Сначала выясним, какой смысл содержится в утверждении, что соотношение (6.12) имеет место и в том случае, когда волновые функции не являются плоскими волнами. Предположим, что мы ре-

шили волновое уравнение с периодическим потенциалом для случая $\mathbf{k} = 0$ и получили решение

$$\psi = u_0(\mathbf{r}),$$

где $u_0(\mathbf{r})$ — функция, имеющая периодичность решетки, которая отражает, естественно, характер изменения потенциальной энергии вблизи ионов. Составим далее функцию

$$\psi = u_0(\mathbf{r}) e^{i\mathbf{k}\mathbf{r}}. \quad (6.14)$$

Эта функция имеет вид функции Блоха (6.3), но не будет, вообще говоря, точным решением волнового уравнения, поскольку мы исключили зависимость u от \mathbf{k} . Очевидно, однако, что эта функция все же будет лучшим приближением к правильной волновой функции, чем плоская волна. Энергия, соответствующая выбранному приближенному решению, будет еще зависеть от \mathbf{k} как $(\hbar^2/2m) k^2$, т. е. точно так же, как и для плоских волн, хотя модуляции, внесенные наличием функции $u_0(\mathbf{r})$, могут быть весьма значительными. Вычислим среднее значение энергии, воспользовавшись каноническим рецептом нахождения квантовомеханического среднего:

$$\bar{E} = \int u_0^*(\mathbf{r}) e^{-i\mathbf{k}\mathbf{r}} \left[-\frac{\hbar^2}{2m} \nabla^2 + V(\mathbf{r}) \right] e^{i\mathbf{k}\mathbf{r}} u_0(\mathbf{r}) d\tau. \quad (6.15)$$

Далее,

$$\nabla e^{i\mathbf{k}\mathbf{r}} u_0(\mathbf{r}) = i\mathbf{k} e^{i\mathbf{k}\mathbf{r}} u_0(\mathbf{r}) + e^{i\mathbf{k}\mathbf{r}} \nabla u_0(\mathbf{r}),$$

$$\nabla^2 e^{i\mathbf{k}\mathbf{r}} u_0(\mathbf{r}) = -k^2 e^{i\mathbf{k}\mathbf{r}} u_0(\mathbf{r}) + 2i\mathbf{k} e^{i\mathbf{k}\mathbf{r}} \nabla u_0(\mathbf{r}) + e^{i\mathbf{k}\mathbf{r}} \nabla^2 u_0(\mathbf{r}),$$

так что

$$\bar{E} = \frac{\hbar^2}{2m} k^2 + \int u_0^*(\mathbf{r}) \left[-\frac{\hbar^2}{2m} \nabla^2 + V(\mathbf{r}) \right] u_0(\mathbf{r}) d\tau = \frac{\hbar^2}{2m} k^2 + E_0. \quad (6.16)$$

Член, содержащий

$$\int u_0^*(\mathbf{r}) \nabla u_0(\mathbf{r}) d\tau,$$

равен нулю в силу симметрии: можно показать, что при $\mathbf{k} = 0$ состояние, описываемое функцией u_0 , должно быть либо четной, либо нечетной функцией \mathbf{r} . Следовательно, (6.16) и есть как раз тот результат, который мы хотели получить.

Тогда представляет большой интерес вычислить явный вид функции $u_0(\mathbf{r})$, поскольку эта функция позволяет получить хорошее описание распределения заряда внутри элементарной ячейки. Вигнер и Зейтц разработали простой и исключительно точный метод вычисления $u_0(\mathbf{r})$ в случае, когда известно поле свободного иона. Со времени появления этих работ Вигнера и Зейтца было предложено

множество методов вычисления волновых функций в твердых телах. Но изложение их выходит за рамки настоящей книги.

На рис. 6.7 показана волновая функция Вигнера—Зейтца для наинизшего состояния в зоне проводимости ($3s$) металлического натрия. Можно заметить, что эта функция является практически константой в большей части ($\sim 90\%$) атомного объема. В области больших k эти решения могут быть аппроксимированы функциями

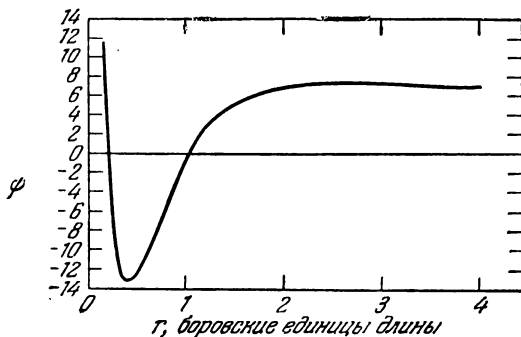


Рис. 6.7. График наинизшей волновой функции металлического натрия. Боровская единица длины равна $0,529 \cdot 10^{-8}$ см.

вида $e^{ikr} u_0(r)$, аналогичными (6.14). Соответственно мы можем утверждать, что волновые функции в зоне проводимости имеют характер плоских волн в большей части атомного объема, но в области ионного остова осциллируют и заметно возрастают.

В ряде случаев необходимо принимать во внимание зависимость от k функции $u_k(r)$, входящей в функцию Блоха, а не аппроксимировать ее функцией $u_0(r)$.

Читатель без особого труда может убедиться в том, что, действуя оператором Гамильтона

$$-\frac{\hbar^2}{2m} \nabla^2 + V(r)$$

на функцию Блоха

$$e^{ikr} u_k(r),$$

мы приходим к следующему дифференциальному уравнению для функции $u_k(r)$:

$$\left[-\frac{\hbar^2}{2m} \nabla^2 - \frac{i\hbar^2}{m} \mathbf{k} \nabla + V(r) \right] u_k(r) = \left(E_k - \frac{\hbar^2 k^2}{2m} \right) u_k(r). \quad (6.17)$$

Член, содержащий $\mathbf{k} \nabla$, часто рассматривают как возмущение. Решая это уравнение для кубического кристалла и зоны, которая при $\mathbf{k} = 0$

не является вырожденной, мы придем во втором приближении с точностью до k^2 к следующему выражению для энергии:

$$E_k = E_0 + \frac{\hbar^2 k^2}{2m^*}, \quad (6.18)$$

где величина m^* в общем случае не равна массе свободного электрона.

В заключение приведем значения отношения m^*/m для щелочных металлов, вычисленные Бруксом:

Металл	Li	Na	K	Rb	Cs
m^*/m	1,40	0,98	0,94	0,87	0,83

ЭФФЕКТИВНАЯ МАССА ЭЛЕКТРОНОВ В КРИСТАЛЛЕ

Соотношение (6.18) показывает, что электрон в кристалле ведет себя так, как будто его масса отличается от массы свободного электрона. Этот удивительный результат тем не менее правилен: известны кристаллы, в которых эффективная масса может быть как больше, так и меньше массы свободного электрона m ; эффективная масса может быть анизотропной и даже отрицательной. Экспериментально были обнаружены значения эффективной массы, меньшие 0,01 m .

Если эффективная масса m^* меньше m , то это никак не влияет на кристалл; второй закон Ньютона также по-прежнему остается справедливым для кристалла в целом. Существенное значение имеет то обстоятельство, что ускорение, приобретаемое электроном под действием периодического потенциала при наличии внешнего электрического или магнитного поля, определяется его эффективной массой, которую мы сейчас определим.

Концепцию эффективной массы мы обсудим с нескольких точек зрения. Сначала рассмотрим движение волнового пакета во внешнем электрическом поле \mathcal{E} . Предположим, что волновой пакет составлен из состояний, соответствующих набору значений волнового числа, близких к какому-то данному значению k в какой-то одной энергетической зоне. По определению групповой скорости v_g , имеем

$$v_g = \frac{d\omega}{dk}. \quad (6.19)$$

Это — известный результат физической оптики. Далее, поскольку энергия E , соответствующая описываемому данной волновой функцией состоянию, связана с частотой соотношением $\omega = E/\hbar$, то

$$v_g = \hbar^{-1} \frac{dE}{dk}. \quad (6.20)$$

Работа δE , затраченная полем \mathcal{E} на перемещение электрона в течение времени δt , равна

$$\delta E = e\mathcal{E}v_g \delta t. \quad (6.21)$$

Заметим, однако, что, согласно (6.20),

$$\delta E = \frac{dE}{dk} \delta k = \hbar v_g \delta k. \quad (6.22)$$

Итак, сравнивая между собой (6.21) и (6.22), получаем

$$\delta k = \frac{e\mathcal{E}}{\hbar} \delta t, \quad (6.23)$$

или

$$\hbar \frac{dk}{dt} = e\mathcal{E}. \quad (6.24)$$

Это важное соотношение показывает, что в кристалле внешняя сила, действующая на электрон, равна $\hbar dk/dt$, тогда как в свободном пространстве внешняя сила, разумеется, равна $m dv/dt$. Этот результат вовсе не означает нарушения второго закона Ньютона. Дело в том, что электрон в кристалле подвергается действию как внешних полей, так и сил со стороны кристаллической решетки. Если мы хотим в этом случае описать движение электрона так, как если бы на него действовали лишь внешние силы, то неудивительно, что уравнение движения не будет иметь простого вида $F = ma$. Удивительно, что такой подход — сведение уравнения к виду, соответствующему действию лишь внешних сил — вообще дает хорошие результаты, однако мы увидим, что эффективная масса является наиболее удобной для такой интерпретации величиной.

Из уравнения (6.20) имеем

$$\frac{dv_g}{dt} = \hbar^{-1} \frac{d^2 E}{dk dt} = \hbar^{-1} \left(\frac{d^2 E}{dk^2} \frac{dk}{dt} \right). \quad (6.25)$$

Используя для dk/dt выражение (6.24), получим

$$\frac{dv_g}{dt} = \frac{d^2 E}{dk^2} \frac{e\mathcal{E}}{\hbar^2}. \quad (6.26)$$

Сравнивая полученное уравнение с классическим уравнением движения

$$\frac{dv}{dt} = \frac{e\mathcal{E}}{m},$$

нетрудно заметить, что величина

$$\frac{\hbar^2}{d^2 E / dk^2}$$

играет роль массы; мы будем называть ее эффективной массой,

$$m^* = \frac{\hbar^2}{d^2 E / dk^2}. \quad (6.27)$$

Заметим, что если энергию записать в виде

$$E = \frac{\hbar^2}{2m^*} k^2,$$

то фигурирующая здесь величина m^* согласуется с (6.27).

Формулу (6.27) легко обобщить на случай, когда энергетическая поверхность анизотропна; при этом эффективная масса станет тензором, компоненты которого определяются соотношениями

$$\left(\frac{m}{m^*}\right)_{ij} = \frac{m}{\hbar^2} \frac{d^2 E_k}{dk_i dk_j}, \quad (6.28)$$

где i, j — декартовы координаты.

Физический смысл эффективной массы. Теперь попытаемся выяснить, каким образом получается, что электрон с массой m , оказавшись в кристалле, реагирует на внешнее поле так, как если бы его масса была равна m^* . Сразу укажем, что различие между m и m^* обусловлено взаимодействием электрона с решеткой.

В связи с этим полезно вспомнить о брэгговском отражении электронных волн в кристаллической решетке.

Для выяснения физического смысла эффективной массы воспользуемся известным нам приближением слабой связи (Приложение А). Возьмем одномерный случай. Пусть член возмущения, описывающий взаимодействие электрона с решеткой, имеет вид: $V = 2V_0 \cos Gx$. Структура энергетических зон показана на рис. 6.8.

В точке A в нижней части зоны состояние электрона полностью описывается плоской волной e^{ikx} ; отраженная компонента мала и медленно увеличивается при возрастании k . Таким образом, в этой области можно считать, что $m^* \approx m$. Передаче импульса от электрона к решетке соответствует увеличение отраженной компоненты. В точке B отраженная компонента равна $e^{i(k-G)x}$ и довольно велика; в точке C она еще больше. Наконец, в точке D она по амплитуде

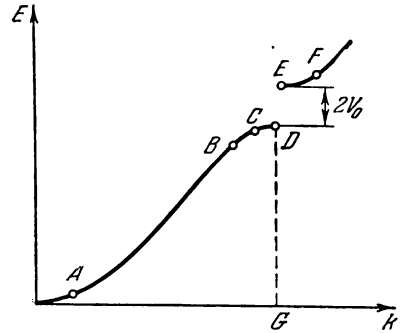


Рис. 6.8. Зонная структура, вызванная возмущающим потенциалом вида $2V_0 \cos Gx$.

Собственные функции ψ_k можно приближенно записывать в виде линейных комбинаций экспонент e^{ikx} и $e^{i(k-G)x}$ с коэффициентами (амплитудами), зависящими от k .

становится равной e^{ikx} . В этой точке (а также в точке E) собственные функции являются уже стоячими, а не бегущими волнами. Поэтому нет ничего неожиданного в том, что в области между B и D значения m оказываются отрицательными. Отрицательность m^* означает, что при переходе из состояния k в состояние $k + \Delta k$ импульс,

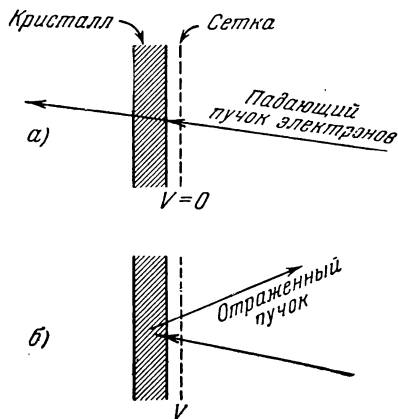


Рис. 6.9. К объяснению малого значения эффективной массы вблизи границы зоны Бриллюэна.

В случае а) энергия электронов в пучке, падающем на тонкий кристалл, немного меньше или немного больше значения, удовлетворяющего условию Брэгга, и пучок проходит сквозь кристалл. В случае б) на сетку подано небольшое напряжение такой величины, что условие Брэгга выполняется. При этом электронный пучок будет отражаться от соответствующих атомных плоскостей кристалла. Таким образом, небольшое изменение энергии электронов в пучке может вызвать очень большое изменение их импульса; такой случай соответствует малой эффективной массе. В рассматриваемом эксперименте эффективная масса может быть как положительной, так и отрицательной, в зависимости от того, какой была начальная энергия, т. е. больше или меньше значения, удовлетворяющего условию Брэгга. При отражении пучка сам кристалл испытывает отдачу в соответствии с законами классической механики.

ссылаясь, пользуясь одним и тем же значением эффективной массы m^* . Согласно гл. 5,

$$E_F(0) = \frac{\hbar^2}{2m^*} (3\pi^2 N)^{2/3}.$$

Из этого соотношения следует, что энергия Ферми E_F и температура Ферми T_F вырожденного электронного газа обратно пропорциональны

передаваемый решетке, отрицателен, т. е. часть импульса, передаваемая электрону, больше. Хотя под действием внешнего электрического поля k увеличивается на величину Δk , но в результате брэгговского отражения импульс электрона в целом уменьшается, что можно описать как появление у него отрицательной эффективной массы. Далее, при переходе от точки E к точке F амплитуда $e^{i(k-G)x}$ уменьшается и m^* становится малой положительной величиной, т. е. увеличение скорости электрона, вызванное действием внешней силы, больше, чем было бы у свободного электрона. Решетка компенсирует это различие благодаря отдаче, которую она испытывает при уменьшении до нуля амплитуды $e^{i(k-G)x}$.

Изложенные соображения поясняются на рис. 6.9. Наиболее непосредственный способ определения эффективной массы дают эксперименты по циклотронному резонансу, которые будут рассмотрены при изложении физики полупроводников.

Предположим для простоты, что в части рассматриваемой зоны все состояния можно опи-

эффективной массе. Далее мы можем во всех теоретических рассматриваниях последовательно ввести m^* вместо m . Таким путем можно модифицировать ряд результатов теории свободных электронов.

Например, для электронной теплоемкости получаем

$$C_v \sim m^*. \quad (6.29)$$

Для спиновой восприимчивости Паули имеем

$$\chi_s \sim m^*. \quad (6.30)$$

Пропорциональность теплоемкости и спиновой восприимчивости эффективной массе m^* является прямым следствием того, что плотность состояний в верхней части распределения Ферми пропорциональна эффективной массе. Опираясь на результаты гл. 5, мы далее заметим, что электропроводность σ и подвижность μ также пропорциональны $1/m^*$:

$$\sigma = \frac{Ne^2\tau}{m^*}, \quad (6.31)$$

$$\mu = \frac{e\tau}{m^*}. \quad (6.32)$$

Из приведенных результатов можно получить ряд качественных следствий. Атомы металлов переходной группы периодической системы имеют, как известно, незаполненные внутренние электронные оболочки, поэтому соответствующие им энергетические зоны также могут быть незаполненными. Поскольку перекрытие внутренних оболочек соседних атомов, по-видимому, относительно невелико, энергетические зоны будут весьма узкими и, следовательно, плотность состояний в них будет очень велика. Поэтому можно ожидать, что в переходных металлах отношение $m^*/m \gg 1$ и, следовательно, будут велики их теплоемкость и парамагнитная восприимчивость. Большая диамагнитная восприимчивость будет наблюдаться при $m^*/m \ll 1$ в соответствии с теорией Ландау.

Экспериментальные данные подтверждают эти выводы. Обращаясь к табл. 6.1, мы видим, что многие переходные металлы, в том числе кобальт, железо, марганец, ниобий, никель, палладий и платина, имеют необычно большие значения электронной теплоемкости, откуда следует, что отношение m^*/m имеет величину порядка 10 или больше. Значения магнитной восприимчивости переходных элементов также приведены в табл. 6.1.

Согласно теории для состояний, близких к точкам разрыва энергетического спектра, следует ожидать весьма малых значений отношения $m^*/m (\ll 1)$. Джонс на этой основе объяснил сильный диамагнетизм висмута и γ -латуни, которые обладают диамагнитной восприимчивостью примерно в 5—10 раз большей обычной. Чтобы объяснить аномальную восприимчивость кристалла висмута и, кроме

Таблица 6.1

**Магнитная восприимчивость переходных металлов
при комнатной температуре**
(из работы Крисмана и Колена [5])

Элемент	$\chi \cdot 10^6$, эл.-магн. ед/г	Элемент	$\chi \cdot 10^6$, эл.-магн. ед/г
Ti	3,2	Mn	9,7
Zr	1,3	Re	0,37
Hf	0,42	Ru	0,43
V	5,0	Os	0,05
Nb	2,24	Rh	0,99
Ta	0,84	Ir	0,18
Cr	3,3	Pd	5,23
Mo	0,94	Pt	0,97
W	0,30		

того, анизотропию его восприимчивости, необходимо принять, что в некоторых направлениях отношение m^*/m имеет величину порядка 10^{-2} .

ДЫРКИ — НОСИТЕЛИ ТОКА С ПОЛОЖИТЕЛЬНЫМ ЗАРЯДОМ

Эффективная масса электрона в энергетической зоне может быть как положительной, так и отрицательной. Состояния, соответствующие положительной эффективной массе, расположены вблизи дна зоны, поскольку положительная эффективная масса соответствует зоне, обращенной выпуклостью вверх (величина $\partial^2 E / \partial k^2$ положительна). Состояния с отрицательной эффективной массой расположены в верхней части зоны; эти состояния термодинамически неустойчивы, и электрон, находящийся в таком состоянии, стремится потерять энергию и перейти в состояние с положительной массой. В обоих случаях электрон ведет себя как частица с отрицательным зарядом, как это и должно быть.

Иначе обстоит дело, если почти все состояния в зоне заполнены, а свободны только состояния с отрицательной массой (величина $\partial^2 E / \partial k^2$ отрицательна). Вакантные состояния, или дырки, ведут себя так, как если бы они были частицами с положительным зарядом и положительной эффективной массой. Напомним прежде всего, что при заполненной зоне ток не может возникнуть, так как в ней нет свободных состояний, в которые может перейти электрон. Следовательно, электрическое или магнитное поле не вызовет никаких эффектов, если только оно не настолько сильно, чтобы деформировать зонную структуру.

Движение дырок. То обстоятельство, что вакантные состояния в верхней части почти заполненной зоны ведут себя во всех отно-

шениях как частицы с положительным зарядом $+|e|$, является одним из наиболее интересных особенностей зонной теории твердого тела. Этот факт имеет также и большое практическое значение, так как работа транзисторов (полупроводниковых диодов и триодов) непосредственно связана с тем, что в полупроводниковых кристаллах одновременно существуют и дырки, и электроны. Первым экспериментальным доказательством существования дырок послужило обнаружение положительных значений постоянной Холла, о чем мы будем говорить ниже. В опытах по циклотронному резонансу [6] с использованием электромагнитных волн, поляризованных по кругу, было установлено, что дырки и электроны вращаются в магнитном поле в противоположных направлениях, как и должно быть в случае зарядов противоположного знака.

Нетрудно понять причины такого поведения дырок. Рассмотрим более подробно движение дырки во внешнем электрическом поле (см. книгу Шокли [7]).

Для наглядности мы возьмем одномерный случай, схематически изображенный на рис. 6.10. Первоначально зона, если не считать единственного вакантного состояния F , заполнена целиком. Это состояние F расположено в самой верхней точке зоны. Затем вдоль положительного направления оси x включается электрическое поле \mathcal{E}_x . Вызванное им движение электронов описывается уравнением

$$\hbar \frac{dk_x}{dt} = F = -|e|\mathcal{E}_x, \quad (6.33)$$

причем для всех электронов скорость изменения величины k_x одна и та же. Уравнение (6.33) утверждает, что приращение Δk_x в условиях, изображенных на нашей схеме, будет отрицательным. Вакантное состояние, первоначально находившееся в точке F , сместится в точку E , а затем в точку D . Иначе говоря, дырка движется одновременно с электронами в направлении уменьшения k_x .

Для того участка энергетической поверхности, который расположен слева от точки F , наклон, характеризуемый производной $\partial E / \partial k_x$, будет положительным. Следовательно, групповая скорость, которая согласно (6.30) равна

$$v_g = \hbar^{-1} \frac{\partial E}{\partial k_x}, \quad (6.34)$$

будет также положительна. Мы видим далее, что скорость дырки возрастает в направлении электрического поля. Этот результат сам по себе совместим как с положительным, так и с отрицательным знаком заряда и массы дырки. Последующее рассмотрение показывает, что правильной является только первая возможность: положительны и заряд и масса. Установим связь между направлением потока заряда и направлением потока частиц.

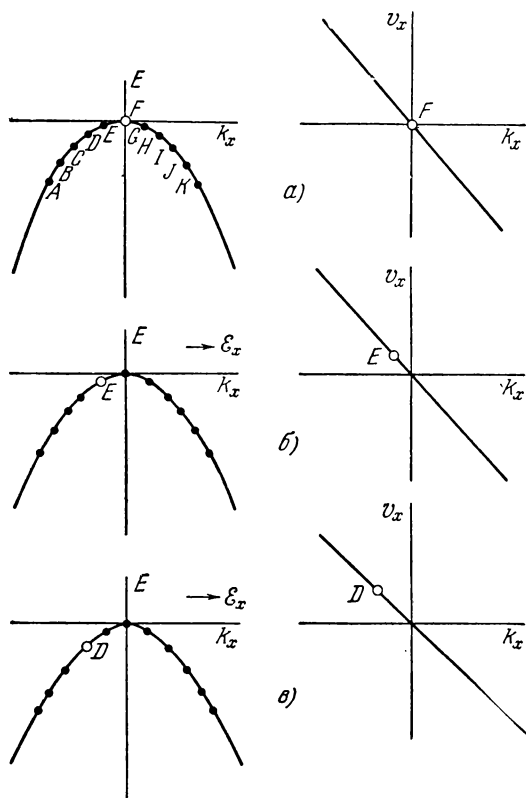


Рис. 6.10. а) При $t=0$ все состояния заняты, за исключением состояния F в вершине зоны; б) электрическое поле \mathcal{E}_x наложено в положительном направлении оси x . На электрон действует сила в направлении $-k_x$, и все электроны одновременно перемещаются вправо, так что вакантное состояние (дырка) смещается влево и занимает позицию E ; в) дальнейшее перемещение электрона сдвигает дырку еще дальше влево, и она занимает позицию D . Таким образом, дырка перемещается в направлении уменьшения значений k_x , соответствующих большим положительным скоростям.

Увеличение положительной скорости согласуется с предположением о положительном заряде дырки.

Если зона целиком заполнена, то полная скорость — сумма скоростей всех электронов зоны — будет равна нулю, т. е. в заполненной зоне ток возникнуть не может. Вклад в полную скорость за счет движения одного электрона, находившегося в состоянии, характеризуемом точкой D , положителен. Если же теперь все состояния зоны, за исключением D , заполнены, а состояние D вакантно, то полная скорость всех остальных электронов зоны должна быть отрицательна:

$$v_x = -\hbar^{-1} \frac{\partial E}{\partial k_x},$$

поскольку для целиком заполненной зоны она равна нулю. Когда дырка получает ускорение, электроны приобретают ускорение в противоположном направлении. В результате происходит перенос отрицательного заряда влево, что и показано на рис. 6.10, но дырка при этом перемещается вправо и, следовательно, движение дырки сводится к переносу вправо положительного заряда. Поэтому мы должны приписать дырке положительный заряд. Но для того чтобы согласовать m^* и скорость изменения скорости, мы должны приписать дырке также и положительную эффективную массу:

$$m_{\text{дырки}}^* = -\frac{\hbar^2}{\partial^2 E / \partial k_x^2}. \quad (6.35)$$

Полезно привести основные уравнения, описывающие движение дырки в заполненной (кроме одного состояния) зоне:

$$\hbar \dot{\mathbf{k}}_h = -|e| \left(\mathcal{E} + \frac{1}{c} [\mathbf{v}_h \mathbf{H}] \right), \quad (6.36)$$

$$\hbar \dot{\mathbf{v}}_h = \nabla_{\mathbf{k}} E, \quad (6.37)$$

$$\left(\frac{1}{m_h^*} \right)_{ij} = -\frac{1}{\hbar^2} \frac{\partial^2 E}{\partial k_i \partial k_j} \quad (6.38)$$

Следует подчеркнуть, что все задачи в рамках рассматриваемой теории можно решать только для электронов, но если зона заполнена почти целиком (но не целиком!), то удобно иметь дело с вакантными состояниями, или дырками.

Заметим, что если

$$E = E_0 - \frac{\hbar^2}{2m^*} k^2,$$

то

$$\bar{\mathbf{v}}_h = -\frac{\hbar \mathbf{k}}{m^*}$$

и

$$m^* \dot{\mathbf{v}}_h = +|e| \left(\mathcal{E} + \frac{1}{c} [\mathbf{v}_h \mathbf{H}] \right).$$

Эффект Холла. Эффект Холла является наиболее убедительным экспериментальным доказательством, свидетельствующим в пользу введения концепции положительных носителей тока (дырок). Когда проводник помещен в магнитное поле, перпендикулярное к направлению тока, то поперек образца в направлении, перпендикулярном к току и магнитному полю, возникает разность потенциалов (рис. 6.11). Она называется холловской разностью потенциалов. Причина этого явления состоит в том, что движущиеся электрические заряды, составляющие ток, смещаются в одну сторону приложенным магнитным полем.

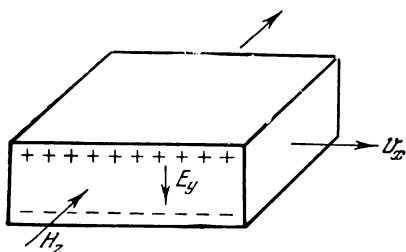


Рис. 6.11. Эффект Холла.

Электроны, движущиеся со скоростью v_x вдоль направления x под действием магнитного поля H_z , наложенного параллельно оси z , отклоняются к нижней поверхности образца, которая в результате приобретает заряд, создающий электрическое поле. Этот процесс происходит до тех пор, пока не наступит компенсация эффектов результирующего электрического и магнитного полей.

Заряды скапливаются на поверхности образца до тех пор, пока электрическое поле, связанное с накапливающимися зарядами, не достигнет величины, достаточно большой, чтобы скомпенсировать действие магнитного поля. Метод, основанный на исследовании эффекта Холла, является весьма эффективным, особенно для полупроводников, поскольку при помощи весьма простых средств он позволяет непосредственно оценивать концентрации носителей тока.

При вычислении холловской разности потенциалов предполагают, что образец имеет форму тонкой пластинки и возникающая разность потенциалов перпендикулярна к ее плоскости, как показано на рис. 6.11. Сила Лоренца, действующая на носители тока, равна

$$F = e \left(E + \frac{1}{c} [\mathbf{v}H] \right). \quad (6.39)$$

Электрическое поле Холла в направлении оси y определяется из условия

$$F_y = 0 = e \left(E_y - \frac{1}{c} v_x H_z \right), \quad (6.40)$$

если взаимное расположение магнитного поля, тока и образца отвечает схеме рис. 6.11. Тогда

$$E_y = \frac{v_x H_z}{c} = \frac{j_x H_z}{Nec}, \quad (6.41)$$

где j_x — плотность тока, N — концентрация носителей тока. Отношение

$$R_H = \frac{E_y}{j_x H_z} = \frac{1}{Nec} \quad (6.42)$$

называется постоянной Холла. Для свободных электронов постоянная Холла отрицательна. Постоянная Холла в электростатической системе единиц имеет размерность

$$\frac{\text{эл.-ст. ед. потенциала} \cdot \text{см}}{\text{эл.-ст. ед. тока} \cdot \text{эрстед}},$$

и в этих единицах для обычных металлов ее величина составляет около 10^{-24} . Она значительно больше для полупроводников. Это связано с тем, что величина N у полупроводников значительно меньше, чем у металлов. В практических единицах ($v \cdot \text{см/а} \cdot \text{эрстед}$) постоянная Холла в $9 \cdot 10^{11}$ раз больше, чем в электростатических.

Часто бывает удобно ввести холловский угол

$$\varphi = \frac{E_y}{E_x} = \frac{\sigma H_z}{Nec} = \frac{e\tau H}{m^*c} = \frac{\mu H}{c}, \quad (6.43)$$

используя формулы (6.31) и (6.32).

Имея в виду задачу 6.2, заметим, что отношение

$$\frac{eH}{m^*c}$$

равно как раз циклотронной угловой частоте ω_c для свободных частиц с массой m^* в магнитном поле H . Тогда

$$\varphi = \omega_c \tau,$$

где τ — время релаксации. Холловский угол равен среднему числу радианов (обычно доля радиана), описывающему «закручивание» частицы в период между столкновениями. Экспериментальные значения постоянной Холла для некоторых металлов приведены в табл. 6.2; там же даны значения, вычисленные непосредственно из концентрации валентных электронов. Для одновалентных металлов согласие между

Таблица 6.2

Постоянные Холла для некоторых металлов
(в единицах $10^{-13} \text{ в} \cdot \text{см/а} \cdot \text{эрстед}$, при комнатной температуре)

Металл	Наблюдаемое значение	Вычисленное по теории свободных электронов	Металл	Наблюдаемое значение	Вычисленное по теории свободных электронов
Li	—17,0	—13,1	Au	—7,2	—10,5
Na	—25,0	—24,4	Be	+24,4	—2,5
K	—42,0	—47	Zn	+3,3	—4,6
Cs	—78	—73	Cd	+6,0	—6,5
Cu	—5,5	—7,4	Al	—4	—
Ag	—8,4	—10,4	Bi	~—1000	—4,1

экспериментальными и вычисленными значениями вполне удовлетворительное. Однако знак эффекта у бериллия, цинка и кадмия противоположен тому, который теория предсказывает в том случае, когда носителями тока являются электроны. Этот факт относится к числу загадочных нерешенных проблем, пока еще не нашедших объяснения в зонной теории.

Положительная постоянная Холла означает, что носителями тока являются положительные заряды. Мы видели, что вакантные состояния в верхней части почти заполненной зоны ведут себя так, как если бы они обладали положительным зарядом. Аномально большое значение постоянной у висмута объясняется в зонной теории низкой концентрацией электронов вне почти заполненных зон.

ЭЛЕКТРОПРОВОДНОСТЬ МЕТАЛЛОВ

Электропроводность металлов имеет конечную величину только из-за того, что решетка металла никогда не бывает идеальной.

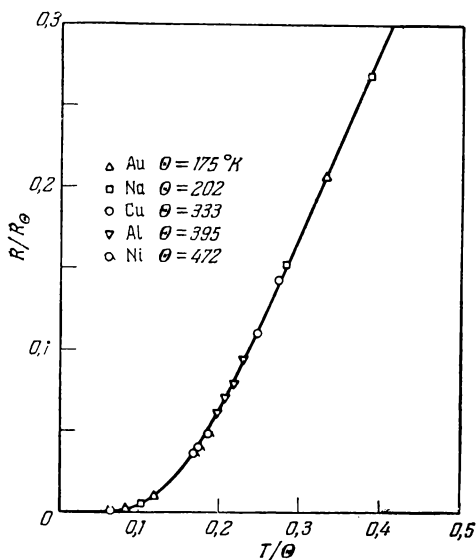


Рис. 6.12. Температурная зависимость сопротивления (по Бардину).

Сплошная кривая построена по формуле Грюнрайзена. Указаны экспериментальные точки для некоторых металлов.

Отклонения могут быть обусловлены либо колебаниями решетки, либо статистическими несовершенствами, например, наличием вакансий и примесей. Если бы решетка была совершенной, электронные волны, описываемые функциями ψ_k , проходили бы через нее, не испытывая рассеяния, т. е. без сопротивления, подобно тому как свет проходит через идеальный кристалл, не испытывая рассеяния и поглощения. Вследствие теплового движения решетки электропроводность чистых образцов при высоких температурах ($T > \Theta$) изменяется пропорционально T^{-1} , тогда как при низких температурах ($T \ll \Theta$) она может быть пропорциональна T^{-5} . (Здесь через Θ обозначена температура Дебая.) Зависимость сопротивления от температуры

показана на рис. 6.12. В неупорядоченных сплавах даже при комнатной температуре сопротивление может обуславливаться главным образом неоднородностями, тогда как в очень чистых металлах выше

температуры жидкого водорода основную роль играет тепловое движение.

Сопротивление для высоких температур вычислить легче, чем для низких. Мы можем легко сделать необходимую оценку, рассматривая колебания решетки с помощью предложенной Эйнштейном модели отдельных осцилляторов с частотой $\omega_E = k\Theta/\hbar$.

В каждой точке решетки ее отклонение от идеальной структуры можно характеризовать амплитудой d тепловых колебаний. При $T > \Theta$ имеем

$$\frac{1}{2} M \omega_E^2 d^2 = \frac{1}{2} kT,$$

или

$$\frac{1}{2} M d^2 \left(\frac{k\Theta}{\hbar} \right)^2 = \frac{1}{2} kT,$$

так что

$$d^2 = \frac{\hbar^2 T}{M k \Theta^2}, \quad (6.44)$$

где M — масса ионного остова. Разумно принять, что величина d^2 приближенно характеризует эффективное сечение рассеяния электронов на атомах металла; тогда средняя длина свободного пробега

$$\Lambda \approx \frac{1}{N d^2}, \quad (6.45)$$

где N — концентрация ионов. Если v_F — фермиевская скорость, то время релаксации для электронов определится как отношение Λ к v_F :

$$\tau = \frac{\Lambda}{v_F} \approx \frac{1}{v_F N d^2}. \quad (6.46)$$

Если концентрация электронов равна N , то для электропроводности имеем

$$\sigma = \frac{Ne^2\tau}{m} \approx \frac{e^2}{m v_F d^2} \approx \frac{Me^2 k}{m \hbar^2 v_F} \frac{\Theta^2}{T}. \quad (6.47)$$

При $M/m = 10^5$, $v_F = 10^8$ см/сек, $\Theta \approx T \approx 300^\circ \text{K}$ мы получаем, что электропроводность $\sigma \approx 10^{18}$ эл.-стат. ед, что соответствует сопротивлению порядка 1 мкОм·см. Это правильный порядок величины; характер температурной зависимости проводимости также соответствует наблюдаемому в области высоких температур.

Остаточное сопротивление. Сопротивление металлов, содержащих примесные атомы, можно обычно представить следующей формулой:

$$\rho = \rho_i + \rho_L, \quad (6.48)$$

где ρ_L — сопротивление, обусловленное тепловыми колебаниями, ρ_i — сопротивление, обусловленное рассеянием электронных волн на примесных атомах, нарушающих периодичность решетки.

Если концентрация примесей мала, то ρ_i не зависит от температуры. Это последнее утверждение известно как *правило Матиссена*.

Остаточное сопротивление — это сопротивление ρ_i , которое мы можем определить экстраполяцией кривой температурной зависимости сопротивления к $T = 0^\circ \text{K}$ (при $T \rightarrow 0^\circ \text{K}$ сопротивление ρ_L исчезает). Измерения сопротивления показывают, что величина остаточного сопротивления может изменяться от образца к образцу, тогда как сопротивление, обусловленное тепловым движением, от индивидуальности образца не зависит.

ЗОНЫ БРИЛЛЮЭНА

Теперь мы применим зонную теорию для качественного описания ряда физических свойств металлов и сплавов. Прежде всего нас будет интересовать связь между положением поверхности Ферми и границей зоны Бриллюэна. Поскольку в сплаве при добавлении к матрице чужеродных атомов, имеющих другую валентность, число электронов проводимости изменяется, то при этом изменяется и взаимное расположение поверхности Ферми и границы зоны. В некоторых случаях это может привести к изменению кристаллографической структуры сплава, в других могут измениться физические свойства сплава, а именно: постоянная решетки, упругие постоянные, магнитная восприимчивость, эффективное число электронов проводимости. Магнитные свойства переходных металлов очень чувствительны к введению атомов другого металла.

Как было установлено в начале настоящей главы [см. (6.1)], разрывы энергетического спектра в случае одномерной решетки из одинаковых атомов имеют место при значениях волновых чисел, определяемых соотношением

$$k = \frac{n\pi}{a}, \quad (6.49)$$

где n — произвольное целое положительное число. Таким образом, именно отдельные значения волнового числа играют особую роль для разрывов в энергетическом спектре. В трехмерном случае такую же роль играет волновой вектор \mathbf{k} , как можно видеть из уравнения Брэгга. Вид ураниений, определяющих, где будут иметь место разрывы энергии, зависит от типа кристаллической решетки.

В случае одномерной решетки, состоящей из одинаковых атомов, линия значений k делится точками разрыва на участки, состоящие из отрезков длиной π/a (рис. 6.13). Эти участки носят название *зон Бриллюэна*. Так, например, участок $-\pi/a < k < \pi/a$ является первой зоной Бриллюэна, участки $-2\pi/a < k < -\pi/a$ и $\pi/a < k < 2\pi/a$ составляют вторую зону Бриллюэна и т. д. Представление о таких зонах было введено Бриллюэном, который указал, что многие важные и характерные черты движения электрона в периодических

структурах можно описать, пользуясь представлением об энергетических зонах в пространстве волновых чисел. Положения границ этих зон не зависят от деталей взаимодействия электронов с решеткой и определяются структурой кристалла. Разрывы энергии имеют место на границах зон.

Зоны Бриллюэна наиболее непосредственно можно определять, пользуясь уравнением Брэгга в форме

$$2\mathbf{k} \cdot \mathbf{G} + G^2 = 0, \quad (6.50)$$

где \mathbf{G} — вектор обратной решетки, умноженный на 2π . В качестве примера, чтобы показать связь между уравнением Брэгга и зонами

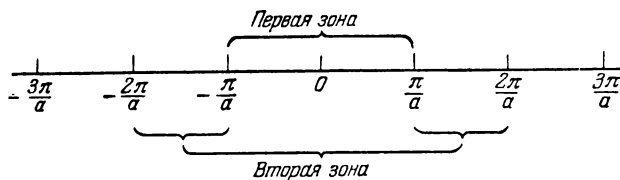


Рис. 6.13. Зоны Бриллюэна для линейной решетки из одинаковых атомов с постоянной решетки, равной a .

Бриллюэна, рассмотрим простую двухмерную квадратную решетку. Векторы обратной решетки можно в общем случае записать в виде

$$\frac{n_1}{a} \mathbf{i} + \frac{n_2}{a} \mathbf{j},$$

где a — постоянная решетки, n_1, n_2 — целые числа. Тогда имеем

$$\mathbf{G} = \frac{2\pi}{a} (n_1 \mathbf{i} + n_2 \mathbf{j}).$$

Уравнение Брэгга в виде (6.50), описывающее отражение волн периодической решеткой, примет вид

$$k_x n_1 + k_y n_2 = \frac{\pi (n_1^2 + n_2^2)}{a}. \quad (6.51)$$

Границы первой зоны мы найдем, полагая $n_1 = \pm 1, n_2 = 0$, и получим

$$k_x = \pm \frac{\pi}{a}. \quad (6.52)$$

Далее, полагая $n_1 = 0, n_2 = \pm 1$, получим

$$k_y = \pm \frac{\pi}{a}. \quad (6.53)$$

Четыре прямые (6.52) и (6.53) определяют границы первой зоны, представляющей собой квадрат со стороной $2\pi/a$ (рис. 6.14).

Внешние границы второй зоны мы найдем, полагая $n_1 = \pm 1$, $n_2 = \pm 1$, что дает нам уравнения четырех прямых

$$\pm k_x \pm k_y = \frac{2\pi}{a}, \quad (6.54)$$

где все знаки плюс и минус берутся независимо.

Обобщение этого метода на случай трехмерных кубических решеток (простой, объемно- и гранецентрированной) производится без

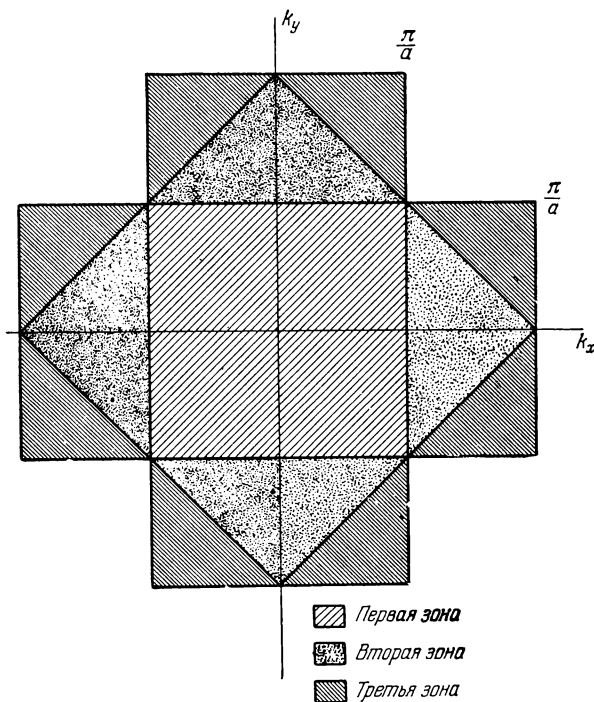


Рис. 6.14. Зоны Бриллюэна для простой двумерной квадратной решетки.

Первые три зоны заштрихованы.

труда. Первая зона Бриллюэна в случае простой кубической решетки представляет собой куб, ребро которого равно $2\pi/a$. Первые зоны в случае объемно- и гранецентрированных кубических решеток показаны на рис. 6.15; подробнее они обсуждаются ниже.

В большинстве задач можно, оказывается, ограничиться рассмотрением первой зоны Бриллюэна, поскольку волновой вектор \mathbf{k}

может быть всегда сведён к вектору \mathbf{k}' , лежащему в первой зоне: и получающемуся из \mathbf{k} вычитанием некоторого вектора обратной решетки, умноженного на 2π , так, чтобы вид волновой функции Блоха сохранился. Действительно,

$$\psi_{\mathbf{k}} = e^{i\mathbf{k}\mathbf{r}} u_{\mathbf{k}}(\mathbf{r}) = e^{i(\mathbf{k}-\mathbf{G})\mathbf{r}} u_{\mathbf{k}}(\mathbf{r}) e^{i\mathbf{G}\mathbf{r}} = e^{i\mathbf{k}'\mathbf{r}} u'_{\mathbf{k}'}(\mathbf{r}) = \psi_{\mathbf{k}'}, \quad (6.55)$$

поскольку функция $e^{i\mathbf{G}\mathbf{r}}$ — периодическая с периодом решетки. Схема, в которой все векторы \mathbf{k} рассматриваются как лежащие в первой зоне, известна как *приведенная зонная схема*.

Границы зоны определяются из уравнения

$$2\mathbf{k}\mathbf{G} + G^2 = 0,$$

где \mathbf{G} — вектор обратной решетки, умноженный на 2π . Из уравнения видно, что каждая граница зоны представляет собой плоскость, перпендикулярную к вектору \mathbf{G} , упирающемуся в ее центр. Прежде-

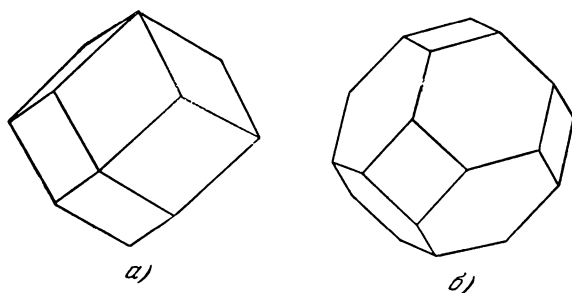


Рис. 6.15. Первые зоны Бриллюэна в а) объемноцентрированной и б) гранецентрированной кубических решетках.

всего нам нужно найти выражение для вектора \mathbf{G} , пользуясь определениями вектора обратной решетки.

В качестве векторов основных трансляций объемноцентрированной кубической решетки, показанной на рис. 1.5, могут быть взяты следующие векторы:

$$\left. \begin{aligned} \mathbf{a} &= \frac{a}{2} (\mathbf{i} + \mathbf{j} + \mathbf{k}), \\ \mathbf{b} &= \frac{a}{2} (-\mathbf{i} + \mathbf{j} + \mathbf{k}), \\ \mathbf{c} &= \frac{a}{2} (-\mathbf{i} - \mathbf{j} + \mathbf{k}), \end{aligned} \right\} \quad (6.56)$$

где a — длина ребра соответствующего элементарного куба, а \mathbf{i} , \mathbf{j} , \mathbf{k} — единичные взаимно ортогональные векторы, направленные вдоль

его ребер. Объем примитивной ячейки определяется выражением

$$V = a [bc] = \frac{1}{2} a^3. \quad (6.57)$$

Правильность этого результата подтверждается тем, что элементарный куб объема a^3 содержит две точки решетки. Основные

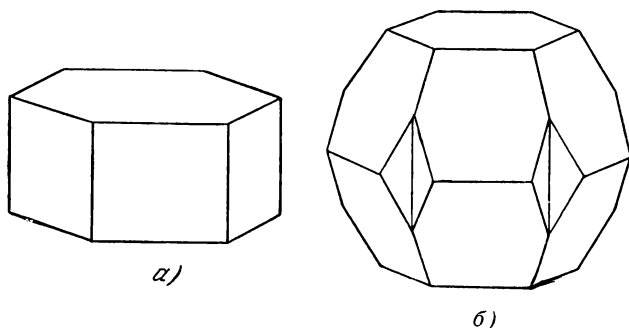


Рис. 6.16. Первая и вторая зоны Бриллюэна в случае гексагональной плотноупакованной структуры.

В этой структуре в направлениях к верхней и к нижней граням первой зоны разрыв энергии не имеет места. В подобных случаях мы часто сталкиваемся с составной зоной, называемой первой зоной Джонса, которая ограничена боковыми гранями зоны a и включает в себя все части зоны b , расположенные выше и ниже линии пересечения зоны b с зоной a .

трансляции в обратной решетке, а именно a^* , b^* , c^* , определяются выражениями вида

$$a^* = \frac{[bc]}{a[bc]}. \quad (6.58)$$

Таким образом, воспользовавшись (6.56), получим

$$\left. \begin{aligned} a^* &= \frac{1}{a} (i + k), \\ b^* &= \frac{1}{a} (-i + j), \\ c^* &= \frac{1}{a} (-j + k). \end{aligned} \right\} \quad (6.59)$$

Подобный же вид имеют основные векторы гранецентрированной кубической решетки. Тогда для вектора G имеем

$$G = 2\pi (ha^* + kb^* + lc^*) = \frac{2\pi}{a} [(h-k)i + (k-l)j + (h+l)k], \quad (6.60)$$

где h , k , l — целые числа.

Имеется двенадцать кратчайших не равных нулю векторов

$$\frac{2\pi}{a}(\pm \mathbf{i} \pm \mathbf{j}); \quad \frac{2\pi}{a}(\pm \mathbf{j} \pm \mathbf{k}); \quad \frac{2\pi}{a}(\pm \mathbf{i} \pm \mathbf{k}). \quad (6.61)$$

Границы зоны, определяемые уравнением (6.50), представляют собой плоскости, каждая из которых перпендикулярна к одному из векторов (6.6), упирающемуся в ее центр. Первая зона Бриллюэна будет состоять из всех кратчайших векторов \mathbf{G} , в число которых входят и двенадцать векторов \mathbf{G} , определенных выражениями (6.61). Следовательно, первая зона представляет собой ромбический додекаэдр, изображенный выше на рис. 6.15, *a*. Заметим, что ромбический додекаэдр, построенный только что описанным путем, может быть принят за примитивную ячейку гранецентрированной решетки, поскольку такие фигуры могут заполнить все пространство, а каждая фигура содержит только одну точку решетки. Далее запишем величину объема зоны в \mathbf{k} -пространстве:

$$\frac{1}{4} \left(\frac{4\pi}{a} \right)^3 = 2 \left(\frac{2\pi}{a} \right)^3.$$

Число состояний на единицу объема \mathbf{k} -пространства равно $2/(2\pi)^3$ на единицу объема кристалла, так что на единицу объема кристалла во всей зоне будем иметь $4/a^3$ состояний. В объемноцентрированном кубическом кристалле в единице объема имеется $2/a^3$ атомов; таким образом, на каждый атом приходится в зоне два состояния, соответствующие двум ориентациям спина. Этот результат находится в согласии со сделанным ранее утверждением о том, что на каждый атом кристалла в зоне имеется два состояния.

Интересно указать еще на некоторые факты, относящиеся к характеристикам первой зоны объемноцентрированной решетки. Радиус сферы, вписанной в зону,

$$k_i = \frac{\sqrt{2}\pi}{a},$$

а объем этой сферы равен

$$\frac{4\pi}{3} \frac{2^{3/2}\pi^3}{a^3}$$

и, следовательно, составляет $\pi/3 (2)^{1/2} = 0,74$ от объема зоны. Если поверхность Ферми имеет сферическую форму, то при концентрации электронов проводимости, равной $2 \cdot 0,74 = 1,48$ на атом, она будет как раз касаться границ зоны. Представление о касании с границей зоны, как мы увидим в дальнейшем, имеет большое значение в теории сплавов.

Гранецентрированная кубическая решетка. В качестве векторов основных трансляций гранецентрированной кубической решетки можно взять следующие:

$$\left. \begin{aligned} \mathbf{a} &= \frac{a}{2}(\mathbf{i} + \mathbf{j}), \\ \mathbf{b} &= \frac{a}{2}(\mathbf{i} + \mathbf{k}), \\ \mathbf{c} &= \frac{a}{2}(\mathbf{j} + \mathbf{k}). \end{aligned} \right\} \quad (6.62)$$

Объем примитивной ячейки равен

$$\mathbf{a} [\mathbf{bc}] = \frac{1}{4} a^3.$$

Пользуясь формулами типа (6.58), определяющими векторы обратной решетки, найдем векторы основных трансляций в обратной решетке:

$$\left. \begin{aligned} \mathbf{a}^* &= \frac{1}{a}(-\mathbf{i} - \mathbf{j} + \mathbf{k}), \\ \mathbf{b}^* &= \frac{1}{a}(-\mathbf{i} + \mathbf{j} - \mathbf{k}), \\ \mathbf{c}^* &= \frac{1}{a}(\mathbf{i} - \mathbf{j} - \mathbf{k}). \end{aligned} \right\} \quad (6.63)$$

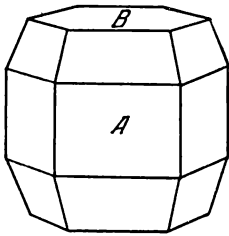


Рис. 6.17. Составная зона в случае гексагональной плотноупакованной структуры (из работы Джонса [8]).

Подобный же вид имеют основные трансляции объемноцентрированной решетки. Итак, имеем

$$\mathbf{G} = \frac{2\pi}{a} [(-h - k + l)\mathbf{i} + (-h + k - l)\mathbf{j} + (h - k - l)\mathbf{k}]. \quad (6.64)$$

Имеется восемь кратчайших не равных нулю векторов \mathbf{G} :

$$\frac{2\pi}{a} (\pm \mathbf{i} \pm \mathbf{j} \pm \mathbf{k}). \quad (6.65)$$

Границы зоны определяются в основном восемью плоскостями, каждая из которых перпендикулярна к одному из векторов (6.65), упирающемуся в ее центр. Однако можно заметить, что вершины углов построенного таким путем октаэдра срезаны плоскостями, перпендикулярными к биссектрисам углов между шестью попарно взятыми векторами

$$\frac{2\pi}{a} (\pm 2\mathbf{i}); \quad \frac{2\pi}{a} (\pm 2\mathbf{j}); \quad \frac{2\pi}{a} (\pm 2\mathbf{k}). \quad (6.66)$$

Итак, первая зона представляет собой октаэдр со срезанными вершинами, показанный на рис. 6.15, б.

Эта зона может быть принята за примитивную ячейку объемно-центрированной кубической решетки. Объем ее равен

$$\frac{1}{2} \left(\frac{4\pi}{a} \right)^3 = 4 \left(\frac{2\pi}{a} \right)^3.$$

Следовательно, в зоне имеется $8/a^3$ состояний на единицу объема кристалла. Гранецентрированный кубический кристалл содержит $4/a^3$ атомов на единицу объема, следовательно, мы опять имеем по два состояния на атом.

Радиус сферы, вписанной в зону, равен

$$k_i = \frac{\sqrt{3}\pi}{a},$$

а объем этой сферы равен

$$\frac{4\pi}{3} \cdot \frac{3^{3/2}\pi^3}{a^3}$$

и, следовательно, составляет $3^{1/2}\pi/8 = 0,68$ от объема зоны. Если поверхность Ферми имеет сферическую форму, то при концентрации электронов $2 \cdot 0,68 = 1,36$ на атом она будет касаться границ зоны.

Гексагональная структура с плотной упаковкой. В качестве векторов примитивных трансляций гексагональной пространственной решетки, показанной на рис. 1.8, могут быть взяты следующие:

$$\left. \begin{aligned} a &= \frac{a}{2} i + \left(\frac{3^{1/2}a}{2} \right) j, \\ b &= -\frac{a}{2} i + \left(\frac{3^{1/2}a}{2} \right) j, \\ c &= ck. \end{aligned} \right\} \quad (6.67)$$

Объем примитивной ячейки равен

$$\frac{3^{1/2}a}{2} a^2 c.$$

Базис гексагональной структуры с плотной упаковкой содержит два атома. Заметим, что гексагональная плотноупакованная структура является именно структурой, а не пространственной решеткой. Пространственной решеткой в данном случае является гексагональная пространственная решетка. Векторы примитивных трансляций в обратной решетке следующие:

$$\left. \begin{aligned} a^* &= \frac{1}{a} i + \left(\frac{1}{3^{1/2}a} \right) j, \\ b^* &= -\frac{1}{a} i + \left(\frac{1}{3^{1/2}a} \right) j, \\ c^* &= \frac{1}{c} k. \end{aligned} \right\} \quad (6.68)$$

Нетрудно видеть, что оси обратной решетки совпадают с осями исходной. В том, что решетка с трансляциями (6.68) действительно обратная, можно убедиться, непосредственно вычисляя скалярные произведения $\mathbf{a}\mathbf{a}^*$ и т. д. Для вектора \mathbf{G} имеем

$$\mathbf{G} = 2\pi \left[\frac{1}{a} (h - k) \mathbf{i} + \left(\frac{1}{3^{1/2}a} \right) (h + k) \mathbf{j} + \frac{1}{c} l \mathbf{k} \right]. \quad (6.69)$$

Имеется восемь кратчайших не равных нулю векторов

$$\left. \begin{aligned} & \frac{2\pi}{a} \left[\pm \mathbf{i} \pm \left(\frac{1}{3^{1/2}} \right) \mathbf{j} \right], \\ & \frac{2\pi}{a} \left[\pm \left(\frac{2}{3^{1/2}} \right) \mathbf{j} \right], \\ & \frac{2\pi}{c} \pm \mathbf{k}. \end{aligned} \right\} \quad (6.70)$$

Первая зона, показанная на рис. 6.16, *a*, ограничена плоскостями, каждая из которых перпендикулярна к одному из векторов (6.70), упирающемуся в ее центр. Можно показать, что для базиса гексагональной плотноупакованной структуры нет никаких разрывов энергии в плоскостях, перпендикулярных к горизонтальным граням первой зоны. Это обстоятельство весьма существенно, так как отражения от атомной плоскости, расположенной между плоскостями, ограничивающими примитивную ячейку, имеют как раз такую фазу, что будут гасить отражения от базисной плоскости. Таким образом, мы приходим к рассмотрению второй зоны Бриллюэна. Вторая зона показана на рис. 6.16, *б*; ее можно определить тем же методом, который мы применяли выше. Учет спин-орбитального взаимодействия несколько видоизменяет полученные результаты: именно, при этом почти на всех горизонтальных гранях первой зоны появятся узкие плоские зоны запрещенных энергий.

Первая зона содержит два состояния на примитивную ячейку, т. е. одно состояние на атом. Объединение первой и второй зон содержит четыре состояния на примитивную ячейку, т. е. два состояния на атом. Всего составная зона (см. рис. 6.17) содержит

$$n = 2 - \frac{3}{4} \left(\frac{a}{c} \right)^2 \left[1 - \frac{1}{4} \left(\frac{a}{c} \right)^2 \right] \quad (6.71)$$

состояний на атом. Эта зона представляет собой наименьшую область, ограниченную плоскостями, на которых энергия терпит разрыв. Такую зону иногда называют *зоной Джонса*, поскольку Джонс первый ввел ее.

Запомним, что значение вектора \mathbf{k} на плоскости *A* (см. рис. 6.17) равно $2\pi/3^{1/2}a$, а на плоскости *B* равно $2\pi/c$. Для идеально плотно-

упакованного расположения

$$\frac{c}{a} = \left(\frac{8}{3}\right)^{1/2} = 1,63,$$

и поэтому

$$\frac{k_A}{k_B} = \left(\frac{8}{9}\right)^{1/2};$$

отсюда отношение энергий свободных электронов в точках A и B

$$\frac{E_A}{E_B} = \frac{8}{9}.$$

Следовательно, можно ожидать, что поверхность Ферми коснется границ зоны прежде всего в точке A . Отношение осей c/a цинка и кадмия значительно отличается от идеального, а именно, у цинка

$$\frac{c}{a} = 1,86, \quad \text{так что} \quad \frac{k_A}{k_B} = 1,07, \quad \frac{E_A}{E_B} = 1,15.$$

Касание поверхности Ферми с границей зоны может произойти сначала в точке B .

ЗОННАЯ СТРУКТУРА МЕТАЛЛОВ

Щелочные металлы. Атомы щелочных металлов имеют один валентный s -электрон на атом: у лития это $2s$ -электрон, у натрия — $3s$ -, у калия — $4s$ -, у рубидия — $5s$ -, у цезия — $6s$ -. В щелочных металлах s -уровни атома расширяются в широкую зону, и в некоторых отношениях электроны проводимости ведут себя так, как если бы они были свободными. Все щелочные металлы при комнатной температуре имеют объемноцентрированную кубическую структуру. Их s -полоса заполнена наполовину, и поэтому, если поверхность Ферми имеет сферическую форму, то она свободно располагается внутри первой зоны Бриллюэна. Выше было установлено, что сфера Ферми вписывается в первую зону, когда число свободных электронов на атом в среднем составляет 1,48. Для лития был выполнен теоретический расчет, из которого следует, что форма поверхности Ферми в этом металле мало отклоняется от сферической. Ксн и Ростокер вычислили энергии на поверхности Ферми в направлениях $[100]$ и $[111]$ и нашли, что одна отличается от другой лишь на 3%. Однако вычисленное значение эффективной массы равно 1,4 m .

Благородные металлы. Медь, серебро и золото являются одновалентными металлами, но они отличаются от щелочных металлов тем, что у атомов этих металлов в изолированном состоянии валентной s -оболочке предшествует целиком заполненная d -оболочка, как можно видеть из схем структуры электронных оболочек атомов в периодической системе элементов. Все эти металлы имеют грани-

центрированную кубическую структуру. Если у щелочных металлов размеры ионов невелики и составляют лишь часть большого атомного объема, у благородных металлов заполненные d -оболочки почти соприкасаются между собой и взаимодействуют как твердые сферы. Расстояние между ближайшими соседями в натрии равно $3,71 \text{ \AA}$, а диаметр иона Na^+ равен $1,9 \text{ \AA}$, так что остается зазор в $1,8 \text{ \AA}$. В меди расстояние между ближайшими соседями равно $2,55 \text{ \AA}$, диаметр иона Cu^+ равен $1,92 \text{ \AA}$, т. е. зазор составляет $0,63 \text{ \AA}$. У серебра зазор меньше: $0,36 \text{ \AA}$, а у золота лишь $0,14 \text{ \AA}$. Сжимаемость щелочных металлов в 50—100 раз больше, чем у соответствующих благородных; энергии связи у щелочных металлов в 4—5 раз меньше.

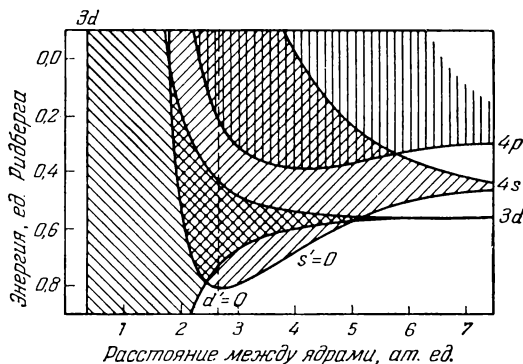


Рис. 6.18. Расширение энергетических уровней в зоны в случае меди.

Приведена зависимость энергии от межатомного расстояния. Пунктиром показано равновесное межатомное расстояние в кристалле меди (из работы Круттера [9]).

Малая сжимаемость благородных металлов является следствием принципа Паули: высокая электронная плотность d -оболочек препятствует взаимопроникновению. Большие значения энергии связи обусловлены, по-видимому, взаимодействием между d -оболочками.

Считают, что d - и s -зоны перекрываются, как показано на рис. 6.18. Из расчетов Хауэрса следует, что ширина $3d$ -зоны у меди равна $3,46 \text{ эв}$ и что поверхность Ферми, лежащая в $4s$ -зоне, расположена выше верхнего края $3d$ -зоны на $3,7 \text{ эв}$. Оценка, сделанная на основе модели свободных электронов, показывает, что поверхность Ферми лежит на $7,1 \text{ эв}$ выше дна $4s$ -зоны.

Известно, что у чистой меди поверхность Ферми касается границ зоны в центрах гексагональных граней, как показано на рис. 6.19.

Принято считать, что эффективная масса электронов проводимости в благородных металлах близка к массе свободных электронов.

Действительно, расчеты Кэмбла дали следующие значения:

Металл	Cu	Ag	Au
m^*/m	1,012	0,992	0,994

Электронная теплоемкость серебра очень близка к вычисленному значению, найденному в предположении, что $m^* = m$; согласие для меди получается, если предположить, что $m^* \approx 1,4m$. Следует иметь в виду, что различные эффекты, которые могут изменить эффективную плотность состояний на поверхности Ферми, оказывают влияние и на электронную теплоемкость. Мы не знаем, как вычислять эти эффекты сколько-нибудь надежно, и поэтому следует соблюдать необходимую осторожность при интерпретации экспериментальных данных, воздерживаясь от чересчур категорических заключений.

Двухвалентные металлы.

Двухвалентные металлы (бериллий, магний, кальций, цинк, стронций, кадмий, барий и ртуть) имеют внешние электроны, характеризующиеся конфигурацией s^2 , т. е. в s -состоянии свободного атома они имеют два валентных электрона. Что касается структуры, то бериллий, магний, кальций, цинк и кадмий имеют гексагональную структуру с плотной упаковкой, кальций и стронций — гранецентрированную кубическую, барий — объемно-центрированную, ртуть — сложную. Поскольку число валентных электронов у этих металлов четное, то они должны бы быть изоляторами, однако вследствие, по-видимому, имеющего место перекрытия их s -зоны с более высокими зонами они обладают электропроводностью.

Бериллий, цинк и кадмий имеют, как известно, положительную постоянную Холла. Это дает основания считать, что у них основной вклад в проводимость обусловлен дырками в верхней части s -зоны, которые остаются после «эмиграции» электронов в соседнюю зону. Перекрытие поверхности Ферми, по-видимому, особенно мало у бериллия, свойства которого близки к свойствам изолятора. Большая величина постоянной Холла у бериллия показывает, что лишь около 10% общего числа валентных электронов принимают эффективное участие в процессе электропроводности.

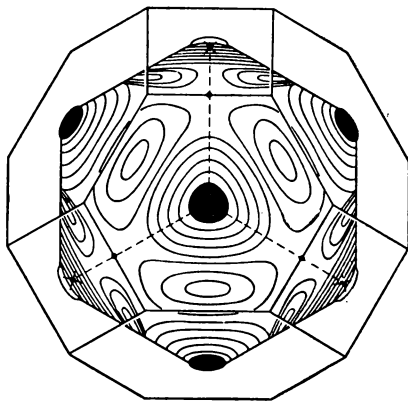


Рис. 6.19. Поверхность Ферми для меди (по Пиппарду).

Трехвалентные металлы. Трехвалентными металлами являются бор, алюминий, галлий, индий и таллий; электронная конфигурация внешней части электронной оболочки атомов этих элементов имеет вид s^2p . Среди них лишь алюминий можно считать типичным металлом (рис. 6.20). Бор является полупроводником и имеет сложную кристаллическую структуру. Отношение электропроводности к плотности у алюминия больше, чем у меди. Алюминий имеет гранецентрированную кубическую структуру. Галлий плавится при 30°C ; его кристаллическая структура — ромбическая. Индий имеет гранецентрированную тетрагональную структуру, которую можно себе представить как гранецентрированную кубическую, растянутую вдоль одного из ребер куба на 8%. Таллий встречается в двух кристаллических модификациях: одна имеет гексагональную плотноупакованную структуру, другая — объемноцентрированную кубическую.

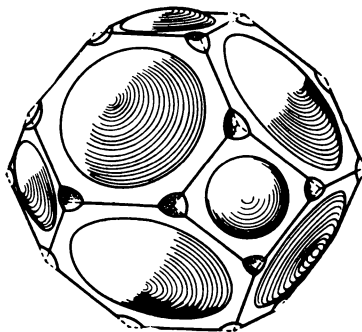


Рис. 6.20. Поверхность Ферми для алюминия.

БИНАРНЫЕ СПЛАВЫ

Мы начнем с рассмотрения твердых растворов типа замещения, когда в данный металл добавляется другой. Итак, нашей целью будет выяснение вопроса о том, как будут изменяться физические свойства, скажем, металла B при введении в него атомов металла A . Предположим, что атомы металла A вводятся в металл B и распределяются случайным образом по узлам решетки B , т. е. по некоторым узлам, которые ранее были заняты атомами B . Особые эффекты, возникающие в том случае, когда атомы A располагаются в решетке B не случайно, а в некотором правильном порядке, будут рассмотрены в конце настоящей главы, в разделе, посвященном процессам упорядочения.

Юм-Розери¹⁾ установил ряд общих закономерностей, которым подчиняются известные твердые растворы. Он заметил, что область существования твердых растворов одного металла в другом строго ограничена требованием того, чтобы атомные диаметры растворителя и растворяемого металла отличались не более чем на 15%. За атомный диаметр обычно принимается при этом наименьшее расстояние между атомами в кристалле данного элемента (см. табл. 1.2). Таким образом, например, размеры атомов меди ($2,55 \text{ \AA}$)

¹⁾ См. книги Юм-Розери [10] — [12].

и цинка (2,66 Å) благоприятствуют образованию системы твердых растворов Cu—Zn. Установлено, что цинк растворяется в меди, образуя твердый раствор с гранецентрированной структурой вплоть до концентрации 38 ат. % Zn. Объемный фактор в случае пары медь—кадмий не благоприятствует образованию твердых растворов, поскольку атомный диаметр меди равен 2,55 Å, а кадмия 2,97 Å; в результате растворимость кадмия в меди ограничена 1,7 ат. %.

Объемный фактор выражают в процентах, например, для систем, в которых растворителем является медь, он составляет 4% в случае системы Zn—Cu и 16,5% в случае системы Cd—Cu.

Однако даже при благоприятном объемном факторе образование твердых растворов может не иметь места, если элементы проявляют тенденцию к образованию устойчивых интерметаллических соединений. Тогда, если растворитель имеет большую электроотрицательность, а растворяемый элемент большую электроположительность (или наоборот), то весьма вероятно, что образующееся интерметаллическое соединение будет выпадать из раствора. Пара медь—мышьяк имеет благоприятный объемный фактор (2%), однако растворимость мышьяка в меди достигает лишь 6%. Для раствора сурьмы в магнии объемный фактор также благоприятен (9%), но растворимость Sb в Mg очень мала.

В следующих разделах мы рассмотрим различные вопросы, касающиеся электронной структуры сплавов. При этом мы будем пользоваться понятием среднего числа валентных электронов на 1 атом. Например, концентрация электронов n в сплаве 50% Cu—50% Zn равна 1,5; в сплаве 50% Cu—50% Al имеем $n = 2,00$. Будем предполагать, что энергетические поверхности имеют сферическую форму и что основным результатом добавления к данному металлу элемента иной валентности является изменение концентрации электронов. Выводы, которые мы получим при таких предположениях, часто оказываются в прекрасном согласии с опытом, вызывая изумление физиков-теоретиков.

Результаты измерений межатомного расстояния в решетке сплавов Li—Mg, иллюстрирующие его зависимость от содержания Li в сплаве, показаны на рис. 6.21.

В области концентраций, к которым относится приведенная на рис. 6.21 зависимость, кристаллы сплава Li—Mg имеют объемноцентрированную кубическую структуру. Сначала при добавлении Mg в Li решетка сжимается. Когда содержание лития снижается до 50 ат. %, а соответствующая средняя концентрация электронов повышается до величины, большей 1,5 на 1 атом, решетка начинает расширяться. Выше было установлено, что при сферической поверхности Ферми последняя касается границ зоны (в случае объемноцентрированной кубической решетки) при средней концентрации $n = 1,48$ электрона на 1 атом. Следовательно, расширение решетки происходит, по-ви-

димому, с того момента, когда возникает перекрытие с границами зоны. Это расширение представляет собой один из эффектов, в которых существенную роль играют концентрация электронов и граница зоны Бриллюэна.

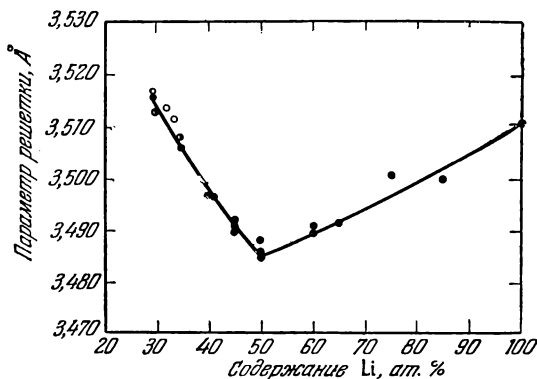


Рис. 6.21. Изменение параметра решетки кристалла сплава Li—Mg, имеющего объемноцентрированную кубическую структуру, при увеличении содержания лития. (Из работы Левинсона [13].)

Правила Юм-Розери для фаз сплавов. Юм-Розери первый обратил внимание на важность величины средней концентрации валентных электронов как универсального параметра при описании свойств сплавов. Он установил наличие определенной связи между структурой фаз некоторых сплавов и величиной средней концентрации валентных электронов на атом. Рассмотрим, например, фазовую диаграмму системы Cu—Zn, показанную на рис. 6.22. Наибольший интерес для нас представляют следующие фазы: α -фаза (гранецентрированная кубическая), β -фаза (объемноцентрированная кубическая), γ -фаза (сложная кубическая ячейка из 52 атомов), ϵ -фаза (гексагональная с плотной упаковкой).

Чистая медь ($n=1$) отвечает α -фазе, которая сохраняется вплоть до концентрации $n=1,38$; β -фаза имеет наименьшую концентрацию n , равную примерно 1,48; γ -фаза существует в интервале концентраций n между 1,58 и 1,66, и, наконец ϵ -фаза появляется при $n=1,75$.

Для систем сплавов, промежуточные фазы которых имеют структуры, соответствующие определенным значениям средней концентрации валентных электронов на атом (n), пользуются термином «электронные соединения». Это соответствие между эмпирически найденными значениями n и типом фазы сплава, известное под названием правил Юм-Розери, состоит конкретно в том, что значению $n=3/2$ (1,5)

отвечает β -фаза, $n = 21/13$ (1,62) — γ -фаза, $n = 7/4$ (1,75) — ϵ -фаза. Характерные экспериментальные данные для таких электронных

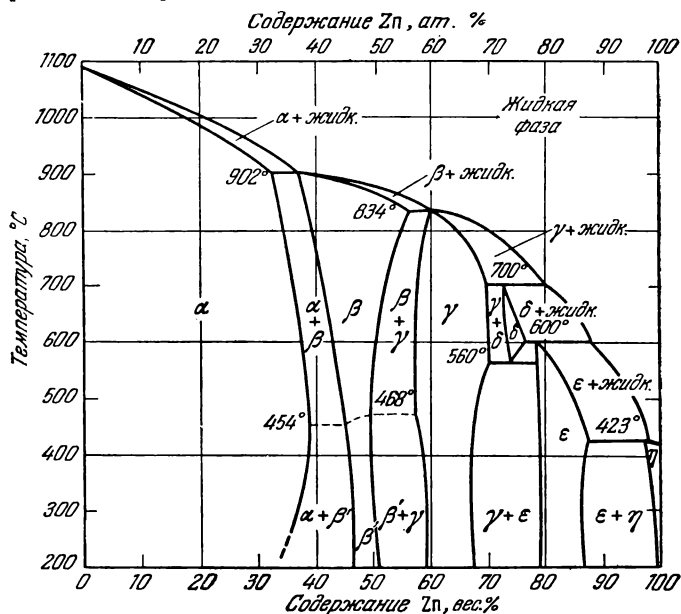


Рис. 6.22. Фазовая диаграмма сплава Cu—Zn.

соединений приведены в табл. 6.3 (при вычислениях использованы обычно приписываемые указанным металлам значения химической валентности).

Таблица 6.3

Средняя концентрация валентных электронов (на атом)
в электронных соединениях

Сплав	Граница, α -фаза	Граница, β -фаза *)	Граница, γ -фаза *)	Граница, ϵ -фаза
Cu — Zn	1,38	1,48	1,58—1,66	1,78—1,87
Cu — Al	1,41	1,48	1,63—1,77	
Cu — Ga	1,41			
Cu — Si	1,42	1,49		
Cu — Ge	1,36			
Cu — Sn	1,27	1,49	1,60—1,63	1,73—1,75
Ag — Zn	1,38		1,58—1,63	1,67—1,90
Ag — Cd	1,42	1,50	1,59—1,63	1,65—1,82
Ag — Al	1,41			1,55—1,80

*) Минимальные значения.

Правила Юм-Розери можно просто объяснить на основе зонной теории, пользуясь приближением почти свободных электронов. Джонс показал, что наблюдаемые границы α -фазы (гранецентрированная кубическая структура) соответствуют средней концентрации электронов, весьма близкой к $n = 1,36$, при которой сфера Ферми касается изнутри граничных поверхностей зоны Бриллюэна гранецентрированной кубической решетки. Известно, что в чистой меди (см. рис. 6.19) поверхность Ферми касается границ зон в середине гексагональных граней. Возможно, что при $n \approx 1,4$ имеет место контакт с квадратными гранями и что именно это обуславливает $\alpha \rightarrow \beta$ -превращение. Наблюдаемые значения средней концентрации электронов в β -фазе (объемноцентрированная кубическая структура) близки к значению $n = 1,48$, при котором сфера Ферми касается изнутри граничных поверхностей зоны Бриллюэна, соответствующей объемноцентрированной кубической решетке. Для γ -фазы, согласно Джонсу, сфера Ферми касается границ зоны при средней концентрации электронов $n = 1,54$. Касание в случае ϵ -фазы (гексагональная структура с плотной упаковкой) имеет место при $n = 1,69$, если отношение c/a имеет величину, соответствующую идеальной решетке.

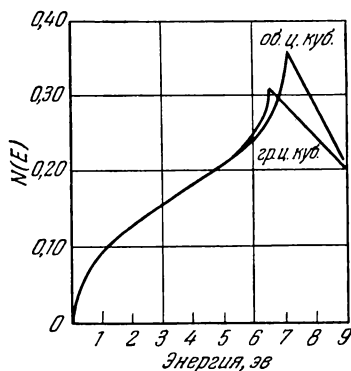


Рис. 6.23. Число состояний $N(E)$ на единицу энергетический интервал, как функция энергии для гранецентрированной и объемноцентрированной кубических решеток.

Таким образом, имеется, очевидно, тесная связь между средней концентрацией электронов, при которой появляется новая фаза, и средней концентрацией электронов, при которой поверхность Ферми касается граничных поверхностей зоны Бриллюэна. Наиболее общее объяснение этой связи состоит в том, что добавление электронов на уже заполненные уровни вблизи границ зоны невыгодно. Дополнительные электроны могут размещаться только на тех уровнях, которые расположены выше энергетической щели, характеризующей границу зоны, или же вблизи углов первой зоны. Число состояний как функция энергии вблизи углов заметно уменьшается. При этих условиях часто оказывается, что наиболее энергетически выгодным является изменение самой структуры кристалла, причем конечная структура будет одной из тех, которые помещают в себе большую поверхность Ферми. Тогда последовательность

Фаза	α	β	γ	ϵ
n	1,36	1,48	1,54	1,69

имеет вполне правдоподобное объяснение, так как значения n как раз соответствуют соприкосновениям сферы Ферми с границами зон соответствующих структур.

Переход гранецентрированной кубической структуры в объемноцентрированную кубическую иллюстрируется рис. 6.23, где приведена энергетическая зависимость числа состояний на единичный энергетический интервал для гранецентрированной и объемноцентрированной кубических структур. Из графика видно, что при возрастании числа электронов наивысшая точка достигается в случае объемноцентрированной кубической структуры, в которой, таким образом, легче разместить добавочные электроны.

В современной литературе по металловедению можно найти другие многочисленные примеры применения изложенных выше теоретических представлений к структурам, отличным от уже описанных.

ЭЛЕМЕНТЫ ПЕРЕХОДНЫХ ГРУПП

Для удобства мы приведем перечень элементов трех групп переходных металлов:

Sc	Ti	V	Cr	Mn	Fe	Co	Ni
Y	Zr	Nb	Mo	Tc	Ru	Rh	Pd
La	Hf	Ta	W	Re	Os	Ir	Pt.

Для всех переходных элементов в металлическом состоянии характерно наличие частично заполненной d -оболочки, а именно оболочки $3d$ для первой группы, $4d$ — для второй и $5d$ — для третьей. Несмотря на энергичные усилия физиков, об электронной структуре этих металлов имеется мало достоверных данных. Элементы Fe, Ni, Co, Pd и Pt изучены лучше остальных, может быть, потому, что эти пять металлов привлекали больший интерес из-за своих магнитных свойств.

Некоторые характерные свойства переходных металлов обусловлены перекрытием s -зоны проводимости и d -зоны, энергетически расположенной сразу под s -зоной. В переходных металлах d -зона обычно заполнена не целиком. Однако, прежде чем переходить к использованию этого факта, рассмотрим соотношение между зонами d и s в меди, у которой d -зона заполнена целиком. На рис. 6.24 изображена схема, вытекающая из рассмотрения зон меди, приведенного выше в начале настоящей главы.

Между вершиной d -зоны и поверхностью Ферми, лежащей в s -зоне, имеется широкая энергетическая щель. Имея в виду дальнейшие применения, полезно изобразить зоны разделенными на две равные части, каждая из которых отвечает одной из ориентаций спина электрона. На рис. 6.25 показана схема d -зоны меди, разделенной на две подзоны, в одной из которых спины электронов

направлены вверх, а в другой — вниз. Каждая подзона содержит пять электронов.

Теперь рассмотрим никель, имеющий в d -оболочке на один электрон меньше, чем медь. Никель — ферромагнетик и при абсолютном нуле имеет намагниченность насыщения, равную 0,6 магнетона

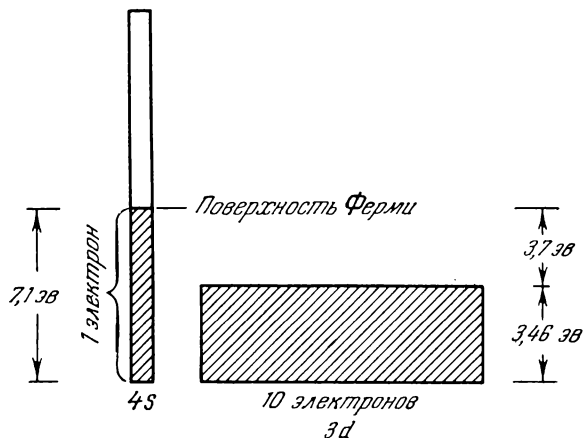


Рис. 6.24. Схема энергетических $4s$ - и $3d$ -зон в металлической меди.

В $3d$ -зоне размещается 10 электронов на атом: эта зона целиком заполнена; $4s$ -зона может содержать в среднем два электрона на атом; эта зона заполнена наполовину, поскольку медь имеет вне заполненной $3d$ -оболочки один валентный электрон. Приведенные значения энергий взяты из расчетов Хауэрса. Дно обеих зон оказалось на одном уровне, так как соответствующие энергии очень близки одна к другой.

Бора на атом. После введения необходимых поправок, учитывающих небольшой вклад в намагниченность от орбитальных моментов электронов, следует считать, что никель при насыщении имеет 0,54 электрона на атом, причем спины ориентированы преимущественно в одном направлении. Стонер показал, что дробность числа магнетонов на атом при насыщении можно интерпретировать на основе зонной теории.

В случае никеля мы должны разместить 10 электронов вне заполненных внутренних оболочек. Если мы распределим эти 10 электронов так, как показано на схеме рис. 6.26, то мы естественным путем можем объяснить наблюдаемое значение намагниченности насыщения. При таком распределении обеспечивается должный магнитный момент, и при этом в $4s$ -зоне остается в среднем 0,54 электрона. Энергетическое расщепление $3d$ -зоны на две подзоны является результатом обменного взаимодействия, которое будет рассмотрено в гл. 8. Когда металл нагревают выше точки Кюри, дырки распределяются

поровну между подзонами, обменное взаимодействие подавляется тепловыми эффектами, и самопроизвольная намагниченность исчезает. На рис. 6.27 схематически показано, какая картина будет иметь место в никеле выше точки Кюри.

В нашем распределении электронов по подзонам в схеме на рис. 6.26 имеется некоторый произвол, так как мы можем перенести электроны из обеих d -подзон в s -зону; при этом возьмем из одной подзоны на 0,54 электрона больше, чем из другой.

Доказательством того, что наша конкретная схема может отвечать реальным условиям, осуществ-

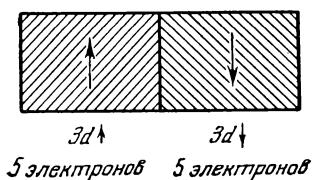


Рис. 6.25. Заполненная $3d$ -зона меди, изображенная в виде двух отдельных подзон с противоположной ориентацией спинов. В каждой подзоне содержится по пять электронов. Поскольку каждая подзона заполнена целиком, то суммарный спин $3d$ -зоны (и, следовательно, результирующая намагниченность) равен нулю.

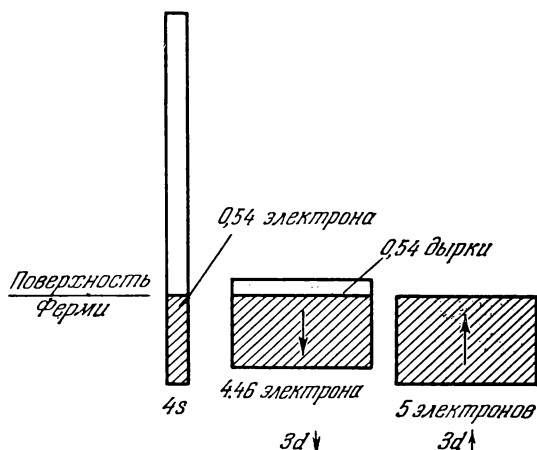


Рис. 6.26. Схемы энергетических зон в никеле при абсолютном нуле.

Энергии $3d$ -подзон (с противоположной ориентацией спинов) различаются на величину энергии обменного взаимодействия. Подзона со спинами, направленными вверх, заполнена целиком; подзона со спинами, направленными вниз, содержит в среднем 4,46 электрона и 0,54 дырки. Обычно считают, что $4s$ -зона при этом содержит примерно равное число электронов со спинами противоположных ориентаций, и поэтому нет необходимости делить $4s$ -зоны на подзоны. Результирующий магнитный момент величиной $0,54 \mu_B$ на атом создается избытком спинов в правой подзоне по сравнению с левой. Часто удобнее говорить о намагниченности, создаваемой дырками в левой подзоне, число которых в среднем равно 0,54.

вляющимся в никеле, может служить экспериментальная зависимость, приведенная на рис. 6.28. Этот график показывает, как изменяется число неспаренных электронов на атом при постепенном добавлении меди в никель. Поскольку мы добавляем медь, то каждый атом меди приносит в систему один дополнительный электрон. Плотность состояний в d -зоне можно считать примерно в 10 раз большей, чем в s -зоне, поэтому по крайней мере 90% избыточных электронов попадет в d -зону, и менее 10% в s -зону. Наблюдаемое число магнетонов Бора, как видно из рис. 6.28, обращается в нуль примерно при 60 ат. % меди. Попытаемся выяснить, что происходит при добавлении меди. При указанной концентрации мы уже добавили примерно 0,54

электрона в d -зону и 0,06 электрона в s -зону. Однако 0,54 электрона, добавленных в d -зону, согласно схеме рис. 6.26 как раз

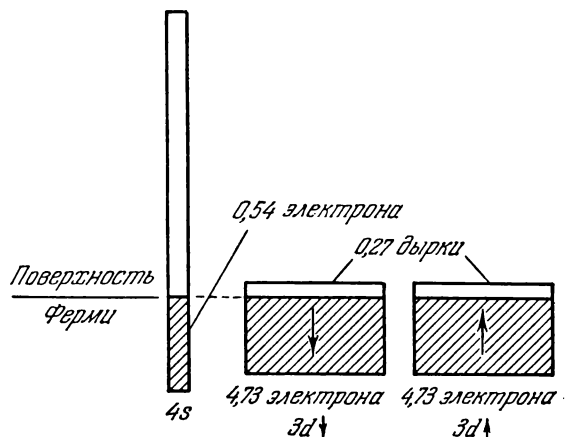


Рис. 6.27. Схема энергетических зон в никеле выше точки Кюри. Результирующий магнитный момент равен нулю, поскольку число дырок в подзонах с противоположной ориентацией спинов одинаково.

заполняют обе d -подзоны и дадут нулевую намагниченность в блестящем согласии с экспериментом.

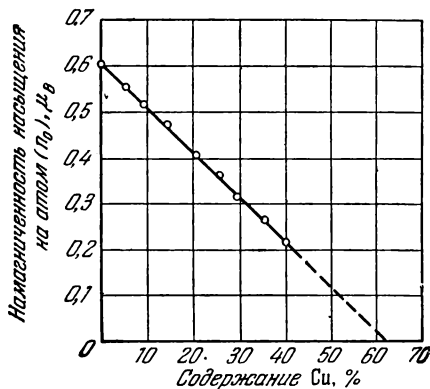


Рис. 6.28. Намагниченность насыщения (среднее число магнетонов Бора на атом) системы сплавов NiCu как функция содержания никеля.

плотностей состояний позволяет сделать качественное заключение, что ферромагнитные переходные металлы должны иметь большие значения

Для простоты на приведенных выше схемах плотность состояний изображена как однородная функция энергии. В действительности же плотность состояний может быть далеко не однородной. Это иллюстрируется расчетами Костера для никеля (рис. 6.29). Ширина зоны равна примерно 2,8 эв. Мы видим, что d -зона характеризуется большой плотностью состояний: в пределах около 3 эв располагаются 10 электронов, тогда как в s -зоне имеется только один электрон в интервале около 7 эв. Средняя плотность состояний в d -зоне примерно в 20 раз больше, чем в s -зоне. Это соотношение

электронной теплоемкости и парамагнитной восприимчивости по сравнению с одновалентными металлами.

Есть основания считать, что у палладия распределение электронов аналогично распределению у никеля. При комнатной температуре

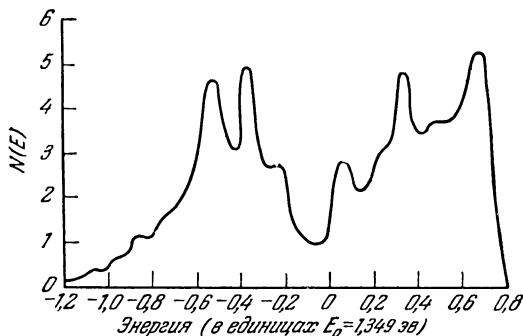


Рис. 6.29. Плотность состояний $N(E)$ в d -зонах никеля как функция энергии E (в единицах $E_0 = 1,349$ эв). (Из работы Костера [14].)

у палладия схема распределения электронов сходна с приведенной на рис. 6.27 для никеля выше точки Кюри; отличие состоит в том, что вместо $4s$ -зоны мы имеем $5s$ -зону, а вместо $3d$ -зоны — $4d$ -зону. Уменьшение магнитной восприимчивости металлического палладия при растворении в нем водорода показано на рис. 6.30.

Водород при растворении в палладии, по-видимому, ионизуется, и освободившиеся электроны распределяются в зонах палладия точно так же, как валентные электроны меди распределяются в зонах никеля. При этом имеет место диффузия протонов в решетке металла. Эксперименты по протонному резонансу подтверждают эти представления. Когда в среднем добавлено 0,6 электрона на атом, $4d$ -зона заполняется, и дальнейшее повышение содержания водорода не дает заметного эффекта. Парамагнитная восприимчивость может быть

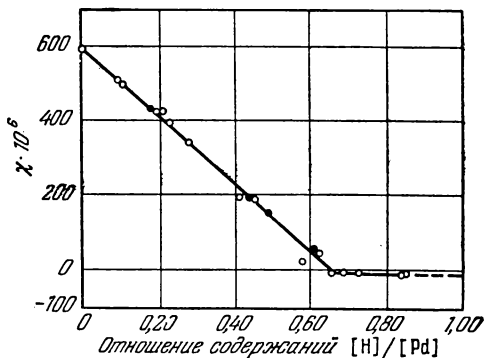


Рис. 6.30. Изменение молярной магнитной восприимчивости палладия в зависимости от количества растворенного в нем водорода.

большой лишь до тех пор, пока d -зоны не заполнены целиком, поскольку d -зоны характеризуются большой плотностью состояний.

Средние значения атомного момента бинарных сплавов элементов группы железа в зависимости от концентрации электронов приведены на рис. 6.31. Главная последовательность сплавов, расположенных вдоль правой нисходящей ветви приведенной кривой, следует сформулированному выше простому правилу, но по мере уменьшения

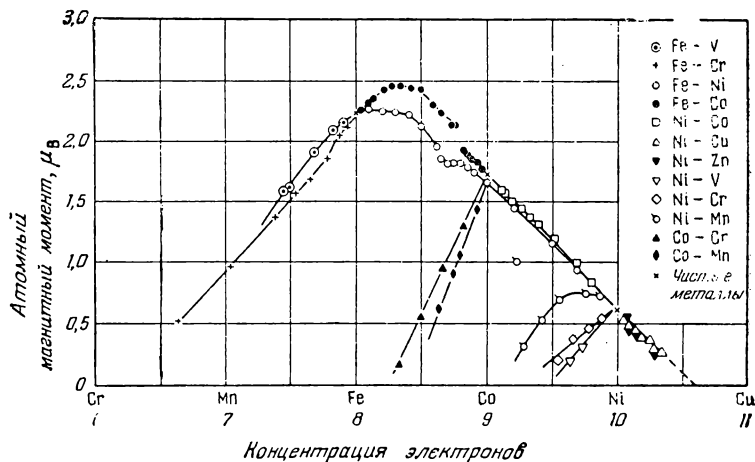


Рис. 6.31. Средние атомные магнитные моменты бинарных сплавов элементов группы железа (по Бозорту).

концентрации электронов достигается точка, ниже которой ни одна из $3d$ -подзон не будет целиком заполненной.

Рассмотрим кратко еще вопрос о проводимости переходных металлов. На первый взгляд кажется, что наличие d -зоны, которая наряду с s -зоной может обеспечивать процессы переноса, должно увеличивать проводимость. Однако оказывается, что это не так. Ниже приводятся значения сопротивления при 18°C трех переходных металлов (Ni, Pd и Pt) и трех благородных металлов (Cu, Ag, Au), следующих за ними в периодической системе элементов:

Ni	Pd	Pt
7,4	10,8	10,5
Cu	Ag	Au
1,7	1,6	2,2

Значения сопротивления приведены в единицах $\text{мком} \cdot \text{см}$ при 18°C . Очевидно, что сопротивление указанных переходных металлов при-

мерно в пять раз больше, чем у соответствующих благородных. Считают, что большое сопротивление переходных металлов обусловлено столкновениями, при которых происходит рассеяние s -электронов в d -зону, причем этот механизм рассеяния добавляется к обычному, который имеет место в тех случаях, когда d -зона заполнена частично.

Низкая сжимаемость переходных металлов, по-видимому, является следствием перекрытия d -оболочек, хотя удовлетворительной квантовой теории этого явления еще не создано. Таким образом, хотя элементы первой переходной группы можно назвать механической основой современной цивилизации, мы пока что лишь весьма неудовлетворительно можем объяснить их свойства.

ПРОЦЕССЫ УПОРЯДОЧЕНИЯ¹⁾

Хотя вопросы упорядочения в сплавах не поддаются простой интерпретации на основе зонной теории, мы считаем наиболее удобным рассмотреть их именно здесь. Примером упорядочивающихся сплавов

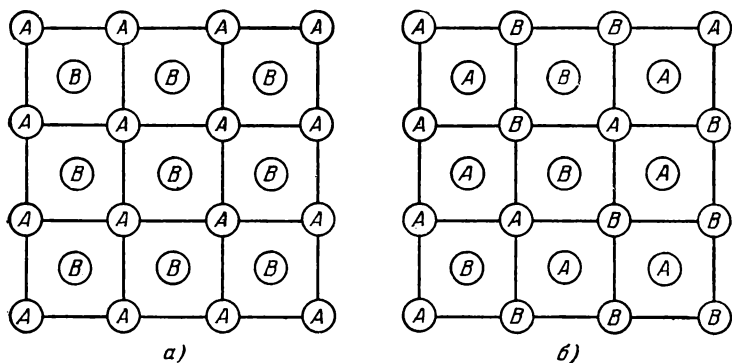


Рис. 6.32. Упорядоченное (а) и неупорядоченное (б) расположение ионов А и В в сплаве АВ.

может служить система $\text{Cu}—\text{Zn}$, фазовая диаграмма которой приведена на рис. 6.22; горизонтальные пунктирные линии на диаграмме указывают точку Кюри упорядочения этих сплавов.

Рассмотрим бинарный сплав AB , состоящий из атомов металлов A и B в одинаковом количестве. Сплав называется *упорядоченным*, если атомы A и B распределены по узлам решетки в определенном порядке по отношению друг к другу, как показано на рис. 6.32, а. Сплав называется *неупорядоченным*, если атомы A и B распределены по узлам случайным образом, например, как показано

¹⁾ См. обзоры Никса и Шокли [15], Липсона [16], Мута и Такаги [17].

на рис. 6.32, б. Многие свойства сплавов чувствительны к степени порядка. Обычно упорядоченным расположением называют такое, при котором каждый атом, скажем, B , имеет своими ближайшими соседями только атомы A , и наоборот. Такое расположение имеет место, когда доминирующим видом взаимодействия между атомами является сильное притяжение между атомами A и B . Если же разнородные атомы «избегают» друг друга, то образуется двухфазная система.

Считается, что полное упорядочение достигается лишь при абсолютном нуле; по мере повышения температуры степень упорядочения

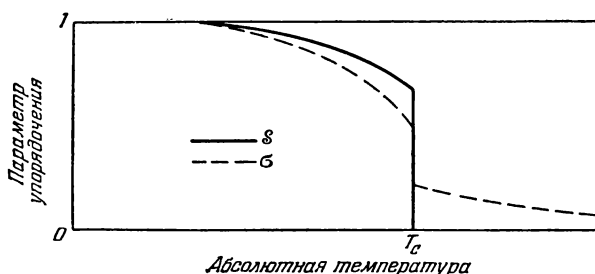


Рис. 6.33. Зависимость от температуры параметров дальнего (S) и ближнего (σ) порядка для сплава типа AB_3 (из статьи Никса и Шокли [15]).

уменьшается вплоть до температуры превращения, выше которой устанавливается полностью разупорядоченное состояние. Выражаясь более точно, температурой превращения называют температуру, при которой исчезает *дальний порядок*, т. е. порядок на расстояниях, во много раз превышающих межатомное, но при этом *ближний порядок*, т. е. корреляция в положениях ближайших соседей, может сохраняться и выше температуры перехода. Качественное графическое представление зависимости равновесной степени порядка от температуры дано на рис. 6.33 (изменение дальнего порядка изображено сплошной линией, изменение ближнего порядка — пунктирной).

Если сплав быстро охладить (закалить) от высокой температуры до температуры ниже точки перехода, то может возникнуть метастабильное состояние, в котором структура сохранила «замороженной» неравновесную разупорядоченность. Упорядоченная структура в образце может быть сделана разупорядоченной при данной температуре в результате облучения тяжелыми ядерными частицами.

Степень порядка можно экспериментально исследовать несколькими методами; наиболее мощными являются рентген-дифракционные (рис. 6.34).

Разупорядоченная структура, показанная на рис. 6.32, *б*, будет давать дифракционные линии в тех же местах, что и в том случае, когда все узлы решетки заняты атомами одного типа, так как эффективная рассеивающая способность для каждой из плоскостей равна средней рассеивающей способности атомов *A* и *B*. Упорядоченная структура типа приведенной на рис. 6.32, *а* дает дополнительные дифракционные линии, которые не наблюдаются в случае неупорядоченной структуры. Эти дополнительные линии называют линиями сверхструктуры; они характеризуют дифракцию на подрешетках атомов *A* и атомов *B* по отдельности. Так, например, упорядоченный сплав $\text{Cu} - \text{Zn}$ имеет структуру хлористого цезия с атомами, расположенными в объемноцентрированной кубической решетке. Такую

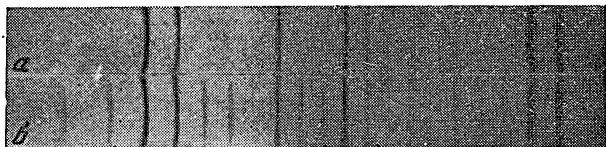


Рис. 6.34. Дебаеграмма порошкового образца сплава Cu_3Al . *а* — неупорядоченная структура, зафиксированная закалкой от $T > T_c$; *б* — упорядоченная структура, полученная в результате отжига при некоторой температуре $T < T_c$ (по Барретту).

решетку можно представить себе как две простые кубические решетки, вдвинутые одна в другую, причем одна из решеток построена из атомов Cu , а другая — из атомов Zn . Например, объемноцентрированная решетка, состоящая из атомов одного типа, не дает дифракционных линий от плоскостей (100), так как отражения от атомов в центрах элементарных кубов смещены по фазе на 180° и гасят отражения от граней куба. Это говорит нам, что форм-фактор $\mathcal{S}\{100\} = 0$, как уже указывалось в гл. 2. Тот же результат имеет место и для разупорядоченной объемноцентрированной структуры, однако в упорядоченной объемноцентрированной структуре амплитуды отражений от центров элементарных кубов будут, вообще говоря, отличаться от амплитуд отражений от граней кубов; теперь гашение будет неполным, и мы будем иметь линии сверхструктуры от плоскостей (100).

Сопротивление (рис. 6.35) в упорядоченном состоянии меньше, чем в неупорядоченном, как и следовало ожидать согласно теории рассеяния электронов. Теплоемкость обнаруживает аномалию вблизи точки превращения (рис. 6.36). Аномалия связана с избытком внутренней энергии, требующимся для разрушения упорядочения в структуре.

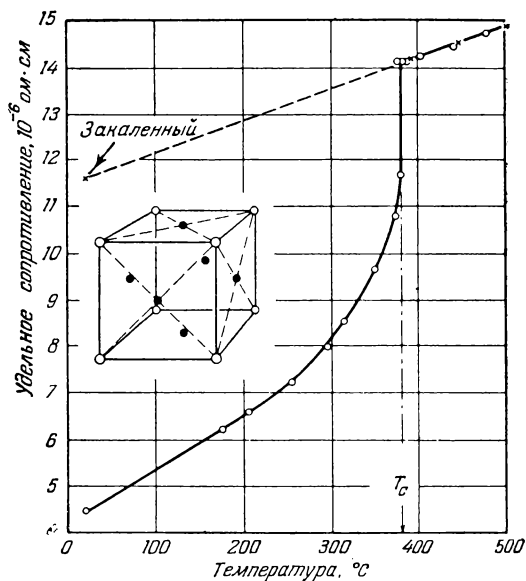


Рис. 6.35. Зависимость электросопротивления сплава Cu_3Au от температуры (из статьи Никса и Шокли [15]). Равновесному состоянию сплава отвечают температуры выше 350°C .

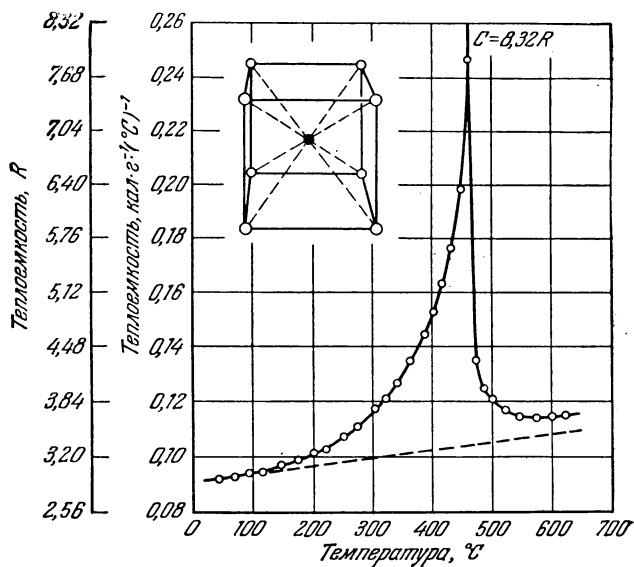


Рис. 6.36. Зависимость теплоемкости сплава $\text{Cu}-\text{Zn}$ (β -латунь) от температуры (из статьи Никса и Шокли [15]).

Ферромагнитные свойства сплавов также могут быть чувствительны к упорядочению. В некоторых случаях (примером может служить сплав Ni_3Mn) в неупорядоченном состоянии сплав обнаруживает слабые ферромагнитные свойства, а в упорядоченном ферромагнетизм проявляется весьма сильно.

ЗАДАЧИ

6.1. В случае анизотропного кристалла энергию как функцию компонент волнового вектора можно представить в виде

$$E = a_x k_x^2 + a_y k_y^2 + a_z k_z^2.$$

Найти уравнение движения, соответствующее ньютоновскому уравнению $\mathbf{F} = m d^2 \mathbf{r} / dt^2$.

6.2. Показать, что угловая частота вращения электрона, имеющего энергию

$$E_k = \frac{\hbar^2 k^2}{2m^*},$$

в магнитном поле H равна

$$\omega_c = \frac{eH}{m^*c}.$$

6.3. Определить, какой вид имеет первая зона Бриллюэна для простой кубической решетки.

6.4. Построить графически первые две зоны Бриллюэна для двумерной простой прямоугольной решетки с межатомными расстояниями a и b (в случае, когда $b = 3a$).

6.5. а) Показать, что для двумерной простой квадратной решетки кинетическая энергия свободного электрона в угле первой зоны вдвое больше, чем в середине боковой стороны зоны.

б) Каково соответствующее различие в случае трехмерной простой кубической решетки (угол и центр боковой поверхности зоны)?

в) Как могут быть связаны аналогичные соотношения для энергий в разных точках зоны с проводимостью двухвалентных металлов?

6.6¹⁾. Энергию связи кристалла щелочного металла грубо приближенно можно трактовать как кулоновскую энергию положительных зарядов, расположенных в объемноцентрированной решетке и погруженных в однородную отрицательно заряженную среду электронов проводимости. По более точной теории кулоновскую энергию подобной модели можно получить, вычисляя энергию электростатического взаимодействия точечных положительных зарядов $+|e|$ и отрицательных зарядов $-|e|$, однородно распределенных внутри объема s -сферы. Та часть этой энергии, которая обусловлена отталкиванием одноименных зарядов, является энергией электростатического

¹⁾ Эта задача довольно сложна, но вместе с тем поучительна.

взаимодействия электронов друг с другом и кинетической энергией электронного газа.

а) Показать, что электростатическая энергия

$$E_c = -\frac{9e^2}{10r_0},$$

и что часть ее, равная

$$-\frac{3}{2} \frac{e^2}{r_0},$$

обусловлена взаимодействием точечных зарядов с электронами в указанном распределении, а оставшаяся часть

$$\frac{3e^2}{5r_0}$$

обусловлена взаимодействием электронов друг с другом.

б) Показать, что средняя кинетическая энергия электрона при 0° К

$$\bar{E}_0 = \frac{3}{10} \frac{\hbar^2}{m^*} \left(\frac{9\pi}{4} \right)^{2/3} \frac{1}{r_0^2}.$$

в) Полная энергия системы $E = \bar{E}_0 + E_c$ есть функция r_0 . Найти ее минимум как функции r_0 . Оценить величины E и r_0 в состоянии равновесия в предположении, что $m = m^*$, и сравнить с наблюдаемым значением энергии связи и параметра решетки для натрия. Производя это сравнение, добавить к энергии связи энергию ионизации атома натрия.

г) Вычислить сжимаемость.

6.7. Пользуясь данными, имеющимися в книгах, рекомендованных к настоящей главе, определить объемные факторы и концентрационные границы твердых растворов металлов низкой валентности для следующих систем сплавов: Ag — Mg, Ag — Zn, Ag — Al, Cu — Mg, Cu — Al, Cu — Si, Cu — Pb, Cu — Bi.

6.8. Вычислить для составной зоны идеального гексагонального кристалла с плотной упаковкой концентрацию электронов, при которой сфера Ферми касается: а) граней зон (границ типа *B* на рис. 6.17), пересекающихся с главной гексагональной осью, б) боковых граней первой зоны в положении *A* (см. рис. 6.17).

6.9. Показать, что когда концентрация электронов равна N_e , а концентрация дырок равна N_h , то коэффициент Холла равен

$$\frac{1}{ec} \left[\frac{N_e b^2 - N_h}{(N_e b + N_h)^2} \right],$$

где $b = \mu_e/\mu_h$ — отношение подвижностей.

6.10. а) Пользуясь кривой на рис. 6.23, оценить величину электронной теплоемкости никеля. Сравнить полученное значение с наблюдаемым на опыте.

б) Каково значение средней эффективной массы, соответствующей полученному в п. а) значению теплоемкости, если считать, что каждый атом дает вклад в зону в среднем в количестве 0,6 электрона?

6.11. В сплаве Cu_3Au (75% Cu, 25% Au), который упорядочивается ниже 400°C , атомы золота занимают узлы 0 0 0, а атомы меди — узлы $1/2\ 1/2\ 0$, $1/2\ 0\ 1/2$, $0\ 1/2\ 1/2$ (гранецентрированная решетка). Написать индексы рентгеновских отражений, которые появятся, когда сплав перейдет из неупорядоченного состояния в упорядоченное. Перечислить все новые отражения с индексами, меньшими и равными 3. Можно ли сформулировать общее правило для индексов дополнительных отражений?

ГЛАВА 7

ФИЗИКА ПОЛУПРОВОДНИКОВ И ПОЛУПРОВОДНИКОВЫЕ УСТРОЙСТВА

К полупроводникам относят электронные проводники, сопротивление которых при комнатной температуре лежит в интервале от $\sim 10^{-2}$ до $\sim 10^9$ ом \cdot см. Таким образом, полупроводники по величине сопротивления находятся между хорошими проводниками ($\sim 10^{-6}$ ом \cdot см) и изоляторами (от $\sim 10^{14}$ до $\sim 10^{22}$ ом \cdot см).

При абсолютном нуле чистые и идеальные кристаллы большинства полупроводников должны вести себя как изоляторы; их характерные полупроводниковые свойства обнаруживаются при тепловом возбуждении, при наличии примесей или дефектов решетки. Многочисленные полупроводниковые устройства, имеющие широкое промышленное применение, основаны на свойствах, присущих полупроводникам. К таким устройствам относятся полупроводниковые выпрямители, модуляторы, детекторы, термисторы, фотоэлементы и кристаллические триоды (транзисторы).

В настоящей главе будут описаны основные физические характеристики полупроводниковых кристаллов и принципы работы полупроводниковых выпрямителей и кристаллических триодов (транзисторов). Основное внимание будет уделено германию и кремнию, поскольку в настоящее время их свойства изучены, по-видимому, лучше всего. Имеются и другие важные полупроводниковые вещества; к ним относятся закись меди Cu_2O , селен, теллурид свинца PbTe , сульфид свинца PbS , карбид кремния SiC и антимонид индия InSb .

СОБСТВЕННАЯ ПРОВОДИМОСТЬ

Если исключить область очень низких температур, полупроводники высокой степени чистоты часто обнаруживают так называемую *собственную проводимость*, которую следует отличать от *примесной проводимости* менее чистых образцов. Мы введем в связи с этим еще понятие *температурной области собственной проводимости* как области температур, где наличие в кристалле примесей существенно не влияет на электрические свойства полупроводника.

На рис. 7.1 приведена схема электронных энергетических зон, объясняющая возникновение собственной проводимости. Мы предпо-

лагаем, что при абсолютном нуле полупроводник обладает пустой зоной проводимости, отделенной от заполненной валентной зоны энергетической щелью E_g . По мере возрастания температуры в результате теплового возбуждения электроны переходят из валентной

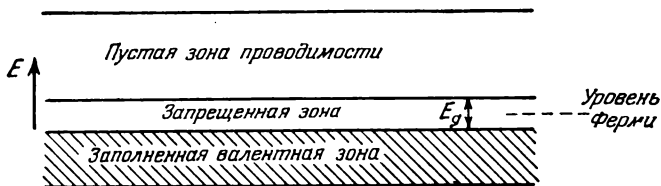


Рис. 7.1. Схема энергетических зон, поясняющая явление собственной проводимости.

При абсолютном нуле проводимость отсутствует. Все состояния валентной зоны заполнены; все состояния зоны проводимости свободны. По мере увеличения температуры проводимость увеличивается вследствие теплового возбуждения электронов, приводящего к переходу этих электронов в зону проводимости, где они могут двигаться.

зоны в зону проводимости. Как электроны в зоне проводимости, так и дырки, образовавшиеся в результате ухода электронов из валентной зоны, будут являться носителями тока и давать свой вклад в величину проводимости (рис. 7.2).

При температурах, лежащих ниже области собственной проводимости, электрические свойства полупроводника определяются примесями, и в таком случае говорят о примесной, или «несобственной» (extrinsic), проводимости.

Чтобы вычислить собственную проводимость при данной температуре T , мы должны прежде всего найти равновесную концентрацию электронов в зоне проводимости n_e , которая в условиях, когда доминирует собственная проводимость, равна концентрации дырок в валентной зоне n_h . Мы должны также знать подвижность μ , т. е. отношение дрейфовой скорости к величине электрического поля для обоих типов носителей тока, т. е. подвижность электронов μ_e и дырок μ_h . Тогда, в соответствии с введенными выше определениями, для проводимости σ можно написать

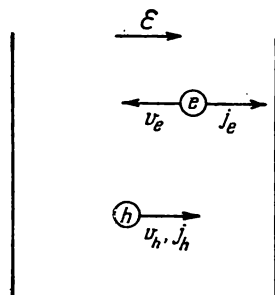


Рис. 7.2. Движение электронов (e) и дырок (h) в электрическом поле \mathcal{E} . Показаны направления скорости (v) и тока (j).

$$\sigma = |e| (n_e \mu_e + n_h \mu_h). \quad (7.1)$$

Для удобства численным значениям подвижностей μ_e и μ_h приписывается положительный знак; следует, однако, помнить, что направление дрейфовой скорости электронов противоположно полю, а дырок — совпадает с полем (см. рис. 7.2).

Есть основания предположить, что температурная зависимость концентрации электронов в зоне проводимости имеет вид $e^{-E/kT}$.

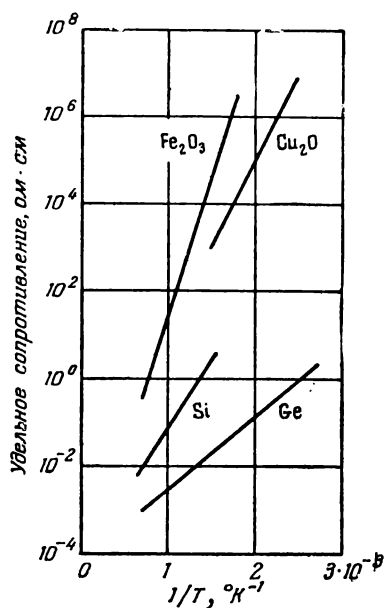


Рис. 7.3. Графики зависимости $\ln \rho$ от $1/T$ для некоторых полупроводников в области собственной проводимости (по Беккеру).

мости при данной температуре T . В физике полупроводников энергию E_F называют *уровнем Ферми*, или химическим потенциалом. Энергию E мы будем отсчитывать от потолка валентной зоны (см. рис. 7.1). При низких температурах можно предположить, что

$$E - E_F \gg kT,$$

поэтому функция распределения Ферми — Дирака примет вид

$$f \cong e^{(E_F - E)/kT}. \quad (7.4)$$

Величина f дает вероятность того, что электронное состояние в зоне проводимости будет занято.

Поскольку мало вероятно, что подвижность будет столь же сильно зависеть от температуры, можно ожидать, что собственная проводимость изменяется с температурой, как $e^{-E/kT}$ (и, следовательно, сопротивление ρ , как $e^{E/kT}$). Если энергию E принять равной $E_g/2$ (E_g — ширина энергетической щели между зонами), то можно написать:

$$\rho = A e^{E_g/2kT}; \quad (7.2)$$

отсюда

$$\ln \rho = \ln A + \frac{E_g}{2kT}. \quad (7.3)$$

Эта формула предсказывает, что в области собственной проводимости $\ln \rho$ можно приближенно считать линейной функцией от $1/T$. Как видно из рис. 7.3, эксперимент подтверждает эту зависимость.

Теперь, пользуясь величиной энергии Ферми E_F , подсчитаем число электронов, переходящих в результате возбуждения в зону проводимости

Если предположить, что электроны в зоне проводимости ведут себя как свободные, то плотность состояний в зоне проводимости можно принять равной плотности состояний для свободных электронов, считая, что их энергия соответствует дну зоны. Тогда согласно (5.48) число состояний с энергией в интервале между E и $E + dE$ на единицу объема равно

$$g_e(E) dE = \frac{1}{2\pi^2} \left(\frac{2m_e}{\hbar^2} \right)^{3/2} (E - E_g)^{1/2} dE, \quad (7.5)$$

где m_e — эффективная масса электрона в зоне проводимости.

Здесь все энергии отсчитываются относительно потолка валентной зоны. Используя (7.4) и (7.5), получим для числа электронов в зоне проводимости на единицу объема

$$\begin{aligned} N_e &= \int_{E_g}^{\infty} g_e(E) f_e(E) dE = \\ &= \frac{1}{2\pi^2} \left(\frac{2m_e}{\hbar^2} \right)^{3/2} e^{E_F/kT} \int_{E_g}^{\infty} (E - E_g)^{1/2} e^{-E/kT} dE, \end{aligned} \quad (7.6)$$

или, выполнив интегрирование,

$$N_e = 2 \left(\frac{2\pi m_e kT}{h^2} \right)^{3/2} e^{(E_F - E_g)/kT}. \quad (7.7)$$

В проблемах такого характера определение уровня Ферми иногда может вызвать трудности; однако без нахождения этой величины мы не можем решить задачу. В данном случае полезно вычислить равновесную концентрацию дырок N_h . Функция распределения для дырок f_h связана с функцией распределения для электронов f_e соотношением

$$f_h = 1 - f_e, \quad (7.8)$$

поскольку каждой дырке отвечает какой-то создавший эту дырку электрон. Итак, имеем

$$f_h = 1 - \frac{1}{e^{(E - E_F)/kT} + 1} = \frac{1}{e^{(E_F - E)/kT} + 1};$$

отсюда, в случае, когда

$$E_F - E \gg kT,$$

получим

$$f_h \cong e^{(E - E_F)/kT}. \quad (7.9)$$

Если еще предположить, что дырки вблизи потолка валентной зоны ведут себя как свободные частицы с эффективной массой m_h , то

для плотности дырочных состояний будем иметь

$$g_h(E) dE = \frac{1}{2\pi^2} \left(\frac{2m_h}{h^2} \right)^{3/2} (-E)^{1/2} dE. \quad (7.10)$$

Напомним опять, что энергия здесь отсчитывается от потолка валентной зоны и считается положительной. Действуя далее тем же путем, как и ранее, для концентрации дырок в валентной зоне получаем

$$N_h = \int_{-\infty}^0 g_h(E) f_h(E) dE = 2 \left(\frac{2\pi m_h kT}{h^2} \right)^{3/2} e^{-E_F/kT}. \quad (7.11)$$

Перемножая выражения для N_h и N_e , получим для состояния равновесия полезное соотношение

$$N_e N_h = np = 4 \left(\frac{2\pi kT}{h^2} \right)^3 (m_e m_h)^{3/2} e^{-E_g/kT}. \quad (7.12)$$

Здесь мы ввели обозначения

$$n \equiv N_e, \quad p \equiv N_h,$$

в соответствии с обычными обозначениями для частиц — носителей тока в электрическом поле.

Отметим следующий важный факт, вытекающий из формулы (7.12): произведение концентраций электронов и дырок является величиной, постоянной для данного материала при фиксированной температуре. При введении примеси, повышающей, скажем, величину n , концентрация дырок p будет уменьшаться, так как произведение np должно оставаться постоянным. Следует подчеркнуть, что единственное предположение, сделанное при выводе этой формулы, состоит в том, что уровень Ферми E_F должен быть удален от краев обеих зон на расстояние, достаточно большое по сравнению с kT .

Для полупроводников с собственной проводимостью имеем $n = p$, поскольку каждая дырка образуется в результате теплового возбуждения электрона из валентной зоны. Таким образом, из формулы (7.12), введя индекс i для того, чтобы отметить тип проводимости (intrinsic — собственная), получим

$$n_i = p_i = 2 \left(\frac{2\pi kT}{h^2} \right)^{3/2} (m_e m_h)^{3/4} e^{-E_g/2kT}. \quad (7.13)$$

Эта формула показывает, что возбуждение экспоненциально зависит от $E_g/2kT$, где E_g — ширина запрещенной зоны. Приравнявая (7.7) и (7.11), т. е. полагая $N_e = N_h$, имеем

$$e^{2E_F/kT} = \left(\frac{m_h}{m_e} \right)^{3/2} e^{E_g/kT}, \quad (7.14)$$

или

$$E_F = \frac{1}{2} E_g + \frac{3}{4} kT \ln \frac{m_h}{m_e}. \quad (7.15)$$

Если $m_h = m_e$, то $E_F = E_g/2$, т. е. уровень Ферми лежит в середине запрещенной зоны.

Из формул (7.1) и (7.13) следует, что в области собственной проводимости электропроводность полупроводника описывается соотношением

$$\sigma_i = 2 |e| \left(\frac{2\pi kT}{h^2} \right)^{3/2} (m_e m_h)^{3/4} e^{-E_g/2kT} (n_e + n_h). \quad (7.16)$$

Поскольку подвижности зависят от температуры, по-видимому, по простому степенному закону во всей рассматриваемой области, то температурная зависимость электропроводности будет определяться экспоненциальной зависимостью, связанной с изменением концентрации носителей тока. Значения ширины энергетической щели для ряда веществ приведены в табл. 7.1. Большинство значений определено по графику линейной зависимости $\ln \sigma$ от $1/T$, отдельные значения — по длинноволновой границе оптического поглощения, обусловленной переходом электрона из валентной зоны в зону проводимости, сопровождаемым поглощением фотона. Если для энергии фотона $h\nu$ выполняется условие $h\nu \gg E_g$, то может иметь место сильное оптическое поглощение; если же $h\nu < E_g$, то поглощение обычно значительно слабее.

Таблица 7.1.

Значения ширины энергетической щели между валентной зоной и зоной проводимости в полупроводниках при комнатной температуре

Кристалл	E_g , эв	Кристалл	E_g , эв	Кристалл	E_g , эв
Алмаз	6	GaP	2,25	CdS	2,42
Si	1,10	α -Mg ₃ Sb ₂	0,82	CdSe	1,74
Ge	0,68—0,72	Ca ₂ Si	0,9	CdTe	1,45
Sn (серое)	0,08	Ca ₂ Sn	0,9	ZnSe	2,60
InSb	0,18	Ca ₂ Pb	0,46	AgI	2,80
InAs	0,33	ZnSb	0,56	Ag ₂ Te	0,17
InP	1,25	GaSb	0,78	Cu ₂ O	2,1
GaAs	1,4	PbS	0,34—0,37	Mg ₂ Si	0,7
AlSb	1,6—1,7	PbSe	0,27	Mg ₂ Ge	0,7
InSe	(1)	PbTe	0,30	Mg ₂ Sn	0,3

Подвижность в области собственной проводимости. Подвижность μ определяется как дрейфовая скорость, отнесенная к единице напряженности электрического поля. В идеальном полупроводнике

с собственной проводимостью величина подвижности определяется рассеянием на решетке, т. е. рассеянием электронных волн на колебаниях решетки. В реальных полупроводниках с собственной проводимостью всегда имеется некоторое количество примесных атомов, которые и обуславливают, в основном, рассеяние электронов при низких температурах, когда колебания решетки ослабевают, однако при высоких температурах преобладает рассеяние на колебаниях решетки.

Экспериментальные значения подвижности при комнатной температуре приведены в табл. 7.2. Для сравнения укажем, что для меди при комнатной температуре подвижность составляет $35 \text{ см}^2/\text{в} \cdot \text{сек}$.

Таблица 7.2

Подвижности носителей тока при комнатной температуре
(большинство приведенных значений обусловлено, по-видимому, рассеянием на колебаниях решетки)

Кристалл	Подвижность, $\text{см}^2/\text{в} \cdot \text{сек}$		Кристалл	Подвижность, $\text{см}^2/\text{в} \cdot \text{сек}$	
	электроны	дырки		электроны	дырки
Алмаз	1 800	1 200	GaSb	2 500—4 000	650
Si	1 600	400	PbS	600	200
Ge	3 800	1 800	PbSe	900	700
InSb	77 000	1 250	PbTe	17 000	—
InAs	23 000	~ 100	AgCl	50	—
InP	3 400	650			

Для большинства веществ приведенные в табл. 7.2 значения подвижностей обусловлены, вероятно, рассеянием на колебаниях решетки. Следует обратить внимание на то, что кристаллы с узкой энергетической щелью (см. табл. 7.1) имеют большие значения электронной подвижности. Дело в том, что узкая энергетическая щель приводит к малости эффективной массы; из теории же следует, что чем меньше эффективные массы, тем больше подвижности. Небольшие значения подвижностей, характерные для дырок в двухатомных кристаллах, по-видимому, связаны со сложной вырожденной формой энергетической поверхности в таких кристаллах в верхней части валентной зоны.

ПРИМЕСНАЯ, ИЛИ «НЕСОБСТВЕННАЯ», ПРОВОДИМОСТЬ

Некоторые примеси и некоторые виды дефектов решетки могут весьма существенным образом влиять на электрические свойства полупроводников. Например, добавление бора в кремний в количестве один атом бора на 10^5 атомов кремния увеличивает проводимость

чистого кремния в тысячу раз (при комнатной температуре). В сложных полупроводниках недостаток (по сравнению со стехиометрическим составом) одной из компонент может давать тот же эффект, что и примесь. Поэтому такие полупроводники, как закись меди или окись цинка, называют иногда полупроводниками с нарушенным стехиометрическим составом.

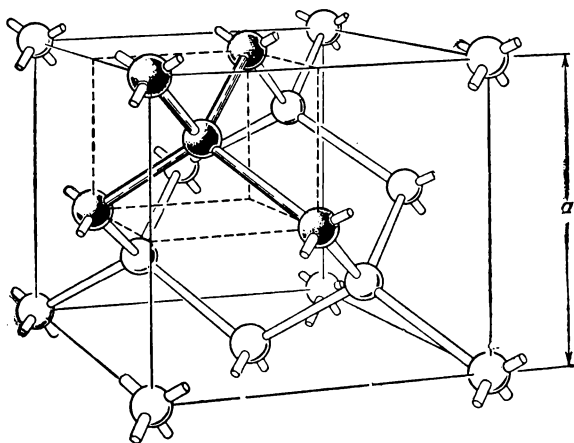


Рис. 7.4. Кристаллическая структура алмаза. Показано расположение тетрагональных связей. Ту же структуру имеют германий, кремний и серое олово. Многие двухатомные полупроводники имеют структуру цинковой обманки (ZnS), которую можно рассматривать как структуру алмаза, разложив ее на две гранецентрированные решетки, одна из которых составлена из катионов (Zn), а другая из анионов (S). (Из книги Шокли [1].)

Для примера рассмотрим влияние примесей на свойства кремния и германия. Эти элементы кристаллизуются в структуре алмаза (рис. 7.4). В такой структуре каждый атом обладает четырьмя ковалентными связями, на каждую из которых он присоединяет по одному атому из четырех его ближайших соседей. Эти связи расположены вдоль ребер тетраэдра, точно так же, как связи C—H в метане CH₄.

Если теперь добавить примесный атом с валентностью, равной пяти (например, атом фосфора, мышьяка, или сурьмы), то он займет в решетке место одного из основных атомов. При этом, когда четыре ковалентные связи реализуются на четырех ближайших соседях, примесный атом потеряет один валентный электрон; иначе говоря, внедрение примесного атома в решетку произойдет при наименьшем

возможном искажении структуры. Это схематически иллюстрируется на рис. 7.5, где показано, что в структуре появляется положительный заряд, связанный с введенным примесным атомом, который потерял один электрон (при этом появляется также и избыточный электрон). Измерения постоянной решетки и определение

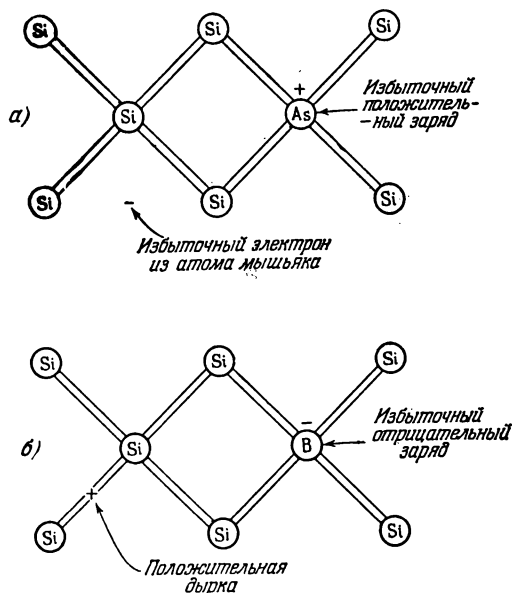


Рис. 7.5. Расположение зарядов при наличии в решетке кремния примесных атомов различных типов.

а—кремний *n*-типа. Примесными атомами являются атомы пятивалентного мышьяка, отдающие электроны, обуславливающие проводимость; *б*—кремний *p*-типа. Примесными атомами являются атомы трехвалентного бора. Проводимость осуществляется положительными дырками. Обозначение *n* относится к отрицательным носителям, *p*—к положительным. Атом мышьяка называется *донором*, потому что он при ионизации отдает электроны в зону проводимости. Атом бора называется *акцептором*, потому что он при ионизации присоединяет электрон из валентной зоны, создавая в ней дырку. Иначе говоря, ионизация, создающая дырку за счет атома-акцептора, сводится к добавлению к нему электрона. Положительная дырка возникает в одной из связей Si—Si, а покинувший это место электрон используется атомом бора для формирования своих тетраэдрических связей. С точки зрения проводимости здесь движущаяся дырка играет ту же роль, что и электрон в предыдущем случае.

плотности носителей тока подтверждают правильность описанной картины и показывают, что при введении пятивалентных атомов примеси в решетку они замещают основные атомы, а не размещаются в междоузлиях. Примесные атомы, которые способны ионизоваться, теряя при этом электрон, называют *донорами*.

Избыточный электрон движется в создаваемом примесным ионом кулоновском поле с потенциалом $e/\epsilon r$, где ϵ — диэлектрическая проницаемость среды. Множитель $1/\epsilon$ учитывает уменьшение величины

кулоновских сил, действующих между зарядами, обусловленное электронной поляризацией среды. Такая трактовка пригодна для орбит, достаточно больших по сравнению с расстоянием между атомами и для настолько медленных движений электронов, чтобы время прохождения электрона мимо атома было достаточно велико по сравнению с периодом обращения внутренних связанных электронов атома. Эти условия удовлетворяются для внешних электронов атомов Р, As, Sb при введении их в германий или кремний.

Теперь нам нужно вычислить энергию связи примесного атома — донора. В этом случае можно использовать боровскую теорию атома водорода, дополнив ее, во-первых, учетом диэлектрической проницаемости среды и, во-вторых, заменив массу электрона его эффективной массой в периодическом потенциальном поле решетки. Формально дело сводится лишь к замене e^2 на e^2/ε и m на m^* в соответствующих известных результатах указанной теории (см. ниже).

ПРИМЕСНЫЕ СОСТОЯНИЯ

Рассмотрим боровскую модель водородного атома, воспользовавшись «старой» квантовой теорией. Условие квантования имеет вид

$$\oint p \, dq = nh, \quad (7.17)$$

где n — главное квантовое число. Таким образом, для круговой орбиты имеем

$$(m^* r^2 \omega) (2\pi) = nh. \quad (7.18)$$

Полная энергия равна сумме кинетической и потенциальной энергий:

$$E = -\frac{e^2}{\varepsilon r} + \frac{1}{2} m^* r^2 \omega^2. \quad (7.19)$$

Условие равенства сил дает

$$m^* \omega^2 r = \frac{e^2}{\varepsilon r^2}. \quad (7.20)$$

Подставляя выражение для ω^2 из (7.18), получим для радиуса орбиты

$$r = \frac{\varepsilon n^2 \hbar^2}{e^2 m^*}. \quad (7.21)$$

Используя равенство (7.20), получим

$$E = -\frac{e^2}{2\varepsilon r}, \quad (7.22)$$

и, наконец, исключая r с помощью (7.21), для энергии примесных состояний будем иметь выражение

$$E = - \frac{e^4 m^*}{2\epsilon^2 \hbar^2 n^2}. \quad (7.23)$$

Эти выражения для E и r согласуются с полученными выше результатами. Они совпадают с результатами Бора, если в последних m заменить на m^* , а e^2 — на e^2/ϵ .

Применение этих формул к германию и кремнию затрудняется тем, что в кристаллах этих веществ эффективная масса электронов проводимости является анизотропной величиной. Этот вопрос будет рассмотрен позднее в разделе, посвященном циклотронному резонансу. Здесь мы отметим пока тот факт, что диэлектрическая проницаемость входит в выражение (7.23) в квадрате, а эффективная масса лишь в первой степени. Общее выражение для энергии примесных уровней можно получить, воспользовавшись усредненным значением анизотропной эффективной массы. Будем считать для электронов в германии $m^* \approx 0,12m$, а для электронов в кремнии $m^* \approx 0,25m$. Диэлектрическая проницаемость германия имеет величину 15,8, кремния — 11,7. Эти величины можно использовать с хорошей точностью от низких частот до частот, соответствующих энергии щели; таким образом, они пригодны и для рассматриваемой задачи, в которой частоты орбитального движения значительно меньше частоты, соответствующей энергии щели.

Потенциал ионизации свободного атома водорода равен 13,6 эв, и получается по формуле (7.23), если взять $\epsilon = 1$, $m^* = m$, $n = 1$. В случае германия потенциал ионизации для рассматриваемой модели будет меньше, чем у водорода, поскольку он умножается на фактор

$$\frac{m^*}{m\epsilon^2} = \frac{0,12}{250} = 4,8 \cdot 10^{-4},$$

т. е. будет равен

$$13,6 \cdot 4,8 \cdot 10^{-4} = 0,0065 \text{ эв.}$$

В случае кремния для той же величины мы получим 0,025 эв. Расчеты [2] — [4], проведенные при учете того, что эффективная масса анизотропна и является тензорной, а не скалярной величиной, дают следующие значения потенциала ионизации: 0,00905 эв для германия и 0,0298 эв для кремния. Дальнейшие уточнения для кремния рассматривали Латинджер и Кон. Наблюдаемые значения энергии ионизации доноров, в качестве которых брались атомы пятивалентных элементов, добавляемых в германий и кремний, приведены в табл. 7.3. Эти значения получены в основном из обработки тепловых данных, о которых будет идти речь ниже. Некоторые значения получены также из прямых измерений оптического поглощения. Заметим, что радиус первой боровской орбиты возрастает пропорционально $\epsilon m/m^*$

по сравнению с его значением для свободного атома водорода, равным $0,53 \text{ \AA}$. Соответствующий радиус для германия равен $132 \cdot 0,53 = 70 \text{ \AA}$; для кремния $47 \cdot 0,53 = 25 \text{ \AA}$.

Таблица 7.3

**Энергия ионизации доноров (примесных атомов
пятивалентных элементов) в германии и кремнии**
(значения энергии даны в электрон-вольтах)

Вещество	P	As	Sb
Кремний	0,045	0,049—0,056	0,039
Германий	0,0120	0,0127	0,0096

Подобно тому как электрон связан с примесным атомом пятивалентного элемента, дырка может быть связана с примесным атомом трехвалентного элемента в германии или кремнии. Эти два случая сопоставлены схематически на рис. 7.5. Типичными примерами трехвалентных примесей могут служить B, Al, Ga и In. Такие примесные атомы называют *акцепторами*, поскольку они могут захватывать электроны из валентной зоны, создавая в ней дырки. Задача об акцепторах в принципе аналогична задаче о донорах, хотя формирование наглядных модельных представлений в этом случае требует от читателя некоторого усилия. Экспериментальные значения энергии ионизации акцепторов в германии и кремнии приведены в табл. 7.4. Легко видеть, что в случае акцепторов энергии ионизации не очень сильно отличаются от энергий ионизации доноров. Применение к дыркам эквивалентной боровской модели в принципе проходит так же, как и для электронов, за исключением того, что в германии и кремнии имеет место, как мы далее увидим, орбитальное вырождение в верхней части валентной зоны, которое невероятно усложняет теоретическое рассмотрение.

Таблица 7.4

**Энергия ионизации акцепторов (примесных атомов
трехвалентных элементов) в германии и кремнии**
(значения энергии даны в электрон-вольтах)

Вещество	B	Al	Ga	In
Кремний	0,045	0,057—0,067	0,065—0,071	0,16
Германий	0,0104	0,0102	0,0108	0,0112

Беглое сопоставление данных, приведенных в табл. 7.3 и 7.4, показывает, что энергии ионизации доноров и акцепторов по порядку

величины близки к kT при комнатной температуре ($kT = 0,026$ эв). Поэтому можно ожидать, что тепловая ионизация донорных и акцепторных примесей будет существенно сказываться при комнатной температуре на электропроводности германия и кремния.

Если количество донорных примесей значительно больше, чем акцепторных, то тепловая ионизация доноров будет поставлять электроны в зону проводимости, и проводимость образца будет определяться электронами (отрицательными зарядами). В этом случае говорят, что данный материал относится к n -типу. Если же преобладают акцепторы, т. е. в валентной зоне образуются преимущественно дырки (положительные заряды), то проводимость будет определяться в основном ими, и тогда материал относят к p -типу. Напомним, что

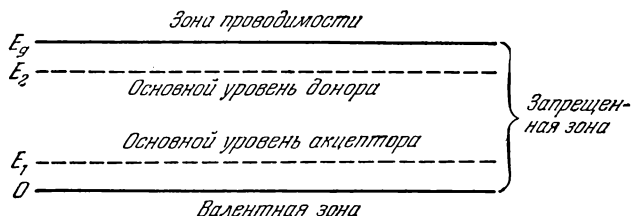


Рис. 7.6. Схема энергетических уровней, показывающая расположение неионизованных основных состояний доноров и акцепторов. Естественно считать, что электроны стремятся «погрузиться», а дырки «всплыть». Энергия ионизации доноров равна $E_g - E_2$, энергия ионизации акцепторов равна E_1 .

в отсутствие примесей число дырок равно числу электронов, и материал описывается как обладающий собственной проводимостью. Концентрация электронов при собственной проводимости, обозначенная ранее через n_i , составляет для германия $2,5 \cdot 10^{13} \text{ см}^{-3}$, а для кремния $1,4 \cdot 10^{10} \text{ см}^{-3}$ (при $T = 300^\circ \text{ К}$).

Сопротивление в случае материала с собственной проводимостью равно $43 \text{ ом} \cdot \text{см}$ для германия и $2,6 \cdot 10^5 \text{ ом} \cdot \text{см}$ для кремния. Поскольку наименьшая достигнутая в настоящее время концентрация примесей составляет 10^{12} примесных атомов на 1 см^3 , то можно, очевидно, ожидать, что при комнатной температуре германий будет работать как материал с собственной проводимостью, чего, однако, нельзя утверждать относительно кремния. Примеси, не влияющие на концентрацию носителей тока, могут присутствовать в больших количествах.

Тепловая ионизация примесных атомов. Рассмотрим теперь важную статистическую задачу об определении концентрации ионизованных доноров и акцепторов в состоянии теплового равновесия при температуре T . Схема энергетических уровней показана на рис. 7.6; энергии отсчитываются вверх от потолка валентной зоны

(уровень, обозначенный через 0). Пусть концентрация доноров равна N_d , акцепторов — N_a ; через N_d^0 и N_a^0 обозначим концентрации нейтральных (неионизованных), а через N_d^+ , N_a^- — концентрации ионизованных доноров и акцепторов. Напомним, что функция распределения Ферми описывает распределение *электронов* по состояниям при данной энергии; таким образом, имеем:

$$N_d^0 = \frac{N_d}{1 + e^{(E_2 - E_F)/kT}}, \quad (7.24)$$

$$N_d^+ = N_d - N_d^0 = \frac{N_d}{1 + e^{-(E_2 - E_F)/kT}}; \quad (7.25)$$

$$N_a^- = \frac{N_a}{1 + e^{(E_1 - E_F)/kT}}. \quad (7.26)$$

Введем обозначения

$$n_0 = 2 \left(\frac{2\pi m_e kT}{h^2} \right)^{3/2}, \quad p_0 = 2 \left(\frac{2\pi m_h kT}{h^2} \right)^{3/2}. \quad (7.27)$$

Выписывая (7.24), мы для простоты опустили множитель $1/2$, который часто можно встретить перед экспонентой в формулах подобного рода. Этот множитель появляется потому, что спиновырожденный донорный уровень, занятый двумя электронами с противоположными направлениями спина, в силу электростатического взаимодействия двух электронов лежит очень высоко, и поэтому можно считать, что уровень занят обычно лишь одним электроном. Для рассматриваемой задачи это упрощение не приводит к каким-либо опасным следствиям.

Для системы в целом мы требуем выполнения условия нейтральности. Это требование, сводящееся к тому, чтобы число положительных зарядов было равно числу отрицательных, выражается соотношением

$$p + N_d^+ = n + N_a^-, \quad (7.28)$$

где, как и выше, n — концентрация электронов в зоне проводимости, а p — концентрация дырок в валентной зоне. Воспользовавшись выражениями (7.7) и (7.11), перепишем (7.28) в виде

$$p_0 e^{-E_F/kT} + \frac{N_d}{1 + e^{-(E_2 - E_F)/kT}} = n_0 e^{(E_F - E_g)/kT} + \frac{N_a}{1 + e^{(E_1 - E_F)/kT}}. \quad (7.29)$$

Рассмотрим теперь частный случай $N_a = 0$ (акцепторы отсутствуют). Удобно предположить также, что число доноров достаточно велико, и в результате концентрация электронов проводимости n настолько «подавляет» концентрацию дырок p , что величина p будет много ниже значения p_i , описываемого формулой (7.13), относящейся к случаю только собственной проводимости.

Это «подавление» осуществимо в силу условия (7.12), которое выражает, в сущности, закон действующих масс, требуя постоянства произведения np ; когда n возрастает в какое-то число раз, величина p во столько же раз уменьшается. Пренебрежение величиной p эквивалентно выполнению условия

$$e^{(E_F - E_g)/kT} \gg e^{-E_F/kT}. \quad (7.30)$$

Тогда (7.29) сводится к равенству

$$\frac{N_d}{1 + e^{-(E_2 - E_F)/kT}} = n_0 e^{(E_F - E_g)/kT}, \quad (7.31)$$

которое можно переписать в виде квадратного уравнения относительно $e^{E_F/kT}$:

$$e^{2E_F/kT} [n_0 e^{-(E_2 + E_g)/kT}] + e^{E_F/kT} [n_0 e^{-E_g/kT}] - N_d = 0.$$

Таким образом, энергия Ферми E_F в рассматриваемом случае определяется соотношением

$$e^{E_F/kT} = \frac{\{-1 + [1 + 4(N_d/n_0) e^{(E_g - E_2)/kT}]^{1/2}\}}{2e^{-E_g/kT}}. \quad (7.32)$$

Оценим величину E_F в двух предельных случаях. Первый соответствует предположению

$$4 \frac{N_d}{n_0} e^{(E_g - E_2)/kT} \ll 1. \quad (7.33)$$

Этот случай отвечает малым N_d или же высоким температурам. Тогда

$$e^{E_F/kT} \cong \frac{N_d}{n_0} e^{E_g/kT},$$

и, следовательно,

$$E_F \cong E_g + kT \ln \frac{N_d}{n_0}. \quad (7.34)$$

Отсюда получим

$$n = n_0 e^{(E_F - E_g)/kT} \cong N_d. \quad (7.35)$$

Этот результат означает, что при указанных выше условиях число электронов проводимости примерно равно числу доноров.

Второй предельный случай соответствует предположению

$$4 \frac{N_d}{n_0} e^{(E_g - E_2)/kT} \gg 1. \quad (7.36)$$

Этот случай отвечает большим N_d или же низким температурам. Итак, имеем

$$e^{E_F/kT} \cong \left(\frac{N_d}{n_0}\right)^{1/2} e^{(E_g + E_2)/2kT}. \quad (7.37)$$

что даст

$$n = (2N_d)^{1/2} \left(\frac{2\pi kT m_e}{h^2} \right)^{3/4} e^{-E_d/2kT}, \quad (7.38)$$

где энергия E_d , равная $E_g - E_2$, определяется как энергия ионизации донора. В этом предельном случае концентрация электронов пропорциональна квадратному корню из концентрации доноров. При низких температурах электронов проводимости обычно меньше, чем акцепторов, присутствующих в веществе в виде неизбежной примеси. Некоторое число доноров ионизуется, и электроны переходят на акцепторы; этот процесс стремится «закрепить» уровень Ферми вблизи энергии E_2 , а не при значении, определяемом соотношением (7.37). При этом n изменяется по закону $e^{-E_d/kT}$, а не по закону $e^{-E_d/2kT}$. Аналогичные результаты мы получим и для акцепторов, проводя соответствующее рассмотрение в предположении $N_d = 0$. Если концентрации доноров и акцепторов по порядку величины сравнимы между собой, дело значительно усложняется, и тогда надо обычно прибегать к графическим методам решения уравнения (7.29).

Подвижность носителей тока в присутствии примесных атомов.

При относительно малом количестве примесных атомов или при высоких температурах подвижность будет определяться рассеянием на решетке. Рассеяние электронов на примесных атомах может оказаться существенным при более высоких концентрациях примесей. Рассеяние будет зависеть от того, каковы примеси — нейтральные или ионизованные. В случае нейтральных примесных атомов эта задача эквивалентна задаче о рассеянии электронов атомом водорода, но с учетом поправки на диэлектрическую проницаемость среды. Заметим, что в случае диэлектрической среды площадь первой боровской орбиты увеличивается в $(\epsilon m/m^*)^2$ раз, т. е. в случае кремния в 47^2 раз.

Точное решение задачи по определению поперечного сечения рассеяния в энергетической области, представляющей интерес для полупроводников, является весьма сложным.

Задача о рассеянии на ионизованных донорах или акцепторах была решена Конуэлл и Вайскопфом, которые использовали формулу рассеяния Резерфорда.

Рассеяние на примесях приводит к уменьшению подвижности; это иллюстрируется кривой, приведенной на рис. 7.7.

Анализ экспериментальных результатов. Довольно полное представление о физических свойствах и поведении полупроводников можно получить из измерений зависимости электропроводности и коэффициента Холла от температуры и от концентрации примесей в широком диапазоне изменения этих величин. Здесь мы обсудим результаты, полученные Конуэлл и Дебаем (см. [5], [6]) при исследовании

германия n -типа. Эти результаты дадут известное представление о том, какого рода информацию мы можем получить из систематического анализа данных об электропроводности и эффекте Холла.

Как было выше установлено (см. гл. 6), в простых металлах для коэффициента Холла имеет место выражение

$$R_H = - \frac{1}{N|e|c}, \quad (7.39)$$

где N — концентрация электронов. В полупроводниках мы часто имеем дело с максвелловским распределением скоростей, поэтому связь между R_H и N может несколько отличаться от (7.39), а именно, может появиться множитель, близкий к единице, учитывающий характер зависимости средней длины свободного пробега от скорости.

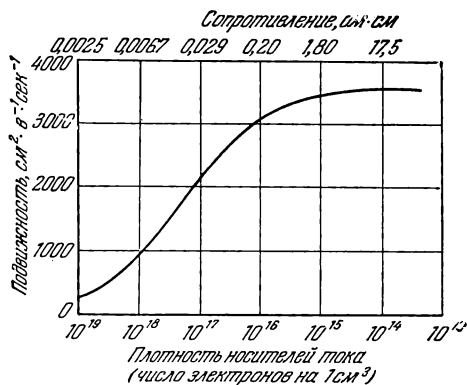


Рис. 7.7. Теоретическая кривая зависимости подвижности от плотности носителей тока в германии n -типа при 300°K . Нижняя шкала (плотность) — число электронов в 1 см^3 , верхняя — сопротивление (в $\text{ом} \cdot \text{см}$). Предполагается, что все донорные атомы ионизованы, а акцепторы отсутствуют (по Конуэлл).

На рис. 7.8 приведены данные о зависимости плотности носителей тока от температуры, полученные из измерений холловской разности потенциалов на ряде германиевых кристаллов, с добавками мышьяка в качестве донора. Приведенные кривые показывают, что в интервале от температуры жидкого воздуха до комнатной почти все доноры ионизованы. Таким образом, кристалл № 55 имеет $8 \cdot 10^{12}$ избыточных доноров на 1 см^3 , тогда как в кристалле № 54 их

число составляет $7 \cdot 10^{15}$. Несколько выше комнатной температуры кристалл № 55 переходит в область собственной проводимости, и концентрация носителей тока в нем резко возрастает. Ниже $20\text{—}50^\circ \text{K}$ концентрация носителей уменьшается, поскольку доноры становятся не ионизованными. Из наклона кривых мы можем оценить энергию ионизации: она равна примерно $0,01 \text{ эв}$. В кристалле № 58 концентрация доноров ($\sim 10^{18} \text{ см}^{-3}$) достаточно велика. Поэтому соседние донорные состояния заметно «перекрываются», и энергия ионизации доноров становится, по-видимому, ничтожно малой; концентрация носителей уже не зависит от температуры.

Температурная зависимость электропроводности той же группы кристаллов приведена на рис. 7.9. Понижение электропроводности

при низких температурах вызвано уменьшением концентрации электронов проводимости. Понижение в интервале от 78 до 300° К вызвано

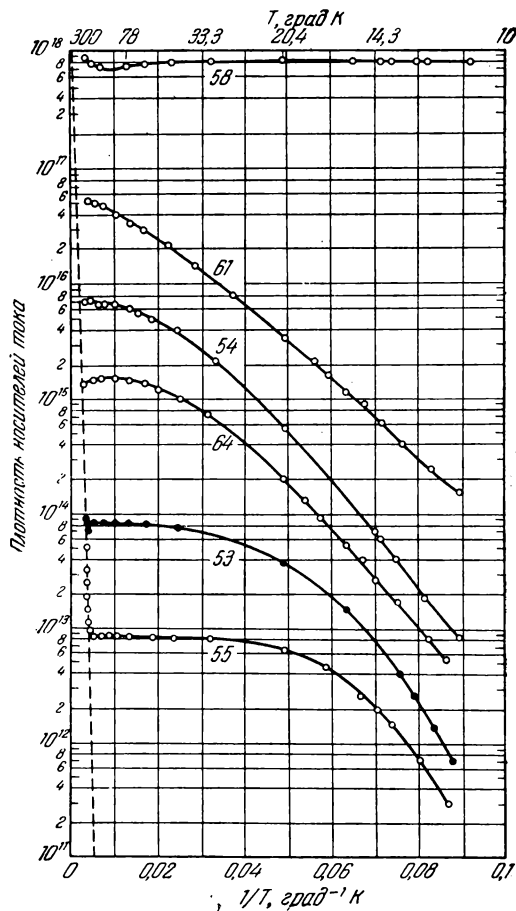


Рис. 7.8. Температурная зависимость плотности носителей тока для ряда кристаллов германия с примесями мышьяка (у кривых указаны номера образцов). Пунктирная линия описывает плотность носителей в области собственной проводимости (по Конуэллу).

возрастанием роли рассеяния на решетке. Неожиданное повышение электропроводности кристалла № 55 выше 300° К связано с началом области собственной проводимости. Наклон кривой в области

собственной проводимости позволяет определить ширину запрещенной зоны для германия; она равна 0,7 эв.

Если электрический ток обуславливается преимущественно каким-либо одним типом носителей, то их подвижность можно вычислить

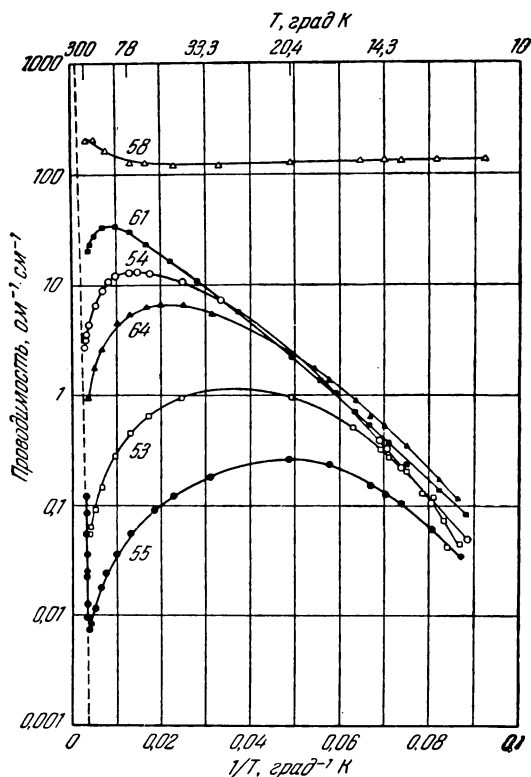


Рис. 7.9. Температурная зависимость проводимости для того же, что и на рис. 7.8 ряда кристаллов германия с примесями мышьяка. Пунктирная линия описывает ход изменения собственной проводимости (по Конуэллу).

(с точностью до множителя порядка единицы), просто перемножая проводимость и коэффициент Холла:

$$cR_{H\sigma} = c \left(\frac{1}{N|e|c} \right) \left(\frac{Ne^2\tau}{m^*} \right) = \frac{e\tau}{m^*} = \mu. \quad (7.40)$$

Вычисленные таким способом подвижности (как функции температуры) для ряда германиевых кристаллов с добавками мышьяка приведены на рис. 7.10. Кривая температурной зависимости подвиж-

ности для наиболее чистого кристалла (№ 55) описывается приближенно законом $T^{-3/2}$, который предсказывается простой теорией. Кривая для кристалла № 61 показывает, что подвижность при низких температурах уменьшается. Это связано, по-видимому, с рассеянием носителей на ионизованных атомах примеси.

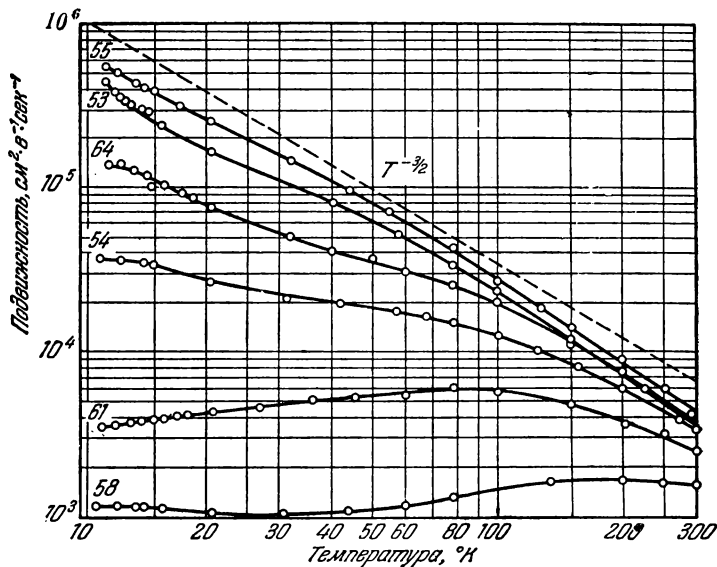


Рис. 7.10. Температурная зависимость подвижности для того же, что и на рис. 7.8 и 7.9 ряда кристаллов германия с примесями мышьяка. Пунктирная линия соответствует теоретической зависимости по закону $T^{-3/2}$ для абсолютно чистого кристалла, когда подвижность ограничивается только рассеянием на решетке (по Конуэллу).

Время жизни и процессы рекомбинации. Существует несколько способов получения концентраций электронов и дырок в полупроводниках, отличающихся от значений, соответствующих тепловому равновесию. К числу их относятся инжекция носителей тока в образец через металлические контакты или образование пар электрон—дырка при облучении образца светом или при бомбардировке заряженными частицами. Будучи возбуждена, система стремится вернуться в равновесное состояние, что осуществляется путем рекомбинации избыточных электронов и дырок. Скорость рекомбинации можно определить, измеряя временные вариации проводимости образца после возбуждения, или, исследуя дрейф избыточных носителей тока в электрическом поле между той точкой образца, где они были введены, и какой-либо другой точкой.

В простейшем случае можно считать, что избыточные электроны и дырки образуются в равном числе и что скорость рекомбинации и тех и других одинакова. Обозначим через Δn избыточную концентрацию электронов по отношению к ее значению, отвечающему состоянию теплового равновесия, а через Δp — соответствующую величину для дырок. Согласно предположению, $\Delta n = \Delta p$. При малых концентрациях избыточных носителей процесс выравнивания концентрации протекает по экспоненциальному закону с временем жизни τ ¹⁾. Тогда имеем

$$\frac{dn}{dt} = -\frac{1}{\tau} \Delta n; \quad \frac{dp}{dt} = -\frac{1}{\tau} \Delta p. \quad (7.41)$$

На практике неоднократно наблюдалось, что процесс выравнивания избыточной концентрации неосновных носителей в материалах n - и p -типа протекает с различной скоростью, и поэтому следует вводить в рассмотрение разные времена жизни τ , а именно, τ_n для избыточных электронов в материалах p -типа, и τ_p для избыточных дырок в материалах n -типа.

Механизм рекомбинации еще не выяснен, но известно, что прямая излучательная рекомбинация электронов и дырок, сопровождаемая испусканием фотона, в германии и кремнии относится к числу маловероятных процессов. Шокли вычислил, что та небольшая часть неосновных носителей тока, которая участвует в процессах излучения при комнатной температуре, должна иметь время жизни порядка 1 сек. В исключительно чистых кристаллах германия наблюдались времена жизни порядка 0,01 сек, типичным же является время жизни порядка 100 мксек, характерное для материала массового производства. Испускание излучения, сопровождающее инжекцию неосновных носителей, наблюдалось экспериментально.

Было установлено, что процессы рекомбинации идут как в объеме, так и на поверхности кристалла. Наблюдаемое время жизни τ связано с временами жизни в объеме τ_v и на поверхности τ_s соотношением

$$\frac{1}{\tau} = \frac{1}{\tau_v} + \frac{1}{\tau_s}. \quad (7.42)$$

Вклад каждого из процессов различают обычно путем измерений на тонких нитях, варьируя их размеры и поверхностную обработку. Времена жизни τ_v и τ_s могут быть различными у различных образцов одного и того же материала, а также зависят от температуры. Величина τ_v , в частности, чувствительна к малейшим примесям меди, железа и никеля; примесь никеля в количестве 10^{12} атомов на 1 см^3 заметно уменьшает время жизни. Время жизни для объемной рекомбинации чувствительно также к дефектам решетки: искажениям, вызванным закалкой от высоких температур, пластической деформацией,

¹⁾ К сожалению, в научной литературе это обозначение часто используется одновременно также и для времени релаксации.

радиационными повреждениями; все эти факторы, как показывает опыт, резко снижают время жизни, доводя его в некоторых случаях до 1 мксек и меньше.

Время жизни для поверхностной рекомбинации τ_s особенно чувствительно к механической и химической обработке поверхности. Поскольку носители, участвующие в поверхностной рекомбинации, достигают поверхности за счет диффузии из внутренней части образца, время жизни τ_s зависит от размеров образца. Удобнее иметь дело со скоростью поверхностной рекомбинации, поскольку эта величина от размеров образца не зависит. Скорость поверхностной рекомбинации s определяется как отношение числа носителей, подвергшихся рекомбинации на единице площади поверхности в единицу времени, к избыточной концентрации непосредственно под поверхностью.

Значения s для германия при комнатной температуре лежат, как сообщалось, в интервале от 15 до 10 000 см/сек. Наибольшие скорости поверхностной рекомбинации обнаружены на образцах, поверхность которых была обработана струей мелкого песка: наименьшие — для поверхностей, гладко отполированных и затем протравленных специально подобранными составами. Для подбора наилучшего состава травителя нужна, по-видимому, интуиция.

Шокли вывел соотношения, связывающие между собой τ_s , s и размеры поперечного сечения (для случая длинного стержня прямоугольного сечения $2B \times 2C$). Он получил для больших s

$$(s \rightarrow \infty) \quad \frac{1}{\tau_s} = \frac{\pi^2 D}{4} \left(\frac{1}{B^2} + \frac{1}{C^2} \right); \quad (7.43)$$

для малых s

$$(s \rightarrow 0) \quad \frac{1}{\tau_s} = s \left(\frac{1}{B} + \frac{1}{C} \right). \quad (7.44)$$

Предельный случай, описываемый формулой (7.43), соответствует преобладанию поверхностной рекомбинации; второй предельный случай [формула (7.44)] — преобладанию объемной рекомбинации. Величина D в формуле (7.43) означает коэффициент диффузии для неосновных носителей. Величину D можно вычислить по подвижности при помощи соотношения Эйнштейна¹⁾:

$$\mu kT = eD. \quad (7.45)$$

¹⁾ Это соотношение выводится очень просто. Предположим, что частицы с зарядом e находятся в электрическом поле E . По закону распределения Больцмана концентрация частиц $n(x)$ в точке x пропорциональна $\exp(-eEx/kT)$. Условие того, что при равновесии не может существовать никакого результирующего потока, имеет вид

$$\mu ne + D \frac{dn}{dx} = 0;$$

оно и является определением коэффициента диффузии D как суммарного потока частиц при единичном градиенте концентраций. Из этого уравнения видно, что концентрация $n(x)$ пропорциональна $\exp(-\mu Ex/D)$. Формула (7.45) получается, если приравнять экспоненты.

В германии при комнатной температуре

$$D_n = 93 \text{ см}^2/\text{сек}; \quad D_p = 44 \text{ см}^2/\text{сек}.$$

В следующем разделе при рассмотрении $p-n$ -переходов будет выведено выражение для среднего перемещения носителя за время его жизни (для простоты в случае лишь объемной рекомбинации). В стационарном состоянии общее гидродинамическое уравнение непрерывности может быть записано для дырок в виде

$$\frac{\partial p}{\partial t} + \operatorname{div} p \mathbf{v}_p = \Delta N_h; \quad (7.46)$$

ΔN_h — число образующихся дырок минус число рекомбинировавших в единицу времени в единице объема.

Здесь \mathbf{v}_p — дрейфовая скорость дырок. С учетом определения коэффициента диффузии запишем уравнение диффузии:

$$p \mathbf{v}_p = -D_p \operatorname{grad} p. \quad (7.47)$$

Рассмотрим стационарный поток дырок из области, в которой они образуются, в область, где происходит их рекомбинация (скорость рекомбинации согласно (7.41) равна p/τ_p). В силу стационарности $\partial p/\partial t = 0$ и уравнения (7.46) и (7.47) сводятся в области рекомбинации к уравнению

$$D_p \nabla^2 p - \frac{p}{\tau_p} = 0. \quad (7.48)$$

В линейном случае для положительных x ищем решение в виде

$$p = p_0 e^{-x/L_p}. \quad (7.49)$$

Предполагается, что дырки образуются в области отрицательных значений x и рекомбинируют в области положительных значений x . Подставляя (7.49) в (7.48), мы получим условие

$$L_p = (D_p \tau_p)^{1/2}. \quad (7.50)$$

Величина L_p называется диффузионной длиной для дырок и служит мерой среднего расстояния, которое проходит дырка за счет диффузии за время ее жизни. Аналогичная величина вводится и для электронов:

$$L_n = (D_n \tau_n)^{1/2}. \quad (7.51)$$

В германии при комнатной температуре дырка со временем жизни 10^{-3} сек имеет диффузионную длину

$$L_p = (44 \cdot 10^{-3})^{1/2} \cong 0,2 \text{ см.} \quad (7.52)$$

Шокли предложил механизм рекомбинации, основанный на предположении о том, что дефекты в кристалле служат своего рода катализаторами для процесса рекомбинации. Этот механизм иллюстрируется схемой, приведенной на рис. 7.11. На первой стадии (а) электрон и дырка свободны, на второй стадии (б) электрон захватывается центром рекомбинации, а дырка приближается к нему под действием электростатических сил притяжения и на последней стадии (в) электрон поглощается дыркой и центр рекомбинации вновь готов повторить этот процесс с новыми электронами и дыркой.

Процессы переноса неосновных носителей и инжекция дырок. Хейнс и Шокли поставили эксперимент, который показал участие неосновных носителей в процессах переноса в твердых телах и который может быть положен в основу метода прямого измерения диффузии и дрейфа.

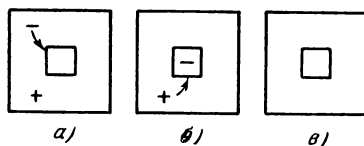


Рис. 7.11. Схема, поясняющая каталитическое действие центра рекомбинации, который захватывает сначала электрон, затем дырку; его состояния а, б и в показывают последовательные этапы этого процесса (по Шокли).

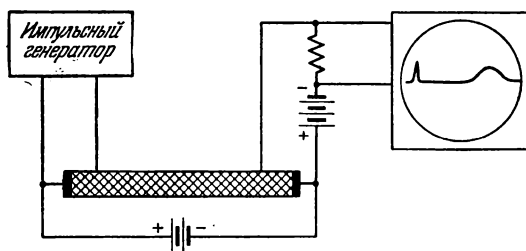


Рис. 7.12. Принципиальная схема опыта для наблюдения дрейфа и диффузии дырок, инжектированных в германий *n*-типа (по Хейнсу и Шокли).

Принципиальная схема установки показана на рис. 7.12. Образец германия *n*-типа имеет форму стержня. К его концам приложено постоянное поле, создаваемое батареей. Направление поля таково, что электроны в стержне движутся справа налево. Если в образце помимо электронов окажутся дырки, то они будут двигаться слева направо.

Слева показан импульсный генератор, соединенный с точечным контактом на стержне (эмиттером), на который подано положительное смещающее напряжение. Когда этот генератор включен, в эмиттере создаются дырки, которые поступают в образец, т. е. происходит инжекция дырок. Затем эти дырки под действием постоянного поля движутся вдоль стержня. Через некоторое время они достигают коллекторного контакта, на который, как показано, подано отрицательное смещающее напряжение. Оно содействует притяжению дырок, так что часть из них поступает через коллектор в цепь и создает таким образом ток в цепи коллектора. Этот ток идет через нагрузку; напряжение, падающее на нагрузке, подается на вертикальные пластины электронного осциллографа. В момент t_1 ключ в цепи эмиттера на короткое время замыкается. Момент замыкания может быть зарегистрирован по пику кривой на экране осциллографа. После этого ничего не происходит вплоть до момента t_2 , когда некоторые дырки достигают коллектора. Концентрация дырок некоторое время возрастает, а затем число дырок уменьшается, поскольку они уходят через коллекторный контакт. Измерение времени, в течение которого дырки прибывают на коллектор, дает возможность определить коэффициент диффузии. Интервал времени $t_2 - t_1$ служит мерой подвижности, при условии, что на пути от эмиттера к коллектору носители не захватываются и не образуются. Было установлено, что такие захваты действительно не играют существенной роли.

Этот опыт показывает также, что возможно осуществить инжекцию дырок в полупроводник, если в эмиттерной точке подобрать подходящую контактную пару металл — полупроводник. Металл под действием положительного смещающего напряжения захватывает электроны из валентной зоны полупроводника, создавая тем самым дырки в валентной зоне. Процесс инжекции дырок весьма важен для практического применения полупроводников, особенно полупроводниковых диодов и триодов (транзисторов) с точечными контактами.

Опыты по циклотронному резонансу. В некоторых веществах форму энергетической поверхности зоны проводимости и валентной зоны у краев зон удалось определить экспериментально, т. е. удалось определить зависимость энергии $E(\mathbf{k})$ от волнового вектора \mathbf{k} . Определение формы энергетической поверхности эквивалентно определению тензора эффективной массы, поскольку, как мы уже знаем,

$$\left(\frac{1}{m^*}\right)_{ij} = \hbar^{-2} \frac{\partial^2 E}{\partial k_i \partial k_j}. \quad (7.53)$$

Единственным способом прямого определения эффективных масс в полупроводнике являются эксперименты по циклотронному резонансу, в которых носители тока в твердом теле ускоряются по спиральным орбитам в постоянном магнитном поле H . Угловая частота

вращения носителей ω_c выражается обычной формулой для частоты вращения частицы в циклотроне¹⁾,

$$\omega_c = \pm \frac{eH}{m^*c}, \quad (7.54)$$

где m^* — соответствующая эффективная масса. Резонансное поглощение энергии из высокочастотного поля, наложенного перпендикулярно к постоянному магнитному полю (рис. 7.13), происходит при совпадении частоты этого переменного поля с циклотронной частотой $f_c = \omega_c/2\pi$. Двойной знак (\pm) в формуле (7.54) указывает, что если носителями тока являются дырки, то вращение относительно данного направления магнитного поля будет происходить в противоположном направлении (по сравнению со случаем электронов).

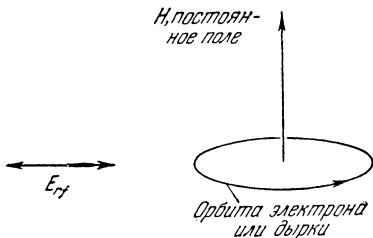


Рис. 7.13. Расположение полей в эксперименте по циклотронному резонансу в полупроводнике.

Интересно сопоставить порядки величин некоторых физических характеристик, относящихся к этому эксперименту. Оценки можно делать, взяв за основу величину отношения $m^*/m \cong 0,1$, которая является более или менее характерной. При $f_c = 24\,000\text{ Мгц}$, т. е. при $\omega_c = 1,5 \cdot 10^{11}\text{ рад/сек}$ резонанс будет иметь место при $H \cong 860\text{ эрстед}$. При температуре 4° К средняя скорость для максвелловского распределения равна $4 \cdot 10^6\text{ см/сек}$, и поэтому радиус орбиты

$$r = \frac{v}{\omega_c} \cong 3 \cdot 10^{-5}\text{ см.}$$

Ширина резонансной линии определяется, как мы ниже увидим, временем релаксации, обусловленным столкновениями; чтобы получить отчетливый циклотронный резонанс, необходимо выполнение условия

$$\omega_c \tau \gg 1.$$

Иными словами, средняя длина свободного пробега частицы должна быть достаточно велика, чтобы в среднем носитель между двумя последовательными столкновениями мог успеть пройти $1/2\pi$ долю пути по кругу. При $\omega_c = 1,5 \cdot 10^{11}\text{ сек}^{-1}$ требуется время релаксации

¹⁾ Это соотношение легко вывести элементарным путем. Центробежная сила $m^* \omega_c^2 r$ равна силе Лорентца $\pm e \omega_c r H/c$, где r — радиус орбиты. Сокращая на $\omega_c r$, сразу получим $\omega_c = \pm eH/m^*c$. Знаки \pm учитывают возможность использования этой формулы как для электронов, так и для дырок.

$\tau = 10^{-11}$ сек или больше. При комнатной температуре времена релаксации носителей в кристалле лежат обычно в интервале $10^{-13}—10^{-15}$ сек.

Для получения времен релаксации, достаточно больших, чтобы стало возможным наблюдение циклотронного резонанса при помощи обычной аппаратуры, работающей в K -диапазоне ($\sim 30\,000$ Мгц), необходимо иметь кристаллы высокой степени чистоты и проводить эксперимент при гелиевых или водородных температурах. Эти требования могут быть значительно ослаблены, если пользоваться переменными полями миллиметрового или инфракрасного диапазонов.

Теперь мы дадим краткое классическое рассмотрение циклотронного резонансного поглощения¹⁾ для случая изотропной эффективной массы m^* и изотропного времени релаксации τ , считая их не зависящими от скорости.

Уравнение движения для дрейфовой скорости имеет следующий вид:

$$m^* \left(\frac{d\mathbf{v}}{dt} + \frac{1}{\tau} \mathbf{v} \right) = e \left(\mathbf{E} + \frac{[\mathbf{vH}]}{c} \right). \quad (7.55)$$

Пусть H — постоянное магнитное поле, приложенное вдоль оси z . Наличием переменного высокочастотного магнитного поля будем пренебрегать. В случае плоскополяризованного излучения, т. е. считая, что имеется, скажем, лишь E_x -компонента электрического поля E , имеем

$$\left. \begin{aligned} m^* \left(i\omega + \frac{1}{\tau} \right) v_x &= eE_x + \frac{e}{c} v_y H, \\ m^* \left(i\omega + \frac{1}{\tau} \right) v_y &= -\frac{e}{c} v_x H. \end{aligned} \right\} \quad (7.56)$$

Разрешая эту систему относительно v_x , найдем комплексную проводимость

$$\sigma = \frac{j_x}{E_x} = \frac{Ne v_x}{E_x} = \sigma_0 \left[\frac{1 + i\omega\tau}{1 + (\omega_c^2 - \omega^2)\tau^2 + 2i\omega\tau} \right], \quad (7.57)$$

где величина

$$\sigma_0 = \frac{Ne^2\tau}{m^*}$$

представляет собой статическую проводимость, а N — концентрацию носителей тока. Этот результат показывает, что при $\omega = \omega_c$ имеет место резонанс.

Краевые точки зоны проводимости в германии и кремнии образуют сфероидальные энергетические поверхности, расположенные в k -пространстве в эквивалентных положениях. Под краевой точкой

¹⁾ Ссылки на первые работы по циклотронному резонансу имеются в статье [7]; там же дан обзор экспериментальных методов.

зоны мы понимаем точку наименьшей энергии в зоне проводимости и точку наибольшей энергии в валентной зоне. Рассмотрим теперь теорию циклотронного резонанса для случая энергетических поверхностей, имеющих форму сфероидов.

Декартовы координаты выберем так, чтобы ось z была параллельна главной оси сфероида; компоненты волнового вектора будем отсчитывать от центра сфероида. Для точек \mathbf{k} -пространства, достаточно близких к краевой точке зоны, энергия описывается уравнением

$$E(\mathbf{k}) = \hbar^2 \left(\frac{k_x^2 + k_y^2}{2m_t} + \frac{k_z^2}{2m_l} \right); \quad (7.58)$$

здесь m_l — параметр продольной массы, а m_t — параметр поперечной массы.

Шокли дал решение задачи о циклотронной частоте для общего случая эллипсоидальных энергетических поверхностей. Пусть статическое магнитное поле направлено под углом θ к длинной оси энергетической поверхности; тогда в случае сфероидальной энергетической поверхности, описываемой формулой (7.58), получим следующее выражение для эффективной массы, определяющей циклотронную частоту:

$$\left(\frac{1}{m^*} \right)^2 = \frac{\cos^2 \theta}{m_t^2} + \frac{\sin^2 \theta}{m_l m_t}. \quad (7.59)$$

Типичный ход кривой циклотронного резонанса (для германия) показан на рис. 7.14. На рис. 7.15 приведены экспериментальные данные, характеризующие зависимость эффективной массы электронов в германии при 4°K от угла между направлением статического магнитного поля, расположенного в плоскости (110), и осью [001], лежащей в той же плоскости.

Из этих экспериментальных данных можно по формулам теории рассчитать значения параметров продольной и поперечной масс:

$$m_l = (1,58 \pm 0,04) m,$$

$$m_t = (0,082 \pm 0,001) m.$$

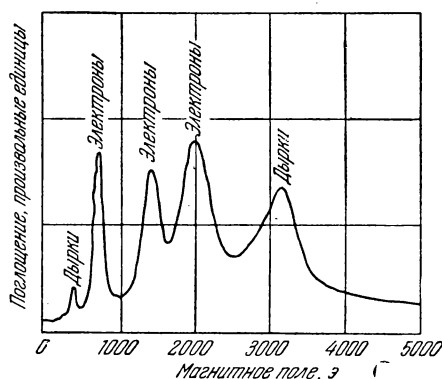


Рис. 7.14. Типичная кривая циклотронного резонансного поглощения, полученная на кристалле германия при $T = 4^\circ \text{K}$ вблизи частоты $24\,000 \text{ МГц}$; кривая представляет собой непосредственное воспроизведение автоматически записанной зависимости поглощаемой мощности от величины статического поля, расположенного в плоскости (110) кристалла под углом 60° к оси [100].

Предполагается, что имеется система кристаллографически эквивалентных энергетических поверхностей, имеющих форму сфероидов, ориентированных вдоль направлений $\langle 111 \rangle$ в зоне Бриллюэна. Это предположение было впервые высказано Лаксом.

В кремнии энергетические поверхности вблизи края зоны проводимости являются сфероидами, ориентированными вдоль направлений

типа $\langle 100 \rangle$ в зоне Бриллюэна. Для параметров продольной и поперечной масс имеем в случае кремния

$$m_l = (0,97 \pm 0,02) m,$$

$$m_t = (0,19 \pm 0,01) m.$$

Поверхности постоянной энергии схематически изображены на рис. 7.16.

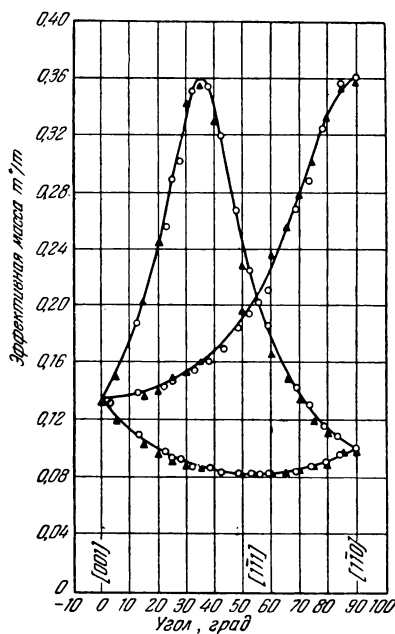


Рис. 7.15. Зависимость эффективной массы электронов в германии при 4°K от угла между направлением магнитного поля, лежащего в плоскости (110) , и осью $[001]$. Теоретические кривые построены для $m_l = 1,58m$ и $m_t = 0,082m$. (Из работы [7].)

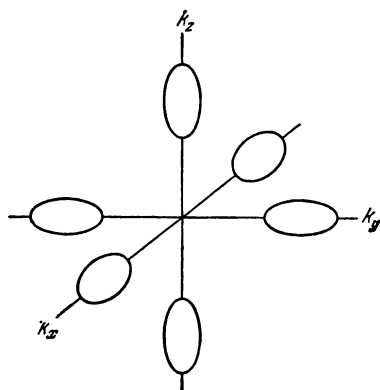


Рис. 7.16. Эллипсоиды постоянной энергии для электронов в кремнии ($m_l^*/m_t^* = 5$).

Края валентной зоны в кремнии и германии имеют довольно сложную структуру. В кристаллах этих веществ дырки характеризуются двумя эффективными массами, в связи с чем говорят о легких и тяжелых дырках. Наблюдается некоторая анизотропия, легко обнаруживаемая для тяжелых дырок (рис. 7.17). Форма энергетических поверхностей определяется следующим выражением:

$$E(k) = Ak^2 \pm [B^2k^4 + C^2(k_x^2k_y^2 + k_y^2k_z^2 + k_z^2k_x^2)]^{1/2}, \quad (7.60)$$

где константы A , B и C (в единицах $\hbar^2/2m$) имеют следующие приближенные значения:

	A	B	$ C $
Кремний	— 4,2	0,9	$3,3 \pm 0,5$
Германий	—13,2	—8,9	10,5

Знаки плюс или минус в (7.60) берутся в зависимости от выбора одной из двух масс. Грубо приближенно дырки в случае германия имеют массы 0,04 m и 0,3 m , в кремнии: 0,16 m и 0,5 m .

Наличие дырок двух разных масс объясняется следующим образом. В центре зоны Бриллюэна ($k=0$) энергетические зоны, возникшие из p -уровня изолированного атома, обладают трехкратным орбитальным вырождением, характерным для p -состояний. Поэтому можно считать, что при $k=0$ мы имеем фактически три совпадающие друг с другом валентные зоны, которые и дают три эффективные массы. Вспомним, однако, что в изолированных атомах спин-орбитальное взаимодействие в форме $L \cdot S$ расщепляет p -уровень на два уровня: $p_{3/2}$ и $p_{1/2}$ с полными моментами количества движения соответственно $J=3/2$ и $1/2$, в зависимости от относительной ориентации орбитального и спинового моментов. В валентной зоне состояния, связанные с уровнем $p_{3/2}$, являются самыми верхними и образуют край валентной зоны. Если имеет место спин-орбитальное взаимодействие, то из трех зон, совпадающих при $k=0$ в случае его отсутствия, две зоны остаются связанными с уровнем $p_{3/2}$, тогда как энергия зоны, отвечающей уровню $p_{1/2}$, уменьшается на величину, равную энергии спин-орбитального взаимодействия. В германии спин-орбитальное расщепление уровней, составляющих валентную зону, равно по порядку величины 0,2 эв. Две зоны, связанные с уровнем $p_{3/2}$, как раз и приводят к появлению двух типов дырок с различными массами.

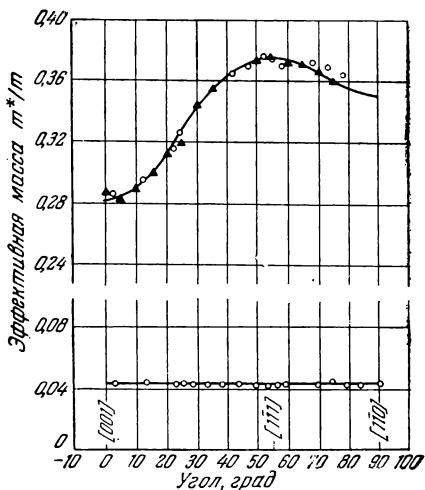


Рис. 7.17. Эффективная масса дырок в германии при различных ориентациях магнитного поля в плоскости (110). При оси абсцисс отложен угол между направлением поля и осью [001]. Измерения производились при температуре 4° К.

В InSb эффективная масса электронов изотропна и равна примерно 0,014 m . Малое значение эффективной массы обусловлено малой шириной запрещенной зоны, которая у InSb составляет лишь 0,18 эв.

Радиационные эффекты в полупроводниках. При облучении кристалла частицами большой энергии в нем возникают дефекты. Основным результатом облучения является обычно смещение атомов кристалла из их положений, соответствующих правильной решетке, в случайные промежуточные положения, в результате чего образуются вакантные узлы, а некоторые атомы оказываются в междоузельных положениях (междоузлиях). Полупроводниковые кристаллы могут служить прекрасным объектом для изучения действия излучений, как это было установлено в первых фундаментальных работах Ларк-Горовица и его сотрудников, которые использовали облучение дейтронами, α -частицами, быстрыми нейтронами и электронами. Электрические свойства полупроводников в области примесной проводимости в высшей степени чувствительны, как мы уже знаем, к изменению концентрации доноров и акцепторов. Было установлено, что при облучении германия основным эффектом является образование акцепторов; поэтому путем облучения можно изменить тип проводимости образца и превратить материал n -типа в материал p -типа созданием небольшой концентрации ($\sim 1 : 10^7$, в зависимости от образца) радиационных дефектов.

На рис. 7.18 приведены зависимости проводимости образцов германия от величины интегральной дозы облучения пучком дейтронов; один из образцов был первоначально материалом p -типа, другой — n -типа. Уменьшение проводимости образца p -типа вызвано образованием дефектов, на которых происходит дополнительное рассеяние носителей тока. Изменение проводимости образца, первоначально принадлежавшего к n -типу, обусловлено образованием акцепторов, которые постепенно, по мере возрастания дозы, компенсируют имевшийся в начале процесса избыток доноров в образце, тем самым превращая образец n -типа в образец p -типа.

Минимум проводимости для образца n -типа (см. рис. 7.18) приближенно соответствует как раз оптимальной компенсации $n \approx p$.

Дальнейшее облучение образца уже увеличивает проводимость, поскольку общее число носителей возрастает. В связи с этим вопросом обращаем внимание читателей на задачу 7.2 (в конце главы).

Клонц и Ларк-Горовиц определяли пороговую энергию смещения атома германия (при которой описанный эффект становится заметным) путем облучения электронами. Они установили, что для этого требуется 30 эв. Эта величина близка к энергии, требуемой, как показывают оценки, для смещения атома германия из обычного положения в решетке в междоузлие. В случае кремния установлено, что общая концентрация носителей тока в образцах обоих типов (как n , так и p) плавно уменьшается под действием облучения, и их прово-

димость становится близкой к собственной; при комнатной температуре сопротивление превышает 10^{-4} ом·см. Из такого поведения

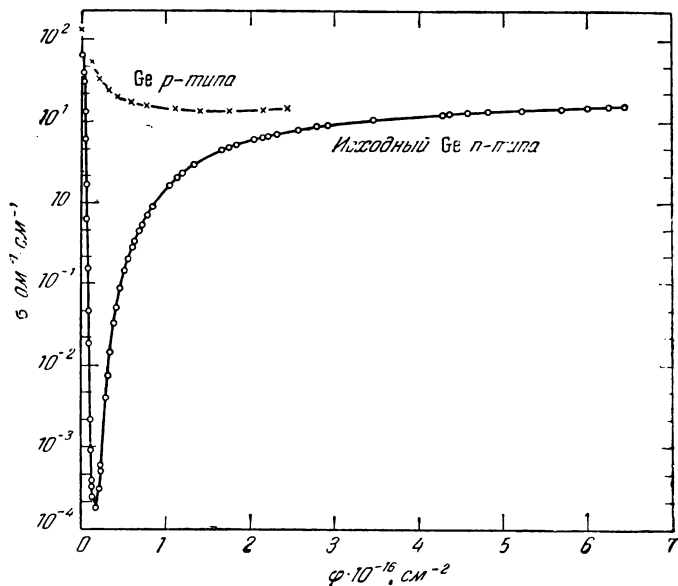


Рис. 7.18. Зависимость проводимости образцов германия от величины интегральной дозы облучения дейтронами. Один из образцов был первоначально материалом *n*-типа, другой *p*-типа. (Данные группы университета Пардю.)

кремния следует, что облучение создает в нем и донорные и акцепторные уровни, однако результирующий эффект зависит от положения уровня Ферми.

ПРИНЦИПЫ ДЕЙСТВИЯ ВЫПРЯМИТЕЛЯ

Выпрямители — это устройства, вольтамперная характеристика которых несимметрична относительно напряжения, как показано на рис. 7.19. Для осуществления процесса выпрямления необходимо наличие «барьерного» слоя вещества с низкой проводимостью между двумя материалами с различной проводимостью; этими двумя материалами обычно являются металл и полупроводник. Выпрямитель всегда является несимметричным устройством либо по выбору материалов, либо по форме контактов, либо, наконец, по способу обработки поверхностей.

Физические процессы, приводящие к эффекту выпрямления, легко понять, рассматривая систему, состоящую из двух металлов с раз-

личной работой выхода, разделенных слоем изолятора. Схема такой системы приведена на рис. 7.20. Относительное расположение энергетических зон, устанавливающееся при равновесии, определяется на основе следующего принципа: *для всех элементов, находящихся в контакте, уровни Ферми должны быть одинаковыми.*

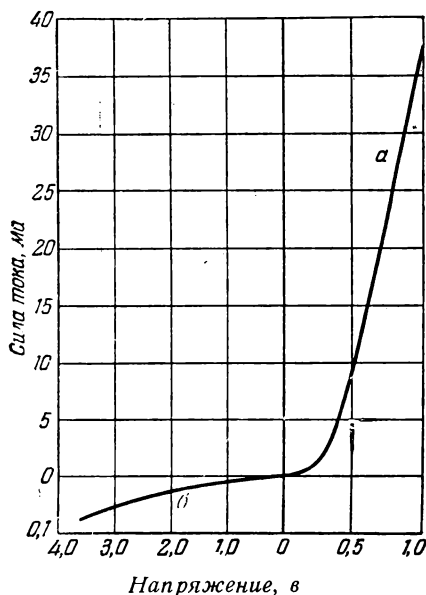


Рис. 7.19. Вольтамперная характеристика выпрямителя из записи меди *а* — прямой ток; *б* — обратный ток. (Масштаб по осям в обе стороны от начала координат — разный.)

Тотчас по установлении контакта (см. рис. 7.20, б) поток электронов устремится через потенциальный барьер изолирующего слоя, т. е. через пустую зону проводимости изолятора, преимущественно в направлении $2 \rightarrow 1$, поскольку электроны в зоне проводимости металла 2 находятся близко к вершине барьера. Перетекание электронов будет происходить до тех пор, пока не образуется двойной слой зарядов (см. рис. 7.20, в), приводящий к выравниванию уровней Ферми двух металлов. Наличие положительных зарядов в металле 2 является следствием возникшего там недостатка электронов. Как только уровни Ферми выравниваются, перетекание электронов прекратится, и установится равновесие.

На рис. 7.21 показано, что произойдет, если к такой системе

приложить напряжение. В случае *а* с одной стороны барьера потенциал зоны проводимости повысится, благоприятствуя «эмиссии» электронов из металла с низкой работой выхода в металл с высокой работой выхода; в случае *б*, когда приложено обратное напряжение, ток резко падает. Чтобы эффект выпрямления был достаточно большим, произведение заряда электрона e на величину приложенного напряжения должно быть сравнимо с kT (при комнатной температуре $kT = 0,026$ эв). Следует заметить, что высота барьера со стороны металла 1 не зависит от приложенного напряжения.

В большинстве применяемых на практике выпрямителей барьерный слой образуется между металлом и полупроводником (рис. 7.22). В этом случае выравнивание уровней Ферми происходит частично за счет электронов, переходящих в металл с примесных уровней доноров в полупроводнике, а частично за счет влияния поверхностных состояний. Вследствие наличия локальных уровней у положительно

ионизованных примесных атомов образуется электрический двойной слой, так как электроны в металле притягиваются к контактной

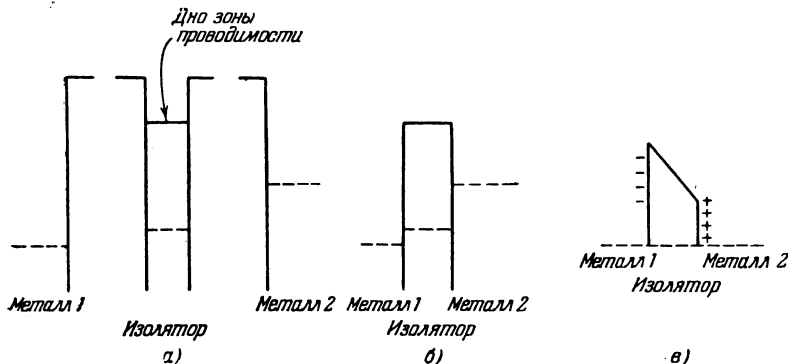


Рис. 7.20. Образование выпрямляющего слоя между двумя металлами с различной работой выхода.

Пунктирными линиями показаны положения уровня Ферми. При тепловом равновесии, когда установился контакт, уровень Ферми одинаков для всех трех частей системы; а—до установления контакта; б—тотчас после возникновения контакта; в—равновесное состояние.

поверхности. Область полупроводника, практически потерявшая свои электроны проводимости, представляет собой *барьерный слой*.

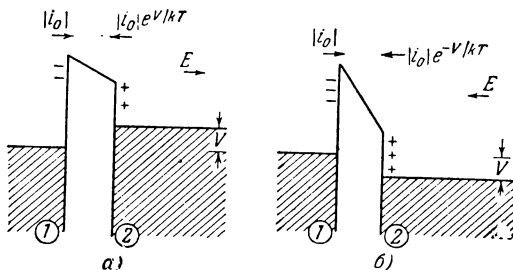


Рис. 7.21. Схема, иллюстрирующая влияние приложенного напряжения на ток через контактный слой (см. рис. 7.20) и возникновение эффекта выпрямления.

а — напряжение E приложено в прямом направлении; б — напряжение E приложено в обратном направлении. В случае а) электронный ток идет из области 2 в область 1 при малом сопротивлении, в случае б) электронный ток идет из области 2 в область 1 при большом сопротивлении. Сопротивление электронному току, идущему из области 1 в область 2, одинаково как в случае а), так и в случае б).

Проводимость барьерного слоя в результате потери электронов уменьшается, так что этот слой обладает всеми свойствами изолятора, необходимыми для эффекта выпрямления.

Вдоль всей кривой потенциала барьерного слоя величина eV остается значительно большей kT , и поэтому при оценке характера изменения потенциала плотность электронов проводимости в этой

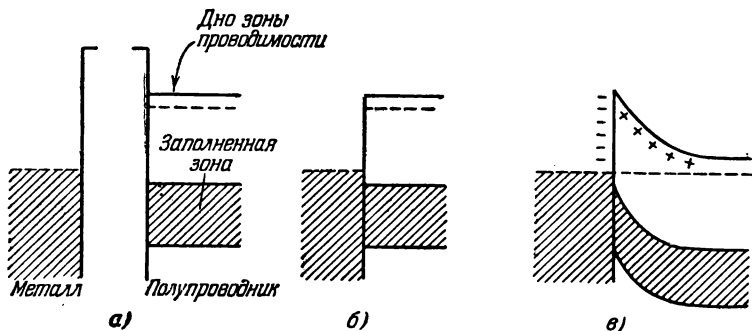


Рис. 7.22. Выпрямляющий барьерный слой между металлом и полупроводником n -типа.

Пунктиром показано положение уровня Ферми: a — до установления контакта; $б$ — тотчас после возникновения контакта; $в$ — равновесное состояние.

области можно считать равной нулю. Таким образом, можно написать (в гауссовой системе)

$$\operatorname{div} D = 4\pi\rho, \quad (7.61)$$

или, предполагая, что число ионизованных доноров в единице объема барьерного слоя равно N и считая здесь e положительным, для потенциала φ получаем уравнение

$$\frac{\partial^2 \varphi}{\partial x^2} = \frac{4\pi Ne}{\epsilon}. \quad (7.62)$$

Решение уравнения (7.62) имеет вид

$$\varphi = \left(\frac{2\pi Ne}{\epsilon} \right) x^2. \quad (7.63)$$

Для перепада потенциала, равного φ_0 , толщина барьерного слоя D составляет

$$D = \left(\frac{\epsilon \varphi_0}{2\pi e N} \right)^{1/2}. \quad (7.64)$$

Полагая $N = 10^{18} \text{ см}^{-3}$, $\epsilon = 12$, $\varphi_0 = 0,5 \text{ в}$, получим

$$D \approx 3 \cdot 10^{-6} \text{ см}.$$

Барьерный слой такого рода играет роль изолятора (см. рис. 7.21); большая часть перепада напряжения на контактах происходит на барьерном слое.

Вид функции, представляющей вольтамперную характеристику для выпрямляющего слоя, показанного на рис. 7.20 и 7.21, можно установить без особого труда. Если \bar{v} — средняя скорость электрона, то согласно элементарной кинетической теории число электронов, которые пересекают, двигаясь слева, единицу поверхности барьера в единицу времени, равно $(1/4)N\bar{v}$, где N — концентрация электронов. Плотность электрического тока, текущего через барьер слева, составляет тогда $(1/4)Ne\bar{v}$. Результирующий ток, текущий через барьер слева направо, будет равен этой величине, умноженной на экспоненту $\exp(-e\varphi_0/kT)$, которая характеризует вероятность того, что электрон имеет энергию, превышающую высоту барьера $e\varphi_0$. Плотность тока, протекающего через барьер в противоположном направлении, т. е. справа налево, дается величиной

$$\frac{1}{4} Ne\bar{v}e^{-e(\varphi_0-V)/kT},$$

если напряжение, приложенное к контакту, равно V . Описанная картина наглядно иллюстрируется схемой на рис. 7.21. Результирующая плотность тока, протекающего через барьер, равна разности между токами противоположных направлений, т. е.

$$j = \frac{1}{4} Ne\bar{v}e^{-e\varphi_0/kT} (e^{eV/kT} - 1). \quad (7.65)$$

Когда энергия eV отрицательна и по величине превышает kT , то плотность тока мала и составляет приблизительно

$$\frac{1}{4} Ne\bar{v}e^{-e\varphi_0/kT}.$$

Этот ток, текущий в обратном направлении, существенно не зависит от внешнего приложенного напряжения в рамках сделанного предположения (т. е. $eV < 0$ и $|eV| > kT$). Когда энергия eV положительна, ток описывается функцией

$$\frac{1}{4} Ne\bar{v}e^{-e\varphi_0/kT} e^{eV/kT}.$$

Прямой ток может быть очень велик, если выполняется условие $eV/kT \gg 1$. Формула (7.65) представляет собой, в сущности, обобщение экспериментальных результатов типа зависимости, приведенной на рис. 7.19.

ВЫПРЯМЛЯЮЩЕЕ ДЕЙСТВИЕ p — n -ПЕРЕХОДА

Можно различными путями получить германиевые или кремниевые кристаллы, в которых будут одновременно существовать области с n - и p -проводимостью, с очень тонким граничным слоем между ними. Этот слой между областями проводимости двух разных типов

в одном и том же кристалле называется $p-n$ -переходом. Эти $p-n$ -переходы обладают важными электрическими свойствами, в том числе могут осуществлять выпрямление и такие функции, которые выполняют электронные триоды.

Теория $p-n$ -переходов легла в основу получившей широкое развитие физики кристаллических полупроводниковых диодов и триодов.

Обладающие нужными свойствами $p-n$ -переходы в германии создаются несколькими различными способами. Первый способ — получение $p-n$ -перехода при вытягивании монокристаллов методом вытягивания, при котором по мере роста кристалл медленно вытягивается из расплавленного германия.

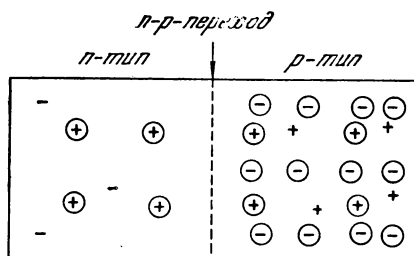


Рис. 7.23. Образование $p-n$ -перехода путем создания области p -типа введением избыточного количества акцепторной примеси, подавляющей доноры и создающей p -проводимость.

Кружками показаны уже ионизованные примесные атомы. Неионизованные примесные атомы не показаны (по Шокли).

Если в расплаве первоначально имелся избыток донорных примесей, то мы вырастим кристалл n -типа. Однако если на некоторой стадии процесса выращивания в расплав быстро ввести акцепторные примеси, то выращенная на последующих стадиях часть кристалла будет относиться уже к p -типу. При этом акцепторы вводятся в такой концентрации, чтобы скомпенсировать действие доноров

и создать некоторый избыток акцепторов (см. схему на рис. 7.23). В левой половине кристалла (область n -типа) имеются только доноры, в правой половине (область p -типа) имеются и доноры, и акцепторы, причем акцепторы — в значительном избытке. Большинство акцепторов находится в неионизованном состоянии и на рисунке не показано.

Для создания $p-n$ -перехода можно использовать процесс плавления. Маленькие шарики, например, индия, помещаются на поверхность кристалла германия n -типа. При нагревании шарики расплавляются и растворяют часть германия. Если далее охлаждать кристалл, то растворенный в жидком индии германий будет выпадать на поверхность кристалла, образуя индий-германиевый слой, обладающий, очевидно, проводимостью p -типа. Это второй способ.

Третий способ получения $p-n$ -переходов основан на использовании различных скоростей роста. Дело в том, что растворимость, в частности сурьмы в твердом германии, возрастает с увеличением скорости роста кристалла. Если скорость роста кристалла велика, он оказывается обогащенным сурьмой и, следовательно, будет обла-

дать проводимостью n -типа. Если скорость роста мала, то акцепторные примеси растворяются легче и оказываются в кристалле в преобладающем количестве, так что получается проводимость p -типа. Следовательно, попеременно меняя скорость роста, мы получим кристалл германия, состоящий из слоев с меняющимся от слоя к слою типом проводимости.

Четвертый способ носит название диффузионного. Этот способ состоит в нагревании образца в атмосфере газа из донорных или акцепторных атомов до высокой температуры; при этом нужная примесь попадает в кристалл из газа путем диффузии через поверхность. Кремниевые элементы солнечных батарей изготовлены именно этим способом. Эти батареи являются наиболее эффективными, успешно разрабатываемыми преобразователями солнечной энергии непосредственно в электрическую (отношение получаемой электрической энергии к полной падающей на батарею солнечной энергии составляет 12%).

Толщина переходного слоя между областями n - и p -типа должна быть мала по сравнению с диффузионной длиной, т. е. расстоянием, которое в среднем проходит носитель тока за время его жизни. Соотношение (7.52) показывает, что в германии при комнатной температуре диффузионная длина L_p (для дырок) равна 0,2 см, поскольку время жизни дырок составляет 10^{-3} сек. Если бы время жизни составляло лишь 10^{-7} сек, то диффузионная длина была бы порядка 10^{-3} см и применение кристаллов с такими свойствами в практических устройствах было бы затруднено. Таким образом, легко видеть, что если мы хотим иметь материал, содержащий $p-n$ -переход, или создавать кристаллические триоды, то время жизни носителей тока должно лежать выше некоторого нижнего предела.

Сначала мы опишем в качественной форме выпрямляющее действие $p-n$ -перехода, а затем остановимся на некоторых деталях расчетного количественного характера.

Если в кристалле имеется $p-n$ -переход, то можно ожидать, что при тепловом равновесии электроны проводимости, поставляемые донорами, будут находиться в основном в области n -типа, где электроны будут нейтрализовать пространственный заряд донорных ионов, в то время как дырки, поставляемые «акцепторными ионами», будут находиться преимущественно в области p -типа. В отсутствие электрического поля при равновесии электроны и дырки, очевидно, не могут оставаться пространственно разделенными $p-n$ -переходом. Если к переходу не приложено электрическое поле, то вследствие диффузии электроны и дырки будут «перемешиваться». Если предположить, что первоначально никакого поперечного (относительно перехода) электрического поля не существует, то дырки будут диффундировать в одном направлении, оставляя за собой отрицательно-

заряженные ионы акцепторов, а электроны — в противоположном направлении, оставляя положительно заряженные ионы доноров. Таким образом, эта первичная диффузия будет приводить к образованию на границе перехода электростатического дипольного слоя, электрическое поле которого препятствует дальнейшей диффузии через границу.

В силу возможности рекомбинации дырки и электрона, сопровождающейся излучением фононов или фотонов, будет существовать слабый ток дырок из p -области в n -область, так как дырки, попадающие в n -область, будут рекомбинировать. Этот ток I_r будет уравниваться током дырок, образующихся в n -области вследствие тепловых флуктуаций и диффундирующих в p -область (ток I_g). При равновесии ток, обусловленный процессом рекомбинации, и ток, возникающий вследствие образования дырок в результате тепловых флуктуаций, будут равны по величине и противоположны по направлению (рис. 7.24, а).

Теперь мы можем описать выпрямляющее действие p — n -перехода в кристалле. Для получения обратного смещающего напряжения (см. рис. 7.24, б) на p -область накладывается отрицательное напряжение, а на n -область — положительное; в результате разность потенциалов между этими двумя областями увеличивается.

Теперь практически ни одна дырка не может преодолеть потенциальный барьер, и ток рекомбинации I_r падает до очень малой величины. На величину тока I_g смещающее напряжение почти не влияет, так как расстояние, которое может пройти диффундирующая дырка за время своей жизни, велико по сравнению с шириной дипольного слоя на p — n -переходе. При прямом смещающем напряжении (рис. 7.24, в) ток I_r согласно закону распределения Больцмана возрастает в соответствии с соотношением

$$I_r = I_g e^{eV/kT}. \quad (7.66)$$

Заметим, что при нулевом смещении $I_r = I_g$, как и должно быть при равновесии. Результирующий ток дырок из p -области в n -область получается как разность [см. (7.65)]

$$I_r - I_g = I_g (e^{eV/kT} - 1). \quad (7.67)$$

При $V = 0$ ток $I_r - I_g$ равен нулю; при увеличении V он экспоненциально возрастает до больших значений и уменьшается, когда eV отрицательно, достигая в пределе значения насыщения $-I_g$.

Электронный ток, текущий через p — n -переход, ведет себя аналогично. Наложенное напряжение, которое уменьшает высоту потенциального барьера для дырок, уменьшает ее и для электронов, и поэтому при таком наложенном напряжении, которое приводит к зна-

чительному дырочному току из p в n -область, большое число электронов перетекает из n -области в p -область. Эти токи складываются,

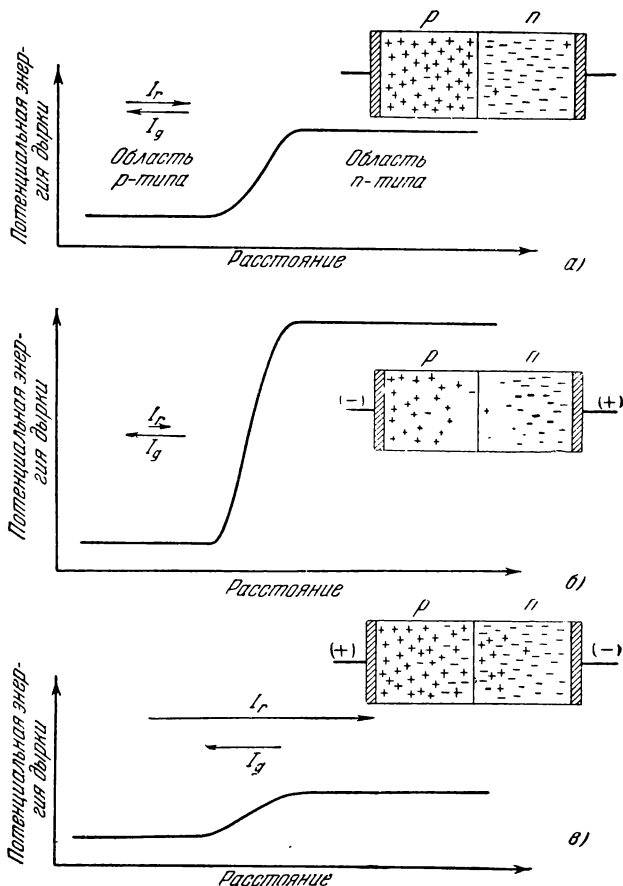


Рис. 7.24. Зависимость токов от смещающего напряжения на $p-n$ -переходе, а именно тока, связанного с рекомбинацией (I_r), и тока, связанного с возбуждением дырок тепловыми флуктуациями (I_g).

Смещение приложено нормально к $p-n$ -переходу. Плюсами и минусами показано распределение носителей тока; а — состояние теплового равновесия, смещающее напряжение отсутствует; б — обратное смещение; в — прямое смещение (по Шокли).

так что для полного результирующего тока, обусловленного как дырками, так и электронами, будем иметь выражение

$$I = I_s (e^{eV/kT} - 1), \quad (7.68)$$

где I_s — сумма двух указанных токов. Как показывают кривые, приведенные на рис. 7.25, формула (7.68) хорошо подтверждается для p — n -переходов в германии. Диффузионная теория выпрямляющего действия p — n -переходов, изложенная выше, подтверждается также

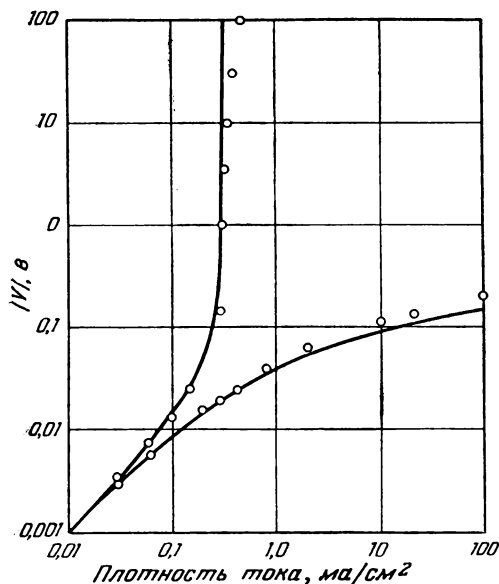


Рис. 7.25. Вольтамперная характеристика p — n -перехода в германии (по Шокли).

Сплошные кривые — теоретические, кружками показаны экспериментальные данные.

фундируют в p -область. Ток, переносимый этими дырками, приблизительно равен произведению их заряда $|e|$ на равновесную плотность дырок p_n в n -области и на среднюю скорость диффузии v_p . Последнюю мы можем принять равной отношению диффузионной длины $L_p = (D_p \tau_p)^{1/2}$ к времени жизни дырок τ_p , т. е.

$$v_p = \frac{(D_p \tau_p)^{1/2}}{\tau_p} = \frac{D_p}{L_p}. \quad (7.69)$$

Для дырок в германии при комнатной температуре, имеющих время жизни 10^{-3} сек, величина v_p может быть порядка 200 см/сек. Тогда, воспользовавшись формулой Эйнштейна

$$D = \frac{\mu k T}{e},$$

измерениями фотоэлектрических эффектов, проведенными Гаучером и его сотрудниками.

Теперь оценим величину тока насыщения I_s . Детальный анализ этого вопроса был дан Шокли. Этот анализ основывался на весьма простой модели процессов, происходящих в области перехода. Рассмотрим прежде всего ток дырок, образующихся в результате тепловых возбуждений; плотность этого тока обозначим через j_{ps} . Предположим, что толщина переходного слоя мала по сравнению с диффузионной длиной, и поэтому мы можем пренебречь процессами рекомбинации, происходящими в самом переходе. Интересующие нас дырки образуются в n -области (см. рис. 7.24) и диф-

получим искомую плотность дырочного тока

$$j \approx \frac{p_n |e| D_p}{L_p} = \frac{p_n n_p kT}{L_p}. \quad (7.70)$$

Эту формулу можно вывести и несколько иным путем. Равновесная плотность дырок в n -области, обозначенная ранее через p_n , остается почти неизменной вплоть до самого переходного слоя (со стороны n -области).

Если теперь перпендикулярно к плоскости перехода наложить потенциал V , то концентрация дырок в n -области вблизи барьера станет равной

$$p_n e^{eV/kT},$$

а избыточная концентрация дырок по сравнению с равновесным значением будет возрастать по закону

$$p_0 = p_n (e^{eV/kT} - 1). \quad (7.71)$$

По мере удаления от перехода в глубину n -области эта избыточная концентрация вследствие рекомбинации изменяется по закону

$$p = p_0 e^{-x/L_p} \quad (7.72)$$

в соответствии с (7.49).

Для плотности тока диффузии имеем

$$j_p = -|e| D_p \text{grad } p = \frac{|e| D_p}{L_p} p. \quad (7.73)$$

В области перехода

$$j_p = \frac{p_n |e| D_p}{L_p} (e^{eV/kT} - 1). \quad (7.74)$$

Итак, результирующая плотность тока, текущего через $p-n$ -переход,

$$j = j_n + j_p = \left(\frac{p_n |e| D_p}{L_p} + \frac{n_p |e| D_n}{L_n} \right) (e^{eV/kT} - 1) \equiv j_s (e^{eV/kT} - 1).$$

Этот результат находится в согласии с формулами (7.68) и (7.70). Видно, что если обе диффузионные длины L_p и L_n достаточно велики, то ток в обратном направлении мал. Следует отметить, что ток достигает «насыщения» (плотность тока насыщения есть j_s), когда V в несколько раз больше, чем величина kT/e , равная при комнатной температуре $\sim 0,026$ в, и что коэффициент выпрямления при

$$V = \pm \frac{kT}{e}$$

составляет $e = 2,73$. Для несколько меньших значений V переход будет в основном играть роль омического сопротивления.

Эти качества, которыми действительно обладает реальный переход, есть следствие того факта, что носители тока имеют электрический заряд, равный одному электронному заряду. Вольтамперные характеристики выпрямителей с $p-n$ -переходами являются лучшими из возможных для простых структур, когда носители тока имеют электрический заряд, равный одному электронному заряду.

Туннельные диоды. Туннельный диод, впервые предложенный Эсаки [8], [9], представляет собой полупроводниковый диод, изготовленный из сильно легированного кремния или германия. В определенном ограниченном интервале напряжений, приложенных в прямом направлении, туннельный диод обладает отрицательным сопротивлением. При высоких частотах и низких выходных мощностях туннельные диоды применяются в качестве усилителей и генераторов; кроме того, они используются также в качестве переключателей в вычислительных машинах.

Концентрация примесей в туннельном диоде может иметь величину порядка 10^{20} см^{-3} . При такой концентрации почти все доноры и акцепторы являются ионизованными при любой температуре. Такое состояние можно характеризовать как вырожденное, и рассматривать полупроводник как полуметалл.

Для работы туннельного диода необходимо, чтобы концентрация электронов по одну сторону перехода и концентрация дырок по другую его сторону была достаточно большой, так как только в этом случае высота потенциального барьера будет достаточной, чтобы сместить уровень Ферми в пределы валентной зоны в p -области и в пределы зоны проводимости в n -области, как показано на рис. 7.26. При более низких концентрациях, которые используются в обычных $p-n$ -переходах, уровень Ферми по обе стороны от $p-n$ -перехода лежит в запрещенной зоне.

В туннельном диоде верхняя часть валентной зоны перекрывается с нижней частью зоны проводимости; величину перекрытия обозначим через Δ . Электроны могут проникать через барьер из области n -типа в область p -типа. Такое проникновение представляет собой специфическое квантовомеханическое явление и носит название *туннельного эффекта*. Туннельный эффект был впервые рассмотрен Зинером, который показал, что под действием сильного локального электрического поля электроны, не изменяя своей энергии, могут совершить туннельный переход из валентной зоны и занять свободные состояния в зоне проводимости, или, наоборот, аналогичным образом перейти из зоны проводимости в валентную зону.

Для определения вида вольтамперной характеристики туннельного диода рассмотрим для простоты переход только в одном направлении.

В отсутствие внешнего напряжения смещения результирующий ток равен нулю: барьер имеет как раз такую высоту, которая обуславливает отсутствие тока. Вместе с тем результирующий ток должен отсутствовать и в том случае, когда к переходу приложено в прямом направлении напряжение смещения $V = \Delta/e$, которое приводит к устранению перекрытия зон. При промежуточных значениях напряжения смещения через переход проходит некоторый результирующий ток

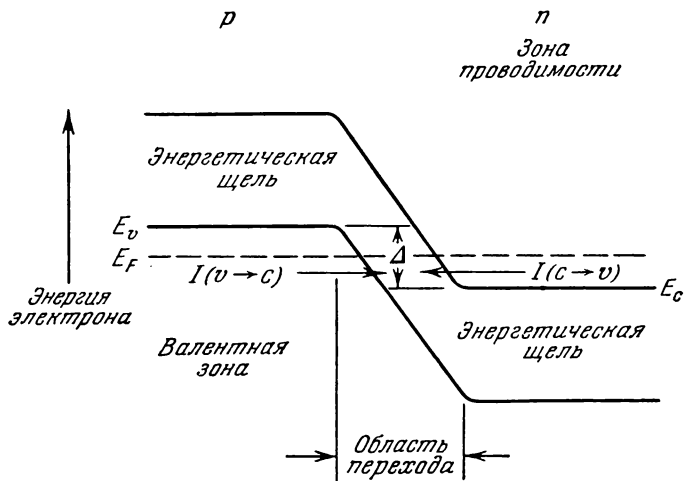


Рис. 7.26. Схема расположения энергетических уровней вблизи перехода в диоде Эсаки (туннельном диоде) при тепловом равновесии. При абсолютном нуле все состояния с энергией, меньшей E_F , заняты электронами.

в прямом направлении. На этот туннельный ток налагаются диффузионные токи (см. рис. 7.25), имеющие место в $p-n$ -переходе, так что окончательная вольтамперная характеристика имеет вид, показанный на рис. 7.27.

Мы можем написать формальное выражение для туннельного тока. Рассмотрим ток, обусловленный электронами, совершающими туннельный переход из валентной зоны в зону проводимости и обладающих энергией dE в пределах области перекрытия.

Этот ток пропорционален числу валентных электронов, обладающих энергией в пределах этого интервала, числу свободных состояний в зоне проводимости, лежащих в том же интервале энергии, и вероятности туннельного перехода из валентной зоны в зону проводимости.

Обозначим через $\rho_c(E)$ и $\rho_v(E)$ плотность состояний в зоне проводимости и валентной зоне, а через $f_c(E)$ и $f_v(E)$ — соответствующие

функции распределения Ферми, характеризующие вероятности того, что данное состояние занято; пусть $Z_{v \rightarrow c}$ и $Z_{c \rightarrow v}$ представляют собой вероятности перехода в одном и другом направлении. Тогда

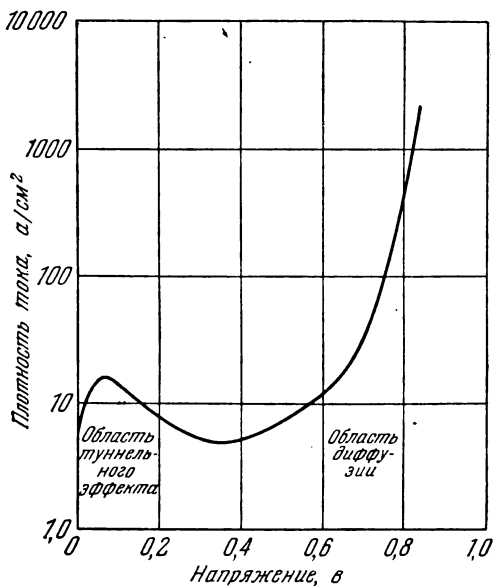


Рис. 7.27. Вольтамперная характеристика кремниевого туннельного диода при наложении напряжения в прямом направлении (по Эсаки).

величина $f_v(E) \rho_v(E)$ представляет собой плотность занятых состояний в валентной зоне в интервале dE , а величина

$$(1 - f_c) \rho_c(E)$$

равна плотности незанятых состояний в зоне проводимости в интервале dE .

Таким образом,

$$I_{v \rightarrow c} = K \int_{E_c}^{E_v} Z_{v \rightarrow c} \rho_v(E) \rho_c(E) f_v (1 - f_c) dE, \quad (7.75)$$

где K — постоянная. Интеграл берется от края E_c зоны проводимости в n -области до края E_v валентной зоны p -области. Аналогично,

$$I_{c \rightarrow v} = K \int_{E_c}^{E_v} Z_{c \rightarrow v} \rho_v(E) \rho_c(E) f_c (1 - f_v) dE.$$

Если принять, что $Z_{v \rightarrow c} = Z_{c \rightarrow v}$, то результирующий ток будет равен

$$I = I_{c \rightarrow v} - I_{v \rightarrow c} = K \int_{E_c}^{E_v} Z (f_c - f_v) \rho_c \rho_v dE. \quad (7.76)$$

При тепловом равновесии вероятность того, что состояние с данной энергией E занято электронами, имеет одинаковую величину в зоне проводимости и в валентной зоне, так что $f_c(E) = f_v(E)$. Следовательно, $I_{c \rightarrow v} = I_{v \rightarrow c}$ и $I = 0$. Если к переходу приложено в прямом направлении напряжение смещения V , то в p -области уровни

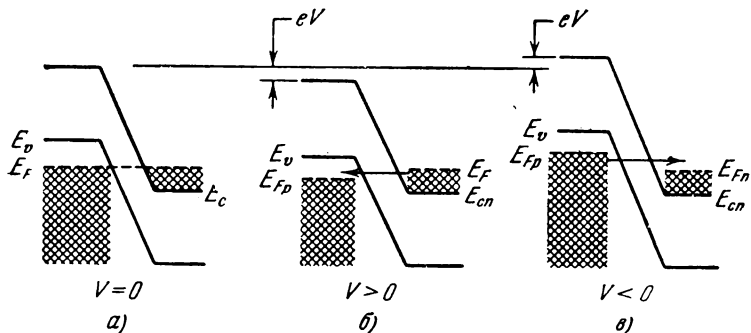


Рис. 7.28. Схема, иллюстрирующая распределение электронов и возникновение туннельного тока при 0°K при различных смещающих напряжениях.

энергии, уровень Ферми и края зон смещаются вниз на величину eV по сравнению с соответствующими уровнями в n -области. Таким образом, при наложении напряжения смещения в прямом направлении величина перекрытия изменяется; при этом меняются и обе компоненты тока.

При $V = \Delta/e$ перекрытия не будет, туннельный эффект исчезнет, и обе компоненты тока обратятся в нуль. Таким образом, при $eV = \Delta$ постоянная K равна нулю.

Чтобы представить себе, как возникает отрицательное сопротивление, рассмотрим туннельный переход при абсолютном нуле.

В соответствии с функцией распределения $f_v(E)$ в p -области все состояния, лежащие ниже уровня Ферми E_{Fp} , заняты, а все состояния выше этого уровня свободны. Аналогичное утверждение справедливо и для функции $f_c(E)$ в n -области. На рис. 7.28, а заштрихованы области, в которых при отсутствии смещения заняты все состояния. При этом оба тока равны нулю. При наложении смещения V в прямом направлении картина изменяется (см. рис. 7.28, б).

Туннельный переход из валентной зоны невозможен ни при каких значениях прямого напряжения смещения, так как всем занятым

состояниям валентной зоны соответствуют занятые же состояния зоны проводимости. Таким образом, при $V \geq \Delta/e$ ток $I_{v \rightarrow c}$ тождественно равен нулю.

Однако туннельный переход из зоны проводимости может осуществляться, поскольку некоторым занятым состояниям в зоне проводимости соответствуют свободные состояния в валентной зоне; таким образом, $I_{c \rightarrow v} > 0$. Поскольку при $V = \Delta/e$ ток $I_{c \rightarrow v}$ опять равен нулю, он должен иметь максимум в интервале $0 < V < \Delta/e$. Ситуация, имеющая место при обратном напряжении смещения, представлена на рис. 7.28, в. Рассуждая аналогичным образом, нетрудно понять, что ни при каком значении обратного смещения туннельный переход из зоны проводимости невозможен, поскольку в этой зоне свободны все состояния с энергией, превышающей E_{Fn} . Таким образом, ток $I_{c \rightarrow v}$ тождественно равен нулю. Наоборот, туннельный ток в обратном направлении отличен от нуля и быстро возрастает с увеличением смещения, поскольку при этом возрастает перекрытие.

Вероятность туннельного перехода Z в формуле (7.76) можно определить экспериментально по вольтамперным характеристикам. Эсаки и Мияхара нашли, что для германия

$$Z = e^{-2 \cdot 10^6 / F},$$

где F — электрическое поле на переходе, выраженное в единицах в/см . Этот результат хорошо согласуется с оценками, сделанными с помощью теории Зинера.

КРИСТАЛЛИЧЕСКИЕ ТРИОДЫ С ТОЧЕЧНЫМ КОНТАКТОМ

Кристаллические триоды с точечным контактом, изобретенные Бардином и Браттейном [10], являются первыми полупроводниковыми устройствами, которые могли выполнять такие функции вакуумных триодов, как усиление и модуляция. Теперь стало возможным собрать современную сложную электронную схему совершенно без вакуумных ламп, пользуясь лишь полупроводниковыми выпрямителями и триодами. Такие схемы обладают рядом преимуществ: не содержат цепей накала, имеют малые габариты и повышенный срок жизни. Для изготовления кристаллических триодов чаще всего применяется германий, так как подвижность носителей тока в нем выше, чем в любых других обычных полупроводниках. Применяется также и кремний, когда условия работы схемы требуют устойчивых характеристик в широком интервале температур.

В настоящее время имеются кристаллические триоды различных типов. Мы сначала рассмотрим первоначальный вариант, предложенный Бардином и Браттейном, который известен как кристаллический триод типа А. Этот триод представляет собой небольшой кристалл германия n -типа (рис. 7.29), на нижней части которого имеется

основной электрод, или база, с большой контактной поверхностью, тогда как сверху помещаются два близко расположенных точечных контакта (расстояние между ними равно 0,01 см). Входной контакт, или эмиттер, обычно включается в прямом направлении (направление с малым сопротивлением), а выходной контакт, или коллектор, — в обратном направлении (направление более высокого сопротивления).

Действие кристаллического триода связано с тем обстоятельством, что ток из эмиттера представляет собой в основном поток положительных дырок.

Дырки притягиваются к коллектору электрическим полем в германиевом кристалле, создаваемым током, текущим к коллектору, на котором имеется сильное смещающее отрицательное напряжение (см.

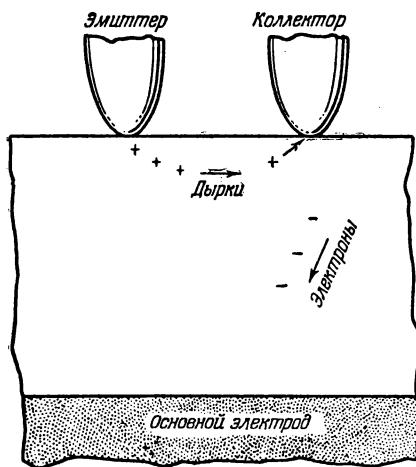


Рис. 7.30. Схема действия кристаллического триода (по Райдеру и Кирчеру).

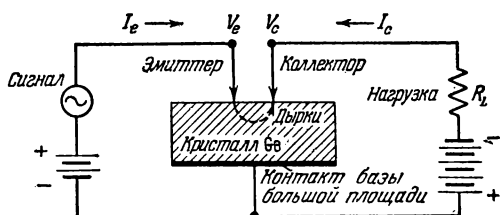


Рис. 7.29. Кристаллический триод с точечными контактами, включенный в схему усиления переменных сигналов.

Показано принятое направление токов. При нормальном смещении I_E и V_C положительны; I_C , V_C отрицательны.

рис. 7.30). Хотя дырки, имеющиеся внутри области выпрямляющего барьера, находятся в области коллектора, они изменяют свойства выпрямляющего барьера. Для того чтобы концентрация дырок вблизи коллектора стала заметно больше концентрации электронов проводимости в германии, достаточно слабого дырочного тока. Благодаря изменению свойств выпрямляющего барьера вблизи коллектора вследствие инжекции дырок эмиттером, коллекторный ток можно модулировать током эмиттера. Коэффициент усиления по току α определяется соотношением

$$\alpha = - \left(\frac{\partial I_C}{\partial I_E} \right)_{V_C = \text{const}} \quad (7.77)$$

Величина α оказывается порядка 2. Усиление по мощности может быть весьма значительным (порядка 20 дБ или больше), поскольку коллекторный ток течет в направлении большого сопротивления. Даже без усиления по току возможно получить усиление по мощности.

КРИСТАЛЛИЧЕСКИЕ ТРИОДЫ С $p-n$ -ПЕРЕХОДАМИ

Шокли, Спаркс и Тил [11] описали важный тип кристаллического германиевого триода, действие которого связано с наличием переходов между областями n - и p -проводимости.

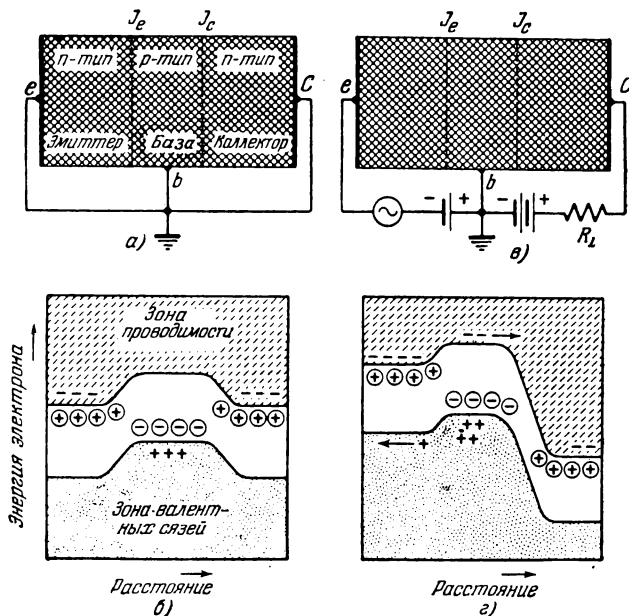


Рис. 7.31. Кристаллический триод с $n-p-n$ -переходом и схема его энергетических уровней (из работы Шокли, Спаркса и Тила [11]).

a и b — состояние теплового равновесия, $в$ и $г$ — наложено постоянное смещающее напряжение; триод может действовать как усилитель. Ширина области, соответствующей основному электроду (базе), должна быть значительно меньше диффузионной длины.

Возможность осуществления триода с $p-n$ -переходами была предсказана ранее Шокли [12] на основе диффузионной теории $p-n$ -переходов. Такой триод с $n-p-n$ -переходами показан на рис. 7.31. Если триод используется как усилитель, то на $p-n$ -переход, обозначенный на рис. 7.31 через J_c , подается смещение в «обратном» направлении, как показано на схеме. Поэтому для электронов в области коллектора затрудняется движение к основному электроду; по той же причине дырки задерживаются в области основного электрода. Электроны, находящиеся в области эмиттера, могут легко переходить в область основного электрода, а затем

диффундировать через правый $p-n$ -переход. Поток носителей заряда, текущий через потенциальный барьер, можно изменять, варьируя потенциал эмиттера и поддерживая при этом потенциал основного электрода постоянным. Область эмиттера делается более проводящей, чем область основного электрода, и поэтому ток, текущий через левый $n-p$ -переход, состоит преимущественно из электронов, движущихся направо, а не из дырок, движущихся налево. При этих условиях описанное устройство по характеру своего действия весьма близко к вакуумной лампе; действительно, область эмиттера соответствует катоду, область основного электрода (базы) — сеточному пространству, а коллектор — аноду.

Когда на коллектор подано положительное относительно основного электрода смещающее напряжение (т. е. в «обратном» для $p-n$ -перехода направлении), через коллекторный барьер будет течь лишь слабый обратный ток электронов и дырок, обусловленный диффузией. Если теперь подать на эмиттерный $n-p$ -барьер отрицательное по отношению к основному электроду смещающее напряжение (в прямом направлении), то через понизившийся эмиттерный барьер в область основного электрода потечет сравнительно большой электронный ток. Если слой основного электрода достаточно тонок и, следовательно, электроны, идущие от эмиттера, не рекомбинируют с дырками в p -области основного электрода, то электроны будут диффундировать через коллекторный барьер, а затем собираться коллекторным полем. Поскольку при введении электронов в кристалл они преодолевают малое прямое полное сопротивление, а на пути к коллектору преодолевают большое обратное полное сопротивление совокупности обоих $p-n$ -переходов, то в результате будет иметь место значительное усиление напряжения. При этом усиление по мощности может достигать 50 дб.

В той же степени, как $p-n$ -переход может служить почти идеальным выпрямителем при комнатной температуре, кристаллический триод с $p-n$ -переходами может почти идеально выполнять функции вакуумной электронной лампы. Специфичность кристаллического триода состоит в том, что ток в нем зависит от напряжения настолько, насколько это максимально возможно для устройства с носителями тока, обладающими электрическим зарядом, равным одному электронному заряду. Причина этого состоит в том, что ток, инжектируемый через эмиттер, изменяется с напряжением по закону Больцмана $\exp(eV/kT)$, точно так же, как это имеет место на простом $p-n$ -переходе. Поэтому в кристаллическом триоде, работающем при комнатных температурах, ток коллектора возрастает в $e = 2,72$ раза при увеличении на kT/e напряжения, приложенного в прямом направлении перпендикулярно к переходу в основном эмиттерном электроде. Это — наибольшая чувствительность, возможная для структуры с носителями тока, обладающими единичным электри-

ческим зарядом и управляемой потенциальным барьером. Свойства $p-n$ -переходов таковы, что кристаллические триоды могут работать при очень малых напряжениях. Действительно, напряжение величиной $0,1-0,2$ в, приложенное к коллекторному переходу, доводит коллекторный ток до значений, близких к насыщению, так что при очень большом полном сопротивлении коллектора получаются характеристики типа пентодных. Это большое полное сопротивление играет основную роль в получении высоких значений усиления, характерных для кристаллических триодов.

Необходимость использования небольших напряжений на коллекторе связана с влиянием больцмановского множителя в области коллекторного перехода; ток доходит до насыщения уже при напряжениях, равных нескольким kT/e , т. е. при нескольких десятых вольта, точно так же, как и в случае простого $p-n$ -перехода.

Теория кристаллических триодов с $p-n-p$ -переходами аналогична теории для триодов с $n-p-n$ -переходами; дело сводится к смене ролей: электроны будут играть роль дырок, а дырки—роль электронов. Имея в своем распоряжении триоды противоположной полярности, мы получаем новые возможности в конструировании схем, и в частности таких, которые на вакуумных лампах вообще неосуществимы. Это преимущество уже использовано в инженерной практике при конструировании пушпульных усилителей, мультивибраторов и т. п.

Кристаллические триоды с $p-n$ -переходами могут действовать на очень низких уровнях мощности (порядка микроватт), и поэтому могут быть использованы для малогабаритных устройств с батарейным питанием. Они также имеют значительно более низкий уровень шумов, чем триоды с точечными контактами. Во многих случаях триоды с $p-n$ -переходами обладают значительными преимуществами перед вакуумными лампами. Триоды с $p-n$ -переходами по сравнению с триодами с точечными контактами имеют еще то преимущество, что с ними мы застрахованы от опасности короткого замыкания, так как входное и выходное полные сопротивления всегда положительны, независимо от того, что заземляется—эмиттер, основной электрод или коллектор. Они имеют большое усиление, например, по мощности мы можем получать $40-50$ дб на каскад. Велика также их экономичность: в классе A можно получить коэффициент полезного действия порядка $48-49\%$ (тогда как идеальный к. п. д. для таких устройств равен 50%). Малые размеры (триод помещается в пластмассовый корпус диаметром $4-5$ мм) обеспечивают высокую механическую прочность. Использование этих триодов в низкочастотных устройствах звуковоспроизведения показывает, что они практически не обнаруживают микрофонного эффекта. Потребляемая ими мощность довольно мала: низкочастотный усилитель потребляет микроватты, тогда как аналогичное устройство с вакуумными лампами и целыми накала потребляет ватты.

ЗАДАЧИ

7.1. Известно, что у кристаллов InSb ширина запрещенной зоны $E_g = 0,18$ эв, $\epsilon = 17$, $m_e = 0,014 m$. Вычислить: а) энергию ионизации доноров, б) радиус орбиты в основном состоянии, в) найти, при какой минимальной концентрации доноров станут заметными эффекты, связанные с перекрытием орбит соседних примесных атомов, г) определить концентрацию электронов проводимости при 4°K , если для данного образца $N_d = 1 \cdot 10^{14} \text{ см}^{-3}$.

7.2. а) Рассмотреть качественно явление примесной компенсации, т. е. уменьшение концентрации носителей и уменьшение проводимости полупроводника, который первоначально имел проводимость данного (n или p) типа, при добавлении примесей другого типа.

б) Пусть в образце германия при комнатной температуре концентрация доноров $N_d = 10^{17} \text{ см}^{-3}$. Оценить величину n до и после того, как в образец были введены акцепторы с концентрацией $N_a = 10^{17} \text{ см}^{-3}$. Принять, что $m_e = m_h$, и что энергии ионизации доноров и акцепторов равны между собой.

в) Может ли служить доказательством высокой чистоты образца тот факт, что его проводимость близка к собственной? Может ли проводимость быть больше собственной? Почему?

7.3. В образце германия подвижность электронов равна $3600 \text{ см}^2/\text{в} \cdot \text{сек}$, а дырок $1600 \text{ см}^2/\text{в} \cdot \text{сек}$. В этом образце эффект Холла не наблюдается. Какая часть тока переносится дырками?

7.4. Концентрация акцепторов в полупроводнике равна 10^{18} см^{-3} . Энергетический уровень этих акцепторов на $0,5$ эв выше, чем потолок валентной зоны кристалла. Вычислить электропроводность материала при комнатной температуре (300°K) и при температуре жидкого кислорода (90°K), если подвижность дырок в валентной зоне кристалла равна $100 \text{ см}^2/\text{в} \cdot \text{сек}$.

7.5. Показать, что если N_a и N_d сравнимы по величине и в свою очередь велики по сравнению с n_+^0 и n_-^0 , то имеет место приближенное соотношение

$$\frac{n}{p} \cong \left(\frac{m_e}{m_h} \right)^{3/2} \frac{N_d}{N_a} \cdot \frac{e^{-E_d/kT}}{e^{-E_a/kT}},$$

где E_d — энергия ионизации доноров, E_a — акцепторов.

7.6. Почему германий и кремний имеют металлический блеск и на глаз производят впечатление металлов, а алмаз — нет?

7.7. Разность работ выхода двух металлов равна 2 эв. Если эти металлы привести в контакт, то некоторое количество электронов перейдет из одного металла в другой. Однако этот процесс происходит только вблизи поверхности соприкосновения.

Можно предположить, что электроны перемещаются лишь на расстояние $3 \cdot 10^{-8}$ см. Вычислить, сколько электронов перемещается на участке граничной поверхности площадью 1 см^2 .

7.8. Дать детальное объяснение механизма, посредством которого $p-n$ -переход под действием света отдает в цепь электрическую энергию. (Именно на этом процессе основано действие кремниевых солнечных батарей; см. [13].)

7.9. Кратко описать конструкцию и принципы работы следующих устройств:

- а) фототранзистор,
- б) кристаллический триод с $p-n-i-p$ -переходами (см. работу [14]).

7.10. Коэффициент выпрямления определяется как отношение прямого тока к обратному при изменении приложенного напряжения соответственно от $+|V|$ до $-|V|$. Вывести формулу для этого коэффициента в случае, когда выпрямляющим слоем служит $p-n$ -переход, и начертить график его зависимости от $|V|$ (в логарифмическом масштабе). Иметь в виду, что формула Вагнера не учитывает сопротивления материала выпрямителя.

7.11. Предположим, что избыточный заряд в дипольном слое, образовавшемся на $p-n$ -переходе, в направлении, нормальном к переходу, линейно изменится от положительных к отрицательным значениям (с другой стороны перехода). Вычислить величину избыточного заряда на одной стороне перехода как функцию обратного потенциала V и толщины барьера L . Показать, что емкость перехода зависит от V по закону $V^{-1/3}$.

7.12. Спроектировать простой однокаскадный низкочастотный усилитель на кристаллическом триоде, предназначенный для использования в слуховом аппарате, используя характеристики обычных имеющихся в продаже транзисторов.

ГЛАВА 8

МАГНЕТИЗМ И МАГНИТНЫЙ РЕЗОНАНС

Настоящая глава начинается с изложения разработанной Ланжевеном классической теории диамагнитной и парамагнитной восприимчивости газов. Затем дается квантовомеханическая трактовка. Обсуждаются свойства парамагнитных ионов в твердых телах и описывается получение очень низких температур методом адиабатического размагничивания парамагнитных солей. Изложены основы теории магнитного резонанса в ядерных и электронных системах, в переменных электромагнитных полях радиочастотного и СВЧ-диапазонов. Даются основные сведения о ферромагнетиках и антиферромагнетиках.

ДИАМАГНЕТИЗМ

Диамагнетиками называются вещества с отрицательной магнитной восприимчивостью. Вещества с положительной магнитной восприимчивостью называются парамагнетиками. *Магнитная восприимчивость* χ (на единицу объема) определяется как отношение

$$\chi = \frac{M}{H},$$

где M — магнитный момент единицы объема, называемый обычно намагниченностью, H — напряженность магнитного поля. Наряду с этим определением восприимчивости (на единицу объема) часто используется восприимчивость на единицу массы или на моль (молярная восприимчивость). В последнем случае применяется обозначение χ_M .

Почти во всех работах, посвященных исследованиям магнитных свойств, в мировой научной литературе используется гауссова (абсолютная) система единиц. Поэтому нет серьезных причин основные соотношения, которые будут даны в настоящей главе, записывать и в гауссовой системе, и в системе МКС, как мы это делали в гл. 4, посвященной диэлектрикам.

В гауссовой системе единиц напряженность магнитного поля выражается в эрстедах. Если нам известно число ампер-витков на метр, то величину соответствующего магнитного поля в эрстедах мы

получим, умножив это число на $4\pi/10^3$. В гауссовой системе магнитная индукция B выражается в гауссах. Если нам известна величина индукции в единицах *вебер*/ m^2 , то значение в гауссах мы получим умножением этой величины на 10^4 . Если в системе МКС мы имеем

$$B = \mu_0 \mu H = \mu_0 (H + M),$$

то в гауссовой системе единиц

$$B = \mu H = H + 4\pi M,$$

а следовательно, для магнитной проницаемости (в той же системе единиц) получим

$$\mu = \frac{B}{H} = 1 + 4\pi \left(\frac{M}{H} \right) = 1 + 4\pi \chi.$$

Диамагнетизм связан с тенденцией электрических зарядов частично экранировать внутреннюю часть тела от внешнего магнитного поля. Из учения об электромагнетизме нам известен закон Ленца, согласно которому всякое изменение магнитного потока через электрический контур индуцирует в контуре ток такого направления, что его магнитный эффект будет противодействовать указанному изменению. В цепи без сопротивления, например, в кольце из сверхпроводника или в электронной орбите атома, индуцированный ток сохраняется до тех пор, пока существует поле; магнитный момент, связанный с этим током, и есть диамагнитный момент.

Вывод формулы Ланжевена в случае диамагнетизма. Обычный классический вывод основан на теореме Лармора¹⁾, согласно которой движение электрона в атоме под действием магнитного поля H с точностью до первого порядка относительно H происходит так же, как и в отсутствие поля, только имеет место общая прецессия с угловой частотой

$$\omega_L = - \frac{eH}{2mc}, \quad (8.1)$$

или $f_L = 1,40H \text{ Мгц/э}$. Таким образом, если поле накладывается медленно, движение рассматриваемой системы вращающихся электронов будет таким же, как и до наложения поля. Прецессия системы электронов эквивалентна диамагнитному току

$$I = - \frac{Ze (eH/2mc)}{2\pi c} \quad (8.2)$$

(в электромагнитных единицах).

¹⁾ О теореме Лармора см., например, книгу Голдстейна [1].

Поскольку магнитный момент μ кругового тока равен произведению силы тока на площадь контура, то для Z электронов имеем

$$\frac{\mu}{H} = -\frac{Ze^2}{4mc^2} \overline{\rho^2}, \quad (8.3)$$

где $\overline{\rho^2} = \overline{x^2} + \overline{y^2}$ — среднее значение квадрата расстояния электрона от оси z , параллельной полю, в плоскости, перпендикулярной к оси z . Если воспользоваться понятием среднего квадрата расстояния $\overline{r^2} = \overline{x^2} + \overline{y^2} + \overline{z^2}$ для электронов атома, взяв за начало координат ядро, то в случае, когда распределение заряда в среднем имеет сферическую симметрию, можно считать, что $\overline{x^2} = \overline{y^2} = \overline{z^2}$, и поэтому

$$\overline{r^2} = \frac{3}{2} \overline{\rho^2}. \quad (8.4)$$

Тогда диамагнитная восприимчивость на единицу объема

$$\chi = -\frac{Ze^2 N}{6mc^2} \overline{r^2}, \quad (8.5)$$

где N — число атомов в единице объема.

Полученная формула (8.5) представляет собой ланжевеновское выражение для диамагнитной восприимчивости с учетом поправок, внесенных Паули.

Типичные экспериментальные значения молярной диамагнитной восприимчивости для инертных газов даны в приводимой ниже таблице:

Газ	He	Ne	Ar	Kr	Xe
$\chi, 10^{-6} \text{ см}^3/\text{моль}$	—1,9	—7,2	—19,4	—28,0	—43,0

Вывод теоремы Лармора для частного случая. Рассмотрим электрон, движущийся по круговой орбите радиуса r вокруг неподвижного ядра. Условие равенства центробежной силы силе кулоновского притяжения дает

$$m\omega_0^2 r = \frac{e^2}{r^2},$$

откуда

$$\omega_0 = \left(\frac{e^2}{mr^3} \right)^{1/2}. \quad (8.6)$$

При наличии внешнего магнитного поля H , перпендикулярного к плоскости орбиты, возникает сила Лорентца

$$\mathbf{F} = \frac{e}{c} \mathbf{v} \times \mathbf{H},$$

и, следовательно, условие равенства сил примет вид

$$m\omega^2 r = \frac{e^2}{r^2} - \frac{e}{c} r \omega H.$$

Отсюда для частоты получим

$$\omega = \pm \left[\left(\frac{eH}{2mc} \right)^2 + \left(\frac{e^2}{mr^3} \right) \right]^{1/2} - \frac{eH}{2mc}. \quad (8.7)$$

Если

$$\omega_0 \gg \frac{eH}{2mc},$$

то приближенно получим формулу

$$\omega = \pm \omega_0 - \frac{eH}{2mc}, \quad (8.8)$$

второй член которой дает выражение для частоты ларморовой прецессии ω_L (см. (8.1)). Легко заметить, что для свободного электрона

$$\omega = \frac{eH}{mc}.$$

Эта величина известна как циклотронная (или магнетронная) частота. Она, очевидно, равна удвоенной частоте ларморовой прецессии для связанного электрона.

Для твердых тел вклад в магнитную восприимчивость, обусловленный диамагнетизмом ионных остовов, описывается приближенно формулой Ланжевена (8.5). Значительно труднее оценить вклад электронов проводимости. Отметим лишь, что носители тока с очень малой эффективной массой дают диамагнитную восприимчивость, которая может значительно превышать (для $m^*/m \ll 1$) вклад свободных электронов, величина которого была оценена в гл. 5.

Обычные методы измерения диамагнитной и парамагнитной восприимчивости сводятся к определению сил, действующих на образец в неоднородном магнитном поле, при любом конкретном способе измерения. Величина силы F определяется градиентом магнитной энергии, т. е.

$$F = \frac{1}{2} \text{grad} \int \chi H^2 dV, \quad (8.9)$$

где χ — объемная восприимчивость.

ПАРАМАГНЕТИЗМ

Электронным парамагнетизмом (положительный вклад в χ) обладают:

1. Все атомы и молекулы, имеющие нечетное число электронов, поскольку в этом случае полный спин системы не может быть ра-

вен нулю, например, свободные атомы натрия, газообразная окись азота NO, органические свободные радикалы, такие, как трифенилметил $C(C_6H_5)_3$.

2. Все свободные атомы и ионы с незаполненной внутренней оболочкой (элементы переходных групп, изоэлектронные ионы этих элементов, редкоземельные металлы и элементы группы актинидов). Примерами могут служить Mn^{2+} , Gd^{3+} , U^{+4} . Многие из этих ионов обнаруживают парамагнитные свойства и в твердых соединениях, и в растворах, но не всегда.

3. Ряд смешанных соединений с четным числом электронов, включая молекулярный кислород и органические бирадикалы.

4. Металлы. (Парамагнетизм электронов проводимости рассматривался в гл. 5 и 6.)

Теория парамагнетизма Ланжевена. Рассмотрим среду, в которой на единицу объема приходится N атомов. Каждый атом обладает магнитным моментом, равным μ . Под действием внешнего магнитного поля в среде возникает намагниченность, обусловленная ориентацией магнитных моментов вдоль этого поля. Установлению этой ориентации препятствует тепловое движение атомов. Энергия взаимодействия V момента μ с внешним магнитным полем H выражается скалярным произведением:

$$V = -\mu H. \quad (8.10)$$

Намагниченность при тепловом равновесии вычисляется точно тем же способом, что и дебаевская ориентационная поляризуемость (гл. 4), только p заменяется на μ , а E на H . Следовательно, для намагниченности мы получим

$$M = N\mu L(a), \quad (8.11)$$

где $a = \mu H/kT$, а $L(a)$ функция Ланжевена

$$L(a) = \coth a - \frac{1}{a}.$$

При $a \ll 1$ гиперболический котангенс можно разложить в ряд, ограничившись первыми двумя членами, тогда

$$L(a) \cong \frac{a}{3},$$

и, следовательно,

$$M \cong \frac{N\mu^2 H}{3kT}. \quad (8.12)$$

Если магнитный момент обусловлен только спином электрона, то он имеет величину порядка магнетона Бора, т. е. $\mu \approx 10^{-20}$. При

комнатной температуре ($T \approx 300^\circ \text{K}$) в поле $H \cong 10^4$ э получим

$$\frac{\mu H}{kT} \cong \frac{1}{400},$$

и поэтому функцию Ланжевена вполне можно принять равной $\mu H/3kT$. При низких температурах наблюдаются эффекты насыщения (рис. 8.1).

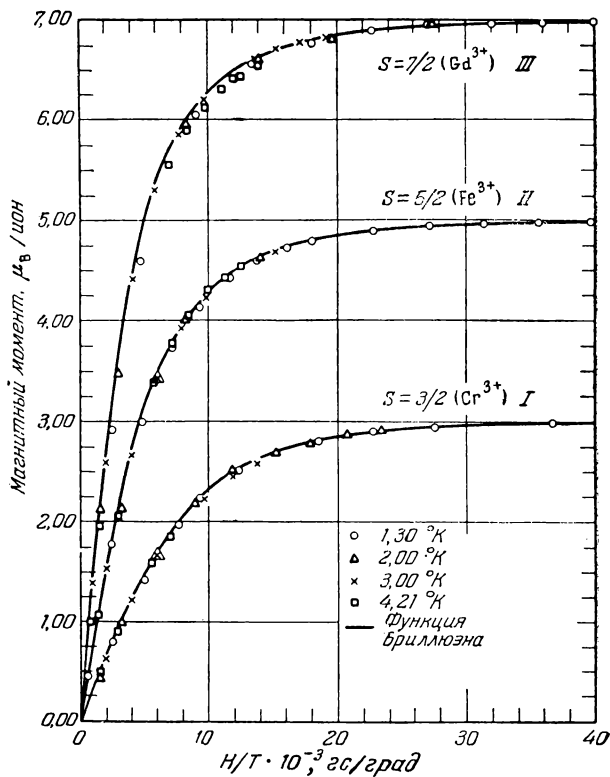


Рис. 8.1. Зависимость магнитного момента от отношения H/T для сферических образцов [2].

I — хромовокайевые квасцы, II — железоаммониевые квасцы, III — сульфат гадолиния (октогидрат). Магнитное насыщение, превышающее 99,5%, достигается при температуре 1,3 °K и поле 50 000 эс.

В предельном случае $\mu H/kT \ll 1$ для магнитной восприимчивости будем иметь

$$\chi = \frac{M}{H} = \frac{N\mu^2}{3kT} = \frac{C}{T}, \quad (8.13)$$

где C — постоянная Кюри:

$$C = \frac{N\mu^2}{3k}.$$

Зависимость $\chi = C/T$ известна как *закон Кюри*, а общее выражение (8.11) как уравнение Ланжевена.

Квантовая теория парамагнетизма. Прежде всего рассмотрим парамагнетизм системы электронных спинов, момент которых в единицах \hbar равен $1/2$. В магнитном поле H энергетические уровни расщепляются. Согласно элементарной теории эффекта Зеемана величина расщепления

$$\begin{aligned} \Delta W &= 2|\mu_z|H = \\ &= g \frac{e\hbar}{2mc} H = g\mu_B H, \quad (8.14) \end{aligned}$$

где для спина электрона коэффициент g , называемый *фактором спектроскопического расщепления*, равен 2,00, магнетон Бора

$$\begin{aligned} \mu_B &= \frac{e\hbar}{2mc} = \\ &= -0,927 \cdot 10^{-20} \text{ эрг/э.} \end{aligned}$$

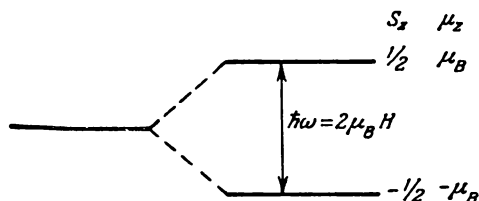


Рис. 8.2. Схема расщепления энергетических уровней электрона в магнитном поле H , направленном по оси z , при учете лишь спинового момента.

Заметим, что магнетон Бора $\mu_B = e\hbar/2mc$ здесь используется как отрицательное число.

Расщепление уровня, обусловленное наличием электронного спина, иллюстрируется схемой на рис. 8.2. В случае свободных атомов могут существовать и орбитальные моменты; тогда g -фактор выражается формулой Ланде:

$$g = 1 + \frac{J(J+1) + S(S+1) - L(L+1)}{2J(J+1)}, \quad (8.15)$$

где J , S , L — квантовые числа соответственно полного, спинного и орбитального моментов количества движения.

Если в системе имеются только два уровня, 1 и 2, то в магнитном поле при тепловом равновесии относительное заполнение этих уровней описывается уравнениями

$$\left. \begin{aligned} \frac{N_1}{N} &= \frac{e^{\mu H/kT}}{e^{\mu H/kT} + e^{-\mu H/kT}}, \\ \frac{N_2}{N} &= \frac{e^{-\mu H/kT}}{e^{\mu H/kT} + e^{-\mu H/kT}}, \end{aligned} \right\} \quad (8.16)$$

где N_1 и N_2 — числа атомов в состояниях, соответствующих уровням 1 и 2, а $N = N_1 + N_2$ — общее число атомов. Проекция магнитного момента атома, находящегося на верхнем уровне (1), на направление

поля равна $g\mu_B/2$, а атома на нижнем уровне (2) — $g\mu_B/2$. Следовательно, результирующая намагниченность N атомов (на единицу объема)

$$M = \frac{Ng\mu_B}{2} \frac{e^x - e^{-x}}{e^x + e^{-x}} = \frac{Ng\mu_B}{2} \operatorname{th} x, \quad (8.17)$$

где $x = g\mu_B H/kT$. При $x \ll 1$ гиперболический тангенс можно считать приближенно равным своему аргументу, т. е. $\operatorname{th} x \cong x$, и поэтому

$$M \cong \frac{Ng\mu_B}{2} \frac{g\mu_B H}{2kT}.$$

Атом с полным моментом количества движения, характеризуемым квантовым числом J , в магнитном поле может иметь одну из $2J+1$ ориентаций, каждой из которых отвечает энергетический уровень. Тогда для намагниченности будем иметь

$$M = NgJ\mu_B B_J(x), \quad (8.18)$$

где $x = gJ\mu_B H/kT$, B_J — функция Бриллюэна

$$B_J = \frac{2J+1}{2J} \operatorname{cth} \left(\frac{(2J+1)x}{2J} \right) - \frac{1}{2J} \operatorname{cth} \frac{x}{2J}. \quad (8.19)$$

При $x \ll 1$ для восприимчивости χ получим

$$\chi = \frac{NJ(J+1)g^2\mu_B^2}{3kT} = \frac{Np^2\mu_B^2}{3kT}, \quad (8.20)$$

где p — эффективное число магнетонов Бора, определяемое соотношением

$$p = g[J(J+1)]^{1/2}. \quad (8.21)$$

Оценим порядок величины объемной восприимчивости. Полагая приближенно, что число атомов в 1 см^3 равно $N \approx 10^{22}$ (для твердых тел), $\mu \approx 10^{-20}$ ед. СГС, получим $\chi \approx 1/400 \text{ Т}$. При $T = 300^\circ \text{ К}$ восприимчивость χ порядка 10^{-5} , при $0,3^\circ \text{ К}$ — порядка 10^{-2} .

Ионы редкоземельных металлов. Приведенное ниже рассмотрение относится прежде всего к атомам, у которых в отсутствие магнитного поля имеет место вырождение основного состояния кратности $2J+1$. Это вырождение снимается при наложении внешнего магнитного поля. Влиянием всех состояний высокой энергии при этом пренебрегаем. Как можно видеть из данных, приведенных в табл. 8.1, эти условия выполняются для ряда ионов редкоземельных металлов, за исключением Sm^{3+} и Eu^{3+} .

Таблица 8.1

**Эффективное число магнетонов Бора для трехвалентных ионов
редких земель
(область комнатных температур)**

Ион	Конфигурация	Основной уровень	$p_{\text{выч}} = g [J(J+1)]^{1/2}$	$p_{\text{эксп}}$ (приближенно)
Ce ³⁺	4f ¹ 5s ² 6p ⁶	2F _{5/2}	2,54	2,4
Pr ³⁺	4f ² 5s ² 6p ⁶	3H ₄	3,58	3,5
Nd ³⁺	4f ³ 5s ² 6p ⁶	4I _{9/2}	3,62	3,5
Pm ³⁺	4f ⁴ 5s ² 6p ⁶	5I ₄	2,68	—
Sm ³⁺	4f ⁵ 5s ² 6p ⁶	6H _{5/2}	0,84	1,5
Eu ³⁺	4f ⁶ 5s ² 6p ⁶	7F ₀	0	3,4
Gd ³⁺	4f ⁷ 5s ² 6p ⁶	8S _{7/2}	7,94	8,0
Tb ³⁺	4f ⁸ 5s ² 6p ⁶	7F ₆	9,72	9,5
Dy ³⁺	4f ⁹ 5s ² 6p ⁶	6H _{15/2}	10,63	10,6
Ho ³⁺	4f ¹⁰ 5s ² 6p ⁶	5I ₈	10,60	10,4
Er ³⁺	4f ¹¹ 5s ² 6p ⁶	5I _{15/2}	9,59	9,5
Tm ³⁺	4f ¹² 5s ² 6p ⁶	3H ₆	7,57	7,3
Yb ³⁺	4f ¹³ 5s ² 6p ⁶	2F _{7/2}	4,54	4,5

Значения $p_{\text{выч}}$ (эффективное число магнетонов Бора) вычислялись при g -факторе, определенном по формуле Ланде (8.15) для основного состояния, предсказываемого теорией спектральных термов Хунда. Правило Хунда утверждает, что для эквивалентных электронов основное состояние имеет максимальную допускаемую принципом Паули мультиплетность $2S+1$ и максимальное значение орбитального квантового числа L , совместимое с данной мультиплетностью. Из этого правила следует также, что квантовое число полного момента J равно $|L-S|$, если оболочка заполнена менее, чем наполовину, и $|L+S|$, если оболочка заполнена более, чем наполовину.

Ионы группы железа. Данные табл. 8.2 показывают, что для солей элементов группы железа (в периодической системе — это переходная группа элементов с недостроенной $3d$ -оболочкой) экспериментальные значения p плохо согласуются с предсказываемыми формулой (8.21), однако, как заметили Зоммерфельд, Бозе и Стонер, если взять для эффективного числа магнетонов Бора формулу

$$p = 2 \sqrt{S(S+1)}, \quad (8.22)$$

то согласие получается вполне хорошим. Формула (8.22) означает, что орбитальным моментом мы вообще пренебрегаем. Именно это обычно имеют в виду, когда говорят, что орбитальные моменты «заморожены» в кристалле.

Таблица 8.2

Эффективное число магнетонов Бора для ионов группы железа *)

Ион	Конфигурация	Основной уровень	$\mu_{\text{выч}} = g [J(J+1)]^{1/2}$	$\mu_{\text{выч}} = 2 [S(S+1)]^{1/2}$	$\mu_{\text{эксп}}$	$g_{\text{эксп}}$
Ti ³⁺ , V ⁴⁺	3d ¹	² D _{3/2}	1,55	1,73	1,8	—
V ³⁺	3d ²	³ F ₂	1,63	2,83	2,8	(1,98)
Cr ³⁺ , V ²⁺	3d ³	⁴ F _{3/2}	0,77	3,87	3,8	(1,97)
Mn ³⁺ , Cr ²⁺	3d ⁴	⁵ D ₀	0	4,90	4,9	2,0
Fe ³⁺ , Mn ²⁺	3d ⁵	⁶ S _{5/2}	5,92	5,92	5,9	2,0
Fe ²⁺	3d ⁶	⁵ D ₄	6,70	4,90	5,4	2,2
Co ²⁺	3d ⁷	⁴ F _{9/2}	6,63	3,87	4,8	2,5
Ni ²⁺	3d ⁸	³ F ₄	5,59	2,83	3,2	2,3
Cu ²⁺	3d ⁹	² D _{5/2}	3,55	1,73	1,9	2,2

*) В столбце $\mu_{\text{эксп}}$ приведены наиболее характерные значения; в столбце $g_{\text{эксп}}$ даны величины, вычисленные по формуле $g = \mu_{\text{эксп}} / \sqrt{S(S+1)}$.

Основная причина различия в поведении солей элементов группы редких земель и элементов группы железа состоит в том, что 4f-оболочка, обуславливающая парамагнетизм редкоземельных элементов, лежит у них глубоко внутри иона и частично экранируется окружающими ее 5s- и 5p-оболочками, тогда как в ионах элементов группы железа парамагнетизм обусловлен 3d-оболочкой, которая в ионном состоянии атома оказывается внешней, следовательно, наиболее удаленной от ядра. Таким образом, 3d-оболочка в кристалле подвергается воздействию со стороны сильных локальных электрических полей соседних ионов и дипольных моментов молекул кристаллизационной воды. Взаимодействие парамагнитных ионов с внутрикристаллическими электрическими полями приводит к двум существенным эффектам: во-первых, связь векторов \mathbf{L} и \mathbf{S} в значительной степени разрушается, так что состояния уже нельзя больше классифицировать с помощью соответствующих значений J , и, во-вторых, $2L+1$ подуровней, относящихся к данному уровню L , который является вырожденным в свободном ионе, могут теперь расщепляться. В некоторых случаях этот эффект может быть весьма значительным и, следовательно, вклад орбитального движения в величину магнитного момента — большим.

«Замораживание» орбитальных моментов. В электрическом поле, образованном каким-то фиксированным центром, например, ядром, плоскость классической орбиты остается неизменной в пространстве и, следовательно, компоненты орбитального момента L_x , L_y , L_z являются постоянными. В квантовой теории только одна из

этих компонент (обычно принимают L_z) и квадрат полного орбитального момента L^2 остаются постоянными в центральном поле. Если на центральное поле накладывается неоднородное электрическое поле, то плоскость орбиты будет поворачиваться; компоненты момента уже не будут постоянными и могут даже обращаться в нуль, иначе говоря, величина L_z уже не будет интегралом движения, хотя величину L^2 с хорошим приближением еще можно считать постоянной. Если L_z при усреднении обращается в нуль, то говорят о «замораживании» орбитальных моментов.

Магнитный момент в некотором состоянии можно определить как среднее значение величины, описываемой оператором

$$\mu_B(L + 2S),$$

в этом состоянии. Если магнитное поле направлено по оси z , то орбитальная часть магнитного момента пропорциональна ожидаемому значению L_z ; поэтому, если механический момент отсутствует, то орбитальная часть магнитного момента равна нулю.

Если ввести в рассмотрение спин-орбитальное взаимодействие как дополнительное возмущение в системе, то «замораживание» может быть частично снято, так как к спиновому моменту частично добавится орбитальный. Если знак спин-орбитального взаимодействия таков, что параллельная ориентация спинового и орбитального моментов является предпочтительной, то полный магнитный момент будет больше чисто спинового магнитного момента и g -фактор будет больше 2. Экспериментальные данные, приведенные в табл. 8.2, согласуются с хорошо известным характером изменения знака спин-орбитального взаимодействия, а именно, $g > 2$, когда $3d$ -оболочка заполнена более, чем наполовину, $g = 2$, когда она заполнена точно наполовину, и $g < 2$, когда она заполнена менее, чем наполовину.

Ядерный парамагнетизм. Атомные ядра имеют магнитные моменты примерно в тысячу раз меньшие, чем магнитный момент электрона. Следовательно, согласно (8.12) ядерная парамагнитная восприимчивость системы, состоящей из данного числа частиц, будет примерно в 10^6 раз меньше, чем электронная парамагнитная восприимчивость системы, состоящей из того же числа частиц. Значения магнитных моментов некоторых ядер приведены в табл. 8.3.

Получение низких температур методом адиабатического размагничивания парамагнитных солей. Адиабатическое размагничивание является универсальным методом получения температур ниже 1°K . Этим методом удалось достичь температур ниже $0,001^\circ\text{K}$. Метод основан на том факте, что под действием магнитного поля энтропия системы магнитных моментов уменьшается. Энтропия всегда является мерой упорядоченности системы; чем больше неупорядоченность, тем больше энтропия. При наличии поля магнитные моменты частично ориентируются по полю, т. е. частично упорядочиваются; в результате

Таблица 8.3

Ядерные магнитные моменты

(значения магнитных моментов даны в ядерных магнетонах:

$$\mu_p = \frac{e\hbar}{2M_p c} = 5,05 \cdot 10^{-24} \text{ эрг/э})$$

Ядро	Спин	Магнитный момент	Ядро	Спин	Магнитный момент
Нейтрон	1/2	—1,913	Na ²³	3/2	2,217
H ¹	1/2	2,793	Mn ⁵⁵	5/2	3,468
D ²	1	0,857	Co ⁵⁹	7/2	4,648
Li ⁷	3/2	3,256	Ta ¹⁸¹	7/2	2,1

этого энтропия уменьшается. Энтропия уменьшается также при понижении температуры, поскольку при этом большее число моментов становится ориентированным в одном направлении. Если поле можно снять, не изменяя энтропии, то возникающая неупорядоченность в спиновой системе будет относиться к более низкой температуре. При адиабатическом размагничивании образца теплота может притекать в спиновую систему только от решетки. Энтропия решетки при интересующих нас температурах пренебрежимо мала, поэтому при адиабатическом размагничивании образца энтропию спиновой системы можно считать практически постоянной.

Найдем прежде всего выражение для спиновой или магнитной энтропии системы N ионов, каждый из которых имеет спин J , причем температуру системы мы считаем столь большой, что в ориентации спинов имеет место полная неупорядоченность. Иначе говоря, предполагается, что температура T значительно больше, чем некоторая температура θ_0 , характеризующая энергию взаимодействия, стремящуюся ориентировать спины в каком-то преимущественном направлении. В результате для энтропии получим

$$S = Nk \ln (2J + 1). \quad (8.23)$$

Этот результат вытекает непосредственно из известной формулы Больцмана для энтропии

$$S = k \ln W, \quad (8.24)$$

где W — число независимых расположений элементов системы, соответствующих данному закону распределения. Если температура достаточно велика и все подуровни системы заполнены примерно одинаково, то число указанных расположений W есть число способов распреде-

ления N спинов по $2J+1$ подуровням системы, поскольку в этих условиях энергетически возможно практически любое расположение.

Таким образом,

$$W = (2J+1)^N \quad (8.25)$$

и, следовательно,

$$S = k \ln (2J+1)^N = Nk \ln (2J+1). \quad (8.26)$$

Это и есть та энтропия, которая может быть снижена наложением магнитного поля, так как магнитное поле расщепляет энергетические уровни. Тенденция к преимущественному заполнению низших энергетических уровней (физически очевидная) приводит к тому, что такое, осуществляющееся при наложении магнитного поля расположение спинов с точки зрения чистой комбинаторики менее вероятно, чем расположение, отвечающее случаю равномерного заполнения всех уровней. Но это менее вероятное расположение, будучи более упорядоченным, соответствует меньшей энтропии.

Пример. Теперь выведем выражение для зависимости энтропии от поля для той области температур, где выполняется закон Кюри.

Поскольку энтропия есть функция H и T , имеем

$$dS = \left(\frac{\partial S}{\partial H} \right)_T dH + \left(\frac{\partial S}{\partial T} \right)_H dT. \quad (8.27)$$

При изотермических условиях второй член можно положить равным нулю и, следовательно,

$$dS = \left(\frac{\partial S}{\partial H} \right)_T dH. \quad (8.28)$$

Заметим, что согласно модифицированному термодинамическому соотношению Максвелла

$$\left(\frac{\partial S}{\partial H} \right)_T = \left(\frac{\partial M}{\partial T} \right)_H,$$

и поэтому

$$dS = \left(\frac{\partial M}{\partial T} \right)_H dH.$$

Таким образом, в случае изотермического намагничивания

$$S(H, T) - S(0, T) = \int_0^H \left(\frac{\partial M}{\partial T} \right)_H dH. \quad (8.29)$$

В области применимости закона Кюри, пользуясь формулой (8.20), можно написать

$$S = S_0 - \frac{1}{6} Nk \left(\frac{p_B^H}{kT} \right)^2. \quad (8.30)$$

Последовательные этапы процесса охлаждения показаны на рис. 8.3. Поле накладывается при температуре T_1 , причем в этот момент образец находится в хорошем тепловом контакте с окружающей средой ($\Delta T = 0$); на диаграмме (рис. 8.3) этот этап изображен изотермой AB . Затем образец теплоизолируется ($\Delta S = 0$) и поле выключается. Этот

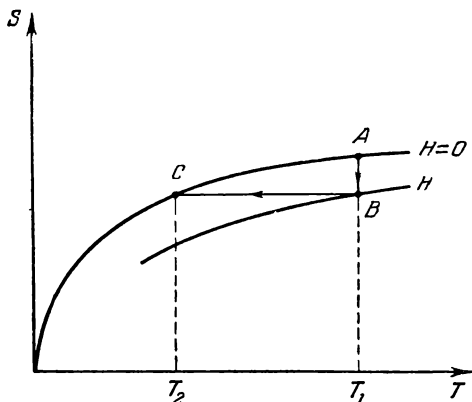


Рис. 8.3. Энтропийная диаграмма для адиабатического размагничивания.

процесс, изображаемый изэнтропической кривой BC , заканчивается при температуре T_2 . Достижение наиболее низких температур методом адиабатического размагничивания ограничивается главным образом естественным расщеплением спиновых энергетических уровней, происходящим даже в отсутствие внешнего магнитного поля. При нулевом поле расщепление может быть вызвано электростатическим взаимодействием ионов в кристалле, взаимодействием магнитных моментов друг с другом или взаимодействием с ядрами. Рас-

щепление в нулевом поле приведет к тому, что энтропия при температуре T_2 (рис. 8.3), когда $H = 0$, будет меньше, чем она была бы при меньшем расщеплении; в результате конечная температура не столь низка, как могла бы быть, если бы такого расщепления не было.

МАГНИТНЫЙ РЕЗОНАНС

Применение высокочастотной техники позволило осуществить ряд исследований магнитных свойств систем электронов и систем ядер. Эти исследования дали очень много для выяснения строения твердых тел и жидкостей. Говоря об этой области физики, удобно пользоваться термином *магнитный резонанс*, даже когда речь идет об исследованиях, которые проводятся в условиях, далеких от резонанса. Ниже мы остановимся на этом вопросе. Заметим еще, что между магнитным резонансом и циклотронным (плазменным) резонансом существует фундаментальное различие: при магнитном резонансе явление управляется лишь магнитным полем электромагнитной волны, которое действует на магнитный момент системы, а при циклотронном резонансе главную роль играет электрическое поле электромагнитной волны, вызывающее смещение электрического заряда. Чтобы получить представление о процессах, происходящих при экспериментальном осуществлении магнитного резонанса, рассмотрим сначала свободную

частицу со спином S , помещенную в постоянное однородное магнитное поле H . Из элементарной теории эффекта Зеемана мы знаем, что при $H=0$ все $2S+1$ энергетических уровней совпадают, а при включении поля происходит расщепление уровней, причем величина расщепления для всех уровней *одна и та же*. Таким образом, всего мы получим $2S+1$ магнитных уровней, которые имеют квантовые числа $m_s = S, S-1, S-2, \dots, -S+1, -S$. Квантовое число m_s указывает величину z -компоненты спина S в поле, направленном по оси z .

В магнитном поле разность энергий между соседними уровнями

$$|E(m_s) - E(m_s - 1)| = |g\mu_0 H|; \quad (8.31)$$

здесь, как обычно, для электронов величину μ_0 считают равной магнетону Бора, т. е.

$$\mu_0^{(эл)} = \mu_B = \frac{e\hbar}{2m_e c},$$

а для ядер μ_0 — это ядерный магнетон Бора

$$\mu_0^{(н)} = \mu_n = \frac{e\hbar}{2M_p c}.$$

Величину g мы определим как множитель, обеспечивающий выполнение равенства (8.31). Этот множитель g называют *g-фактором* или *фактором спектроскопического расщепления*. Равенство (8.31) записывают также в следующей форме:

$$|E(m_s) - E(m_s - 1)| = |\hbar\gamma H|, \quad (8.32)$$

где величина γ , как мы установим ниже, представляет собой отношение магнитного момента к моменту количества движения системы.

Спектроскопические правила отбора для магнитных (дипольных) переходов, с которыми мы имеем дело, сводятся к условию $\Delta m_s = \pm 1$, т. е. эти переходы происходят только между соседними уровнями. Таким образом, из равенств (8.31) и (8.32) следует, что энергия облучающего электромагнитного поля, имеющего круговую частоту ω , будет поглощаться системой, когда

$$\hbar\omega = g\mu_0 H = \hbar\gamma H. \quad (8.33)$$

Равенство (8.33) представляет собой *условие резонанса*. Схема устройства для наблюдения магнитного резонанса показана на рис. 8.4. Образец помещается в статическое магнитное поле H_z , создаваемое

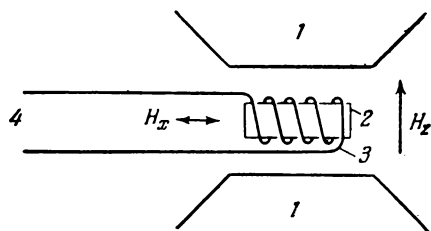


Рис. 8.4. Схема экспериментальной установки для изучения спинового резонансного поглощения.

1 — электромагнит, 2 — образец, 3 — соленоид, 4 — к высокочастотному генератору и схеме измерения потерь.

электромагнитом. Переменное (радиочастотное) поле H_x фиксированной частоты ω накладывается перпендикулярно к статическому полю. Мощность, поглощаемая образцом в этом поле, определяется обычным путем по измерению добротности Q катушки.

Экспериментальные данные, полученные при изучении протонного спинового резонанса в воде (содержащей некоторое количество рас-

творенного азотнокислого железа), показаны на рис. 8.5. В случае электронного спинового резонанса, когда $g=2$, условие резонанса имеет вид

$$f_{(Mz\omega)} \cong 2,80H, \quad (8.34)$$

где $f_{Mz\omega}$ — частота в мегагерцах, а H — напряженность поля в эрстедах. Аналогично, в случае протонного резонанса

$$f_{(kz\omega)} \cong 4,26H, \quad (8.35)$$

где $f_{kz\omega}$ — частота в килогерцах, а H — опять-таки в эрстедах. Например, при $H \cong 5000$ э частота электронного резонанса соответ-

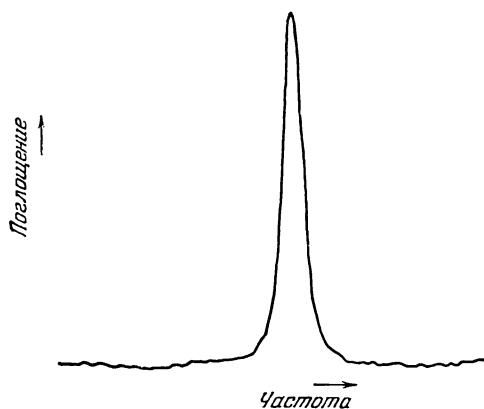


Рис. 8.5. Протонное спиновое резонансное поглощение в растворе азотнокислого железа (постоянное магнитное поле фиксировано, частота изменяется) (из работы [3]). В поле 7050 э резонанс наступает при частоте 30 Мгц.

ствует сантиметровой области, а частота протонного резонанса — области коротких (метровых) радиоволн. Укажем еще, что магнитный резонанс позволил разработать весьма точные методы определения величины напряженности магнитного поля.

Макроскопические уравнения. Полезно еще рассмотреть явление магнитного резонанса макроскопически, не пользуясь понятиями об энергетических уровнях, составляющих систему ионов. В основу рассмотрения положим поведение магнитного момента образца в целом. Пусть M — намагниченность (магнитный момент единицы объема), а J — плотность момента количества движения. Классическое уравнение движения

$$\frac{dJ}{dt} = \frac{\text{Вращающий момент}}{\text{Объем}}$$

в данном случае, если воспользоваться известным из элементарной физики выражением для момента вращения магнита, имеет вид

$$\frac{dJ}{dt} = M \times H. \quad (8.36)$$

Если анизотропные взаимодействия в решетке не оказывают влияния на поведение спинов, то можно считать, что

$$\mathbf{M} = \gamma \mathbf{J}, \quad (8.37)$$

где γ в случае электронов, как мы знаем, определяется формулой

$$\gamma = \frac{ge}{2mc}. \quad (8.38)$$

Тогда уравнение движения вектора намагниченности принимает следующий вид:

$$\frac{d\mathbf{M}}{dt} = \gamma \mathbf{M} \times \mathbf{H}. \quad (8.39)$$

Теперь получим очень простое приближенное решение этого уравнения. Пусть статическое поле направлено по оси z (H_z), переменное радиочастотное поле направлено по оси x (H_x) и зависит от времени по закону $e^{i\omega t}$. Перепишем векторное уравнение (8.39) в компонентах по осям:

$$\begin{aligned} i\omega M_x &= \gamma M_y H_z, \\ i\omega M_y &= \gamma (M_z H_x - M_x H_z), \\ \frac{dM_z}{dt} &= -\gamma M_y H_x \simeq 0. \end{aligned} \quad (8.40)$$

Третьим уравнением можно, вообще говоря, пренебречь, поскольку $M_y \ll M_z$. В направлении оси z всегда будет существовать постоянная составляющая намагниченности, обусловленная наличием статического поля H_z . Можно легко определить M_x , исключив M_y ,

$$-\omega^2 M_x = \gamma^2 (M_z H_x H_z - M_x H_z^2),$$

или x -компоненту восприимчивости

$$\chi_x = \frac{M_x}{H_x} = \frac{\gamma^2 M_z H_z}{(\gamma H_z)^2 - \omega^2}. \quad (8.41)$$

Отсюда, очевидно, сразу получаем условие резонанса

$$\omega = \gamma H_z,$$

которое имеет точно тот же вид, что и (8.33). Итак, макроскопический подход к решению задачи о резонансе привел нас к следующему результату: вектор намагниченности \mathbf{M} прецессирует вокруг направления статического поля \mathbf{H} . При макроскопическом рассмотрении можно ввести в уравнение движения члены, приближенно описывающие процессы затухания и уширение линий резонансного поглощения.

Релаксация продольной и поперечной компонент намагниченности. Плотность магнитной энергии равна по определению $-M_z H_z$

Следовательно, энергия парамагнитного образца, находившегося первоначально в ненамагниченном состоянии, понижается при наложении внешнего магнитного поля. Уменьшение магнитной энергии компенсируется возрастанием энергии решетки, но процесс намагничивания не может пройти быстрее, чем процесс поглощения решеткой избыточной энергии. Скорость перехода энергии к решетке определяется характером взаимодействия решетки со спиновой системой. Время *спин-решеточной релаксации* T_1 мы определим уравнением

$$\left(\frac{dM_z}{dt}\right)_{\text{релакс}} = -\frac{M_z - M_0}{T_1}, \quad (8.42)$$

где M_0 — значение M_z при тепловом равновесии в тех условиях, при которых осуществляется эксперимент. Из (8.42) легко усмотреть, что если постоянное магнитное поле включено в момент $t = 0$, то время, необходимое для изменения величины M_z , определяется законом

$$M_z = M_0(1 - e^{-t/T_1}). \quad (8.43)$$

Поперечные компоненты намагниченности (M_x и M_y) не дают непосредственного вклада в магнитную энергию, и относящиеся к ним процессы релаксации могут протекать в известной мере независимо от процессов, относящихся к продольной компоненте намагниченности M_z . Время релаксации для поперечных компонент (T_2) определяется уравнениями того же вида, что и (8.43), а именно:

$$\left(\frac{dM_x}{dt}\right)_{\text{релакс}} = -\frac{M_x}{T_2}; \quad \left(\frac{dM_y}{dt}\right)_{\text{релакс}} = -\frac{M_y}{T_2}. \quad (8.44)$$

Отсюда видно, что время релаксации T_2 определяет ширину линии резонансного поглощения; время T_2 служит мерой фазовой когерентности прецессирующей системы спинов. При появлении в системе неоднородности любого типа (так же как и при наложении внешнего поля) T_2 уменьшается. Магнитное поле любого спина как элементарного магнитного момента действует на магнитные моменты соседних спинов, случайным образом ориентированных в пространстве; это приводит к локальным случайным неоднородностям внутреннего магнитного поля, величина которых $|\Delta H|$ порядка μ/r^3 , где μ — магнитный момент, а r — расстояние между спинами. При некоторых обстоятельствах этот эффект дает величину $1/T_2$ порядка

$$\frac{1}{T_2} \approx \gamma |\Delta H| \approx \frac{\gamma \mu}{r^3}. \quad (8.45)$$

Магнитное дипольное взаимодействие называют спин-спиновым взаимодействием.

Различные типы взаимодействий, обуславливающие продольную релаксацию T_1 , обычно дают вклад и в поперечную (T_2), но обратное утверждение справедливо не всегда. Следовательно, неоднород-

ное статическое внешнее магнитное поле приводит к уширению резонансных линий и способствует поперечной релаксации (T_2), но это поле не связано с решеткой и поэтому не может влиять на величину T_2 .

Если включить релаксационные члены, то получим полные уравнения движения вектора намагниченности:

$$\frac{dM_x}{dt} = \gamma (M_y H_z - M_z H_y) - \frac{M_x}{T_2}, \quad (8.46)$$

$$\frac{dM_y}{dt} = \gamma (M_z H_x - M_x H_z) - \frac{M_y}{T_2}, \quad (8.47)$$

$$\frac{dM_z}{dt} = \gamma (M_x H_y - M_y H_x) - \frac{M_z - M_0}{T_1}. \quad (8.48)$$

Прежде всего нас интересует связь между T_2 и шириной линии. В случае слабых переменных полей можно, как и раньше, пренебречь dM_z/dt . Тогда получим

$$i \left(\omega - \frac{i}{T_2} \right) M_x = \omega_0 M_y - \omega_s H_y, \quad (8.49)$$

$$i \left(\omega - \frac{i}{T_2} \right) M_y = \omega_s H_x - \omega_0 M_x. \quad (8.50)$$

Здесь мы ввели обозначения $\omega_0 = \gamma H_z$ и $\omega_s = \gamma M_z$. Удобно ввести величины

$$M^+ = M_x + iM_y,$$

$$H^+ = H_x + iH_y.$$

Тогда, объединяя (8.49) и (умноженное предварительно на i) равенство (8.50), получим

$$i \left(\omega - \frac{i}{T_2} \right) M^+ = -i\omega_0 M^+ + i\omega_s H^+,$$

или

$$\chi^+ = \frac{M^+}{H^+} = \frac{\omega_s}{\omega + \omega_0 - (i/T_2)}. \quad (8.51)$$

Поглощаемая мощность всегда пропорциональна мнимой части восприимчивости

$$\text{Im } \chi^+ = \frac{\omega_s T_2}{(\omega + \omega_0)^2 + (1/T_2)^2}. \quad (8.52)$$

При $\omega = -\omega_0 = -\gamma H_z$ имеет место резонанс. Отрицательный знак связан с выбранным направлением вращения круговой поляризации переменного поля (а именно с тем, что мы ввели H^+). Заметим, что при резонансе ($\omega = -\omega_0$) мнимая часть χ^+ имеет максимум.

равный $\omega_s T_2$. При $\omega + \omega_0 = 1/T_2$ величина $\text{Im } \chi^+$ равна половине своего максимального (резонансного) значения. Таким образом, $1/T_2$ можно назвать частотной полушириной, соответствующей половине максимального поглощения. Можно ввести и полевую полуширину $(\Delta H)_{1/2}$ (если вместо ω откладывать по оси абсцисс величину поля), соответствующую введенной выше частотной полуширине; эти величины связаны между собой очевидным соотношением

$$(\Delta H)_{1/2} = \frac{1}{\gamma T_2}. \quad (8.53)$$

Время спин-решеточной релаксации T_1 можно определить экспериментально, изучая реакцию системы на уровнях мощности внешнего переменного поля, достаточно больших, чтобы величину M_z уже нельзя было считать постоянной (см. задачу 8.7 в конце настоящей главы). Для определения T_2 можно также использовать другой метод, основанный на явлении спинового эха, представляющем собой реакцию системы на сильные короткие импульсы переменного поля. Метод спинового эха позволяет также отделить вклад в T_2 , обусловленный неоднородностью статических магнитных полей, от вклада, обусловленного динамическими взаимодействиями. Анализ экспериментально найденных значений T_1 и T_2 дает важную информацию о физических свойствах тех или иных конкретных систем.

Метод ядерной индукции позволяет измерять компоненту намагниченности, сдвинутую по фазе относительно внешнего переменного поля. При этом измеряется в основном вещественная часть восприимчивости ($\text{Re } \chi^+$), тогда как при изучении резонансного поглощения мы имеем дело с мнимой частью χ^+ ($\text{Im } \chi^+$). Расчет дает следующее выражение:

$$\text{Re } \chi^+ = \frac{\omega_s (\omega + \omega_0)}{(\omega + \omega_0)^2 + (1/T_2)^2}. \quad (8.54)$$

Когда ω проходит резонансное значение ($-\omega_0$), это выражение меняет знак на обратный. При высоких частотах, далеких от резонанса ($|\omega| \gg |\omega_0|$), мы получим приближенно

$$\text{Re } \chi^+ \approx \frac{\omega_s}{\omega} \quad \text{и} \quad \text{Im } \chi^+ \approx \frac{\omega_s}{\omega} \cdot \frac{1}{\omega T_2},$$

если, кроме того, $\omega T_2 \gg 1$. Отсюда следует, что при частотах, далеких от резонанса, вещественная часть динамической восприимчивости преобладает. Этот факт лежит в основе работы СВЧ-устройств с малыми потерями, таких, как гираторы, вращающие плоскость поляризации электромагнитной волны.

Электронное расщепление в нулевом поле. Как уже отмечалось выше, во многих твердых телах основной уровень парамагнитного иона расщепляется внутрискристаллическим электрическим полем,

и можно наблюдать высокочастотные переходы между подуровнями, даже не накладывая внешнее статическое магнитное поле. Это явление впервые наблюдал Блинн с сотрудниками. Однако обычно применяется постоянное поле, а явление расщепления уровней в нулевом поле обнаруживается при теоретической интерпретации некоторых линий поглощения, наблюдаемых в этих условиях (комбинация внутрикристаллического и зеемановского расщеплений). В парамагнитных

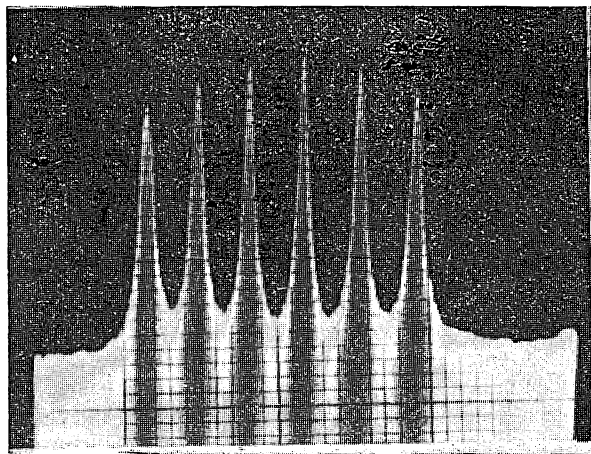


Рис. 8.6. Сверхтонкая структура спектра поглощения иона Mn^{2+} (в водном растворе) (из работы [4]).

Ядерный спин $I=5/2$, электронный спин $S=5/2$.

солях, разбавленных немагнитными изоморфными солями, часто удается разрешить структуру линий, обусловленную взаимодействием электронов со спином ядра. Этот эффект дает весьма ценную возможность определения электронной структуры дефектов в твердых телах. Сверхтонкая структура линий иона Mn^{2+} в водных растворах показана на рис. 8.6, взятом из работы [4].

Ферромагнитное резонансное поглощение. Спин-резонансное поглощение в ферромагнитных веществах при микроволновых частотах с экспериментальной стороны в принципе аналогично описанному выше ядерному и электронному спиновому резонансному поглощению.

Полный магнитный момент образца прецессирует относительно направления статического магнитного поля; энергия наложенного в поперечном направлении переменного поля сильно поглощается, когда частота последнего равна частоте прецессии. Эту картину в равной мере можно описывать, основываясь на представлении пространственного квантования в сильном статическом поле вектора

полного спина намагниченного до насыщения ферромагнетика; энергетические уровни разделены интервалами, соответствующими обычным зеемановским частотам. Разрешенные переходы могут происходить только между соседними уровнями и определяются правилом отбора $\Delta m_s = \pm 1$.

Ферромагнитный резонанс был впервые обнаружен экспериментально Гриффитсом¹⁾. Интенсивность линий ферромагнитного резонансного поглощения обычно исключительно велика, особенно по сравнению с линиями парамагнитного резонанса. Причина этого связана с большим макроскопическим магнитным моментом ферромагнетиков, который при комнатной температуре по крайней мере в 1000 раз больше, чем у электронных парамагнетиков. Если результаты экспериментов по ферромагнитному резонансу попытаться интерпретировать, пользуясь обычной [см. (8.33)] резонансной формулой

$$\omega = \frac{ge}{2mc} H, \quad (8.55)$$

то для g -фактора часто получаются очень большие величины, значительно превышающие величину g для свободного электрона (когда $g = 2,00$). Если же учесть все размагничивающие эффекты и воспользоваться обычными экспериментальными средствами, применяемыми при изучении свойств металлов, а именно, взять, в частности, образец в форме тонкого диска и поместить его в постоянное поле H , параллельное плоскости диска, то условие резонанса для такого случая примет вид

$$\omega = \frac{ge}{2mc} \sqrt{BH}, \quad (8.56)$$

где $B = H + 4\pi M$. Тогда окажется, что значения g -фактора, полученные по этой формуле (8.56), мало отличаются от значений для свободного электрона.

Дадим простой вывод формулы (8.56). Будем исходить из уравнений движения

$$\frac{d\mathbf{M}}{dt} = \gamma \mathbf{M} \times \mathbf{H},$$

где $\gamma = ge/2mc$. Если направить ось z перпендикулярно к плоскости тонкого образца, то получим следующие значения размагничивающих факторов:

$$N_x = 0, \quad N_y = 4\pi, \quad N_z = 0.$$

¹⁾ Справедливости ради следует отметить, что явление ферромагнитного резонанса предсказано В. К. Аркадьевым еще в 1913 г., и затем им же было дано экспериментальное подтверждение. Однако широкое изучение и применение ферромагнитного резонанса началось с 1946 г., когда появилась работа Гриффитса. (*Прим. перев.*)

В случае свободной прецессии вектор \mathbf{H} имеет компоненты:

$$H_x = 0; \quad H_y = -4\pi M_y, \quad H_z = H,$$

причем $H_y = -4\pi M_y$ представляет собой размагничивающее поле, которое возникает, когда в ходе прецессии у вектора намагниченности появляется компонента в направлении оси y (т. е. M_y); H — это статическое поле, направленное по оси z . Если переменное поле изменяется со временем по гармоническому закону $e^{i\omega t}$ и если предположить, что $M_x, M_y \ll H_z$, и поэтому пренебречь квадратами и произведениями этих величин, то получим

$$\begin{aligned} i\omega M_x &= \gamma (M_y H + 4\pi M_y M_z), \\ i\omega M_y &= -\gamma M_x H. \end{aligned} \quad (8.57)$$

Эти уравнения однородны относительно M_x, M_y и имеют нетривиальные решения только при равенстве нулю детерминанта из коэффициентов при неизвестных, т. е. при

$$\begin{vmatrix} i\omega & -\gamma H \\ \gamma H & i\omega \end{vmatrix} = 0. \quad (8.58)$$

Отсюда сразу получим формулу для частоты резонанса

$$\omega = \gamma \sqrt{BH}. \quad (8.59)$$

ФЕРРОМАГНЕТИЗМ

Мы называем вещество ферромагнетиком, если оно обладает самопроизвольным магнитным моментом, т. е. обладает магнитным моментом даже в отсутствие внешнего магнитного поля. Намагниченность насыщения M_s определяется как самопроизвольный магнитный момент единицы объема. В технической литературе часто применяется величина индукции насыщения $B_s = 4\pi M_s$. Точкой Кюри T_c называется температура, выше которой самопроизвольная намагниченность исчезает.

Если бы в парамагнитном веществе существовало взаимодействие, заставляющее ионные и атомные магнитные моменты ориентироваться в одном направлении, то получилось бы ферромагнитное вещество. Предположим, что такое взаимодействие действительно существует; условно будем считать, что взаимодействие эквивалентно некоторому полю, которое назовем полем Вейсса. Это поле называют также молекулярным полем, или обменным полем. Вейсс был первым, кто ввел представление о таком поле ¹⁾.

¹⁾ Представление о молекулярном поле в ферромагнетиках было впервые введено русским физиком Розингом еще в 1892 г., за 15 лет до известной работы Вейсса по этому вопросу. (Прим. перев.)

Ориентирующему действию поля Вейсса мешает тепловое движение элементарных магнитных моментов. Поле Вейсса мы считаем эквивалентным некоторому эффективному магнитному полю H_E , действующему на спины электронов. Энергия взаимодействия спинов с полем Вейсса должна быть того же порядка величины, что и тепловая энергия спинов в точке Кюри T_c . Следовательно,

$$gS\mu_B H_E \approx kT_c, \quad (8.60)$$

или

$$H_E \approx \frac{kT_c}{gS\mu_B}. \quad (8.61)$$

В случае железа $T_c \approx 1000^\circ \text{K}$, $g \approx 2$, $S \approx 1$, и поэтому

$$H_E \approx \frac{10^{-13}}{2 \cdot 10^{-20}} = 5 \cdot 10^6 \text{ э.}$$

Это поле значительно сильнее, чем поле магнитных моментов других ионов в кристалле, так как взаимодействие магнитных моментов дает только

$$\sim \frac{\mu_B}{d^3} \sim 10^3 \text{ э,}$$

где d — постоянная решетки.

Пьер Вейсс (1907) показал, что представление о молекулярном поле применимо в некоторых важных вопросах ферромагнетизма, причем следует считать, что это поле H_E пропорционально намагниченности

$$H_E = \lambda M, \quad (8.62)$$

где λ — некоторая постоянная, называемая постоянной молекулярного поля. Восприимчивость выше точки Кюри, предполагая справедливость закона Кюри (8.13), можно получить, если считать магнитное поле равным сумме внешнего поля H и молекулярного поля H_E . Тогда

$$\frac{M}{H + \lambda M} = \frac{C}{T}, \quad (8.63)$$

или

$$\chi = \frac{M}{H} = \frac{C}{T - C\lambda}. \quad (8.64)$$

Отсюда следует, что не равная нулю намагниченность при нулевом внешнем поле появляется при температуре

$$T_c = C\lambda, \quad (8.65)$$

т. е. в точке Кюри. Поэтому можно написать

$$\chi = \frac{C}{T - T_c}. \quad (8.66)$$

Это выражение, известное как закон Кюри — Вейсса, очень хорошо описывает наблюдаемые изменения восприимчивости в парамагнитной области (выше точки Кюри)¹⁾. Из (8.65), имея в виду определения постоянной Кюри C , согласно (8.13) и (8.20) мы можем найти постоянную

$$\frac{1}{\lambda} = \frac{C}{T_c} = \frac{Ng^2S(S+1)\mu_B^2}{3kT_c}. \quad (8.67)$$

Например, для железа

$$\lambda \approx \frac{4 \cdot 10^{-13}}{8 \cdot 10^{-17}} \approx 5000,$$

что согласуется с приведенной выше оценкой H_E .

Физическое происхождение молекулярного поля, как установили Я. И. Френкель и Гейзенберг, объясняется на основе квантовой механики наличием обменных сил. На основе некоторых предположений можно показать²⁾, что энергия взаимодействия атомов i и j , имеющих спиновые моменты S_i и S_j , содержит член

$$E_{ex} = -2JS_iS_j, \quad (8.68)$$

где J — обменный интеграл; наличие обменного интеграла связано с перекрытием областей распределения электронного заряда атомов i и j . Обменная энергия не имеет классического аналога, хотя и имеет электростатическое происхождение. Она характеризует различие в энергии кулоновского взаимодействия системы в случаях, когда спины параллельны и когда они антипараллельны. Это является следствием принципа Паули. В квантовомеханической системе изменение относительной ориентации двух спинов должно сопровождаться изменением пространственного распределения заряда в области перекрытия. Результирующее изменение кулоновской энергии системы удобно записать в виде (8.68)³⁾. Это выражение выглядит так, как будто спины S_i и S_j непосредственно взаимодействуют между собой.

Установим приближенно связь между обменным интегралом J и постоянной молекулярного поля λ . Предположим, что рассматриваемый атом имеет z ближайших соседей; взаимодействие каждого из них

¹⁾ Экспериментально восприимчивость значительно выше точки Кюри с хорошей точностью описывается законом $\chi(T - \theta)$, где θ называется парамагнитной точкой Кюри; она может быть несколько больше, чем фактическая температура фазового превращения (ферромагнитная точка Кюри T_c).

²⁾ Это делается во многих учебниках квантовой механики (см. также обзор Ван-Флека [5]).

³⁾ Выражение (8.68) является операторным соотношением, поскольку S_i и S_j — операторы спинов, но во многих задачах ферромагнетизма с хорошим приближением спины можно трактовать как классические векторы.

с центральным атомом характеризуется обменным интегралом J . Для более далеких соседей будем считать интеграл J равным нулю. Тогда, пренебрегая компонентами S , перпендикулярными к направлению средней результирующей намагниченности, энергию взаимодействия можно записать в виде

$$E_{ex} \cong -2J_z \bar{S}^2 = -g \bar{S} \mu_B H_E = -g \bar{S} \mu_B \lambda (g \bar{S} \mu_B \Omega^{-1}),$$

где множитель, заключенный в скобки, равен как раз M_s (здесь Ω — средний объем, приходящийся на атом).

Итак,

$$J = \frac{\lambda g^2 \mu_B^2}{2z\Omega}, \quad (8.69)$$

или, учитывая (8.67) и вспомнив, что $N = 1/\Omega$,

$$J = \frac{3kT_c}{2zS(S+1)}. \quad (8.70)$$

Это выражение, вытекающее из теории молекулярного поля, дает связь между обменным интегралом и точкой Кюри. Более точный расчет, основанный на квантовой статистике, приводит к несколько иному результату.

Температурная зависимость спонтанной намагниченности.

Согласно теории Вейсса, чтобы найти зависимость самопроизвольной намагниченности от температуры, необходимо воспользоваться полным выражением (8.18) для намагниченности.

Мы имеем:

$$M_s = NSg\mu_B B_s(x), \quad (8.71)$$

где в случае отсутствия внешнего магнитного поля

$$x = \frac{Sg\mu_B \lambda M_s}{kT}. \quad (8.72)$$

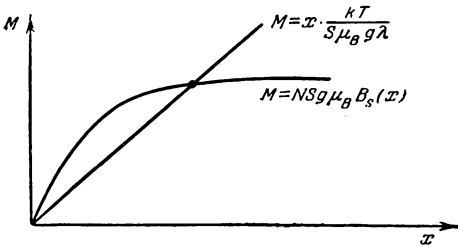


Рис. 8.7. Метод определения самопроизвольной намагниченности при данной температуре T по теории Вейсса.

Значение M получается при пересечении двух кривых.

При $T < T_c$ мы получим M_s графически, нанося зависимость M_s от x , пользуясь

формулами (8.71) и (8.72) и находя точки пересечения двух кривых, как показано на рис. 8.7. Точка Кюри является наивысшей температурой, при которой кривые еще пересекаются. Определенная таким путем величина температуры Кюри согласуется с ранее полученной формулой (8.65).

Зависимость M_s от T , полученная указанным способом, в основном согласуется с экспериментальными данными, как это видно из кривой для никеля, приведенной на рис. 8.8. При низких температурах квантовомеханическое рассмотрение с помощью метода спиновых волн дает более точное приближение.

Самопроизвольная намагниченность при абсолютном нуле.

В табл. 8.4 приведены типичные значения самопроизвольной намагниченности, эффективного числа магнетонов Бора и температуры Кюри некоторых магнетиков. Эффективное число магнетонов Бора $n_{\text{эфф}}$ связано с величиной намагниченности насыщения и его не следует смешивать с числом p — эффективным числом магнетонов для парамагнетиков, которое определяется формулой (8.21).

Наблюдаемое число магнетонов Бора обычно значительно меньше,

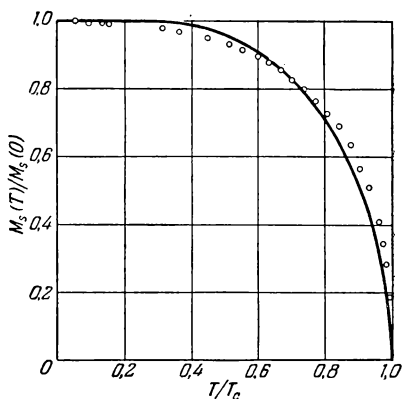


Рис. 8.8. Зависимость намагниченности насыщения никеля от температуры.

Сплошная кривая — теоретическая для случая $S=1/2$, вычисленная по теории Вейсса. Экспериментальные точки взяты из работы Вейсса и Форрера [6].

Таблица 8.4

Эффективное число магнетонов Бора $n_{\text{эфф}}$, приходящееся на атом магнетика, намагниченность насыщения и точка Кюри (из книги Бозорта [7])

Вещество	Намагниченность насыщения		$n_{\text{эфф}}$ (при 0° К)	Ферромагнитная точка Кюри, °К
	при комнатной температуре	при 0° К		
Fe	1707	1752	2,221	1043
Co	1400	1446	1,716	1400
Ni	485	510	0,606	631
Gd	1090	1980	7,10	289
Dy	1830 (80° К)	—	—	105
MnBi	600	675	3,52	630
Cu ₂ MnAl	430	(580)	(4,0)	603
MnSb	710	—	3,53	587
CrO ₂	(500)	—	2,07	390
MnOFe ₂ O ₃	358	—	5,0 *)	783
FeOFe ₂ O ₃	485	—	4,2 *)	848
UH ₃	—	230	0,90	180

*) Значения, отнесенные к одной молекуле MOFe₂O₃, где M — двухвалентный катион.

чем теоретическое значение, вычисляемое из данных о свободных ионах, и, кроме того, наблюдаемые значения часто целыми числами не выражаются. Первый факт можно было бы попытаться объяснить с помощью какой-либо подходящей ионной модели, путем подбора

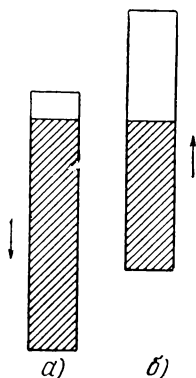


Рис. 8.9. Схематическое объяснение (для 3d-электронов) дробности среднего числа магнетонов Бора по зонной модели.

а — «отрицательная» зона, б — «положительная» зона. Зоны а и б содержат по пять состояний на атом. В случае семи электронов на одну зону приходится в среднем 4,25; на другую 2,75, следовательно, эффективное число магнетонов равно 1,5; стрелками показано направление спинов.

смеси атомов с разной степенью ионизации. Однако для объяснения второго факта (дробность эффективного числа магнетонов на атом) более естественно попытаться применить зонную теорию, согласно которой электроны, например, распределяются по двум энергетическим зонам, как схематически показано на рис. 8.9. В одной из зон находятся электроны со спинами, направленными вверх, в другой — со спинами, направленными вниз. Зоны разделены энергетическим интервалом, величина которого равна энергии обменного взаимодействия.

Ферромагнитные домены. При температуре ниже точки Кюри магнитные моменты электронов ферромагнитного образца в основном устанавливаются в одном направлении, если рассматривать их с микроскопической точки зрения. Однако если рассматривать образец как целое, то суммарный момент может оказаться значительно меньше той величины, которая соответствует состоянию насыщения, и для того, чтобы добиться насыщения, может потребоваться внешнее магнитное поле; в этом смысле поведение монокристаллов аналогично поведению поликристаллических образцов.

Это явление, обуславливающее существование технической кривой намагничивания, Вейсс объяснил, исходя из предположения, что реальный образец состоит из ряда областей, называемых доменами, внутри каждой из которых намагниченность равна намагниченности насыщения; однако направления векторов намагниченности различных доменов не обязательно параллельны друг другу. Схематическое расположение доменов в монокристаллическом образце с равной нулю результирующей намагниченностью показано на рис. 8.10, а; магнитная структура поликристалла схематически показана на рис. 8.10, б. Возрастание величины результирующего магнитного момента образца под действием внешнего магнитного поля может происходить согласно теории доменов, как предположил Беккер, в результате двух независимых процессов: 1) вследствие увеличения объема доменов, имею-

щегося в образце, 2) вследствие переориентации доменов. В первом случае увеличение объема доменов приводит к увеличению суммарного магнитного момента, во втором — к изменению направления суммарного магнитного момента. В обоих случаях это приводит к увеличению намагниченности образца. Вейсс показал, что для объяснения экспериментальных данных необходимо предположить, что домены имеют разную величину. В монокристалле домены имеют разную форму и размер, в поликристалле — разную форму и размер. В монокристалле домены имеют разную форму и размер, в поликристалле — разную форму и размер. В монокристалле домены имеют разную форму и размер, в поликристалле — разную форму и размер.

щих выгодную относительно направления внешнего поля ориентацию, за счет других доменов (с невыгодной ориентацией); 2) вследствие поворота векторов намагниченности доменов в направлении внешнего поля. Эти два процесса, приводящие к изменению результирующей намагниченности, схематически иллюстрируются на рис. 8.11.

Более тщательное исследование этого вопроса показало, что в слабых полях намагниченность изменяется обычно за счет смещения границ доменов, т. е. размеры доменов изменяются. В сильных полях намагниченность изменяется обычно за счет поворота векторов намагниченности. Кривая технического намагничивания приведена на рис. 8.12, там же даны типичные обозначения характеристик кривой и их определения (в подписи к рисунку).

Доменная структура ферромагнитных материалов тесно связана с их технически важными свойствами, к которым относятся, например,

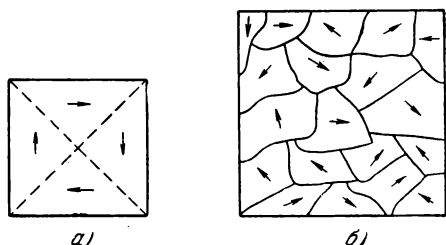


Рис. 8.10. Схема расположения намагниченностей доменов, при котором результирующий магнитный момент образца равен нулю.

а — монокристалл; *б* — поликристаллический образец. Для простоты сделано предположение, что поликристаллический образец состоит из однодоменных кристаллитов (что обычно не имеет места). В зависимости от разных обстоятельств домены могут быть как меньше, так и больше кристаллитов.

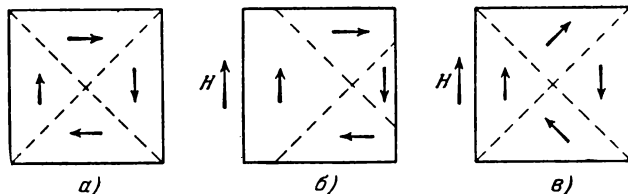


Рис. 8.11. Схема, иллюстрирующая основные процессы намагничивания. *а* — ненамагниченное состояние; *б* — процесс смещения границ; *в* — процесс вращения.

высокая проницаемость (материалы для сердечников трансформаторов) и высокая коэрцитивная сила¹⁾ (материалы для постоянных магнитов). Затрудняя возможность смещения границ, мы можем получить боль-

¹⁾ Коэрцитивная сила — это поле, которое нужно наложить в обратном направлении, чтобы довести индукцию B или намагниченность M до нулевого значения, начиная с состояния, соответствующего магнитному насыщению. Обычно это определение относится к индукции B (исключение составляют некоторые теоретические работы). Если относят определение к намагниченности M , то пишут H_c или I_H .

шие значения коэрцитивной силы; этого можно добиться путем использования весьма мелких порошков, или, как в сплаве Алнико V, выпадением одной из фаз сплава, дающим образцы с весьма дисперсной гетерогенной структурой. Изготавливая однородные материалы высокой степени чистоты, мы облегчаем смещение границ и тем самым можем получить высокую проницаемость. В печати были сообщения о материалах с проницаемостью до $3,8 \cdot 10^6$.

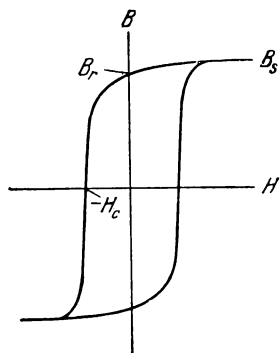


Рис. 8.12. Кривая технического намагничивания (петля гистерезиса). H_c — коэрцитивная сила — поле, необходимое для того, чтобы сделать индукцию B равной нулю. B_r — остаточная индукция — значение B при $H=0$; B_s — индукция насыщения, которая определяется как предельное значение B при больших полях H .

Существование доменов подтверждается самым характером кривой намагничивания, однако более непосредственным доказательством существования доменной структуры служат микрофотографии границ доменов, полученные методом порошковых фигур. Этот метод, первоначально примененный Биттером²⁾ (1931), дал убедительные доказательства существования доменов и подтвердил их свойства, предсказанные ранее теорией. Метод порошковых фигур состоит в следующем. Капля коллоидальной суспензии, изготовленной из какого-либо тонко измельченного ферромагнитного материала (например, магнетита), наносится на тщательно отполированную поверхность исследуемого ферромагнитного кристалла. Наблюдения при помощи микроскопа показывают, что коллоидальные частицы в суспензии концентрируются вдоль некоторых хорошо заметных линий, которые являются границами между доменами, намагниченными в разных направлениях.

Причиной концентрации коллоидальных частиц вблизи этих границ являются сильные локальные магнитные поля, существующие в окрест-

ности границ. В печати были сообщения о материалах с проницаемостью до $3,8 \cdot 10^6$.

Происхождение доменов. Теперь мы покажем, следуя работе Ландау и Лифшица¹⁾, что возникновение доменной структуры является естественным следствием наличия в ферромагнитном кристалле различных видов взаимодействия, каждый из которых дает свой вклад в величину энергии ферромагнитного тела; эти виды энергии следующие: энергия обменного взаимодействия, энергия анизотропии и магнитная энергия.

Существование доменов подтверждается самым характером кривой намагничивания, однако более непосредственным доказательством существования доменной структуры служат микрофотографии границ доменов, полученные методом порошковых фигур. Этот метод, первоначально примененный Биттером²⁾ (1931), дал убедительные доказательства существования доменов и подтвердил их свойства, предсказанные ранее теорией. Метод порош-

¹⁾ Автор имеет в виду известную работу Л. Д. Ландау и Е. М. Лифшица [8]. (Прим. перев.)

²⁾ Независимо от Биттера и почти одновременно с ним этот метод был разработан Н. С. Акуловым и М. В. Дехтярем. (Прим. перев.)

ности границ, которые и притягивают к себе магнитные частицы. Микрофотография порошковых фигур относительно простой доменной структуры на поверхности монокристалла кремнистого железа приведена на рис. 8.13; доменную структуру можно также наблюдать, пользуясь поляризованным светом (Фаулер и Фрайер).

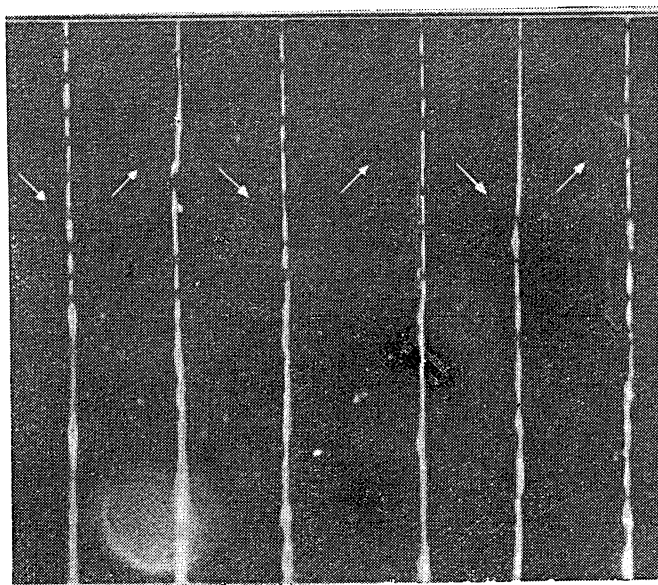


Рис. 8.13. Пример порошковых фигур для простой доменной структуры монокристалла Fe—Si. (Из работы Вильямса, Бозорта и Шокли [9].)

Возникновение доменов можно объяснить с помощью схем структур, приведенных на рис. 8.14. Каждая из схем изображает поперечное сечение ферромагнитного монокристалла. На рис. 8.14, *а* мы имеем насыщенную конфигурацию, соответствующую одному домену; вследствие магнитных «полюсов», образовавшихся на поверхностях кристалла, этой конфигурации будет отвечать большая величина магнитной энергии

$$\frac{1}{8\pi} \int H^2 dV.$$

Магнитная энергия для кристалла с квадратным поперечным сечением будет порядка $M_s^2 \cong 10^6 \text{ эрг/см}^3$ (M_s — намагниченность насыщения). Для конфигурации рис. 8.14, *б* магнитная энергия будет примерно вдвое меньше, поскольку кристалл разобьется на два домена, намаг-

ниченных в противоположных направлениях. Процесс дальнейшего дробления доменов будет происходить, например, как показано на рис. 8.14, в; когда число доменов достигнет N , магнитная энергия будет составлять примерно $1/N$ часть магнитной энергии, соответствующей конфигурации рис. 8.14, а (это обусловлено уменьшением пространственной протяженности поля).

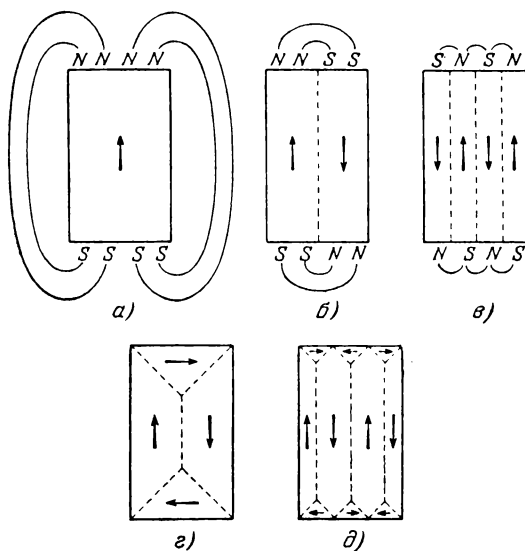


Рис. 8.14. Схема, иллюстрирующая возникновение доменной структуры.

Процесс дробления будет продолжаться до тех пор, пока энергия, необходимая для образования новых граничных слоев или внутренних поверхностей, отделяющих друг от друга противоположно намагниченные домены, не станет больше, чем уменьшение энергии магнитного поля, соответствующее дальнейшему дроблению. Граничные слои обладают некоторым количеством связанной с ними энергии, поскольку на противоположных сторонах границы намагниченность направлена антипараллельно. Поскольку обменные силы благоприятствуют параллельной и противостоят антипараллельной ориентации намагниченности, для образования граничных слоев будет необходима соответствующая энергия. Ниже мы вычислим эту энергию и найдем, что она порядка 1 эрг/см^2 . Если мы предположим, например, что имеется $N = 10^3$ доменов на 1 см , то полная энергия граничных слоев в кристалле, имеющем форму куба с ребром, равным 1 см , будет порядка 10^3 эрг , а магнитная энергия будет также порядка 10^3 эрг .

Этот случай приближенно соответствует равновесному числу доменов для рассмотренного геометрического расположения.

Можно представить себе также доменные структуры типа показанных на рис. 8.14, *г* и *д*, для которых магнитная энергия равна нулю. Здесь границы треугольных призматических доменов у верхней и нижней поверхностей кристалла, называемых замыкающими доменами, образуют угол 45° как с направлением вектора намагниченности замыкающих доменов, так и доменов с перпендикулярной к первым намагниченностью. Следовательно, компонента намагниченности, нормальная к границе, будет изменяться при переходе границы непрерывно, и поэтому никаких полюсов нигде в кристалле не возникнет. Поскольку нет полюсов, то нет и магнитных полей, связанных с намагниченностью; можно сказать, что магнитный поток замыкается внутри кристалла. Тем самым оправдан термин «замыкающие домены» для доменов, расположенных вблизи поверхностей кристалла, которые делают магнитную цепь замкнутой.

В одноосных кристаллах (таких, как, например, кобальт) энергия, необходимая для образования замыкающих доменов, связана в основном с так называемой *кристаллографической магнитной анизотропией*. Энергия анизотропии «заставляет» намагниченность доменов располагаться вдоль некоторых кристаллографических осей, которые, таким образом, занимают особое положение и известны как «преимущественные» оси, или оси легкого намагничивания. Хорошо известно, что для намагничивания образца до насыщения вдоль произвольной оси требуется значительно большая энергия, чем при намагничивании вдоль одной из осей легкого намагничивания. В случае кобальта только гексагональная ось кристалла является осью легкого намагничивания, и поэтому кобальт относится к числу магнитно-одноосных кристаллов. В случае железа, которое имеет кубическую структуру, осями легкого намагничивания являются ребра куба; в случае никеля, также имеющего кубическую структуру, осями легкого намагничивания являются пространственные диагонали куба. На рис. 8.15 приведены кривые намагничивания для железа, никеля, кобальта в направлениях легкого и трудного намагничивания.

В кобальте, если вектор намагниченности основных доменов параллелен оси легкого намагничивания, вектор намагниченности замыкающих доменов будет обязательно направлен вдоль трудной оси. В кубических кристаллах (например, в случае железа) как основные, так и замыкающие домены могут иметь вектор намагниченности направленным вдоль различных осей легкого намагничивания. Затрата энергии в этом случае связана с магнитострикцией, т. е. с изменением длины в направлении намагничивания. Замыкающие домены намагничиваются вдоль различных осей по отношению к основным доменам и будут вследствие магнитострикции удлиняться в соответствующих направлениях. Поэтому для поддержания равновесного состояния в системе

доменов кристалла необходимо затратить некоторую работу против упругих сил.

Реальные доменные структуры, обнаруженные с помощью метода порошковых фигур, часто оказываются значительно более сложными,

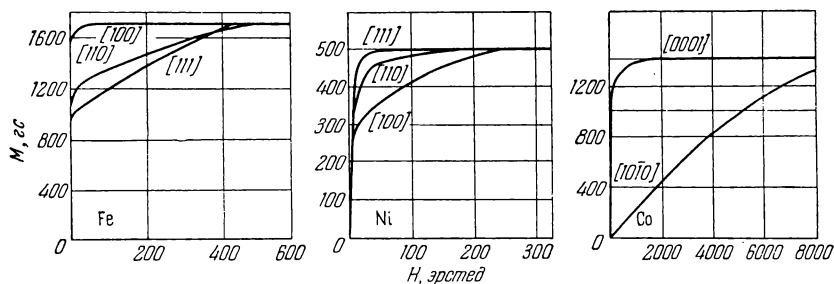


Рис. 8.15. Кривые намагничивания монокристаллов железа, никеля и кобальта (из работы Хонда и Кайя).

чем в тех простых случаях, которые мы выше рассмотрели, однако происхождение любой доменной структуры всегда связано с возможностью уменьшения энергии системы в результате перехода от насыщенной конфигурации с большой магнитной энергией к доменной конфигурации с низкой энергией.

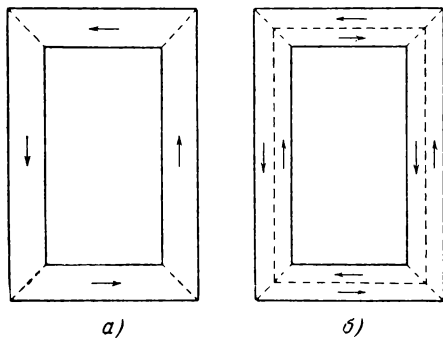


Рис. 8.16. Простая доменная структура монокристалла кремнистого железа, вырезанного в форме прямоугольной рамки, стороны которой (а) параллельны осям $[001]$ и (б) — осям $[010]$.

Одна из простых доменных структур показана на рис. 8.16. Эта структура была получена Вильямсом и Шокли [10] с монокристаллом кремнистого железа, который был вырезан в форме прямоугольной рамки, стороны которой точно совпадали с кристаллографическими осями кристалла $[001]$ и $[010]$.

При полностью насыщенной конфигурации границы доменов располагаются под углом

45° к векторам намагниченности (рис. 8.16, а); когда часть кристалла намагничена «по часовой стрелке», а другая часть — в противоположном направлении, то дополнительно появляется еще одна граница прямоугольной формы (рис. 8.16, б). Изменение намагниченности в последнем случае имеет место в результате смещения прямоугольной

границы: количественное изменение потока соответствует смещению доменных границ.

Коэрцитивная сила и гистерезис. Коэрцитивная сила, пожалуй, наиболее чувствительное свойство ферромагнитных материалов, поддающееся нашему контролю, и в то же время величина коэрцитивной силы является одним из важнейших критериев при выборе магнитных материалов для тех или иных практических применений. Основной характеристикой, по которой различаются материалы для постоянных магнитов и материалы для сердечников трансформаторов, является как раз коэрцитивная сила, величина которой может изменяться от 600 э в магнитах для репродукторов (Алнико V) до 20 000 э в специальных, обладающих высокой устойчивостью сплавах для постоянных магнитов (FePt) или доходить до 0,5 э в сердечниках силовых трансформаторов, имеющихся в продаже (FeSi) и даже до 0,004 э в импульсных трансформаторах (супермаллой). Таким образом, коэрцитивная сила может принимать значения в интервале шириной $5 \cdot 10^6$ э.

Задачей теории является объяснение наблюдаемых значений коэрцитивной силы на основе данных о физических свойствах и состоянии материала. В этом направлении уже достигнуты некоторые успехи, хотя решение задачи наталкивается на обычные трудности, связанные с необходимостью количественного определения ряда имеющих непосредственное отношение к делу физических характеристик материала, например примесей, дефектов решетки и внутренних напряжений. Такое явление, как насыщение потерь на гистерезис при низких частотах, тесно связано с коэрцитивной силой, поскольку площадь петли гистерезиса приближенно равна произведению индукции насыщения B_s на коэрцитивную силу. Коэрцитивная сила уменьшается при уменьшении содержания выпавшей мелкодисперсной фазы или примесей, а также когда внутренние напряжения снимаются в результате отжига или достаточно медленного охлаждения. Сплавы, содержащие выпавшую мелкодисперсную фазу, могут быть магнитно-жесткими.

Происхождение коэрцитивной силы некоторых магнитно-жестких материалов может быть объяснено на основе совершенно других представлений. Речь идет о материалах, состоящих из весьма малых зерен или из тонкого порошка, в котором каждая частица содержит только один домен и всегда намагничена до насыщения. Известно, что достаточно малые частицы с диаметром менее $10^{-4} - 10^{-5}$ см содержат только один домен; эта возможность следует и из теории доменов, хорошо подтверждающейся на опыте. Можно показать [11], [12], что в таких малых частицах образование доменной структуры является энергетически невыгодным, потому что слишком большую часть объема малой частицы занимал бы граничный междоменный слой, толщина которого от размеров частицы не зависит.

Поскольку малая частица вынуждена оставаться однодоменной, ее перемагничивание не может происходить за счет процессов смещения границ, для которых обычно достаточны относительно слабые поля. Вместо этого вектор намагниченности частицы должен переворачиваться как целое, а этот процесс может потребовать больших полей, зависящих от энергии анизотропии материала или от формы частицы. Это связано с тем, что мы должны, поворачивая вектор намагниченности, преодолеть энергетический максимум, соответствующий направлению трудного намагничивания.

Величина коэрцитивной силы частиц тонкого железного порошка, которую можно ожидать из теоретических расчетов, основанных на предположении, что при вращении вектора намагниченности надо преодолевать силы анизотропии, равна примерно 250 э; по порядку величины это значение находится в согласии с результатами некоторых исследователей. Еще бóльшие значения коэрцитивной силы обнаружены в случае удлинённых частиц железа, где вращению препятствует сильная анизотропия формы, приводящая к возникновению энергии размагничивания. Подобно этому большая коэрцитивная сила порошков MnBi ($M H_c > 12\,000$), согласно Гийо, может быть объяснена на основе представлений о вращении вектора намагниченности частиц при наличии сил анизотропии, препятствующих этому вращению.

Обратимая проницаемость. Интервал напряженностей магнитного поля, где проницаемость является обратимой, определяется тем расстоянием, на которое может переместиться граница домена, не проходя максимумов кривой, описывающей зависимость энергии границы от величины смещения.

Обратимая проницаемость определяется наличием нерегулярностей на кривой, описывающей зависимость энергии границы от величины смещения, и, следовательно, определяется в основном теми же физическими факторами, что и коэрцитивная сила. Сравнение значений начальной проницаемости μ_0 и коэрцитивной силы H_c во многих магнитных материалах, иллюстрируемое рис. 8.17, показывает, что между этими характеристиками имеется очень тесная связь, а именно: материалы, обладающие большой коэрцитивной силой, имеют низкую проницаемость, и наоборот.

Широкий интервал характеристик является наглядной иллюстрацией чувствительности процессов, связанных с доменами, к внутренним напряжениям, микроструктуре, значениям констант анизотропии и магнитострикции ферромагнитных материалов. При разработке материалов с высокой проницаемостью мы добиваемся того, чтобы границы доменов могли перемещаться по возможности свободно, не захватываясь центрами деформаций, межкристаллитными слоями, примесями, включениями и полостями. Для этого мы стремимся к тому, чтобы материалы были хорошо очищенными, обладали кристаллогра-

фической текстурой, отжигаем их, добиваясь снижения анизотропии и магнитострикции, связанных с внутренними напряжениями. При разработке материалов для постоянных магнитов мы стараемся уменьшить число доменных границ или максимально затруднить их движение и сохраняем лишь процессы вращения вектора намагниченности доменов, которые опять-таки стремимся по возможности затруднить.

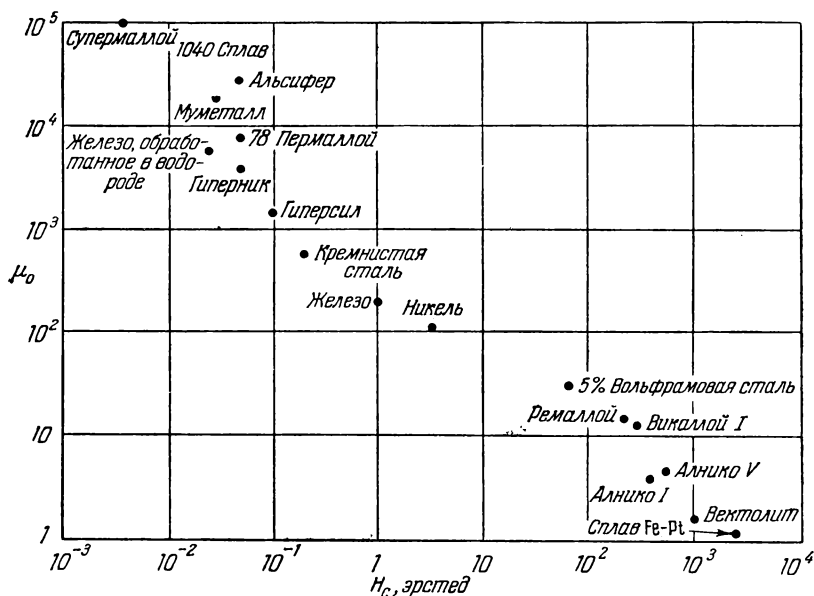


Рис. 8.17. Диаграмма, показывающая связь между начальной проницаемостью и коэрцитивной силой для ряда магнитных материалов.

Энергия анизотропии. Энергия анизотропии, или, как ее иногда называют, энергия кристаллографической магнитной анизотропии ферромагнитного кристалла, является причиной того, что самопроизвольная намагниченность стремится расположиться в кристалле вдоль некоторых определенных кристаллографических осей, которые поэтому и называются осями легкого намагничивания. Направления, вдоль которых намагнитить кристалл труднее всего, называются осями трудного намагничивания.

В качестве примера магнитно-анизотропного кристалла можно привести кобальт, который имеет гексагональную структуру. Направление гексагональной оси является осью легкого намагничивания (при комнатной температуре), в то время как любое направление в плоскости базиса, нормальное к гексагональной оси, будет являться осью трудного намагничивания. Кривые намагничивания монокристалла кобальта

приведены на рис. 8.15. По этим кривым энергию намагничивания на единицу объема можно определить как интеграл

$$\int H dM.$$

Избыточная энергия, т. е. энергия анизотропии, вычисленная по этим кривым, составляет для кобальта примерно $5 \cdot 10^6$ эрг/см³.

В случае кобальта было установлено, что экспериментальные данные очень хорошо описываются формулой для свободной энергии анизотропии, содержащей два члена:

$$f_K = K'_1 \sin^2 \theta + K'_2 \sin^4 \theta, \quad (8.73)$$

где θ — угол между вектором намагниченности и гексагональной осью. При комнатной температуре

$$K'_1 = 4,1 \cdot 10^6 \text{ эрг/см}^3, \quad K'_2 = 1,0 \cdot 10^6 \text{ эрг/см}^3.$$

Магнитострикция. Исследования ферромагнитных монокристаллов показывают, что длина кристалла в данном направлении относительно кристаллографических осей, вообще говоря, зависит от направления вектора намагниченности относительно этих же осей. В случае кубических кристаллов относительное изменение длины в произвольном направлении приближенно выражается формулой

$$\frac{\delta l}{l} = \frac{3}{2} \lambda_{100} (\alpha_1^2 \beta_1^2 + \alpha_2^2 \beta_2^2 + \alpha_3^2 \beta_3^2 - \frac{1}{3}) + 3\lambda_{111} (\alpha_1 \alpha_2 \beta_1 \beta_2 + \alpha_2 \alpha_3 \beta_2 \beta_3 + \alpha_3 \alpha_1 \beta_3 \beta_1), \quad (8.74)$$

где $\alpha_1, \alpha_2, \alpha_3$ — направляющие косинусы вектора намагниченности по отношению к кубическим осям, а $\beta_1, \beta_2, \beta_3$ — направляющие косинусы направления измерения δl , а λ_{100} и λ_{111} — значения при насыщении для продольной магнитострикции в направлении $[100]$ и, соответственно, в направлении $[111]$.

Экспериментальные значения λ_{100} и λ_{111} следующие:

Кристалл	$\lambda_{100} \cdot 10^6$	$\lambda_{111} \cdot 10^6$
Fe	19,5	—18,8
Co	—46	—25

В случае никеля формула (8.74) недостаточно хорошо согласуется с опытом; в этом случае часто применяется другая формула, содержащая четыре параметра вместо двух.

Физически естественно считать магнитострикцию следствием зависимости энергии кристаллографической магнитной анизотропии от

деформаций решетки; таким образом, небольшая деформация кристалла, несколько искажающая кубическую симметрию, может оказаться энергетически выгодной, если эта деформация будет уменьшать энергию анизотропии сильнее, чем увеличивать упругую энергию кристалла.

При создании материалов с высокой проницаемостью часто стремятся составить сплав с низкой магнитострикцией так, чтобы внутренние деформации не оказывали влияния на локальную энергию анизотропии. Например, в пермаллое очень малы как энергия анизотропии, так и магнитострикция.

СТЕНКА БЛОХА

Под «стенкой Блоха» подразумевают обычно переходный слой, разделяющий два домена, намагниченных в различных направлениях.

Основная идея введения представления о стенке Блоха связана с тем, что изменение направления спинов при переходе от одного

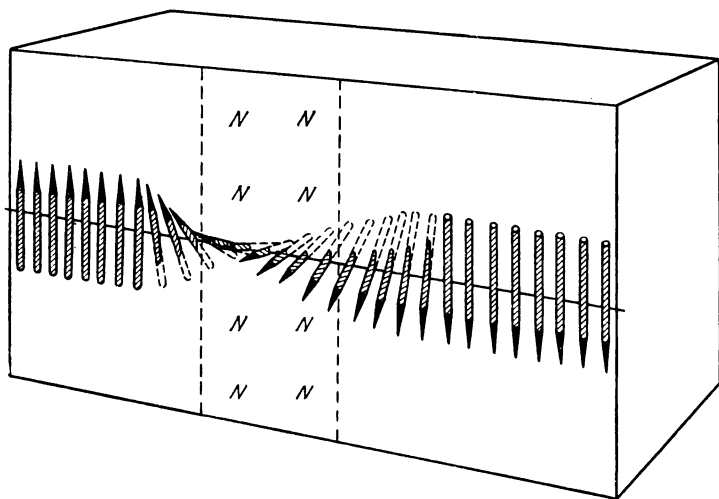


Рис. 8.18. Структура переходного слоя между доменами. В железе толщина такого слоя равна приблизительно 300 постоянным решетки.

домена к другому, имеющему иное направление намагниченности, не может происходить скачком на какой-то атомной плоскости. Скорее, это изменение направления происходит постепенно и захватывает много атомных плоскостей (рис. 8.18). Причина постепенности этого перехода обусловлена тем, что для данного полного изменения направления спинов обменная энергия меньше, когда изменение распределено по многим спинам, чем когда это изменение происходит скачком.

Этот процесс можно описать следующим выражением:

$$\omega_{\text{обм}} = JS^2\varphi^2, \quad (8.75)$$

дающим величину обменной энергии между двумя спинами, имеющими между собой малый угол φ . Здесь J — обменный интеграл, а S — спиновое квантовое число.

Выражение (8.75) получается, если интерпретировать (8.68) классически и заменить при этом $\cos \varphi$ на $\left(1 - \frac{1}{2}\varphi^2\right)$. Пусть полное изменение направления характеризуется углом φ_0 ; если это изменение разбивается на N равных этапов, то изменение угла между соседними спинами равно φ_0/N , а обменная энергия каждой пары соседних атомов

$$\omega_{\text{обм}} = JS^2 \left(\frac{\varphi_0}{N}\right)^2. \quad (8.76)$$

Полная обменная энергия цепочки из $N+1$ атомов

$$E_{\text{обм}} = \frac{JS^2\varphi_0^2}{N}. \quad (8.77)$$

Если полное изменение угла между векторами намагниченности соседних доменов $\varphi_0 = \pi$, что соответствует изменению направления вектора намагниченности на противоположное, то обменная энергия цепочки атомов при «толщине» стенки, составляющей 100 атомов, будет порядка $kT_c/100$, т. е. в 100 раз меньше, чем в случае стенки толщиной в один атомный слой.

Поскольку, согласно (8.77), обменная энергия стенки обратно пропорциональна ее толщине, то стенка могла бы достигать по толщине размеров кристалла, если бы не ограничивающее влияние сил анизотропии, которые приводят к тому, что переходный слой имеет конечные размеры. Так как направления спинов, находящихся внутри стенки, как правило, не совпадают с осями легкого намагничивания, со стенкой связано некоторое количество энергии анизотропии, грубо говоря, пропорциональное толщине стенки.

Действительная толщина переходного слоя и его энергия определяются равновесием между силами обмена и силами анизотропии; первые стремятся увеличить толщину слоя, а вторые — уменьшить ее.

Произведем грубую, по порядку величины, оценку толщины и энергии стенки Блоха. Рассмотрим стенку, плоскость которой параллельна грани куба простой кубической решетки. Стенка разделяет домены с противоположными направлениями намагниченности. Мы хотим выразить толщину стенки через число N атомных плоскостей, составляющих стенку, а также определить энергию на единицу поверхности.

Энергию с хорошим приближением можно представить в виде суммы обменной энергии и энергии анизотропии

$$\sigma_w = \sigma_{\text{обм}} + \sigma_{\text{аниз}}. \quad (8.78)$$

Обменную энергию можно приближенно выразить с помощью формулы (8.77) для каждой цепочки атомов вдоль линии, перпендикулярной к плоскости стенки. Таких цепочек на единицу поверхности стенки приходится $1/a^2$, где a — постоянная решетки. Итак,

$$\sigma_{\text{обм}} = \frac{\pi^2 JS^2}{Na^2}. \quad (8.79)$$

Энергия анизотропии — порядка произведения константы анизотропии на объем слоя, т. е.

$$\sigma_{\text{аниз}} \cong KNa. \quad (8.80)$$

Следовательно,

$$\sigma_w \cong \frac{\pi^2 JS^2}{Na^2} + KNa. \quad (8.81)$$

Минимум σ_w относительно N имеет место при условии

$$\frac{\partial \sigma_w}{\partial N} = 0 = -\frac{\pi JS^2}{N^2 a^2} + Ka; \quad (8.82)$$

отсюда следует, что

$$N = \left(\frac{\pi^2 JS^2}{Ka^3} \right)^{1/2}. \quad (8.83)$$

В случае железа по порядку величины имеем

$$N \approx \left(\frac{kT_c}{Ka^3} \right)^{1/2} \approx \left(\frac{10^{-13}}{10^5 \cdot 10^{-23}} \right)^{1/2} \approx 300 \text{ постоянных решетки,}$$

т. е. примерно 1000 Å.

Полная энергия, отнесенная к единице поверхности стенки,

$$\sigma_w = 2\pi \left(\frac{JKS^2}{a} \right)^{1/2}. \quad (8.84)$$

В случае железа по порядку величины для σ_w имеем

$$\sigma_w = \left(\frac{kT_c K}{a} \right)^{1/2} \cong 1 \text{ эрг/см}^2.$$

Производя эти оценки, мы довольно произвольно предполагали, что полное изменение направления спинов распределено равномерно вдоль прямой, проходящей внутри стенки нормально к ее поверхности. Кроме того, мы очень грубо оценивали энергию анизотропии системы спинов, составляющих переходный слой. Более точный расчет для 180-градусного переходного слоя, расположенного параллельно плоскости (100), дает

$$\sigma_w = 2 \left(\frac{2K_1 JS^2}{a} \right)^{1/2}; \quad (8.85)$$

в случае железа, пользуясь этой формулой, получим $\sigma_w = 1,8 \text{ эрг/см}^2$.

РАЗМЕРЫ ДОМЕНОВ

Вопрос о размерах доменов мы изложим, следуя упомянутой выше работе Ландау и Лифшица, исходя из рассмотрения конфигураций доменов с замкнутым магнитным потоком (рис. 8.19) в магнитно-одноосных кристаллах. Энергия переходного слоя, отнесенная к единице поверхности в кристалле, приближенно выражается формулой

$$w_{\text{стенки}} = \frac{\sigma_w L}{D}.$$

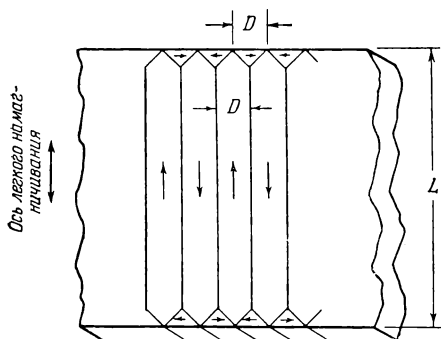


Рис. 8.19. Расположение замыкающих доменов в магнитно-одноосном кристалле.

Замыкающий домен имеет вектор намагниченности, направленный вдоль оси трудного намагничивания, а его объем связан с энергией K на единицу объема (K — константа анизотропии). Учитывая, что замыкающие домены имеются на обеих сторонах поверхности и что отношение их объема к их поверхности на грани

кристалла с одной из его сторон равно $D/2$, для энергии анизотропии на единицу поверхности получим

$$w_{\text{аниз}} = \frac{KD}{2}. \quad (8.86)$$

Энергия переходного слоя стремится увеличить размеры домена, тогда как энергия анизотропии стремится уменьшить их.

Полная энергия, отнесенная к единице площади,

$$w = \frac{\sigma_w L}{D} + \frac{KD}{2}.$$

Минимум этой энергии относительно линейного размера домена можно определить из условия

$$\frac{\partial w}{\partial D} = -\frac{\sigma_w L}{D^2} + \frac{K}{2} = 0,$$

откуда следует, что

$$D = \left(\frac{2\sigma_w L}{K} \right)^{1/2}. \quad (8.87)$$

В случае железа, подставляя приближенные значения входящих в формулы констант и принимая $L = 1$ см, получим

$$D = \left(\frac{2 \cdot 2 \cdot 1}{4 \cdot 10^5} \right)^{1/2} = 3 \cdot 10^{-3} \text{ см}.$$

АНТИФЕРРОМАГНЕТИЗМ

Антиферромагнитное состояние характеризуется упорядоченным антипараллельным расположением электронных спинов. Когда обменный интеграл J , фигурирующий в выражении (8.86), положителен, мы имеем ферромагнетизм, когда обменный интеграл J отрицателен, — антиферромагнетизм. Когда температура антиферромагнетика спускается ниже точки Кюри, спины ориентируются антипараллельно

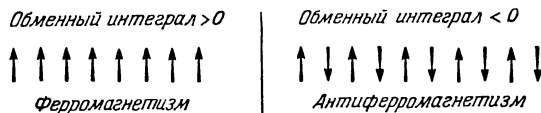


Рис. 8.20. Сравнение упорядоченного расположения спинов в ферромагнитном и антиферромагнитном состояниях.

(рис. 8.20). В точке Кюри восприимчивость антиферромагнетика достигает максимума (рис. 8.21). Антиферромагнетизм обнаруживают именно по хорошо выраженному горбу на кривой зависимости восприимчивости от температуры. Точки Кюри обнаруживаются также

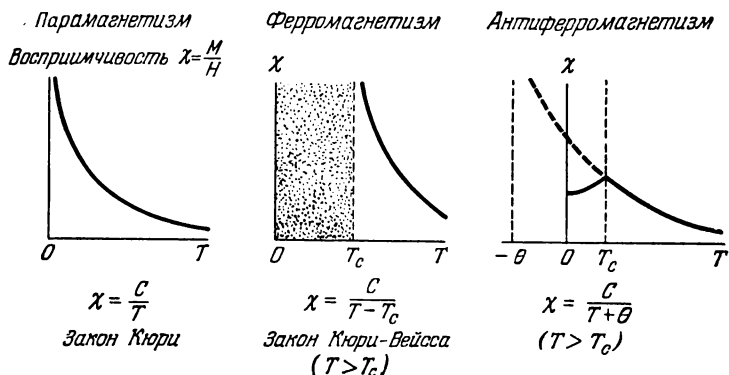


Рис. 8.21. Кривые температурной зависимости магнитной восприимчивости, иллюстрирующие различие между парамагнетиками, ферромагнетиками и антиферромагнетиками.

В области от 0 до T_c в случае ферромагнетизма зависимость от T носит сложный характер.

по аномалиям теплоемкости и коэффициента теплового расширения. Важнейшим экспериментальным доказательством антипараллельного расположения спинов в антиферромагнетике послужили исследования дифракции нейтронов на антиферромагнитных кристаллах¹⁾.

¹⁾ Существование антиферромагнетиков было теоретически предсказано Л. Д. Ландау (1933). (Прим. перев.)

В табл. 8.5 собраны важнейшие данные, относящиеся к антиферромагнетикам. Эффективные числа магнетонов Бора, определяемые по постоянной C в законе Кюри—Вейсса для восприимчивости при высоких температурах, в таблицу не включены. Отметим только, что значения этих чисел, вообще говоря, хорошо согласуются со значениями, полученными из измерений на обычных парамагнитных солях. Однако магнитные моменты атомов марганца и хрома в металлическом состоянии значительно меньше, чем у свободных ионов. Применяя нейтрон-дифракционный метод, Шул нашел, что магнитный момент атома хрома равен $0,4 \mu_B$, а у α -Mn несколько больше, а именно $0,5 \mu_B$. Результаты, получаемые этим методом для хрома, по-видимому, сильно зависят от качества используемых в эксперименте образцов.

Таблица 8.5

Сводка данных об антиферромагнетиках*)

Вещество	Тип решетки парамагнитных ионов	Температура перехода T_N , °К	Постоянная θ , °К	$\frac{\theta}{T_N}$	$\frac{\chi(0)}{\chi(T_N)}$
MnO	г. ц. к.	122	610	5,0	2/3
MnS	г. ц. к.	165	528	3,2	0,82
MnSe	г. ц. к.	~ 150 (?)	~ 435 (?)	~ 3	—
MnTe	гекс. слоист.	307	—	—	—
MnF ₂	о. ц. тетр.	72	113	1,57	0,76
FeF ₂	о. ц. тетр.	79	117	1,48	0,72
FeCl ₂	гекс. слоист.	23,5	48	2,0	< 0,2
FeO	г. ц. к.	198	570	2,9	0,8
CoCl ₂	гекс. слоист.	24,9	38,1	1,53	—
CoO	г. ц. к.	291	—	—	—
NiCl ₂	гекс. слоист.	49,6	68,2	1,37	—
NiO	г. ц. к.	523	—	—	—
α -Mn	сложная	~ 100	—	—	—
Cr	о. ц. к.	475	—	—	—
CrSb	гекс. слоист.	725	~ 1000	1,4	~ 1/4
Cr ₂ O ₃	сложная	310	—	—	—
TiCl ₃	»	~ 100	—	—	—
FeCO ₃	»	57	—	—	~ 1/4

*) Библиография экспериментальных данных об антиферромагнитных веществах имеется в обзоре [13]. Значения θ получены путем использования выражения для восприимчивости в форме $\chi = C/(T + \theta)$ для области температур выше температуры перехода. В современной литературе температура перехода часто называется температурой Нееля и обозначается T_N .

Модель двух подрешеток. Простейшую модель антиферромагнетика можно представить себе в виде решетки парамагнитных ионов, состоящей из двух вставленных друг в друга подрешеток A и B , так что все ближайшие соседи каждого иона подрешетки A являются

ионами подрешетки B . Этим условиям удовлетворяет, например, гранецентрированная и объемноцентрированная кубическая решетки, но не удовлетворяет простая кубическая решетка. Если учитывать антиферромагнитное взаимодействие только между ближайшими соседями, то, пользуясь теорией молекулярного поля, для намагниченностей подрешеток выше точки Кюри можно написать:

$$\begin{aligned} TM_A &= C'(H - \lambda M_B), \\ TM_B &= C'(H - \lambda M_A). \end{aligned} \quad (8.88)$$

Здесь C' — постоянная Кюри — Вейсса для каждой из подрешеток. Эффективное поле в подрешетке A равно $H - \lambda M_B$, положительное значение λ отвечает антиферромагнитному взаимодействию между A и B . Кроме того, имеем

$$TM = T(M_A + M_B) = 2C'H - C'\lambda M,$$

так что

$$\chi = \frac{2C'}{T + C'\lambda},$$

или

$$\chi = \frac{C}{T + \theta}, \quad (8.89)$$

где

$$C = 2C'; \quad \theta = C'\lambda. \quad (8.90)$$

Температура перехода — это температура, ниже которой каждая из подрешеток A и B обладает магнитным моментом даже в отсутствие внешнего поля. Ниже точки Кюри считать магнитный момент линейной функцией эффективного поля незаконно, однако, поскольку предположение о насыщении нельзя считать хорошим приближением для области, близкой к точке Кюри, при составлении уравнений для точки Кюри можно предположить, что линейность имеет место.

Тогда температура перехода T_N будет той температурой, при которой уравнения (8.88) имеют нетривиальные решения для намагниченности при $H = 0$.

Условия, при которых это справедливо, выполняются, если детерминант, составленный из коэффициентов при неизвестных M_A , M_B , равен нулю:

$$\begin{vmatrix} T & \theta \\ \theta & T \end{vmatrix} = 0,$$

или же

$$T_N = \theta. \quad (8.91)$$

Согласно этой модели температура Нееля T_N должна быть равна постоянной θ в законе Кюри — Вейсса (8.89). Данные, приведенные в табл. 8.5, показывают, что экспериментальные значения отношения

θ/T_N имеют величины от 1,5 до 5. Величины такого порядка могут получиться и теоретически, если при построении теории учесть не только первый, но и второй слой ближайших соседей и, кроме того, ввести в рассмотрение не две, а большее число магнитных подрешеток. В качестве упражнения нетрудно показать (см. задачу 8.10 в конце главы), что если для описания взаимодействия между подрешетками использовать постоянную молекулярного поля — ϵ , то

$$\frac{\theta}{T_N} = \frac{\lambda + \epsilon}{\lambda - \epsilon}.$$

Антиферромагнитный резонанс. Спиновое резонансное поглощение в антиферромагнитных кристаллах при температурах выше точки Кюри аналогично поглощению, наблюдаемому в парамагнитных кристаллах. Но при температурах ниже точки Кюри имеется некоторое сильное эффективное поле, приводящее к расщеплению резонансных линий в нулевом поле. В простейшем случае при 0°K для эффективного поля, действующего дополнительно к внешнему магнитному полю, можно принять выражение

$$H_{\text{эфф}} = [H_A(2H_E + H_A)]^{1/2}, \quad (8.92)$$

где H_A — эффективное поле анизотропии одной подрешетки, а H_E — обменное поле.

В случае фтористого марганца эффективное поле достигает $1,0 \cdot 10^5$ э; величина расщепления в нулевом поле

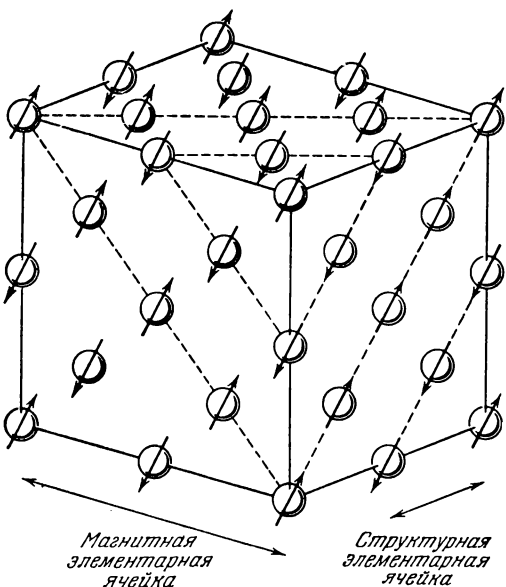


Рис. 8.22. Расположение спинов ионов марганца Mn^{2+} в решетке окиси марганца (MnO), определенное нейтрон-дифракционным методом.

соответствует длине волны, равной 1 мм. Эти результаты были получены экспериментально Джонсоном и Нетеркотом.

Определение магнитной структуры спиновой решетки нейтрон-дифракционным методом. Шульц добился замечательного успеха в определении расположения спинов в решетках ферромагнитных и антиферромагнитных веществ нейтрон-дифракционным методом. Данные о расположении спинов в решетке окиси марганца в антиферромаг-

нитном состоянии, полученные этим методом, иллюстрируются рис. 8.22. Наиболее поразительной особенностью наблюдаемой спиновой структуры является то, что она подтверждает предположение о наличии сильного взаимодействия между соседями, следующими за ближайшими. Это сильное взаимодействие находит объяснение на основе введенного Крамерсом представления о косвенном обменном взаимодействии (называемом также сверхобменным взаимодействием). Согласно Крамерсу возбужденное парамагнитное состояние промежуточного иона (в данном случае кислорода) «переносит» обменное взаимодействие «через» анион, осуществляя связь между спинами ионов марганца, расположенных на таком расстоянии друг от друга, что непосредственное обменное взаимодействие между ними не играет роли.

ФЕРРИТЫ

Простейшие ферриты, представляющие интерес как магнитные материалы, относятся к группе соединений, общая химическая формула которых имеет вид $MOFe_2O_3$, где M — ион двухвалентного металла (например, Mn , Co , Ni , Cu , Mg , Zn , Cd , Fe^{2+}); к этой же группе относятся и смешанные ферриты, в которые входят ионы одновременно двух металлов из числа указанных. Эти ферриты — кубические и имеют структуру шпинели (от названия минерала $MgAl_2O_4$). Структуру ферритов можно представить себе, взяв за основу магнетит Fe_3O_4 и заменяя в нем один из ионов железа (Fe^{2+}) двухвалентным ионом какого-либо металла из числа перечисленных выше.

Ферриты приобрели большое практическое значение как магнитные материалы с высоким сопротивлением, что весьма важно для применений в высокочастотных устройствах. Выпускаемые промышленностью ферриты имеют сопротивление $10^2 — 10^6 \text{ ом} \cdot \text{см}$, тогда как сопротивление железа $10^{-5} \text{ ом} \cdot \text{см}$. Разработка ферритов как промышленных магнитных материалов связана с работами Сноека, Вервея и других сотрудников лабораторий фирмы Филипс (Голландия). Наибольший интерес представляют материалы, названные ими феррооксид 3 ($Mn — Zn$ -феррит) и феррооксид 4 ($Ni — Zn$ -феррит).

Мы кратко остановимся на некоторых положениях теории намагниченности ферритов, предложенной Неелем. Прежде всего заметим, что приведенное в табл. 8.4 значение намагниченности насыщения магнетита (Fe_3O_4), равное 485, соответствует лишь $4,2 \mu_B$ на молекулу Fe_3O_4 . Если исходить из того, что магнитные моменты иона Fe^{2+} и двух ионов Fe^{3+} в молекуле Fe_3O_4 ориентированы в одном и том же направлении, то следует ожидать значения, равного примерно $14 \mu_B$ на молекулу.

Неель считает, что экспериментальные факты можно объяснить, если предположить, что магнитные моменты ионов Fe^{3+} расположены антипараллельно один другому, а результирующий момент обусловлен

лишь ионами Fe^{2+} . Это иллюстрируется схемой, приведенной на рис. 8.23. В таком случае мы получим момент, равный $4 \mu_B$ (что соответствует спину, равному 2). Таким образом, согласие с экспериментальным значением, равным $4,2 \mu_B$, получается вполне удовлетворительное. Для магнитных свойств таких систем Неель ввел термин **ферримагнетизм**. Принципиальная возможность подобного объяснения, была предусмотрена в работе Гийо о соединениях марганца типа MnBi .

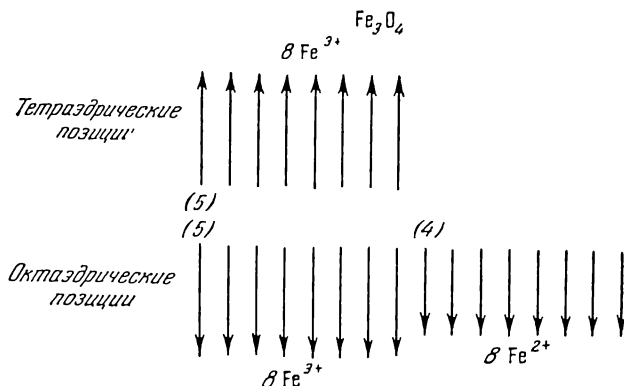


Рис. 8.23. Схема спинового расположения в магнетите FeOFe_2O_3 , иллюстрирующая компенсацию моментов ионов Fe^{3+} (магнитный момент иона Fe^{3+} равен $5 \mu_B$). Результирующая намагниченность создается магнитными моментами ионов Fe^{2+} , которые остаются нескомпенсированными. Каждый ион Fe^{2+} имеет магнитный момент, равный $4 \mu_B$; поскольку на ячейку приходится восемь таких ионов, то намагниченность на ячейку должна быть равна $8 \cdot 4 \mu_B = 32 \mu_B$, измерения же дают $8 \cdot 4,0 \cdot 7 \mu_B = 32,56 \mu_B$.

Неель предположил, что все взаимодействия в ферритах имеют антиферромагнитную природу, но при этом он показал, что условия минимума свободной энергии системы, если она содержит ионы двух типов, часто могут привести к не равной нулю полной намагниченности. У ферримагнетиков выше точки Кюри зависимость $1/\chi$ от T описывается пологой кривой, несколько выгнутой вверх. Пример такой зависимости (для магнетита) приведен на рис. 8.24.

Теория Нееля указывает естественный путь объяснения зависимости намагниченности насыщения некоторых содержащих цинк смешанных ферритов от содержания цинка (рис. 8.25). Значения магнитных моментов ферритов, не содержащих цинка, хорошо согласуются с предположением о том, что ионы Fe^{3+} не дают никакого вклада

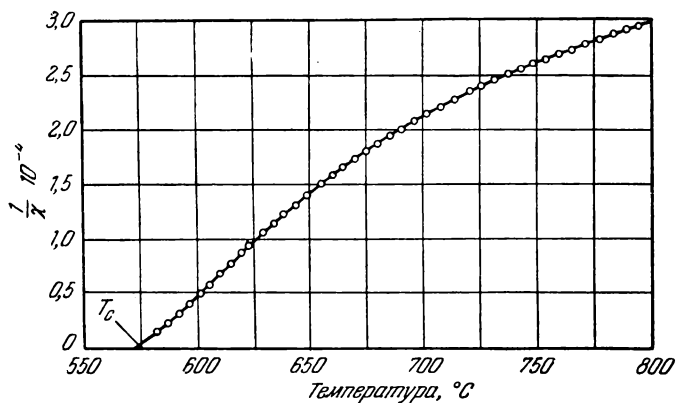


Рис. 8.24. Температурная зависимость обратной восприимчивости магнетита FeOFe_2O_3 в парамагнитной области (выше точки Кюри).

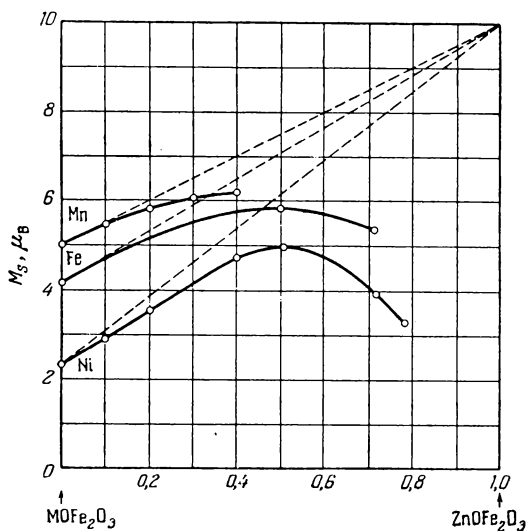


Рис. 8.25. Намагниченность смешанных ферритов MnZn , FeZn и NiZn как функция содержания цинка. (Из работы Вента и Гортера [14].)

в намагниченность. Стремление величины результирующего магнитного момента к нулю (для $\text{ZnO} \cdot \text{Fe}_2\text{O}_3$) по мере увеличения содержания

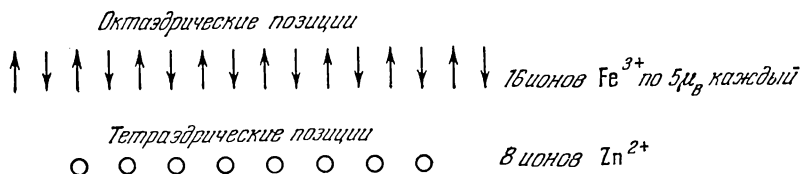


Рис. 8.26. Схема расположения магнитных моментов в цинковом феррите, объясняющая, почему намагниченность насыщения цинкового феррита равна нулю. Ионы цинка диамагнитны и занимают тетраэдрические позиции (см. рис. 8.27). Магнитная структура этого феррита характеризуется антиферромагнитным расположением ионов железа в октаэдрических позициях.

цинка также понятно, поскольку ионы цинка диамагнитны (рис. 8.26). В области промежуточных концентраций ионы цинка не дают компенсации, и полный магнитный момент увеличивается. Этот вопрос рассматривался Вентом и Гортером [14].

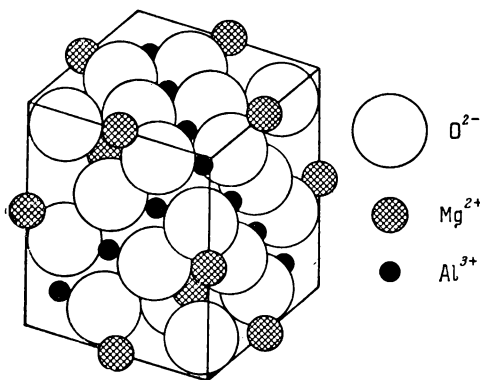


Рис. 8.27. Кристаллическая структура минерала шпинеля (MgAl_2O_4). Ионы Mg^{2+} занимают тетраэдрические позиции (каждый ион Mg^{2+} окружен четырьмя ионами кислорода). Ионы Al^{3+} занимают октаэдрические позиции (каждый ион Al^{3+} окружен шестью ионами кислорода). Такое расположение ионов в шпинельной структуре называют *нормальным* (нормальная шпинель).

Структуру шпинели можно представить себе как кубическую плотноупакованную решетку ионов кислорода O^{2-} , в междоузлиях которой располагаются ионы Fe^{3+} и M^{2+} (рис. 8.27). Длина ребра элементарной ячейки равна примерно $8,4 \text{ \AA}$; ячейка имеет 64 тетраэдрических междоузлия (A), каждое из которых в качестве ближайших соседей имеет четыре иона O^{2-} и 32 октаэдрических (B), имеющих в качестве ближайших соседей шесть ионов O^{2-} . Заняты 8 тетраэдрических и 16 октаэдрических междоузлий. Таким образом, элементарная ячейка

содержит 24 металлических иона. Обменные взаимодействия типа $A-A$, $A-B$ и $B-B$ носят антиферромагнитный характер, однако взаимодействие типа $A-B$ считается наиболее сильным, так что решетки A и B по отдельности рассматриваются как ферромагнитные,

но векторы их намагниченностей M_A и M_B направлены антипараллельно.

Но если $M_A = 0$ (как в цинковом феррите), эффективным является обменное взаимодействие только типа $B-B$, а поскольку моменты ионов B имеют антиферромагнитный порядок, то и $M_B = 0$.

То обстоятельство, что три антиферромагнитных взаимодействия могут привести к ферромагнетизму, заслуживает более подробного рассмотрения. Молекулярные поля, действующие на магнитные спиновые моменты подрешеток A и B , можно записать в виде

$$\begin{aligned} H_A &= -\lambda M_A - \mu M_B, \\ H_B &= -\mu M_A - \nu M_B, \end{aligned} \quad (8.93)$$

где константы λ , μ , ν мы считаем положительными, если все взаимодействия имеют антиферромагнитный характер. Тогда энергия взаимодействия

$$E = -\frac{1}{2} (H_A M_A + H_B M_B) = \frac{1}{2} \lambda M_A^2 + \mu M_A M_B + \frac{1}{2} \nu M_B^2. \quad (8.94)$$

Величина энергии E при антипараллельном расположении и M_A и M_B будет меньше, чем при параллельном. При антипараллельном расположении энергию следует приравнять нулю, что имеет место при $M_A = M_B = 0$. Таким образом, при выполнении условия

$$\mu M_A M_B > \frac{1}{2} (\lambda M_A^2 + \nu M_B^2) \quad (8.95)$$

основному состоянию системы соответствует антипараллельное расположение M_A и M_B . В этом случае результирующая намагниченность насыщения

$$M_s = |M_A + M_B|.$$

Феррит-гранат иттрия, имеющий формулу $3Y_2O_3 \cdot 5Fe_2O_3$, представляет собой кристаллический диэлектрик, обладающий ферромагнитными свойствами. Этот ферромагнетик имеет важное значение для исследований динамических магнитных свойств (таких, как резонанс и релаксация) и процессов, связанных со спиновыми волнами. Он был открыт Берто и Форра. В научной литературе на английском языке его сокращенно называют YIG (Yttrium Iron Garnet). Структура его сложнее, чем структура шпинели — это структура граната, кстати, тоже кубическая. Ионы иттрия Y^{3+} диамагнитны, а все ионы железа трехвалентны (Fe^{3+}) и обладают магнитным моментом, равным $5 \mu_B$. На каждые три иона железа с данным направлением магнитного момента приходится два иона железа с моментами противоположного направления. Все магнитные ионы одинаковы, и нет никаких сомнений в величине валентности любого из них, занимающего данное место в решетке. Таким образом, магнитная структура феррита-граната иттрия

более совершенна, чем у ферритов со структурой шпинели, где ионы Fe^{3+} и Fe^{2+} часто обмениваются местами. Структурное совершенство феррита-граната иттрия и устойчивость его химического состава были причиной того, что у отдельных монокристаллических образцов сферической формы и очень тщательно отполированных удалось получить исключительно острые резонансные линии с шириной порядка 0,1 э.

Спиновые волны. В физике твердого тела при рассмотрении сложных систем мы часто встречаемся с коллективными возбуждениями небольшой энергии, распространяющимися в виде волн большой длины

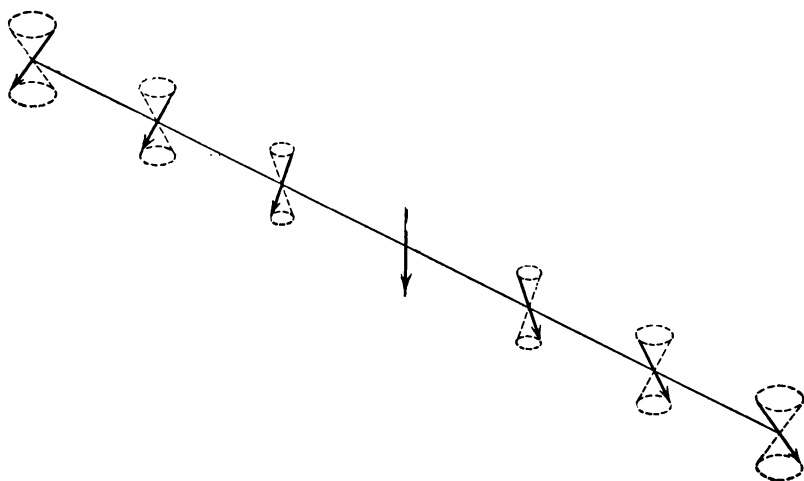


Рис. 8.28. Схема, иллюстрирующая распространение спиновой волны вдоль цепочки атомов.

(относительно межатомных расстояний). Примером могут служить упругие волны (фононы), представляющие собой распространяющиеся в кристаллической решетке колебания с энергией возбуждения, малой по сравнению с энергией, требуемой для удаления атома из кристалла. Малые возбуждения, распространяющиеся в системе спинов, связанных обменными силами, называют *спиновыми волнами (магнонами)*; в спиновой волне отклонение каждого отдельного спина от направления их общей параллельности изменяется вдоль направления распространения волны (рис. 8.28). Состояния, соответствующие переворачиванию спина, есть, вообще говоря, состояния наибольшей энергии.

Аналитическое описание спиновых волн можно получить довольно простым путем. Рассмотрим ферромагнетик, намагниченный в среднем вдоль оси z . Пусть

$$\mathbf{S} = \mathbf{S}_0 + \mathbf{\varepsilon},$$

где S_0 — невозмущенный спиновый вектор, а вектор ε описывает спиновую волну малой амплитуды. Компоненты вектора ε можно искать в следующем виде:

$$\left. \begin{aligned} \varepsilon_x &= \varepsilon_0 \sin \omega t \sin k_x x \sin k_y y \sin k_z z, \\ \varepsilon_y &= \varepsilon_0 \cos \omega t \sin k_x x \sin k_y y \sin k_z z. \end{aligned} \right\} \quad (8.96)$$

Можно показать, что (8.68) приводит к закону дисперсии

$$\hbar \omega = 2S_0 J a^2 k^2, \quad (8.97)$$

где a — постоянная решетки для спинов, расположенных в простой кубической решетке. Спиновые волны наблюдались непосредственно в ряде опытов с использованием микроволновой техники.

ЗАДАЧИ

8.1. Волновая функция атома водорода в основном состоянии (1s) имеет вид

$$\psi = (\pi a_0^3)^{-1/2} e^{-r/a_0},$$

где $a_0 = \hbar^2 / m e^2 = 0,529 \cdot 10^{-8}$ см. Плотность заряда $\rho(x, y, z) = e |\psi|^2$ согласно статистической интерпретации волновой функции. Показать, что в указанном состоянии

$$\overline{r^2} = 3a_0^2,$$

и вычислить молярную диамагнитную восприимчивость атомарного водорода ($-2,36 \cdot 10^{-6}$ см³/моль).

8.2. Показать, что согласно теории Ланжевена первые два члена в разложении дифференциальной восприимчивости имеют вид

$$\chi = \frac{dM}{dH} = \frac{N\mu^2}{3kT} \left[1 - \frac{1}{5} \left(\frac{\mu H}{kT} \right)^2 + \dots \right].$$

8.3. Некоторые органические молекулы имеют триплетное возбужденное состояние ($S=1$) не намного выше синглетного основного состояния ($S=0$).

Изобразить графически восприимчивость как функцию температуры, если расщепление в нулевом поле $\Delta/k = 100^\circ \text{K}$, где k — постоянная Больцмана. Показать, что при $kT \gg \Delta$ восприимчивость можно считать приближенно не зависящей от Δ .

8.4. Путем грубых оценок сравнить энтропию системы электронных спинов (для случая $H=0$) при 2°K в 1 см³ железо-аммониевых квасцов $\text{FeNH}_4(\text{SO}_4)_2 \cdot 12 \text{H}_2\text{O}$ и энтропию системы фононов в решетке свинца (то же на 1 см³ и при той же температуре).

Результат сравнения показывает, что указанную соль можно использовать для охлаждения других веществ.

При 2°K для железо-аммониевых квасцов отношение $T/\theta_0 > 10$ ($k\theta_0$ — величина расщепления в нулевом поле). Эффектами, связанными со спиновым моментом ядра, можно пренебречь.

8.5. Парамагнитная соль содержит 10^{22} ионов/см³; магнитный момент каждого иона равен $1\mu_B$. а) Вычислить, насколько число ионов с магнитными моментами, параллельными магнитному полю, будет превышать число ионов с антипараллельными моментами, если величина поля составляет 10 000 э, а температура равна 300°K . б) Вычислить намагниченность в том же поле.

8.6. Величину $\text{Im } \chi^+$, определенную соотношением (8.52), выразить через статическую продольную восприимчивость $\chi_0 = M_z/H_z$. Показать, что при резонансе

$$\frac{\text{Im } \chi^+}{\chi_0} = \gamma H_z T_2 = \omega_0 T_2 = \frac{H}{\Delta H}.$$

Эта величина характеризует возражение восприимчивости (или Q -фактор) при резонансе.

8.7. а) При резонансе скорость поглощения энергии системой спинов ($S = 1/2$) пропорциональна $H_{rf}^2 \text{Im } \chi^+$, а следовательно, и $H_{rf}^2 T_2 \Delta n$, где Δn — разность между числом частиц в основном состоянии и числом частиц в верхнем состоянии. Мы использовали тот факт, что $M_z \sim \Delta n$. Показать, воспользовавшись (8.42), что, поскольку в стационарном состоянии релаксационные потери точно равны вводимой энергии, имеет место соотношение

$$-\frac{(\Delta n - \overline{\Delta n})}{T_1} = CH_{rf}^2 T_2 \Delta n,$$

где C — константа, а $\overline{\Delta n}$ — значение Δn при тепловом равновесии.

Решить ту же задачу при такой величине H_{rf}^2 , для которой $\Delta n = \frac{1}{2} \overline{\Delta n}$.

Этот результат иногда используется для определения T_1 , но в принципе он применим и в случае, когда $T_1 \cong T_2$. б) Работа одного из видов парамагнитного усилителя (мазера) существенно зависит от возможности создать в начальный момент $t = 0$ инверсию тепловой населенности уровней $\Delta n(0) = \overline{\Delta n}$. Затем ($t > 0$) система предоставляется самой себе (свободна). Вывести выражения для $\Delta n(t)$ для двух случаев: 1) при наличии радиочастотного поля H_{rf} ; 2) в отсутствие поля H_{rf} . Сравнение результатов должно привести к заключению, что поле H_{rf} индуцирует испускание энергии.

8.8. Показать, что условие ферромагнитного резонанса для произвольного эллипсоида с размагничивающими факторами N_x , N_y , N_z

имеет вид

$$\omega = \gamma \{ [H + (N_x - N_z)M] [H + (N_y - N_z)M] \}^{1/2},$$

где H — постоянное поле, направленное по оси z . Предполагается, что размеры эллипсоида малы по сравнению с длиной волны. Эллипсоид изготовлен из непроводящего магнитного материала (такого, как феррит), и поэтому эффектами, которые связаны с вихревыми токами, можно пренебречь.

8.9. Показать, что для малой сферической однодоменной частицы эффективная проницаемость в слабом поле, приложенном в направлении оси легкого намагничивания, выражается формулой

$$\mu = 1 + 2\pi \left(\frac{M_s^2}{K} \right),$$

и показать далее, что величину $2K/M_s$ можно рассматривать как эффективное поле анизотропии, а также, что необходимое для перемагничивания частицы в обратном направлении поле

$$H = \frac{2K}{M_s}.$$

Эта величина и является коэрцитивной силой для однодоменной частицы.

8.10. Пусть эффективные поля в антиферромагнетике из двух подрешеток имеют вид

$$H_A = H - \lambda M_B - \epsilon M_A,$$

$$H_B = H - \lambda M_A - \epsilon M_B.$$

Показать, что

$$\frac{\theta}{T_N} = \frac{\lambda + \epsilon}{\lambda - \epsilon}.$$

8.11*. Теория высокочастотных гираторов предложена Хогеном [15]; обзор применений дан Рауэном [16]. Плоскополяризованная электромагнитная волна падает нормально к поверхности на ферритовую пластинку толщиной l . Вдоль направления распространения волны наложено внешнее статическое магнитное поле H_0 . Пренебрегая затуханием, показать, что угол поворота плоскости поляризации θ в феррите приближенно описывается формулой

$$\theta \cong \frac{1}{2} \epsilon^{1/2} \omega_1 l,$$

где ϵ — диэлектрическая проницаемость феррита, $\omega_1 = 4\pi M\gamma \cong \gamma H_0$ (γ — определено формулой (8.38)). Наиболее простой путь вывода — подставить $\dot{\mathbf{M}} = \gamma \mathbf{M} \times \mathbf{H}$ в уравнение Максвелла для $\text{rot } \mathbf{E}$, что дает

$$c \text{ rot } \mathbf{E} = -(\dot{\mathbf{H}} + \omega_1 \times \mathbf{H}).$$

Далее обычным путем получаем волновое уравнение для \mathbf{H} . Удобно положить

$$h^{\pm} = H_x \pm iH_y$$

и искать решение в виде $e^{i(\omega t - kz)}$. Считать $\omega_1 \ll \omega$ и $H_0 < 4\pi M_s$. При элементарном рассмотрении эффекта размагничивание можно учесть, положив $4\pi M \cong H_0$ для некоторой средней намагниченности (не равной значению при насыщении). Внутри пластинки z -компонента статического поля

$$H_0 - 4\pi M \cong 0,$$

и ею можно пренебречь.

ГЛАВА 9

ДИСЛОКАЦИИ И ПРОЧНОСТЬ ТВЕРДЫХ ТЕЛ

Настоящая глава посвящена главным образом интерпретации пластических свойств кристаллических твердых тел на основе представлений теории дислокаций.

Пластичность чистых монокристаллов многих твердых тел является весьма характерной чертой их механических свойств. Эта характерная «податливость» монокристаллов проявляется в зависимости от природы конкретного вещества весьма различным образом. Можно считать правилом, что чистые монокристаллы обладают высокой пластичностью и низкой прочностью, хотя это правило, естественно, имеет исключения. Чистое хлористое серебро плавится при 455°C , но и при комнатной температуре оно чрезвычайно пластично, и из него можно прокатать пластинку. Чистые кристаллы алюминия сохраняют упругость лишь до деформации порядка 10^{-5} , а затем при увеличении нагрузки пластически деформируются. Мелкие кристаллы чистого теллура деформируются при комнатной температуре под действием собственного веса. Теоретические оценки предела упругости идеальных кристаллов часто приводят к значениям, в 10^3 — 10^4 раз превышающим наблюдаемые на опыте, впрочем, чаще это расхождение оказывается порядка 10^2 . Имеется ряд веществ, чистые кристаллы которых почти не обладают пластичностью. Например, кристаллы особо чистого германия и кремния при комнатной температуре при наложении напряжений дают типичную картину хрупкого разрушения. Стекло при комнатной температуре также хрупко, но оно не является кристаллическим телом. Принято считать, что хрупкость стекла обусловлена концентрацией напряжений на микротрещинах.

Сопротивление сдвигу в монокристаллах. Френкель ¹⁾ дал простой метод оценки теоретического значения сопротивления сдвигу в совершенном кристалле. Рассмотрим схематическую модель кристалла, изображенную на рис. 9.1, с помощью которой определим силу, необходимую для того, чтобы сдвинуть одну атомную плоскость кристалла относительно другой — соседней. В области малых упругих

¹⁾ Автор имеет в виду работу советского физика Я. И. Френкеля [1].

деформаций возникающее напряжение σ можно считать пропорциональным смещению

$$\sigma = \frac{G}{d} x, \quad (9.1)$$

где d — расстояние между атомными плоскостями, а G — модуль сдвига, равный в кубических кристаллах упругой постоянной c_{44} при сдвиге плоскостей $\{100\}$ в направлениях $\langle 100 \rangle$. В ходе смещения, до тех пор, пока атом A не окажется непосредственно над атомом B (см. рис. 9.1)

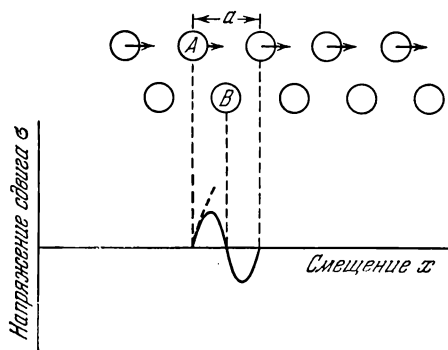


Рис. 9.1. Вверху — сдвиг одной атомной плоскости относительно другой (показано в сечении) в однородно деформированном кристалле; внизу — напряжение сдвига как функция относительного смещения плоскостей из их равновесных положений. Жирным пунктиром показан начальный наклон, соответствующий модулю сдвига G .

и напряжение не обратится в нуль, атомные плоскости будут находиться в состоянии неустойчивого равновесия. В первом приближении можно связь между смещением и напряжением описать следующей зависимостью:

$$\sigma = \frac{Ga}{2\pi d} \sin \frac{2\pi x}{a}, \quad (9.2)$$

где a — межатомное расстояние в направлении сдвига. При малых x соотношение (9.2) переходит в (9.1). Критическое скалывающее напряжение σ_c , при котором решетка становится неустойчивой, соответствует максимальному значению σ , т. е.

$$\sigma_c = \frac{Ga}{2\pi d}. \quad (9.3)$$

Если $a \approx d$, а $\sigma_c \approx G/2\pi$, то критическое скалывающее напряжение будет составлять примерно 1/6 от модуля сдвига.

Экспериментальные данные, приведенные в табл. 9.1, показывают, что наблюдаемые значения предела упругости оказываются значительно меньшими, чем предсказываемые соотношением (9.3). (Заметим, кстати, что численные значения, приводимые в справочниках, даются обычно в единицах кг/мм^2 , и для того, чтобы перейти к единицам дина/см^2 , их следует умножать на $0,98 \cdot 10^8$, а значения, данные в длинных тоннах ($1016,047 \text{ кг}$) на квадратный дюйм — на $1,54 \cdot 10^8$.)

Теоретическая оценка может быть улучшена, если принять какой-то более точный закон, описывающий силы межмолекулярного взаимодействия, и учесть возможность возникновения при сдвиге других механически устойчивых конфигураций атомных плоскостей в решетке.

Таблица 9.1

Модуль сдвига и предел упругости (по Мотту)

Материал	Модуль сдвига $G \times 10^{-11}$, дина/см ²	Предел упругости B , 10^{-6} дина/см ²	$\frac{G}{B}$
Олово (монокристалл)	1,9	13	15 000
Серебро (монокристалл) . . .	2,8	6	45 000
Алюминий (монокристалл) . .	2,5	4	60 000
Алюминий (чистый, поликристаллический)	2,5	260	900
Алюминий (технический, тянутый)	$\sim 2,5$	990	250
Дюралюминий	$\sim 2,5$	3 600	70
Железо (мягкое поликристаллическое)	7,7	1 500	500
Углеродистая сталь (после термообработки)	~ 8	6 500	120
Никель-хромовая сталь . . .	~ 8	12 000	65

Маккензи показал, что учет этих двух факторов может снизить значение теоретической прочности на сдвиг, примерно до $G/30$, что соответствует критической деформации сдвига, равной примерно двум градусам.

Ясно, что сопротивление сдвигу нельзя трактовать путем простого распространения теории упругости на случай больших деформаций. Необходимо, очевидно, исходить из тех нарушений идеальной структуры, которые всегда существуют в реальных кристаллах и могут быть причиной наблюдаемых пластических свойств. Теперь уже общепринято, что один из видов таких нарушений совершенной структуры, называемый дислокациями, присутствует почти во всех кристаллах, и именно наличие дислокаций обуславливает скольжение при очень малых приложенных напряжениях.

Во многих кристаллах пластическая деформация протекает путем трансляционного *скольжения*, иллюстрируемого фотографией на рис. 9.2.

Видно, как одни части кристалла соскальзывали как целое относительно других соседних частей. Поверхность, вдоль которой происходит скольжение, часто является плоской и поэтому называется плоскостью скольжения. Направление перемещения называют направлением скольжения. На фотографии можно видеть также области пересечения плоскостей скольжения с поверхностью кристалла; их называют полосами скольжения. Для процессов пластической деформации весьма существенна структура решетки кристалла. Это становится очевидным, если обратить внимание на чрезвычайно анизотропный характер скольжения. В металлических кристаллах даже кубической структуры

смещение происходит лишь вдоль вполне определенных кристаллографических плоскостей с небольшими значениями индексов Миллера, например, в металлах с гранецентрированной кубической структурой вдоль плоскостей $\{111\}$, в объемноцентрированных — вдоль плоскостей $\{110\}$, $\{112\}$ и $\{123\}$. В большинстве случаев направление скольжения совпадает с направлением наиболее плотной упаковки атомов. В ме-

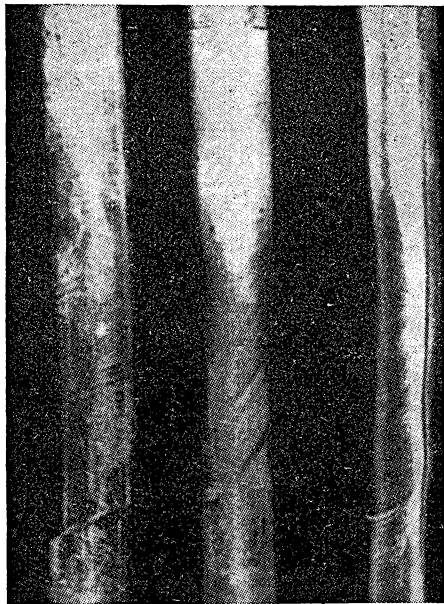


Рис. 9.2. Трансляционное скольжение в монокристаллах цинка.

таллах гранецентрированной кубической структуры таковыми являются направления типа $\langle 110 \rangle$, в объемноцентрированных — типа $\langle 111 \rangle$, в гексагональных с плотной упаковкой — типа $\langle 2\bar{1}10 \rangle$.

Деформация, обусловленная скольжением, не является однородной: смещения при сдвиге происходят вдоль нескольких далеко отстоящих одна от другой плоскостей скольжения, в то время как те части кристалла, которые лежат между этими плоскостями, почти не подвергаются деформации. Скольжение обладает еще одним важным свойством, известным под названием закона Шмида о постоянстве величины критического скальвающего напряжения. Согласно этому закону скольжение в данной плоскости и в данном направлении начинается

тогда, когда соответствующая компонента напряжения сдвига достигает некоторой определенной критической величины.

Другим видом пластической деформации является так называемое *двойникование*, наблюдаемое в ряде кристаллов, особенно имеющих плотноупакованную гексагональную или объемноцентрированную кубическую структуры. Как уже отмечалось, в процессе деформации вдоль некоторых плоскостей скольжения, далеко отстоящих одна от другой, локализуются значительные смещения. При двойниковании, наоборот, незначительные смещения (менее чем на постоянную решетки) испытывает каждая из многих соседних кристаллографических плоскостей. По завершении процесса деформации деформированная часть кристалла оказывается зеркальным отражением недеформированной части, что и было причиной введения термина *двойникование*.

Оба эти вида пластической деформации, скольжение и двойникование, обусловлены движением дислокаций, однако здесь мы рассмотрим лишь первый из них.

Дислокации. Низкие наблюдаемые значения критического скалывающего напряжения можно объяснить, рассматривая перемещение в решетке особого типа несовершенства структуры, известного под названием дислокации.

Сначала мы остановимся на описании краевых дислокаций. На рис. 9.3 схематически изображен простой кубический кристалл,

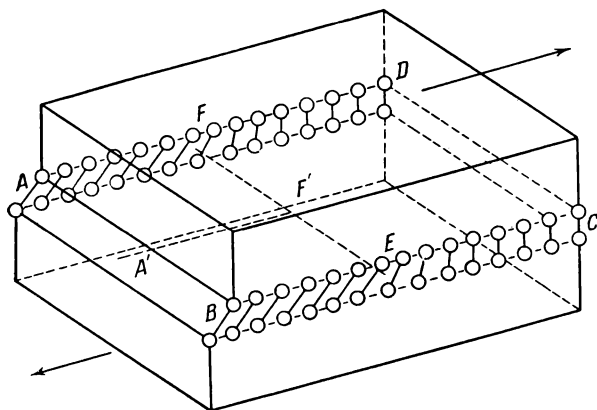


Рис. 9.3. Краевая дислокация в плоскости скольжения $ABCD$. В области $ABEF$ атомы смещены более чем на половину постоянной решетки; в области $FECD$ атомы смещены менее, чем на половину постоянной решетки; EF — линия дислокации, $A'F'$ — направление скольжения (по Коттрелу [2]).

в котором верхний атомный слой сдвинулся на одно межатомное расстояние в левой части плоскости скольжения; в правой части этого не произошло. Граница между той частью, где сдвиг произошёл, и той частью, где он не произошёл, называется дислокацией. Таким образом, дислокация представляет собой линейный дефект кристаллической структуры, положение которого указывается «лишней» вертикальной атомной плоскостью в верхней половине кристалла (рис. 9.4). Вблизи дислокации искажение структуры наибольшее. Простая краевая дислокация неограниченно простирается в плоскости скольжения в направлении, нормальном к направлению скольжения. На рис. 9.5 приведена фотография дислокации в двухмерной системе мелких мыльных пузырьков, полученных по методу, предложенному Брэггом и Наем.

Механизм перемещения дислокации и сопутствующее скольжение схематически иллюстрируются на рис. 9.6. Когда атомы, расположенные

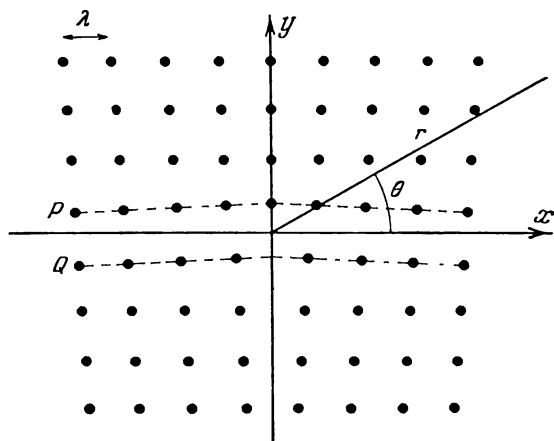


Рис. 9.4. Структура краевой дислокации. Можно считать, что деформация вызвана появлением лишней атомной плоскости, совпадающей на рисунке с верхней половиной оси y . В верхней половине кристалла (P) имеет место сжатие, в нижней половине (Q) — растяжение. Такая дислокация называется положительной. Если лишняя атомная плоскость проходит в нижней половине кристалла, то дислокация называется отрицательной (по Коттрелу).

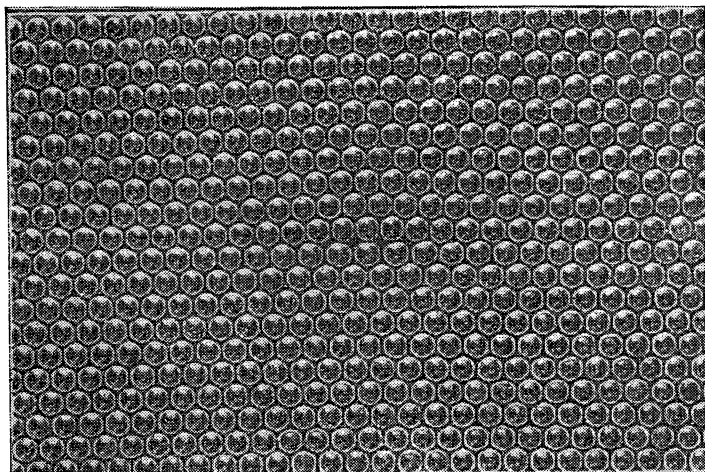


Рис. 9.5. Модель атомной плоскости, перпендикулярной к линии дислокации в двухмерной системе мелких мыльных пузырьков. Дислокацию легче всего заметить, если повернуть фотографию на 30° в ее плоскости и рассматривать под малым углом. (Фотография сделана Ломером по методу Брэгга и Ная.)

по одну сторону от плоскости скольжения, перемещаются относительно атомов, расположенных по другую сторону, то часть атомов, находящихся в плоскости скольжения, будет отталкиваться своими соседями по ту сторону плоскости скольжения, а часть притягиваться. В первом приближении эти силы взаимно компенсируются,

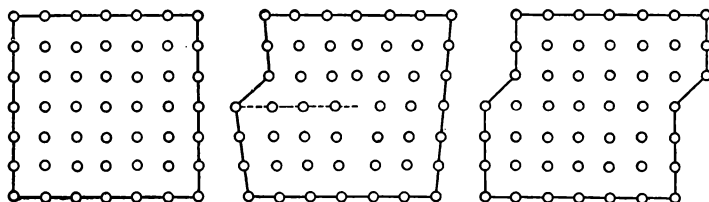


Рис. 9.6. Движение дислокации в процессе сдвига; верхняя поверхность образца смещается вправо.

и поэтому внешняя сила, необходимая для перемещения дислокации, будет очень малой. Если линия дислокации не является прямой, то компенсация будет даже более полной. Расчеты показывают, что одиночная дислокация в кристалле, который не содержит никаких других нарушений, может перемещаться при весьма малых напряжениях, по-видимому, меньших 10^5 дин/см^2 . Таким образом, наличие дислокаций делает кристалл очень пластичным. Прохождение дислокации через кристалл эквивалентно сдвигу на величину одного из основных векторов трансляций решетки. Перемещение через кристаллы краевой дислокации можно уподобить перемещению складки по ковру. Складка перемещается легче, чем весь ковер сразу одновременно, но при перемещении складки имеет место и некоторый сдвиг ковра в целом.

Другой простой тип дислокации — это *винтовая дислокация*, схематически изображенная на рис. 9.7, где указана граница между смещенной и несмещенной частями кристалла. Граница на этот раз располагается параллельно направлению скольжения, а не перпендикулярно к нему, как в случае краевых дислокаций. Винтовую дислокацию можно представить себе, если мысленно сделать в кристалле разрез, а затем сдвинуть части кристалла по обе стороны разреза навстречу друг другу на одно межатомное расстояние параллельно

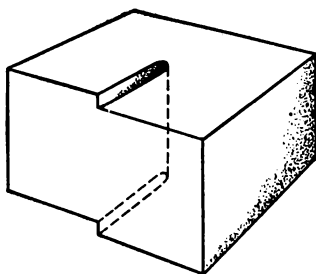


Рис. 9.7. Схематическое изображение винтовой дислокации. Вертикальная пунктирная линия — линия дислокации; вблизи этой линии сосредоточены максимальные искажения решетки.

краю разреза. Отметим, что наличие винтовой дислокации превращает атомные плоскости в кристалле в геликоидальную поверхность, подобную винтовой лестнице без ступенек, откуда и возник термин — *винтовая дислокация*.

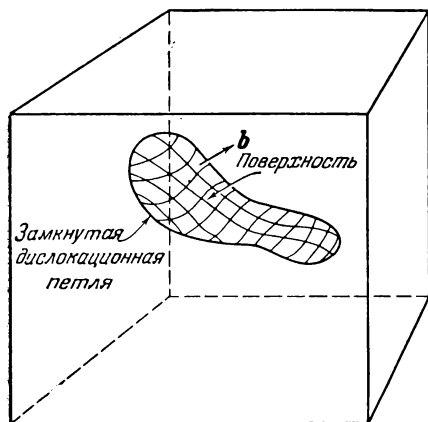


Рис. 9.8. Общий метод образования дислокационной петли в сплошной среде (по Зейтцу).

Среда ограничена прямоугольным блоком. Рассмотрим замкнутую пространственную кривую, расположенную внутри блока. Среда рассечена поверхностью, опирающейся на эту кривую. Вещество по одну сторону поверхности смещается относительно вещества по другую сторону поверхности; смещение описывается вектором \mathbf{b} , постоянным по величине и направлению для всех точек поверхности. Ориентировка вектора \mathbf{b} может быть любой. Для осуществления смещения требуются силы. После того как смещение произведено, для сохранения непрерывности может оказаться необходимым добавить материал в тех местах, где появятся полости, и убрать лишний материал там, где возникло перекрытие. Затем производится склеивание. После снятия приложенного напряжения, удерживавшего края надреза в смещенном положении, устанавливается некоторое равновесное поле напряжений. Вектор \mathbf{b} называется вектором Бюргерса данной дислокации.

либо к образованию зазора, либо к перекрытию областей, образовавшихся после смещения. В первом случае вещество следует добавить, чтобы заполнить зазор, во втором — убрать часть материала, чтобы предотвратить перекрытие. После этого «склеим» стороны разреза в их новых положениях, при этом в кристалле сохраняются смещения и напряжения, отвечающие новому состоянию равновесия. Результирующее распределение деформаций как раз и будет давать картину линий дислокаций, характеризуемую граничной кривой и вектором Бюргерса. Ясно, что вектор Бюргерса должен быть одним

Произвольную дислокацию можно считать состоящей из отрезков, имеющих краевую и винтовую компоненты. Бюргерс показал, что в наиболее общей форме систему дислокаций в кристалле можно описать, исходя из схемы типа приведенной на рис. 9.8. Рассмотрим расположенную внутри кристалла произвольную замкнутую кривую (не обязательно плоскую); эта кривая может быть и не замкнутой, но тогда оба ее конца должны выходить на поверхность кристалла.

Произведем сечение кристалла некоторой простой поверхностью, опирающейся на эту кривую. Сместим вещество, находящееся по одну сторону поверхности, на расстояние \mathbf{b} относительно вещества, находящегося по другую сторону. Вектор \mathbf{b} фиксированной длины называют *вектором Бюргерса*. В области, где вектор \mathbf{b} не параллелен секущей поверхности, это относительное смещение должно приводить

из дискретных векторов решетки, которые допускают описанное «склеивание» при сохранении кристаллической структуры вещества.

В случае винтовых дислокаций вектор Бюргерса параллелен линии дислокации, тогда как вектор Бюргерса краевой дислокации перпендикулярен к линии дислокации и лежит в плоскости скольжения.

Напряжения, связанные с краевыми дислокациями. Как можно видеть из рис. 9.4, атомы, находящиеся выше линии дислокации, расположены более плотно (имеет место сжатие), а ниже линии дислокации — более свободно (имеет место расширение). Если имеются две одинаковые краевые дислокации, одна над другой, то вызванные ими напряжения будут стремиться скомпенсировать друг друга, что приведет к понижению энергии системы. Такие две дислокации притягиваются. Если краевые дислокации расположены рядом, то поля вызванных ими напряжений складываются, энергия возрастает и они стремятся оттолкнуться. Так, например, система дислокаций, расположенная как показано на рис. 9.9, будет иметь более низкую энергию, чем в случае, когда дислокации расположены рядом.

Границы зерен с малым углом разориентировки. Бюргерс высказал предположение о том, что границы между двумя зернами, расположенными под малым углом друг к другу (т. е. границы зерен с малым углом разориентировки), состоят из совокупности дислокаций. Простым примером модели Бюргерса может служить схема на рис. 9.9. Здесь принято, что граница расположена вдоль плоскости (010) простой кубической решетки и делит кристалл на две части, для которых ось [001] является общей. Это — простая наклонная граница; в данном случае разориентировку можно описать как малый поворот (на угол θ) одной части кристалла относительно другой и около общей оси [001]. Граница, изображенная на рис. 9.9, состоит из совокупности краевых дислокаций одинакового знака, расположенных на расстоянии $D = b/\theta$ одна от другой (b — длина вектора Бюргерса). Из приведенного выше рассмотрения сил, действующих между краевыми дислокациями, ясно, что изображенная

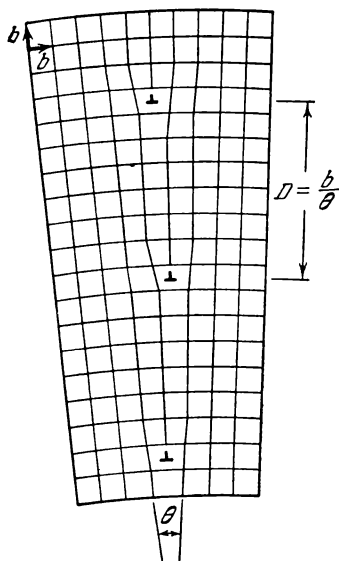


Рис. 9.9. Граница зерен с малым углом разориентировки (по Бюргерсу). Значок \perp указывает положения краевых дислокаций. Верхним своим концом значок указывает положение лишней атомной полу-плоскости.

на рис. 9.9 конфигурация расположенных одна над другой дислокаций одинакового знака является устойчивой.

Прямые подтверждения модели Бюргера дают количественные, рентгеновские и оптические исследования границ между зернами

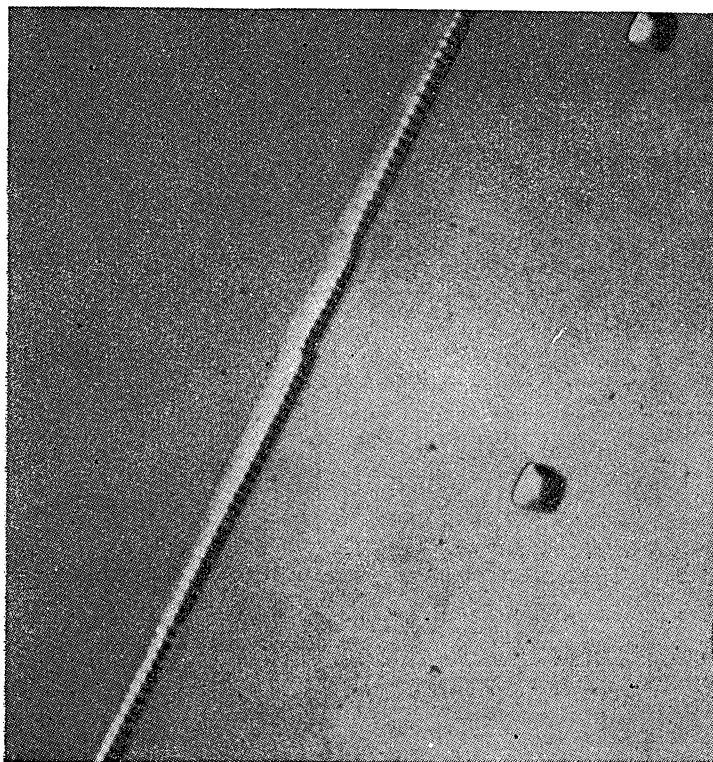


Рис. 9.10. Ямки травления на поверхности (100) образца германия вдоль границы с малым углом разориентировки. Угол между кристаллитами равен $27,5$ угловой секунды. Граница лежит в плоскости $(0\bar{1}1)$. Направление линии дислокации совпадает с направлением $[100]$. Вектор Бюргера в данном случае является кратчайшим из векторов трансляции решетки, а именно

$$|b| = a\sqrt{2}/2 = 4,0 \text{ \AA} \text{ (по Фогелю [3])}.$$

с малым углом разориентировки. Следует указать, например, на работы Фогеля и его сотрудников, выполненные на германии. Подсчет ямок травления на поверхности германия на линии пересечения этой поверхности границей с малым углом разориентировки (рис. 9.10) дал им возможность определить расстояние между дислокациями D . При

этом предполагалось, что каждая ямка травления совпадает с выходом дислокации на поверхность кристалла. Далее они по формуле $\theta = b/D$ определили угол разориентировки и сравнили полученные значения с результатами прямых рентгеновских измерений этого угла. Как можно видеть из рис. 9.11, результаты этих двух методов превосходно согласуются друг с другом.

Интерпретация границ между кристаллитами с малым углом разориентировки как систем дислокаций подкрепляется и тем фактом, что границы, обладающие такой структурой, можно заставить перемещаться при наложении напряжений. Это было продемонстрировано тонкими экспериментами Уошберна и Паркера. Один из их результатов показан на рис. 9.12. Образец представлял собой бикристалл цинка; угол наклона был равен 2° . Дислокации были расположены на расстоянии примерно 30 межплоскостных расстояний одна от другой. С одной стороны образец был закреплен, а по другую сторону границы в некоторой точке к нему была приложена сила. Перемещение границы происходило в результате перемещения дислокаций внутри границы, причем каждая дислокация в своей плоскости скольжения смещалась на одно и то же расстояние. Противоположные края границы, выходящие на поверхность кристалла, перемещались примерно на одинаковое расстояние. Движение границы происходило под действием напряжений, которые по порядку величины были близки к пределу текучести для кристаллов цинка. Этот факт послужил сильным аргументом в пользу того, что обычные деформации являются следствием движения дислокаций.

В ряде работ отмечалось, что межкристаллитные границы и дислокации лишь незначительно затрудняют процесс диффузии, по сравнению с тем, как этот процесс протекает в идеальных кристаллах. Было установлено, что некоторое ускорение диффузии вдоль дислокаций, наблюдаемое в границах между зернами с малым углом разориентировки, того же порядка, что и в некогерентных границах с большим углом разориентировки. В одном из экспериментов было также установлено, что диффузия по границе с малым углом

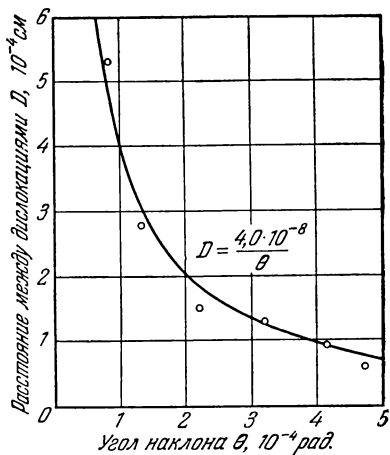


Рис. 9.11. График зависимости расстояния между дислокациями от угла разориентировки; экспериментальные точки получены по измерениям расстояний между ямками травления. Значения углов охватывают интервал от $17,5$ до 85 угловых секунд (по Фогелю).

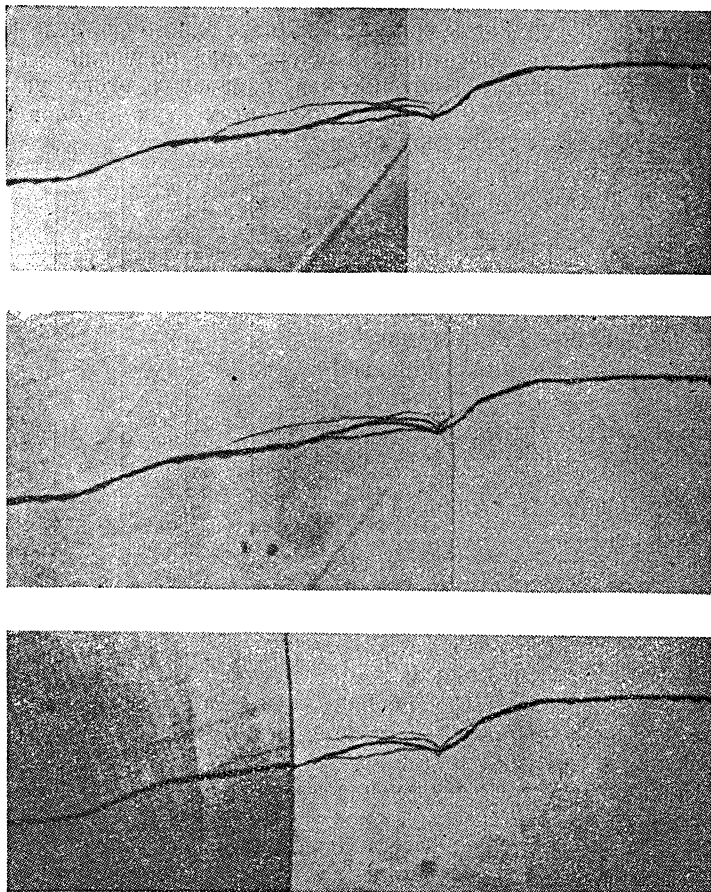


Рис. 9.12. Движение под действием напряжений границы с малым углом разориентировки в бикристалле цинка.

Граница видна в виде вертикальной линии. Фотосъемка производилась при вертикальном освещении, так что по различию освещенностей на плоскости спайности легко выявляется наличие угла разориентировки (равного 2°). Неправильная горизонтальная линия указывает на наличие ступеньки на плоскости спайности и облегчает наблюдение перемещения границы. Кристалл закреплен слева; справа на кристалл действует сила, приложенная перпендикулярно к плоскости фотографии. *Верхний кадр* — исходное положение границы; *средний* — граница сместилась на $0,1 \text{ мкм}$ вправо; *нижний* — граница переместилась в обратном направлении (влево) на 4 мкм [4]. Научный кинофильм, в котором показан ход этого и других аналогичных опытов, был создан Паркером в Калифорнийском университете в Беркли.

разориентировки под прямым углом к линиям дислокаций протекает при 450°С в 10—100 раз медленнее, чем вдоль дислокаций.

Тернбал показал, что диффузия в междолинных границах определяет в некоторых случаях скорость процессов преципитации в твердой фазе (выпадение новой мелкодисперсной твердой фазы). Например, преципитация олова из твердых растворов PbSn при комнатной температуре происходит в 10^8 раз быстрее, чем можно ожидать, исходя из механизма лишь регулярной объемной диффузии.

Плотность дислокаций. Плотность дислокаций определяется как число дислокационных линий, пересекающих единичную площадку внутри кристалла. Возможные значения плотности дислокаций простираются от 10^2 — 10^3 см⁻² в наиболее совершенных кристаллах германия и кремния до 10^{11} — 10^{12} см⁻² в сильно деформированных металлических кристаллах.

Наиболее точные измерения плотности дислокаций были проведены на германии и кремнии путем подсчета ямок травления на отполированной и протравленной поверхности кристаллов. Число ямок на 1 см² на лучших кристаллах составляло 10^2 — 10^3 , а тот факт, что число ямок травления точно соответствует числу дислокаций, был установлен Фогелем и его сотрудниками при исследовании междолинных границ. Кристаллиты металлических отливок и металлические монокристаллы, подвергшиеся пластической деформации и затем отожженные, имеют плотность дислокаций в интервале от 10^5 до 10^9 см⁻²; эти значения были получены методом ямок травления. Те же значения плотности получаются и из данных по экстинкции и уширению рентгеновских линий. Эти данные показывают, что отожженные монокристаллы обычно обладают мозаичной структурой с размерами блоков порядка 10^4 Å и углом разориентировки между блоками — порядка 10 угловых минут. При таких значениях углов расстояние между дислокациями в границах между блоками мозаичной структуры составляет несколько сотен междолинных расстояний и, следовательно, плотность дислокаций составляет $\sim 10^9$ см⁻².

В литом металле и в отожженных монокристаллах дислокации либо сосредоточены в основном в границах с малым углом разориентировки, либо образуют трехмерные сетки. На рис. 9.13 в качестве примера приведена фотография кристалла AgBr, в котором образовалась трехмерная сетка линий дислокаций. Дислокации стали здесь видимыми в результате выделения на них металлического серебра при обычном фотографическом проявлении.

В случае сильно деформированных кристаллов плотность дислокаций велика, и техника травления становится непригодной, так как с ее помощью нельзя разрешить отдельные дислокации, когда расстояние между ними становится меньше примерно 10^{-4} см.

Однако некоторые оценки плотности дислокаций в деформированных кристаллах можно сделать, определяя величину энергии кристалла, накапливаемой в процессе пластической деформации.

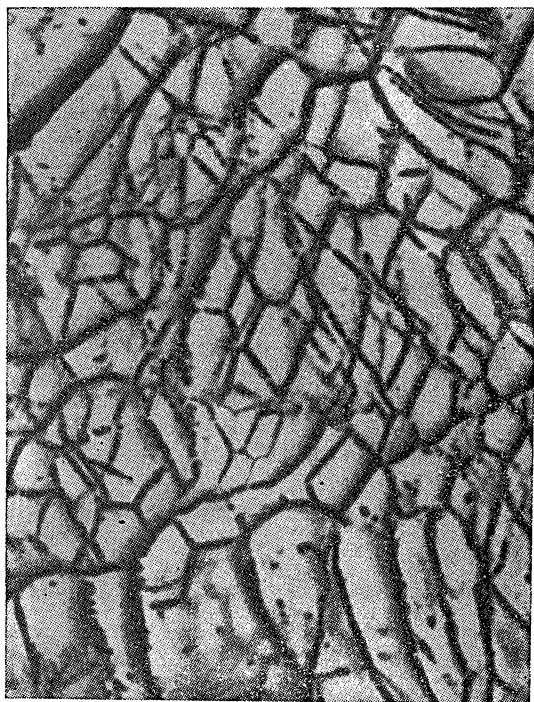


Рис. 9.13. Трехмерная сетка дислокаций в монокристалле AgBr. (По Хиджесу и Митчеллу [5].)

Если, исходя из энергии сцепления, считать, что энергия, приходящаяся на атомную плоскость, через которую проходит дислокационная линия, равна $5\text{--}10 \text{ эв}$, то энергия дислокации будет порядка $5 \cdot 10^{-4} \text{ эрг/см}$.

Максимальная энергия, которую может запасти решетка за счет искажений, вызываемых глубокой пластической деформацией, например скручиванием, растягиванием или сжатием, измерялась калориметрическими методами для ряда металлов (табл. 9.2).

Если деформация не слишком велика, то в решетке накапливается примерно 10% энергии, затраченной на пластическое течение. Однако если пластическое течение продолжается, то величина накапливаемой кристаллом энергии приближается к насыщению. Наблюдаемые зна-

Т а б л и ц а 9.2

**Максимальная энергия, накапливаемая
при пластической деформации**

Металл	Al	Cu	Fe	Ni	Латунь
Энергия, кал/г	1,1	0,5	1,2	0,8	0,5

чения накопленной энергии, приведенные в табл. 9.2, соответствуют примерно $2 \cdot 10^8$ эрг/см³. Если энергия дислокации на единицу ее длины равна $5 \cdot 10^{-4}$ эрг/см, то на 1 см³ кристалла придется $4 \cdot 10^{11}$ см дислокационных линий, т. е. плотность дислокаций будет составлять в среднем 10^{11} см⁻². Иначе говоря, через квадратную площадку со стороной 100 межатомных расстояний будет проходить в среднем одна дислокация. Эту оценку, также по другим причинам, принято считать плотностью дислокаций, характерной для глубоко деформированных металлов.

Величина энергии, накопленной при пластической деформации, была определена для латуни также из анализа уширения рентгеновских дифракционных линий (Уоррен и Авербах). Полученное значение, равное 1,4 кал/г, оказалось того же порядка, что и найденное из калориметрических измерений.

Размножение дислокаций и скольжение. Другая проблема возникла в связи с необходимостью объяснить колоссальное увеличение плотности дислокаций, вызываемое пластической деформацией. Измерения плотности дислокаций показали, что в процессе деформации плотность дислокаций возрастает примерно с 10^8 см⁻² до 10^{11} см⁻², т. е. в 1000 раз. Не менее интересен и следующий факт. Если одна дислокация проходит вдоль всей плоскости скольжения, то это должно соответствовать смещению только на одно межатомное расстояние, тогда как в действительности, как показывают наблюдения, смещение оказывается в 10^2 — 10^3 раз больше.

Франк и Рид предложили модель размножения дислокаций, с помощью которой можно объяснить наблюдаемые факты. Подробнее этот вопрос рассматривается ниже. Рассмотрим замкнутую дислокационную петлю радиуса r , которая охватывает область, претерпевшую сдвиг. Такая дислокация будет частично винтовой, частично краевой, а на большей части длины — смешанного типа.

Поскольку энергия деформаций, связанных с дислокационной петлей, возрастает пропорционально длине петли, последняя будет стремиться сократиться. Однако если при этом действует скалывающее напряжение σ , способствующее развитию сдвига, то петля будет стремиться расшириться. Мы будем искать связь между величиной

скалывающего напряжения и радиусом петли, которая позволила бы нам определить, при каком радиусе петля будет находиться в равновесии (вообще говоря, неустойчивом). Для упрощения расчетов упругую энергию на единицу длины дислокации мы примем грубо приближенно равной $(1/2)Gb^2$, где G — модуль сдвига, а b — длина вектора Бюргерса.

Тогда упругая энергия дислокационной петли радиуса r будет равна величине, в $2\pi r$ раз большей, т. е. πrGb^2 . Если петля образовалась при наличии напряжения сдвига σ , то энергия кристалла уменьшится на величину, равную произведению σb на площадь петли, т. е. на $\pi r^2 \sigma b$.

Результирующее изменение энергии, связанное с образованием дислокационной петли, можно записать в виде разности

$$\Delta E = \pi rGb^2 - \pi r^2 \sigma b. \quad (9.4)$$

Функция ΔE проходит через максимум при

$$\frac{d\Delta E}{dr} = 0,$$

т. е. когда

$$\frac{2r}{b} = \frac{G}{\sigma}. \quad (9.5)$$

Таким образом, мы получили, что отношение критического диаметра круглой петли к величине вектора Бюргерса равно отношению модуля сдвига к напряжению сдвига. Это последнее отношение для большинства кристаллов порядка 10^3 — 10^4 .

Круглые петли, имеющие диаметр, меньший критического, будут самопроизвольно стягиваться, а петли с диаметром, большим критического — самопроизвольно расширяться. При критическом диаметре энергия петли

$$\Delta E_c = \frac{\pi G^2 b^3}{4\sigma}$$

столь значительно превышает kT (при $G/\sigma = 10^3$ и $T = 300^\circ \text{ К}$ отношение $\Delta E_c/kT = 3 \cdot 10^5$), что тепловая активация не может быть причиной их возникновения, поэтому мы вновь приходим к необходимости предположить, что дислокации существуют в кристалле еще до начала скольжения и что возникновение новых дислокаций связано с чисто механическими процессами.

Франк и Рид установили, что дислокации редко располагаются строго в одной области скольжения. Как правило, они переходят из одной плоскости скольжения в другую, пока не достигнут поверхности кристалла или не пересекутся с другими дислокациями в узлах дислокационной сетки. Отрезок дислокации, лежащий в плоскости скольжения, можно считать закрепленным на концах в тех точках,

где дислокация выходит из плоскости. Когда к кристаллу приложено внешнее напряжение, этот отрезок не может скользить как целое, поскольку его концы закреплены; единственный возможный для него способ движения — это выгнуться в дугу.

Выше было уже вычислено, что равновесный радиус такой дуги определяется соотношением (9.5), т. е. $2r/b = G/\sigma$. До тех пор, пока $2r > L$ (где L — начальная длина отрезка), конфигурация остается стабильной, поскольку дальнейшее движение дислокации приводит к уменьшению радиуса ее кривизны. Когда же внешнее напряжение увеличится настолько, что соотношение

$$\frac{L}{b} = \frac{G}{\sigma}$$

перестанет выполняться, равновесие нарушится, дислокационная дуга начнет неограниченно расти, отшнуровывается и образует отдельную дислокационную петлю.

Этот процесс не сводится только к превращению отрезка длиной L в большую обособленную петлю. В области внутри расширяющейся петли остается отрезок, на котором весь процесс может повторяться. Это иллюстрируется схемой, приведенной на рис. 9.14. Отрезок дислокационной линии, закрепленной на концах, называется *источником Франка — Рида*; мы уже видели, как из него в одной и той же плоскости скольжения может развиваться большое число «концентрических» дислокационных петель.

Этот механизм размножения дислокаций приводит к возникновению сдвигов и естественным образом объясняет возрастание плотности дислокаций при пластической деформации.

Другой механизм размножения дислокаций был предложен Гилманом и Джонсоном [6] на основе проведенных ими методом травления исследований кристаллов LiF. Они установили, что при пластической деформации новые дислокационные петли образуются следом за движущейся дислокацией. Эти новые петли возникают во многих точках вблизи плоскости скольжения исходной дислокации и при этом имеют такой же вектор Бюргерса, что и исходная дислокация. По мере расширения каждой новой петли, там, где она проходила, сразу образуются небольшие новые петли. Таким образом, одна способная к перемещению исходная дислокация приводит

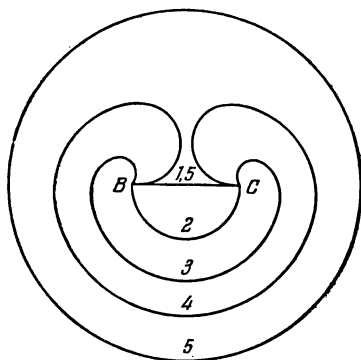


Рис. 9.14. Схема, иллюстрирующая предложенную Франком и Ридом модель размножения дислокаций.

Показаны последовательные этапы образования дислокационных петель из исходного отрезка линии дислокации. Процесс может повторяться многократно.

к появлению целой широкой полосы скольжения. Применение этих представлений имеет ряд важных следствий, существенных для интерпретации различных механических процессов.

а) *Механическое упрочнение*. При движении дислокации даже в такой плоскости скольжения, по которой ни одна дислокация еще не прошла, возникают тормозящие силы, связанные со своеобразными следами, оставляемыми при движении. Эти силы нельзя игнорировать при рассмотрении процессов деформации. Можно ожидать, что торможение значительно возрастет, когда дислокация будет перемещаться в плоскости скольжения, уже испытавшей прохождение дислокации и поэтому накопившей следы. Следует полагать, что механическое упрочнение этого типа пропорционально как величине деформации, так и плотности дислокаций, что, кстати, подтверждается на опыте.

б) *Ползучесть*. Неустановившаяся ползучесть определяется совместным действием двух факторов: вязким сопротивлением движению дислокаций и механическим упрочнением. Установившаяся ползучесть зависит также от процессов возврата. Обычно считают, что возврат — это просто «стирание» следов проходов, обусловленное диффузией вакансий, а само явление возврата следует поэтому считать процессом, обратным механическому упрочнению.

в) *Усталость*. Одним из типов следов, оставляемых дислокацией при перемещении, являются цепочки вакансий, и когда концентрация вакансий в кристалле становится достаточно большой, могут образовываться усталостные трещины.

Механические свойства сплавов. Чистые кристаллы обладают пластичностью и текут при очень малых напряжениях. Существует четыре основных способа упрочнения сплавов, позволяющих добиться того, чтобы материал выдерживал напряжения сдвига, достигающие $10^{-2} G$. Эти способы следующие: 1) механическое торможение движения дислокации, 2) закрепление дислокаций растворенными атомами, 3) противодействие движению дислокаций путем создания ближнего порядка и 4) общее значительное увеличение плотности дислокаций. Таким образом, успех применения любого механизма упрочнения зависит от того, насколько эффективно удастся затормозить движение дислокаций. Существует еще один, пятый механизм, сущность которого сводится к удалению из кристалла всех дислокаций. Этот способ пригоден для некоторых тонких нитевидных кристаллов и будет рассмотрен ниже в разделе, посвященном росту кристаллов.

Наиболее непосредственным способом создания механического торможения дислокаций является введение в кристалл мелких частиц другой фазы. Этот процесс имеет место, например, при дисперсионном твердении стали, где в матрице — железе — происходит выпадение карбида железа, или при старении алюминиевой бронзы, где выпадают частицы Al_2Cu . Если L — среднее расстояние между частицами в плоскости скольжения, то напряжение, которое необходимо

приложить, чтобы дислокация могла «прорваться» между частицами, определяется соотношением

$$\frac{\sigma}{G} = \frac{b}{L}, \quad (9.6)$$

которое представляет собой точный аналог соотношения (9.5). Чем меньше расстояние между частицами (L), тем больше должно быть напряжение σ .

Орован рассмотрел механизм дисперсионного твердения и установил, что в самом начале процесса выпадения мелкодисперсной фазы L велико, а прочность мала. Как только процесс выпадения в основном закончился и образовалось достаточно много мелких частиц, величина L достигает минимума, а прочность — максимума. Если выдерживать сплав при высокой температуре, то некоторые частицы начнут расти, другие растворяться; в результате L снова увеличится, а прочность уменьшится. Механическое торможение может вызываться также границами зерен в поликристаллических материалах или микроскопическими локальными полями напряжений, которые возникают иногда вокруг частиц при выпадении мелкодисперсной фазы.

В случае разбавленных твердых растворов прочность обуславливается закреплением дислокаций растворенными атомами. Коттрел установил, что растворимость инородных атомов вблизи дислокаций выше, чем в неискаженной части кристалла. Дело в том, что инородный атом, стремящийся «раздвинуть» решетку кристалла, будет попадать преимущественно в ту область вблизи краевых дислокаций кристаллической решетки, где имеется разрежение. В результате такое стремление растворенных атомов к дислокациям приведет к тому, что вокруг каждой дислокации будет создаваться облако растворенных атомов. Особенно эффективно этот процесс будет протекать при затвердевании расплавов и при отжиге кристаллов, когда подвижность растворенных атомов велика. При охлаждении до низких температур, когда диффузия растворенных атомов резко замедляется, эти облака, образовавшиеся вокруг дислокаций, закрепляются в кристалле. Когда дислокация перемещается и покидает облако растворенных атомов, энергия кристалла возрастает. Поэтому для пластической деформации кристалла, в котором дислокации закреплены облаками растворенных атомов, требуются более высокие напряжения. Таким образом, наличие в кристалле облаков растворенных атомов ведет к его упрочнению.

В чистых кристаллах прохождение дислокации в плоскости скольжения не изменяет энергии связи в этой плоскости. Внутренняя энергия кристалла остается прежней. То же справедливо и в отношении неупорядоченных твердых растворов, поскольку и после скольжения растворенные атомы расположены в плоскости скольжения по-прежнему неупорядоченно. Однако большинство твердых растворов

обладает ближним порядком. Атомы различных сортов располагаются в узлах решетки не беспорядочно; они стремятся разместиться так, чтобы иметь вокруг себя избыток или, наоборот, недостаток атомов другого сорта. Фишер показал, что независимо от природы кристалла перемещение дислокаций ведет к нарушению ближнего порядка. При этом внутренняя энергия в плоскости скольжения возрастает.

Хорошо известно, что прочность кристаллических материалов в результате пластической деформации возрастает. Это упрочнение, когда речь идет о холодной обработке металлов, принято называть наклепом. Считают, что в этом случае прочность возрастает из-за увеличения плотности дислокаций, поскольку перемещение данной дислокации в плоскости скольжения, пронизанной многими другими дислокациями, очень затруднено. Холодная обработка широко используется для повышения прочности материалов, но ее эффективность, вообще говоря, ограничена необходимостью вести процесс обработки при относительно низких температурах с тем, чтобы предотвратить процессы отжига.

Любой из четырех перечисленных механизмов упрочнения позволяет повысить предел прочности до величины порядка $10^{-3} - 10^{-2}G$. Комбинации этих способов упрочнения могут дать также не более $10^{-2}G$. К сожалению, все четыре механизма становятся не эффективными, когда температура достигает такой величины, при которой становятся существенными процессы диффузии. При таких температурах частицы мелкодисперсной фазы начинают растворяться, облака растворенных атомов вследствие диффузии перемещаться вместе с дислокациями; ближний порядок после прохождения дислокаций восстанавливается; переползание дислокаций и отжиг ведут к уменьшению плотности дислокаций. Таким образом, при высоких температурах материал понижает свою прочность и может обнаруживать нарастающую со временем остаточную деформацию (ползучесть). При разработке специальных сплавов, пригодных для использования при высоких температурах, основной задачей является, следовательно, значительное понижение скорости диффузионных процессов, с тем чтобы указанные четыре механизма упрочнения сохраняли бы свою эффективность вплоть до высоких температур.

ДИСЛОКАЦИИ И РОСТ КРИСТАЛЛОВ

Франком¹⁾ и его сотрудниками было установлено, что в некоторых случаях дислокации могут играть определяющую роль в процессах роста кристаллов. При выращивании кристаллов в условиях

¹⁾ Им был опубликован довольно полный обзор вопроса о роли дислокаций в процессах роста [7]; детальные расчеты были выполнены Бертоном, Кабрера и Франком [8].

небольшого пересыщения (порядка 1%) было замечено, что наблюдаемая скорость роста значительно превышает теоретически рассчитанную для идеального кристалла. Объяснение наблюдаемой скорости роста дал Франк, исходя из дислокационных представлений.

Теория роста идеальных кристаллов, основанная на работах Гиббса, Фольмера, Беккера и др., предсказывает, что при росте кристалла из паров пересыщение (отношение данного давления паров к равновесному) должно быть порядка 10 для возникновения кристаллических зародышей, порядка 5 — для образования жидких капелек и около 1,5 — для создания на поверхности идеального кристалла двухмерных мономолекулярных зародышей.

Однако Фольмер и Шульце наблюдали рост кристаллов йода при пересыщении паров йода порядка 1% или даже меньше, причем минимальная наблюдавшаяся ими скорость роста была в e^{3000} раз больше предсказываемой по теории роста идеальных кристаллов. Такую величину расхождения между теорией и экспериментом следует считать своего рода рекордом, не имеющим себе равных в истории физической науки.

Франк установил причины этого огромного расхождения. Дело в том, что создание на поверхности кристалла зародышей новых мономолекулярных слоев чрезвычайно затрудняется в том случае, когда поверхность кристалла совершенна. Если же имеется винтовая дислокация типа изображенной схематически на рис. 9.15 и 9.16, то в зарождении нового слоя нет никакой необходимости, поскольку кристалл будет спирально расти от края ступеньки. Вычисление скорости роста, основанное на этом механизме, дает результаты, хорошо согласующиеся с наблюдениями. Поэтому следует, видимо, считать, что все кристаллы в природе, выросшие при малых пересыщениях, содержат дислокации, ибо в противном случае они не могли бы вырасти.

Гриффин и другие авторы, используя оптический и электронный микроскопы, наблюдали картины спирального роста на поверхности многих кристаллов¹⁾. Полученные фотографии служат убедительными доказательствами существования дислокаций. Прекрасным примером спирального роста на отдельной винтовой дислокации служит кристалл парафина, фотография которого приведена на рис. 9.17. Если скорость роста не зависит от направления на плоскости грани кристалла, картина роста может быть описана спиралью Архимеда:

$$r = a\theta, \quad (9.7)$$

где a — постоянная. Такая спираль имеет некоторый предельный минимальный радиус кривизны вблизи дислокации, величина которого

¹⁾ Превосходные фотографии спирального роста имеются в книге Верма [10].

определяется степенью пересыщения. Если радиус кривизны слишком мал, атомы на этом участке кривой испаряются до тех пор, пока

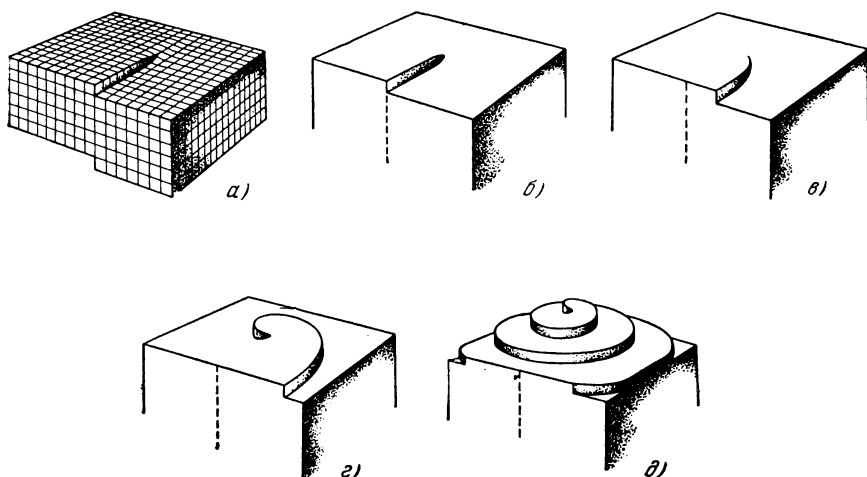


Рис. 9.15. Винтовая дислокация *a)* дает начало процессу спирального роста, последовательные этапы которого показаны на рисунках *б) — д)*. Винтовая дислокация является одним из видов нарушений регулярной атомной структуры кристалла. Структуру этого нарушения можно описать следующим образом: сделаем в кристалле вертикальный разрез на всю глубину от середины боковой стенки до центра, а затем несколько сдвинем участки кристалла по обе стороны от разреза навстречу друг другу — левый вверх, а правый вниз. В результате на верхней поверхности образуется ступенька, положение которой определяется линией разреза. Молекулы, осаждающиеся на поверхность из газовой фазы, будут располагаться вдоль этой ступеньки, вследствие чего она, наращиваясь, начнет перемещаться вправо (рис. *б)*). Поскольку один конец ступеньки закреплен, ступенька, искривляясь, начнет двигаться вокруг точки закрепления, причем внешние точки отстают от внутренних. В результате на поверхности образуется своеобразная ступенчатая спираль (рис. *д)*).

не установится равновесная кривизна. По мере удаления от центра для сохранения постоянства скорости заполнения

$$\frac{dr}{dt} = \text{const}$$

требуются все новые и новые атомы. Спираль в процессе роста представляется разворачивающейся с постоянной угловой скоростью, а поскольку, следовательно, $d\theta/dt = \text{const}$, то и dr/dt будет постоянной величиной.

Наблюдавшийся при больших пересыщениях рост тонких нитевидных кристаллов (усов), по-видимому, не связан с необходимостью наличия более чем одной дислокации. Возможно, что такой кристалл

содержит единственную винтовую дислокацию, которая обуславливает его преимущественный рост в одном направлении. Если предположить, что нитевидные кристаллы вообще не содержат дислокаций, то можно ожидать, что они будут обладать очень высокой прочностью, близкой к вычисленному теоретически значению порядка

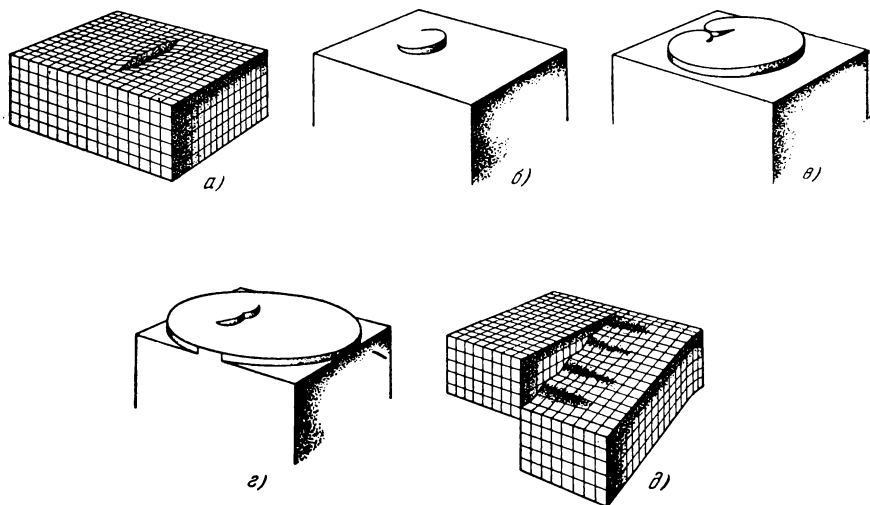


Рис. 9.16. Ступенька роста в виде замкнутой петли *а)* может возникнуть из ступеньки, которая начинается и кончается в пределах верхней грани кристалла, соединяя выходы двух винтовых дислокаций разных знаков. Такая ступенька закреплена на обоих концах и может дать начало росту следующего слоя. На рис. *б)* показан первый этап роста — образование округленной ступеньки на поверхности кристалла; далее на рис. *в)* видно, как закругленные «края» ступеньки сомкнулись позади ее исходного положения. В конечном итоге (рис. *г)*) внутренний участок сомкнется (зарастет) и над ним поднимется новая ступенька, такая же, как и исходная. На рис. *д)* изображена четырехслойная ступенька, образованная четырьмя близко расположенными дислокациями одного знака. Большие группы дислокаций дают многослойные ступеньки.

$G/30$, о котором выше шла речь. Присутствие единственной винтовой дислокации, идущей вдоль оси кристалла, не может понизить его прочность: при растяжении кристалла на эту дислокацию не действуют силы, так как вектор Бюргерса дислокации параллелен приложенному напряжению. Херринг и Голт в связи с этим исследовали нитевидные кристаллы (усы) олова, имеющие радиус около 10^{-4} см, и установили, что их упругие свойства близки к тем, которые теория предсказывает для идеальных кристаллов. Измеренные ими деформации у предела текучести соответствуют напряжениям сдвига

порядка $10^{-2} G$, т. е. оказываются в 1000 раз больше, чем для массивных образцов олова. Это подтверждает оценка прочности, сделанная ранее для идеальных кристаллов.

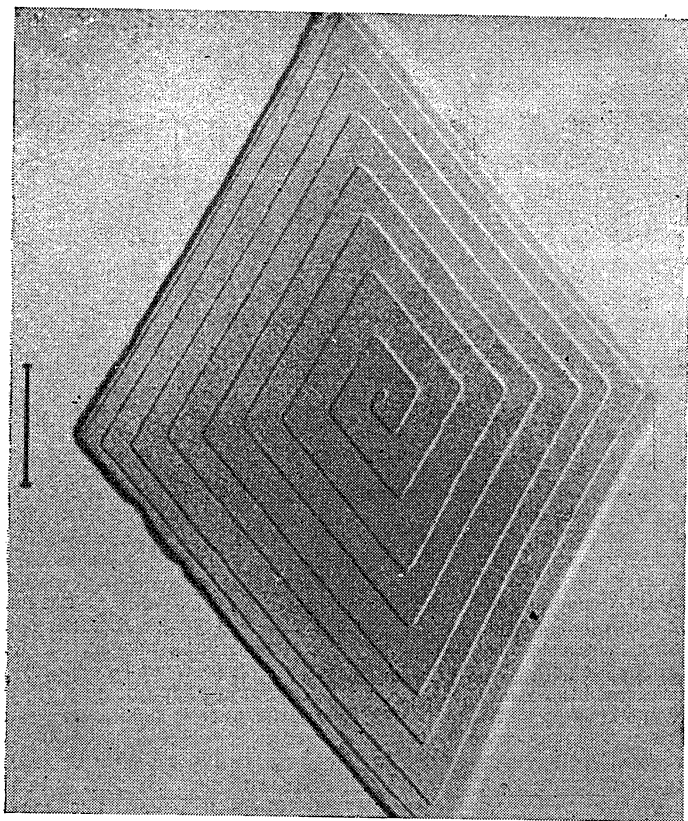


Рис. 9.17. Картина спирального роста на одной винтовой дислокации на поверхности монокристалла парафина $nC_{36}H_{74}$ [9]. (Электронно-микроскопическая фотография.)

Нитевидные кристаллы железа, выращенные из паров, показаны на рис. 9.18. Толщина этих кристаллов порядка 15 мк; кристаллическая структура — кубическая объемноцентрированная, причем кристаллы имеют четыре грани $\{100\}$, параллельные оси кристалла. Наибольшие упругие деформации, наблюдавшиеся для таких железных кристаллов, были порядка 1,4%, что близко к теоретическому пределу.

Упругие характеристики, близкие к теоретическим для идеальных кристаллов, наблюдались для ряда веществ, в том числе для Cu, CdS.



Рис. 9.18. Нитевидные кристаллы (усы) железа, полученные выращиванием из паров путем восстановления железа водородом из бромистого железа при 710°C в железной лодочке.

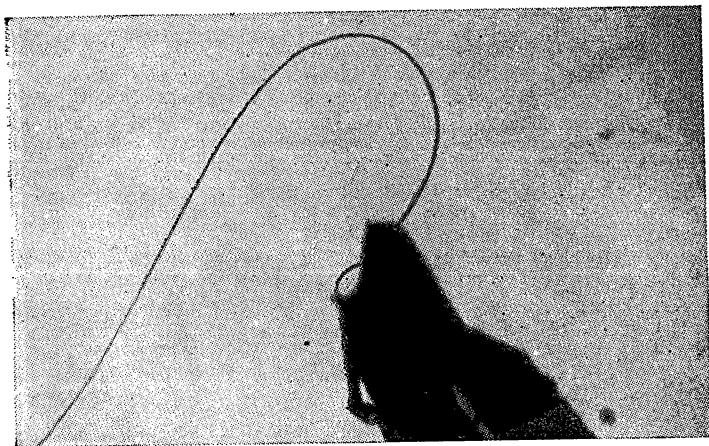


Рис. 9.19. Нитевидный кристалл меди, деформированный до 1,5%.

p-толуидина, галогенидов калия. Фотография деформированного нитевидного кристалла меди показана на рис. 9.19

ЗАДАЧИ

9.1. Показать, что направления плотнейшей атомной упаковки для кубических гранецентрированных структур суть направления $\langle 110 \rangle$; для кубических объемноцентрированных структур — $\langle 111 \rangle$, для гексагональных плотноупакованных структур $\langle 2\bar{1}10 \rangle$.

9.2. К цилиндрическому кристаллу с поперечным сечением A приложено растягивающее напряжение T . Найти выражение для закона постоянства критического скалывающего напряжения (закон Шмида) при данном угле λ между направлением скольжения и осью растяжения, данным углом θ между осью растяжения и нормалью к плоскости скольжения.

9.3. Найти пару дислокаций: а) эквивалентную ряду вакантных узлов, б) эквивалентную ряду атомов в междоузлиях.

9.4. Имеется кристалл в форме куба со стороной L , содержащий краевую дислокацию с вектором Бюргерса b . К верхней и нижней граням кристалла приложено напряжение сдвига σ в направлении скольжения. Показать, приравнявая работу по перемещению дислокации работе внешней силы, что на единицу длины дислокации действует сила $F = b\sigma$.

Приложение А

ВОЗМУЩЕНИЕ ПОЧТИ СВОБОДНЫХ ЭЛЕКТРОНОВ ПЕРИОДИЧЕСКИМ ПОТЕНЦИАЛЬНЫМ ПОЛЕМ

Пусть возмущение со стороны кристаллической решетки записано в виде ряда Фурье

$$H' = \sum_{-\infty}^{+\infty} V_n e^{-\frac{2\pi i n x}{a}} \quad (V_0 = 0). \quad (\text{A.1})$$

Если возмущение может быть описано такой простой функцией, как, например,

$$V_1 \cos \frac{2\pi x}{a},$$

то H' примет следующий вид:

$$H' = \frac{V_1}{2} \left(e^{\frac{2\pi i x}{a}} + e^{-\frac{2\pi i x}{a}} \right).$$

Матричные элементы оператора энергии возмущения H' в представлении плоских волн определяются выражением

$$(k' | H' | k) = \sum_n \frac{V_n}{L} \int_0^L e^{-ik'x} e^{-\frac{2\pi i n x}{a}} e^{ikx} dx. \quad (\text{A.2})$$

Интеграл в (A.2) не обращается в нуль, только когда

$$k' = k - \frac{2\pi n}{a}. \quad (\text{A.3})$$

В этом случае матричный элемент равен соответствующему значению V_n . Волновая функция первого приближения имеет вид

$$\begin{aligned} \phi_k &= \frac{1}{\sqrt{L}} \left[e^{ikx} + \sum_{k'} \frac{(k' | H' | k)}{E_k - E_{k'}} e^{ik'x} \right] = \\ &= \frac{1}{\sqrt{L}} \left[1 + \sum_n \frac{V_n}{E_k - E_{k'}} e^{-\frac{2\pi i n x}{a}} \right] e^{ikx} \quad (\text{A.4}) \end{aligned}$$

для $k' = k - 2\pi n/a$. Решение (А.4) и есть искомое блоховское выражение. Помня, что $E_{k'} = \hbar^2 k'^2/2m$, для энергии во втором приближении получим:

$$E_k = \frac{\hbar^2 k^2}{2m} + \sum_n \frac{|V_n|^2}{E_k - E_{k'}}. \quad (\text{А.5})$$

Вычисление этих выражений основано на предположении, что знаменатель

$$E_k - E_{k'} = \frac{\hbar^2}{2m} \left[k^2 - \left(k - \frac{2\pi n}{a} \right)^2 \right]$$

не слишком мал. Для $k = \pi n/a$ знаменатель будет обращаться в нуль. В этом случае расчеты следует проводить более тщательно. Пусть величина k близка к $\pi n/a$; тогда для волновой функции имеем

$$\psi = e^{ikx} \left(A_0 + A_n e^{-\frac{2\pi i n x}{a}} \right), \quad (\text{А.6})$$

так как другие коэффициенты Фурье будут малы. Коэффициенты A_0 и A_n определяются из условий минимума энергии:

$$E = \frac{E_0 A_0^2 + E_n A_n^2 + 2V_n A_0 A_n}{A_0^2 + A_n^2}. \quad (\text{А.7})$$

Здесь

$$E_0 = \frac{\hbar^2 k^2}{2m}; \quad E_n = \frac{\hbar^2 \left(\frac{k - 2\pi n}{a} \right)^2}{2m};$$

среднее значение V принимается равным нулю. Кроме того, предполагалось, что $V_n^* = V_n$. Взяв вариации δA_0 и δA_n для определения минимизирующих значений A_0 и A_n , получим систему уравнений

$$\begin{aligned} 2A_0(E - E_0) - 2V_n A_n &= 0, \\ -2V_n A_0 + 2A_n(E - E_n) &= 0, \end{aligned}$$

которые имеют отличные от нулевых решения, лишь когда

$$(E - E_0)(E - E_n) + V_n^2 = 0,$$

или

$$E = \frac{1}{2} \{ E_0 + E_n \pm [(E_0 - E_n)^2 + 4V_n^2]^{1/2} \}. \quad (\text{А.8})$$

Наиболее интересной особенностью этого результата является разрывность энергии при $k = \pi n/a$; при этом значении k мы имеем:

$$\Delta E = 2|V_n|, \quad (\text{А.9})$$

и, следовательно, энергии, лежащие в интервале

$$\frac{\hbar^2}{2m} \left(\frac{n\pi}{a} \right)^2 \pm V_n,$$

являются запрещенными.

Заметим, что брэгговские условия отражения также имеют место при $k = \pi n/a$, и это же условие определяет граничные энергии в модели Кронига — Пенни. На границе волновые функции имеют вид стоячих волн, которые, разумеется, не могут нести тока.

Для значений k , лежащих чуть выше первой запрещенной зоны, разлагая (А.8) в ряд с точностью до членов первого порядка относительно $(E_0 - E_n)^2$ и полагая $k' = k - \pi/a$, найдем, что

$$E \cong \frac{\hbar^2}{2m} \left[\left(\frac{\pi}{a} \right)^2 + k'^2 \left(1 + \frac{4E_a}{\Delta E} \right) \right] + \frac{\Delta E}{2}, \quad (\text{А.10})$$

где E_a — энергетический интервал от центра до верхнего края первой запрещенной зоны, причем его зависимость от k' определяется соотношениями

$$E - E_a = \frac{\hbar^2}{2m} \alpha k'^2; \quad \alpha = 1 + \frac{4E_a}{\Delta E}, \quad (\text{А.11})$$

из которых следует, что электрон ведет себя как частица с эффективной массой

$$m^* = \frac{m}{\alpha}. \quad (\text{А.12})$$

Случай трех измерений. В случае трехмерной простой кубической решетки

$$H' = \sum_{\mathbf{G}} V_{\mathbf{G}} e^{i\mathbf{G} \cdot \mathbf{r}},$$

условие существования не равных нулю матричных элементов имеет вид

$$\mathbf{k}' = \mathbf{k} + \mathbf{G}.$$

Запрещенной зоне соответствуют значения, удовлетворяющие условию

$$k^2 = (\mathbf{k} + \mathbf{G})^2, \quad (\text{А.13})$$

или

$$2\mathbf{k} \cdot \mathbf{G} + G^2 = 0, \quad (\text{А.14})$$

или, наконец, в развернутой форме,

$$k_x n_1 + k_y n_2 + k_z n_3 = \frac{\pi(n_1^2 + n_2^2 + n_3^2)}{a}, \quad (\text{А.15})$$

где n_1, n_2, n_3 — положительные или отрицательные целые числа.

Приложение Б

ПРИБЛИЖЕНИЕ СИЛЬНОЙ СВЯЗИ ДЛЯ ЭЛЕКТРОНОВ
В МЕТАЛЛЕ

Предположим, что основное состояние электрона, движущегося в потенциальном поле изолированного атома с потенциалом $V(\mathbf{r})$, описывается волновой функцией $\varphi(\mathbf{r})$ и что его энергия равна E_0 . Предположим, далее, что волновая функция φ соответствует s -состоянию. Зонная трактовка на основе рассмотрения вырожденных p, d, \dots атомных уровней является более сложной. Если влияние атомов друг на друга мало, то в нулевом приближении волновую функцию электрона в кристалле в целом можно записать в виде

$$\psi_{\mathbf{k}}(\mathbf{r}) = \sum_j C_{\mathbf{k}j} \varphi(\mathbf{r} - \mathbf{r}_j), \quad (\text{Б.1})$$

где сумма берется по всем узлам решетки. Если $C_{\mathbf{k}j}$ взять в виде $e^{i\mathbf{k}\mathbf{r}_j}$, то (Б.1) примет вид функции Блоха

$$\psi_{\mathbf{k}}(\mathbf{r}) = \sum_j e^{i\mathbf{k}\mathbf{r}_j} \varphi(\mathbf{r} - \mathbf{r}_j). \quad (\text{Б.2})$$

Мы докажем это, рассматривая трансляцию на вектор \mathbf{g} , соединяющий два узла решетки, а именно, рассмотрим функцию

$$\begin{aligned} \psi_{\mathbf{k}}(\mathbf{r} + \mathbf{g}) &= \sum_j e^{i\mathbf{k}\mathbf{r}_j} \varphi(\mathbf{r} + \mathbf{g} - \mathbf{r}_j) = \\ &= e^{i\mathbf{k}\mathbf{g}} \sum_j e^{i\mathbf{k}(\mathbf{r}_j - \mathbf{g})} \varphi[\mathbf{r} - (\mathbf{r}_j - \mathbf{g})] = e^{i\mathbf{k}\mathbf{g}} \psi_{\mathbf{k}}(\mathbf{r}). \end{aligned} \quad (\text{Б.3})$$

Отсюда видно, что эта функция удовлетворяет требованиям, предъявляемым к функции Блоха.

Энергию в первом приближении мы найдем, вычислив диагональные матричные элементы оператора возмущения $H'(\mathbf{r})$, выраженного через разность потенциала в кристалле вблизи иона и потенциала отдельного атома. Мы имеем

$$\langle \mathbf{k} | H' | \mathbf{k} \rangle = \sum_j \sum_m e^{i\mathbf{k}(\mathbf{r}_j - \mathbf{r}_m)} (\varphi_m | H' | \varphi_j); \quad (\text{Б.4})$$

вводя обозначения $\mathbf{r}_m = \mathbf{r}_m - \mathbf{r}_j$ и считая все узлы решетки эквивалентными, получим

$$\langle \mathbf{k} | H' | \mathbf{k} \rangle = N \sum_m e^{-i\mathbf{k}\mathbf{r}_m} \int \varphi(\mathbf{r} - \mathbf{r}_m) H' \varphi(\mathbf{r}) dV. \quad (\text{Б.5})$$

Если теперь пренебречь всеми интегралами, за исключением тех, которые соответствуют векторам \mathbf{r} , соединяющим ближайших соседей,

то для кристалла, состоящего из N атомов, можно написать

$$\int \varphi^*(\mathbf{r}) H' \varphi(\mathbf{r}) dV = -\frac{\alpha}{N}, \quad (\text{Б.6})$$

$$\int \varphi^*(\mathbf{r} - \mathbf{r}_m) H' \varphi(\mathbf{r}) dV = -\frac{\gamma}{N}, \quad (\text{Б.7})$$

и мы получим

$$\langle \mathbf{k} | H' | \mathbf{k} \rangle = -\alpha - \gamma \sum_m e^{-i(\mathbf{k} \cdot \mathbf{r}_m)}.$$

Итак, для энергии в первом приближении получим

$$E = E_0 - \alpha - \gamma \sum_m e^{i(\mathbf{k} \cdot \mathbf{r}_m)}. \quad (\text{Б.8})$$

В случае простой кубической решетки координаты ближайших соседей следующие:

$$\mathbf{r}_m = (\pm a, 0, 0), \quad (0, \pm a, 0), \quad (0, 0, \pm a), \quad (\text{Б.9})$$

и, следовательно,

$$E = E_0 - \alpha - 2\gamma (\cos k_x a + \cos k_y a + \cos k_z a), \quad (\text{Б.10})$$

так что разрешенные значения энергии ограничены зоной в пределах $\pm 6\gamma$. Для малых k

$$E \cong E_0 - \alpha - 6\gamma + \gamma k^2 a^2. \quad (\text{Б.11})$$

Энергия, соответствующая дну зоны, не зависит от направления движения. Эффективная масса

$$m^* = \frac{\hbar^2}{2\gamma a^2}. \quad (\text{Б.12})$$

Мы видим, что каждому состоянию электрона в свободном атоме соответствует в кристалле энергетическая зона.

Здесь мы рассмотрели одно состояние свободного атома и получили одну зону. Число состояний в зоне, соответствующее невырожденному атомному уровню, равно $2N$, где N — число атомов в кристалле. В этом можно убедиться непосредственно. Функция (Б.10) — периодическая по k , и поэтому лишь те значения k , которые в k -пространстве лежат внутри некоторого многогранника, будут определять независимые волновые функции. В случае простой кубической решетки многогранник будет определяться условиями $-\pi/a < k_x < \pi/a$ и т. д. Объем многогранника равен $8\pi^3/a^3$. Таким образом, число состояний на единицу объема k -пространства, учитывая обе ориентации спина, равно $1/4 \pi^3$ и, следовательно, общее число состояний равно $2/a^3 = 2N$.

Приложение В

ПЕРЕХОДНЫЕ МНОЖИТЕЛИ МЕЖДУ ВАЖНЕЙШИМИ ЕДИНИЦАМИ

(скорость света принята приближенно равной $3 \cdot 10^{10}$ см/сек)

Чтобы из результата, выраженного в единицах,	Получить значение в единицах,	Надо этот результат умножить на
$вб/м^2$	$гс$	10^4
$гс$	$вб/м^2$	10^{-4}
$a-в/м$	$э$	$4\pi \cdot 10^{-3}$
$э$	$a-в/м$	$10^3/4\pi$
$в$	CGSE — ед. потенциала (стат.-вольт)	$1/300$
CGSE — ед. потенциала (стат.-вольт)	$в$	300
абс. ампер (ед. CGSM)	a	10
CGSE — ед. силы тока (стат.-ампер)	a	$1/(3 \cdot 10^9)$
$ом-см$	эл.-ст. ед. сопротивления	$1/(9 \cdot 10^{11})$
эл.-ст. ед. сопротивления	$ом \cdot см$	$9 \cdot 10^{11}$
эл.-ст. ед. проводимости	$ом^{-1}/см$ (мо/см)	$1/(9 \cdot 10^{11})$
$ом^{-1}/см$ (мо/см)	эл.-ст. ед. проводимости	$9 \cdot 10^{11}$
эл.-ст. ед. проводимости	$ом^{-1}/м$ (мо/м)	$9 \cdot 10^9$
$к/м^2$	эл.-ст. ед. заряда/см ²	$3 \cdot 10^5$
эл.-ст. ед. заряда/см ²	$к/м^2$	$(1/3 \cdot 10^5)$
CGSE — ед. потенциала $\cdot см$	$в \cdot см \cdot a^{-1}$	$9 \cdot 10^{11}$
CGSE — ед. силы тока		

Приложение Г

ЗНАЧЕНИЯ НЕКОТОРЫХ ФИЗИЧЕСКИХ ПОСТОЯННЫХ *)

Величина	Значение
Число Авогадро L	$(6,025438 \pm 0,000107) \cdot 10^{23}$ г·моль ⁻¹ (физ.)
Заряд электрона e	$-(4,802233 \pm 0,000071) \cdot 10^{-10}$ эл.-ст. ед.
Масса покоя электрона	$(9,107208 \pm 0,000246) \cdot 10^{-28}$ г
Постоянная Планка h	$(6,623773 \pm 0,000180) \cdot 10^{-27}$ эрг·сек
» » \hbar	$(1,054206 \pm 0,000028) \cdot 10^{-27}$ эрг·сек

*) Значения взяты из сводки Дю-Монда и Коэна.

Продолжение прилож. Г

Величина	Значение
Скорость света c	$(299790,22 \pm 0,86) \text{ км/сек}$
Постоянная Фарадея, $F = Ne$	$(2,893556 \pm 0,000021) \cdot 10^{13} \text{ эл.-ст.ед.г.моль}^{-1}$
Удельный заряд электрона, e/m	$(1,758898 \pm 0,000032) \cdot 10^7 \text{ эл.-маг.ед/г}$
Комптоновская длина для электрона, $\lambda_{ce} = h/mc$	$(3,8612050 \pm 0,0000516) \cdot 10^{-11} \text{ см}$
Радиус первой боровской орбиты, $a_0 = \hbar^2/me^2$	$(5,291508 \pm 0,000035) \cdot 10^{-9} \text{ см}$
Классический радиус электрона, $r_0 = e^2/mc^2$	$(2,817515 \pm 0,000056) \cdot 10^{-13} \text{ см}$
Атомный вес водорода (в физической шкале)	$1,0081284 \pm 0,0000030$
Отношение массы протона к массе электрона	$1836,1388 \pm 0,0339$
Постоянная Больцмана, k	$(1,3802565 \pm 0,0000615) \cdot 10^{-16} \text{ эрг/град}$
Магнетон Бора, $\mu_B = e\hbar/2mc$	$(0,92712031 \pm 0,0000219) \cdot 10^{-20} \text{ эрг/гс}$
Длина волны фотона с энергией 1 эв, λ_0	$(12396,44 \pm 0,174) \cdot 10^{-8} \text{ см}$
Частота, соответствующая фотону с энергией 1 эв, ν_0	$(2,418357 \pm 0,000032) \cdot 10^{14} \text{ сек}^{-1}$
Волновое число фотона с энергией 1 эв, k_0	$(8066,832 \pm 0,113) \text{ см}^{-1}$
Энергия, соответствующая 1 эв	$(1,601864 \pm 0,000024) \cdot 10^{-12} \text{ эрг}$
Энергия, соответствующая единичному волновому числу	$(1,985742 \pm 0,000054) \cdot 10^{-16} \text{ эрг}$
Энергия, соответствующая одному ридбергу	$13,60353 \pm 0,00210 \text{ эв}$
Скорость электрона, имеющего энергию 1 эв	$(5,931099 \pm 0,000055) \cdot 10^7 \text{ см/сек}$
Энергия, соответствующая 1°K	$(8,616562 \pm 0,000357) \cdot 10^{-5} \text{ эв}$
«Температура», соответствующая 1 эв	$(11605,556 \pm 0,480) \text{ °K}$
Число Лошмидта, n_0	$(2,687444 \pm 0,000067) \cdot 10^{19} \text{ см}^{-3}$

ЛИТЕРАТУРА

ОБЩАЯ ЛИТЕРАТУРА

Кристаллография

Phillips F. C., An introduction to crystallography, London, 1946.

Buerger M. J., Elementary crystallography, N. Y., 1956.

* Белов Н. В., Структурная кристаллография, М., 1951 ¹⁾.

* Шубников А. В., Флинт Е. Е., Бокий Г. Б., Основы кристаллографии, М., 1940.

Основы атомной физики

Born M., Atomic physics, 5th ed., N. Y., 1951 (готовится перевод со второго издания).

Richtmeyer F. K., Kennard E. H., Introduction to modern physics, 4th ed., N. Y., 1947.

* Шпольский Э. В., Атомная физика, тт. I и II, Физматгиз, 1963.

Элементарные пособия

Rice F. O., Teller E., Structure of matter, N. Y., 1949.

Slater J. C., Introduction to chemical physics, N. Y., 1939.

Slater J. C., Quantum theory of matter, N. Y., 1951.

Общие курсы и монографии

Dekker A. J., Solid state physics, Englewood Cliffs, 1957.

Goldman J. E., ed., Science of engineering materials, N. Y., 1957.

Киттель Ч., Введение в физику твердого тела, Физматгиз, 1962.

Mott N., Jones H., Theory of the properties of metals and alloys, Oxford, 1936.

Зейтц Ф., Современная теория твердого тела, Гостехиздат, 1948.

Wilson A. H., Theory of metals. 2-nd ed., Cambridge, 1953 (перевод первого издания: Вильсон А., Квантовая теория металлов, Гостехиздат, 1941).

Пайерлс Р., Квантовая теория твердых тел, ИЛ, 1956.

Wannier G. H., Elements of solid state theory, Cambridge, 1959.

Handbuch der Physik, 2 Auflage (тома, посвященные физике твердого тела). Solid State Physics, Seitz F., Turnbull D., editors, volumes 1—15, N. Y., 1955—1963.

* Бете Г., Зоммерфельд А., Электронная теория металлов, ГОНТИ, 1938.

¹⁾ Звездочками обозначены работы, добавленные переводчиком. Книги и обзоры из авторского списка изменены без специальных оговорок в тех случаях, когда имеется перевод на русский язык соответствующих работ.

- * Борн М., Хуан Кунь, Динамическая теория кристаллических решеток, ИЛ, 1958.
- * Жданов Г. С., Физика твердого тела, изд. МГУ, 1963.
- * Займан А., Электроны и фононы, ИЛ, 1962.
- * Най Дж., Физические свойства кристаллов, ИЛ, 1960.
- * Френкель Я. И., Введение в теорию металлов, 3-е изд., Гостехиздат, 1958.

Справочные и библиографические издания

Chemical Abstracts.

* Physical Abstracts.

* «Физика», «Химия», Реферативные журналы ИНИ АН СССР.

Gmelins Handbuch der anorganische Chemie.

L andolt-Börnstein, Physikalisch-chemische Tabellen, 5 Aufl., Berlin, 1935; 6 Aufl., Berlin, 1952—63.

Литература к главе 1

1. Барретт, Структура металлов, М., 1948.
2. Шокли У., Теория электронных полупроводников, ИЛ, 1953.
3. Wyckoff R. W. G, Crystal structure, N. Y., 1948.
4. Hume-Rothery W., Structure of metals and alloys, London, 1947 (имеется перевод первого издания: Юм-Розери В., Структура металлов и сплавов, ГОНТИ, 1938).
5. Полинг Л., Природа химической связи, ИЛ, 1947.
6. Rice O. K., J. Chem. Phys. 12, 1 (1944).
7. Boerdijk A. H., Philips Res. Rep. 7, 303 (1952).

Дополнительная литература к главе 1

- Брэгг В. Л., Кристаллическое состояние, общий обзор, ОНТИ, 1936.
- Buerger M. J., Elementary crystallography, N. Y., 1955.
- Bunn C. W., Chemical crystallography, Oxford, 1945.
- Groth P. H., Chemische Kristallographie, 5 Bds., Leipzig, 1906.
- International tables for X-ray crystallography, Kynoch Press, Birmingham, 1952.
- Internationale Tabellen zur Bestimmung von Kristallstrukturen, Berlin, 1935.
- Джеймс Р., Оптические принципы дифракции рентгеновских лучей, ИЛ, 1950.
- Лонсдейл К., Кристаллы и рентгеновские лучи, ИЛ, 1952.
- Дэна Д., Дэна Э., Пэлаг Г., Берман Г., Фрондель К., Система минералогии, тт. 1 и 2, ИЛ, 1950—1954.
- * Белов Н. В., Структурная кристаллография, М., 1951.
 - * Вустер У., Практическое руководство по кристаллофизике, ИЛ, 1958.
 - * Най Дж., Физические свойства кристаллов, ИЛ, 1960.
 - * Федоров Е. С., Основные работы по симметрии и структуре кристаллов, сер. «Классики науки», изд. АН СССР, М., 1949.
 - * Шубников А. В., Симметрия и антисимметрия конечных фигур, изд. АН СССР, М., 1951.
 - * Шубников А. В., Флинт Е. Е., Бокий Г. Б., Основы кристаллографии, М., 1940.
 - * Kleber W., Einführung in die Kristallographie, 7 Aufl., Berlin, 1963.

Литература к главе 2

1. Барретт, Структура металлов, М., 1948.
2. Бургер М., Рентгеновская кристаллография, ИЛ, 1948.
3. Бакли Г., Рост кристаллов, ИЛ, 1954.

Дополнительная литература к главе 2

- Комптон и Аллисон, Рентгеновские лучи в теории и эксперименте, Л. — М., 1941.
- Липсон Г., Кокрен В., Определение структуры кристаллов, ИЛ, 1958.
- * Васон Г. Е., Neutron diffraction, 2-nd ed., Oxford, 1963 (имеется русский перевод первого издания: Бекон Дж., Дифракция нейтронов, ИЛ, 1957).
- * Brillouin L., Wave propagation in periodic structures, N. Y., 1946 (имеется перевод второго издания: Бриллюэн Л., Пароди М., Распространение волн в периодических структурах, ИЛ, 1959).
- * Жданов Г. С., Основы рентгеновского структурного анализа, Гостехиздат, 1940.
- * Китайгородский А. И., Рентгеноструктурный анализ, Гостехиздат, 1950.

Литература к главе 3

1. Slater J. C., Introduction to chemical physics, N. Y., 1939.
2. Born M., Atomic physics, 5th ed., N. Y., 1955.
3. Киттель Ч., Элементарная статистическая физика, ИЛ, 1960.
4. Einstein A., Ann. Phys. **22**, 180 (1907).
5. Einstein A., Ann. Phys. **34**, 170 (1911).
6. Richtmeyer F. K., Kennard E. H., Introduction to modern physics, N. Y., 1947, 4th. ed., pp. 178—183.
7. Debye P., Ann. Phys. **39**, 789 (1912).
8. Whittaker E. T., Watson G. N., Modern analysis, Cambridge, 4th ed., 1935, pp. 265—266 (имеется русский перевод второго издания: Уиттекер Э. и Ватсон Л., Современный анализ, тт. 1 и 2, ИЛ, 1961).
9. Berman R., McDonald D. K. C., Proc. Roy. Soc. Lond. **A211**, 122 (1952).
10. Debye P., статья в сборнике: Vorträge über die kinetische Theorie der Materie und Elektrizität, Leipzig, 1914.
11. Peierls R., Ann. Phys. **3**, 1055 (1929).
12. Herring C., Phys. Rev. **95**, 954 (1954).

Дополнительная литература к главе 3

- Berman R., Adv. in Phys. **2**, 103 (1953) (теплопроводность диэлектриков при низких температурах).
- Eucken A., Handbuch der Experimentalphysik, Bd. 8/1, Leipzig, 1929.
- Фаулер Р., Гуггенхейм Э., Статистическая термодинамика, ИЛ, 1949.
- Olsen J. L., Rosenberg H. M., Adv. in Phys. **2**, 28 (1953). (Теплопроводность металлов при низких температурах.)
- * Леонтович М. А., Статистическая физика, Гостехиздат, 1944.

Литература к главе 4

1. Osborn J. A., Phys. Rev. **67**, 351 (1945).
2. Stoner E. C., Phil. Mag. **36**, 803 (1945).
3. Würschmidt J., Theorie des Entmagnetisierungsfaktors, Braunschweig, 1925.
4. Snoek J. L., Physica **1**, 649 (1933).
5. Bozorth R. M., Chapin D. M., J. Appl. Phys. **13**, 320 (1942).
6. Tessman J., Kahn A., Shockley W., Phys. Rev. **92**, 890 (1953).
7. Hippel A. R., ed., Dielectric materials and applications, N. Y., 1954.
8. Pauling L., Proc. Roy. Soc., Lond. **A114**, 181 (1927).
9. Sänger R., Phys. Z. **27**, 556 (1926).

10. Smyth, Hitchcock, J. Amer. Chem. Soc. **54**, 4631 (1932).
11. Дебай П., Полярные молекулы, ГТТИ, 1931.
12. Breckenridge R. G., статья в сборнике: Imperfections in nearly perfect crystals, ed. by Shockley W. et. al., N. Y., 1952.
- *13. Жданов Г. С., Физика твердого тела, изд. МГУ, 1963, гл. IX.
- *14. Най Дж., Физические свойства кристаллов, ИЛ, 1960, гл. IV.
- *15. Сканави Г. И., Физика диэлектриков, т. I, Гостехиздат, 1949.
16. Мэзон У., Пьезоэлектрические кристаллы и их применения в ультразвуке, ИЛ, 1952.
17. Gutmann F., Rev. Mod. Phys. **20**, 457 (1948).
18. Valasek J., Phys. Rev. **17**, 475 (1921).
19. Mueller H., Ann. N.-Y. Acad. Sci. **40**, 321 (1940).
20. Mueller H., Phys. Rev. **57**, 829 (1940); **58**, 565 (1940).
21. Slater J. C., Phys. Rev. **78**, 748 (1950).
22. Drougard M. E., Young D. R., Phys. Rev. **95**, 1152 (1954).
23. Сканави Г. И., ДАН СССР **59**, 23 (1948).
24. Van Santen J. H., Opetchowski W., Physica **14**, 545 (1948).
25. Kornfeld H., Zs. Phys. **22**, 27 (1924).
26. McKeehan L. W., Phys. Rev. **43**, 913 (1933).
27. Luttinger J. M., Tisza L., Phys. Rev. **70**, 954 (1946); **72**, 257 (1947).
28. Devonshire A. F., Adv. in Phys. **3**, 85—130 (1954).
29. Forsbergh P. W. Jr., Phys. Rev. **76**, 1187 (1949).
30. Merz W. J., Phys. Rev. **88**, 421 (1952).
31. Little E. A., Phys. Rev. **98**, 978 (1955).
32. Merz W. J., Phys. Rev. **95**, 690 (1954).
33. Anderson J. R., Am. Inst. Electr. Eng. **71**, 916 (1952).
34. Von Hippel A., Rev. Mod. Phys. **22**, 221 (1950).
35. Powles J. G., Jackson W., Proc. Inst. Electr. Eng., Lond. **96**, 111, 383 (1949).
36. Kock W. E., Bell System Techn. J. **27**, 58 (1948).
37. Darwin C. G., Proc. Roy. Soc., Lond. **A146**, 17 (1934); **A151**, 512 (1935).
38. Wagner K. W., Arch. Elektrotechn. **2**, 371 (1914).
39. Koops C. G., Phys. Rev. **83**, 121 (1951).
40. Mason W., Wick R. F., PIRE **42**, 1606 (1954).

Дополнительная литература к главе 4

- Baumgartner, Jona, Känzig, Seignettelektrizität, Ergebnisse der exakten Naturwissenschaften **23**, 235 (1950).
- Кэди В., Пьезоэлектричество, ИЛ, 1949.
- Devonshire A. F., Theory of barium titanate, Phil. Mag. **40**, 1040 (1949); **42**, 1065 (1951); Theory of ferroelectrics, Adv. Phys. **3**, 85—130 (1954).
- Фрелих Г., Теория диэлектриков, ИЛ, 1960.
- Jaynes E. T., Ferroelectricity domain structure and phase transitions of barium titanate, Rev. Mod. Phys. **22**, 221 (1950).
- Le Fevre R. J. W., Dipole moments, London, 3rd ed., 1953.
- Rosenfeld L., Theory of electrons, N. Y., 1951.
- Shirane G., Jona F., Pepinsky R., PIRE **43**, 1738 (1955).
- Smyth C. P., Dielectric behavior and structure, N. Y., 1955.
- Van Vleck J. H., Theory of electric and magnetic susceptibilities, Oxford, 1932.
- Хиппель А., Диэлектрики и волны, ИЛ, 1950.
- * Вул Б. М., Титанат бария, М., 1956.
- * Курчатов И. В., Сегнетоэлектрики, ГТТИ, 1933.
- * Jona F., Shirane G., Ferroelectric crystals, London, 1962 (готовится русский перевод).

Литература к главе 5

1. Reynolds F. W., Stilwell G. R., Phys. Rev. **88**, 418 (1952).
2. Sondheimer E. H., Adv. in Phys. **1**, 1 (1952).
3. Fuchs K., Proc. Cambr. Phil. Soc. **34**, 100 (1938).
4. Mott N. F., Jones H., Theory of the properties of metals and alloys, Oxford, 1936.
5. Guth E., Mayerhöfer J., Phys. Rev. **57**, 908 (1940).
6. Shockley W., Bell System Techn. J. **30**, 990 (1951).
7. Berman R., McDonald D. K. C., Proc. Roy. Soc., Lond. **A209**, 368 (1951); **A211**, 122 (1952).
8. Slater J. C., Introduction to chemical physics, N. Y., 1939, Ch. XXI.
9. Born M., Atomic Physics, 5th. ed., N. Y., 1951.
- *10. Блохинцев Д. И., Квантовая механика, Изд-во «Высшая школа», 1963.
- *11. Компанец А. С., Теоретическая физика, Гостехиздат, 1963.
- *12. Леонтович М. А., Статистическая физика, Гостехиздат, 1944.
- *13. Киттель Ч., Элементарная статистическая физика, ИЛ, 1960.
14. Daunt J. G., в сборнике: Progress in low temperature physics, ed. by Gorter C. J., Amsterdam, 1955.
15. Pauli W., Zs. Phys. **41**, 48 (1927).
16. Pines D., в сборнике: Solid state physics, ed. by F. Seitz and D. Turnbull, vol. **1**, N. Y., 1955.
17. Dresselhaus, Kip, Kittel, Phys. Rev. **100**, 618 (1955).
18. Wood R. W., Phys. Rev. **44**, 353 (1933).
19. Wood R. W., Lukens C., Phys. Rev. **54**, 332 (1938).
20. Ives H. E., Briggs H. B., J. Opt. Soc. Amer. **26**, 238 (1936); **27**, 181 (1937).
21. Givens M. P., в сборнике: Solid State Physics, ed. by F. Seitz and D. Turnbull, vol. **6**, N. Y., 1958.
22. Zener C., Nature **132**, 968 (1933).
23. Herring C., Nichols M. H., Rev. Mod. Phys. **21**, 185 (1949).

Дополнительная литература к главе 5

- Беккер Р., Электронная теория, М., 1936.
- Bloch F., Electronentheorie der Metalle, Handbuch der Radiologie, Bd. **6**, **1**, 226—278 (1933).
- Энциклопедия металлофизики, ОНТИ, Л., 1937.
- Бриллюэн Л., Квантовая статистика, М., 1936.
- Fröhlich H., Elektronentheorie der Metalle, Berlin, 1936.
- Hume-Rothery W., Electrons, atoms, metals and alloys, London, 1955.
- Mott N. F., Jones H., Theory of the properties of metals and alloys, Oxford, 1955.
- Пайерлс Р., Квантовая теория твердых тел, ИЛ, 1956.
- Rice F. C., Teller E., Structure of matter, N. Y., 1949.
- Зейтц Ф., Современная теория твердого тела, Гостехиздат, 1948.
- Slater J. C., Quantum theory of matter, N. Y., 1951.
- Бете Г., Зоммерфельд А., Электронная теория металлов, ГОНТИ, 1938.
- Wannier G. H., Elements of Solid State theory, Cambridge, 1959.
- Wilson A. H., Theory of metals, 2nd ed., Cambridge, 1953 (имеется русский перевод первого издания: Вильсон А., Квантовая теория металлов, Гостехиздат, 1941).
- Займан Дж., Электроны и фононы, ИЛ, 1962.
- * Френкель Я. И., Введение в теорию металлов, 3-е изд., Гостехиздат, 1958.

Литература к главе 6

1. Pauling L., Wilson E. B., Introduction to quantum mechanics, N. Y., 1935, Ch. XII.
- *2. Давыдов А. С., Квантовая механика, Физматгиз, 1963.
3. Bloch F., Zs. Phys. 52, 555 (1928).
4. Mott N. F., Jones H., Theory of the properties of metals and alloys, London, 1936.
5. Kriessman G. J., Callen H. B., Phys. Rev. 94, 837 (1954).
6. Dresselhaus, Kip, Kittel, Phys. Rev. 98, 368 (1955).
7. Шокли У., Теория электронных полупроводников, ИЛ, 1952.
8. Jones H., Proc. Roy. Soc., Lond. A147, 396 (1934).
9. Krutter H. M., Phys. Rev. 43, 664 (1935).
10. Hume-Rothery W., Electrons, atoms, metals and alloys, London, 1955.
11. Hume-Rothery W., Structure of Metals and Alloys, London, 1947 (имеется русский перевод первого издания: Юм-Розери В., Структура металлов и сплавов, ГОИТИ, 1938).
12. Hume-Rothery W., Coles B. R., Transition Metals and their Alloys, London, 1955.
13. Levinson D. W., Acta Met. 3, 294 (1955).
14. Koster G. F., Phys. Rev. 98, 901 (1955).
15. Никс Ф., Шокли У., УФН 20, 334, 536 (1938).
16. Lipson H., Progr. Met. Phys. 2, 1 (1952).
17. Мүто Т., Такаги Ю., Теория явлений упорядочения в сплавах, ИЛ, 1959.

Дополнительная литература к главе 6

- Barden J., Electrical conductivity of metals, J. Appl. Phys. 11, 88 (1940).
 Justi E., Leitfähigkeit und Leitungsmechanismus der festen Stoffe, Göttingen, 1948.
- McDonald D. K. C., Properties of metals at low temperatures, Progr. Met. Phys. 3, 42—57 (1952).
 McDonald D. K. C., Sarginson K., Galvanomagnetic effects in conductors, Repts. Prog. Phys. 15, 249—274 (1952).
- Пайерлс Р., Квантовая теория твердых тел, ИЛ, 1956.
- Weisskopf V. F., On the theory of the electric resistance of metals, Amer. J. Phys. 11, 1 (1943).
- * Адирович Э. И., Некоторые вопросы теории люминесценции кристаллов, Гостехиздат, 1956.
- * Вонсовский С. В., Вопросы современной квантовой теории электронных проводников, УФН 48, № 3 (1952).
- * Уманский Я. С., Физические основы металловедения, М., 1955.
- * Френкель Я. И., Введение в теорию металлов, 3-е изд., Гостехиздат, 1958.

Работы по теории сплавов

- Friedel J., Electronic structure of primary solid solutions in metals, Adv. Phys. 3, 446 (1954).
- Jaswon M. A., Theory of cohesion, London, 1954.
- Mott N. F., Recent advances in the electron theory of metals, в сборнике: Progress in metal physics, ed. by Chalmers, vol. 3, 1952, pp. 76—114.
- Паулинг Л., Природа химической связи, ИЛ, 1947.
- Raynor G. V., Introduction to the electron theory of metals, London, 1949.
- Raynor G. V., Progress in the theory of alloys, в сборнике: Progress in metal physics, vol. 1, 1949, pp. 1—76.

Raynor G. V., The band structure of metals, Repts. Prog. Phys. 15, 173 (1952).

* Кривоглаз М. А., Смирнов А. А., Теория упорядочивающихся сплавов, Гостехиздат, 1958.

Литература к главе 7

1. В. Шокли, Электронная теория полупроводников, ИЛ, 1953.
2. Luttinger J. M., Kohn W., Phys. Rev. 98, 915 (1955).
3. Lampert M., Phys. Rev. 97, 352 (1955).
4. Kittel C., Mitchell A. H., Phys. Rev. 96, 1448 (1954).
5. Conwell E. M., PIRE 40, 1327 (1952).
6. Debye P. P., Conwell E. M., Phys. Rev. 93, 693 (1954).
7. Dresselhaus, Kip, Kittel, Phys. Rev. 98, 368 (1955).
8. Esaki L., Phys. Rev. 109, 603 (1958).
9. Esaki L., Miyahara Y., Solid State Electronics 1, 13 (1960).
10. Bardeen J., Brattain W. H., Phys. Rev. 75, 1208 (1949).
11. Shockley, Sparks, Teal, Phys. Rev. 83, 151 (1951).
12. Shockley W., Bell System Techn. J. 28, 435 (1949).
13. Pfann W. G., van Roosbroeck W., J. Appl. Phys. 25, 1422 (1959).
14. Early J. M., Bell System Techn. J. 33, 517 (1954).

Дополнительная литература к главе 7

- Кобленц А., Оуэнс Х., Транзисторы (теория и применение), ИЛ, 1956.
- Данлеп К., Введение в физику полупроводников, ИЛ, 1958.
- Fan H. Y., Valence semiconductors, в сборнике: Solid State Physics, ed. by Seitz F. and Turnbull D., vol. 1, N. Y., 1955, p. 284.
- Полупроводниковые материалы, ИЛ, 1954.
- Hunter L. P., Handbook of semiconductor electronics, N. Y., 1956.
- Herring C., Solid State, глава 25 в книге: Fundamental formulas of physics, ed. by Menzel D., N. Y., 1955 (имеется русский перевод: Основные формулы физики, под ред. Д. Мензела, ИЛ, 1955).
- Иоффе А. Ф., Физика полупроводников, М., 1957.
- Мотт Н., Герни Р., Электронные процессы в ионных кристаллах, ИЛ, 1950.
- Present Status of Physics, American Association for the Advancement of Science, 1954 [статья Бардина (стр. 128—149) и Ларк-Горовица (стр. 57—127); в последней имеется весьма полная библиография].
- Say M. G., editor, Crystal rectifiers and transistors, London, 1954.
- Shea R. F., Transistor circuits, N. Y., 1953.
- Смит Р., Полупроводники, ИЛ, 1962.
- Spenke E., Elektronische Halbleiter, Wiesbaden, 1955.
- Sirutt M. J. O., Transistoren, Zürich, 1954.
- Transistor technology, 2 vols, Bell Tel. Lab. and Western Electric Co., 1952.
- Wilson A. H., Semiconductors and metals, an introduction to the electron theory of metals, Cambridge, 1939.
- * Каролл Дж., Новые схемы на полупроводниковых приборах, ИЛ, 1961.
- * Каролл Дж., Электронные схемы на полупроводниковых триодах, ИЛ, 1960.
- * Надежность полупроводниковых устройств, ИЛ, 1963.
- * Полупроводники, под ред. Н. Б. Хеннея, ИЛ, 1962.
- * Панн В., Зонная плавка, М., 1960.
- * Туннельные диоды, сб. статей под ред. В. И. Фистуль, ИЛ, 1962.
- * Хилсум К., Роуз-Инс А., Полупроводники типа $A_{III}B_V$, ИЛ, 1963.
- * Шварц С., Полупроводниковые схемы (справочник), ИЛ, 1963.

Литература к главе 8

1. Голдстейн, Классическая механика, Гостехиздат, 1957.
2. Henry W. E., Phys. Rev. **88**, 559 (1952).
3. Bloembergen, Purcell, Pound, Phys. Rev. **73**, 679 (1948).
4. Tinkham, Weinstein, Kip, Phys. Rev. **84**, 848 (1951).
5. Van Vleck J. H., Rev. Mod. Phys. **17**, 27 (1945).
6. Weiss P., Forrer R., Ann. Phys. **5**, 153 (1926).
7. Бозорт Р., Ферромагнетизм, ИЛ, 1956.
- *8. Ландау Л. Д., Лифшиц Е. М., Phys. Zs. der Sowjetunion **8**, 153 (1935).
9. Williams H. J., Bozorth R., Shockley W., Phys. Rev. **75**, 155 (1949) (имеется русский перевод в сборнике [17]).
10. Williams H. J., Shockley W., Phys. Rev. **75**, 178 (1949) (имеется русский перевод в сборнике [17]).
11. Kittel Ch., Phys. Rev. **70**, 965 (1946) (имеется русский перевод в сборнике [17]).
12. Neel L., Compt. rend. **224**, 1488 (1947).
13. Nagamiya T., Yosida K., Kubo R., Adv. Phys. **4**, 1 (1955).
14. Went J. J., Gorter E. W., Philips Techn. Rev. **13**, 181 (1952).
15. Hogan C. L., Bell System Techn. J. **31**, 1 (1952).
16. Rowen J. H., Bell System Techn. J. **32**, 1333 (1953).
- * 17. Физика ферромагнитных областей, сб. статей, ИЛ, 1951.
- * 18. Магнитная структура ферромагнетиков, сб. статей, ИЛ, 1959.

Дополнительная литература к главе 8

- Абрагам А., Ядерный магнетизм, ИЛ, 1963.
- Bates L. F., Modern magnetism, Cambridge, 3rd ed., 1951.
- Becker P., Döring W., Ferromagnetism, Berlin, 1939.
- Bleaney B., Stevens K. W. H., Paramagnetic resonance, Repts. Progr. Phys. **16**, 108 (1953).
- Bowers K. K., Owen J., Repts. Progr. Phys. **18**, 304 (1955).
- Бозорт Р., Ферромагнетизм, ИЛ, 1956.
- Casimir H. B. G., Magnetism and very low temperatures, Cambridge, 1940.
- Darrow K. K., Bell System Techn. J. **32**, 74, 384—405 (1953).
- Garrett C. G. B., Magnetic cooling, Cambridge, 1954.
- Гортер К., Парамагнитная релаксация, ИЛ, 1949.
- Gorter C. J., ed., Progress in low temperature physics, vols 1—4, Amsterdam, 1955—64.
- Kikuchi C., Spence R. D., Amer. J. Phys. **18**, 167 (1950).
- Kittel Ch., Physical theory of ferromagnetic domains, Rev. Mod. Phys. **21**, 541 (1949) (имеется русский перевод в сборнике [17]).
- Kittel Ch., Galt J. R., в сборнике: Solid state physics, ed. by Seitz F. and Turnbull D., vol. 3, N. Y., 1956 (имеется русский перевод в сборнике [18]).
- Lidiard A., Antiferromagnetism, Repts. Progr. Phys. **17**, 201 (1954).
- Лоу У., Парамагнитный резонанс, ИЛ, 1962.
- Мендельсон К., Физика низких температур, ИЛ, 1963.
- Martius U. M., Ferromagnetism, в сборнике: Progress metal physics, ed. by Chalmers, vol. 3, 140 (1952).
- ONR Maryland Magnetism Conference, Rev. Mod. Phys. **25**, № 1 (1953).
- Pake G. E., Nuclear magnetic resonance, в сборнике: Solid state physics, ed. by Seitz F. and Turnbull D., vol. 2, N. Y., 1956.
- Reich H., Zs. ang. Phys. **6**, 326 (1957).
- Say M. G., editor, Magnetic alloys and ferrits, London, 1954.

- Selwood P. W., *Magnetochemistry*, N. Y., 1943 (имеется русский перевод второго издания: Селвуд П., *Магнетохимия*, ИЛ, 1959).
 Смит Я., Вейн Х., *Ферриты*, ИЛ, 1962.
 Stewart K. H., *Ferromagnetic domains*, Cambridge, 1954.
 Stoner E. C., *Ferromagnetism*, Repts. Progr. Phys. 11, 43 (1948), 13, 83 (1950).
 Stoner E. C., *Magnetism and matter*, London, 1934.
 Van Vleck J. H., *Rev. Mod. Phys.* 17, 27 (1947).
 Van Vleck J. H., *J. Phys. Rad.* 12, 162 (1954).
 Van Vleck J. H., *Ann. Inst. Henri Poincare* 10, 57 (1947).
 Van Vleck J. H., *The theory of electric and magnetic susceptibilities*, Oxford, 1932.

Замечание. Начиная с 1958 г. труды ежегодных магнитных конференций, проходящих в США, печатаются в качестве приложений к журналу *Journal of Applied Physics*.

- * Акулов Н. С., *Ферромагнетизм*, ГОНТИ, 1939.
- * Альтшулер С. А., Козырев Б. М., *Электронный парамагнитный резонанс*, Физматгиз, 1961.
- * Белов К. П., *Магнитные превращения*, Физматгиз, 1959.
- * Белов К. П., *Упругие тепловые и электрические явления в ферромагнитных металлах*, Гостехиздат, 1951.
- * Блох Ф., *Молекулярная теория магнетизма*, ОНТИ, 1936.
- * Бонч-Бруевич В. Л. и Тябликов С. В., *Метод функций Грина в статистической механике*, Физматгиз, 1961.
- * Вонсовский С. В., *Современное учение о магнетизме*, Гостехиздат, 1953.
- * Вонсовский С. В. и Шур Я. С., *Ферромагнетизм*, Гостехиздат, 1948.
- * Гуревич А. Г., *Ферриты на сверхвысоких частотах*, Физматгиз, 1960.
- * Дорфман Я. Г., *Магнитные свойства и строение вещества*, Гостехиздат, 1955.
- Пейк Дж., *Парамагнитный резонанс*, Изд-во „Мир“, 1965.
- * Поливанов К. М., *Ферромагнетизм*, Физматгиз, 1960.
- * Рабкин А. И., *Высокочастотные ферромагнетики*, Физматгиз, 1960.
- * Ситидзе Ю. и Сато Х., *Ферриты*, перевод с японского, Изд-во «Мир», 1964.
- * Туров Е. А., *Физические свойства магнитоупорядоченных кристаллов*, М., 1963.
- * *Антиферромагнетизм*, сб. статей под ред. С. В. Вонсовского, ИЛ, 1957.
- * *Антиферромагнетизм и ферриты*, Отв. редактор Я. Г. Дорфман (авторы: Боровик-Романов А. С., Пахомов А. С. и Смольков Н. А.), серия «Итоги науки», 4 вып., изд. АН СССР, 1962.
- * *Диэлектрическая спектроскопия*. Сб. статей под ред. Г. А. Смоленского, ИЛ, 1960.
- * *Магнитные свойства металлов и сплавов*. Сб. докладов на семинаре в Кливленде (США), перевод с англ. под ред. С. В. Вонсовского, ИЛ, 1961.
- * *Теория ферромагнетизма металлов и сплавов*, Сб. статей под ред. С. В. Вонсовского, ИЛ, 1963.
- * *Тонкие ферромагнитные пленки*, коллективная монография, перевод под ред. Телеснина Р. В., Изд-во «Мир», 1964.
- * *Ферриты в нелинейных с. в. ч. устройствах*. Сб. статей под ред. А. Г. Гуревича, ИЛ, 1961.
- * *Ферромагнитный резонанс*. Коллективная монография, под ред. С. В. Вонсовского, М., 1961.
- * *Ферромагнитный резонанс*, сб. статей под ред. С. В. Вонсовского, ИЛ, 1952.
- * *Физика низких температур* (перевод томов 14 и 15 *Handbuch der Physik*), ИЛ, 1959.

Литература к главе 9

- * 1. Френкель Я. И., Zs. f. Phys. **37**, 572 (1926).
- 2. Коттрел А., УФН **46**, 179 (1952).
- 3. Vogel F. L., Jr., Asta Metallurgica **3**, 245 (1955).
- 4. Washburn J., Parker E. R., J. Met. **4**, 1076 (1952).
- 5. Hedges J. M., Mitchell J. W., Phil. Mag. **44**, 223 (1953).
- 6. Gilman J. J., Johnston W. G., J. Appl. Phys. **31**, 632 (1960).
- 7. Frank F. C., Adv. Phys. **1**, 91 (1952).
- 8. Burton W. K., Cabrera N., Frank F. C., Trans. Roy. Soc. **A243**, 299 (1951).
- 9. Dawson I. M., Vand V., Proc. Roy. Soc., Lond. **A206**, 555 (1951).
- 10. Верма А., Рост кристаллов и дислокации, ИЛ, 1958.

Дополнительная литература к главе 9

- Barrett C. S., Structure of metals: crystallographic methods, principles, data, 2nd ed., N. Y., 1952 (имеется русский перевод первого издания: Барретт К., Структура металлов, М., 1948).
- Boas W., An introduction to the physics of metals and alloys, N. Y., 1948.
- Chalmers B., Physical metallurgy, N. Y., 1959.
- Cohen M., editor, Dislocation in metals, N. Y., 1954.
- Коттрел А., Дислокации и пластическое течение в кристаллах, М., 1958.
- Defects in crystalline solids, Physical Society, London, 1955.
- Friedel J., Les dislocations, Paris, 1956.
- Mott N. F., Proc. Phys. Soc. **B64**, 729 (1951).
- Рид В., Дислокации в кристаллах, М., 1957.
- Зейтц Ф., Физика металлов, Гостехиздат, 1947.
- Зинер К., раздел в сборнике: Упругость и неупругость металлов, ИЛ, 1952.
- Imperfections in nearly perfect crystals, Shockley N. et al., editors, N. Y., 1952.
- * Ван-Бюрен Г., Дефекты в кристаллах, ИЛ, 1962.
 - * Дислокации и механические свойства кристаллов, Сб. статей, ИЛ, 1961.
 - * Успехи физики металлов, перевод с английского, вып. I, М., 1958; вып. II, М., 1959.
 - * Эшелби Дж., Континуальная теория дислокаций, ИЛ, 1962.
 - * Friedel J., Dislocations, N. Y. — Lnd., 1964 (готовится перевод).
-

ПРЕДМЕТНЫЙ УКАЗАТЕЛЬ

Авогадро число 11, 348
 Акцептор, определение 216
 Акцепторы, энергия ионизации 219
 Амплитуда структурная 44
 — тепловых колебаний 177
 Ангстрем 11
 Анизотропия кристаллографическая, магнитная 293, 294
 —, энергия 297, 298, 301
 Антиферромагнетизм 303—307

Базис решетки 13
 Блоха стенка 299—301
 — теорема 161
 — функция 161, 163
 Больцмана постоянная 349
 — теорема 52
 Бора магнетон 122, 349
 Бриллюэна функция в уравнении намагниченности 268
 Брэгга закон 36, 37, 40
 — спектрометр 48
 — уравнение 179
 — формула в одномерном случае 154
 Бюргерса вектор 324

Ван-дер-Ваальса силы 30
 Вейсса поле (молекулярное) 283, 284
 Взаимодействие магнитное дипольное 278
 Видемана — Франца закон 120
 Водород, атомный вес 349
 Возмущение почти свободных электронов периодическим потенциалным полем 341—345
 Волны спиновые 312, 313

Восприимчивость диамагнитная инертных газов 263
 — — на единицу объема 263
 — магнитная антиферромагнетика 305
 — — комплексная 279, 280
 — —, определение 261
 — — парамагнетиков 266
 — — — по квантовой теории 268
 — парамагнитная спиновая 138, 139
 — — электронов проводимости 122
 — спиновая Паули 169
 Время жизни для объемной рекомбинации 228, 229
 — — — поверхностной рекомбинации 228, 229
 — — электронов и дырок 227, 231
 Выпрямители полупроводниковые, принципы действия 239 и д.

Гистерезис 290, 295, 296
 Гранецентрированная структура, переход в объемноцентрированную 194, 195

Двойникование 320
 Дебаевская длина 143
 Дебаеграмма 50
 Дебая закон 65
 — температура 63, 65, 66
 Де-Бройля волна 124
 Диаграмма фазовая сплава CuZn 193
 Диамагнетизм 261—264
 Диод туннельный 250—254
 Дислокации винтовые 323—325
 — и границы зерен 325—329
 — — рост кристаллов 336—341

Дислокации краевые 321—323
 — — и напряжения 325
 —, плотность 329—331
 —, размножение и скольжение 331—334
 Диффузия 227 и д.
 Диэлектрическая восприимчивость 83
 — проницаемость 83—85
 — — комплексная 96, 97
 — — среды, содержащей N электронов 112
 — — титаната бария 104
 — — —, частотная зависимость 110
 Длина диффузионная для дырок 230
 — — электронов 230
 — свободного пробега электрона 118, 119
 — — — — средняя 177
 Домены сегнетоэлектрические 108—110
 — ферромагнитные 288—290
 — — «замыкающие» 293
 — —, происхождение 290—295
 — —, размеры 302
 Доноры, определение 216
 —, энергия ионизации 219
 Дырки, движение 170—172
 —, инжекция 231, 232
 — носители тока 170—176
 —, число на единицу объема в валентной зоне 212
 Дюлонга и Пти закон 54, 56

Единицы, переходные множители 348

Зависимость плотности носителей тока от температуры для германия с мышьяком 225
 — подвижности от плотности носителей тока в германии n -типа 224
 — проводимости германия с мышьяком от температуры 226
 — энергии от волнового числа для свободного электрона 153
 — — — — — цепочки атомов 153
 «Замораживание» орбитальных моментов в кристалле 269—271
 Зона Бриллюэна первая 154
 — валентная 209
 — Джонса 184, 186
 — запрещенная, определение 151—153

Зона проводимости 209
 — —, концентрация электронов 210
 Зоны Бриллюэна 178—187
 — — в одномерном случае 153—161
 — — решетки гранецентрированной 181, 184
 — — — — — объемноцентрированной 181
 — — — — — простой двухмерной квадратной 180
 — — структуры гексагональной плотноупакованной 182, 185
 — в металлической меди 196
 — — никеле 198
 — — —, плотность состояний 199
 —, перекрытие 160, 161
 —, элементы переходных групп 195 и д.

Импульс кристалла 69
 Индукция магнитная, определение 262
 Интеграл обменный 285, 286
 Ионизация тепловая примесных атомов 220—223
 Ионы, радиусы 31 и д.
 —, — теоретические 32
 —, — эмпирические 33

«Катастрофа поляризационная» 103, 105
 Квантования условия боровские 217
 Клаузиуса — Мосотти формула 84
 Колебания кристалла упругие продольные 60, 61
 Концентрация средняя валентных электронов в электронных соединениях 193
 Координационное число 22
 Коэффициент диффузии неосновных носителей 229
 — теплового расширения 73, 74
 — теплопроводности 70, 71, 120
 — усиления по току кристаллического триода 255
 Кристаллы ионные 26, 27
 —, описание 12 и д.
 — пьезоэлектрические 98
 — сегнетоэлектрические, классификация 99, 100
 Кюри — Вейсса закон 284, 285
 — — — для антиферромагнетика 305

- Кюри закон 267
 — точка магнетиков 287
 — сегнетоэлектриков 99, 100, 105—108
 — титаната бария 102
- Ланде формула 267
 Ланжевена — Дебая формула 92
 Ланжевена теория парамагнетизма 265—267
 — уравнение 265
 — формула для диамагнетизма 262, 263
 — функция, график 90, 91
 — для намагниченности 265
 Лармора теорема, вывод для частного случая 263, 264
 Лауэ дифракционные уравнения 37—40
 — метод 46, 47
 Лауэграмма 48
 Лорентца поле 78, 80
 — число 121, 122
 Лоренц — Лорентца формула 84
 Лошмидта число 349
- Магнитострикция 298, 299
 Масса носителя тока поперечная, параметры 235, 236
 — — — продольная, параметры 235, 236
 Метод вращения кристалла 46, 48
 — колебаний кристалла 48
 — порошковый 46, 49
 Методы исследования структуры экспериментальные 46—49
 Миллера индексы 17 и д.
 — — для главных плоскостей кубического кристалла 18
 Модель двух подрешеток в антиферромагнетизме 304—306
 Модуль сдвига разных веществ 319
 Момент магнитный спонтанный единицы объема ферромагнетика 283
 — — — электрона, спин 265
 Моменты магнитные атомные средние бинарных сплавов элементов группы железа 200
 — — — ядерные 272
 Мощность рассеиваемая 96, 97
- Намагниченность насыщения для Ni 196—198
 — — магнетиков 287
 — —, определение 283
 — — ферритов, теория Нееля 307—311
 —, определение 261
 — парамагнетика 265, 266
 — — по квантовой теории 268
 — спонтанная при 0° К 287
 — —, температурная зависимость 286, 287
 Намагничивание техническое 289, 290
 Нееля температура 304, 305
- Ома закон 114—116
 Орбита боровская первая, радиус 349
 Ориентация диполей в твердых телах 92
 Оси кристаллографические 12
 Осциллятор ангармонический 74
 — гармонический 55
- Парамагнетизм 264 и д.
 — Паули 139
 — ядерный 271
 Перенос неосновных носителей тока 231, 232
 Периодическая система элементов, электронные конфигурации 27
 Петля гистерезиса сегнетоэлектриков 103
 — — ферромагнетиков 290
 — дислокационная 333
 Плазмоны 143
 Планка постоянная 57, 348
 Плотность состояний как функция энергии 130
 p — n -переход, выпрямляющее действие 243 и д.
 — —, способы получения 244, 245
 Поверхности постоянной энергии для электронов в кремнии 236
 Поглощение резонансное, макроскопические уравнения 276, 277
 — — спиновое протонное 276
 — — —, условия 275
 — — — электронное 276
 — — ферромагнитное 281—283
 Подвижность в области собственной проводимости 213, 214
 — носителей тока в присутствии примесных атомов 223—227

- Подвижность, определение** 120
Показатель преломления комплексный 144
Поле внутреннее электрическое 77—83
— деполяризующее 77—80
— диполь внутри полости 80, 81
— молекулярное 284
— плоского конденсатора с диэлектриком 81—83
Ползучесть 334
Полупроводники, радиационные эффекты 238, 239
Поляризация, определение 77
— сегнетоэлектриков 99, 100, 103, 104
— спонтанная титаната бария 103
Поляризуемость 83
— гетерогенных материалов 85
— ионная 85, 88
— молярная 84
— ориентационная 85, 88—92
— полная 92
— электронная 85—88
— — ионов 86
Порядок ближний, определение 202
— дальний, определение 202
Постоянный молекулярного поля 284, 285
Потенциал химический в полупроводниках 210
Поток тепловой энергии 70
Преципитация в твердой фазе 329
Принцип Паули 123
Проводимость германия, зависимость от облучения 239
— несобственная или примесная 208, 209, 214—217
— переходных металлов 200, 201
— собственная 208, 213
— —, температурная область 208
Прозрачность щелочных металлов в ультрафиолетовой области 144, 145
Проницаемость магнитная обратимая 296, 297
— —, определение 262
— — эффективная малой однодоменной сферической частицы 315
Работа выхода электрона 146, 147
Размагничивание адиабатическое 271—274
Распределение плотности заряда в цепочке атомов 155
Распределение скоростей по Максвеллу 140
— — статистике Ферми — Дирака 142
Расширение тепловое 73 и д.
Расщепление уровней электрона в поле магнитном 267
— — — нулевом 280, 281
Резонанс антиферромагнитный 306
— магнитный 274 и д.
— ферромагнитный 281—283
— циклотронный 232—238
Рекомбинация электронов и дырок 227—231
Релаксация, время по Дебаю 93, 94
— —, понятие 114
— в твердых телах 94—96
— дипольная 93—96
— намагниченности при резонансе 277—280
— спин-решеточная, время 278
Решетка кристаллическая 13
— кубическая гранецентрированная 15, 16
— — объемноцентрированная 15, 16
— — простая 15, 16
— обратная 40
— —, векторы в общем виде 179
Решетки Браве 15, 16
— кубические, основные характеристики 17
— пространственные 15, 16
Ричардсона — Дешмана формула 146, 147
Рост кристаллов нитевидных 340, 341
— — спиральный 337, 338, 340
Связи в кристаллах, классификация эмпирическая 25 и д.
Связь водородная 30, 31
— гомотоплярная 28, 29
— ионная 10, 26
— ковалентная 10, 28, 29
— металлическая 10, 29
— молекулярная 29, 30
— сильная электронов в металле 346, 347
Сегнетова соль 100
Сегнетоэлектрики 97—111
Сжимаемость переходных металлов 201
Сила коэрцитивная в сегнетоэлектриках 103

- Сила коэрцитивная в ферромагнетиках 289, 290, 295, 296
- Силы дисперсионные 30
- Симметрия, оси 14
- , плоскости 14
- точечная 13
- Скольжение трансляционное 319, 320
- Скорости диффузии дырок 248
- света 348
- электрона дрейфовая 114, 116
- фермиевская 130
- Слой барьерный между металлом и полупроводником 242
- — полупроводника 241, 242
- —, толщина 242
- Смещение среднее по Больцману 73
- Смещения, элементарные векторы 12
- Сопrotивление 116
- остаточное 177, 178
- сдвигу в монокристаллах 317—321
- Состояния примесные 217 и д.
- —, энергия 218
- Сплавы бинарные 190—195
- , механические свойства 334—336
- Структура алмаза 19—21
- гексагональная с плотной упаковкой 19
- — зонная металлов 187—190
- — — благородных 187, 188
- — — двухвалентных 189
- — — трехвалентных 190
- — — щелочных 187
- кристаллическая 13
- — основных элементов 24
- кубическая, примеры 21, 22
- — с плотной упаковкой 20
- магнитная спиновой решетки 306, 307
- сверхтонкая спектра поглощения 280, 281
- — типа перовскита 101
- — —, внутреннее поле 106, 107
- титаната бария 101
- фтористого кальция 21
- хлористого натрия 22
- — цезия 23
- цинковой обманки 21, 22
- Структуры кристаллические простые 18 и д.
- Схема зонная приведенная 180, 181
- Температура превращения, определение 202
- Температура, соответствующая 1 эВ 349
- Теория квантовая парамагнетизма 267—271
- — — спинового 138, 139
- — свободных частиц в замкнутом сосуде 123—131
- — теплоемкости газа 135—137
- Тепловое расширение 73 и д.
- Теплоемкость ангармонического классического осциллятора 74
- гармонического осциллятора 55, 56
- — — по Эйнштейну 58
- двухуровневой системы 76
- решетки, теория Дебая 59—66
- —, — Эйнштейна 56—59
- свободной частицы 53
- электронов проводимости 66—69, 121, 122, 131
- Теплопроводность твердых тел 69—73
- Термодинамика адиабатического размагничивания 272, 273
- Титанат бария, теория 102—108
- Ток диамагнитный 262
- дырочный через $p-n$ -переход 249
- полный через $p-n$ -переход 249
- туннельный 253
- через барьерный слой 243
- Трансляции, группы 12
- основные в обратной решетке 40
- , элементарные векторы 12
- Трансляция, определение 12
- Триоды кристаллические с $p-n$ -переходами 256—259
- — — точечным контактом 254—256
- — типа А 255
- Угол потерь 97
- разориентировки зерен 325, 327
- Упорядочение в сплавах 201—205
- , рентгенодифракционные методы исследования 202, 203
- Упрочение материала наклепом 336
- механическое 334
- Упрочения разные механизмы 334—336
- Упругость, предел для разных веществ 319
- Уравнение непрерывности для дырок 230

Условия граничные периодические 61,
62, 126, 127
Усталость 334

Фазовые переходы в титанате бария
108

Фактор деполяризующий 79
— размагничивающий 282
— рассеяния атомный 42, 43
— спектроскопического расщепления
267, 275
— структурный 44, 45

Фарадея постоянная 348

Ферми-Дирака распределение 131—
137

— — — вырожденное 134
— — — для дырок 211

— — — электронов полупровод-
ников 210

— — — и электропроводность 139—
142

— — — невырожденное 134

Ферми температура 129

— уровень 128, 129

— — в полупроводниках 210

— — некоторых металлов 129

— энергия 134

Ферримагнетизм 308, 311

Ферриты 307—313

Ферромагнетизм 283 и д.

Фооны 69

—, средняя длина свободного пробе-
га 72

Фотон, для 1 эв волновое число
349

—, — — — длина волны 349

—, — — — частота 349

**Функции волновые для нулевого вол-
нового вектора** 162—165

Функция волновая Вигнера — Зейтца
164

— — совокупности двух атомов, во-
лорода 157

— — — электрона 124—126

— — — — в кристалле 346

— — — — периодической решетке
161—165

— — — — почти свободного 343

Хагена — Рубенса формула 149

**Холла коэффициент для заданной
концентрации электронов и дырок**
206

Холла поле 174

— постоянная 175

— угол 175

— эффект 174—176

Хунда правило 269

Центр рекомбинации, действие 231

Частота ларморовой прецессии 264

— плазменная 142—144

— циклотронная 263, 264

Числа квантовые атома 123

**Шмида закон постоянства величины
скальвающего напряжения** 320

Шпинель нормальная, определение
310

Шредингера уравнение 124

Щель энергетическая, определение
151—153

**Эйнштейна соотношение для коэффи-
циента диффузии** 229

— температура 59

Электреты 98, 99

**Электрон в периодическом потенци-
альном поле** 341—345

—, заряд 348

—, классический радиус 349

—, комптоновская длина 349

—, масса покоя 348

—, отношение к массе протона 349

—, скорость при 1 эв 349

—, удельный заряд 348

Электронные соединения 193

**Электронов число на единицу объема
в зоне проводимости** 211

Электроотрицательность элементов
29, 30

Электропроводность 116, 121

— металлов 176—178

— — при 0°C 119

— электронов 177

Эмиссия термоэлектронная 145—148

**Энергии уловни электрона проводи-
мости** 128

- Энергия внутренняя собственных колебаний 60—63
 — газа Ферми при 0°K 135
 — гармонического осциллятора по Планку 57
 — — — средняя 55, 57, 58
 — единицы поверхности стенки Блоха 301
 — ионизации донора 223
 — магнитная кристалла 291, 292
 —, накапливаемая при пластической деформации 331
 — обмена 285
 — — цепочки атомов 300
 — потенциальная электрона проводимости в поле ионных остовов 155
 —, связанная с дислокационной петлей 332
 — связи кристалла 25
 —, соответствующая единичному волновому числу 349
 —, — 1°K 349
 —, — 1 эв 349
 —, — Ридбергу 349
 — средняя частицы при тепловом равновесии 52, 53
- Энергия Ферми в случае примесной проводимости 222
 Энтропия, формулы 272, 273
 Эффективная масса дырки 173
 — —, физический смысл 167
 — — электрона 162
 — — — в кристалле 165—170, 347
 Эффект туннельный 250
 Эффективное число магнетонов Бора 268
 — — — — для ионов группы железа 269, 270
 — — — — — редких земель 269
 — — — — на атом магнетика 287
- Юм-Розери правила для фаз сплавов 192—194
- Ячейка элементарная 13

Ч. Киттель

ЭЛЕМЕНТАРНАЯ ФИЗИКА ТВЕРДОГО ТЕЛА

М., 1965 г., 368 стр. с илл.

Редактор *В. Д. Козлов*

Техн. редактор *С. Я. Шкляр*

Корректор *Е. А. Белицкая*

Сдано в набор 30/XII 1964 г. Подписано к печати
17/IV 1965 г. Бумага 60×90_{/16}. Физ. печ. л. 23.
Условн. печ. л. 23. Уч.-изд. л. 23,75. Тираж 20 000 экз.
Цена книги 1 р. 34 к. Зак. 1018.

Издательство «Наука»

Главная редакция

физико-математической литературы.

Москва, В-71, Ленинский проспект, 15.

Ленинградская типография № 2
имени Евгении Соколовой Главполиграфпрома
Государственного комитета Совета Министров
СССР по печати. Измайловский проспект, 29.

